

RAPPORTS DE MISSIONS
SCIENCES DE LA MER
OCÉANOGRAPHIE PHYSIQUE

N° 16

2000

Rapport de la mission WESPALIS-1
à bord du N. O. Alis
14 octobre au 9 novembre 1999
22°S-Equateur / 165°E-180°

Christian HENIN
Gérard ELDIN
Yves GOURIOU
François GALLOIS
Luc FOUCHER
Mansour IOUALALEN

RAPPORTS DE MISSIONS
SCIENCES DE LA MER
OCÉANOGRAPHIE PHYSIQUE

N° 16

2000

Rapport de la mission WESPALIS-1
à bord du N. O. Alis
14 octobre au 9 novembre 1999
22°S-Equateur / 165°E-180°

* Christian HENIN
** Gérard ELDIN
* Yves GOURIOU
* Francis GALLOIS
* Luc FOUCHER
* Mansour IOUALALEN

* Groupe ECOP, IRD, Nouméa Nouvelle-Calédonie
** LEGOS, Toulouse, France



Institut de recherche
pour le développement

© IRD, Nouméa, 2000

/Henin, C.
/Eldin, G.
/Gouriou, Y.
/Gallois, F.
/Foucher, L.
/Ioualalen, M.

Rapport de la mission WESPALIS-1 à bord du N. O. Alis, 14 octobre au 9 novembre
1999, 22°S-Equateur / 165°E-180°

Nouméa : IRD. Mai 2000. 179 p.
Missions ; Sci. Mer ; Océanogr. Phys. 16

CAMPAGNE OCEANOGRAPHIQUE ; HYDROLOGIE MARINE ; ACQUISITION DE DONNEES ;
SALINITE ; TEMPERATURE ; CIRCULATION THERMOHALINE ; CIRCULATION OCEANIQUE ;
COURANTOMETRE ; MOUILLAGE TAO ; BOUEE DERIVANTE / PACIFIQUE SUD OUEST

TABLE DES MATIERES

| | |
|---|-----|
| I. INTRODUCTION | 9 |
| II. DEROULEMENT DE LA CAMPAGNE WESPALIS-1..... | 11 |
| II-1. Travaux réalisés en station..... | 13 |
| II-2. Travaux réalisés en route..... | 14 |
| II-3. Personnel embarqué..... | 14 |
| III. HYDROLOGIE..... | 15 |
| III.1. Sonde CTD..... | 15 |
| III.2. Thermosalinographe et prélevements de surface..... | 92 |
| IV. COURANTOMETRIE ADCP..... | 93 |
| IV.1. Mesures de courants par le profileur de coque à effet Doppler (VM-ADCP).... | 93 |
| IV.1.1. Introduction..... | 93 |
| IV.1.2. Equipement..... | 93 |
| IV.1.3. Acquisition..... | 93 |
| IV.1.4. Traitement des données..... | 94 |
| 4.1. Constitution d'une base de données..... | 94 |
| 4.2. Vérification des profils relatifs..... | 94 |
| 4.3. Intégration de la navigation..... | 96 |
| 4.4. Etalonnage..... | 99 |
| 4.5. Contrôle de qualité..... | 103 |
| 4.6. Présentation des résultats..... | 103 |
| IV.2. Mesures avec le profileur de courant à effet Doppler 'Profond' (L-ADCP).... | 108 |
| IV.2.1. Principes de la mesure et du traitement..... | 108 |
| 1.1. Description de l'appareil..... | 108 |
| 1.2. Principe de fonctionnement..... | 108 |
| 1.3. Principes du traitement..... | 109 |
| 1.3.1. Calcul de la profondeur..... | 110 |
| 1.3.2. Vitesse du son..... | 110 |
| 1.3.3. Réflexion sur le fond..... | 110 |
| 1.3.4. Suppression du mouvement propre de l'appareil..... | 110 |
| 1.3.5. Obtention d'un profil de vitesse absolue..... | 111 |
| IV.2.2. Acquisition des mesures et résultats..... | 111 |
| V. BOUEES DERIVANTES..... | 163 |
| VI. MOUILLAGES TAO..... | 165 |
| VII. MESURES METEOROLOGIQUES..... | 167 |
| VIII. REFERENCES..... | 179 |

RESUME

La campagne WESPALIS-1 réalisée dans le Pacifique sud-ouest a permis de réaliser des mesures fines des structures thermohalines (0-1000m) et de la circulation océanique de la couche 0-1200m. Réalisée en octobre-novembre 1999, lors d'un événement La Niña, elle a permis de mettre en évidence une accumulation vers l'ouest des eaux du Pacifique équatorial, un renforcement du Courant Equatorial Sud (CES) dirigé vers l'ouest et de repérer le Contre Courant Equatorial Sud (CCES) le long des méridiens 165°E et 180°.

ABSTRACT

During the WESPALIS-1 research cruise in the south-western Pacific, the thermohaline structures of the 0-1000m top layer have been measured as well as the ocean currents in the 0-1200m layer. The cruise has been operated in October-November 1999 during a La Niña event. The measurements evidenced the accumulation of equatorial Pacific waters in the West, a re-enforcement of the westward South Equatorial Current (SEC) and the location of the South Equatorial Counter-Current (SECC) along the 165°E and 180° meridians.

REMERCIEMENTS

La campagne hauturière WESPALIS-1, première de ce type depuis 1992, à bord du N.O. L'ALIS, mettant en œuvre des moyens sophistiqués, n'aurait pu se faire sans la participation active de nombreux agents de l'IRD. Tout d'abord l'équipage tout en entier du navire a toujours fait preuve d'efficacité et de dévouement. Le Centre IRD de Nouméa sous l'impulsion de Christian Colin son directeur, avec Jean-Yves Panché, Pierre Gode et Pierre Desfontaine a permis de faciliter la tache de Gérard Eldin venu tout spécialement du LEGOS, Toulouse, pour mettre en œuvre l'ADCP de coque. Les Moyens navigants de l'IRD et Jacques Grelet à Abidjan ont aidé Francis Gallois qui a procédé au démontage et à l'expédition de l'ADCP du N.O. ANTEA à Abidjan.

C'est à Chantal Andrié et Yves Gouriou, soutenus par le Département Milieu et Environnement, que revient le mérite d'avoir œuvré pour que du matériel d'océanographie physique sophistiqué soit acquis par l'institut et puisse être utilisé pour toutes les campagnes de l'IRD aussi bien dans l'Atlantique que dans le Pacifique.

Météo-France de Nouvelle-Calédonie qui collabore avec l'IRD depuis de nombreuses années a permis des mesures météorologiques grâce à un prêt de matériels.

I. INTRODUCTION

L'impact d'ENSO (El Niño Southern Oscillation) sur l'environnement climatique du Pacifique Sud reste encore relativement peu documenté (Delcroix et Lenormand, 1997). Les deux grands traits caractéristiques du couplage océan-atmosphère du Pacifique sud-ouest sont les présences (i) de la Zone de Convergence du Pacifique Sud (ZCPS) qui s'étend de la Papouasie/Nouvelle-Guinée à la Polynésie Française et (ii) du grand tourbillon anticyclonique qui recouvre l'ensemble du Pacifique Sud.

La ZCPS est caractérisée par des précipitations abondantes (plus de 6m/an ; Delcroix *et coll.*, 1996) et le grand tourbillon se résume schématiquement à une circulation océanique vers l'est au sud de 15°S environ et vers l'ouest au nord de cette latitude. En période El Niño la ZCPS se déplace vers l'équateur et l'axe du grand tourbillon se déplace de quelques centaines de kilomètres vers le sud (Wyrtki et Wenzel, 1984 ; Delcroix et Hénin, 1989 ; Ropolewski et Halpert, 1987). Ces déplacements modifient de manière fondamentale la pluviosité régionale, la salinité, la circulation océanique avec renverse possible des courants régionaux. Il est de ce fait essentiel d'avoir le maximum d'observations des structures thermohalines et de la circulation associées à la ZCPS.

Les réseaux de mouillages instrumentés TAO ne décrivent que la partie nord de la zone (au nord de 8°S et le long des méridiens 165°E et 180°). Les XBT largués à partir des navires de commerce du programme SOOP (Ship Of Opportunity Programme) donnent une description satisfaisante des structures thermiques, bien que l'échantillonnage spatial soit assez large. Les thermosalinographes (TSG) installés à bord des navires de commerce fournissent le long des routes maritimes une description fine des structures halines mais limitée à la surface uniquement (Hénin et Grelet, 1996). Tant que les XCTD ne seront pas opérationnelles nous aurons un besoin critique de données de la distribution de la salinité en sub-surface dans cette région du pacifique sud-ouest où la relation T/S climatologique dont on dispose n'est pas satisfaisante. Il s'ensuit des incertitudes sur la détermination de la topographie dynamique et des courants géostrophiques associés à partir uniquement des profils verticaux de la température fournis par les tirs XBT et les mouillages TAO (Villain, 1995).

La campagne WESPALIS-1 est la première campagne à bord du navire océanographique de l'IRD ALIS menée par le programme ECOP et destinée à acquérir dans la région de la ZCPS du Pacifique sud-ouest des observations fines des structures thermohalines (CTD 0-1000m) et des courants (ADCP 0-250m et L-ADCP 0-1200m).

II. DEROULEMENT DE LA CAMPAGNE WESPALIS-1

La campagne WESPALIS-1 à bord du N.O. ALIS s'est déroulée du 14 octobre au 9 novembre 1999. Deux radiales méridiennes le long de 165°E et 180° entre 20°S et l'équateur et entre 18°S et l'équateur respectivement ont été réalisées. Une radiale a suivi l'équateur de 164°E à 180° et une autre quasi-zonale a relié Suva (Fidji) à Nouméa (Nouvelle-Calédonie). La route est présentée sur la figure 1 et les détails des stations CTD et L-ADCP sont décrits dans le Tableau 1.

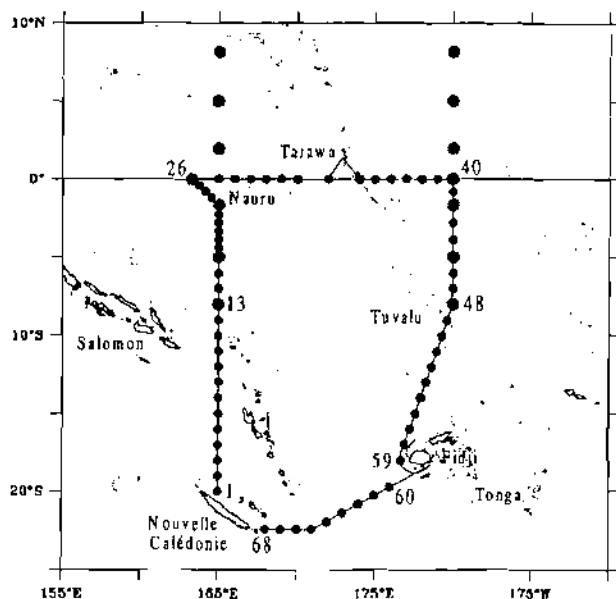


Figure 1 : Route de la campagne WESPALIS-1 : Les stations sont représentées par des disques : les disques de grande dimension correspondent aux positions des mouillages TAO.

| N° station | Nbre niveaux (prof. en m) | Date GMT | Heure (GMT) Début de station | Latitude | longitude |
|------------|---------------------------|------------|---------------------------------|-----------|-----------|
| 1 | 1000 | 14/10/1999 | 23 :42 :16 | -19.99883 | 165.00233 |
| 2 | 500 | 15/10/1999 | 07 :00 :00 | -19.00407 | 165.00273 |
| 3 | 1000 | 15/10/1999 | 13 :49 :09 | -17.99950 | 165.00050 |
| 4 | 1000 | 15/10/1999 | 21 :15 :54 | -17.00200 | 164.99950 |
| 5 | 1000 | 16/10/1999 | 04 :32 :23 | -15.99897 | 165.00150 |
| 6 | 1000 | 16/10/1999 | 11 :28 :00 | -15.00263 | 165.00200 |
| 7 | 1000 | 16/10/1999 | 18 :26 :58 | -13.99783 | 165.00183 |
| 8 | 1000 | 17/10/1999 | 01 :29 :47 | -13.00000 | 165.00166 |
| 9 | 1000 | 17/10/1999 | 08 :31 :35 | -11.99883 | 165.00117 |
| 10 | 1000 | 17/10/1999 | 15 :35 :12 | -11.00233 | 165.00600 |
| 11 | 1000 | 17/10/1999 | 22 :44 :27 | -10.00083 | 165.00050 |

| | | | | | |
|----|------|-------------|------------|----------|------------|
| 12 | 1000 | 18/10/1999 | 05 :59 :50 | -9.00017 | 165.00117 |
| 13 | 1000 | 18/10/1999 | 13 :02 :50 | -7.99917 | 165.00183 |
| 14 | 1000 | 19./10/1999 | 01 :53 :50 | -6.99917 | 165.00133 |
| 15 | 1000 | 19/10/1999 | 09 :27 :32 | -6.00433 | 165.00200 |
| 16 | 1000 | 19/10/1999 | 16 :33 :03 | -5.00100 | 164.99899 |
| 17 | 1000 | 20/10/1999 | 01 :13 :19 | -4.49717 | 164.99950 |
| 18 | 1000 | 20/10/1999 | 04 :58 :19 | -4.00200 | 165.00166 |
| 19 | 1000 | 20/10/1999 | 08 :44 :02 | -3.50050 | 165.00183 |
| 20 | 1000 | 20/10/1999 | 12 :35 :05 | -2.99733 | 164.99935 |
| 21 | 1000 | 20/10/1999 | 16 :30 :32 | -2.50133 | 165.00067 |
| 22 | 1000 | 20/10/1999 | 22 :38 :54 | -1.93700 | 164.41617 |
| 23 | 1000 | 21/10/1999 | 02 :08 :49 | -1.50067 | 164.32268 |
| 24 | 1000 | 21/10/1999 | 06 :11 :02 | -0.99733 | 164.19333 |
| 25 | 1000 | 21/10/1999 | 10 :02 :03 | -0.50150 | 164.05333 |
| 26 | 1000 | 21/10/1999 | 23 :38 :59 | -0.07133 | 164.00166 |
| 27 | 1000 | 22/10/1999 | 08 :03 :03 | -0.00400 | 164.94550 |
| 28 | 1000 | 22/10/1999 | 16 :46 :11 | 0.00000 | 165.99600 |
| 29 | 1000 | 23/10/1999 | 00 :57 :45 | 0.00067 | 166.99966 |
| 30 | 1000 | 23/10/1999 | 09 :14 :49 | 0.00067 | 167.99300 |
| 31 | 1000 | 23/10/1999 | 17 :17 :13 | -0.00017 | 168.99600 |
| 32 | 1000 | 24/10/1999 | 01 :06 :08 | -0.00050 | 169.99500 |
| 33 | 1000 | 24/10/1999 | 17 :14 :50 | -0.00233 | 171.99300 |
| 34 | 1000 | 26/10/1999 | 19 :09 :06 | -0.00200 | 174.00133 |
| 35 | 1000 | 27/10/1999 | 03 :14 :31 | -0.00100 | 174.99417 |
| 36 | 1000 | 27./10/1999 | 11 :20 :46 | 0.00117 | 176.00150 |
| 37 | 1000 | 27/10/1999 | 19 :09 :40 | -0.00067 | 176.99899 |
| 38 | 1000 | 28/10/1999 | 03 :33 :54 | 0.0000 | 177.99699 |
| 39 | 1000 | 28/10/1999 | 12 :03 :07 | 0.00067 | 178.99966 |
| 40 | 1000 | 28/10/1999 | 20 :22 :10 | 0.00000 | 179.99699 |
| 41 | 1000 | 29/10/1999 | 01 :17 :04 | -0.50483 | -179.99834 |
| 42 | 1000 | 29/10/1999 | 05 :21 :35 | -0.99933 | -179.99966 |
| 43 | 1000 | 29/10/1999 | 12 :25 :44 | -2.00133 | 179.99899 |
| 44 | 1000 | 29/10/1999 | 19 :35 :09 | -3.00067 | -179.99899 |
| 45 | 1000 | 30/10/1999 | 04 :28 :00 | -4.03917 | 179.99367 |
| 46 | 1000 | 30/10/1999 | 11 :16 :52 | -5.00367 | -179.99950 |
| 47 | 1000 | 30/10/1999 | 18 :20 :2& | -6.00217 | -179.99800 |
| 48 | 1000 | 31/10/1999 | 01 :13 :57 | -7.00250 | 179.99718 |
| 49 | 1000 | 31/10/1999 | 08 :04 :5(| -7.99967 | -179.99699 |

| | | | | | |
|----|------|------------|------------|-----------|-----------|
| 50 | 1000 | 31/10/1999 | 15 :41 :38 | -8.99700 | 179.73650 |
| 51 | 1000 | 01/11/1999 | 00 :17 :45 | -10.01483 | 179.33051 |
| 52 | 1000 | 01/11/1999 | 07 :18 :16 | -10.99883 | 178.96783 |
| 53 | 900 | 01/11/1999 | 14 :58 :23 | -12.00150 | 178.57050 |
| 54 | 1000 | 01/11/1999 | 22 :16 :09 | -13.00283 | 178.20183 |
| 55 | 1000 | 02/11/1999 | 05 :44 :40 | -14.00133 | 177.80167 |
| 56 | 1000 | 02/11/1999 | 13 :15 :45 | -14.99917 | 177.45399 |
| 57 | 1000 | 02/11/1999 | 20 :33 :08 | -16.00100 | 177.06850 |
| 58 | 1000 | 03/11/1999 | 03 :46 :44 | -17.00100 | 176.66634 |
| 59 | 1000 | 03/11/1999 | 10 :34 :25 | -18.00683 | 176.66550 |
| 60 | 1000 | 05/11/1999 | 22 :52 :42 | -19.68950 | 175.99333 |
| 61 | 1000 | 06/11/1999 | 06 :32 :24 | -20.27783 | 175.00368 |
| 62 | 1000 | 06/11/1999 | 16 :07 :48 | -20.85417 | 174.00967 |
| 63 | 900 | 07/11/1999 | 01 :29 :23 | -21.42283 | 173.00034 |
| 64 | 1000 | 07/11/1999 | 10 :47 :55 | -21.98933 | 172.00082 |
| 65 | 1000 | 07/11/1999 | 23 :03 :12 | -22.35517 | 171.00034 |
| 66 | 1000 | 08/11/1999 | 05 :53 :56 | -22.34983 | 170.00400 |
| 67 | 1000 | 08/11/1999 | 12 :09 :00 | -23.36150 | 169.13400 |
| 68 | 1000 | 08/11/1999 | 19 :36 :02 | -22.34750 | 167.99500 |

Tableau 1 : Stations sonde CTD et L-ADCP réalisées durant la campagne WESPALIS-1. Les positions sont exprimées en degrés décimaux : les latitudes sont positives (si Nord) ou négatives (si Sud). Les longitudes sont positives (si Est) ou négatives (si Ouest) .

II-1. Travaux réalisés en station

68 stations hydrologiques (CTD 0-1000m) et couranto-métriques (0-1200m L-ADCP) ont été réalisées le long des quatre radiales accompagnées de deux prélèvements de surface pour le contrôle de la salinité et les besoins du programme PALEOCEAN (Cabioch *et coll.*, 1998). On donne ci-dessous une chronologie sommaire des opérations :

J01 à J08 :

- Stations CTD et ADCP tous les degrés de 20°S à 5°S puis tous les 0.5 degrés entre 5°S et l'équateur le long de 165°E puis vers 164° E (26 stations).
- Interventions sur les mouillages TAO de 8°S/165°E (J05), 5°S/165°E (J06) 2°S/165°E (J07) puis relevé du mouillage équatorial de 165°E en dérive à 163°30' E (J08).
- Mise à l'eau de 3 bouées dérivantes du programme S.V.P. type Niiler.

J09 à J16 :

- Radiale le long de l'équateur de 164°E à 180°. Stations CTD et L-ADCP (15 stations).

J12 à J13 :

- Escale de 24 H à Tarawa (Kiribati)

J16 à J21 :

- Stations CTD et L-ADCP tous les 0.5 degrés de 0° à 1°S et tous les degrés de 2°S à 18°S le long de 180°E (20 stations).

- Mise à l'eau de 3 bouées dérivantes du programme SVP (Surface Velocity Programme), type Niiler.

J22 à J23 :

- Escale de 36H à Suva (Fidji).

J24 à J27 :

- Radiale Suva-Matthew-Nouméa. Stations CTD et L-ADCP (9 stations).

II-2. Travaux réalisés en route

- Mesure en continu des courants absolus 0-250m au moyen d'un profiteur acoustique à effet Doppler (ADCP).
- Mesure en continu (enregistrement toutes les 5 minutes) de la température et de la salinité de surface au moyen d'un thermosalinographe.

II-3. Personnel embarqué

| | | | | |
|-----------------|-------------------|---------------|------------------------|-------------|
| Chef de Mission | Mansour IOUALALEN | chercheur | Chargé de Recherche | IRD Nouméa |
| | Christian HENIN | chercheur | Directeur de Recherche | IRD Nouméa |
| | Luc FOUCHER | technicien | AJTR | IRD Abidjan |
| | Francis GALLOIS | électronicien | Ingénieur d'Etude | IRD Nouméa |

III. HYDROLOGIE

III.1. Sonde CTD

Une sonde CTD SeaBird modèle 911 a été utilisée pour les 68 profils verticaux de température et de salinité de 0 à 1000m. L'acquisition s'est faite à l'aide des logiciels Seasoft. Le rythme d'acquisition des données à la descente et à la remontée est de 30 enregistrements par seconde. Enregistrées sur PC, les données ont ensuite été moyennées tous les 1 dbar avec les logiciels adaptés fournis par SeaBird.

La liste des stations CTD est donnée en Tableau 1.

Deux capteurs de température et deux capteurs de conductivité ont été pré-calibrés chez SeaBird à Bellevue (Washington) en septembre 1999. A la fin de la campagne, les différences en température et en salinité fournies par la série des capteurs ont été considérées comme négligeables. En raison de la précision moindre des mesures au salinomètre des prélèvements au sein météorologique, et de celles du thermosalinographe, leur comparaison avec les mesures en surface de la CTD n'a pas permis de déceler une quelconque dérive des mesures de salinité et de température entre le début et la fin de la campagne. Un filament de méduse ayant perturbé les mesures du capteur primaire de conductivité à la station 37 il a été décidé que les données de conductivité et de température du capteur secondaire seraient retenues pour archivage provisoire. Les mesures de la sonde obtenues avec les coefficients de pré-calibration sont considérées acceptables jusqu'à l'obtention des résultats de la post-calibration qui aura lieu chez SeaBird après la campagne WESPALIS-2 (13 avril au 13 mai 2000).

Les profils 0-1000 dbar de température, de salinité et de densité potentielle, les courbes TS et les valeurs numériques aux niveaux standard NODC sont présentées sur les figures 2 à 69. Les valeurs numériques reportées au niveau P=0 dbar correspondent à l'intervalle 1-3 dbar. Les sections méridiennes et zonales de température et de salinité sont présentées en figs. 70 à 77.

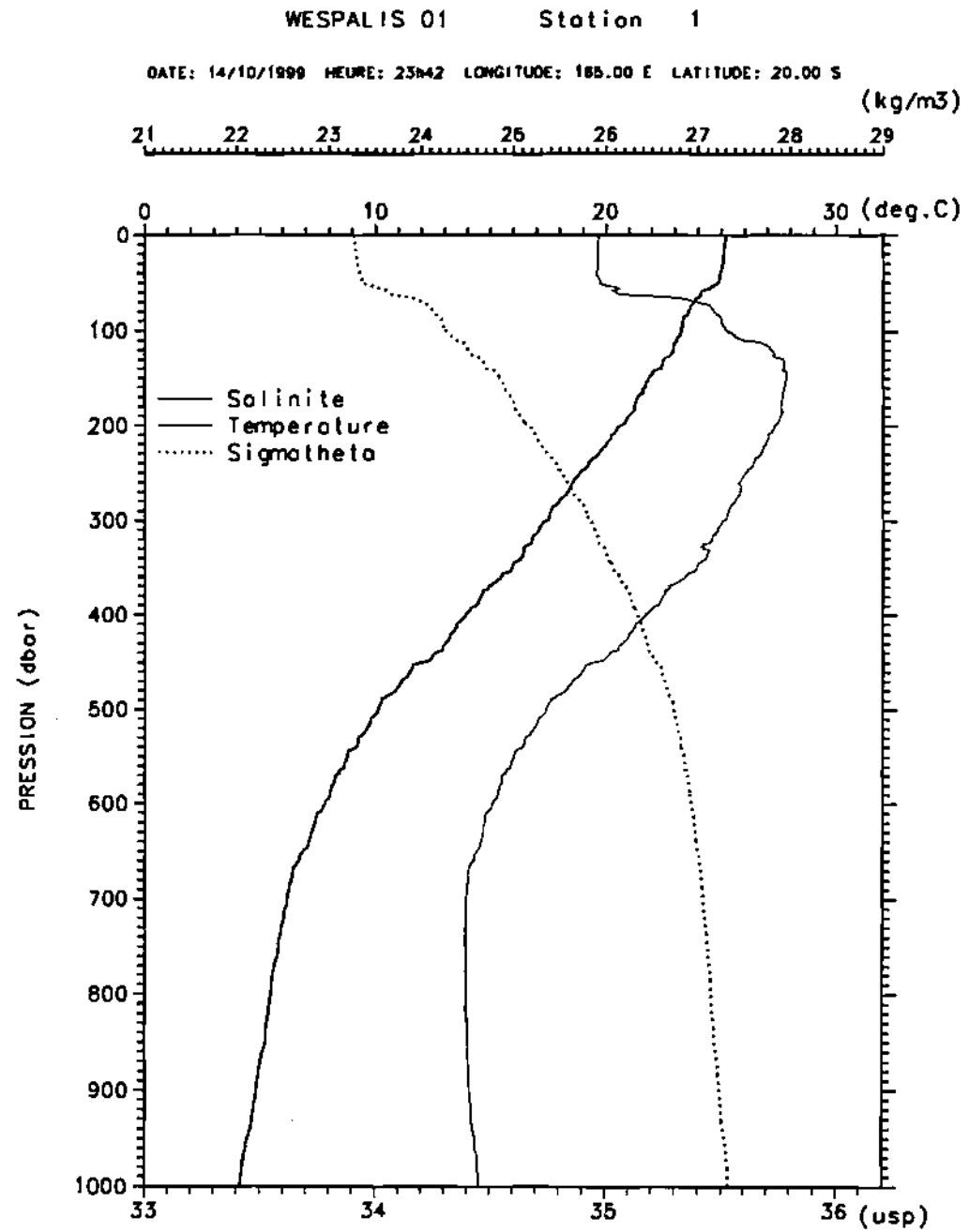
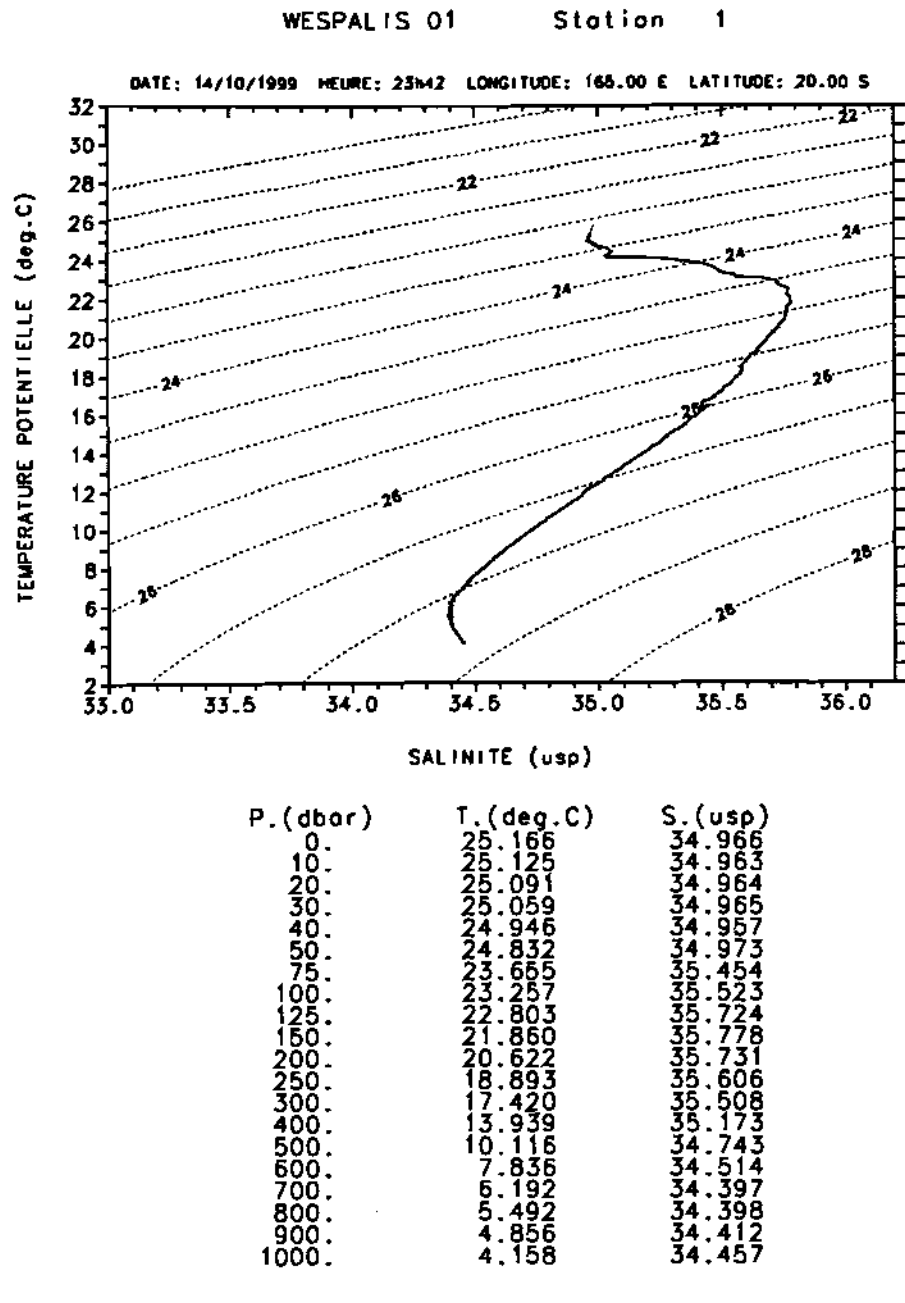
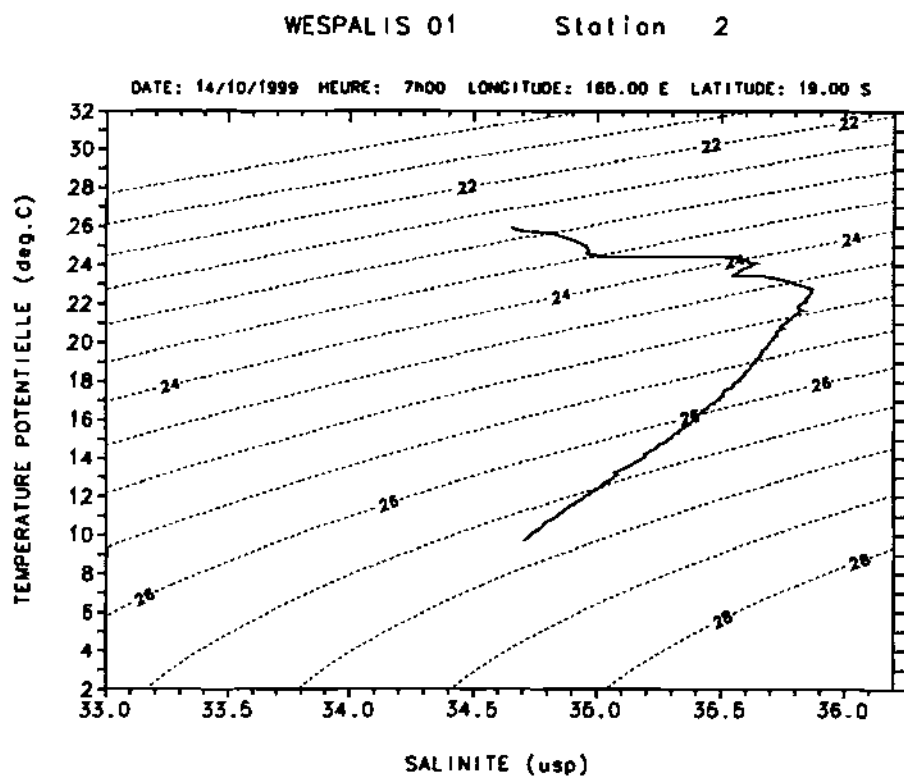


Figure 2



| P. (dbar) | T. (deg.C) | S. (usppm) |
|-----------|------------|------------|
| 0. | 25.973 | 34.654 |
| 10. | 25.976 | 34.654 |
| 20. | 25.781 | 34.697 |
| 30. | 25.727 | 34.772 |
| 40. | 25.391 | 34.888 |
| 50. | 25.149 | 34.937 |
| 75. | 24.564 | 34.982 |
| 100. | 24.390 | 35.571 |
| 125. | 23.450 | 35.548 |
| 150. | 22.984 | 35.823 |
| 200. | 21.705 | 35.820 |
| 250. | 20.260 | 35.709 |
| 300. | 18.326 | 35.588 |
| 400. | 13.787 | 35.149 |
| 500. | 10.268 | 34.754 |

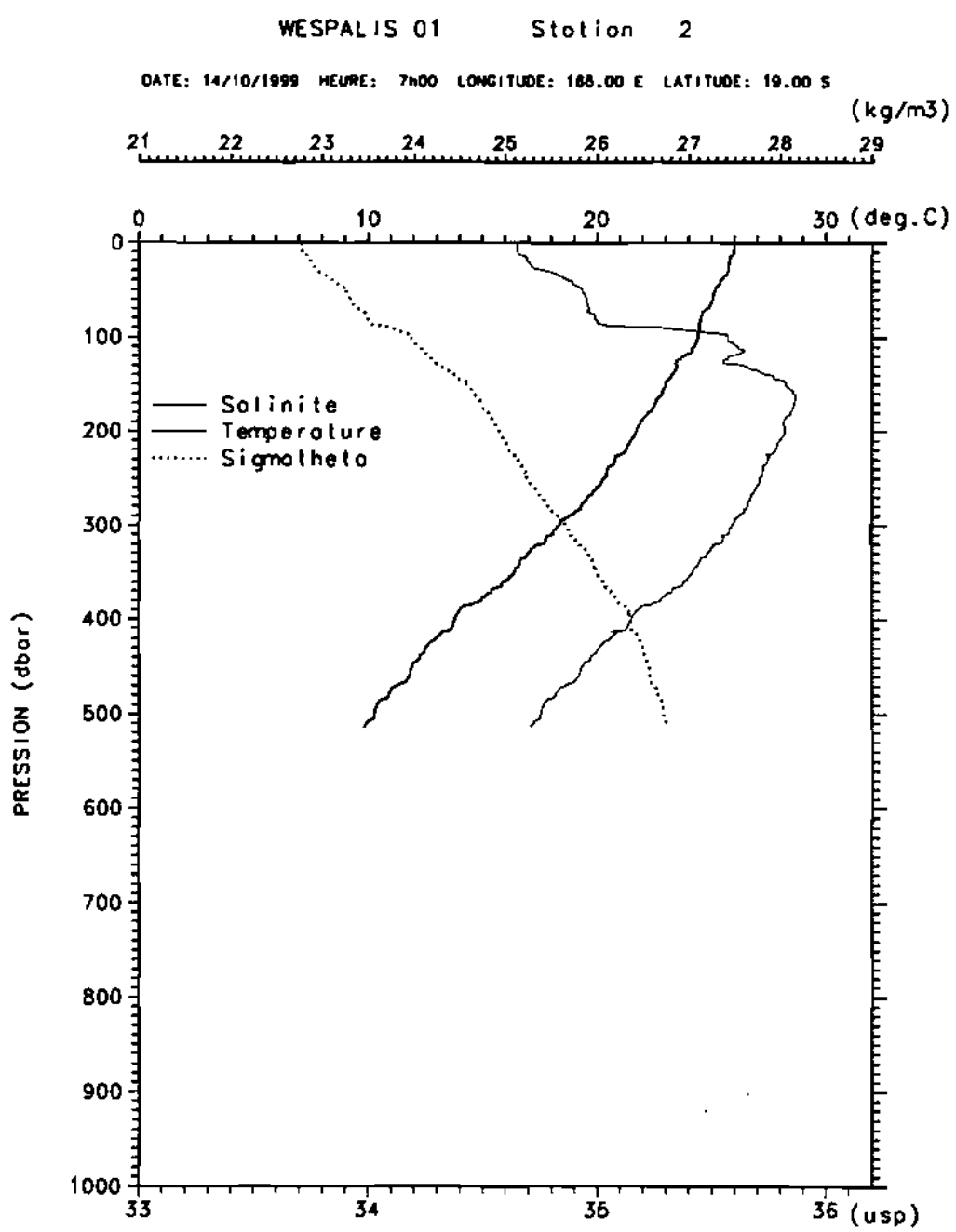


Figure 3

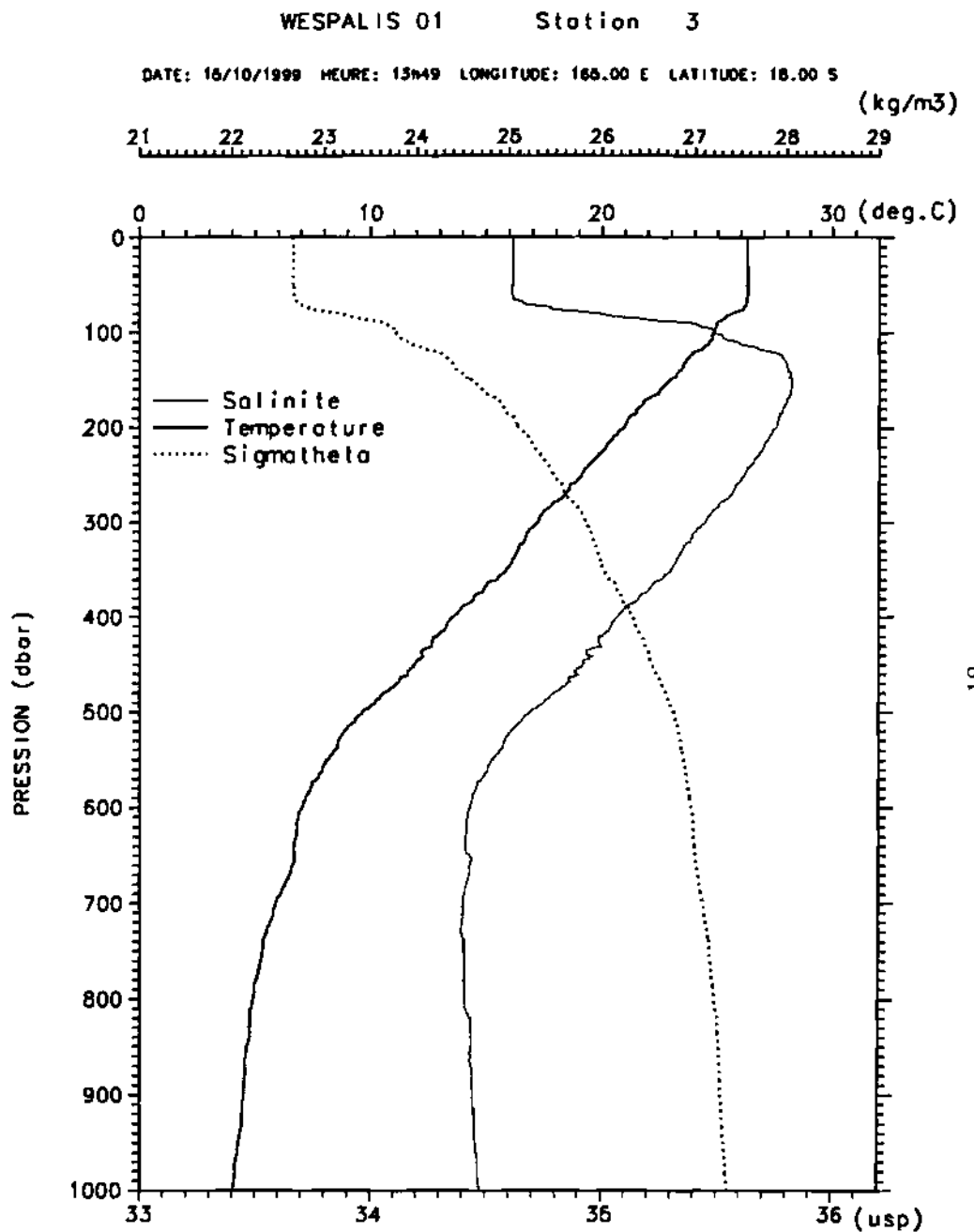
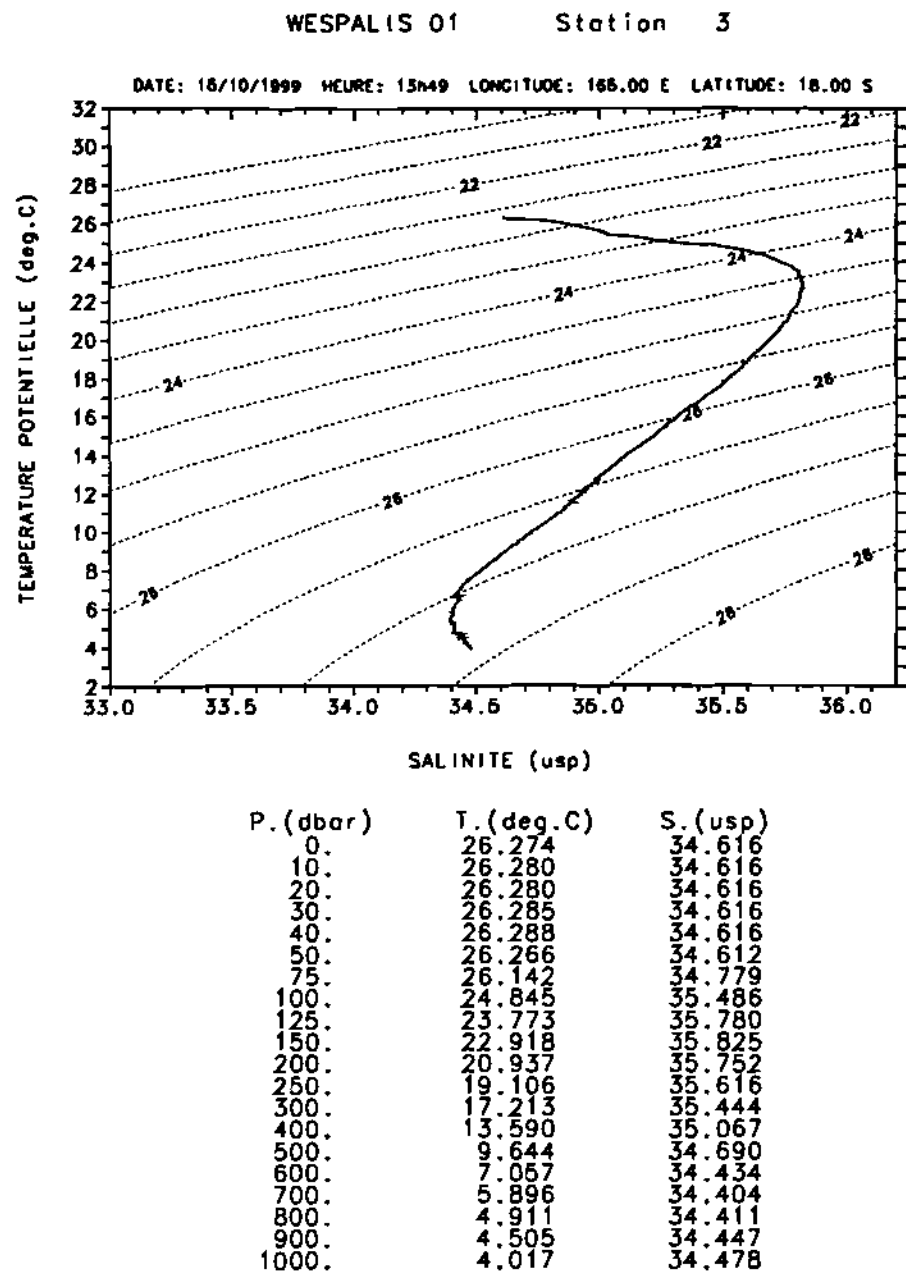


Figure 4

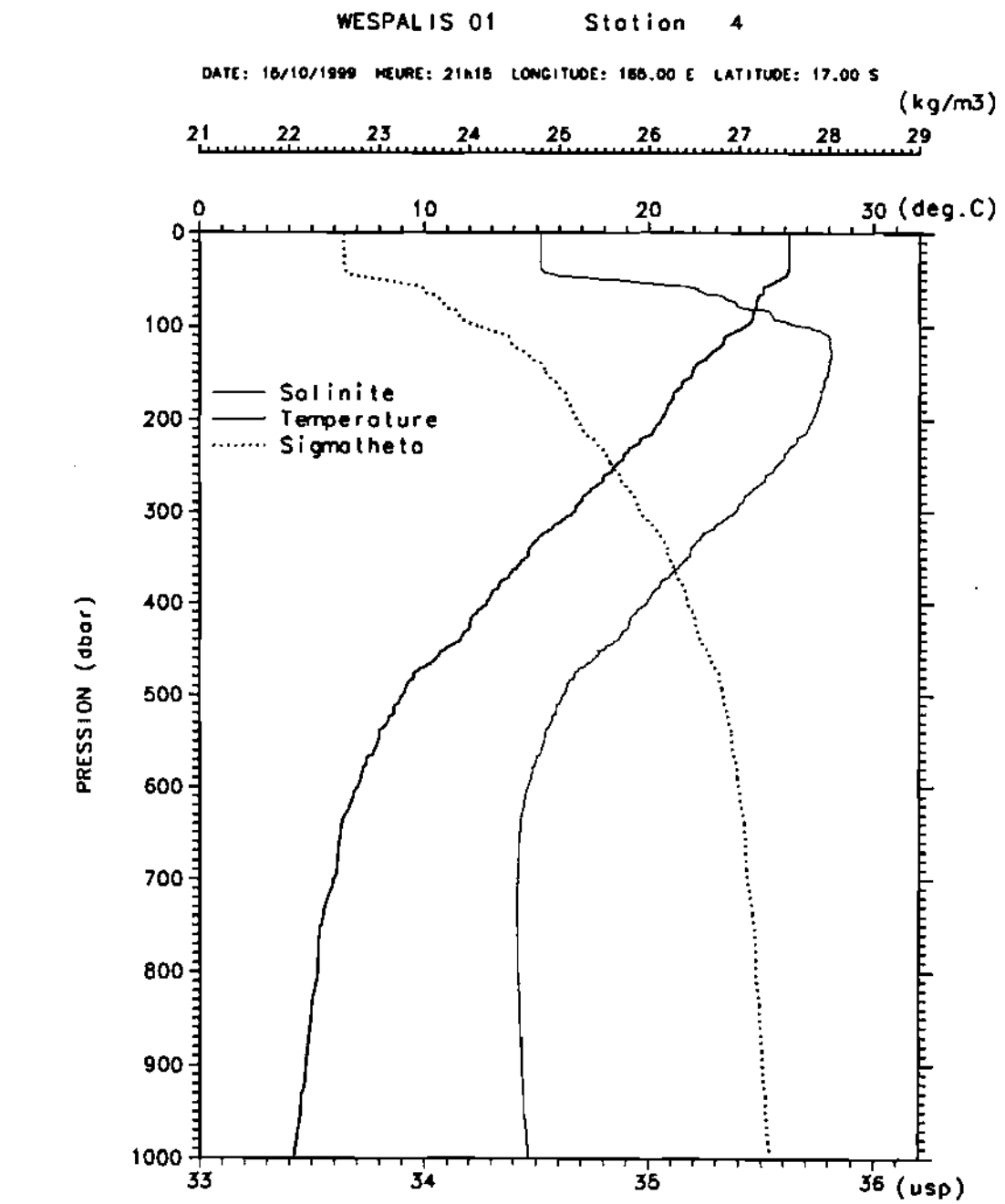
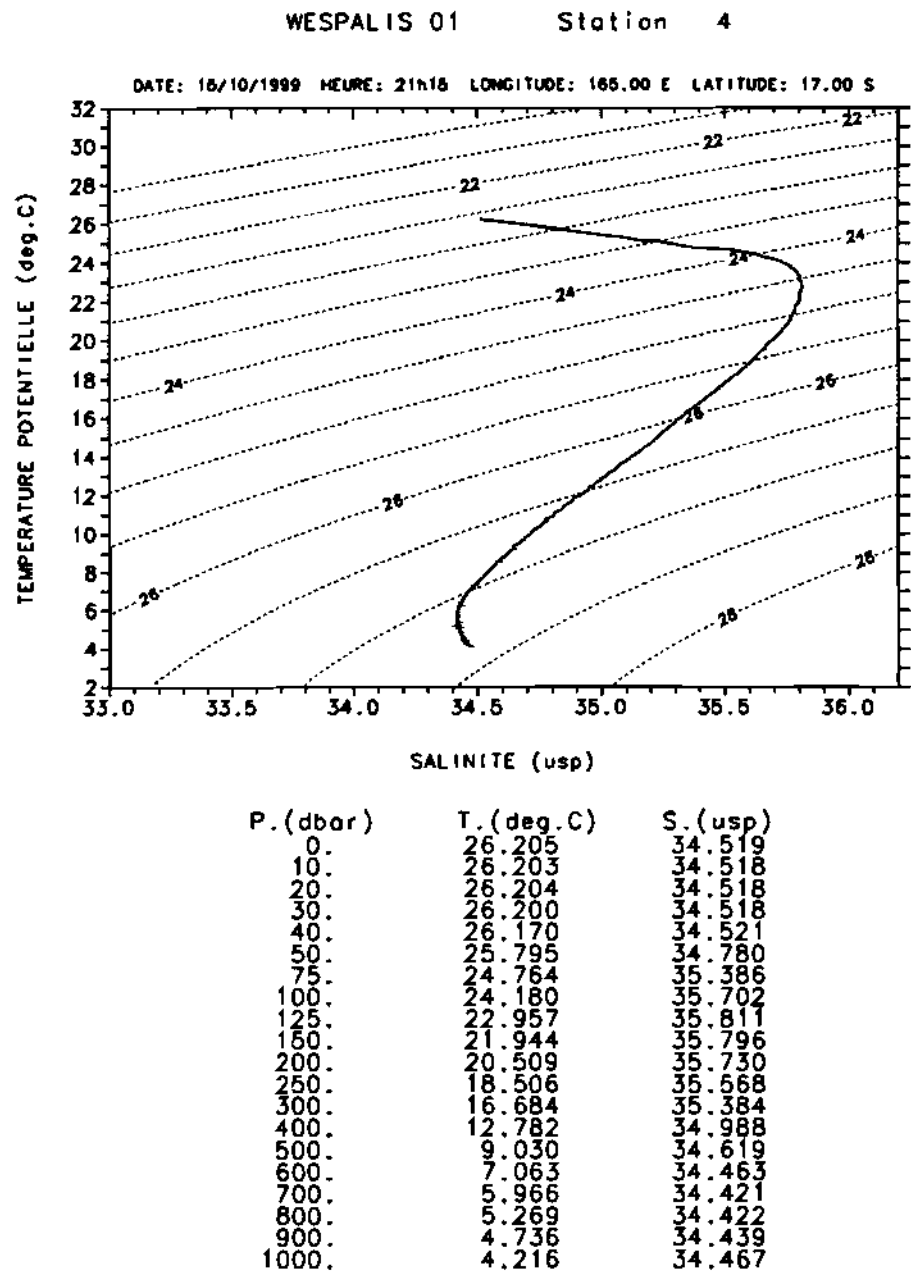
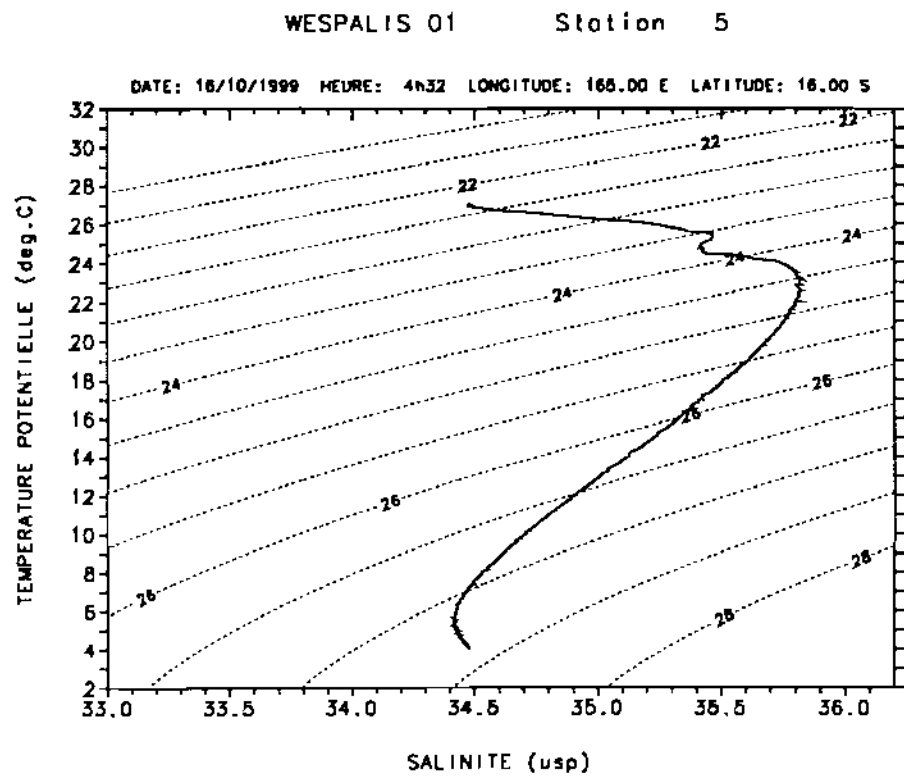


Figure 5



| P.(dbar) | T.(deg.C) | S.(psu) |
|----------|-----------|---------|
| 0. | 27.041 | 34.479 |
| 10. | 26.952 | 34.479 |
| 20. | 26.898 | 34.479 |
| 30. | 26.883 | 34.478 |
| 40. | 26.877 | 34.479 |
| 50. | 26.764 | 34.555 |
| 75. | 25.532 | 35.447 |
| 100. | 24.280 | 35.617 |
| 125. | 23.217 | 35.819 |
| 150. | 22.208 | 35.812 |
| 200. | 20.286 | 35.705 |
| 250. | 18.541 | 35.563 |
| 300. | 16.530 | 35.374 |
| 400. | 12.433 | 34.945 |
| 500. | 9.530 | 34.661 |
| 600. | 6.958 | 34.463 |
| 700. | 5.627 | 34.422 |
| 800. | 4.994 | 34.430 |
| 900. | 4.691 | 34.444 |
| 1000. | 4.109 | 34.479 |

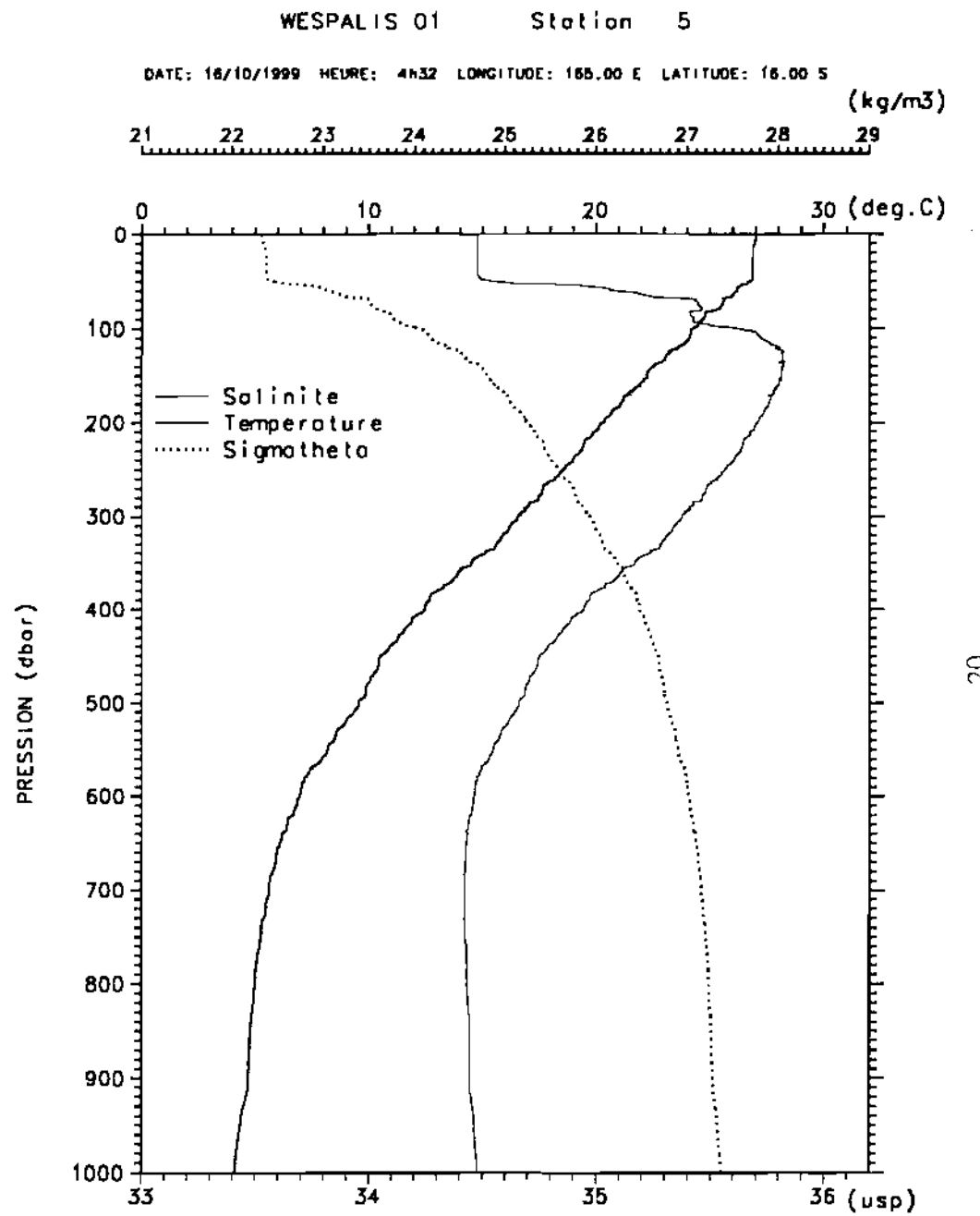


Figure 6

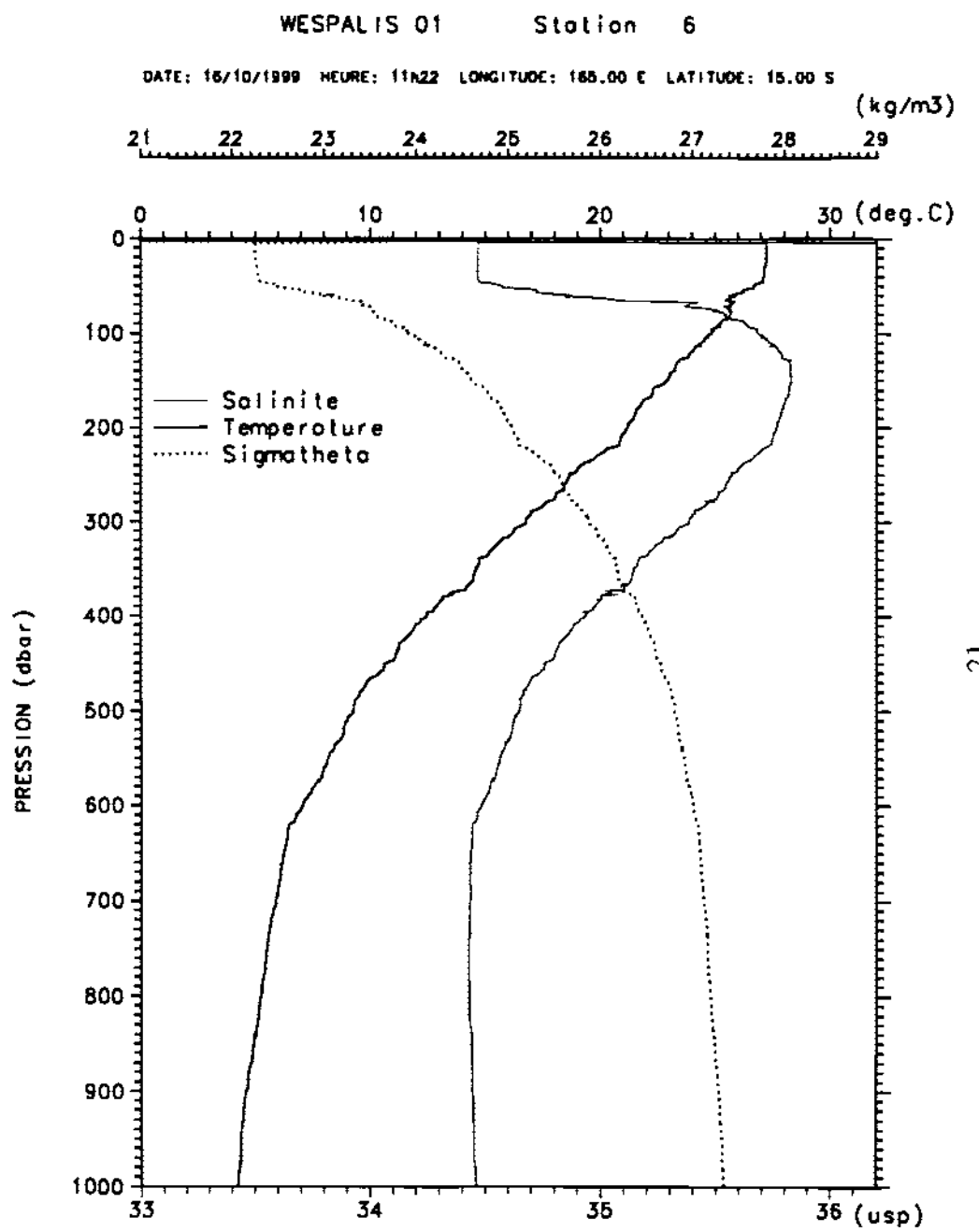
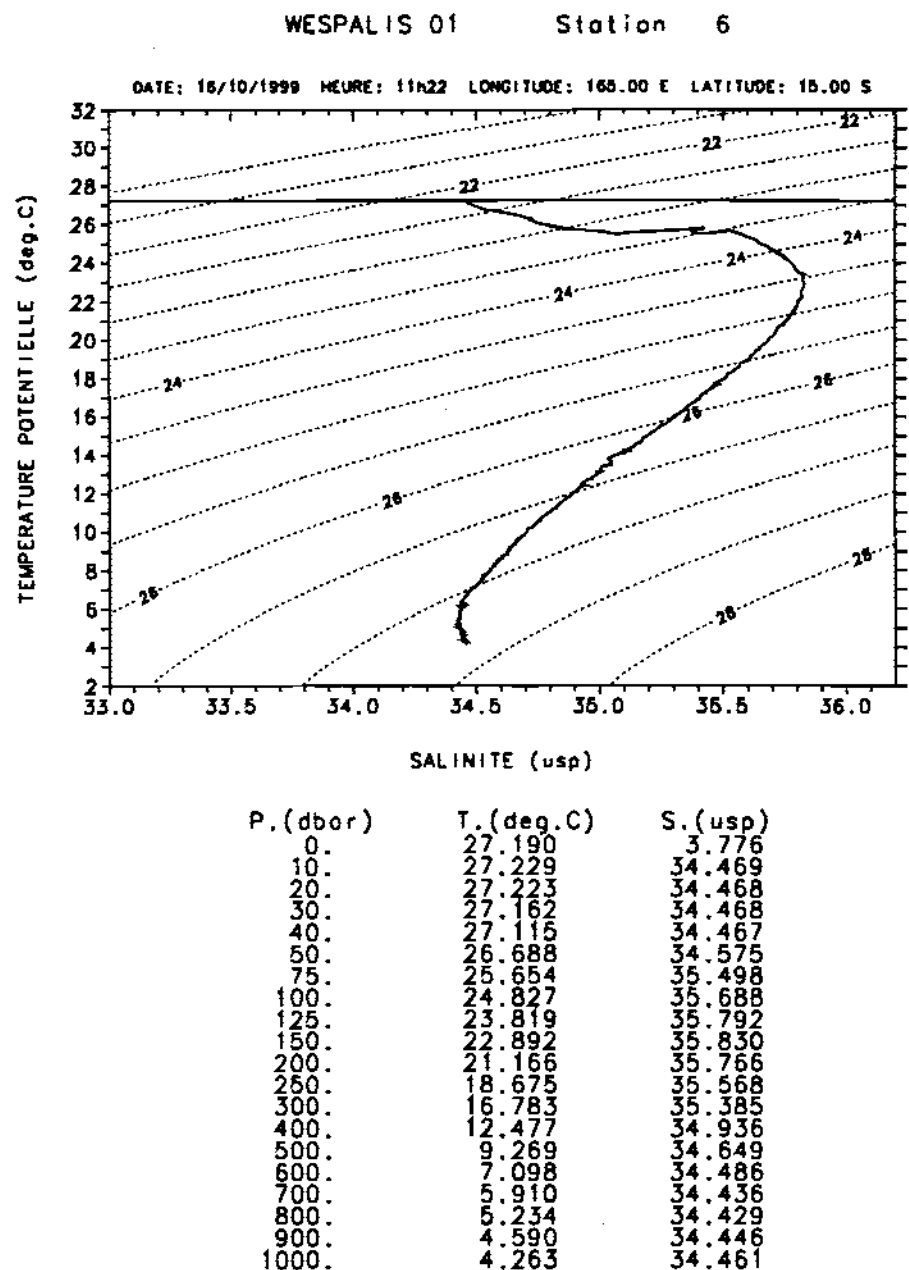
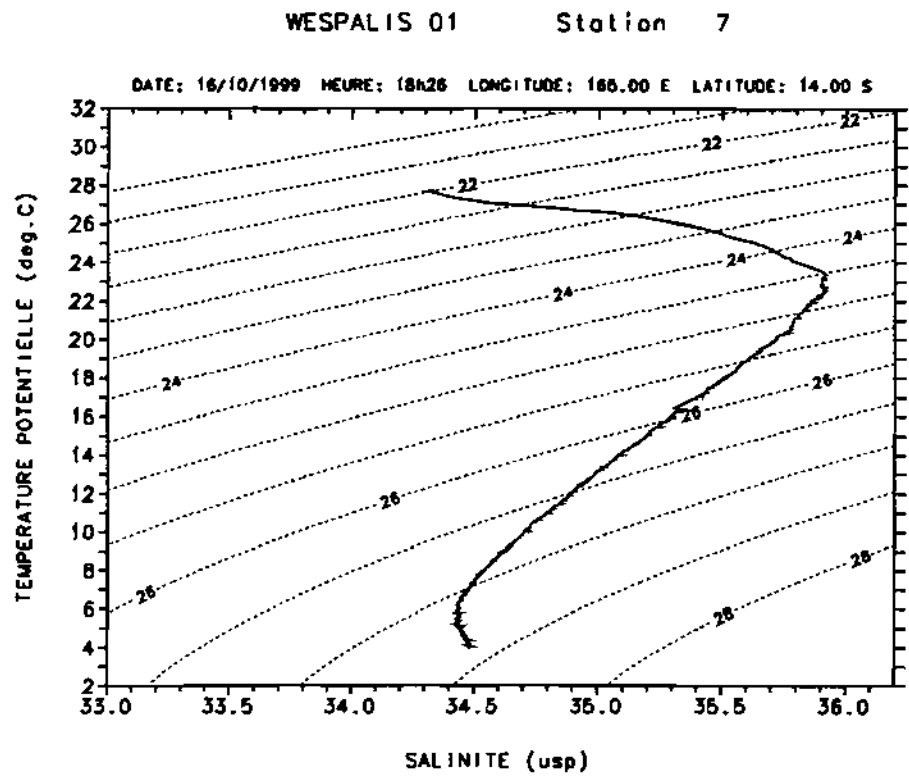


Figure 7



| P. (dbar) | T. (deg.C) | S. (psu) |
|-----------|------------|----------|
| 0. | 27.647 | 34.288 |
| 10. | 27.653 | 34.329 |
| 20. | 27.658 | 34.329 |
| 30. | 27.656 | 34.329 |
| 40. | 27.660 | 34.329 |
| 50. | 27.662 | 34.329 |
| 75. | 27.211 | 34.494 |
| 100. | 26.675 | 34.989 |
| 125. | 24.778 | 35.687 |
| 150. | 22.799 | 35.903 |
| 200. | 21.981 | 35.858 |
| 250. | 19.370 | 35.647 |
| 300. | 17.207 | 35.418 |
| 400. | 12.543 | 34.939 |
| 500. | 9.517 | 34.661 |
| 600. | 7.274 | 34.490 |
| 700. | 5.927 | 34.440 |
| 800. | 5.205 | 34.443 |
| 900. | 4.614 | 34.465 |
| 1000. | 4.102 | 34.488 |

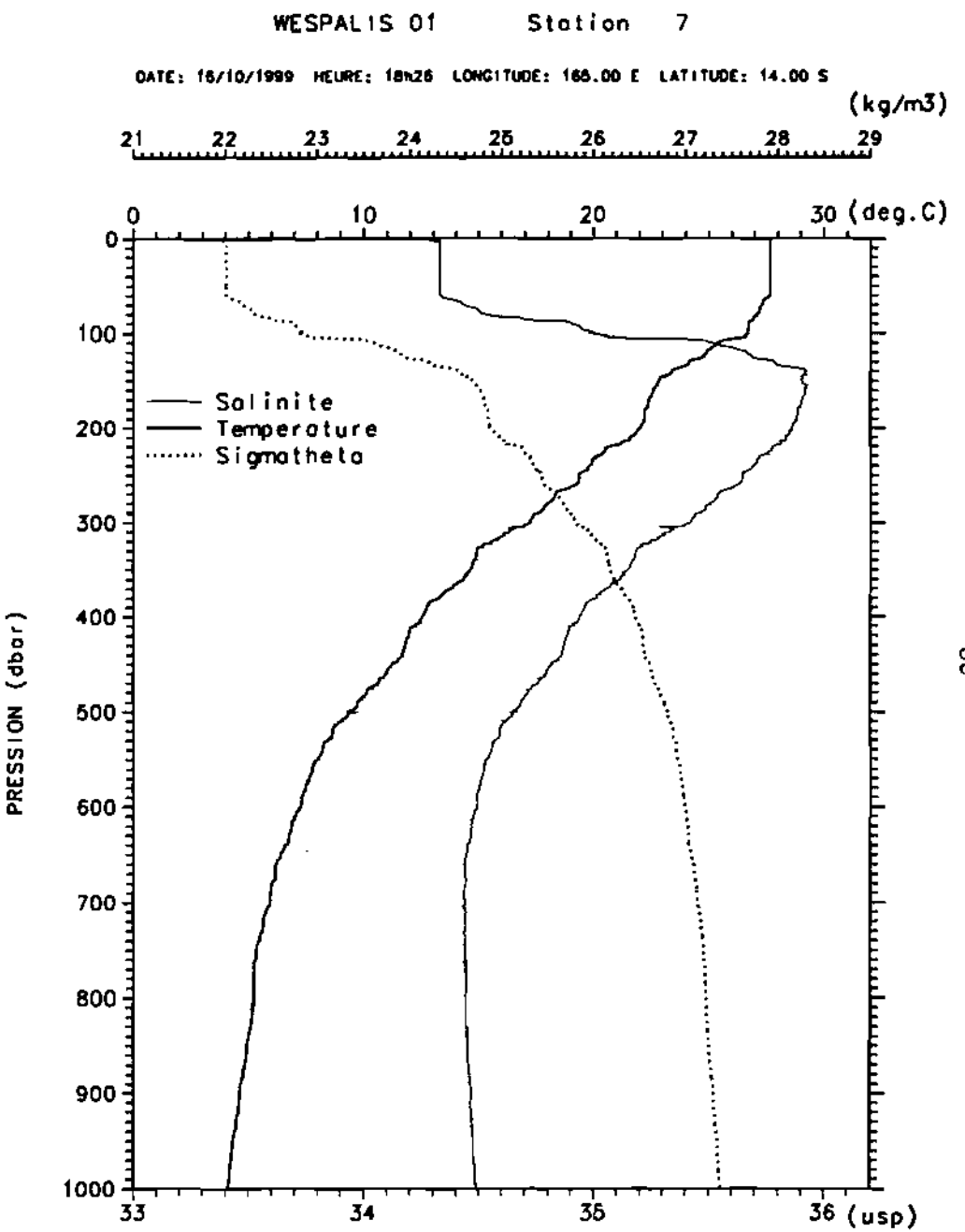
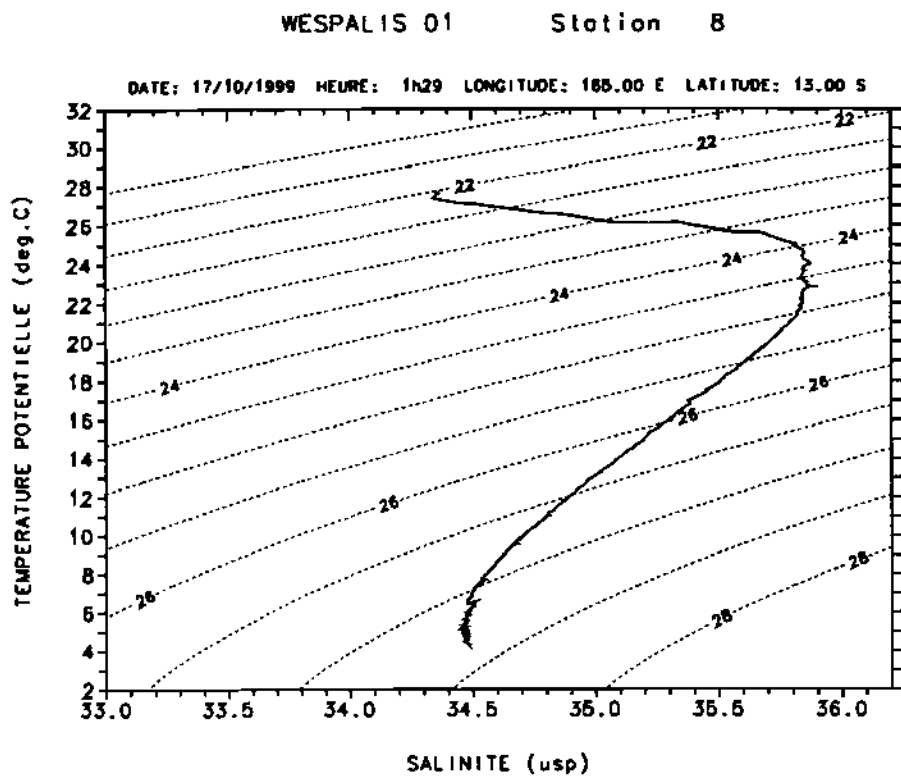


Figure 8



| P. (dbar) | T. (deg.C) | S. (psu) |
|-----------|------------|----------|
| 0 | 27.666 | 34.361 |
| 10 | 27.646 | 34.360 |
| 20 | 27.647 | 34.365 |
| 30 | 27.642 | 34.368 |
| 40 | 27.398 | 34.345 |
| 50 | 27.055 | 34.526 |
| 75 | 26.110 | 35.086 |
| 100 | 25.170 | 35.779 |
| 125 | 23.698 | 35.847 |
| 150 | 22.870 | 35.864 |
| 200 | 20.829 | 35.776 |
| 250 | 17.940 | 35.502 |
| 300 | 14.876 | 35.183 |
| 400 | 10.464 | 34.754 |
| 500 | 8.631 | 34.599 |
| 600 | 7.367 | 34.515 |
| 700 | 6.298 | 34.500 |
| 800 | 5.640 | 34.474 |
| 900 | 4.932 | 34.465 |
| 1000 | 4.401 | 34.482 |

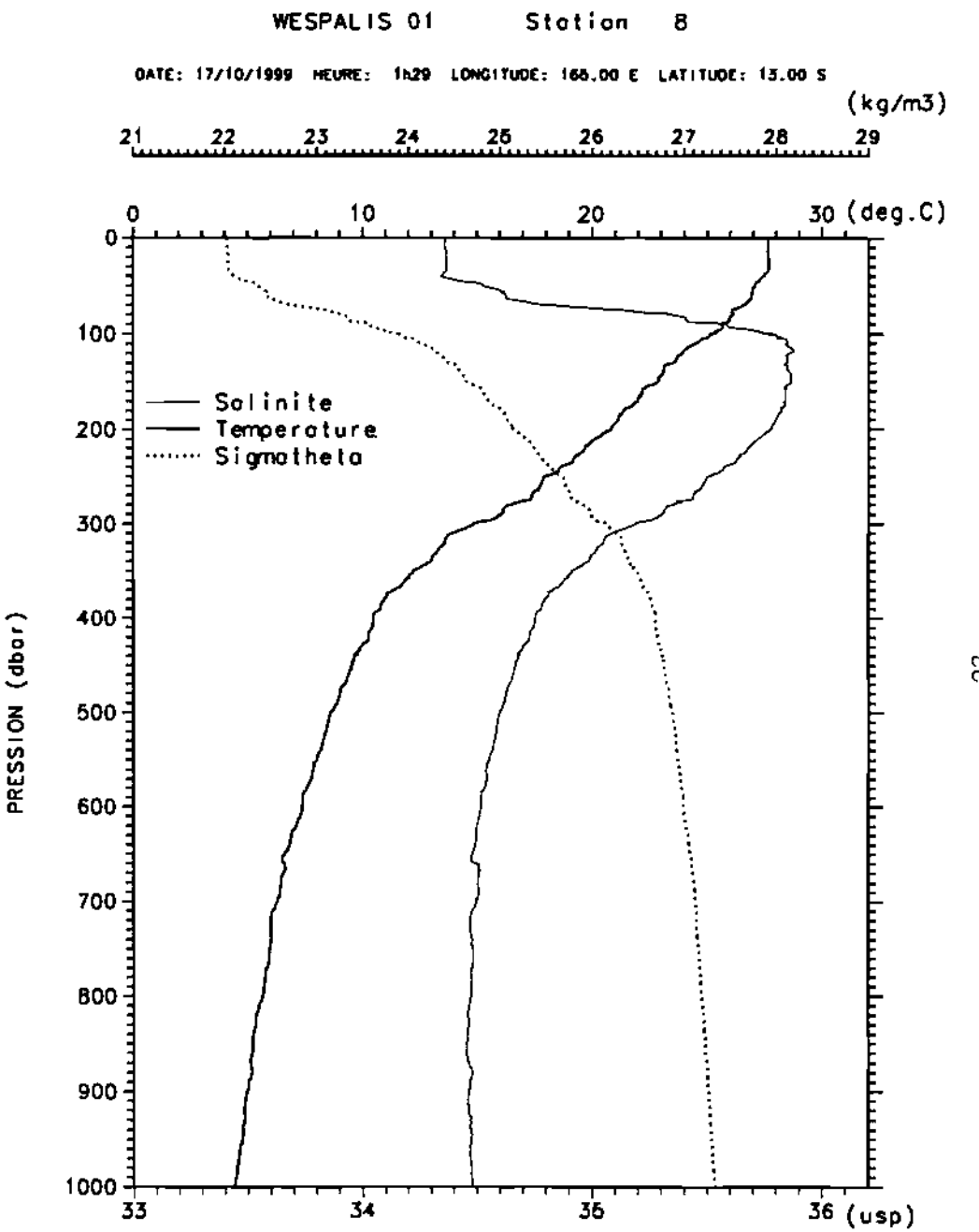


Figure 9

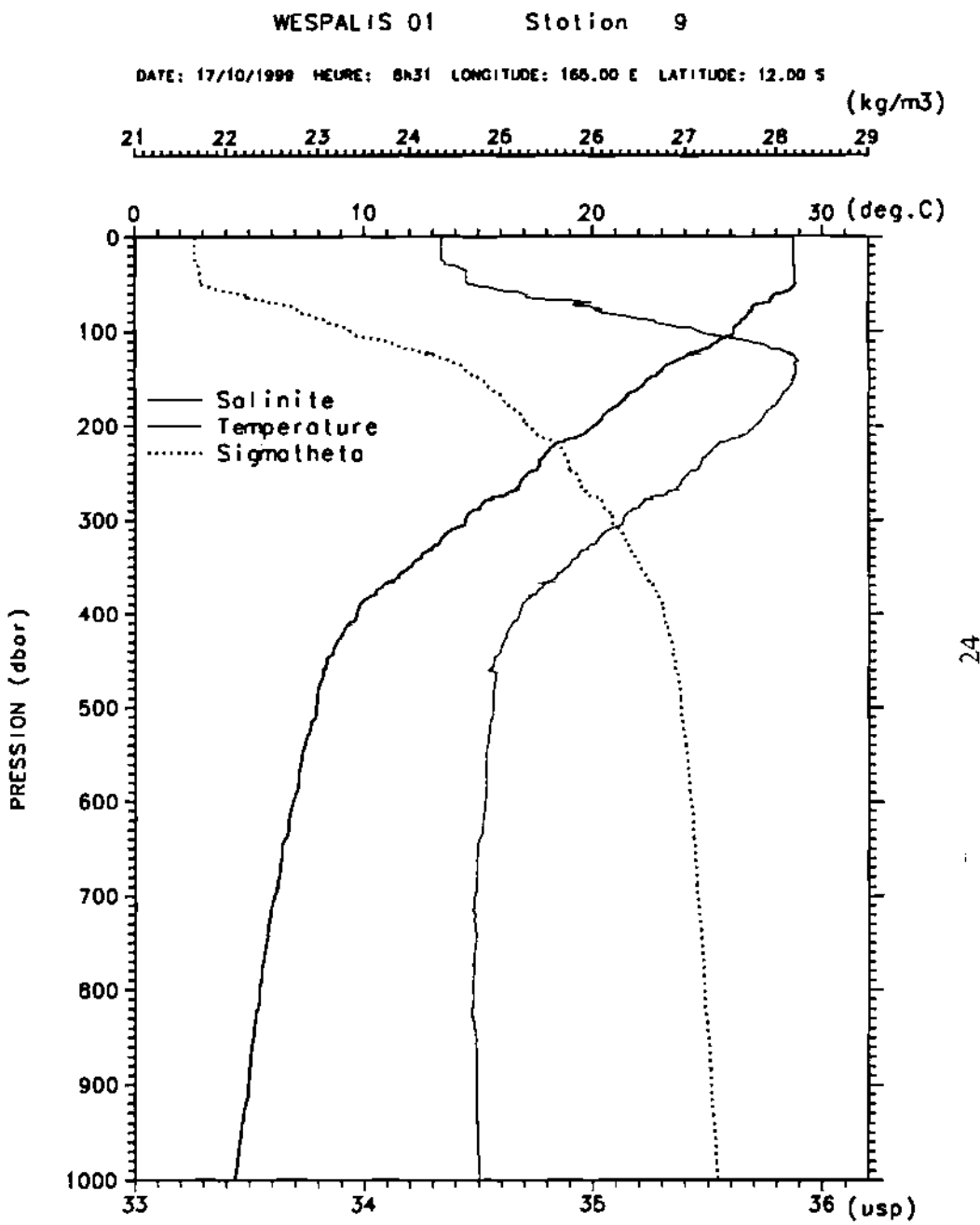
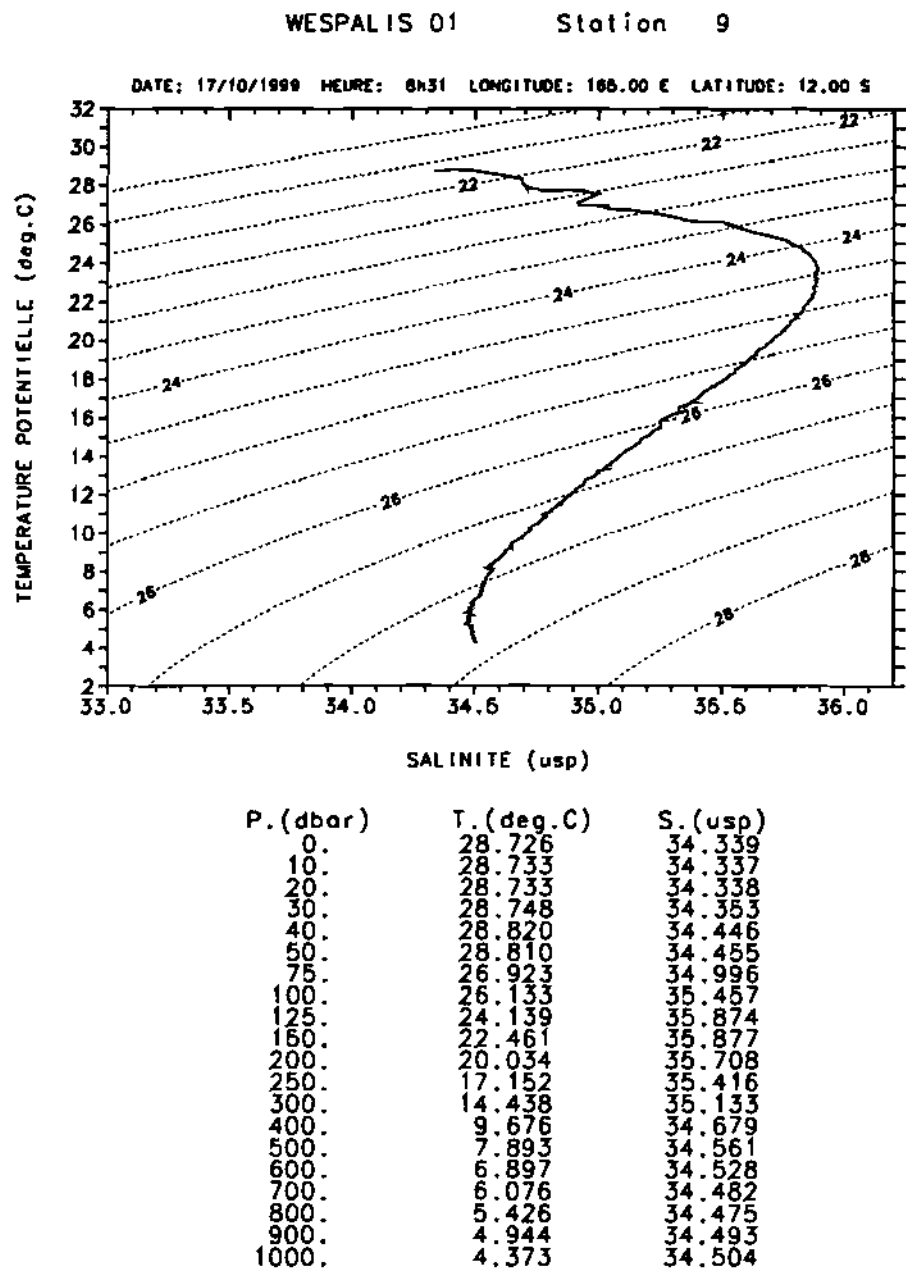


Figure 10

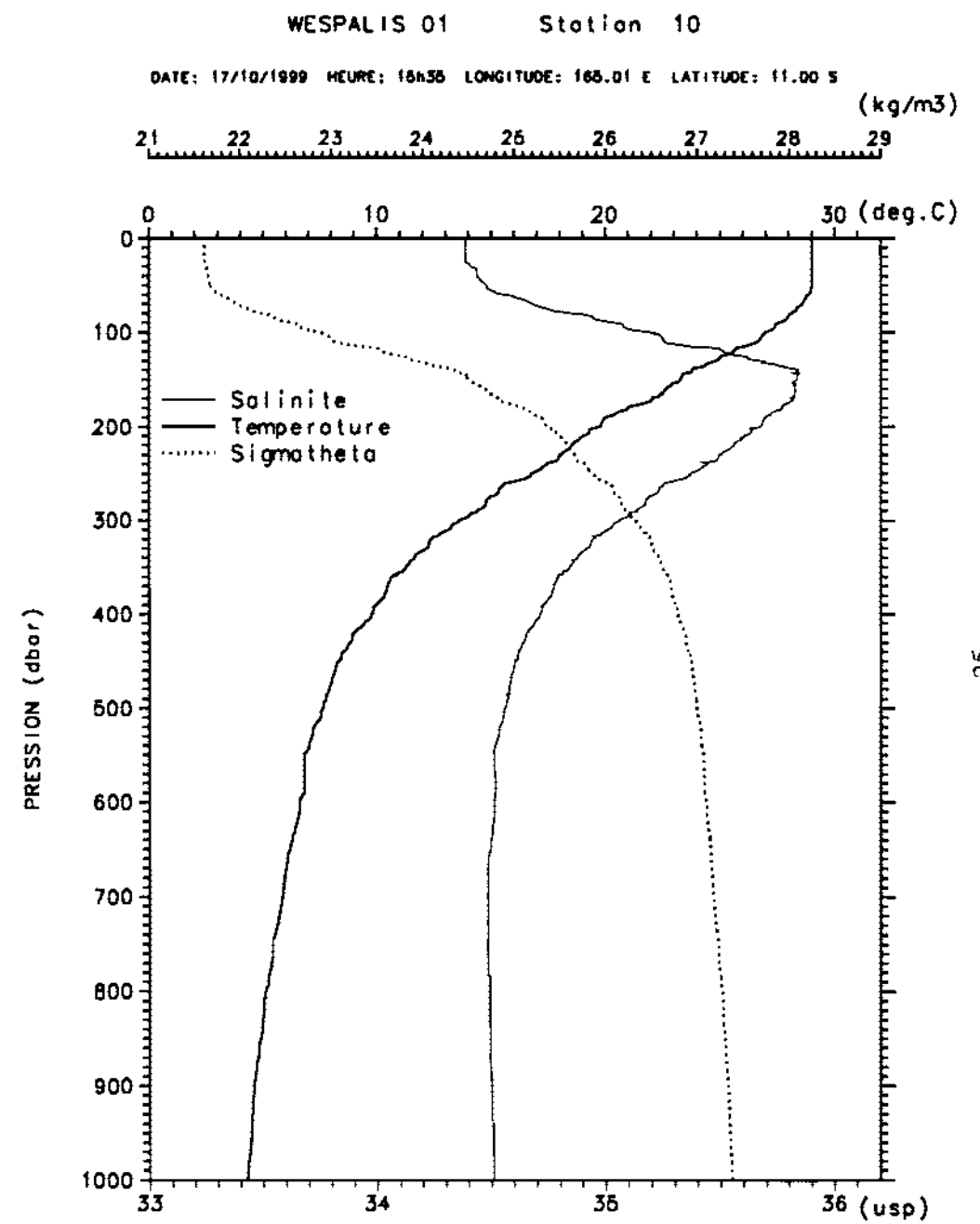
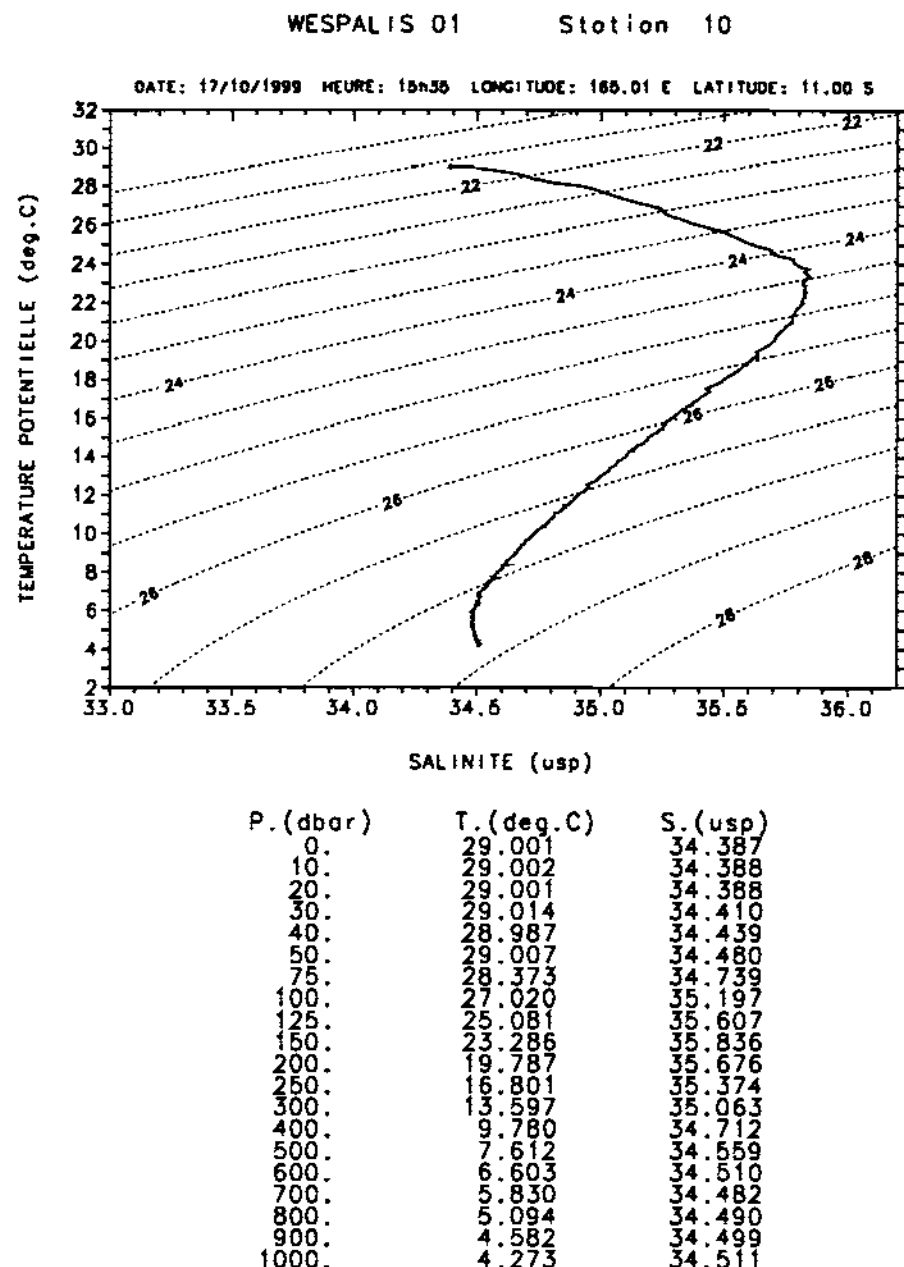


Figure 11

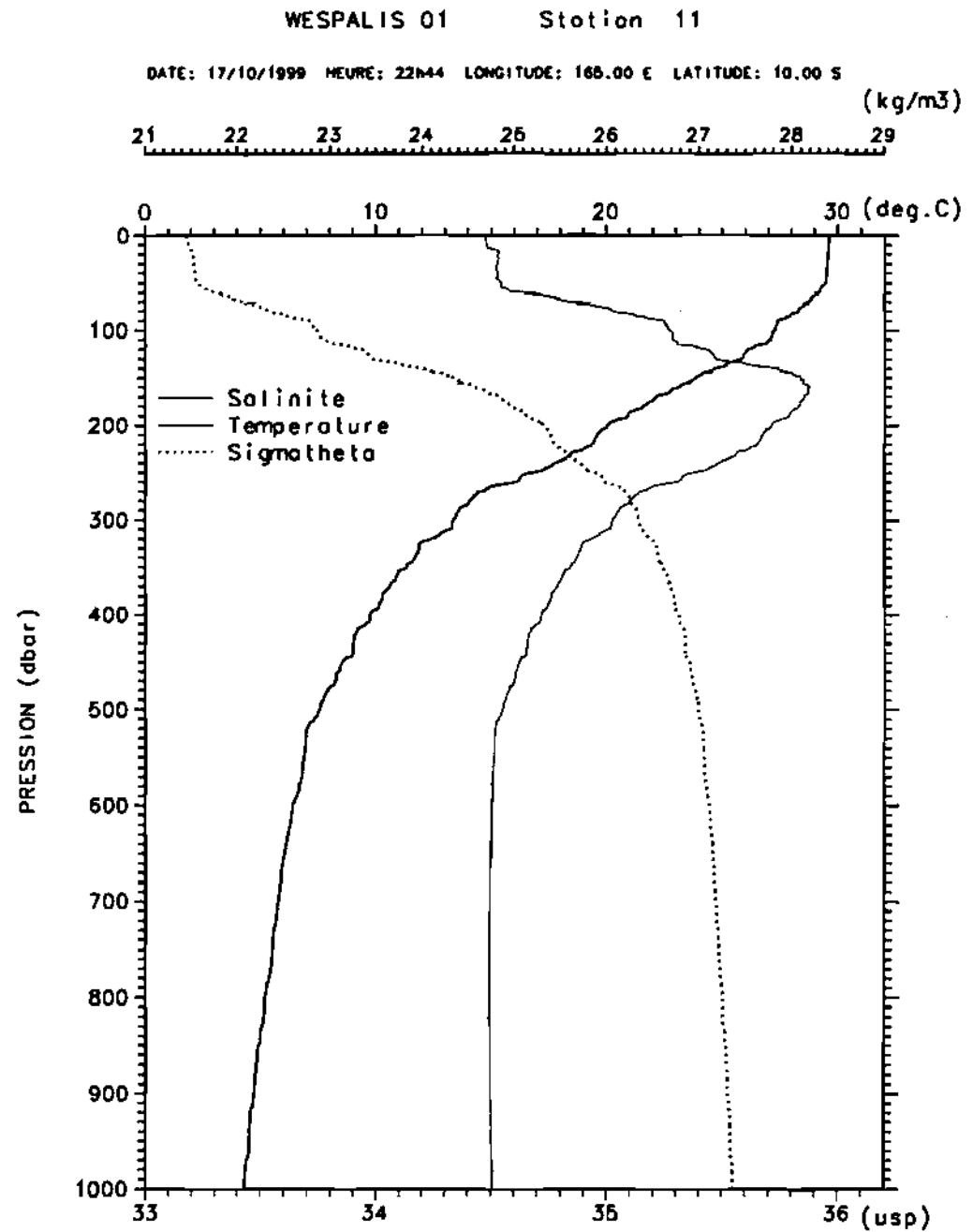
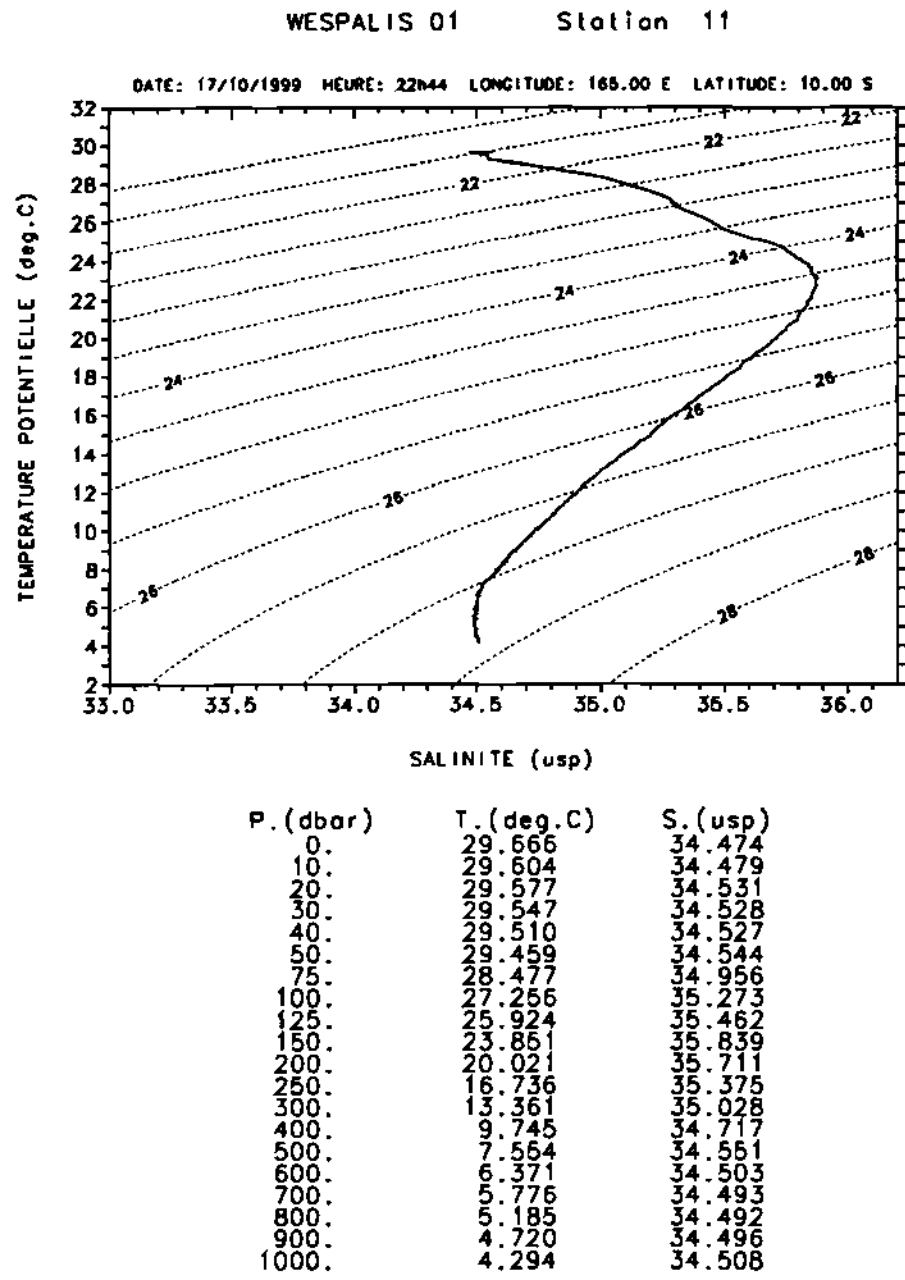


Figure 12

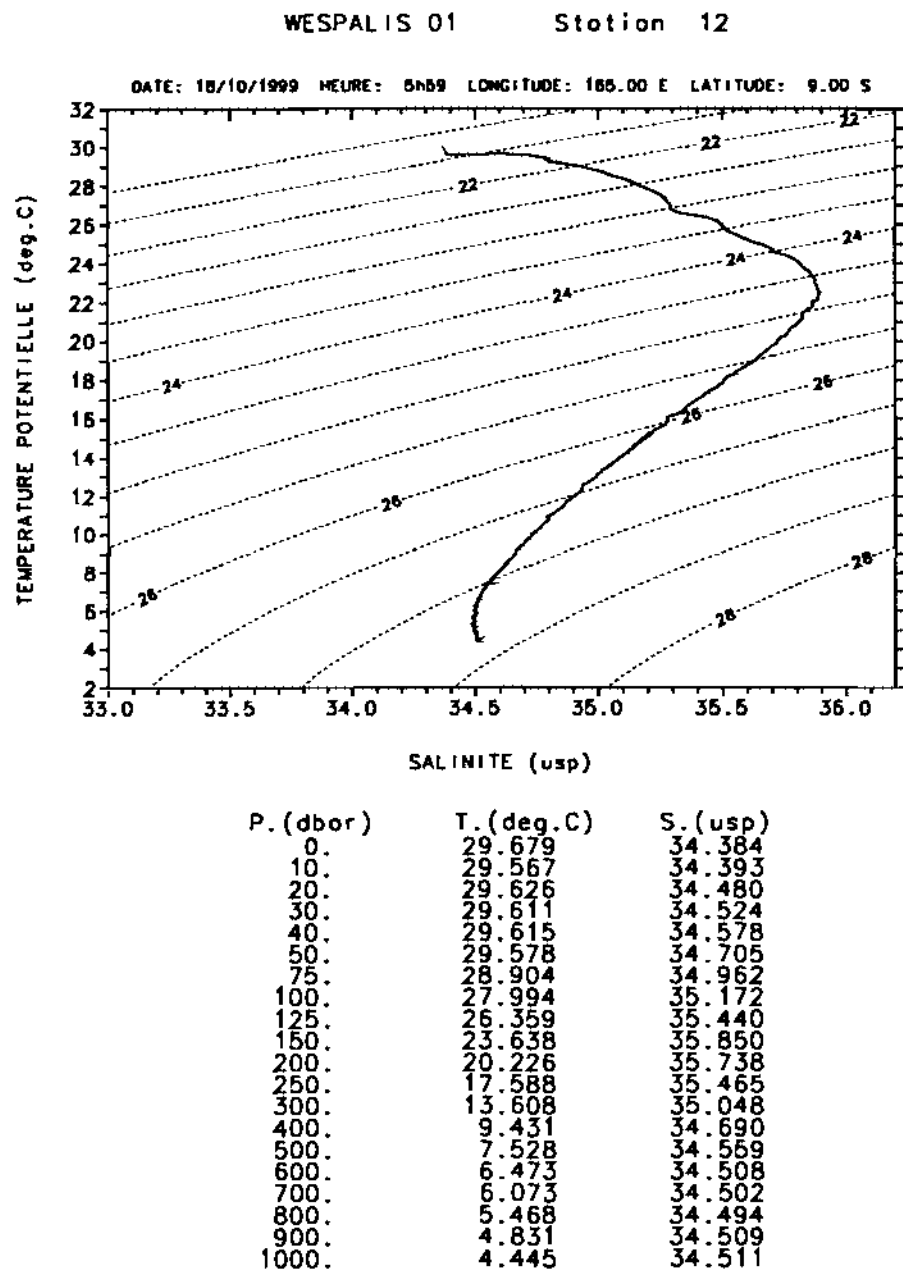
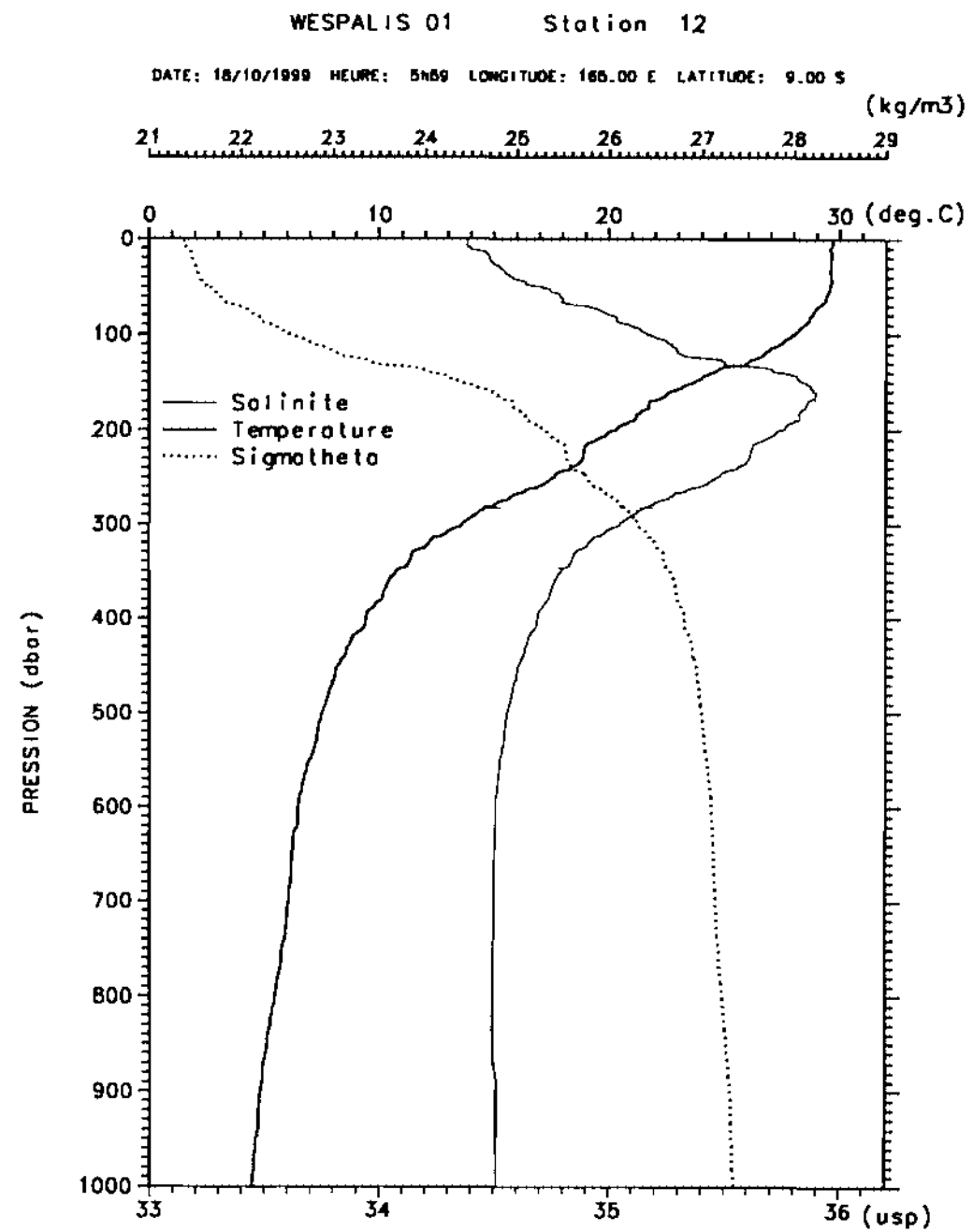


Figure 13



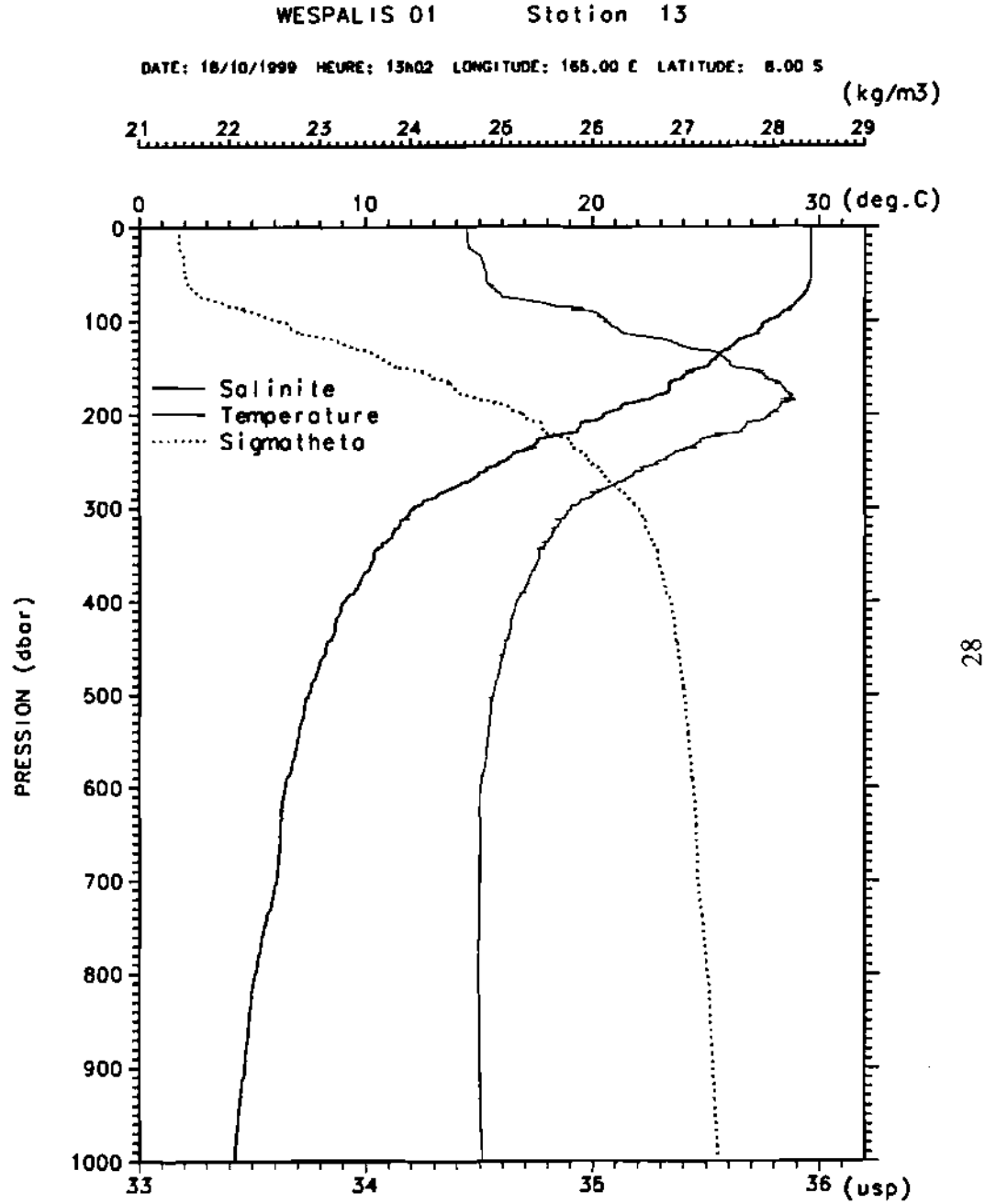
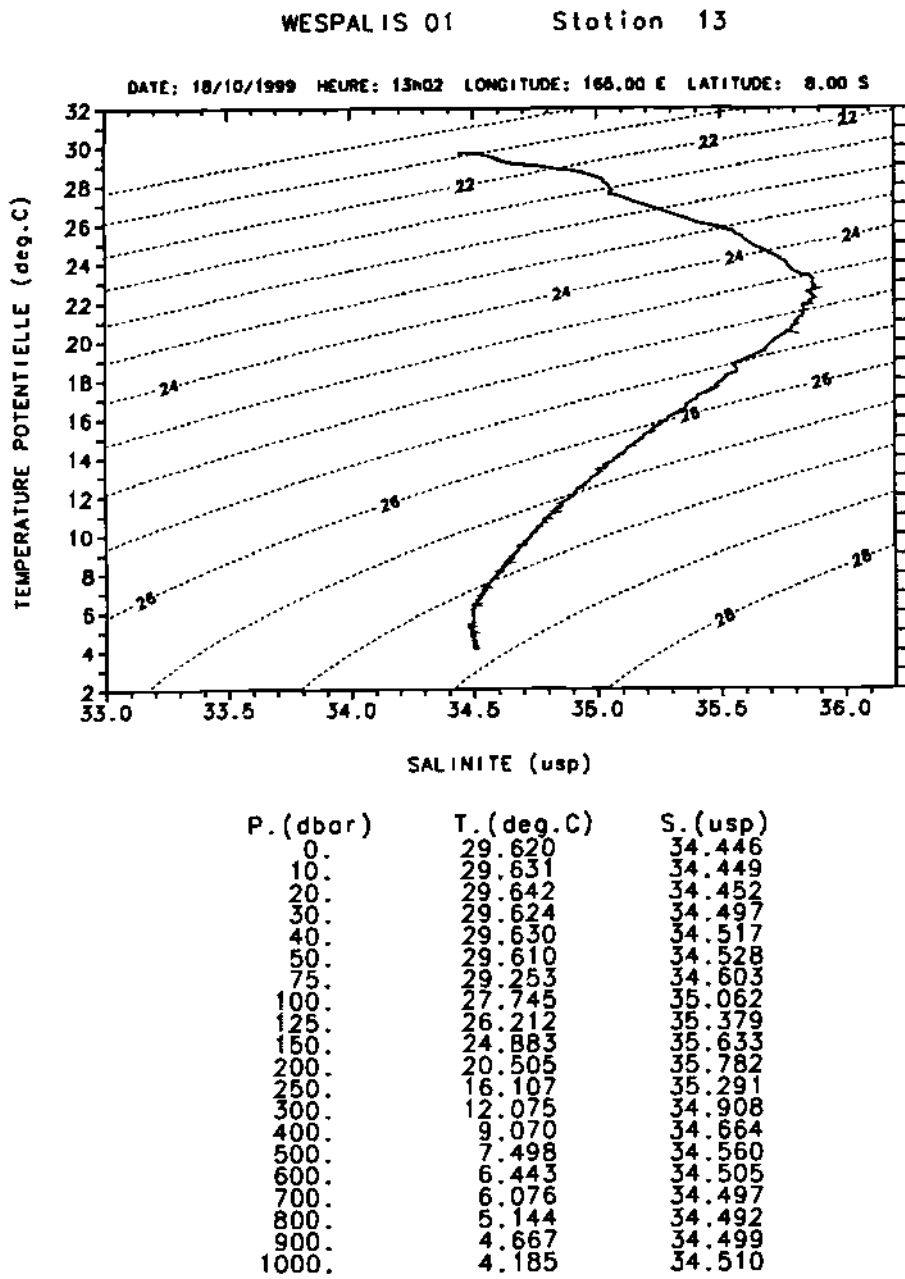
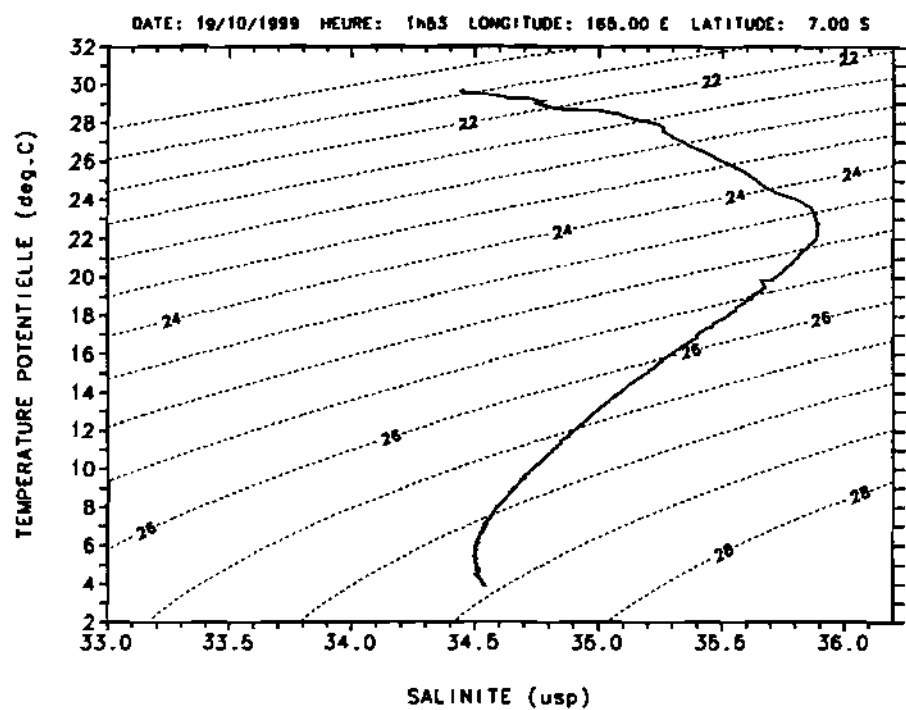


Figure 14

WESPALIS 01 Station 14



| P. (dbar) | T. (deg.C) | S. (psu) |
|-----------|------------|----------|
| 0 | 29.750 | 34.450 |
| 10 | 29.579 | 34.446 |
| 20 | 29.571 | 34.447 |
| 30 | 29.566 | 34.449 |
| 40 | 29.566 | 34.451 |
| 50 | 29.561 | 34.460 |
| 75 | 29.097 | 34.752 |
| 100 | 28.431 | 35.087 |
| 125 | 27.055 | 35.338 |
| 150 | 25.164 | 35.627 |
| 200 | 21.785 | 35.867 |
| 250 | 16.861 | 35.396 |
| 300 | 13.312 | 35.012 |
| 400 | 9.071 | 34.667 |
| 500 | 7.441 | 34.562 |
| 600 | 6.408 | 34.519 |
| 700 | 5.767 | 34.505 |
| 800 | 5.184 | 34.507 |
| 900 | 4.768 | 34.515 |
| 1000 | 4.323 | 34.521 |
| 1100 | 3.929 | 34.540 |

WESPALIS 01 Station 14

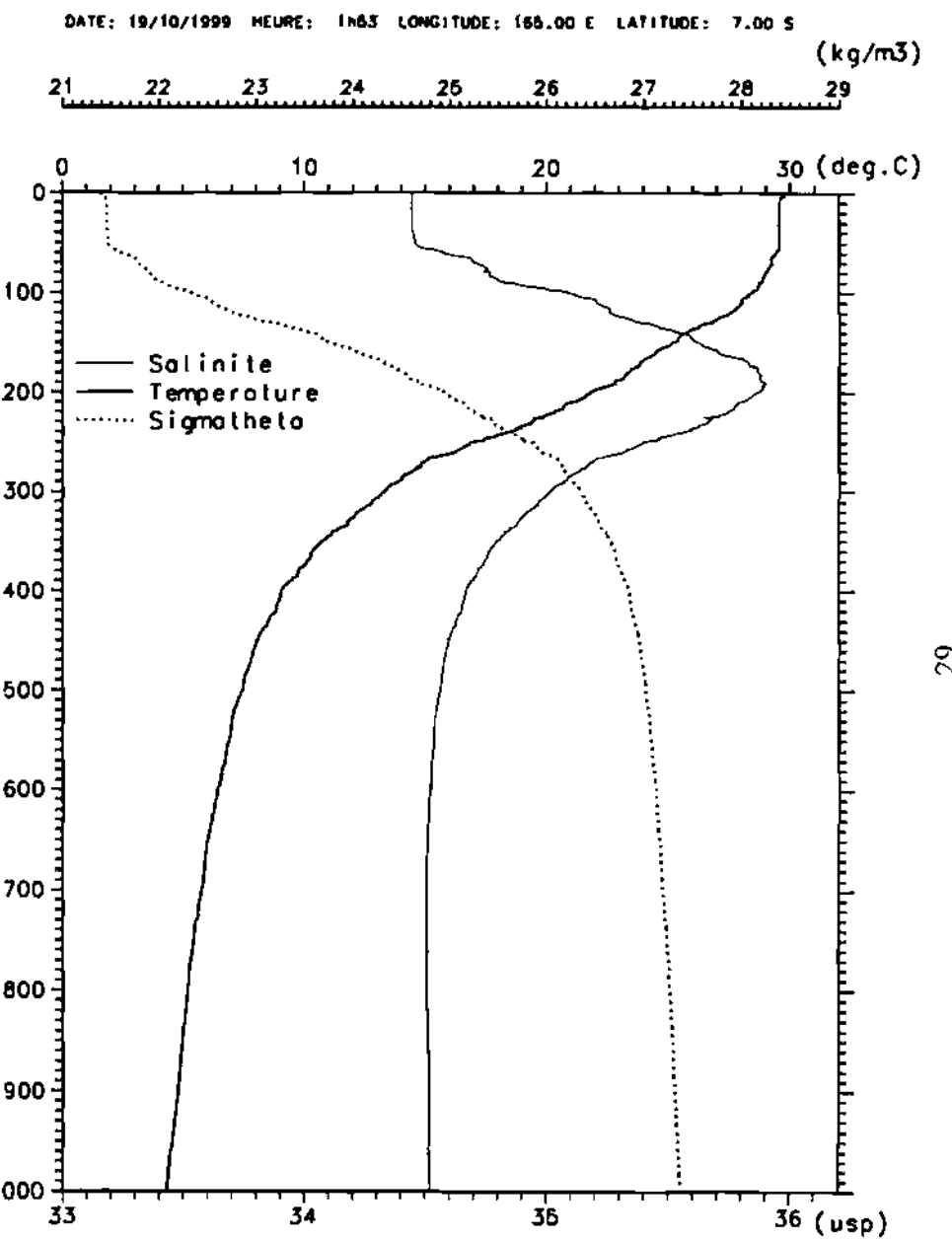


Figure 15

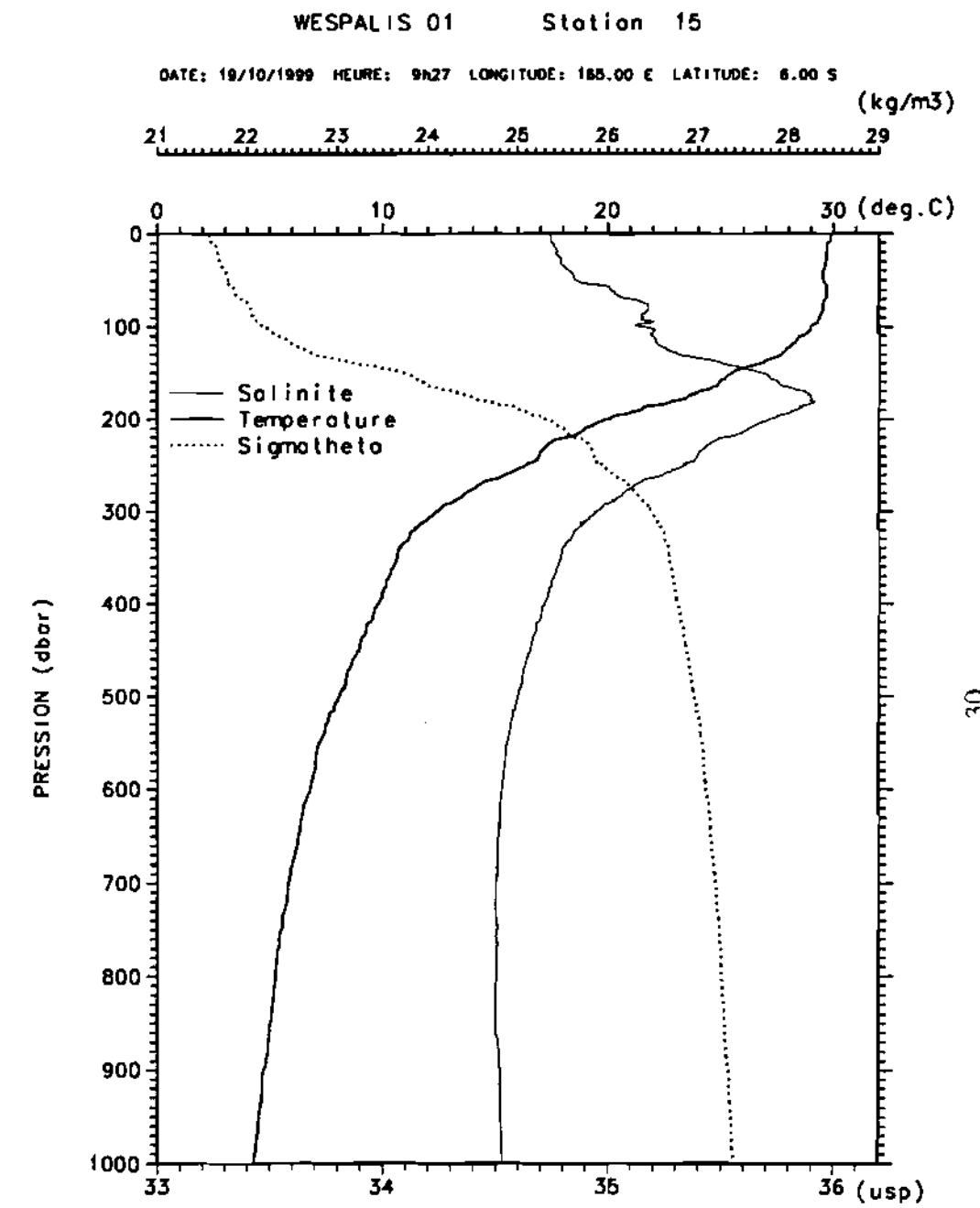
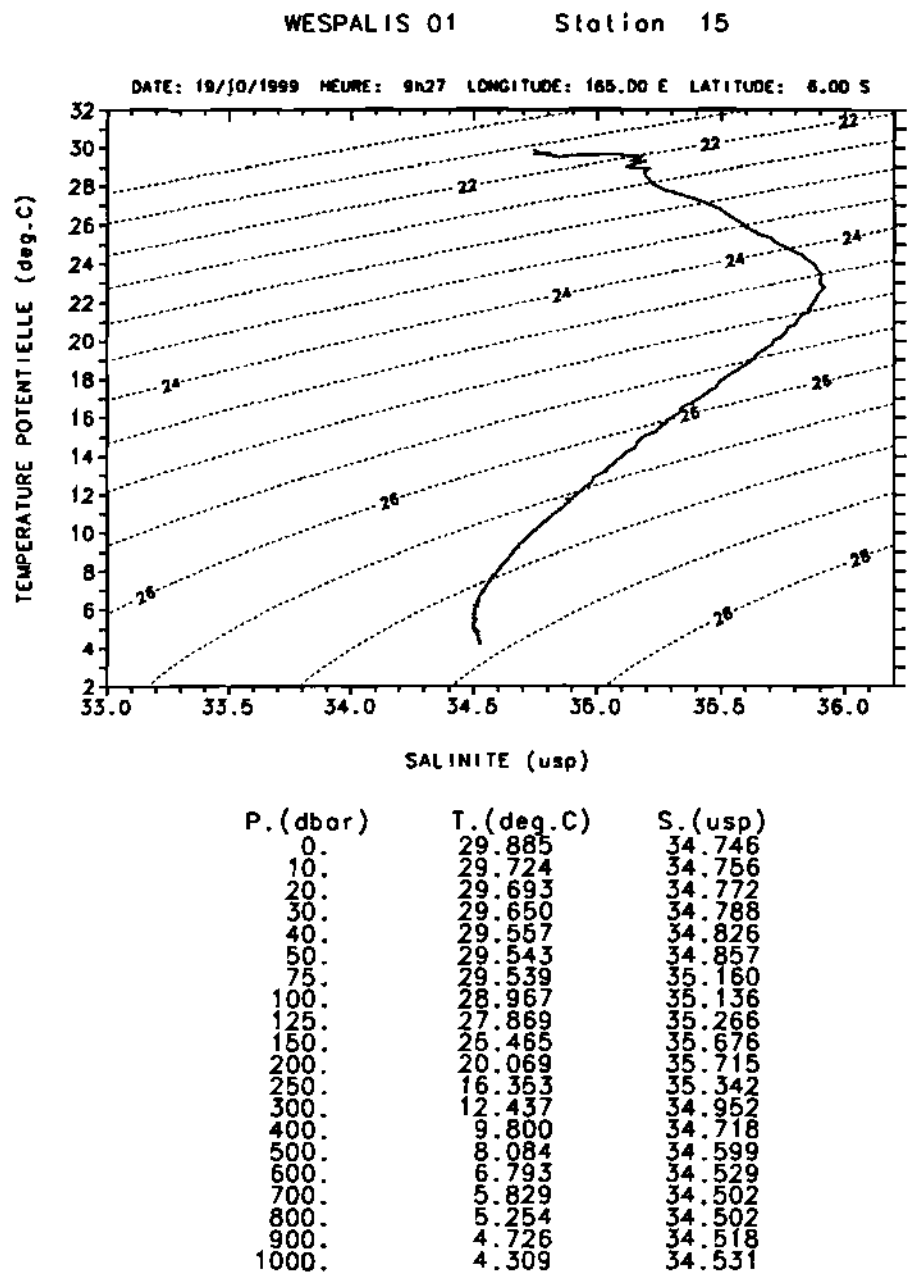
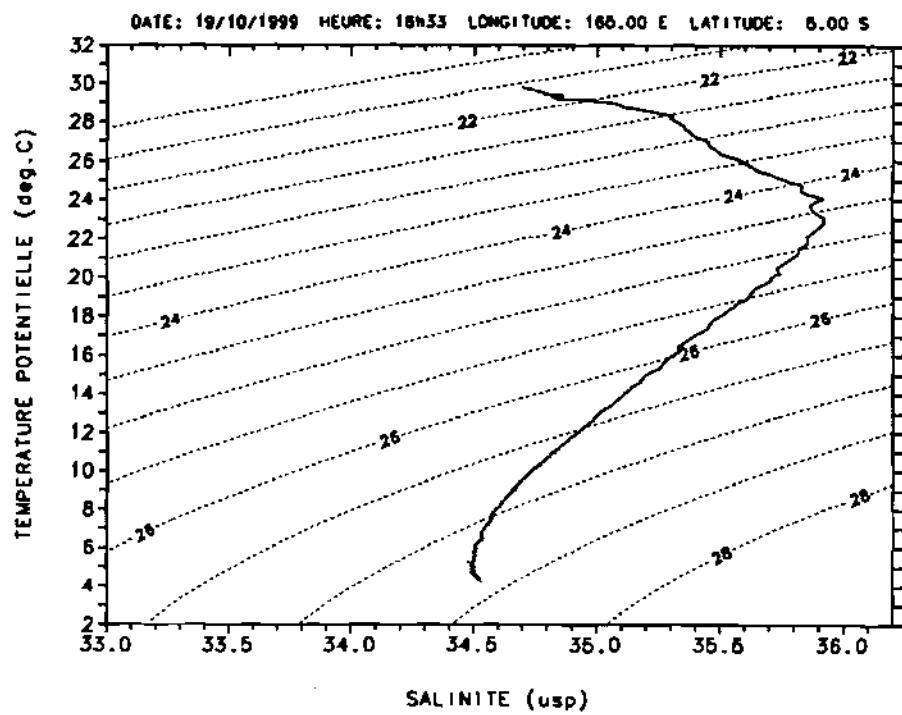


Figure 16

WESPALIS 01 Station 16



| P. (dbar) | T. (deg.C) | S. (psu) |
|-----------|------------|----------|
| 0. | 29.711 | 34.703 |
| 10. | 29.725 | 34.704 |
| 20. | 29.722 | 34.704 |
| 30. | 29.508 | 34.777 |
| 40. | 29.222 | 34.840 |
| 50. | 29.192 | 34.912 |
| 75. | 28.962 | 35.062 |
| 100. | 28.388 | 35.278 |
| 125. | 27.244 | 35.400 |
| 150. | 25.612 | 35.643 |
| 200. | 20.507 | 35.730 |
| 250. | 15.039 | 35.199 |
| 300. | 11.850 | 34.904 |
| 400. | 9.333 | 34.681 |
| 500. | 8.444 | 34.620 |
| 600. | 7.540 | 34.575 |
| 700. | 6.661 | 34.537 |
| 800. | 5.703 | 34.506 |
| 900. | 4.875 | 34.501 |
| 1000. | 4.489 | 34.519 |

WESPALIS 01 Station 16

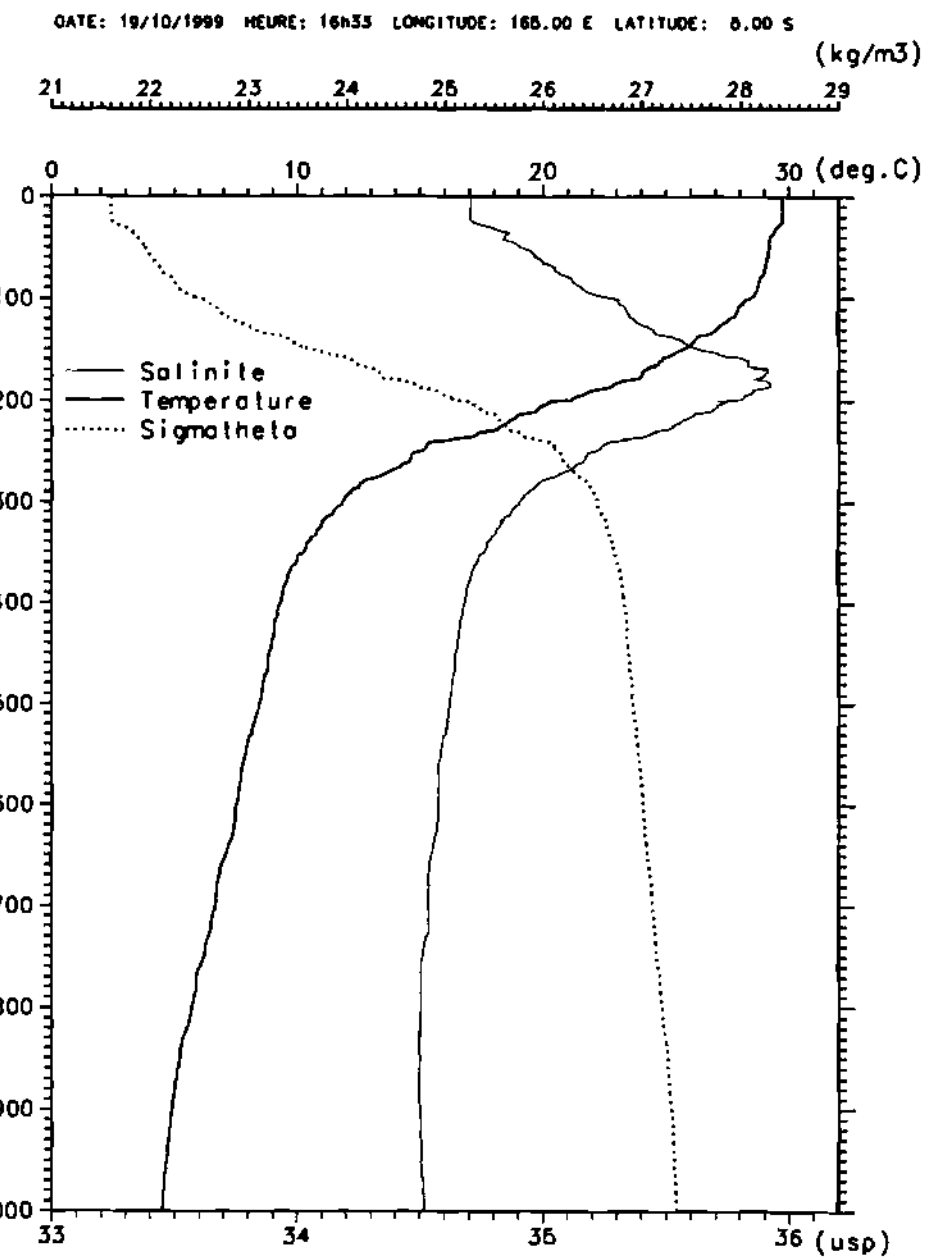


Figure 17

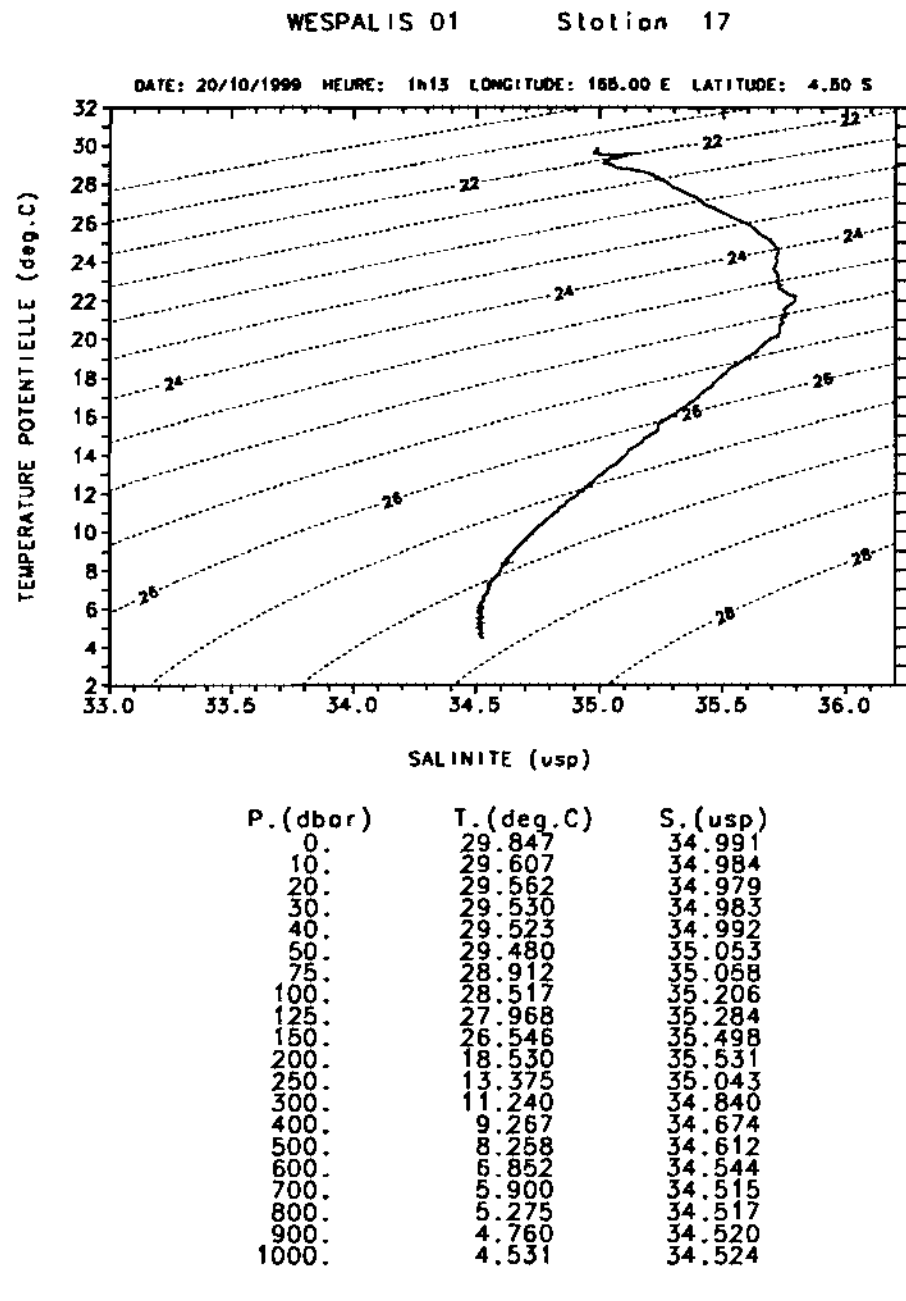
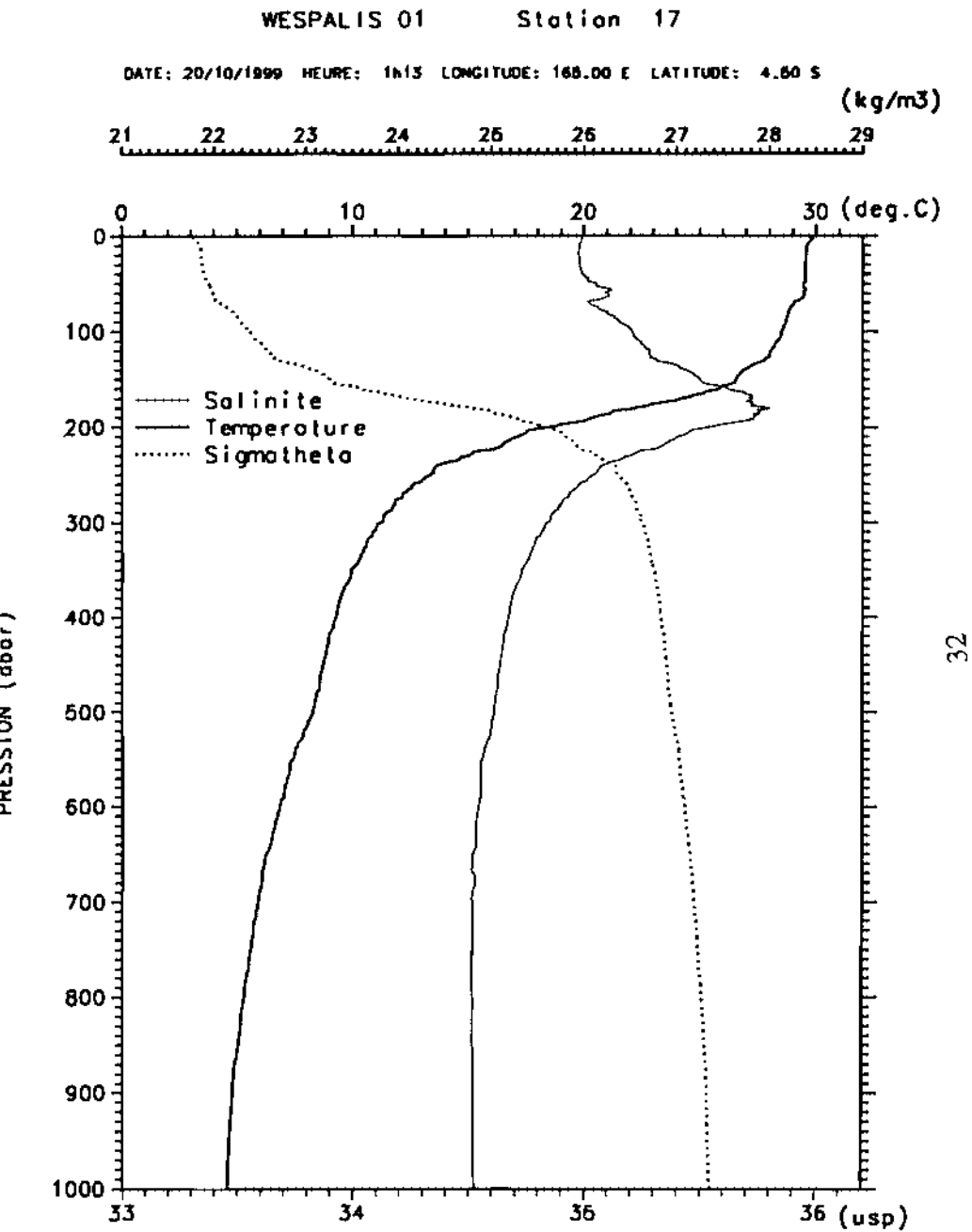


Figure 18



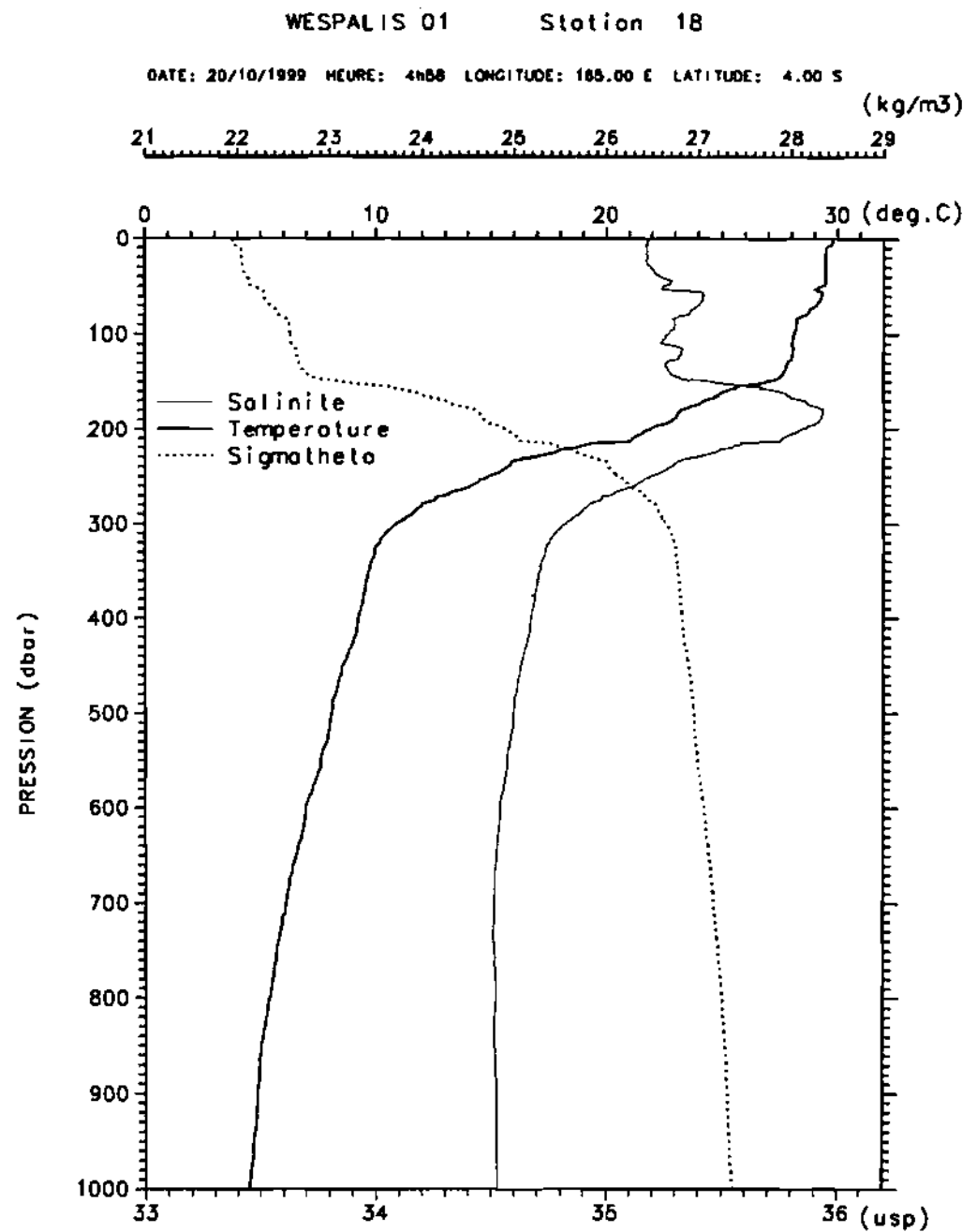
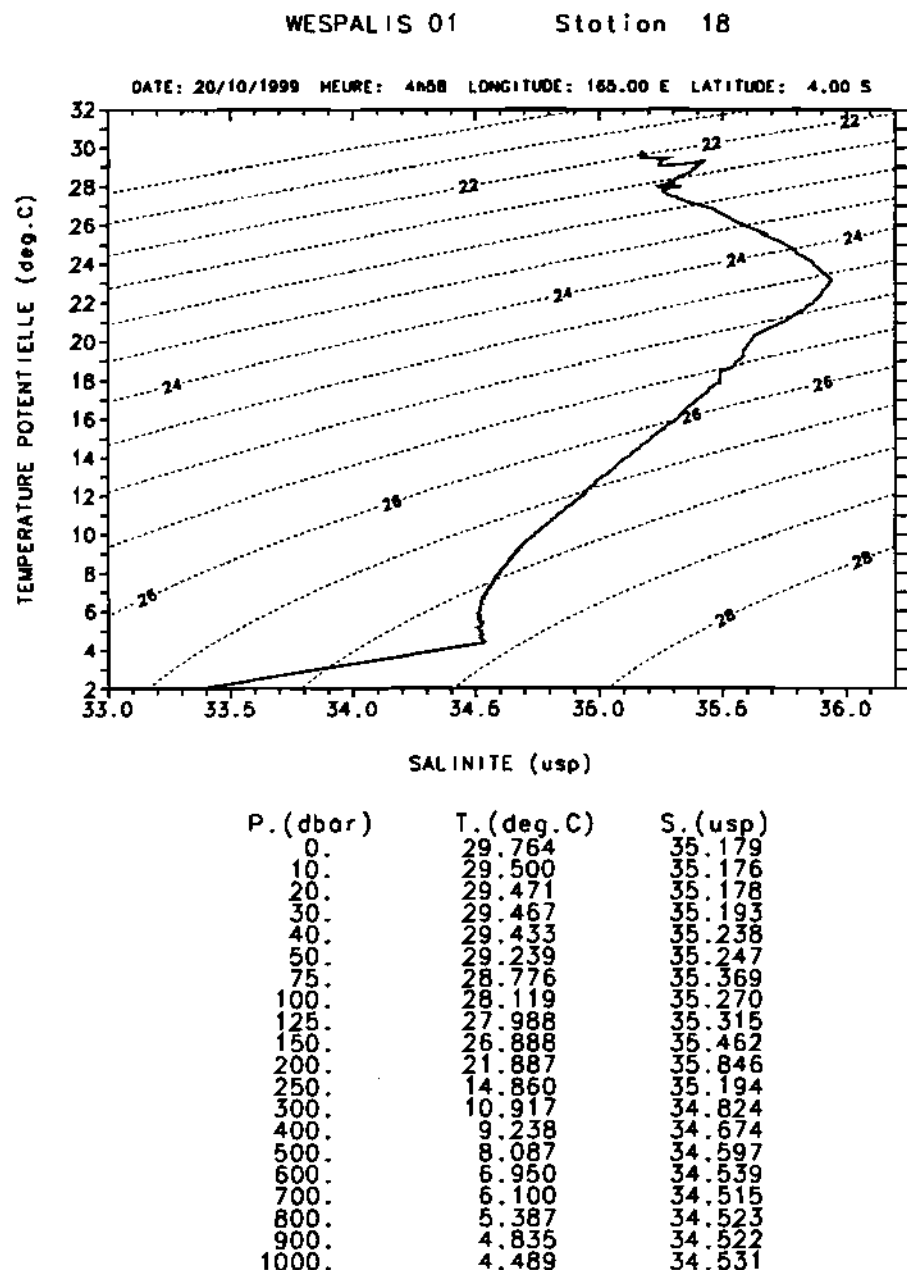
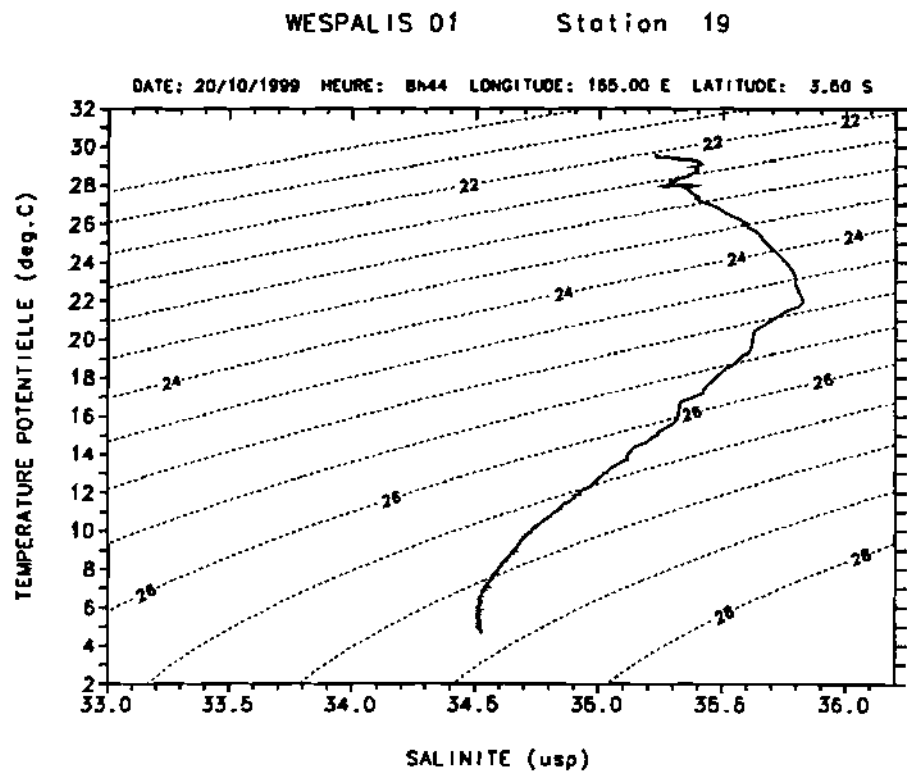


Figure 19



| P. (dbar) | T. (deg.C) | S. (usp) |
|-----------|------------|----------|
| 0. | 29.578 | 35.230 |
| 10. | 29.536 | 35.230 |
| 20. | 29.441 | 35.235 |
| 30. | 29.373 | 35.314 |
| 40. | 29.140 | 35.411 |
| 50. | 29.014 | 35.396 |
| 75. | 28.288 | 35.307 |
| 100. | 28.067 | 35.359 |
| 125. | 27.939 | 35.358 |
| 150. | 27.450 | 35.392 |
| 200. | 16.757 | 35.327 |
| 250. | 11.598 | 34.884 |
| 300. | 10.269 | 34.744 |
| 400. | 9.381 | 34.681 |
| 500. | 7.838 | 34.581 |
| 600. | 6.909 | 34.533 |
| 700. | 6.157 | 34.515 |
| 800. | 5.554 | 34.513 |
| 900. | 5.177 | 34.517 |
| 1000. | 4.731 | 34.526 |

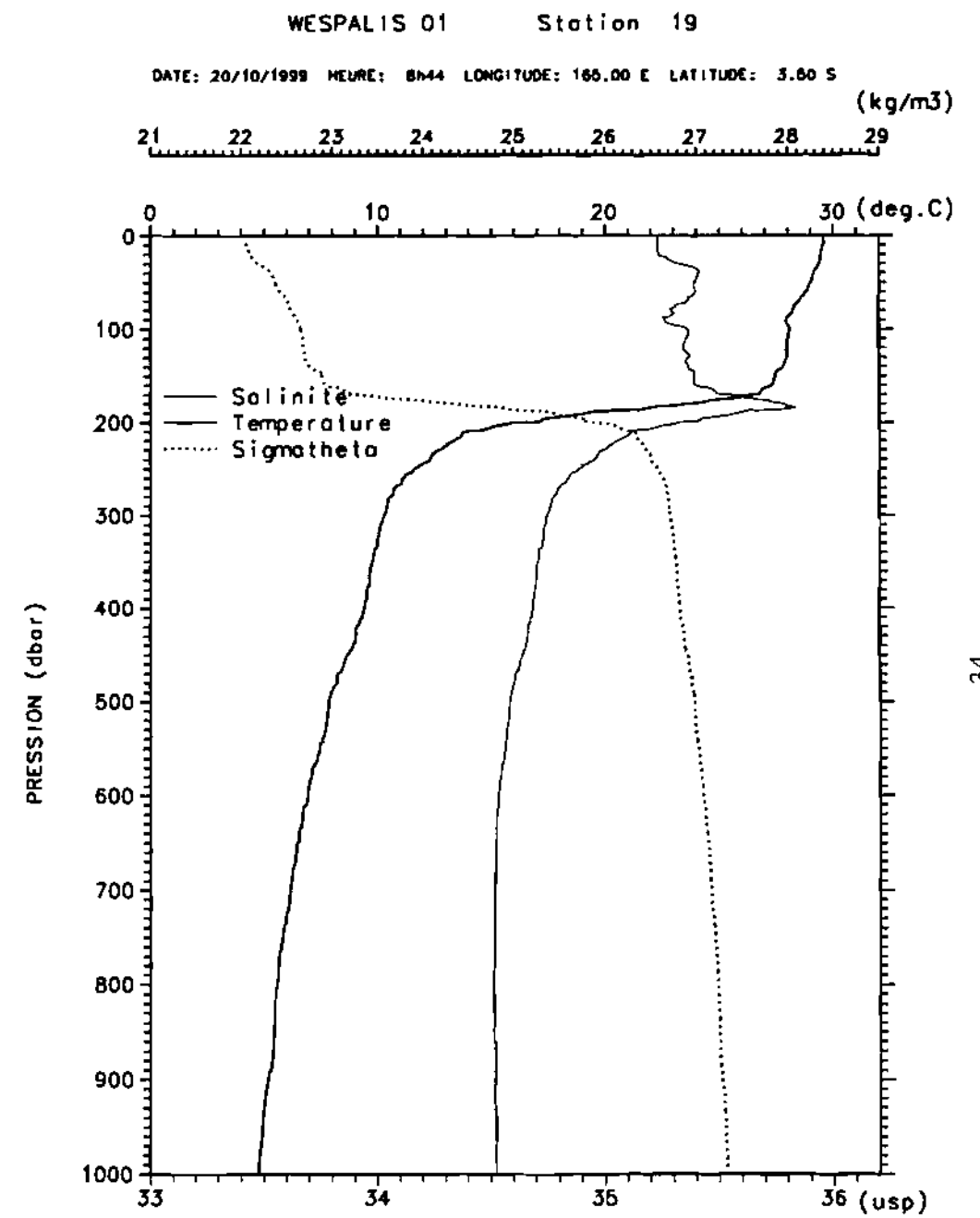
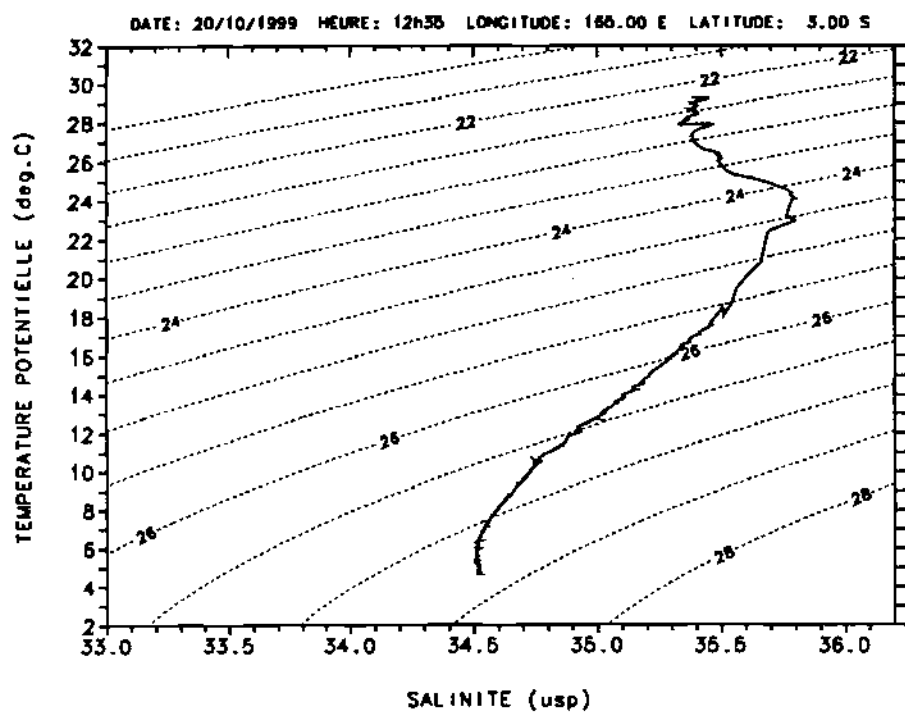


Figure 20

WESPALIS 01 Station 20



| P. (dbar) | T. (deg.C) | S. (psu) |
|-----------|------------|----------|
| 0. | 29.285 | 35.388 |
| 10. | 29.290 | 35.388 |
| 20. | 29.290 | 35.390 |
| 30. | 29.293 | 35.413 |
| 40. | 29.291 | 35.426 |
| 50. | 29.258 | 35.446 |
| 75. | 28.924 | 35.402 |
| 100. | 28.458 | 35.410 |
| 125. | 27.901 | 35.367 |
| 150. | 27.757 | 35.436 |
| 200. | 17.028 | 35.392 |
| 250. | 11.250 | 34.833 |
| 300. | 10.484 | 34.746 |
| 400. | 9.670 | 34.702 |
| 500. | 7.842 | 34.578 |
| 600. | 6.682 | 34.527 |
| 700. | 6.074 | 34.513 |
| 800. | 5.448 | 34.511 |
| 900. | 5.114 | 34.519 |
| 1000. | 4.673 | 34.527 |

WESPALIS 01 Station 20

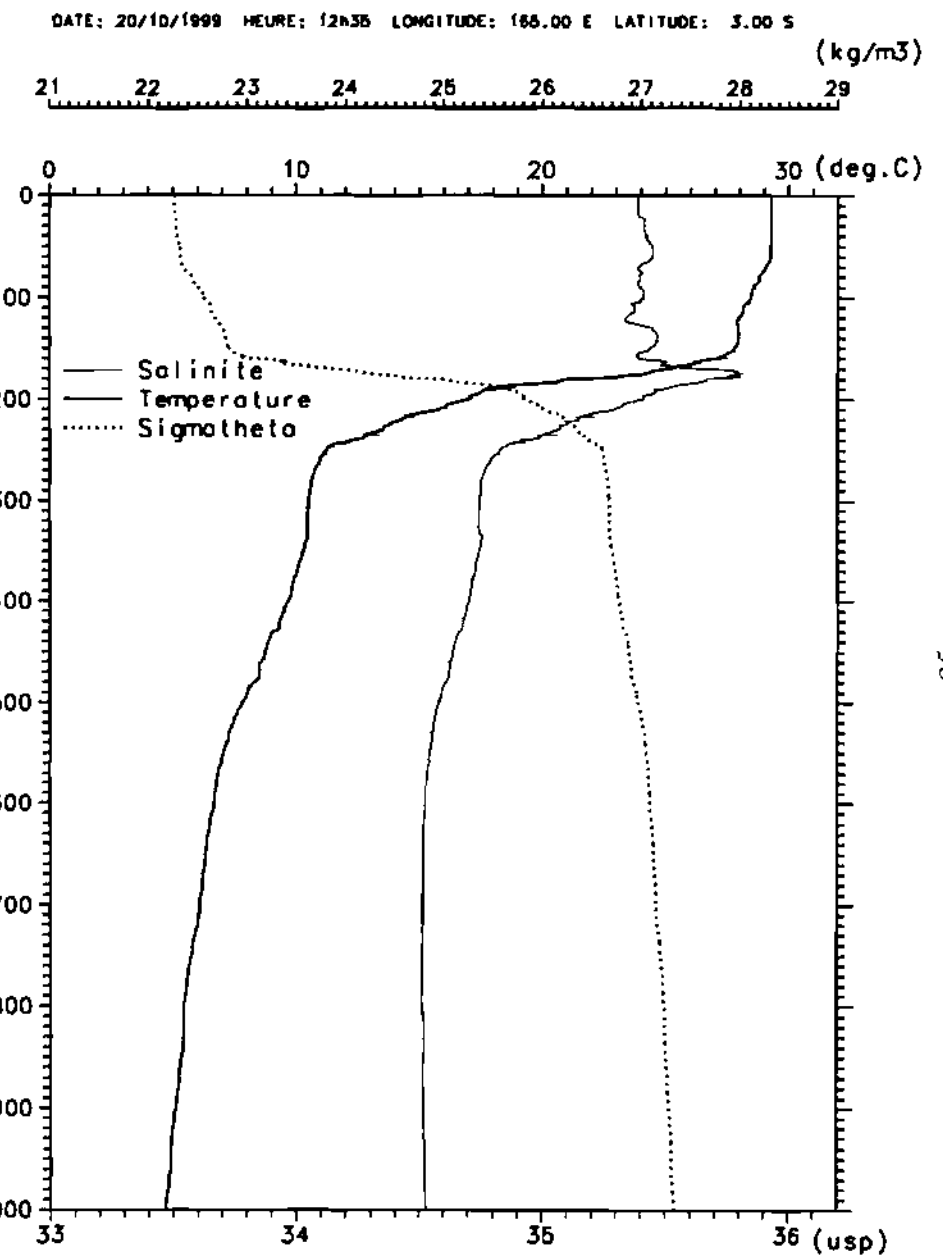


Figure 21

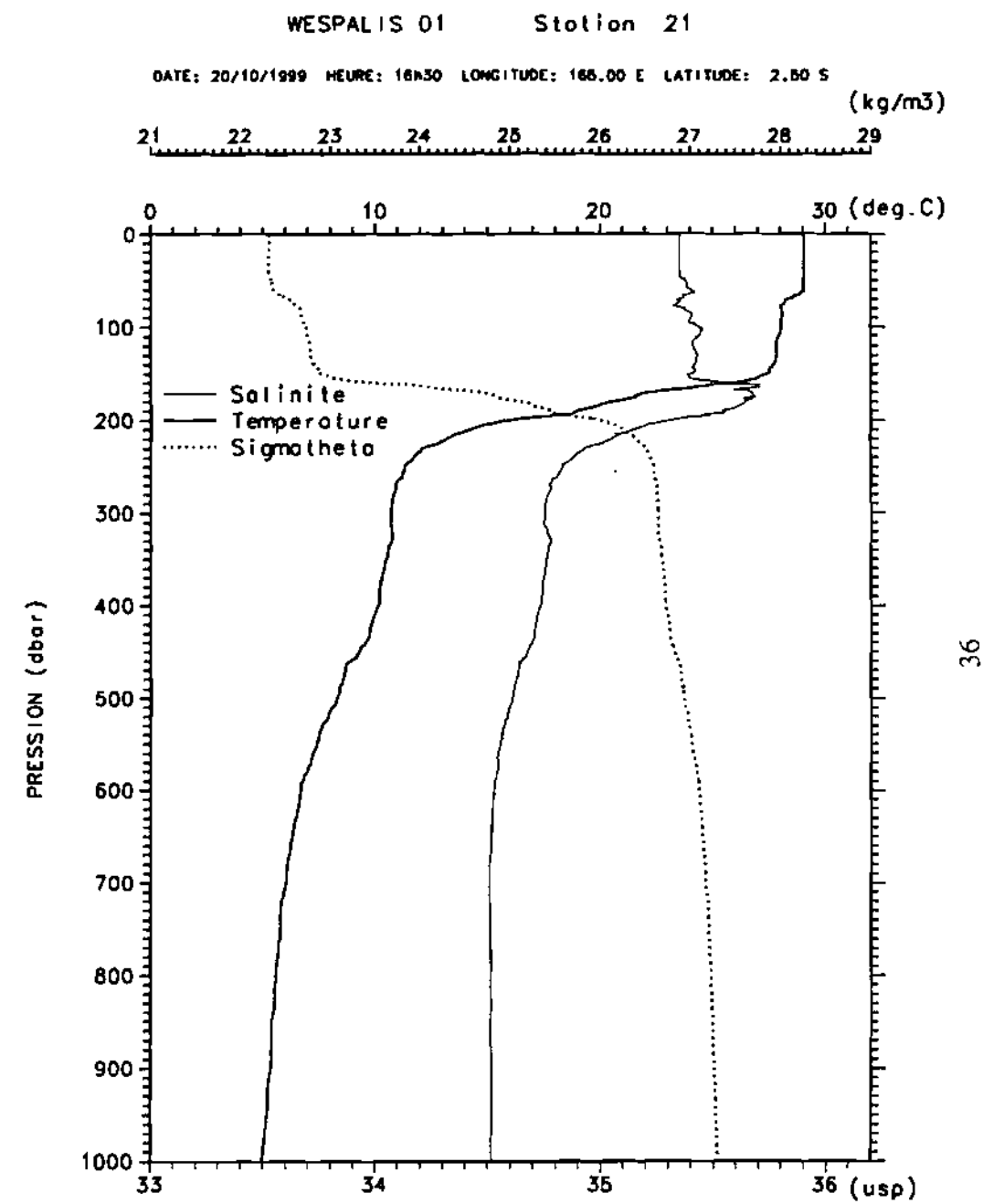
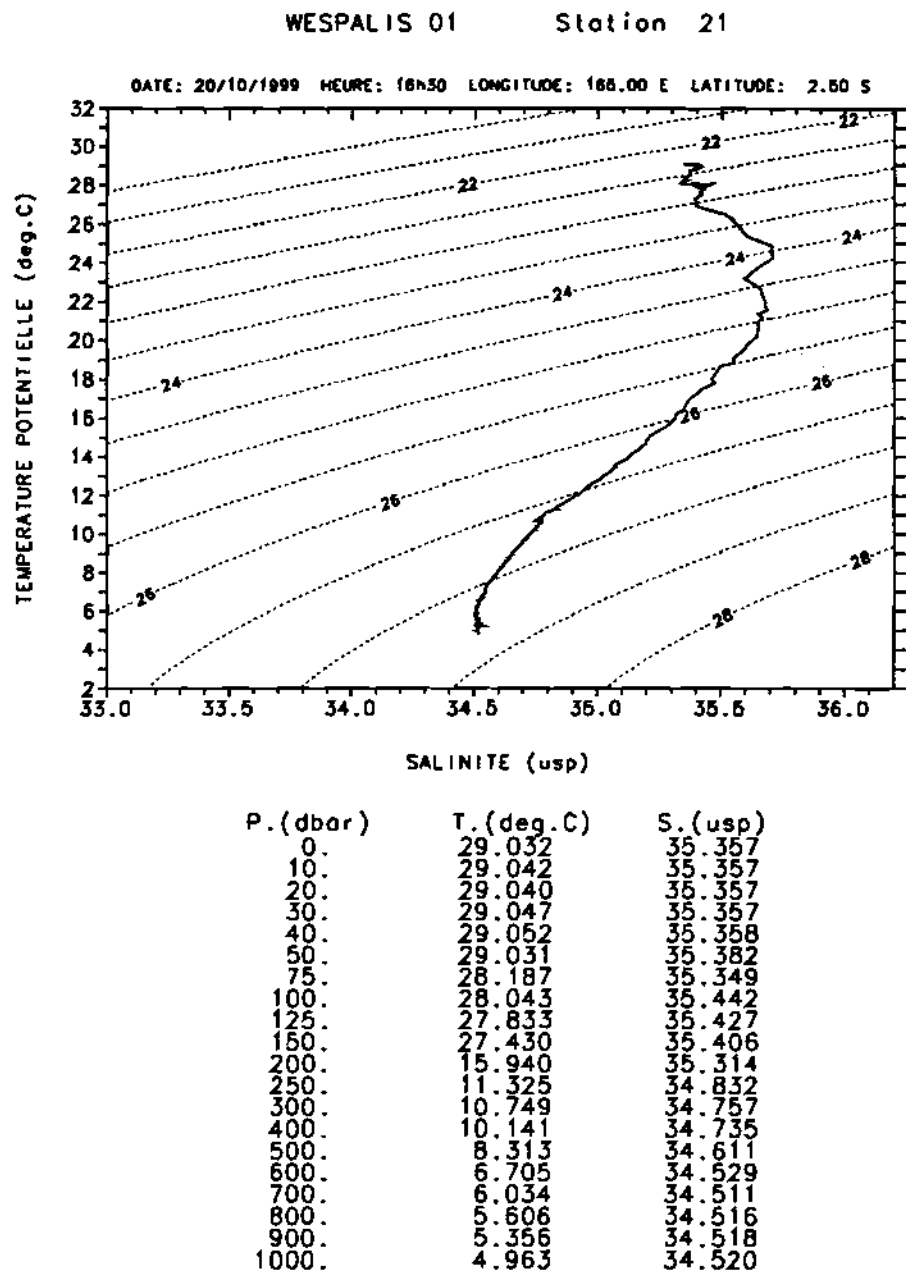


Figure 22

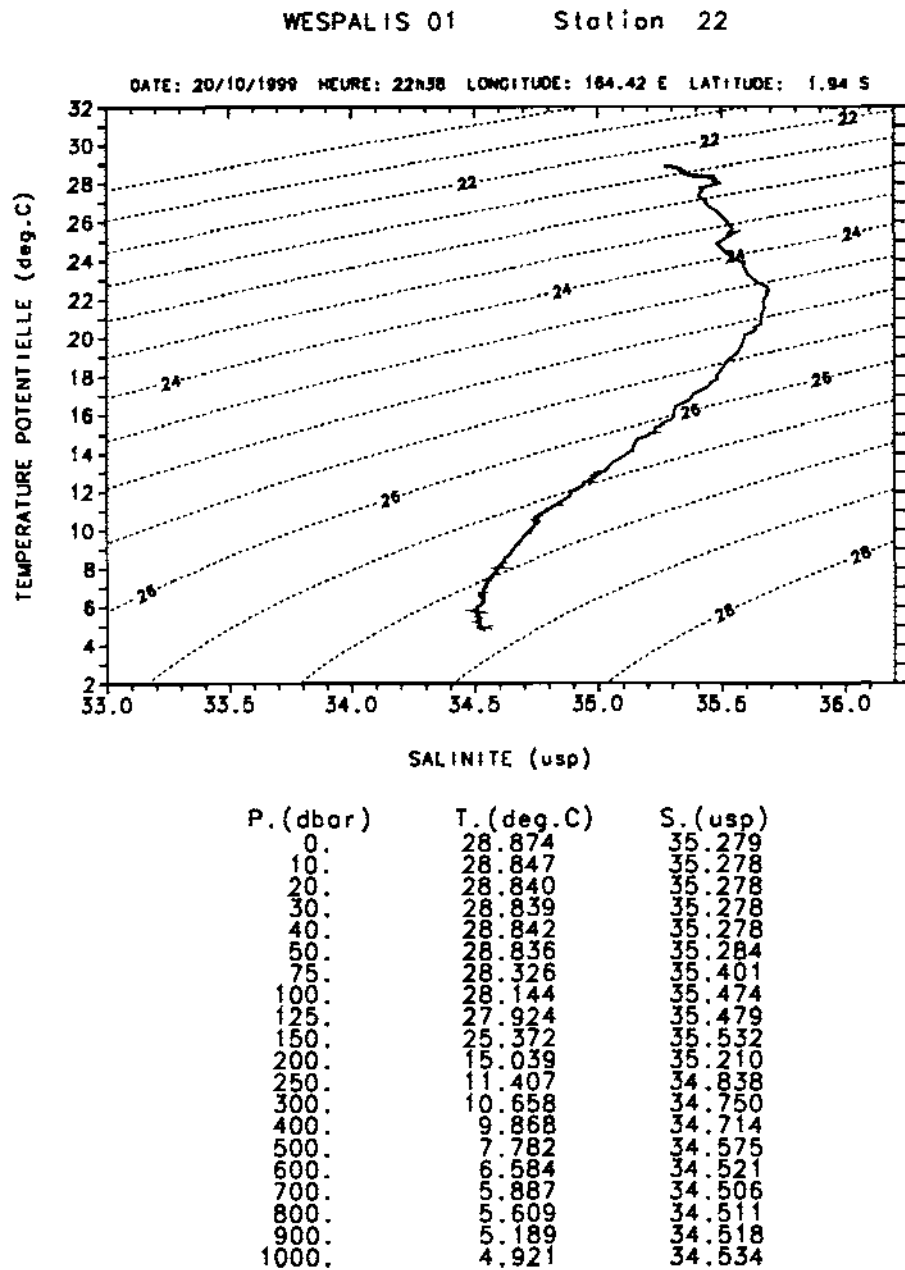
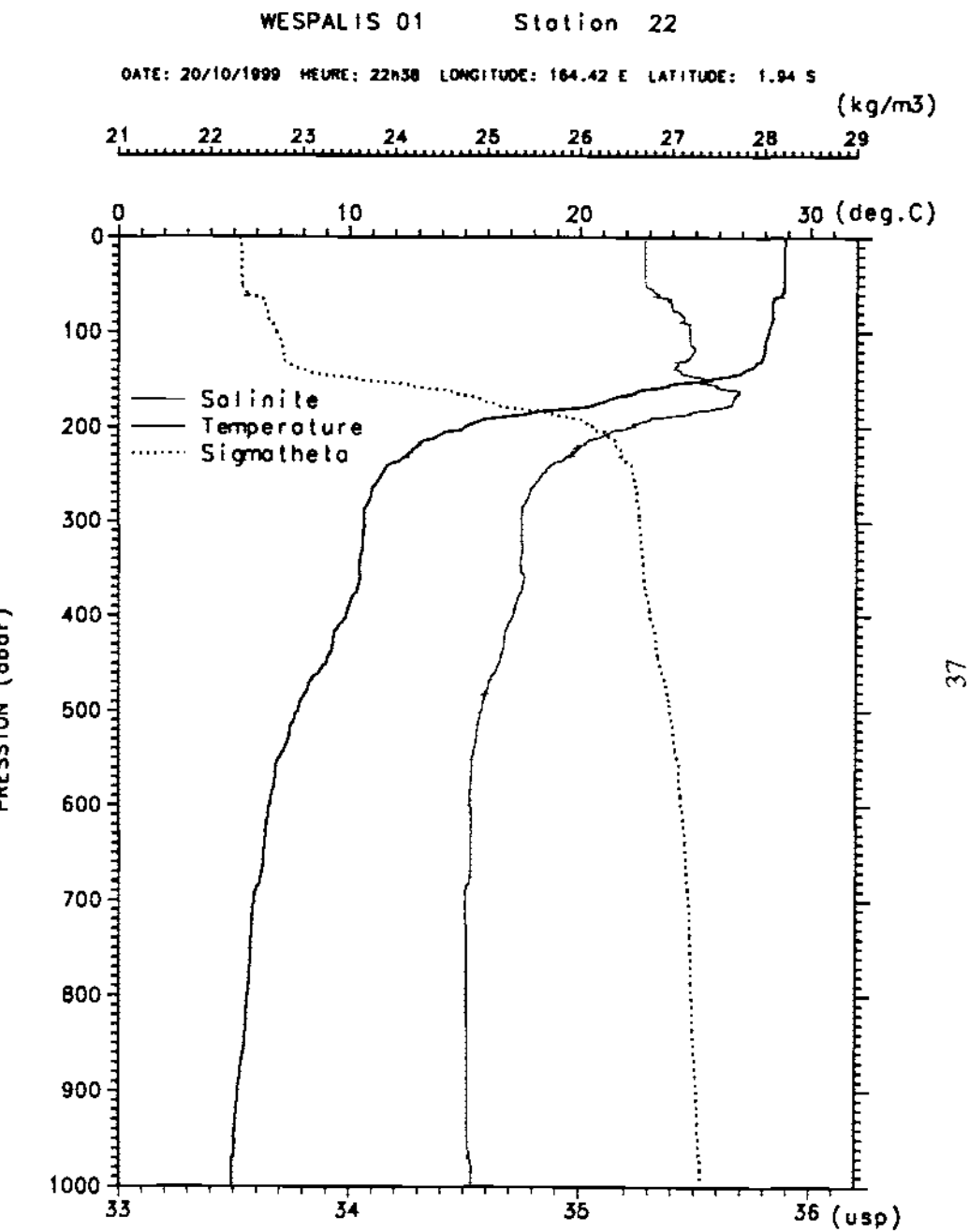


Figure 23



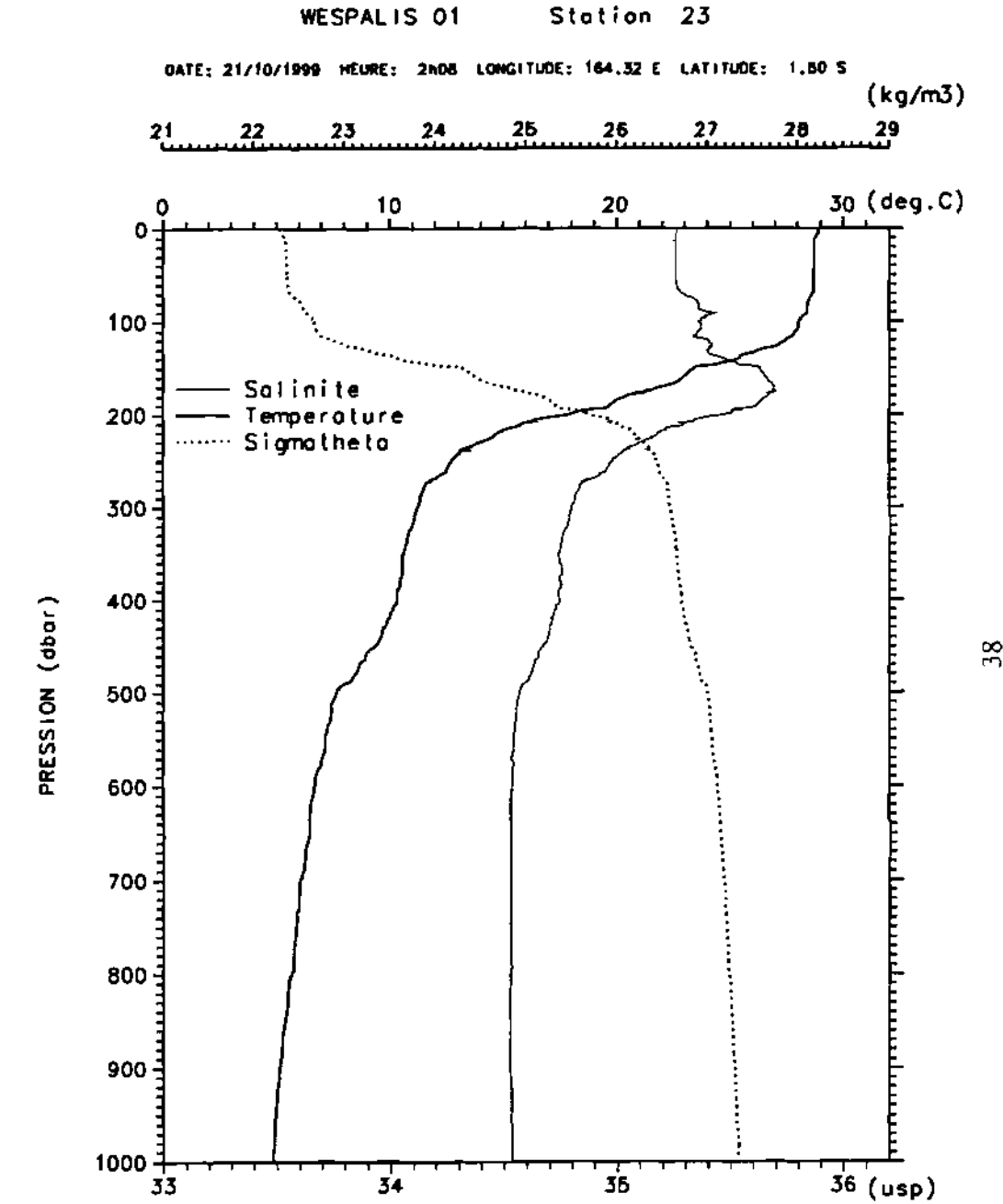
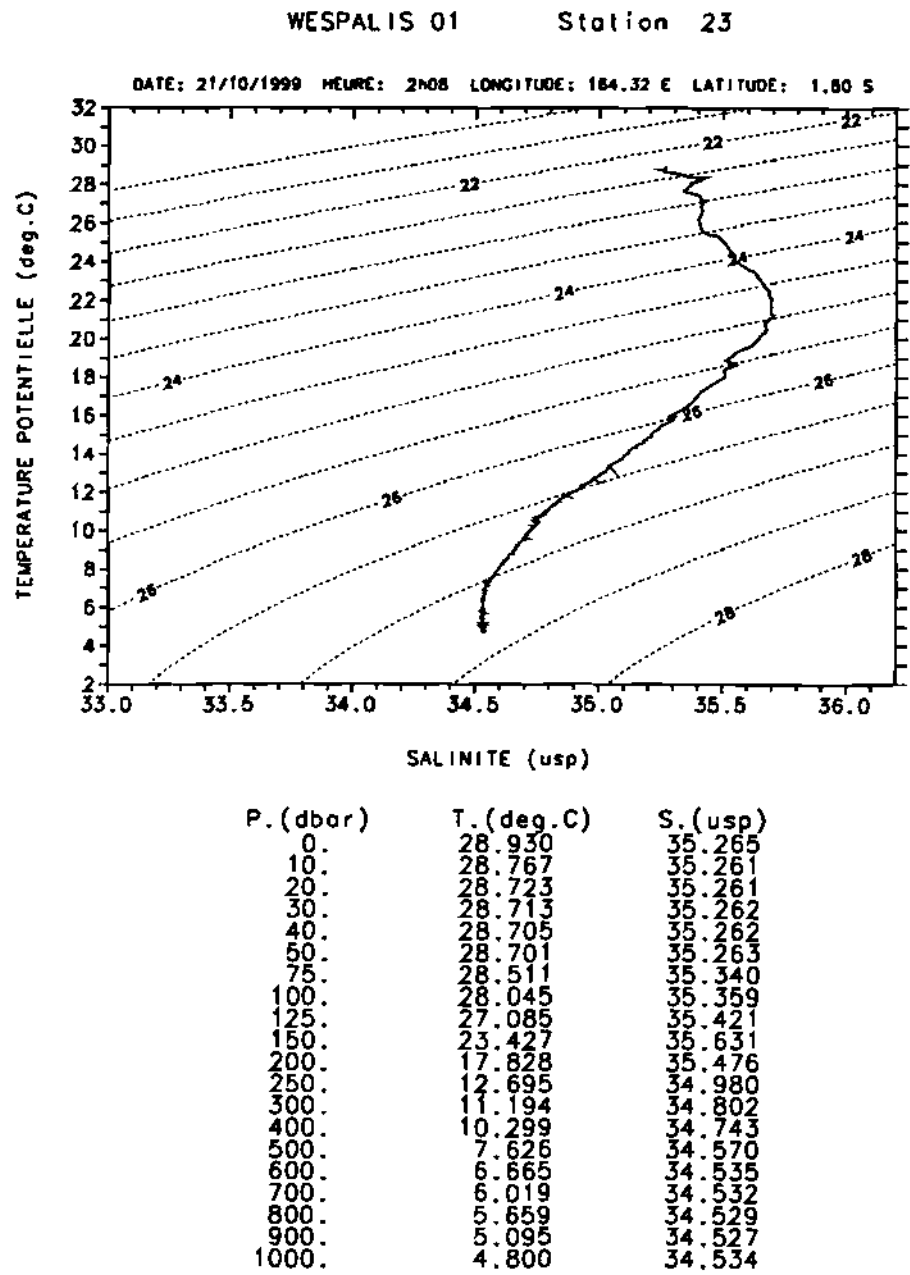


Figure 24

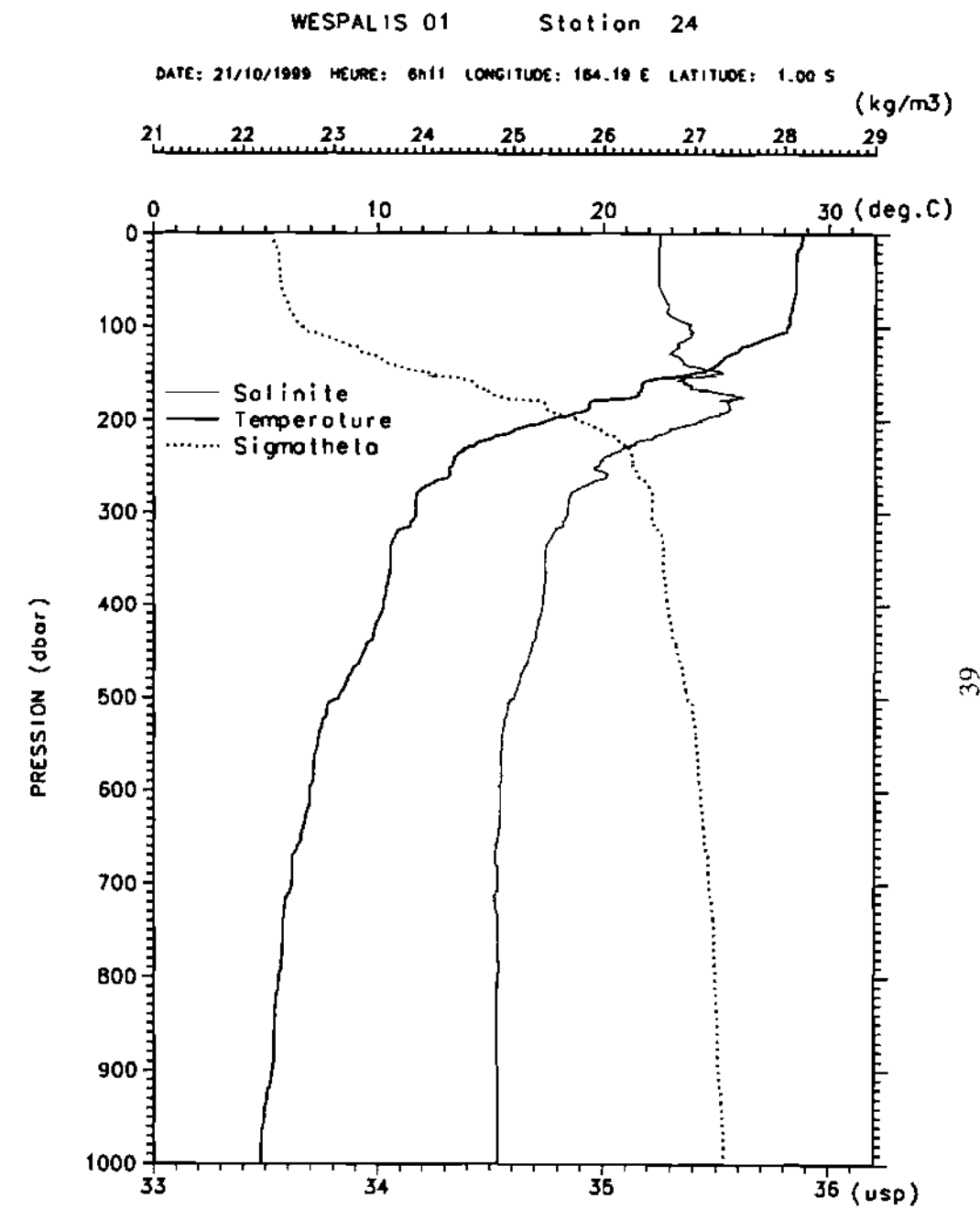
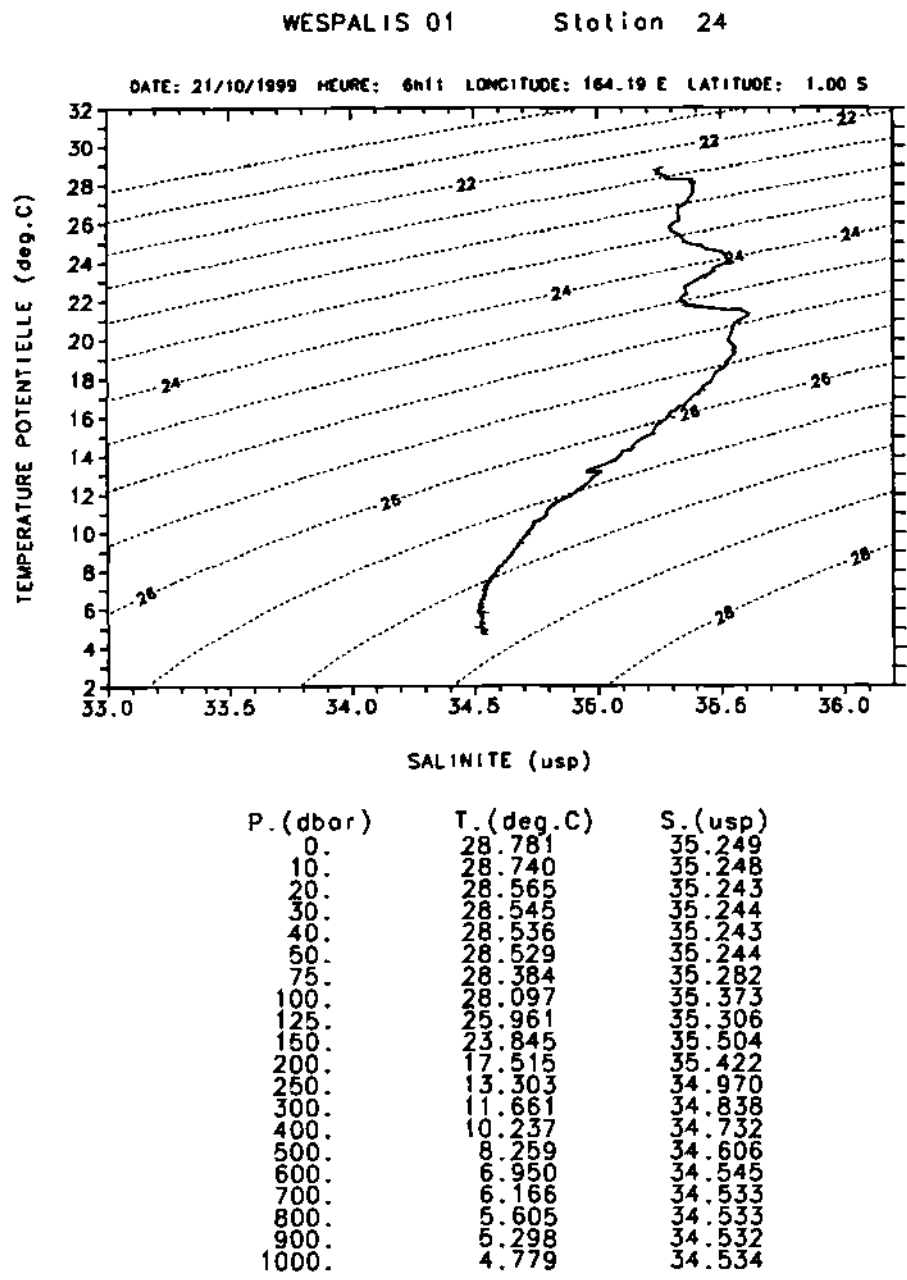


Figure 25

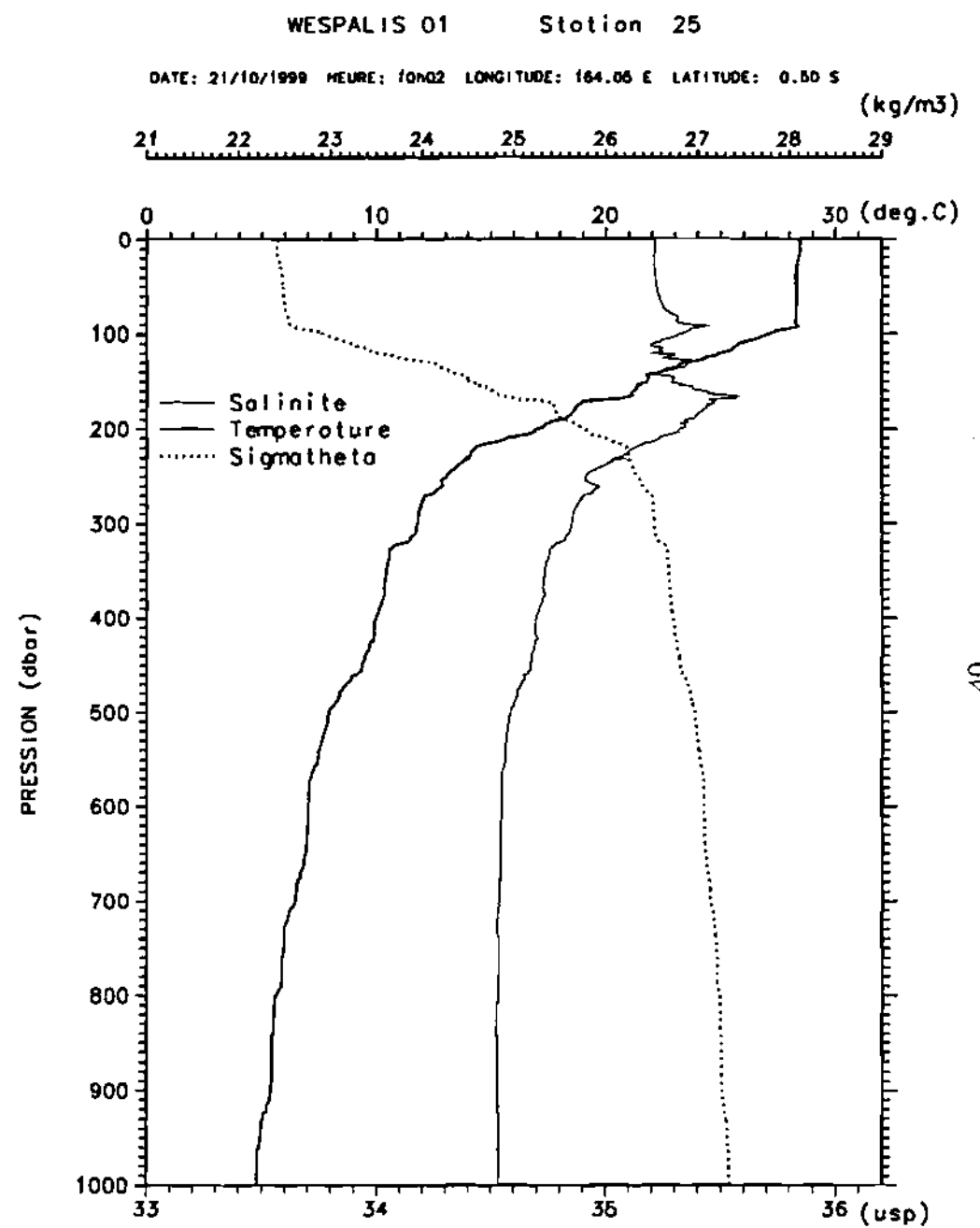
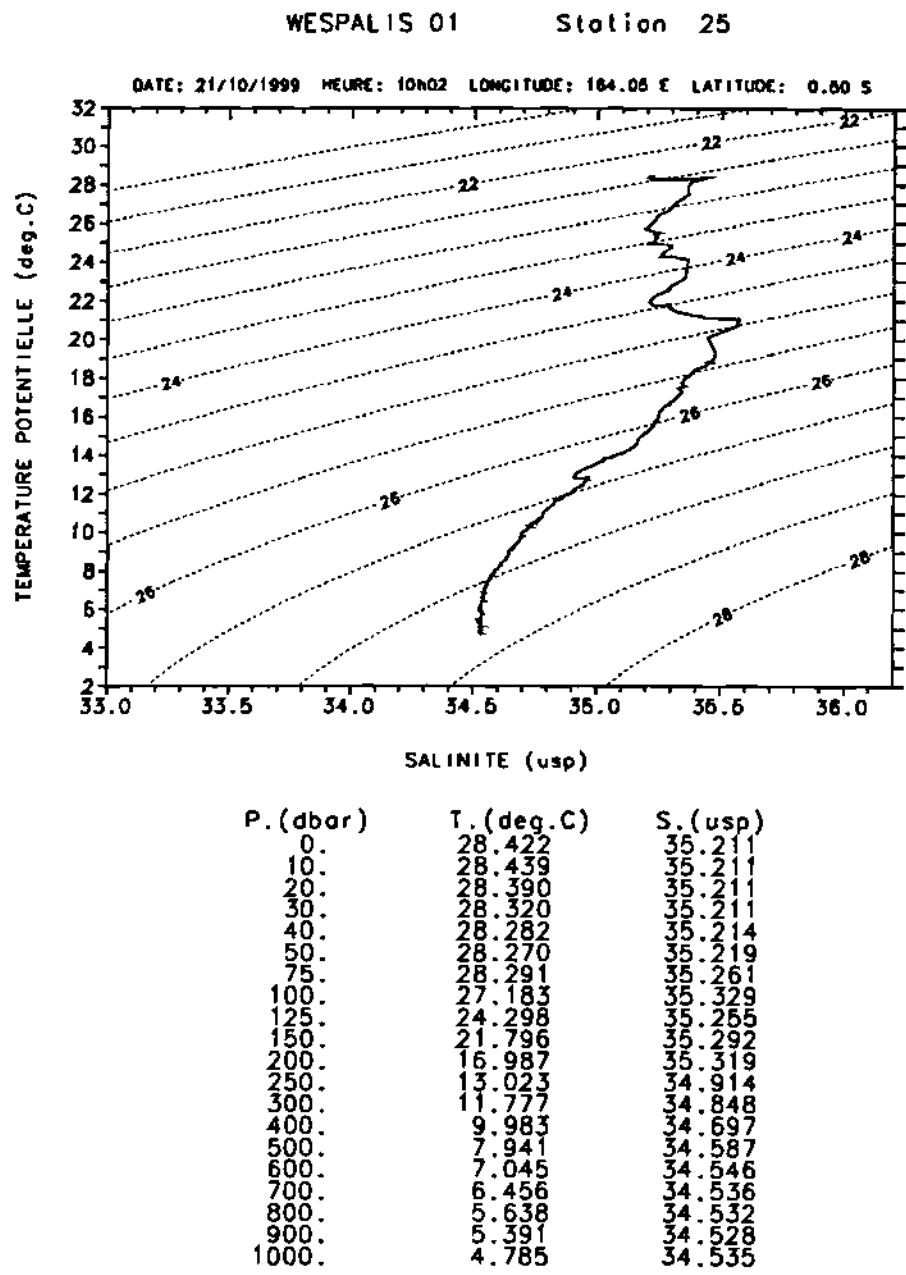
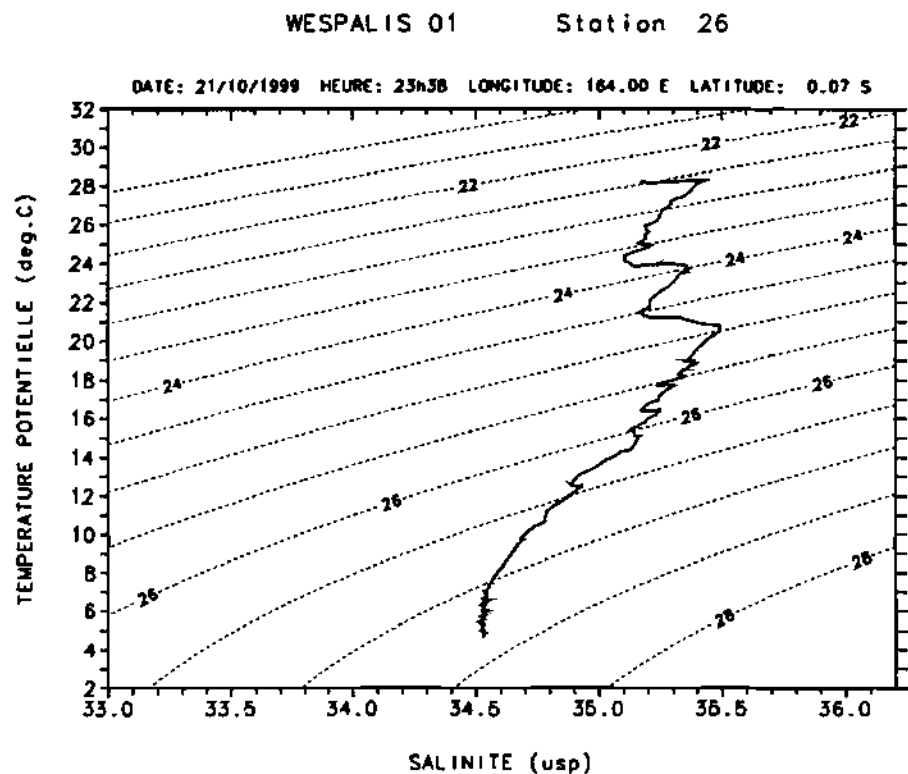


Figure 26



| P. (dbar) | T. (deg.C) | S. (psu) |
|-----------|------------|----------|
| 0. | 28.264 | 35.182 |
| 10. | 28.225 | 35.181 |
| 20. | 28.193 | 35.181 |
| 30. | 28.179 | 35.184 |
| 40. | 28.175 | 35.189 |
| 50. | 28.168 | 35.198 |
| 75. | 28.208 | 35.273 |
| 100. | 26.654 | 35.255 |
| 125. | 23.951 | 35.219 |
| 150. | 21.244 | 35.259 |
| 200. | 17.753 | 35.309 |
| 250. | 12.535 | 34.892 |
| 300. | 11.844 | 34.855 |
| 400. | 9.735 | 34.684 |
| 500. | 8.001 | 34.586 |
| 600. | 6.997 | 34.540 |
| 700. | 6.102 | 34.536 |
| 800. | 5.525 | 34.523 |
| 900. | 5.341 | 34.528 |
| 1000. | 4.774 | 34.534 |

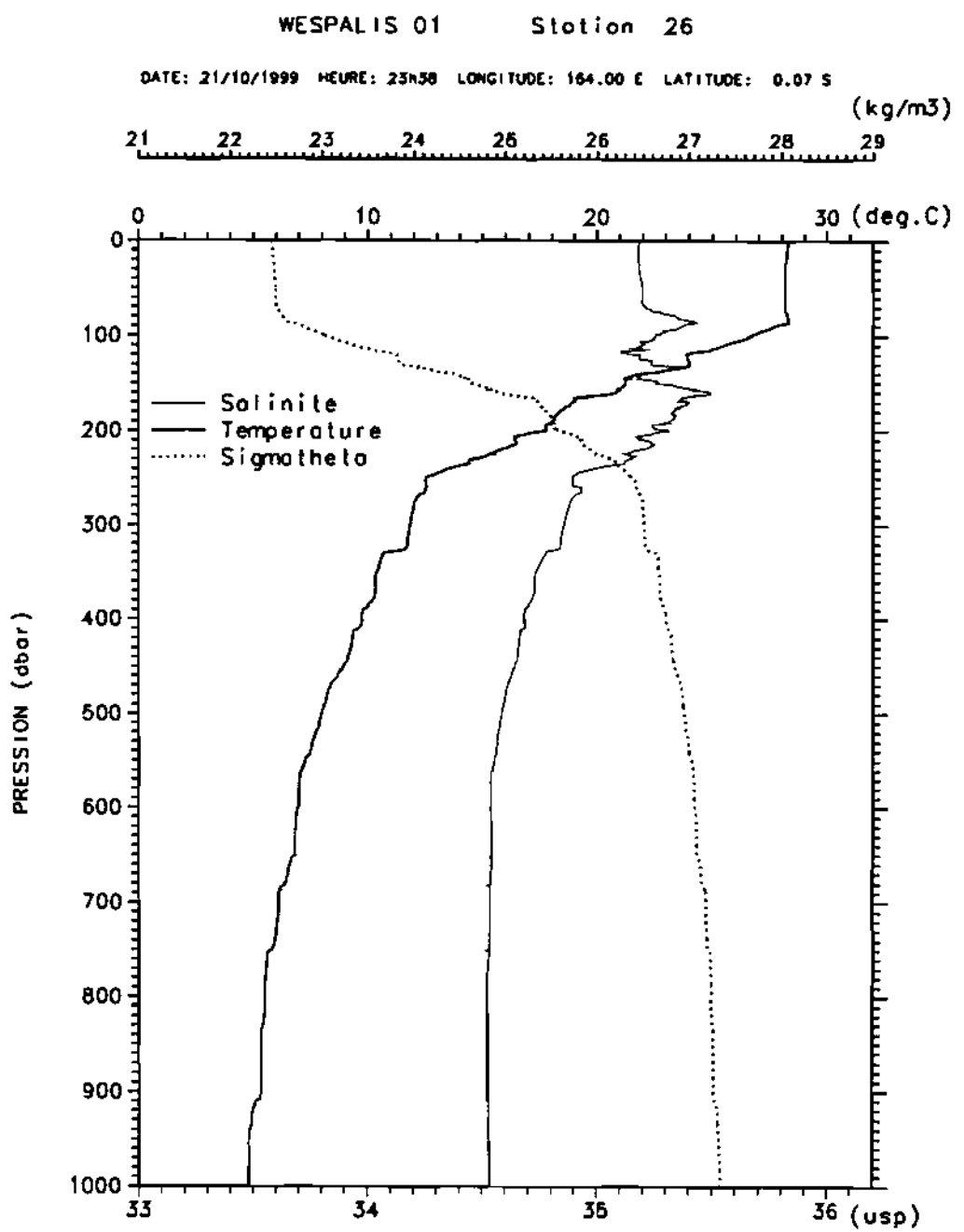
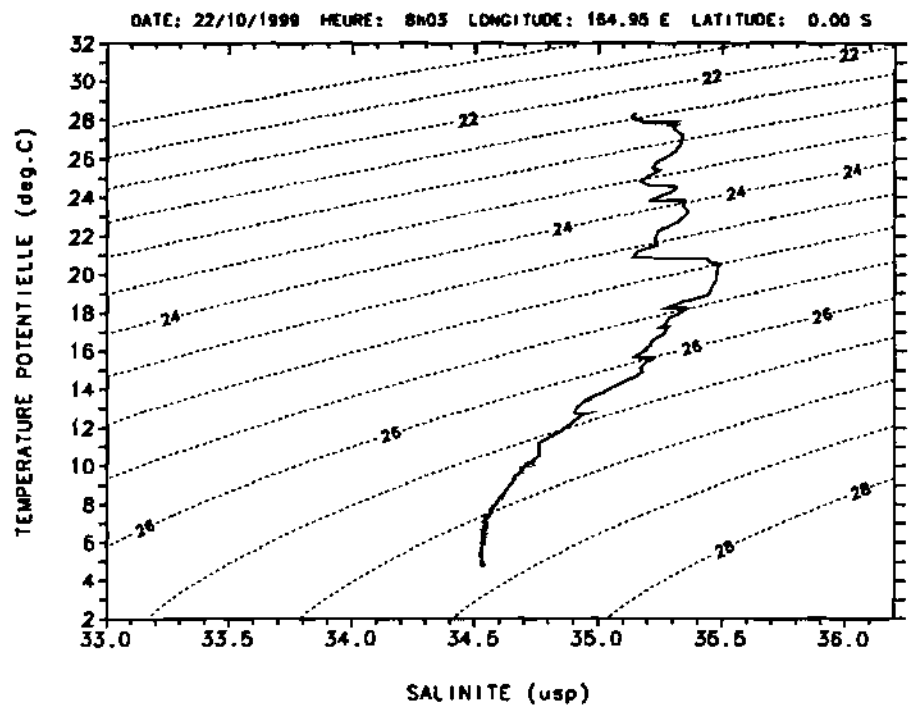


Figure 27

WESPALIS 01 Station 27



| P. (dbar) | T. (deg.C) | S. (uspp) |
|-----------|------------|-----------|
| 0. | 28.243 | 35.143 |
| 10. | 28.234 | 35.142 |
| 20. | 28.212 | 35.141 |
| 30. | 28.101 | 35.142 |
| 40. | 28.038 | 35.147 |
| 50. | 28.010 | 35.152 |
| 75. | 27.901 | 35.187 |
| 100. | 27.335 | 35.323 |
| 125. | 24.658 | 35.202 |
| 150. | 22.666 | 35.309 |
| 200. | 18.323 | 35.289 |
| 250. | 13.772 | 35.008 |
| 300. | 12.172 | 34.882 |
| 400. | 9.818 | 34.691 |
| 500. | 8.066 | 34.587 |
| 600. | 7.004 | 34.547 |
| 700. | 6.264 | 34.537 |
| 800. | 5.528 | 34.527 |
| 900. | 5.292 | 34.530 |
| 1000. | 4.817 | 34.534 |

WESPALIS 01 Station 27

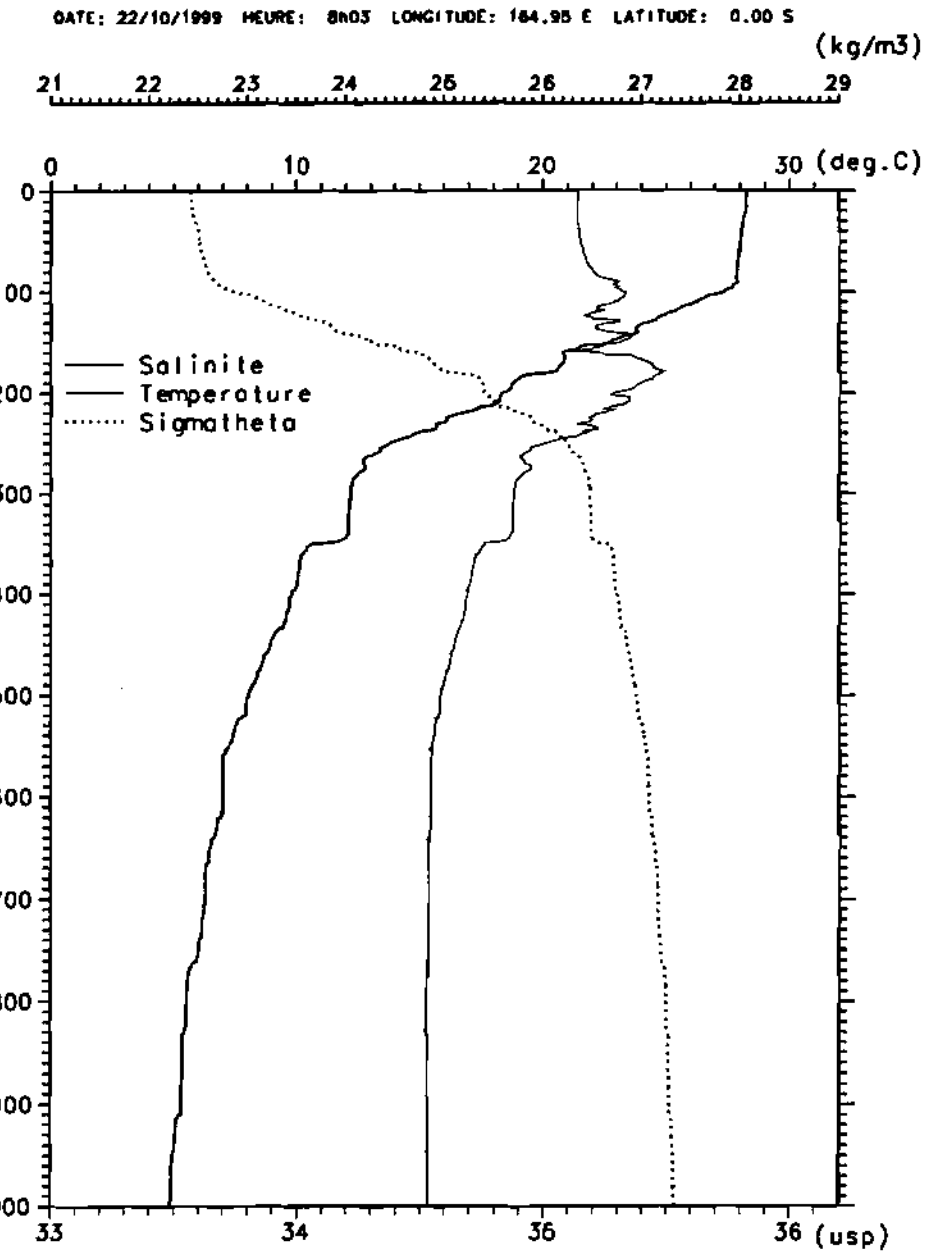


Figure 28

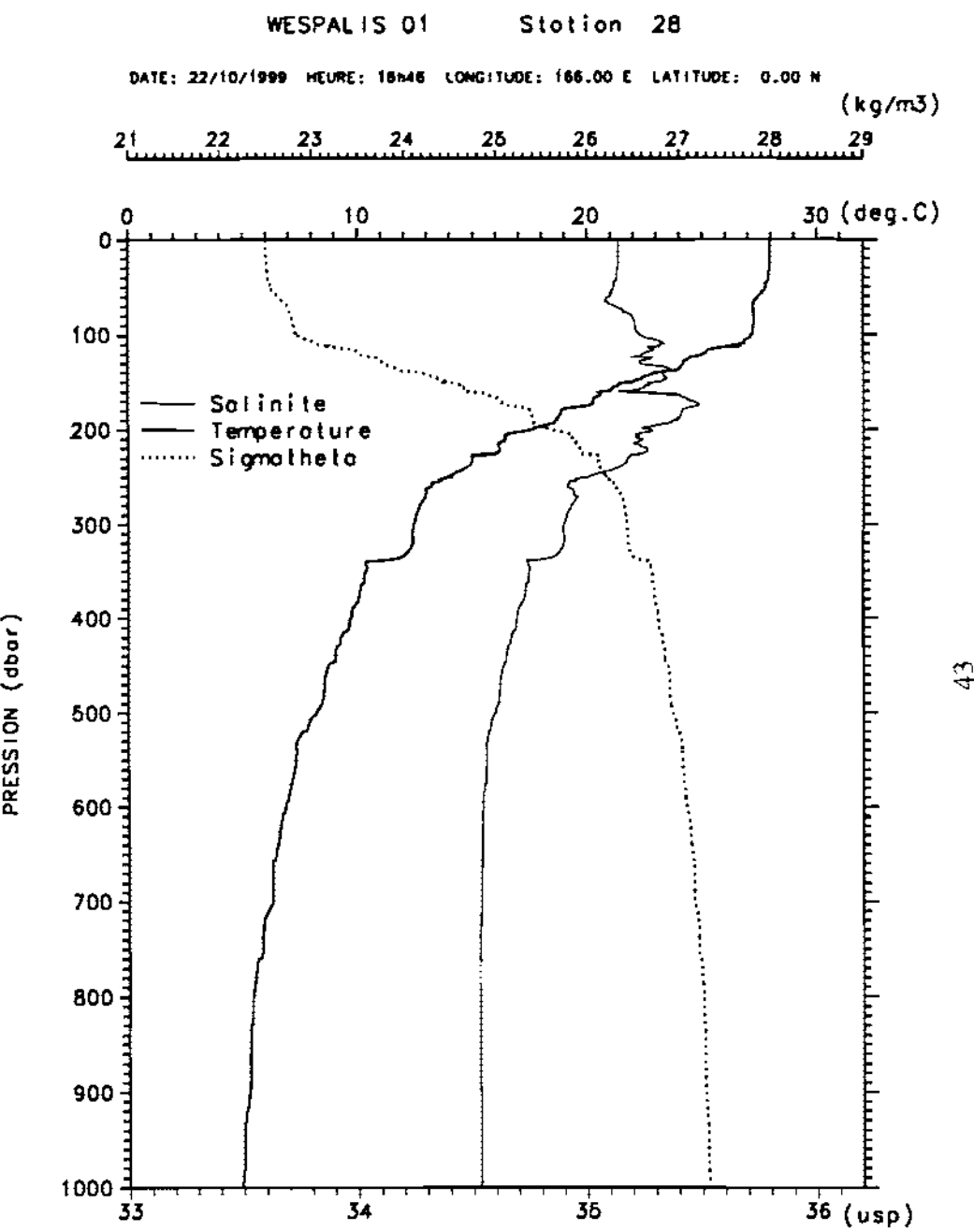
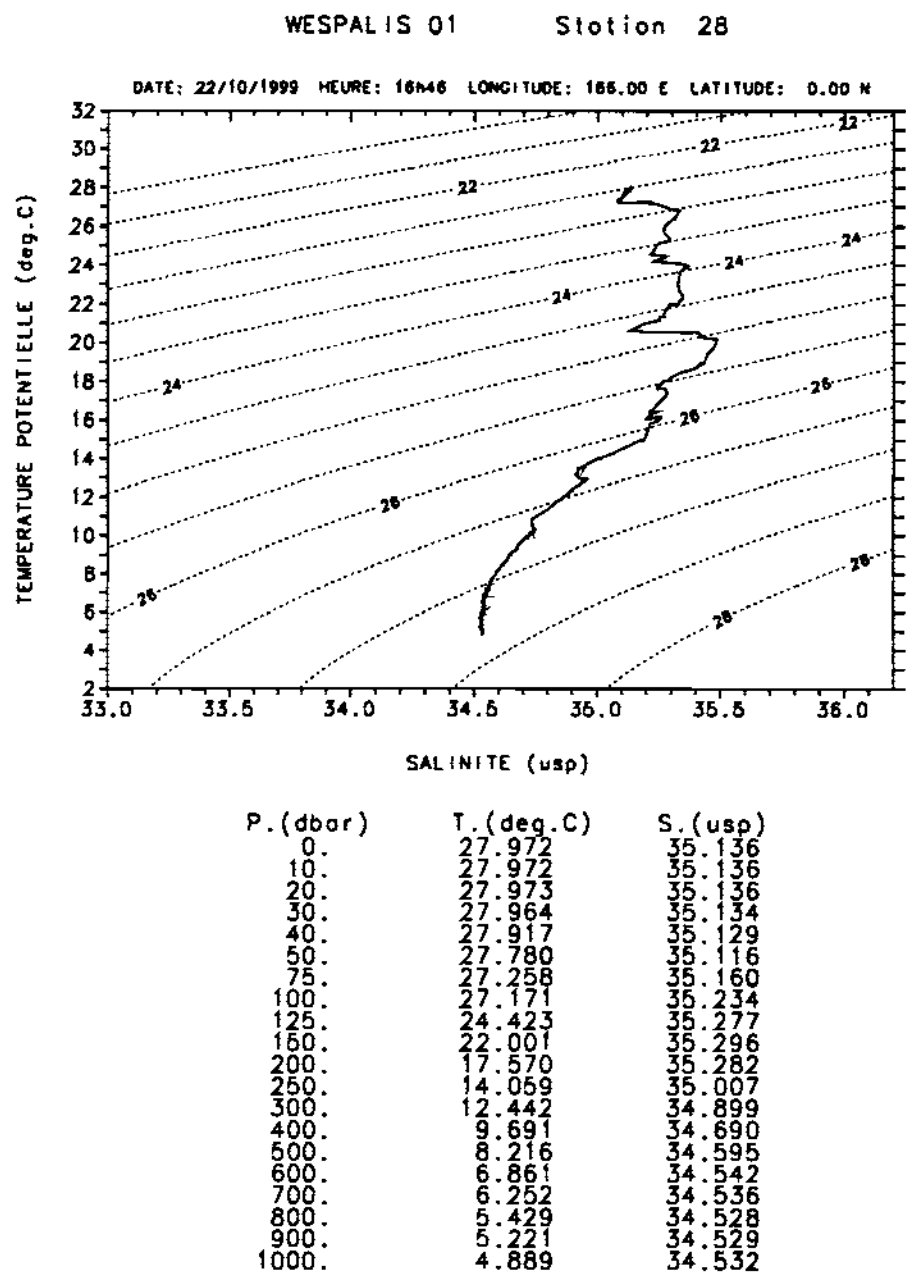


Figure 29

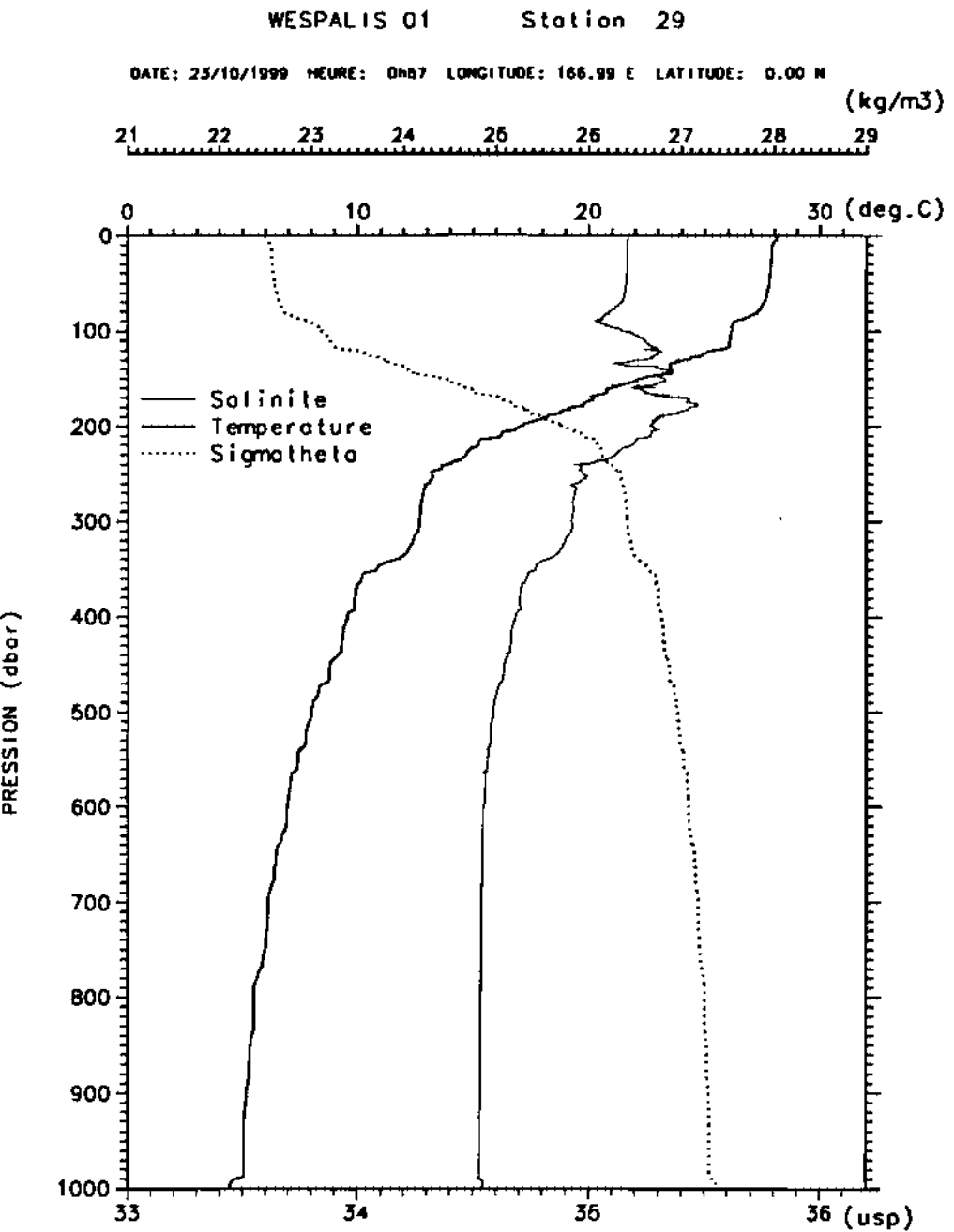
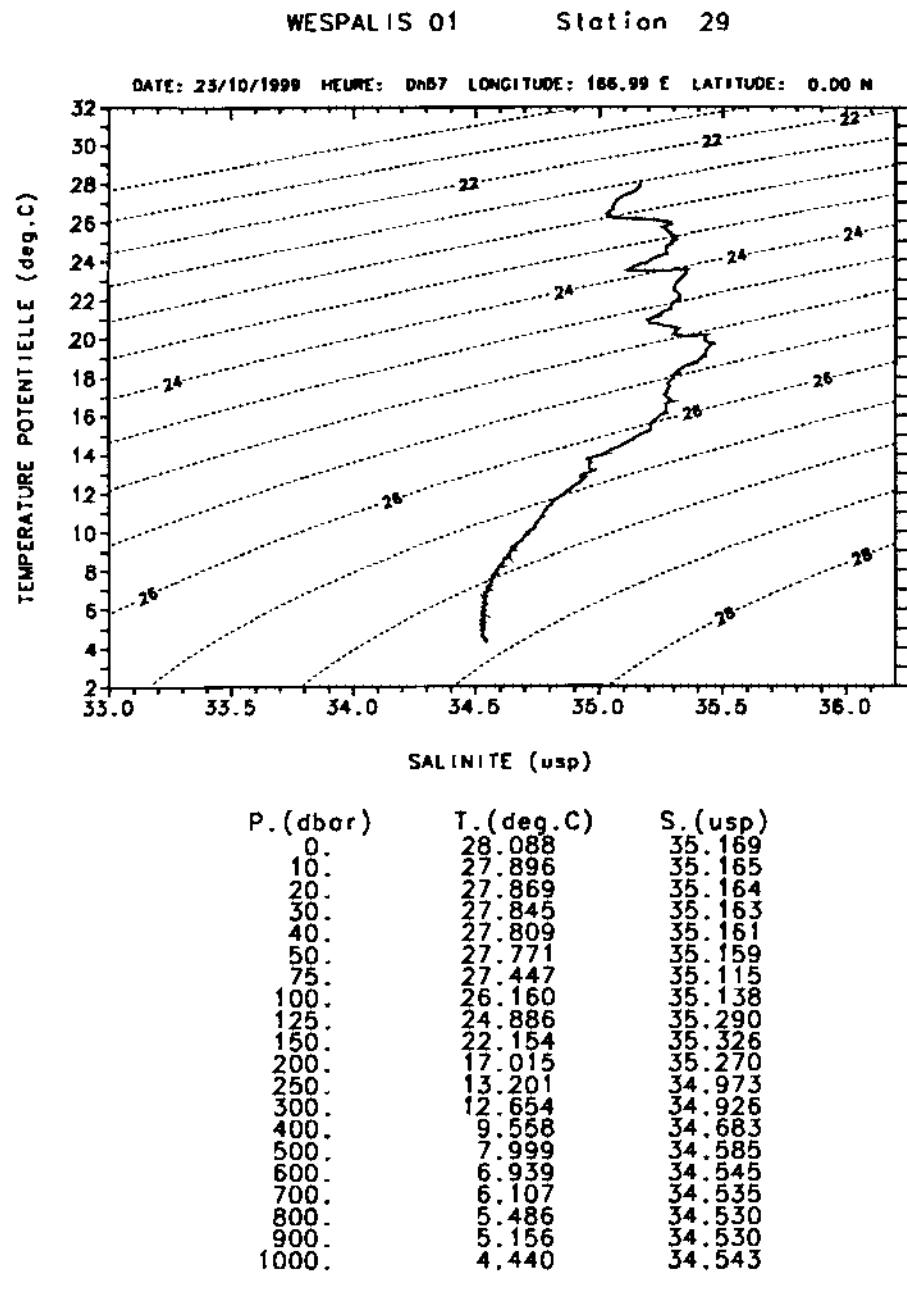
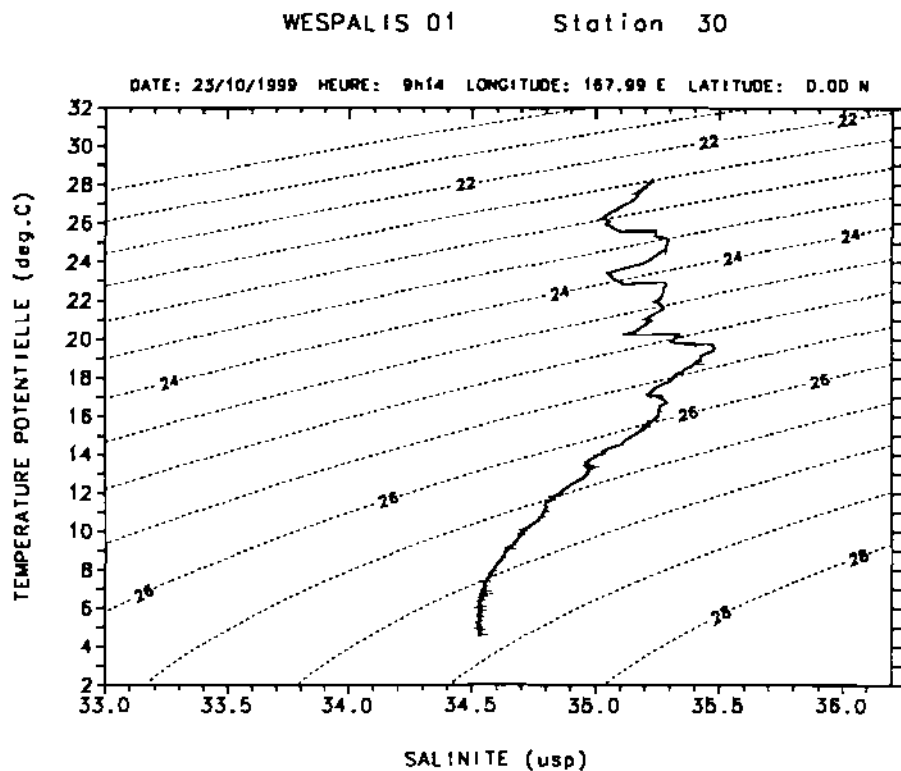


Figure 30



| P. (dbar) | T. (deg.C) | S. (psu) |
|-----------|------------|----------|
| 0. | 28.242 | 35.231 |
| 10. | 28.243 | 35.231 |
| 20. | 28.212 | 35.229 |
| 30. | 28.167 | 35.226 |
| 40. | 28.123 | 35.223 |
| 50. | 28.053 | 35.217 |
| 75. | 27.798 | 35.192 |
| 100. | 26.123 | 35.056 |
| 125. | 24.673 | 35.282 |
| 150. | 20.341 | 35.141 |
| 200. | 17.105 | 35.270 |
| 250. | 13.495 | 34.967 |
| 300. | 12.600 | 34.919 |
| 400. | 9.594 | 34.685 |
| 500. | 7.839 | 34.578 |
| 600. | 6.877 | 34.546 |
| 700. | 6.234 | 34.535 |
| 800. | 5.388 | 34.532 |
| 900. | 5.222 | 34.530 |
| 1000. | 4.653 | 34.536 |

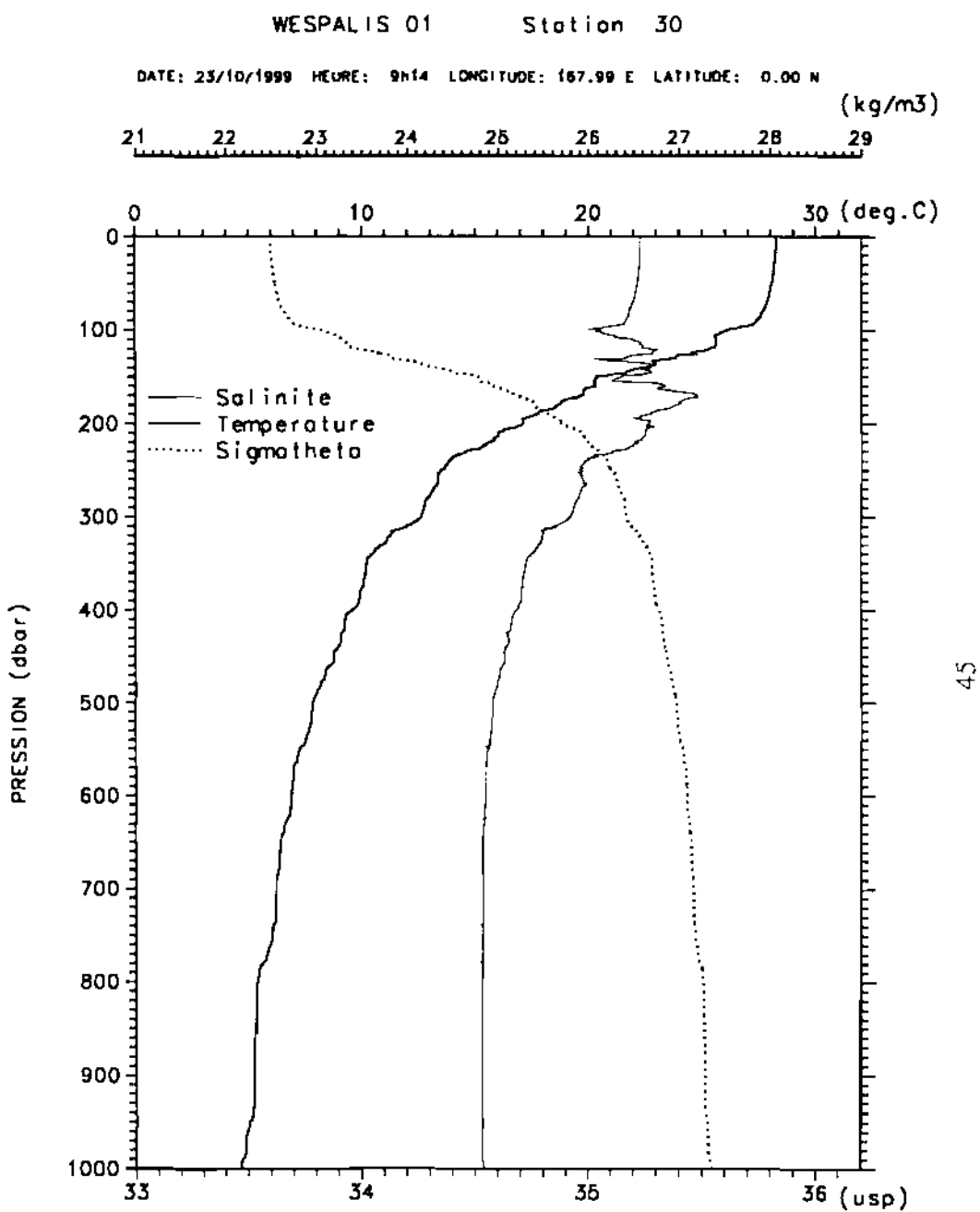


Figure 31

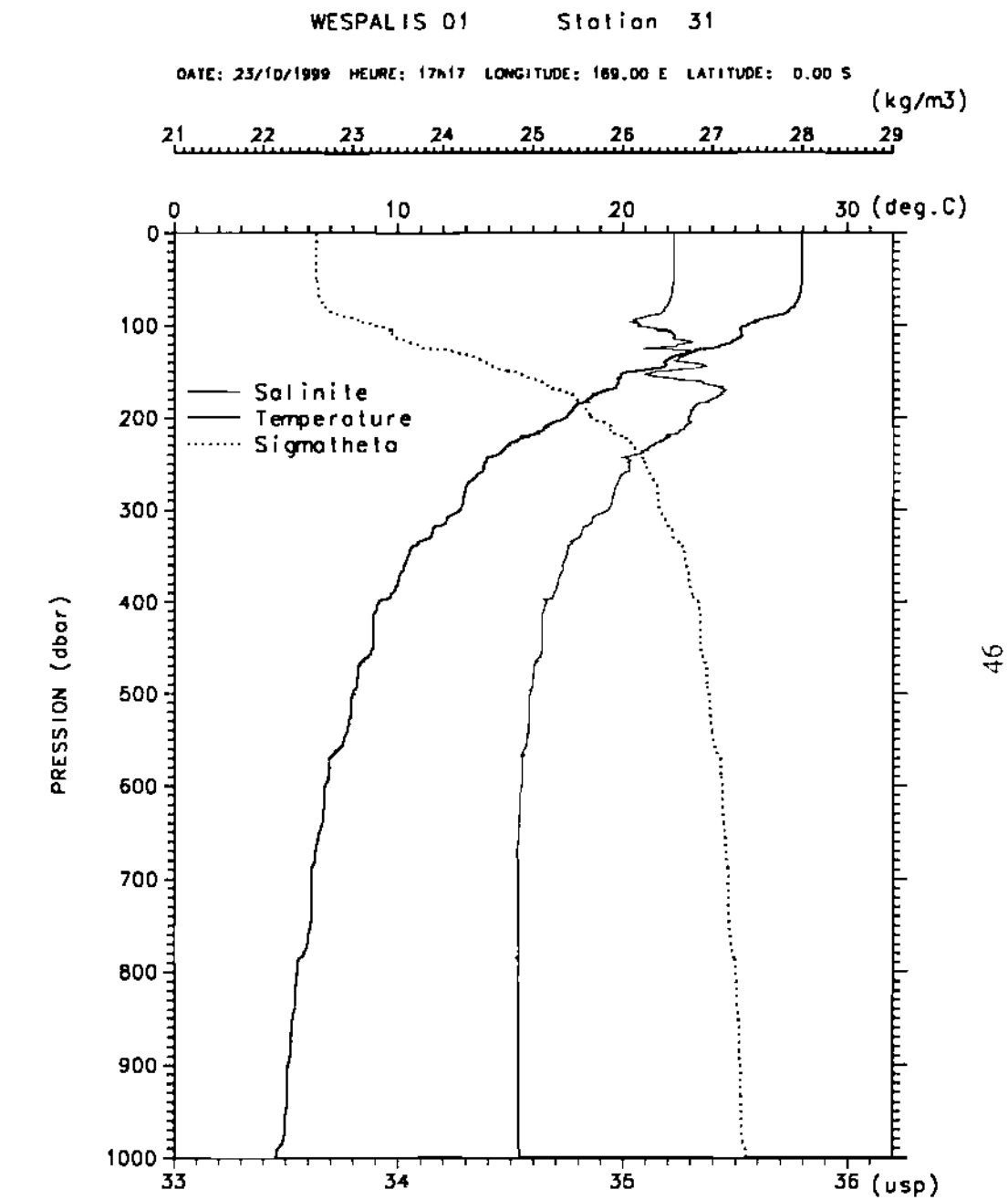
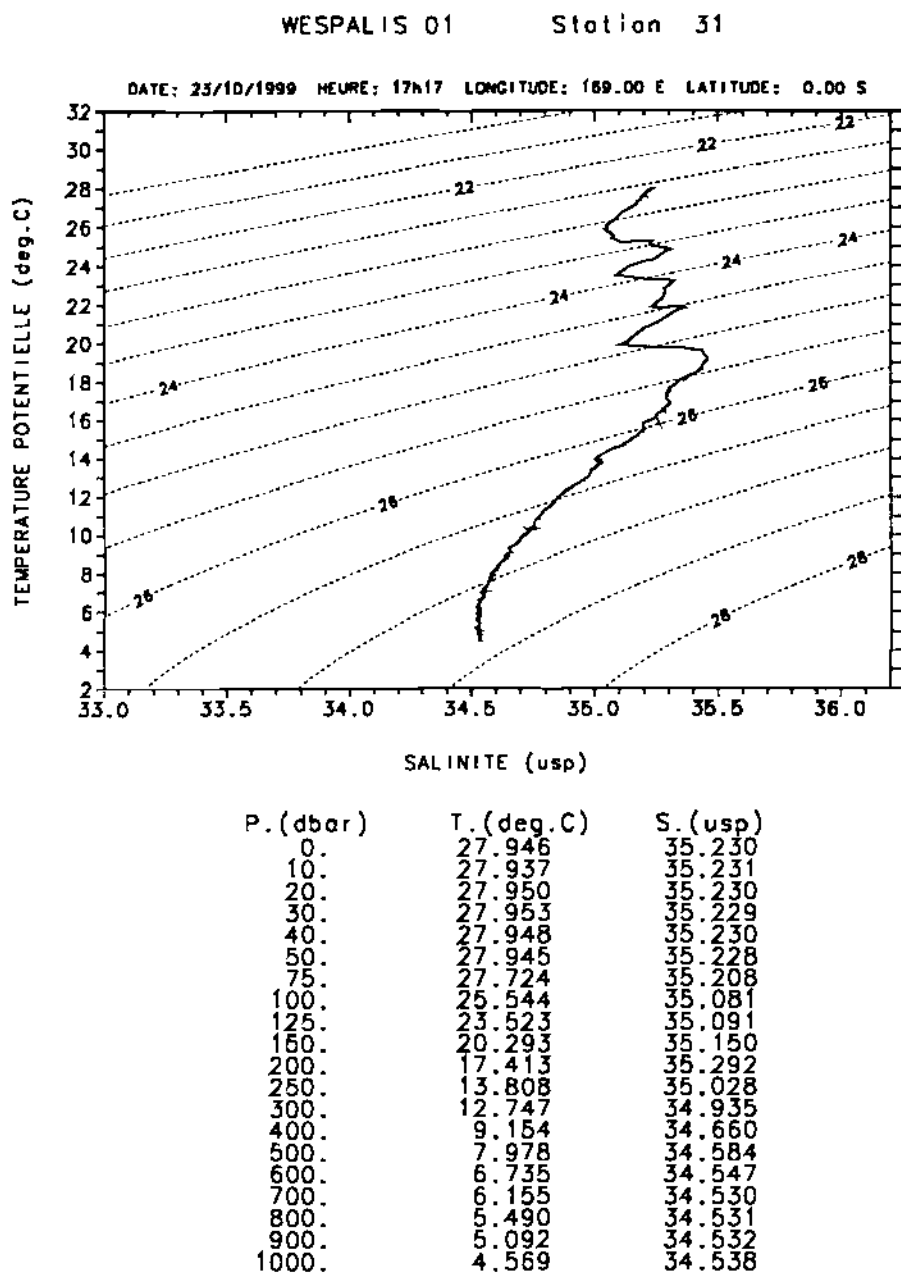
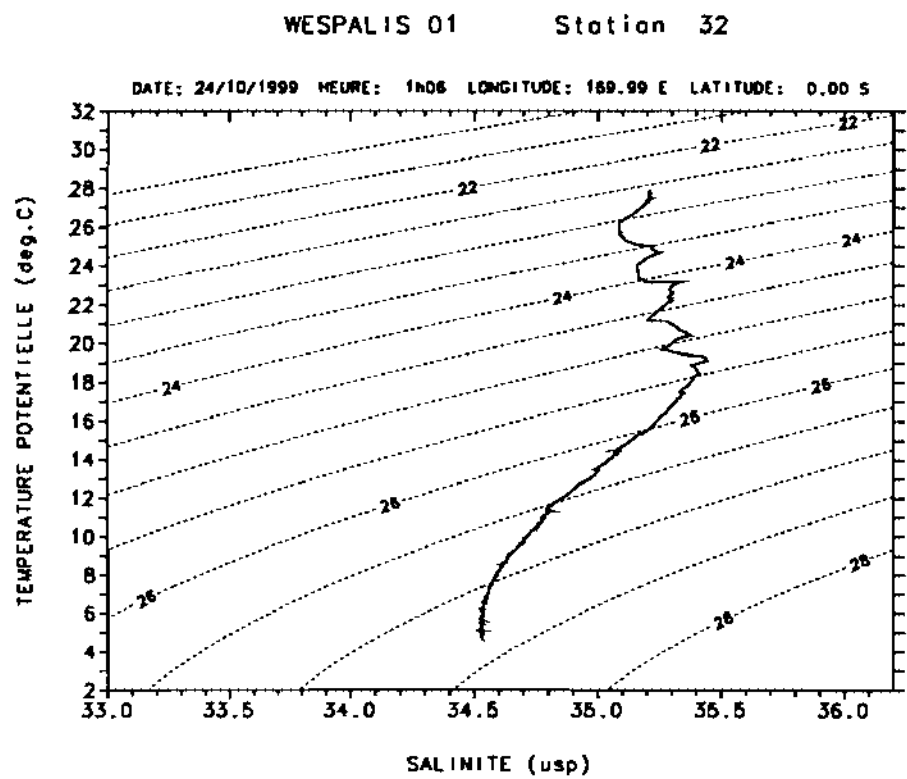


Figure 32



| P. (dbar) | T. (deg.C) | S. (usppm) |
|-----------|------------|------------|
| 0 | 27.883 | 35.211 |
| 10 | 27.665 | 35.209 |
| 20 | 27.628 | 35.208 |
| 30 | 27.615 | 35.209 |
| 40 | 27.598 | 35.210 |
| 50 | 27.579 | 35.211 |
| 75 | 27.480 | 35.215 |
| 100 | 25.350 | 35.110 |
| 125 | 22.803 | 35.291 |
| 150 | 21.190 | 35.273 |
| 200 | 16.406 | 35.275 |
| 250 | 13.574 | 34.993 |
| 300 | 12.848 | 34.939 |
| 400 | 9.687 | 34.691 |
| 500 | 8.486 | 34.612 |
| 600 | 6.772 | 34.549 |
| 700 | 5.316 | 34.535 |
| 800 | 5.871 | 34.534 |
| 900 | 5.138 | 34.530 |
| 1000 | 4.647 | 34.535 |

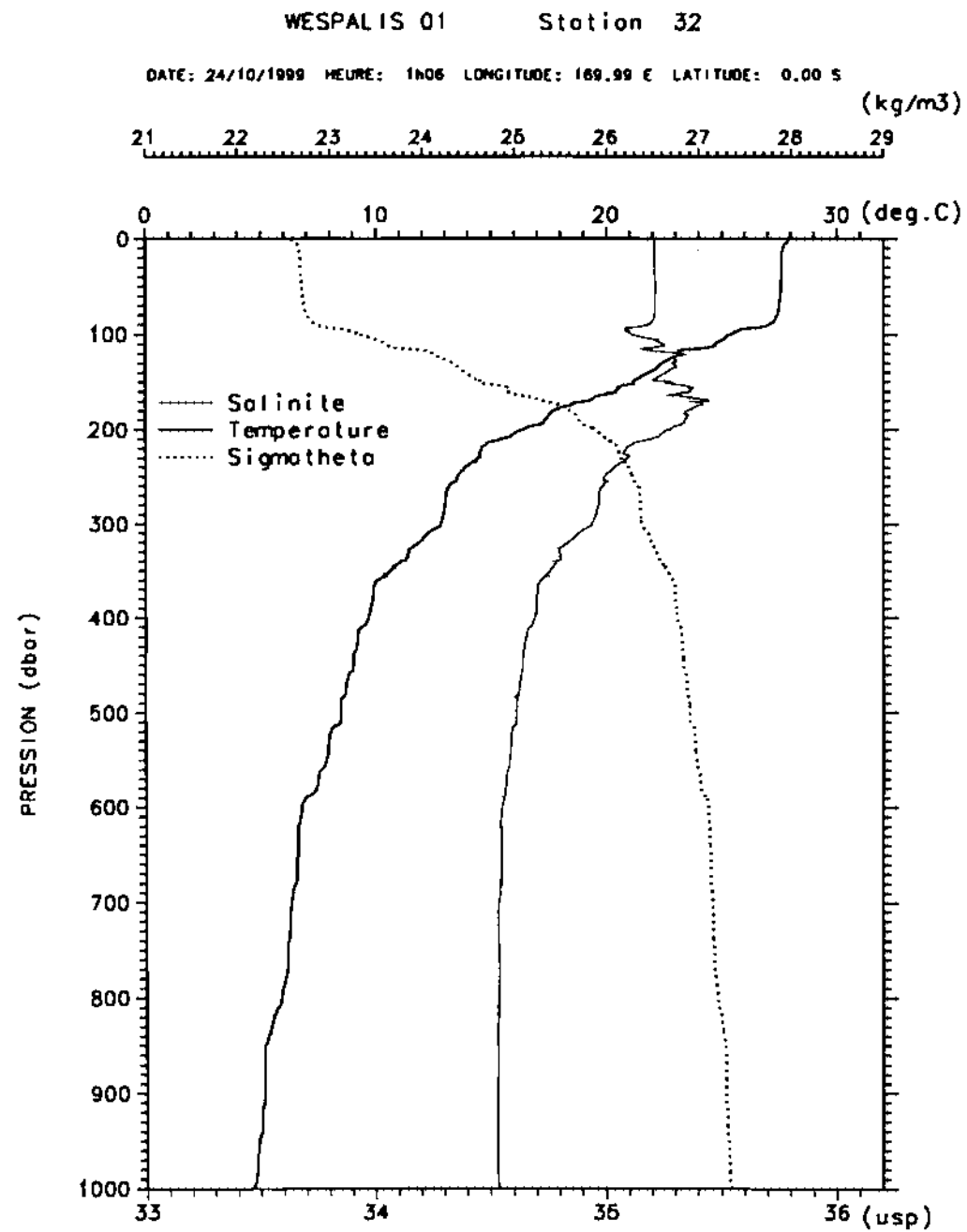


Figure 33

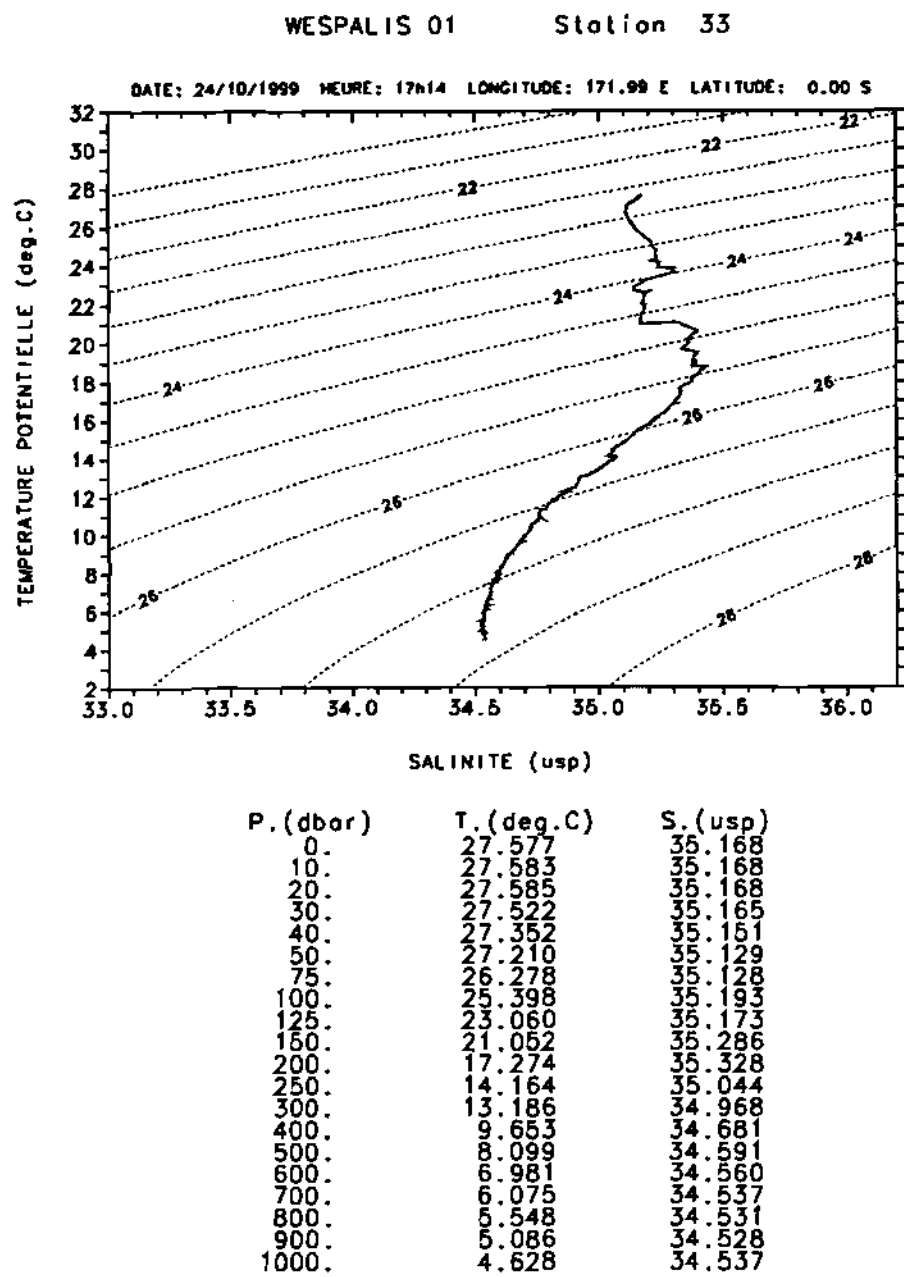
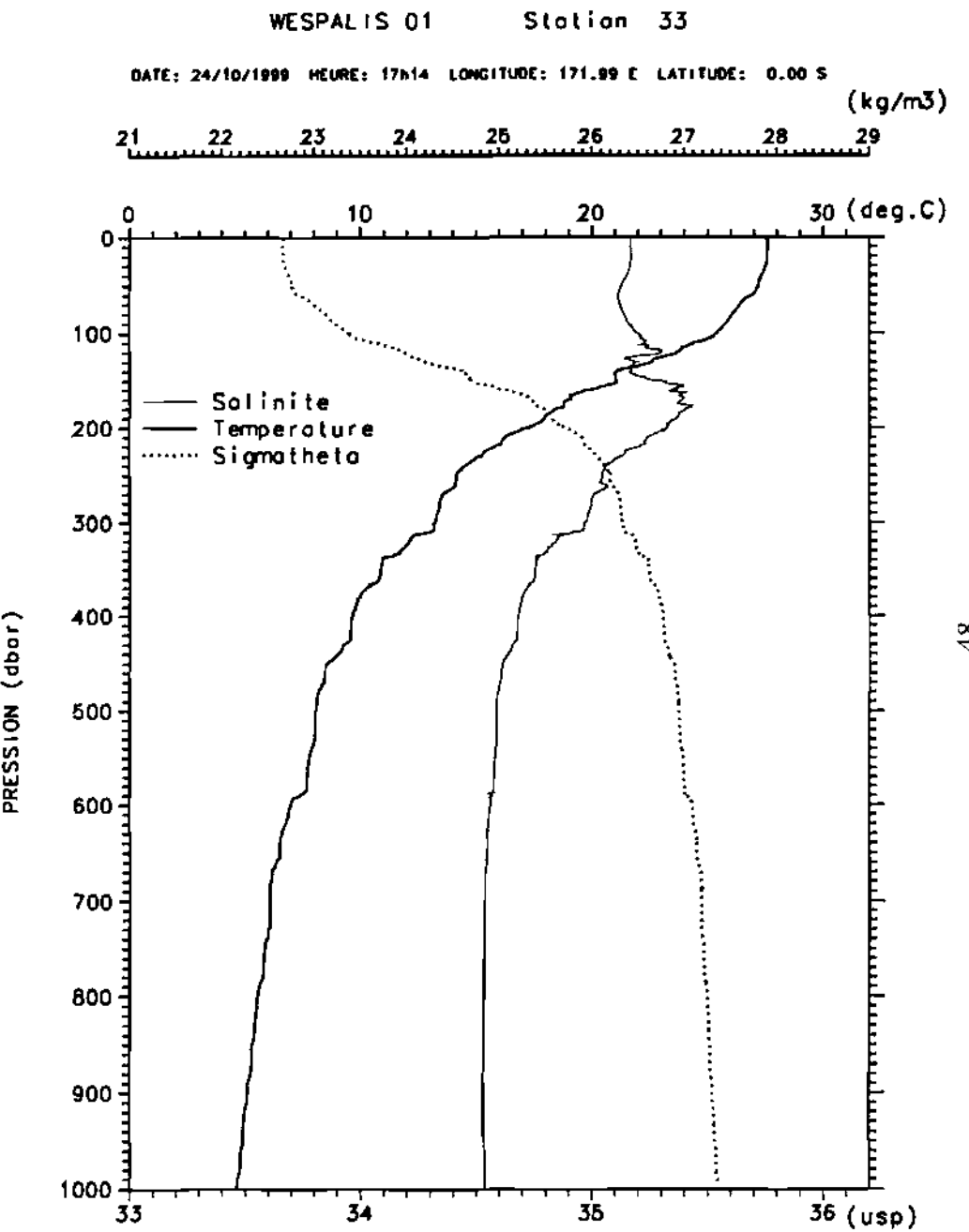


Figure 34



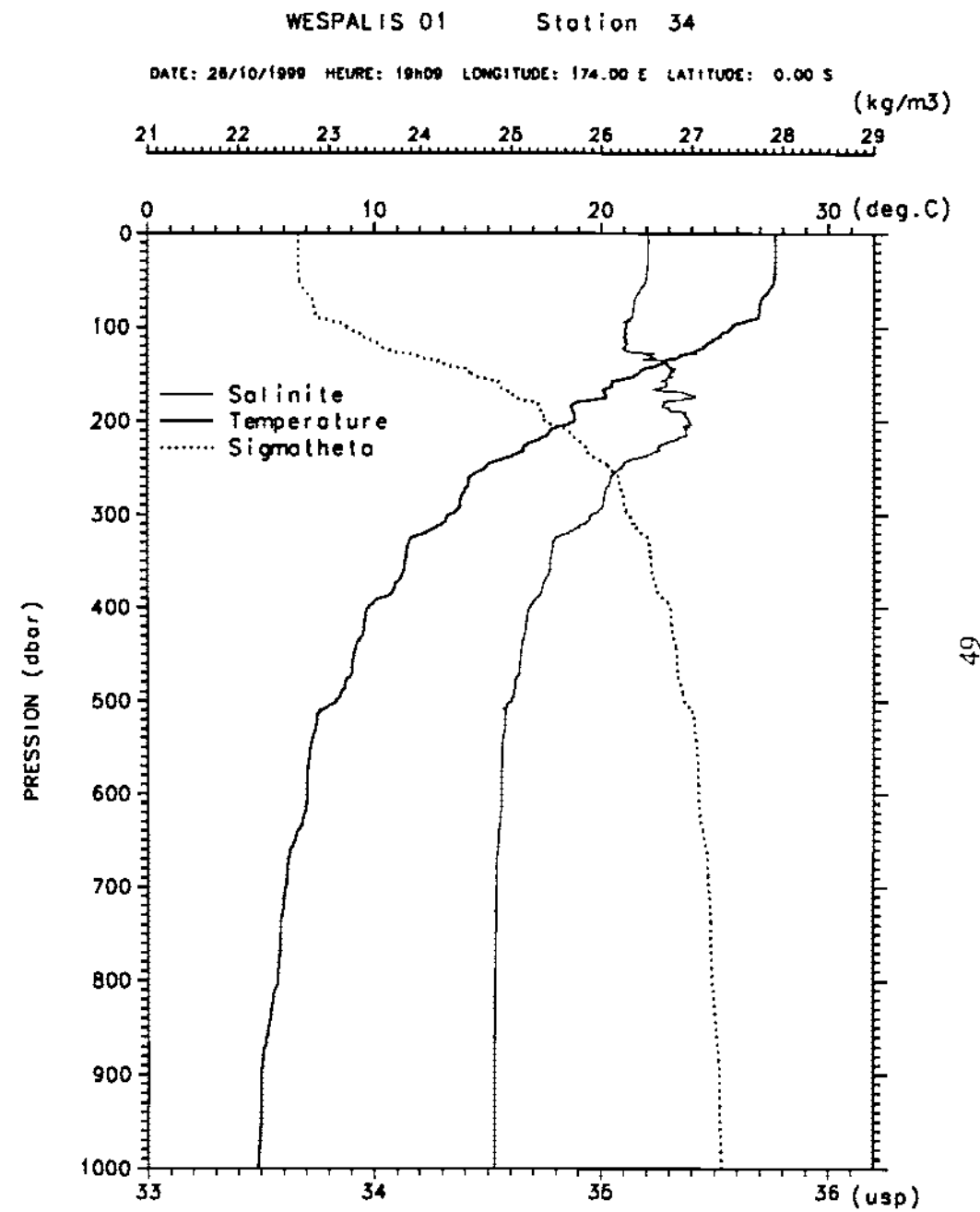
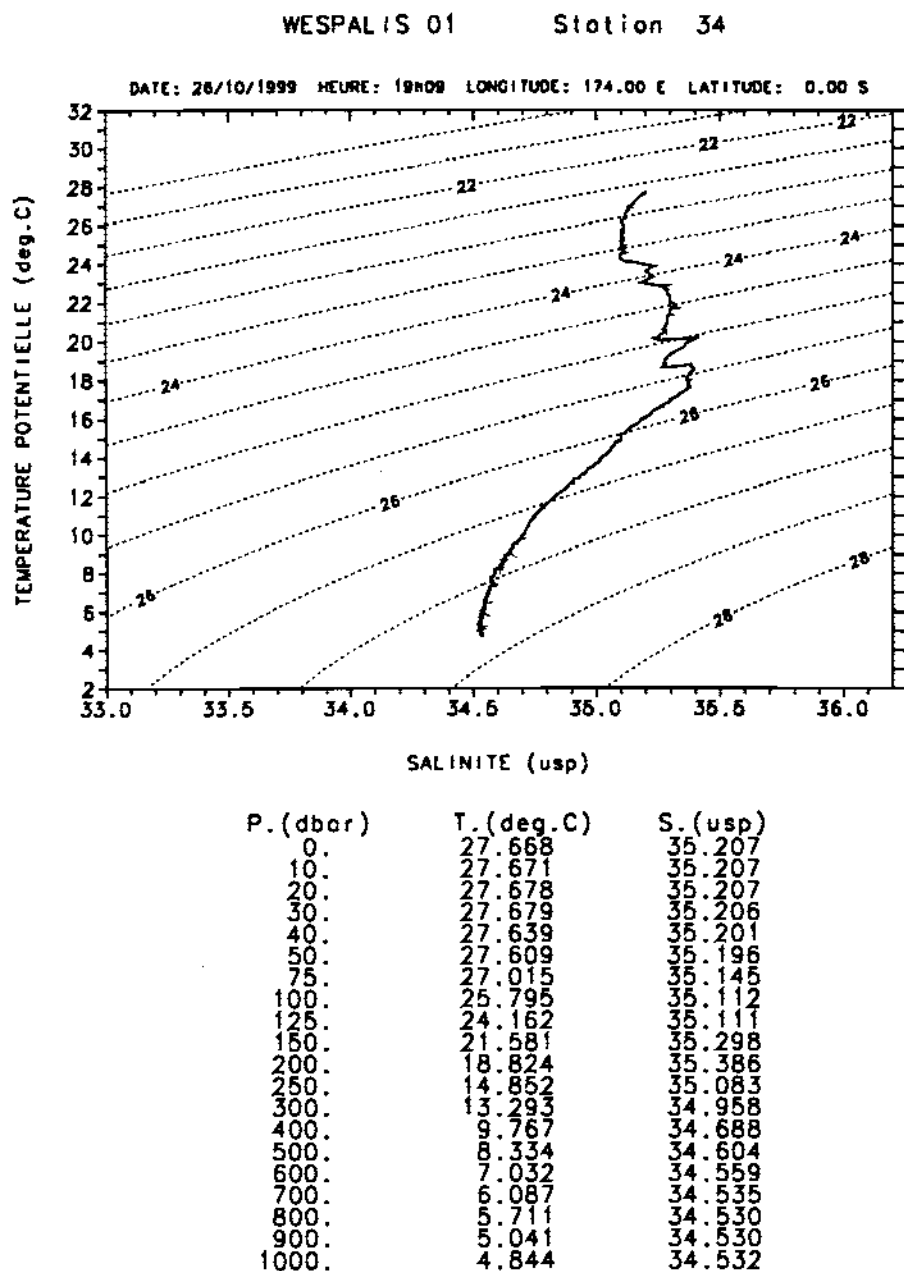


Figure 35

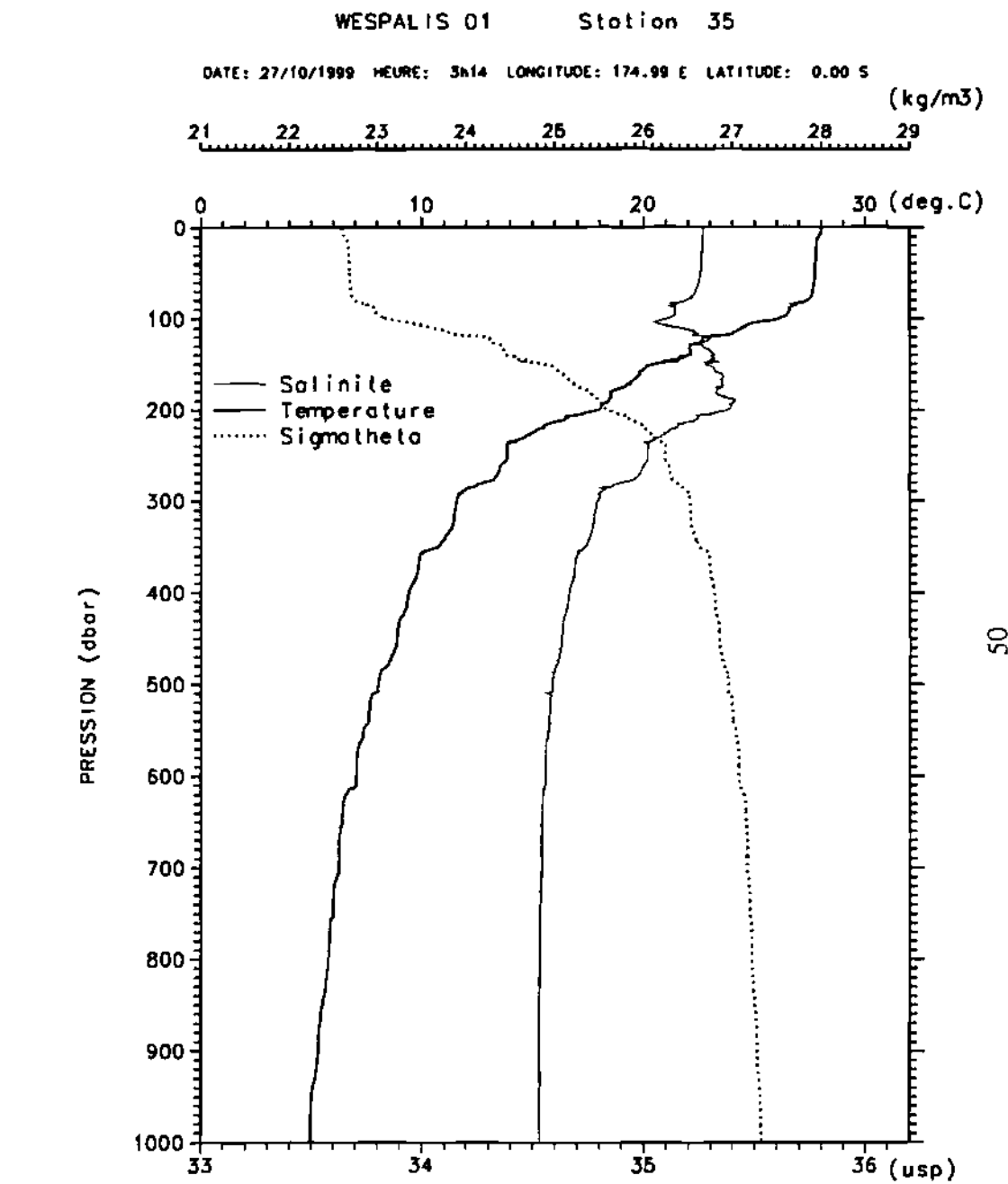
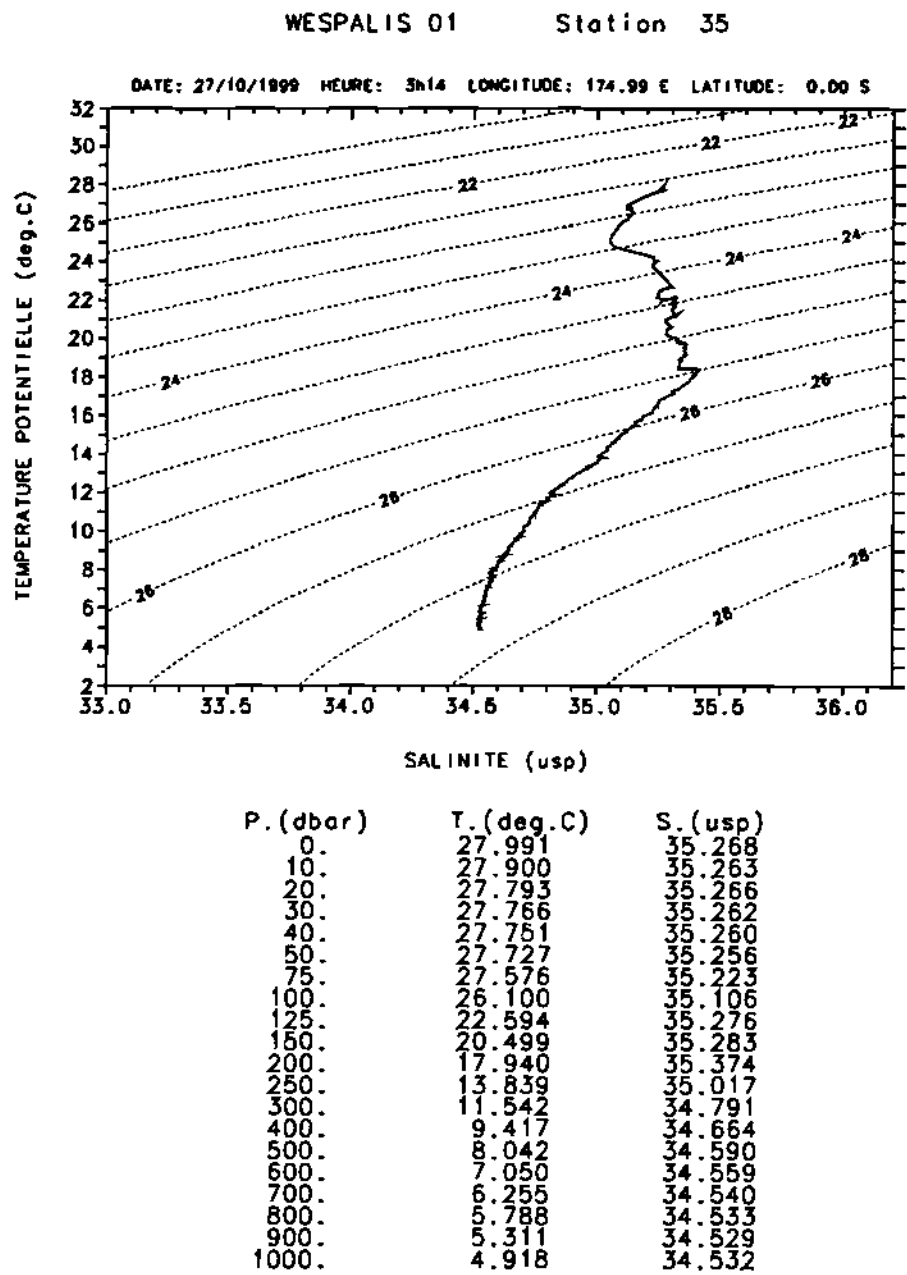
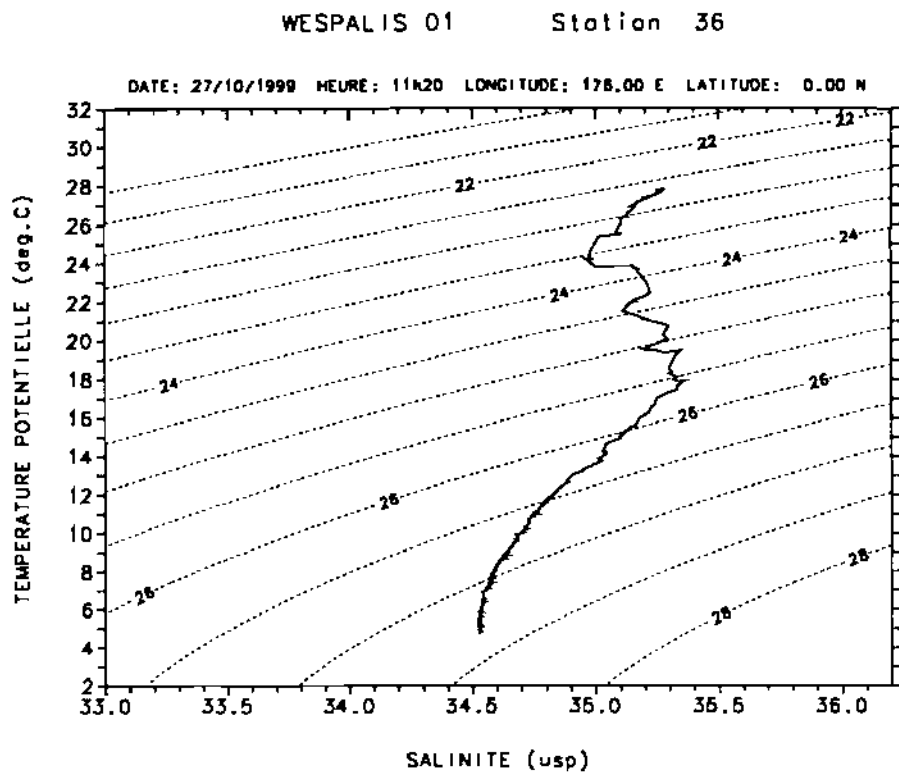


Figure 36



| P. (dbar) | T. (deg.C) | S. (psu) |
|-----------|------------|----------|
| 0. | 27.839 | 35.276 |
| 10. | 27.822 | 35.274 |
| 20. | 27.775 | 35.272 |
| 30. | 27.712 | 35.270 |
| 40. | 27.702 | 35.269 |
| 50. | 27.686 | 35.266 |
| 75. | 27.625 | 35.256 |
| 100. | 27.042 | 35.160 |
| 125. | 23.907 | 35.147 |
| 150. | 20.735 | 35.297 |
| 200. | 15.743 | 35.166 |
| 250. | 13.900 | 35.014 |
| 300. | 11.895 | 34.819 |
| 400. | 9.260 | 34.657 |
| 500. | 7.915 | 34.585 |
| 600. | 7.172 | 34.562 |
| 700. | 5.977 | 34.534 |
| 800. | 5.711 | 34.531 |
| 900. | 5.218 | 34.529 |
| 1000. | 4.839 | 34.533 |

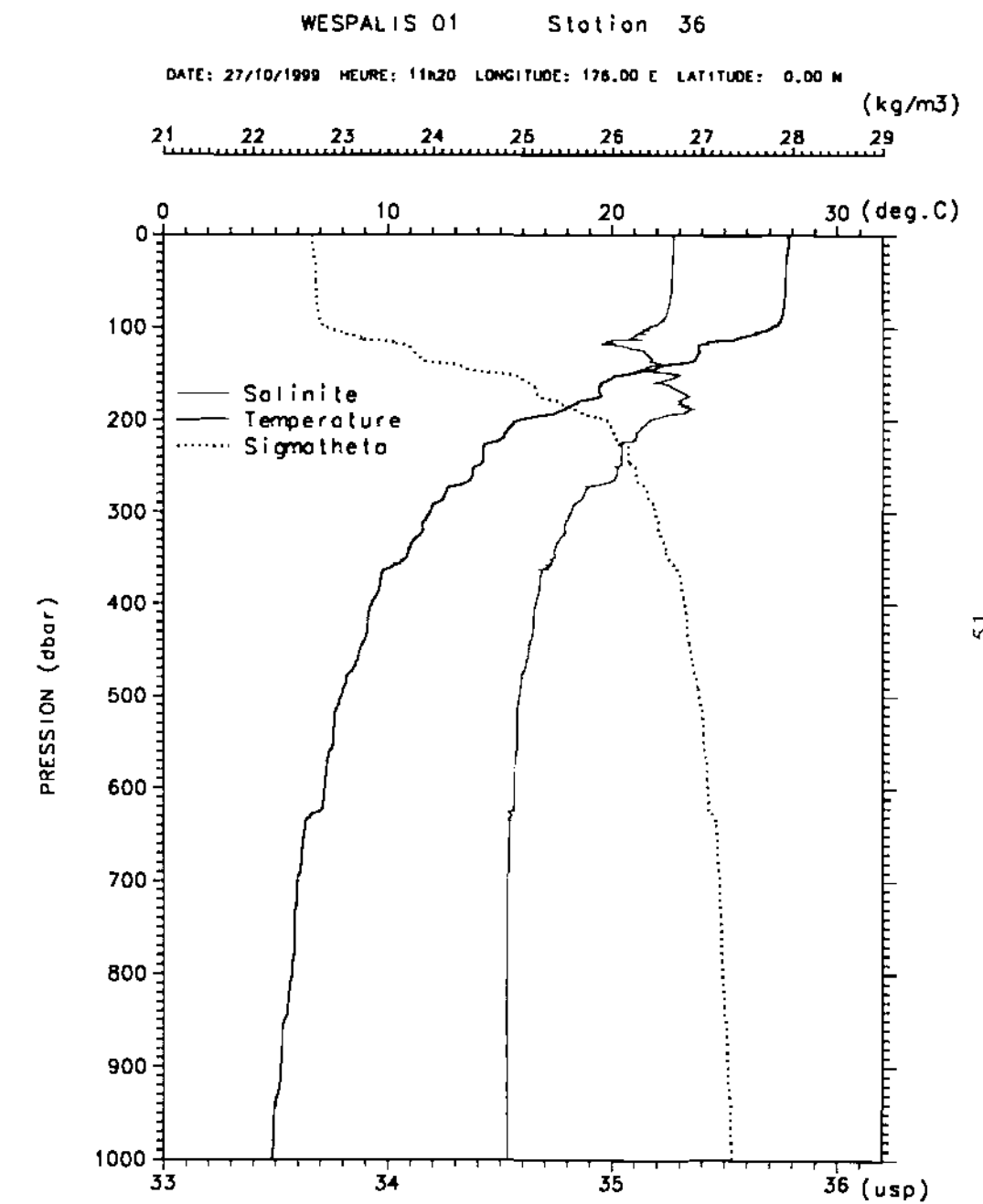


Figure 37

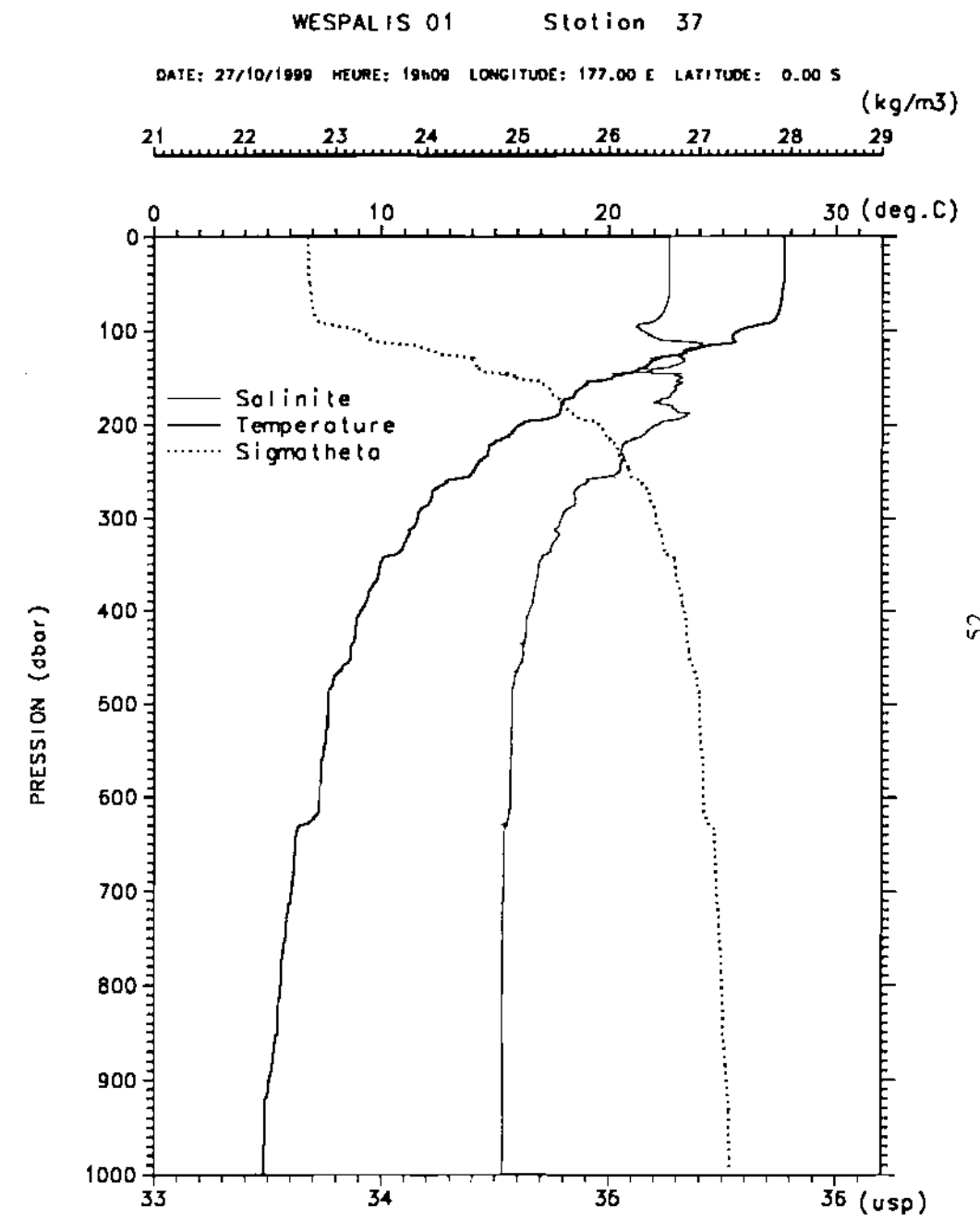
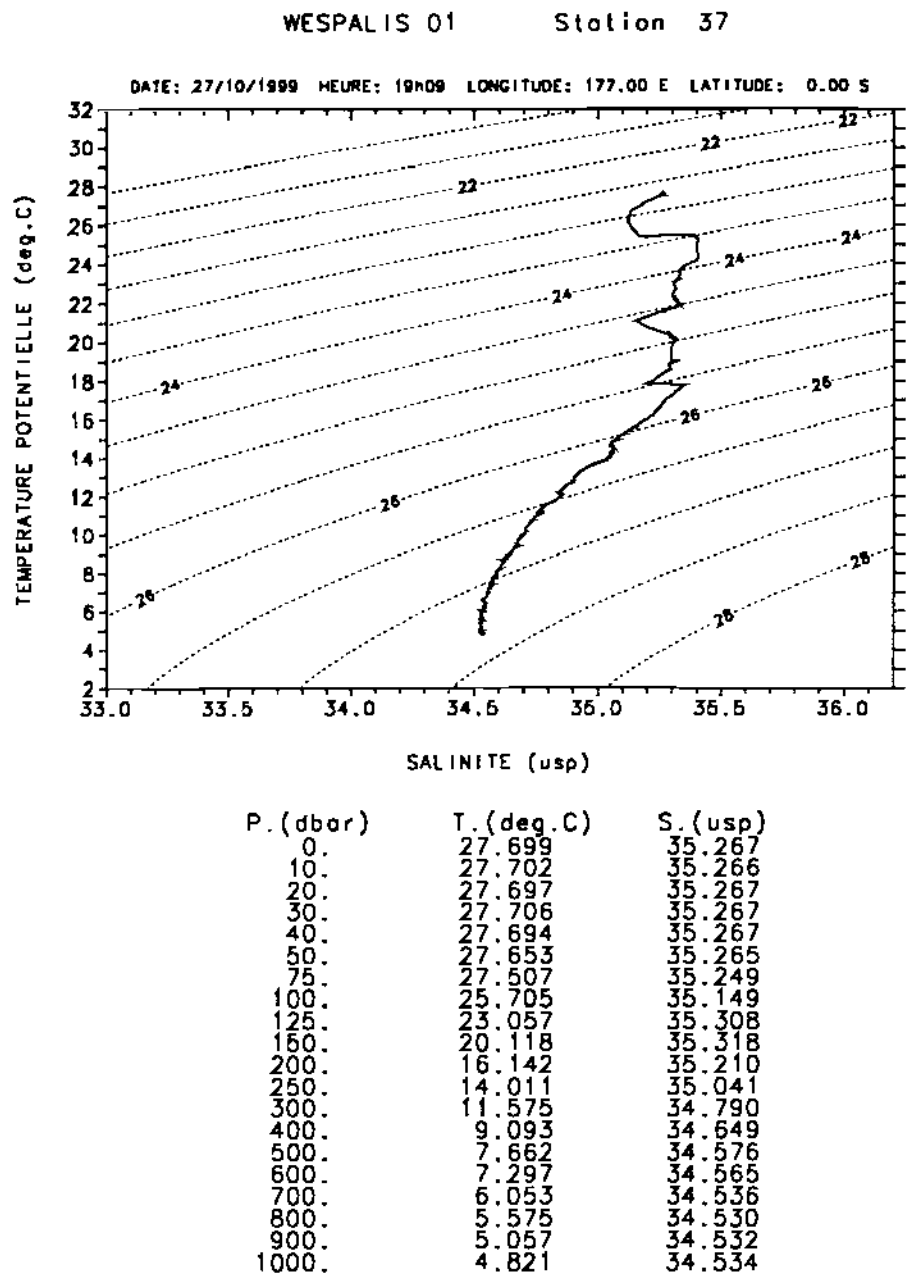
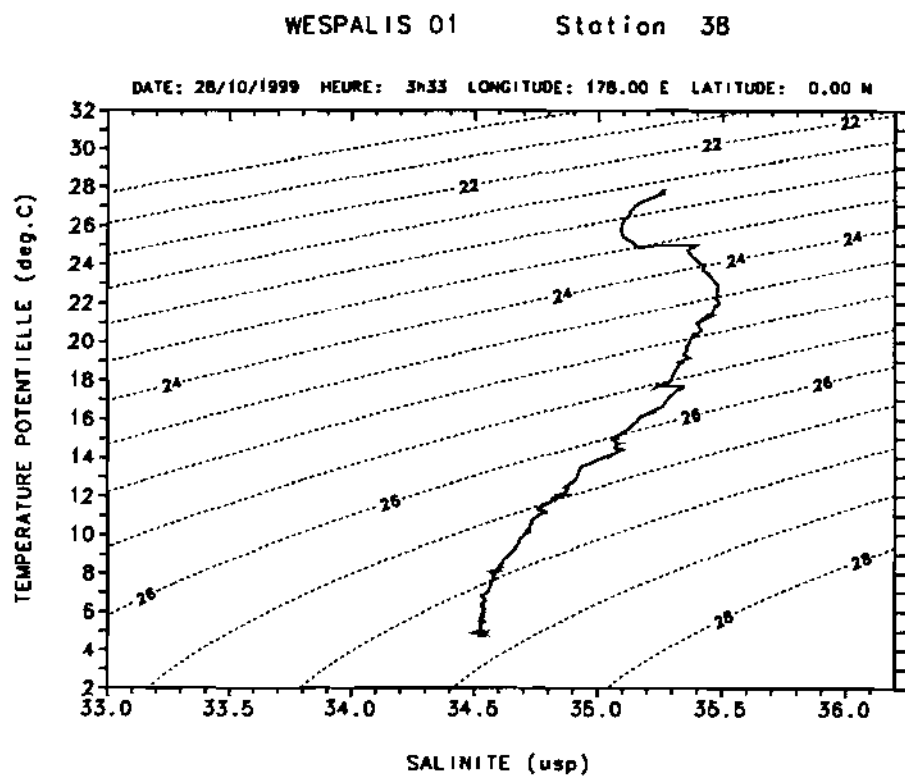


Figure 38



| P.(dbor) | T.(deg.C) | S.(psu) |
|----------|-----------|---------|
| 0. | 27.823 | 35.263 |
| 10. | 27.794 | 35.261 |
| 20. | 27.668 | 35.257 |
| 30. | 27.540 | 35.255 |
| 40. | 27.615 | 35.252 |
| 50. | 27.580 | 35.246 |
| 75. | 27.328 | 35.200 |
| 100. | 26.163 | 35.099 |
| 125. | 23.681 | 35.425 |
| 150. | 20.521 | 35.407 |
| 200. | 16.491 | 35.229 |
| 250. | 13.946 | 34.997 |
| 300. | 11.737 | 34.805 |
| 400. | 9.150 | 34.655 |
| 500. | 7.650 | 34.575 |
| 600. | 7.085 | 34.560 |
| 700. | 5.983 | 34.535 |
| 800. | 5.402 | 34.529 |
| 900. | 5.016 | 34.514 |
| 1000. | 4.774 | 34.533 |

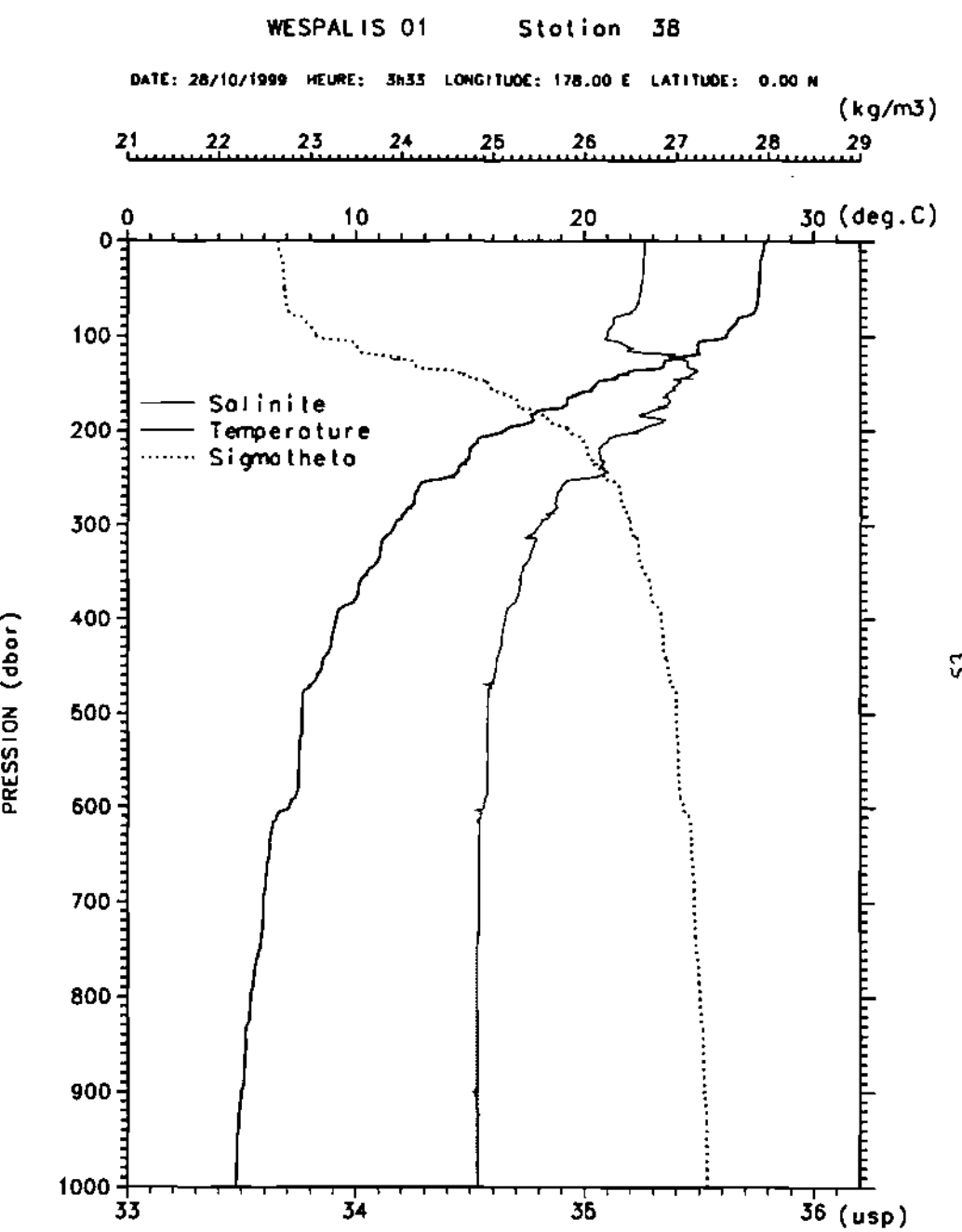


Figure 39

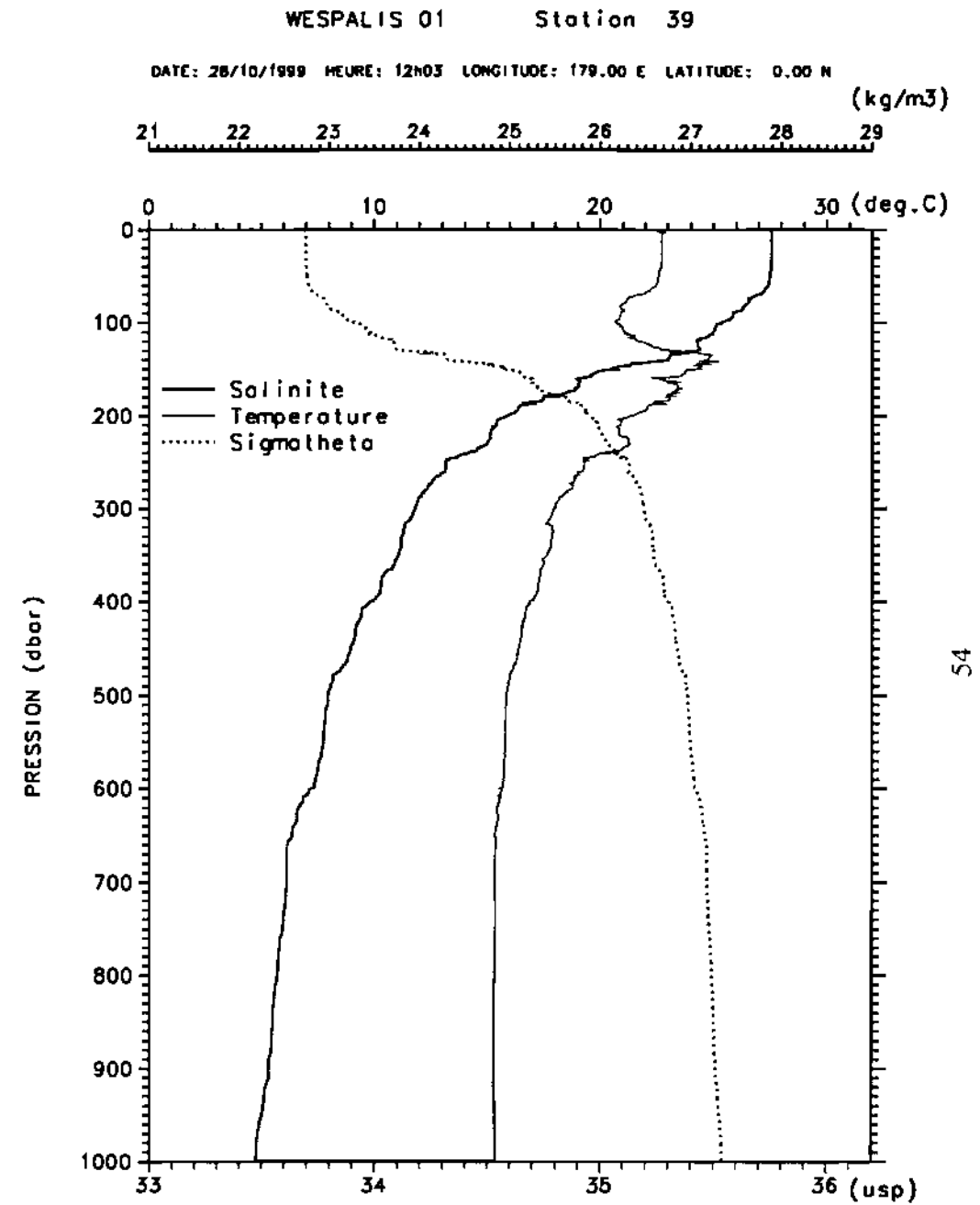
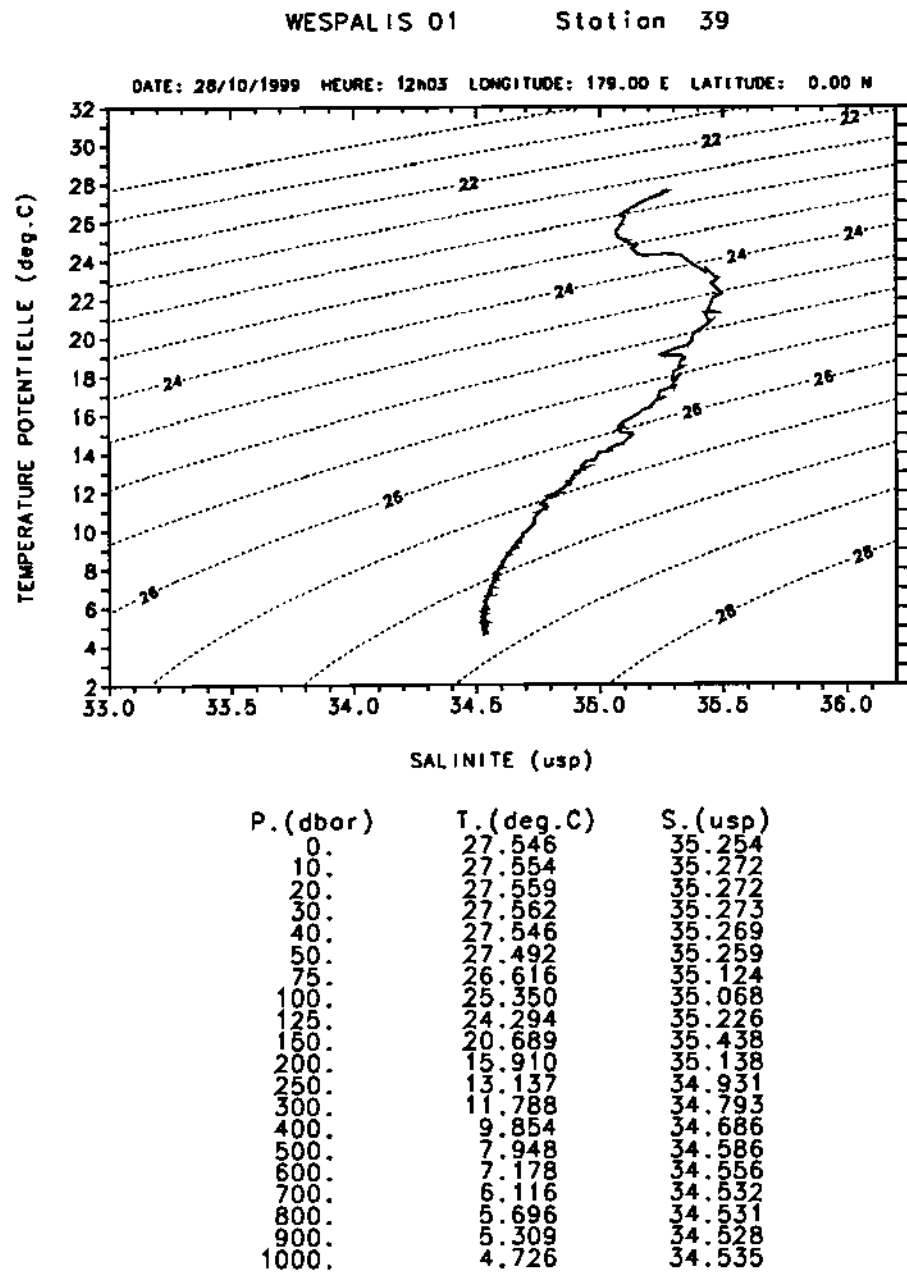
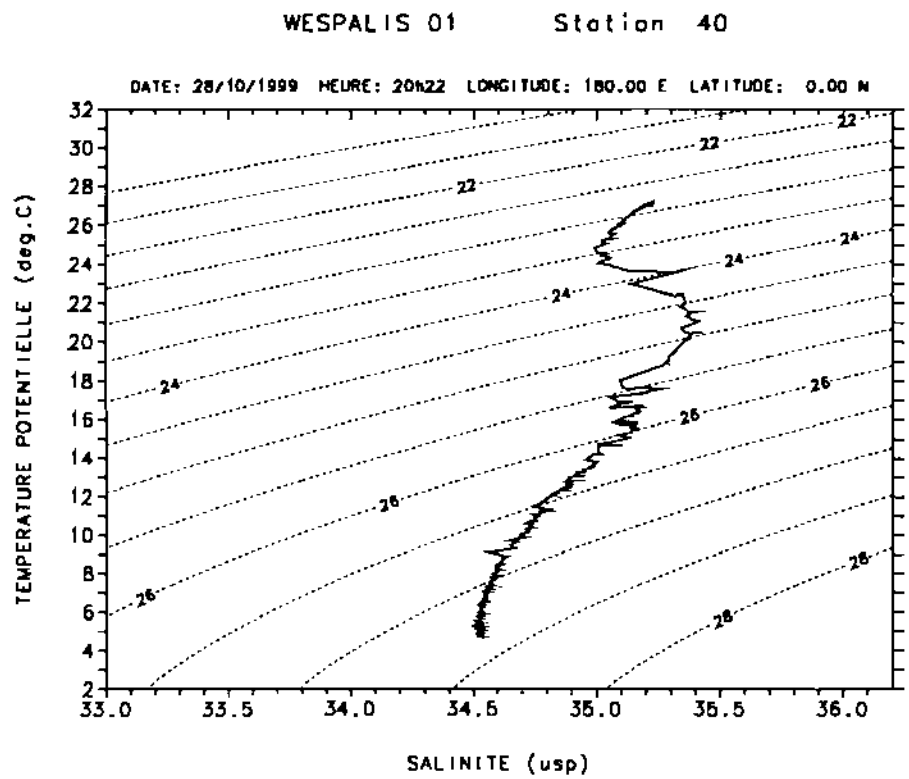


Figure 40



| P. (dbar) | T. (deg.C) | S. (psu) |
|-----------|------------|----------|
| 0. | 27.126 | 35.225 |
| 10. | 27.120 | 35.223 |
| 20. | 27.125 | 35.224 |
| 30. | 27.121 | 35.223 |
| 40. | 27.070 | 35.215 |
| 50. | 27.009 | 35.203 |
| 75. | 26.202 | 35.111 |
| 100. | 25.218 | 35.018 |
| 125. | 23.602 | 35.229 |
| 150. | 20.466 | 35.388 |
| 200. | 16.282 | 35.145 |
| 250. | 13.619 | 34.993 |
| 300. | 12.074 | 34.823 |
| 400. | 10.184 | 34.717 |
| 500. | 7.908 | 34.585 |
| 600. | 6.825 | 34.551 |
| 700. | 6.012 | 34.533 |
| 800. | 5.677 | 34.529 |
| 900. | 5.299 | 34.529 |
| 1000. | 4.779 | 34.535 |

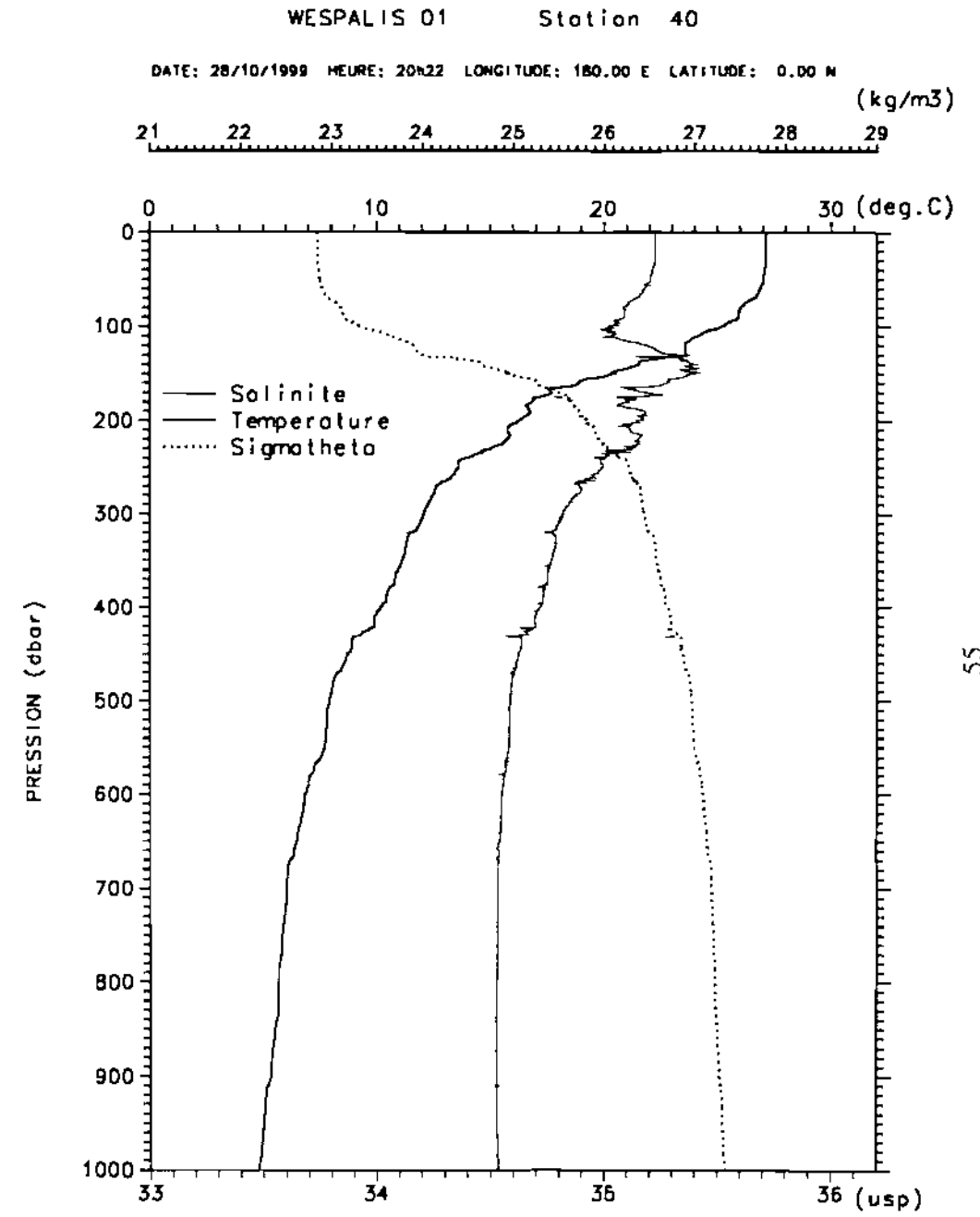


Figure 41

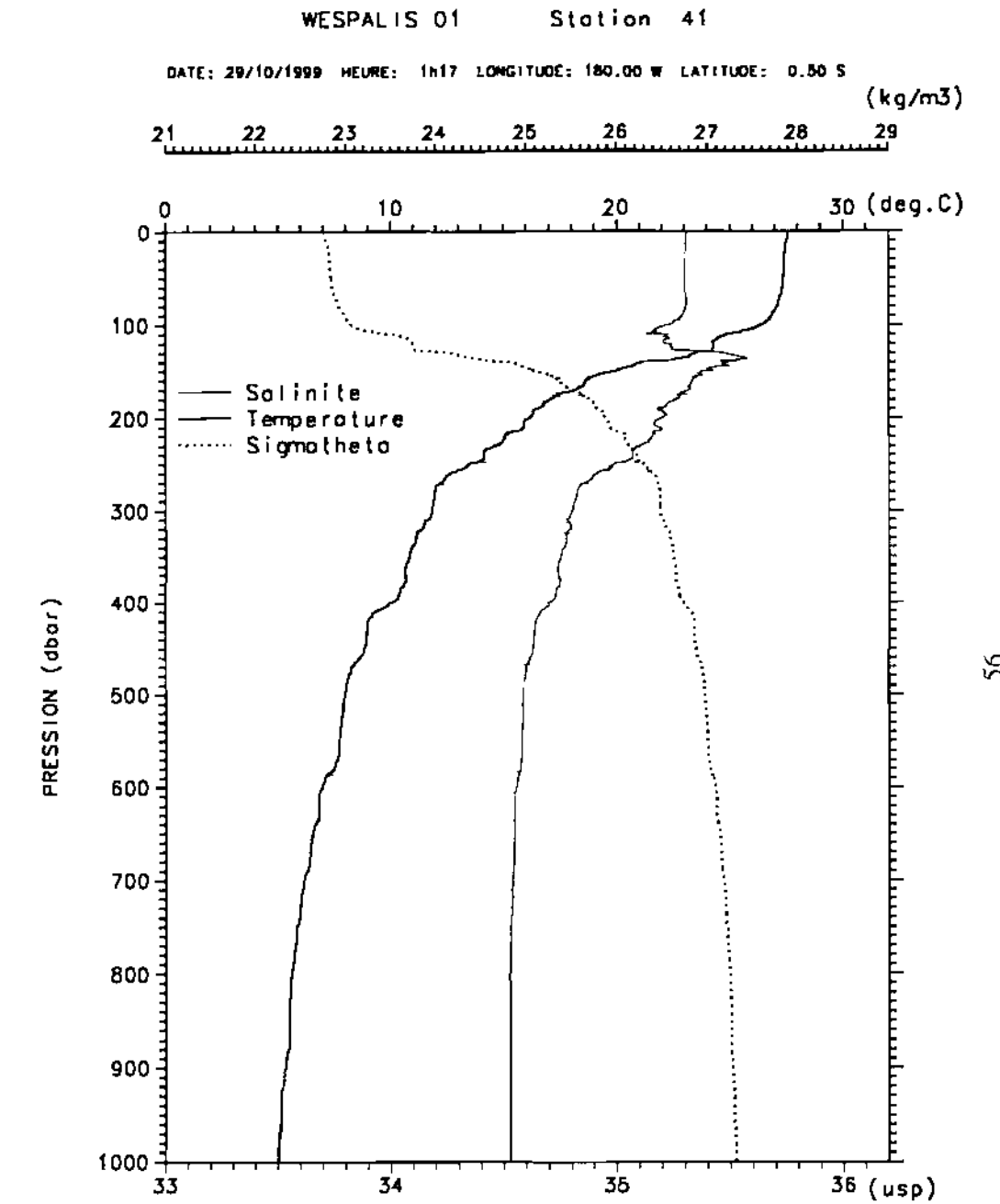
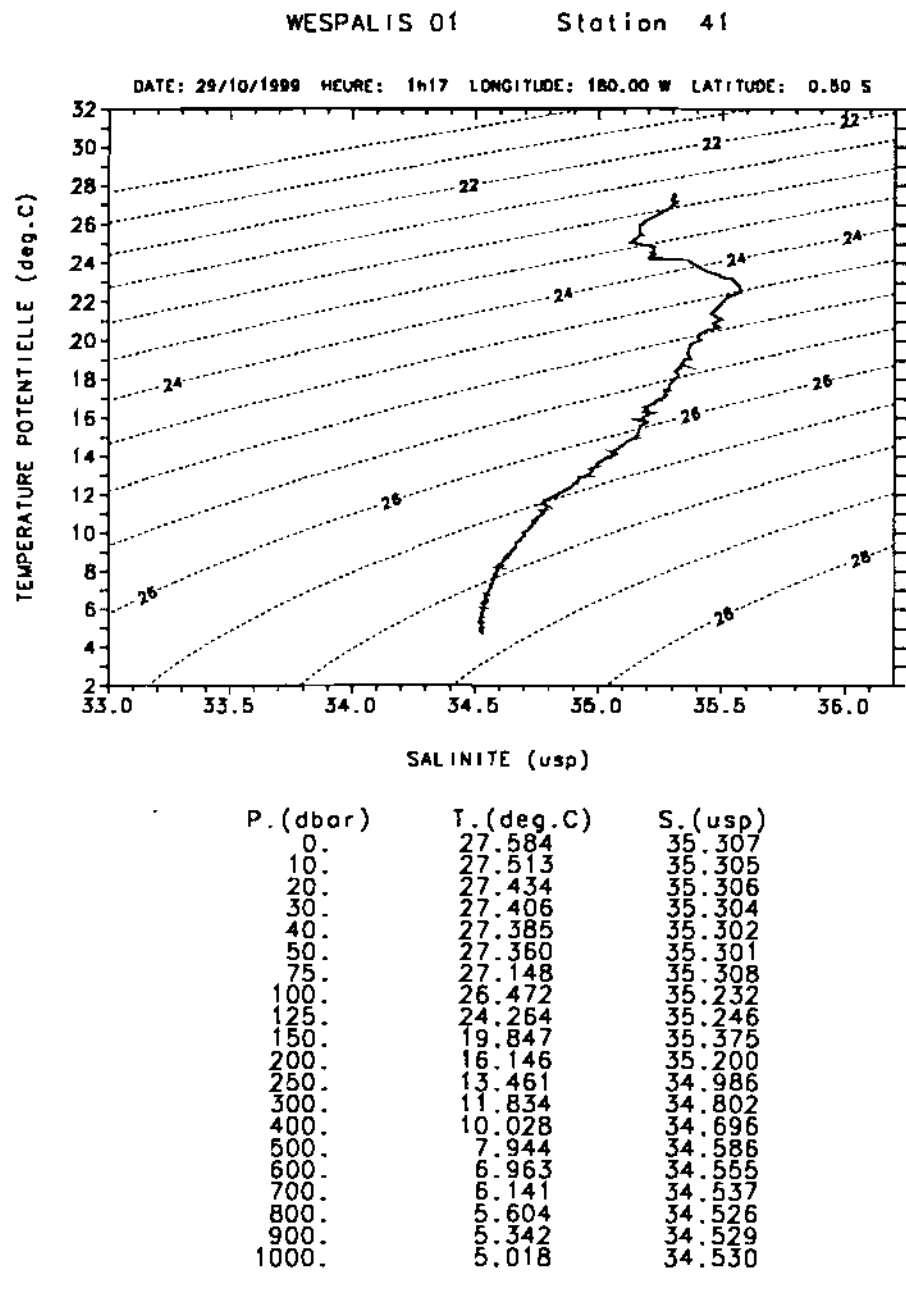
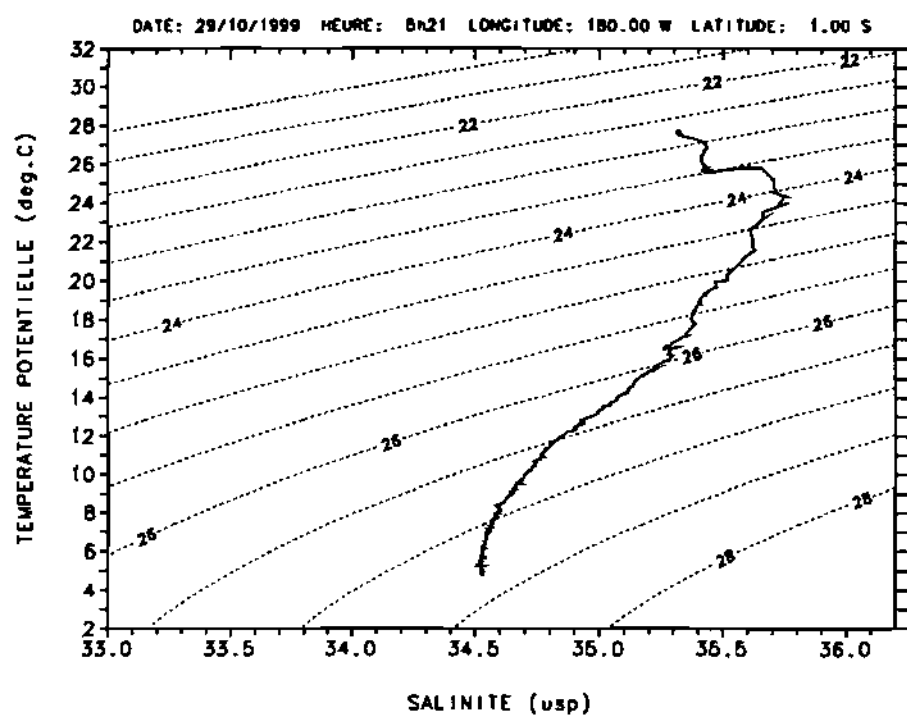


Figure 42

WESPALIS 01 Station 42



| P. (dbar) | T. (deg.C) | S. (psu) |
|-----------|------------|----------|
| 0. | 27.669 | 35.321 |
| 10. | 27.653 | 35.321 |
| 20. | 27.637 | 35.320 |
| 30. | 27.529 | 35.319 |
| 40. | 27.513 | 35.319 |
| 50. | 27.504 | 35.319 |
| 75. | 27.499 | 35.326 |
| 100. | 27.084 | 35.426 |
| 125. | 25.829 | 35.658 |
| 150. | 19.584 | 35.462 |
| 200. | 15.992 | 35.281 |
| 250. | 12.304 | 34.896 |
| 300. | 11.055 | 34.777 |
| 400. | 9.135 | 34.651 |
| 500. | 7.904 | 34.586 |
| 600. | 7.289 | 34.567 |
| 700. | 6.424 | 34.542 |
| 800. | 5.743 | 34.527 |
| 900. | 5.280 | 34.525 |
| 1000. | 4.884 | 34.528 |

WESPALIS 01 Station 42

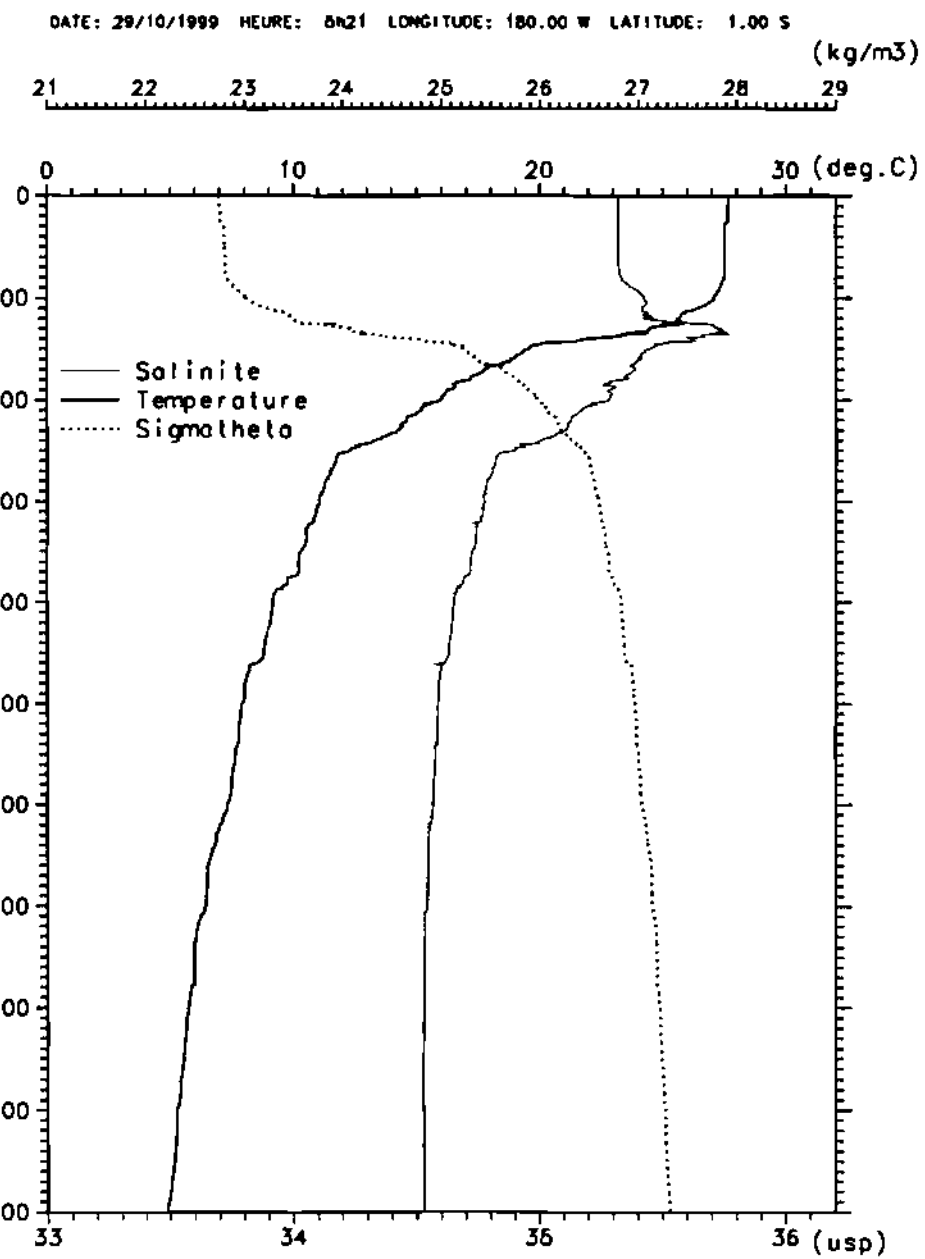


Figure 43

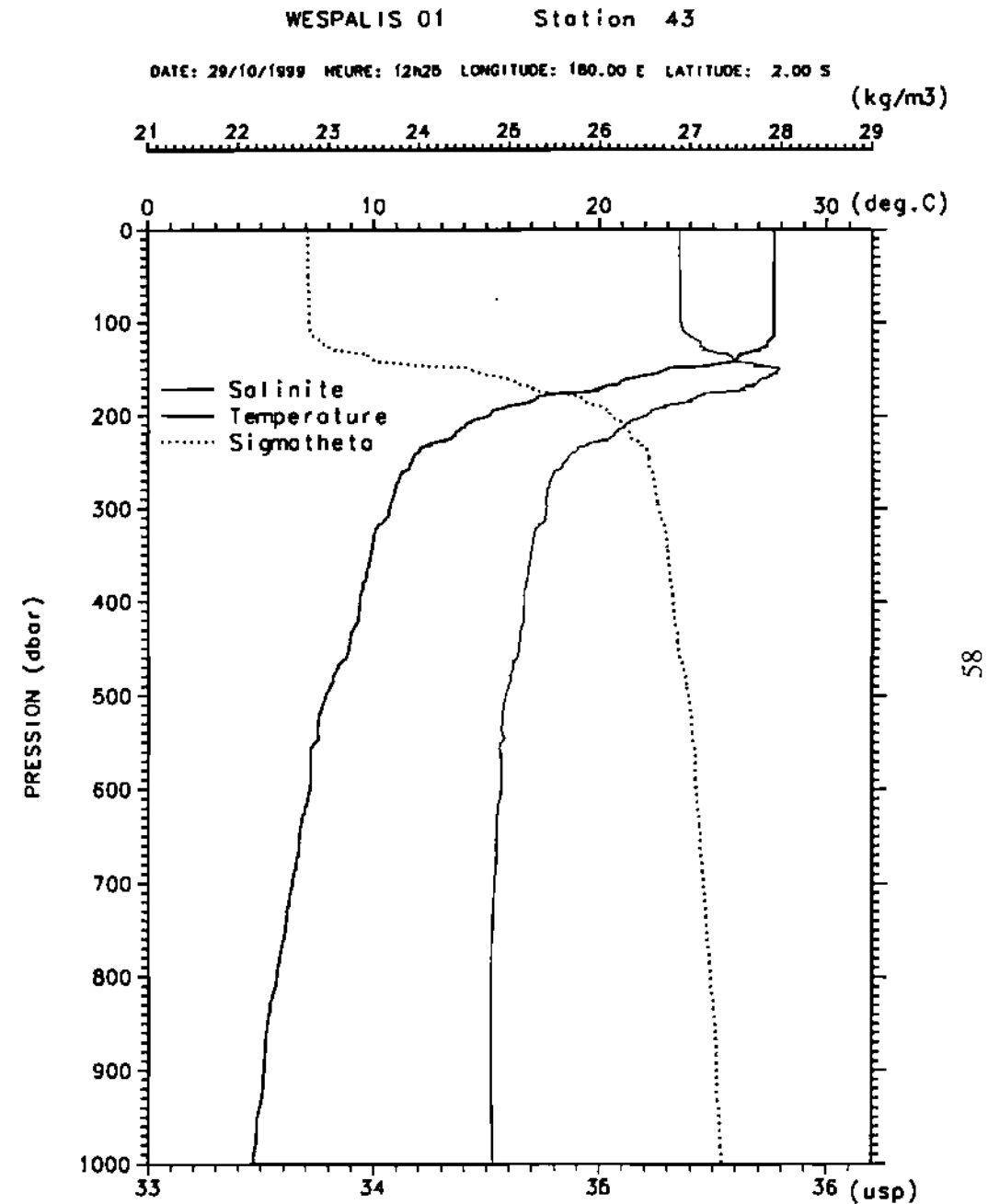
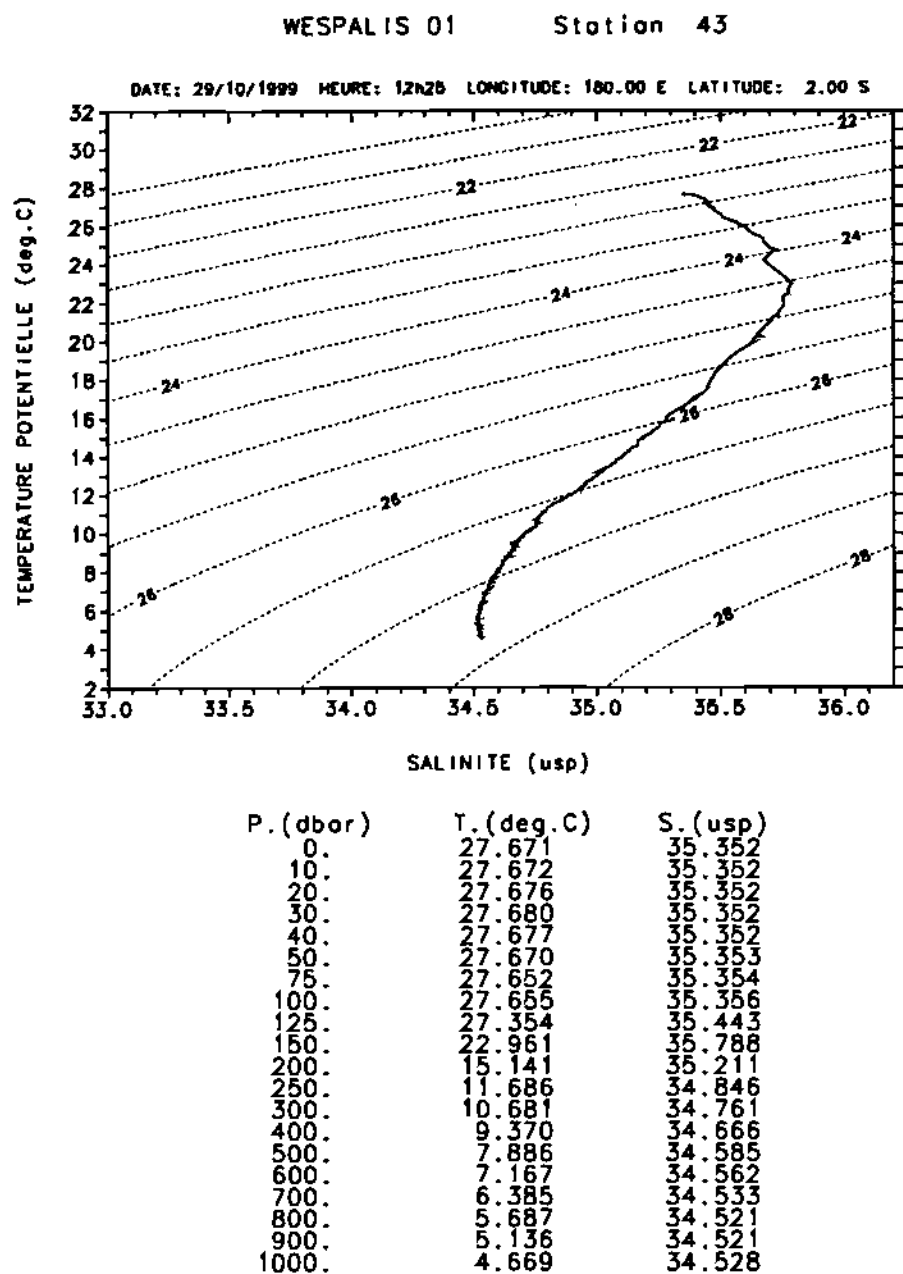


Figure 44

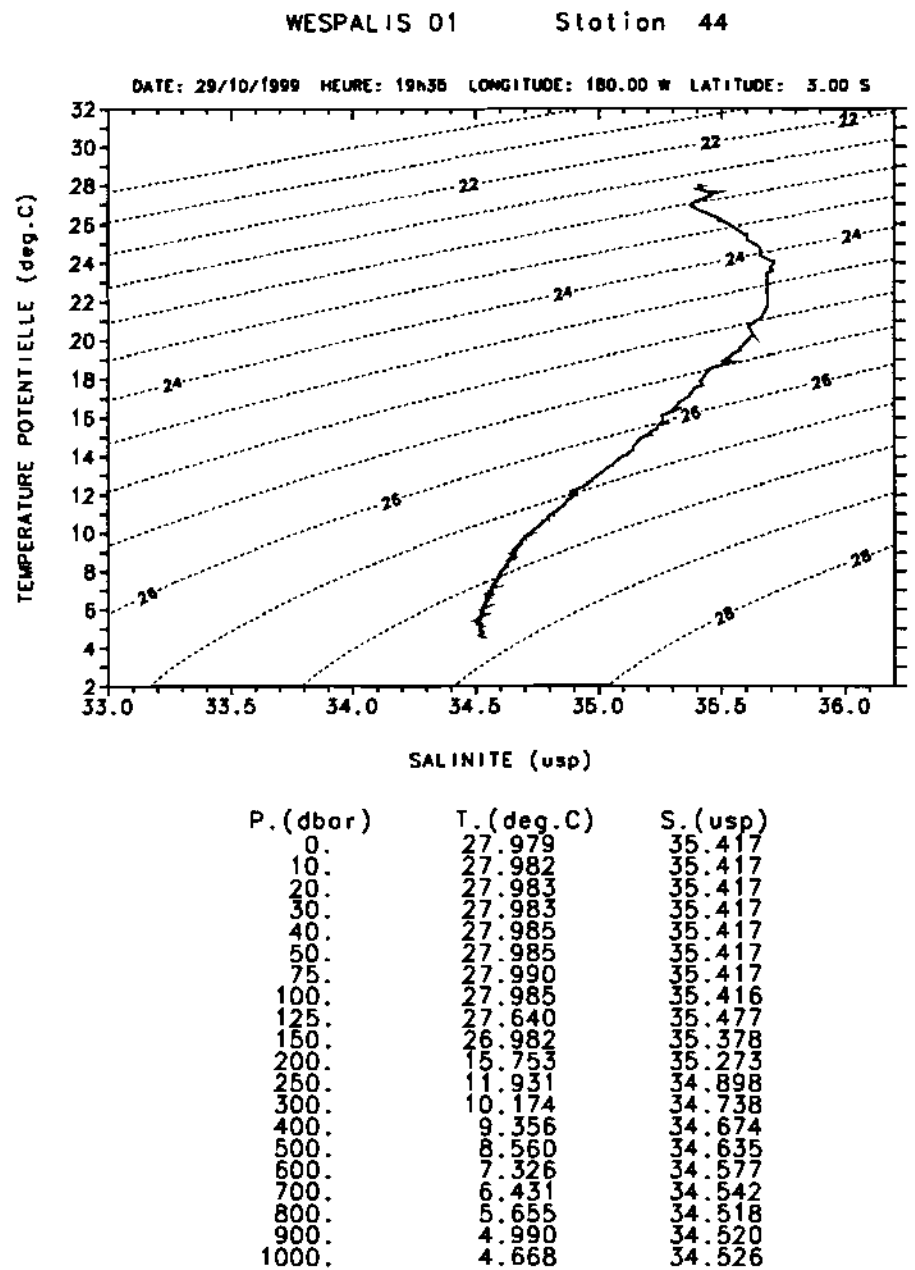
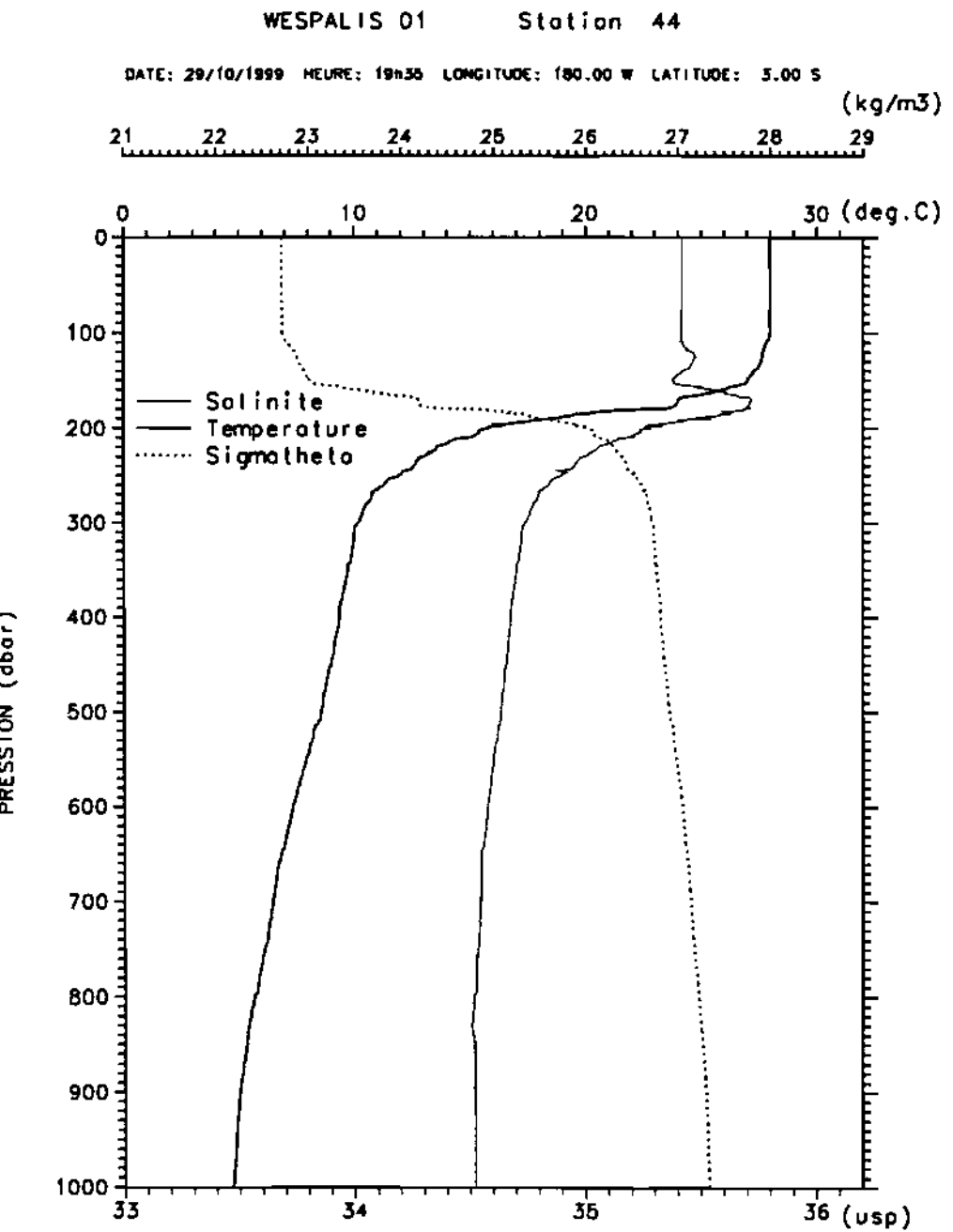


Figure 45



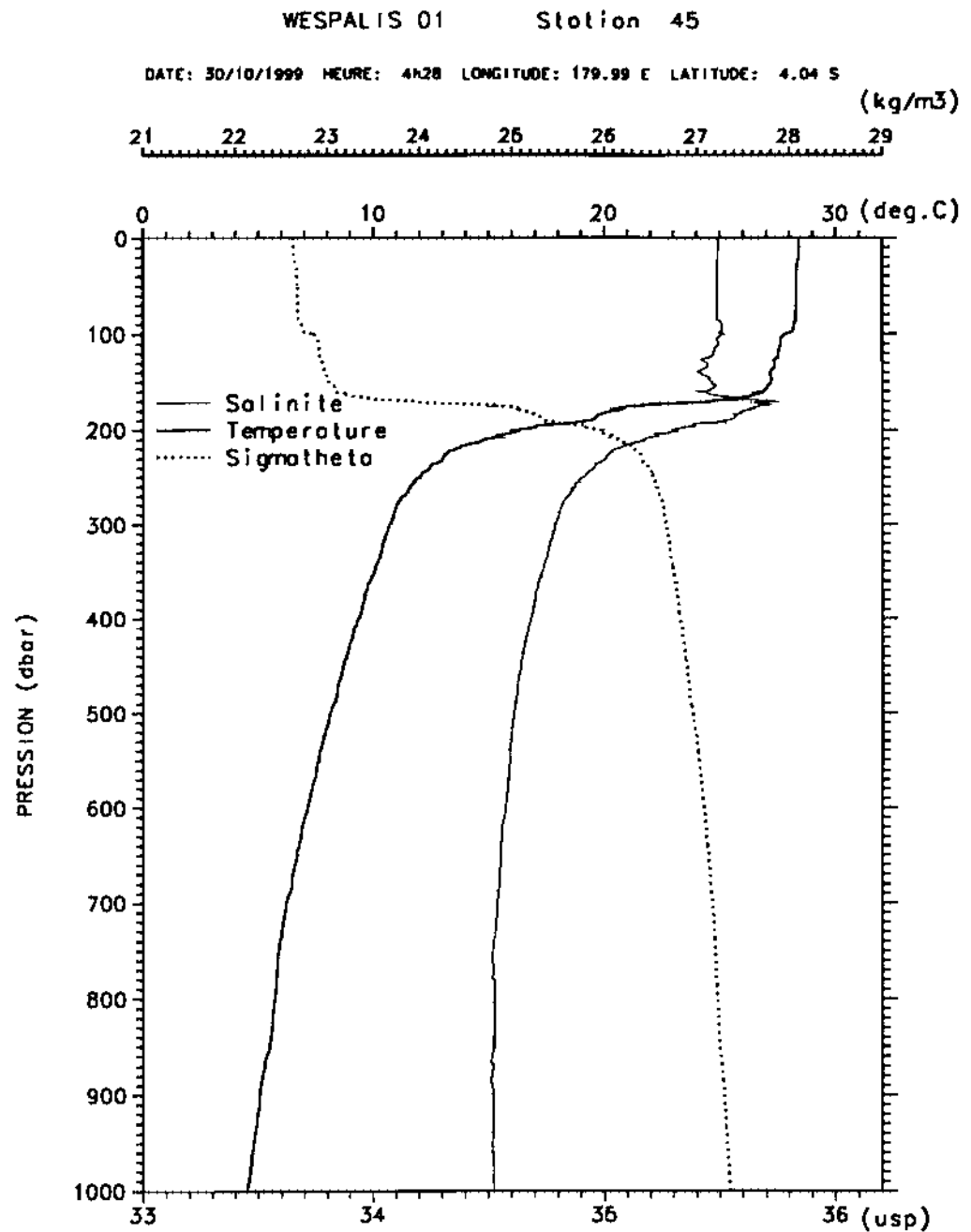
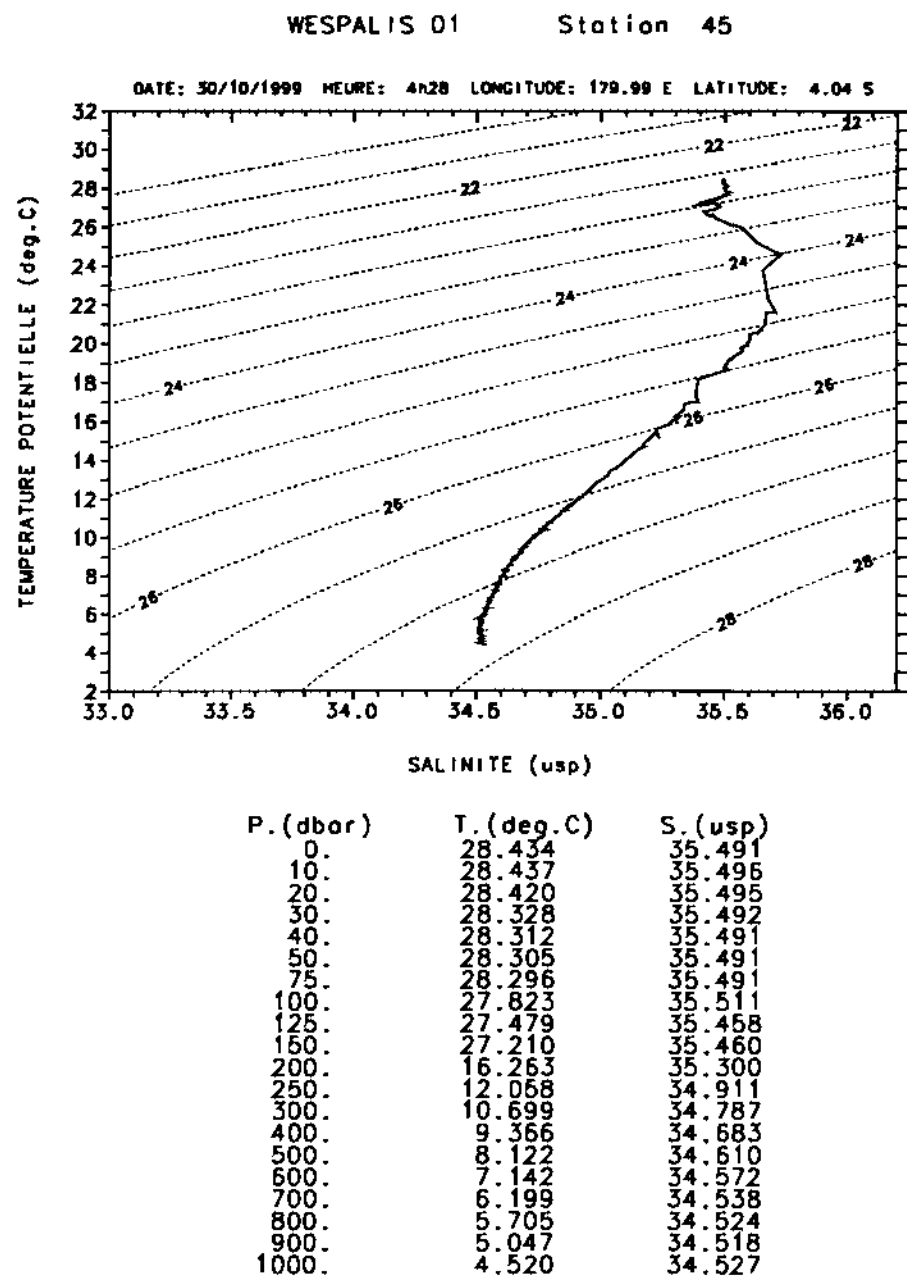
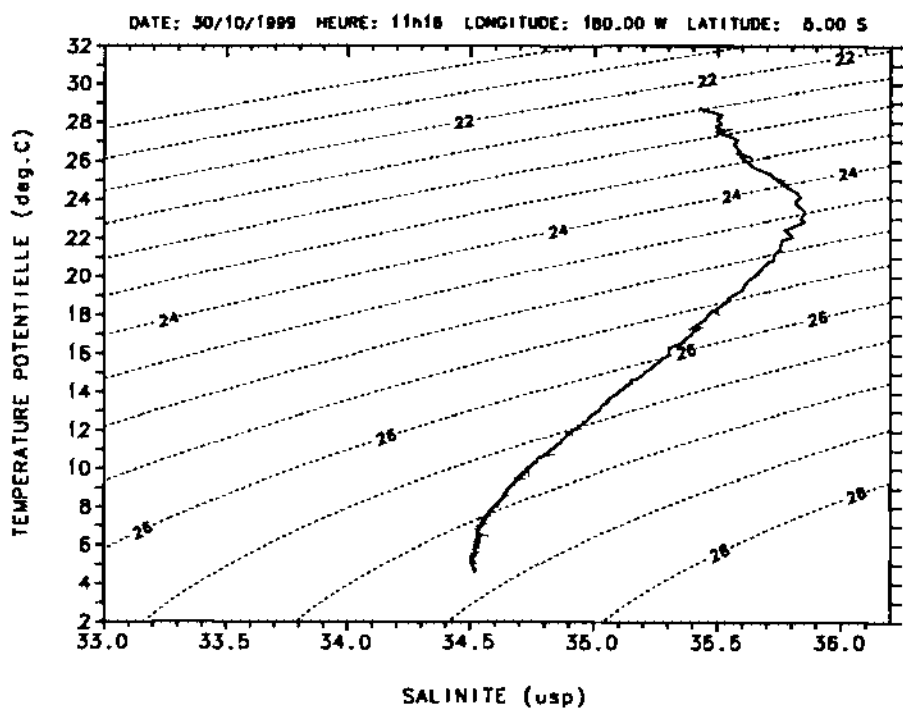


Figure 46

WESPALIS 01 Station 46



| P. (dbar) | T. (deg.C) | S. (psu) |
|-----------|------------|----------|
| 0. | 28.697 | 35.430 |
| 10. | 28.703 | 35.429 |
| 20. | 28.687 | 35.439 |
| 30. | 28.689 | 35.438 |
| 40. | 28.625 | 35.454 |
| 50. | 28.494 | 35.490 |
| 75. | 28.389 | 35.512 |
| 100. | 28.250 | 35.503 |
| 125. | 27.595 | 35.514 |
| 150. | 26.313 | 35.610 |
| 200. | 18.188 | 35.500 |
| 250. | 12.830 | 34.985 |
| 300. | 10.751 | 34.798 |
| 400. | 9.318 | 34.678 |
| 500. | 7.926 | 34.589 |
| 600. | 6.959 | 34.541 |
| 700. | 6.258 | 34.528 |
| 800. | 5.757 | 34.520 |
| 900. | 5.236 | 34.514 |
| 1000. | 4.661 | 34.519 |

WESPALIS 01 Station 46

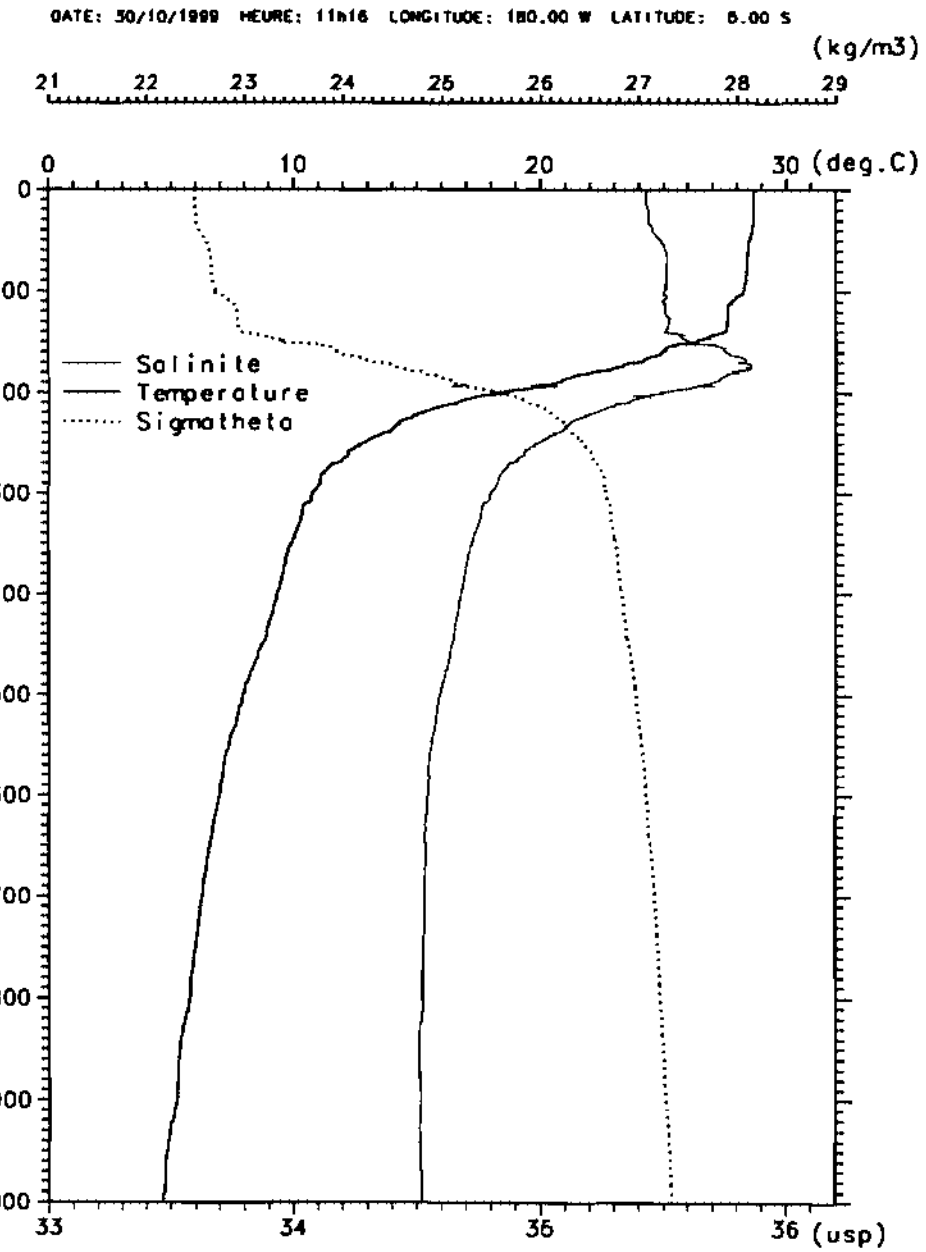
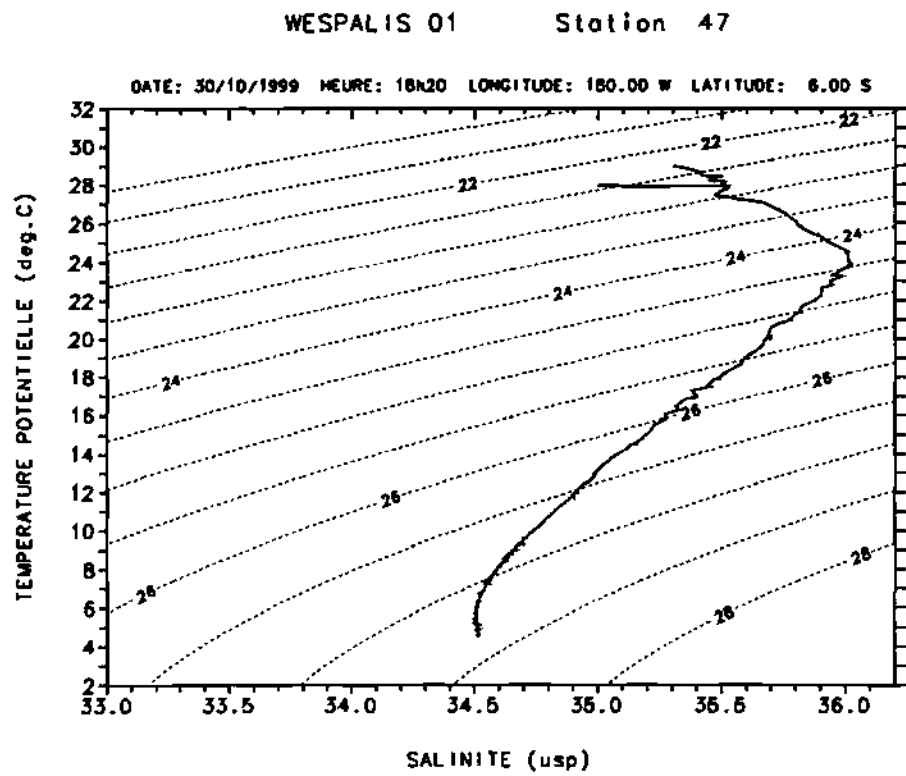


Figure 47



| P.(dbar) | T.(deg.C) | S.(psu) |
|----------|-----------|---------|
| 0. | 28.948 | 35.303 |
| 10. | 28.942 | 35.312 |
| 20. | 28.947 | 35.312 |
| 30. | 28.946 | 35.317 |
| 40. | 28.732 | 35.391 |
| 50. | 28.466 | 35.491 |
| 75. | 28.084 | 35.508 |
| 100. | 27.837 | 35.523 |
| 125. | 27.589 | 35.487 |
| 150. | 27.171 | 35.633 |
| 200. | 21.116 | 35.784 |
| 250. | 14.815 | 35.175 |
| 300. | 12.419 | 34.936 |
| 400. | 8.955 | 34.663 |
| 500. | 7.975 | 34.588 |
| 600. | 7.084 | 34.543 |
| 700. | 6.166 | 34.513 |
| 800. | 5.494 | 34.505 |
| 900. | 5.025 | 34.512 |
| 1000. | 4.582 | 34.520 |

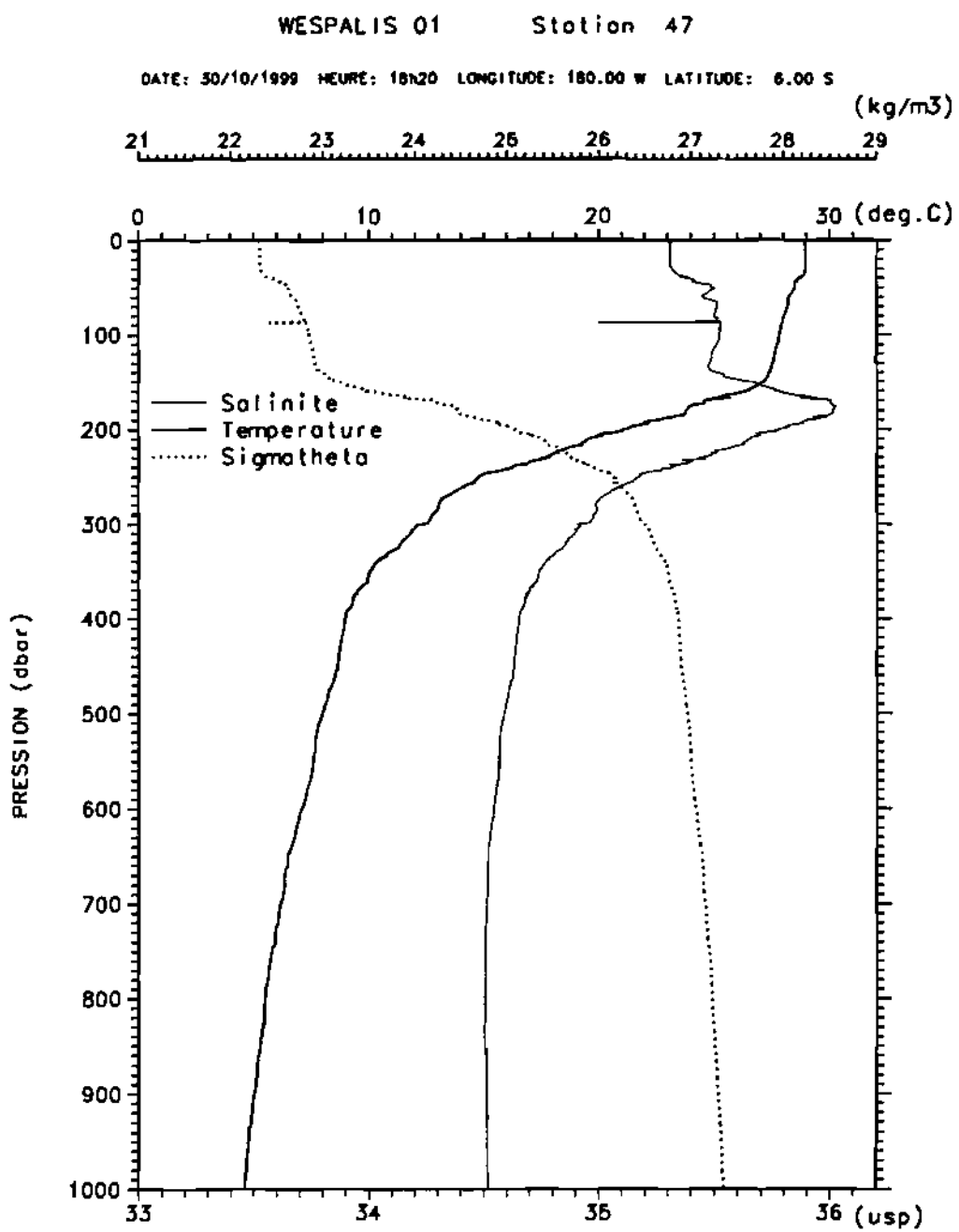
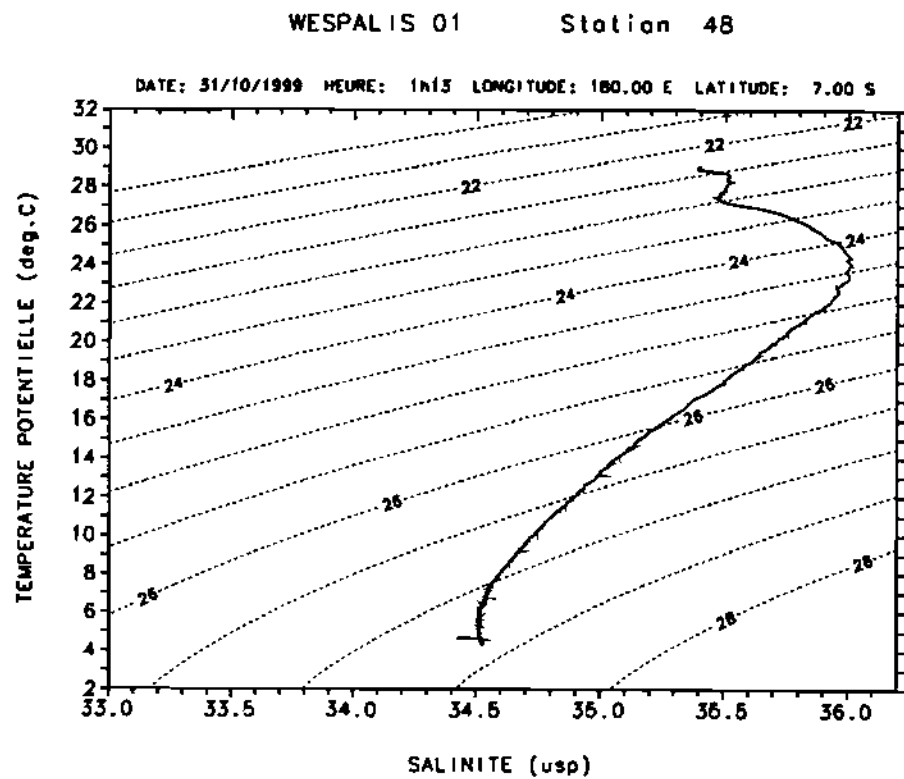


Figure 48



| P.(dbar) | T.(deg.C) | S.(psu) |
|----------|-----------|---------|
| 0. | 29.021 | 35.394 |
| 10. | 28.999 | 35.394 |
| 20. | 28.962 | 35.393 |
| 30. | 28.934 | 35.392 |
| 40. | 28.927 | 35.392 |
| 50. | 28.924 | 35.394 |
| 75. | 28.617 | 35.516 |
| 100. | 27.958 | 35.503 |
| 125. | 27.725 | 35.489 |
| 150. | 27.476 | 35.473 |
| 200. | 23.715 | 35.992 |
| 250. | 18.998 | 35.605 |
| 300. | 14.306 | 35.094 |
| 400. | 9.453 | 34.691 |
| 500. | 7.750 | 34.575 |
| 600. | 6.708 | 34.535 |
| 700. | 5.969 | 34.514 |
| 800. | 5.350 | 34.514 |
| 900. | 4.873 | 34.515 |
| 1000. | 4.401 | 34.526 |

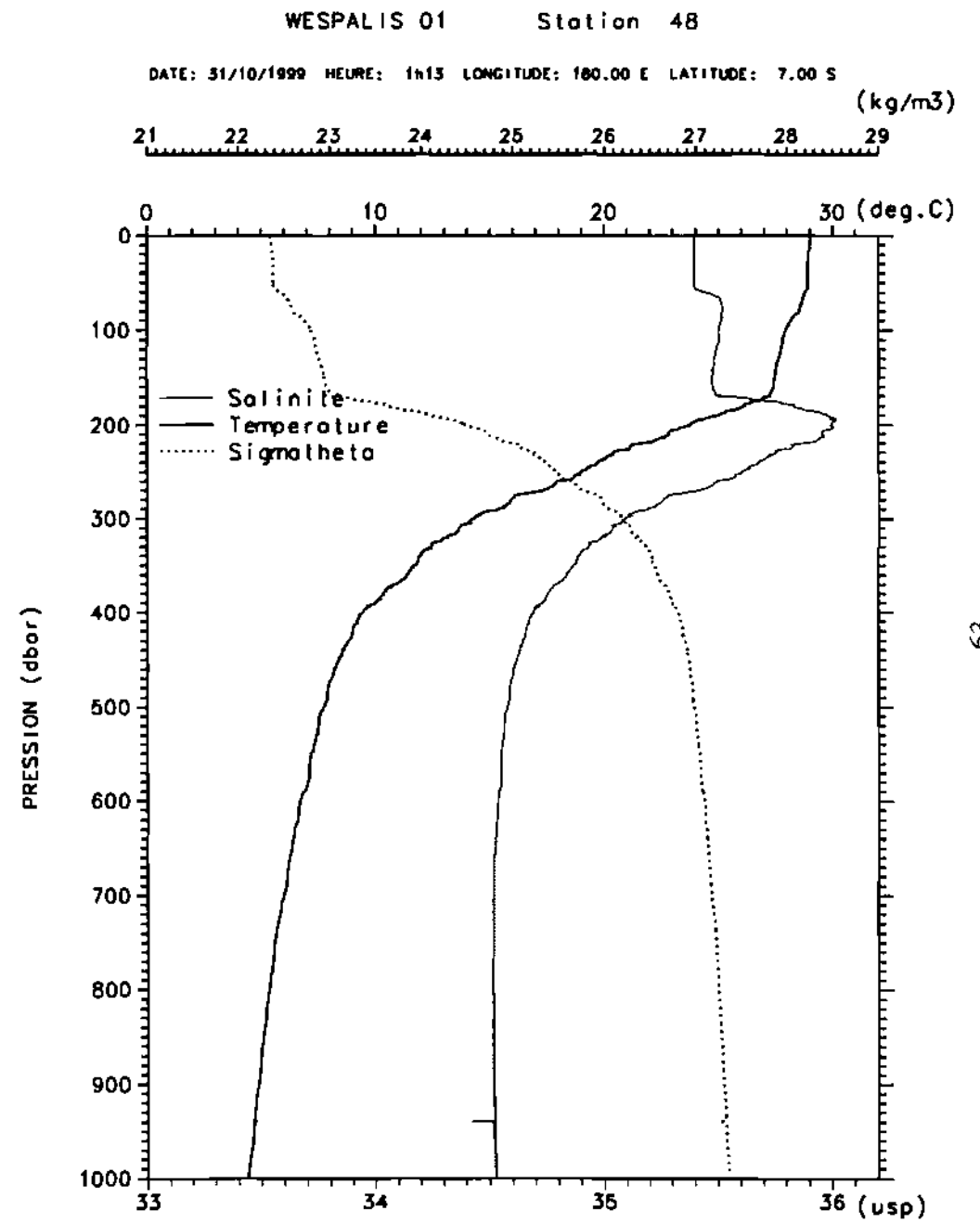
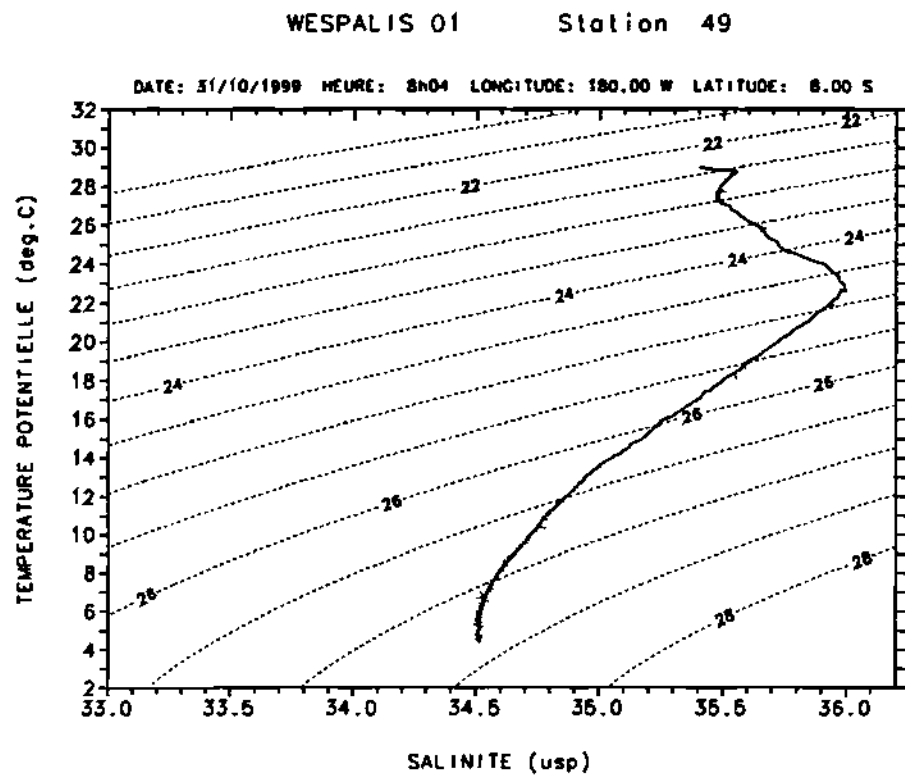


Figure 49



| P. (dbar) | T. (deg.C) | S. (psu) |
|-----------|------------|----------|
| 0. | 28.988 | 35.408 |
| 10. | 28.998 | 35.408 |
| 20. | 28.991 | 35.409 |
| 30. | 28.951 | 35.422 |
| 40. | 28.846 | 35.481 |
| 50. | 28.785 | 35.546 |
| 75. | 28.161 | 35.496 |
| 100. | 27.616 | 35.475 |
| 125. | 27.506 | 35.473 |
| 150. | 27.472 | 35.473 |
| 200. | 23.606 | 35.943 |
| 250. | 18.632 | 35.570 |
| 300. | 14.203 | 35.078 |
| 400. | 9.840 | 34.711 |
| 500. | 7.988 | 34.590 |
| 600. | 6.819 | 34.538 |
| 700. | 6.157 | 34.520 |
| 800. | 5.535 | 34.509 |
| 900. | 4.903 | 34.506 |
| 1000. | 4.544 | 34.513 |

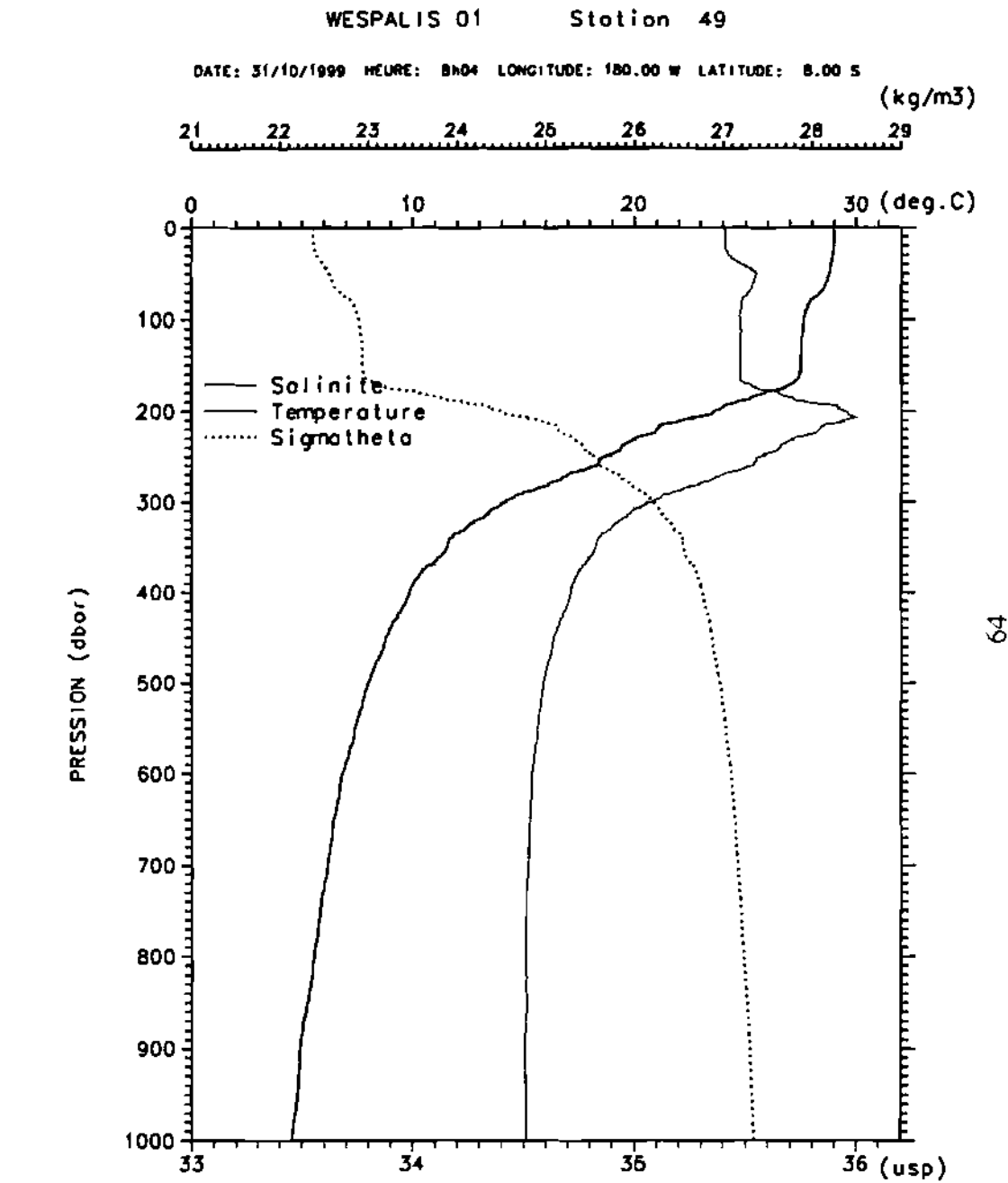
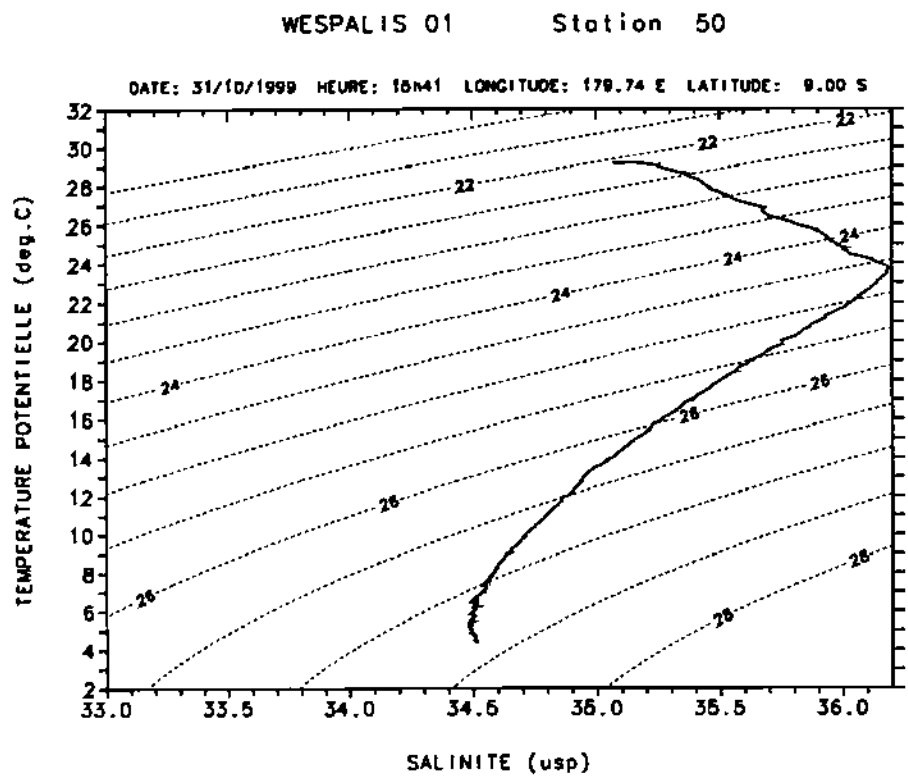


Figure 50



| P. (dbar) | T. (deg.C) | S. (psu) |
|-----------|------------|----------|
| 0. | 29.156 | 35.072 |
| 10. | 29.160 | 35.074 |
| 20. | 29.158 | 35.074 |
| 30. | 29.166 | 35.075 |
| 40. | 29.195 | 35.129 |
| 50. | 29.162 | 35.172 |
| 75. | 28.864 | 35.287 |
| 100. | 28.630 | 35.360 |
| 125. | 27.900 | 35.463 |
| 150. | 25.720 | 35.888 |
| 200. | 22.397 | 36.078 |
| 250. | 18.320 | 35.544 |
| 300. | 14.396 | 35.101 |
| 400. | 9.896 | 34.707 |
| 500. | 7.639 | 34.557 |
| 600. | 6.578 | 34.497 |
| 700. | 5.884 | 34.493 |
| 800. | 5.375 | 34.493 |
| 900. | 4.881 | 34.497 |
| 1000. | 4.466 | 34.512 |

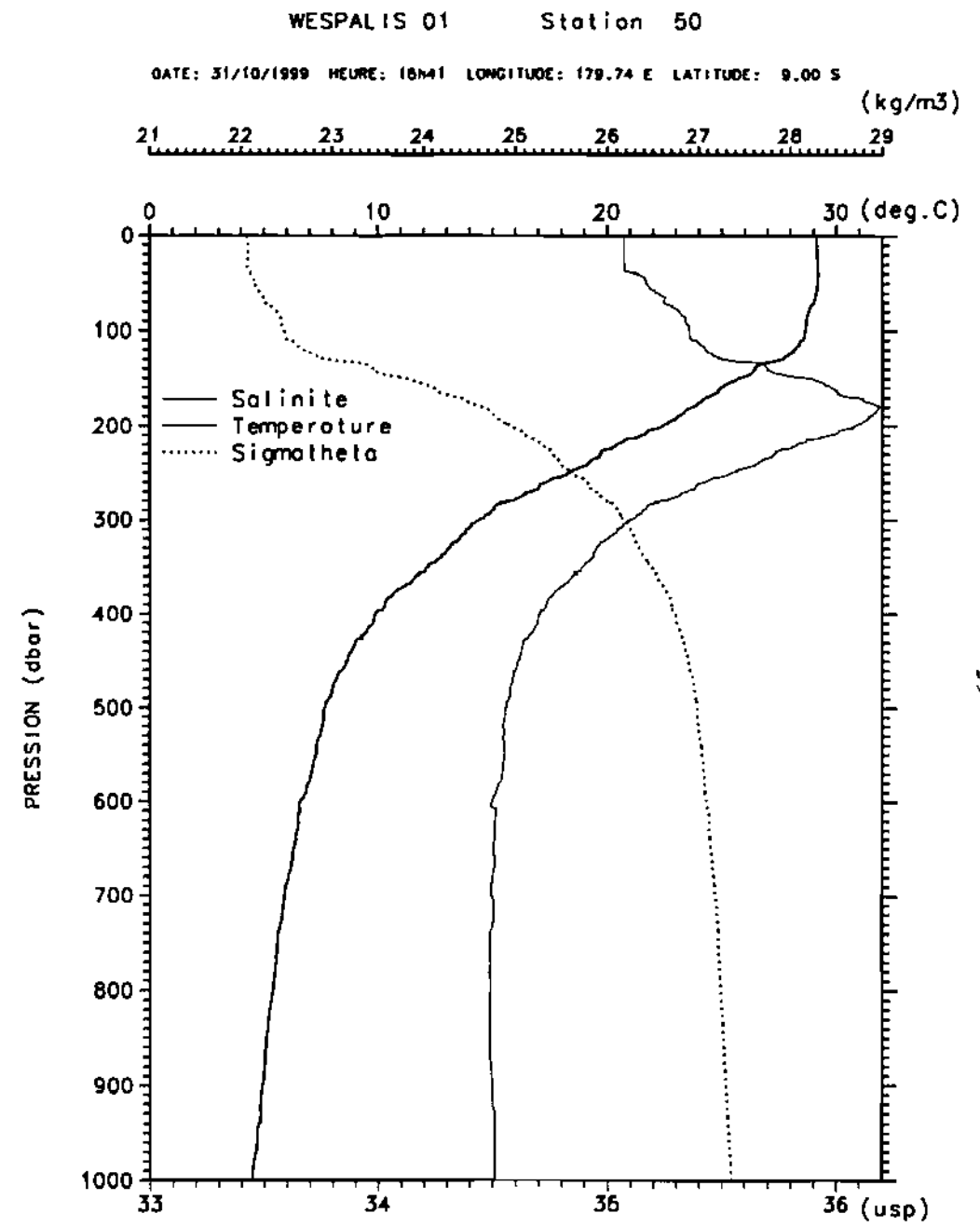
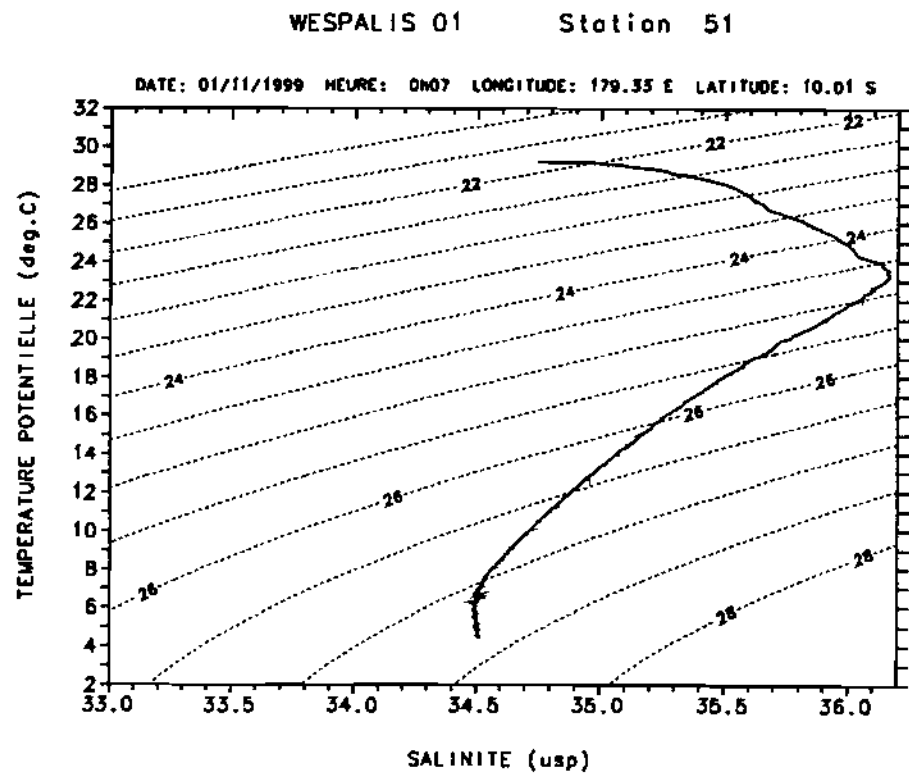


Figure 51



| P. (dbar) | T. (deg.C) | S. (psu) |
|-----------|------------|----------|
| 0. | 29.212 | 34.746 |
| 10. | 29.176 | 34.890 |
| 20. | 29.167 | 34.908 |
| 30. | 29.126 | 34.987 |
| 40. | 29.126 | 35.007 |
| 50. | 29.119 | 35.013 |
| 75. | 28.749 | 35.257 |
| 100. | 27.365 | 35.605 |
| 125. | 25.509 | 35.924 |
| 150. | 24.768 | 36.017 |
| 200. | 21.610 | 35.970 |
| 250. | 18.095 | 35.498 |
| 300. | 14.490 | 35.105 |
| 400. | 10.021 | 34.715 |
| 500. | 7.696 | 34.540 |
| 600. | 6.680 | 34.514 |
| 700. | 5.842 | 34.496 |
| 800. | 5.437 | 34.504 |
| 900. | 5.005 | 34.503 |
| 1000. | 4.567 | 34.509 |

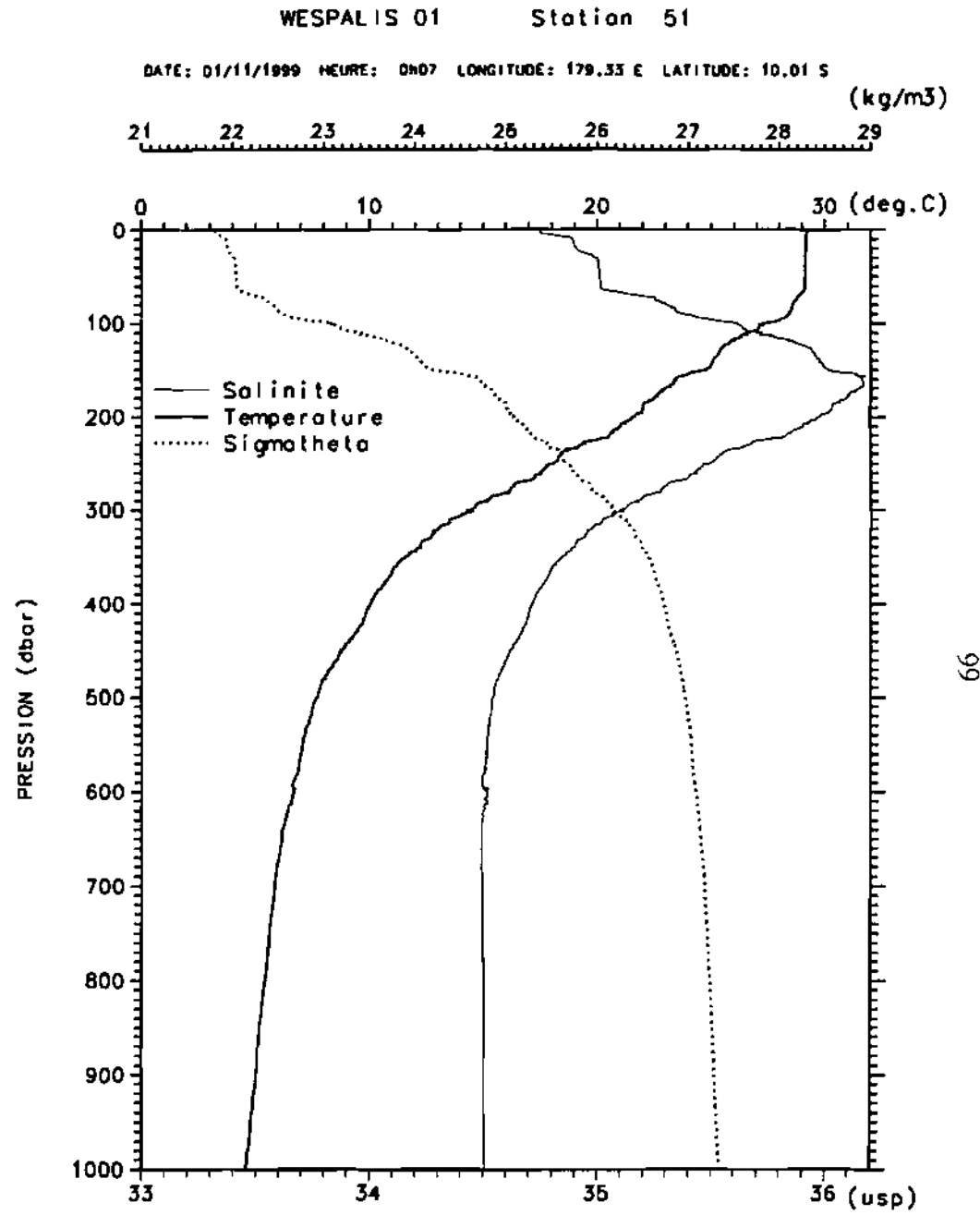
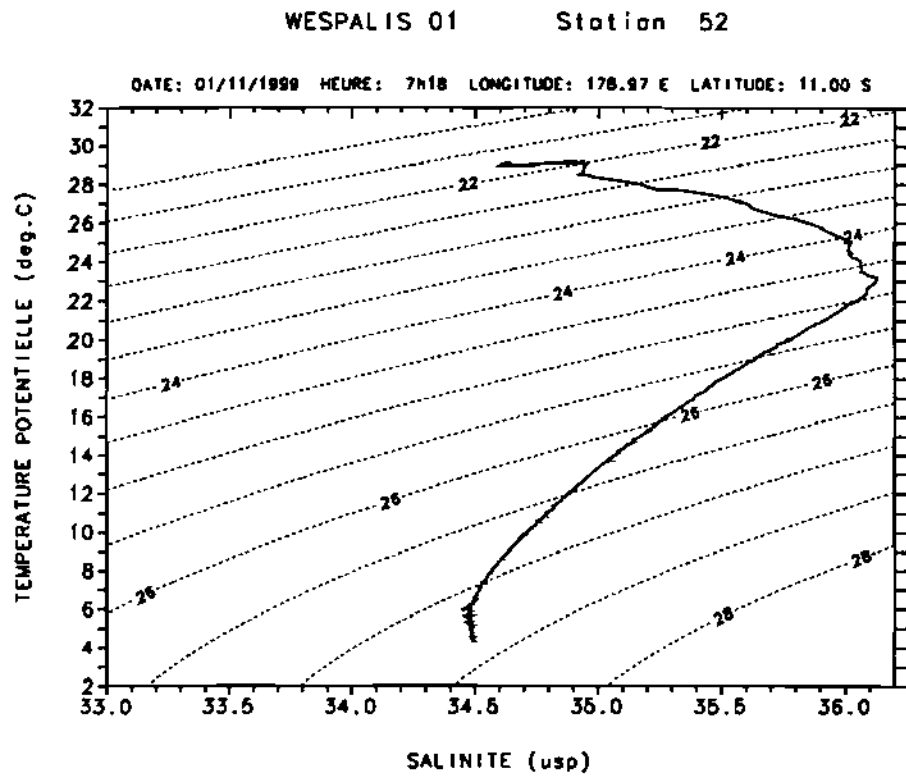


Figure 52



| P.(dbar) | T.(deg.C) | S.(psu) |
|----------|-----------|---------|
| 0. | 29.097 | 34.627 |
| 10. | 29.117 | 34.637 |
| 20. | 28.970 | 34.606 |
| 30. | 28.993 | 34.638 |
| 40. | 29.094 | 34.808 |
| 50. | 29.118 | 34.870 |
| 75. | 29.047 | 34.952 |
| 100. | 27.770 | 35.236 |
| 125. | 26.239 | 35.800 |
| 160. | 24.933 | 36.011 |
| 200. | 21.972 | 36.028 |
| 250. | 18.111 | 35.518 |
| 300. | 14.525 | 35.117 |
| 400. | 10.126 | 34.719 |
| 500. | 7.417 | 34.535 |
| 600. | 6.543 | 34.500 |
| 700. | 5.687 | 34.471 |
| 800. | 5.140 | 34.485 |
| 900. | 4.673 | 34.487 |
| 1000. | 4.394 | 34.498 |

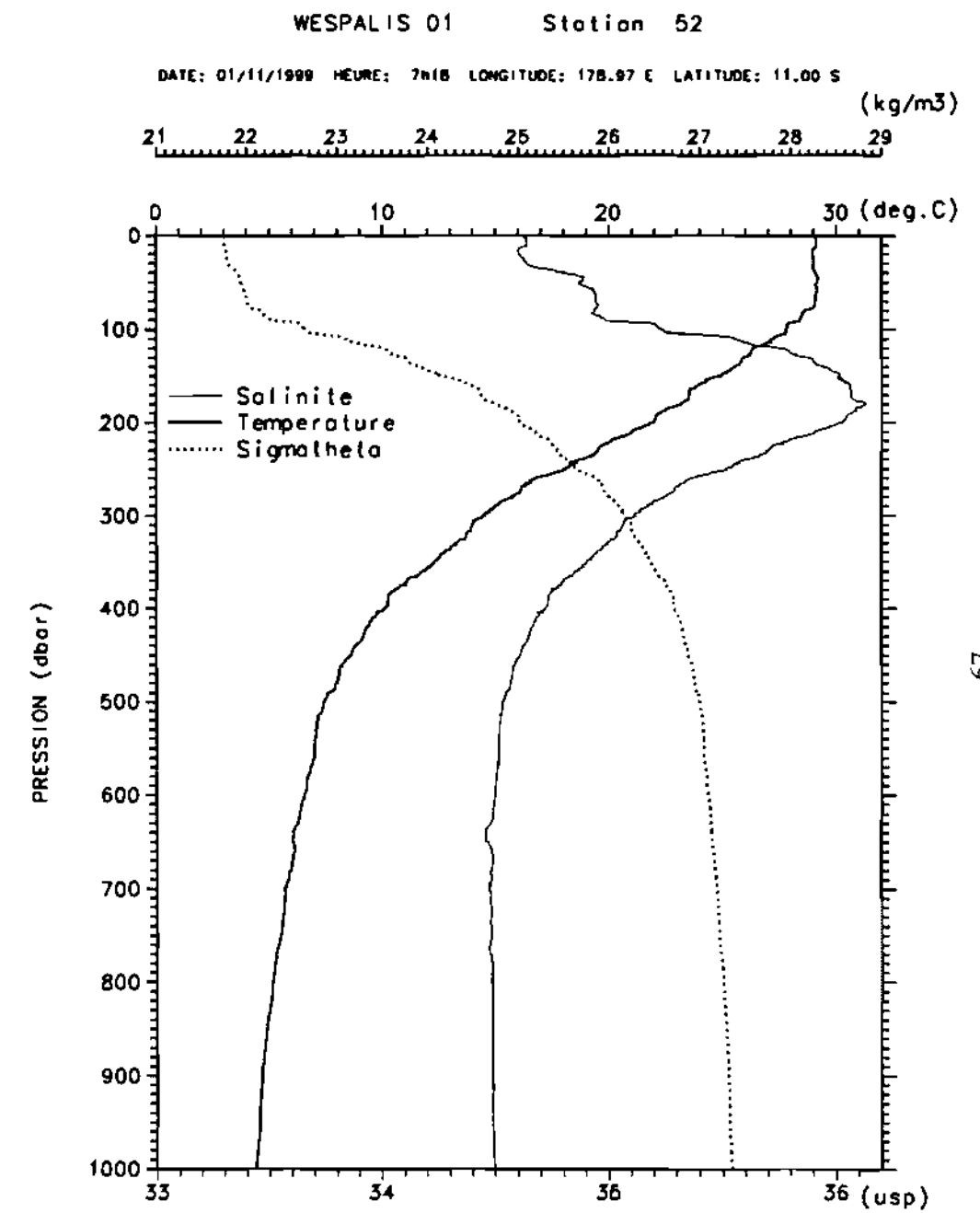


Figure 53

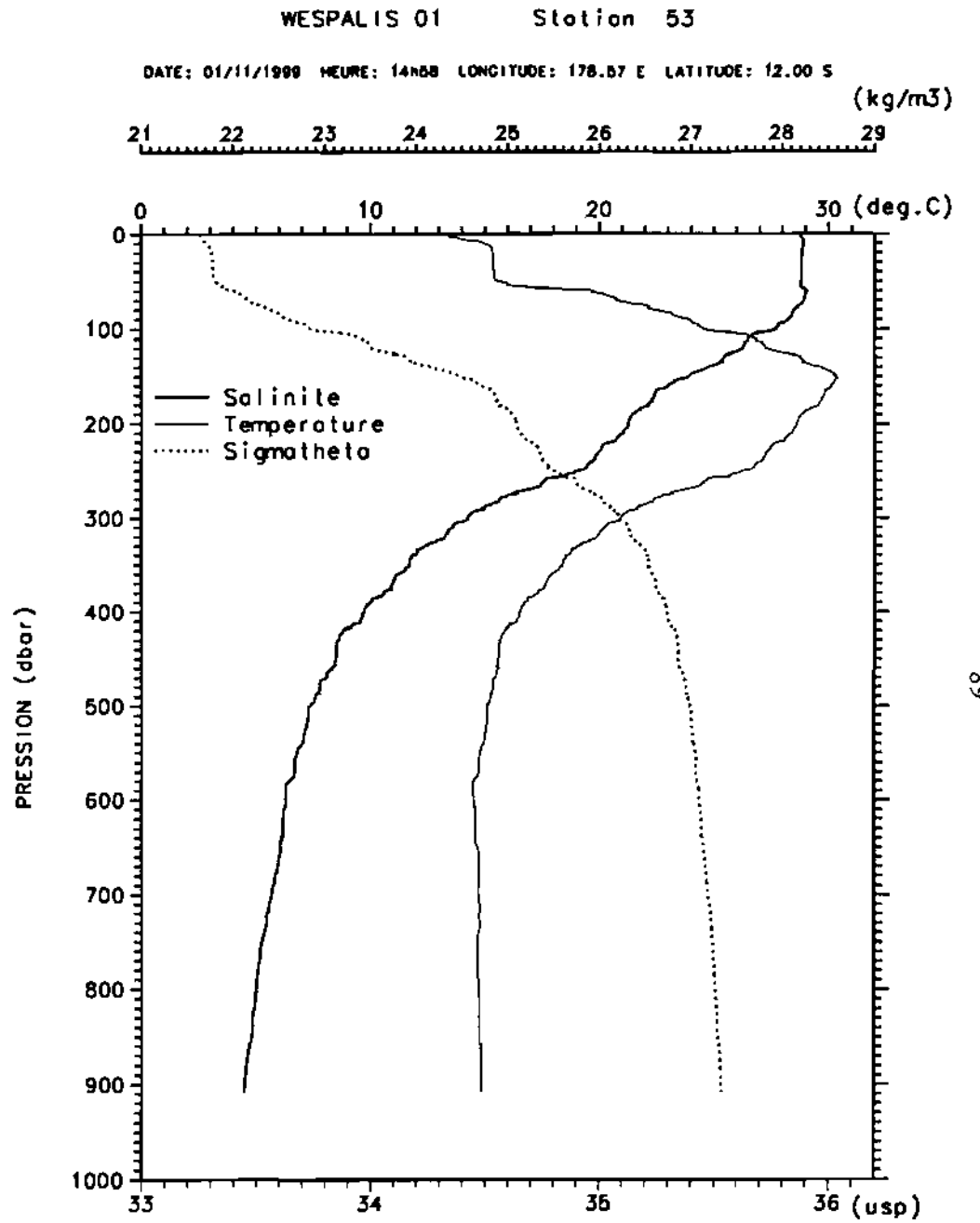
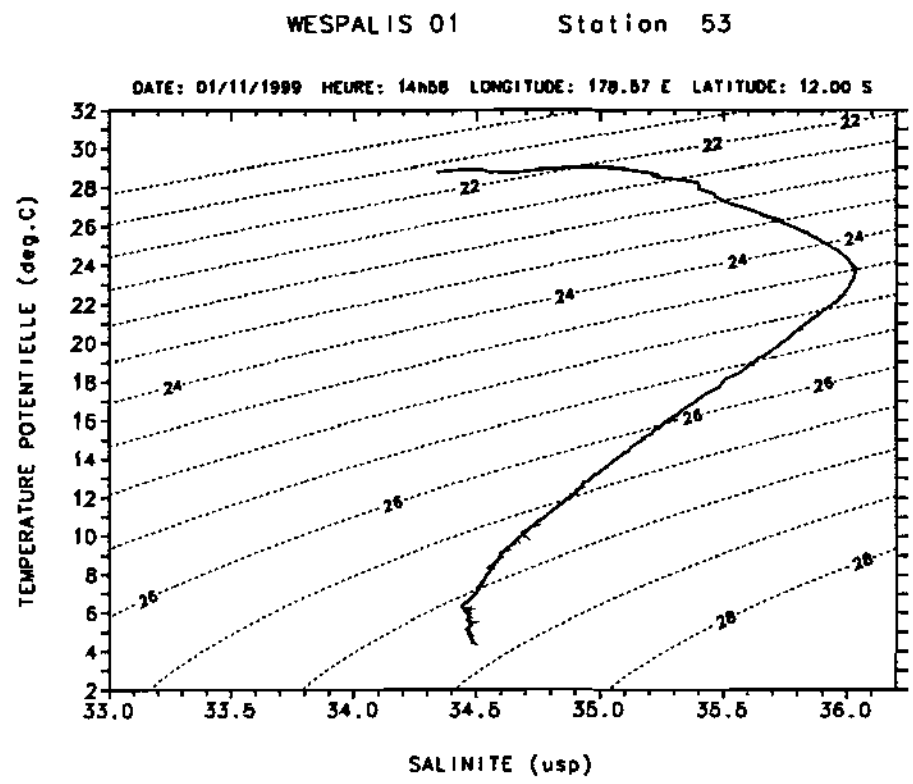
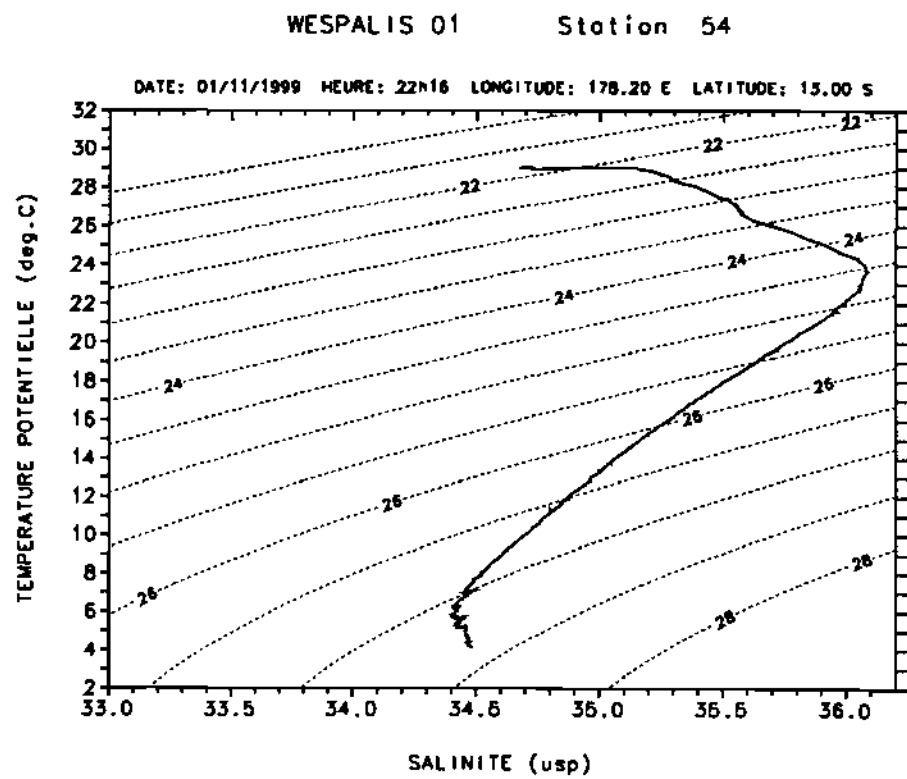


Figure 54



| P. (dbar) | T. (deg.C) | S. (psu) |
|-----------|------------|----------|
| 0. | 29.072 | 34.685 |
| 10. | 29.010 | 34.686 |
| 20. | 29.008 | 34.692 |
| 30. | 29.014 | 34.713 |
| 40. | 28.926 | 34.721 |
| 50. | 28.904 | 34.718 |
| 75. | 29.027 | 35.136 |
| 100. | 26.825 | 35.558 |
| 125. | 24.624 | 35.982 |
| 150. | 23.512 | 36.074 |
| 200. | 20.645 | 35.832 |
| 250. | 17.638 | 35.459 |
| 300. | 14.981 | 35.160 |
| 400. | 11.036 | 34.780 |
| 500. | 7.879 | 34.518 |
| 600. | 6.309 | 34.430 |
| 700. | 5.562 | 34.431 |
| 800. | 5.215 | 34.460 |
| 900. | 4.589 | 34.468 |
| 1000. | 4.210 | 34.486 |

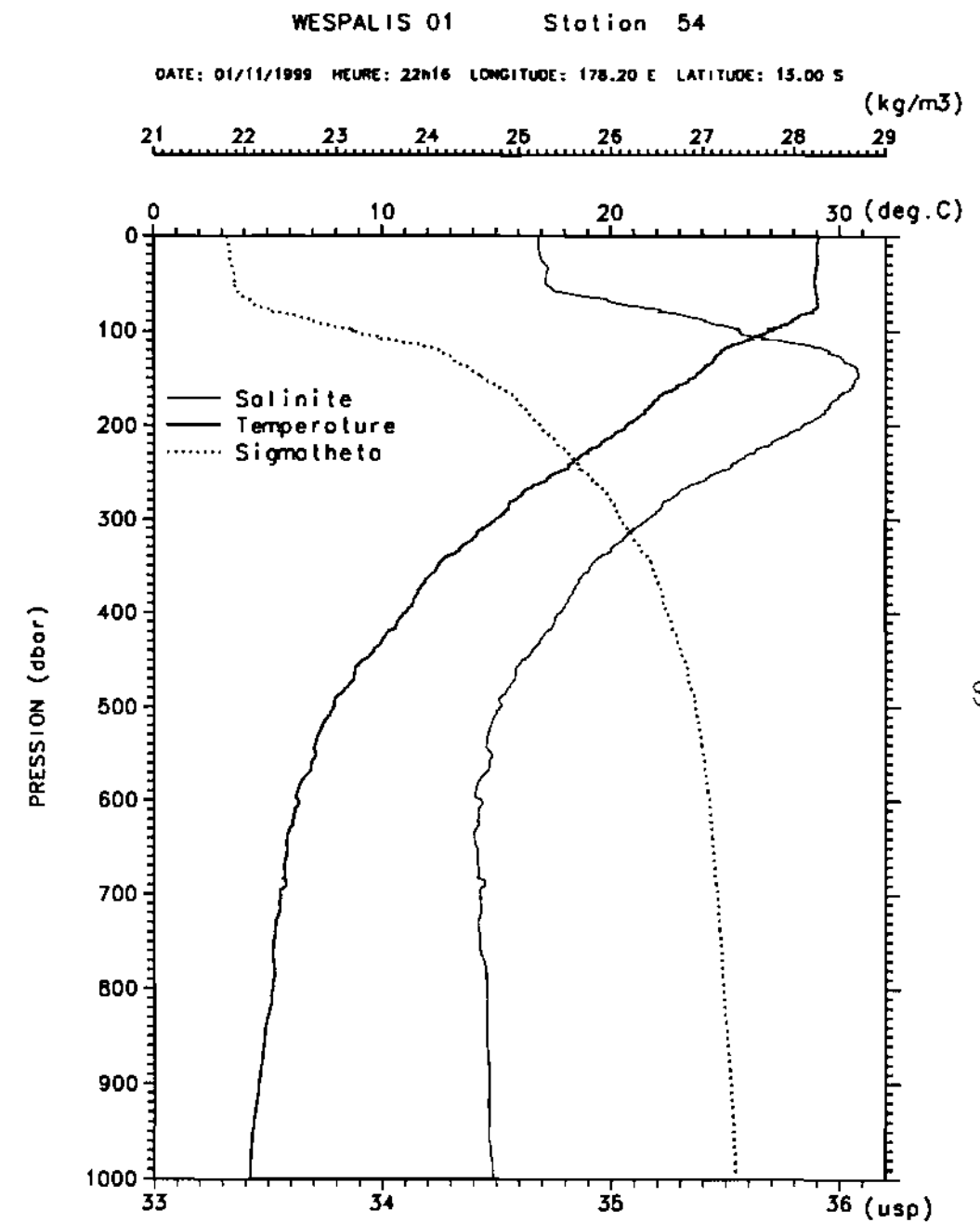


Figure 55

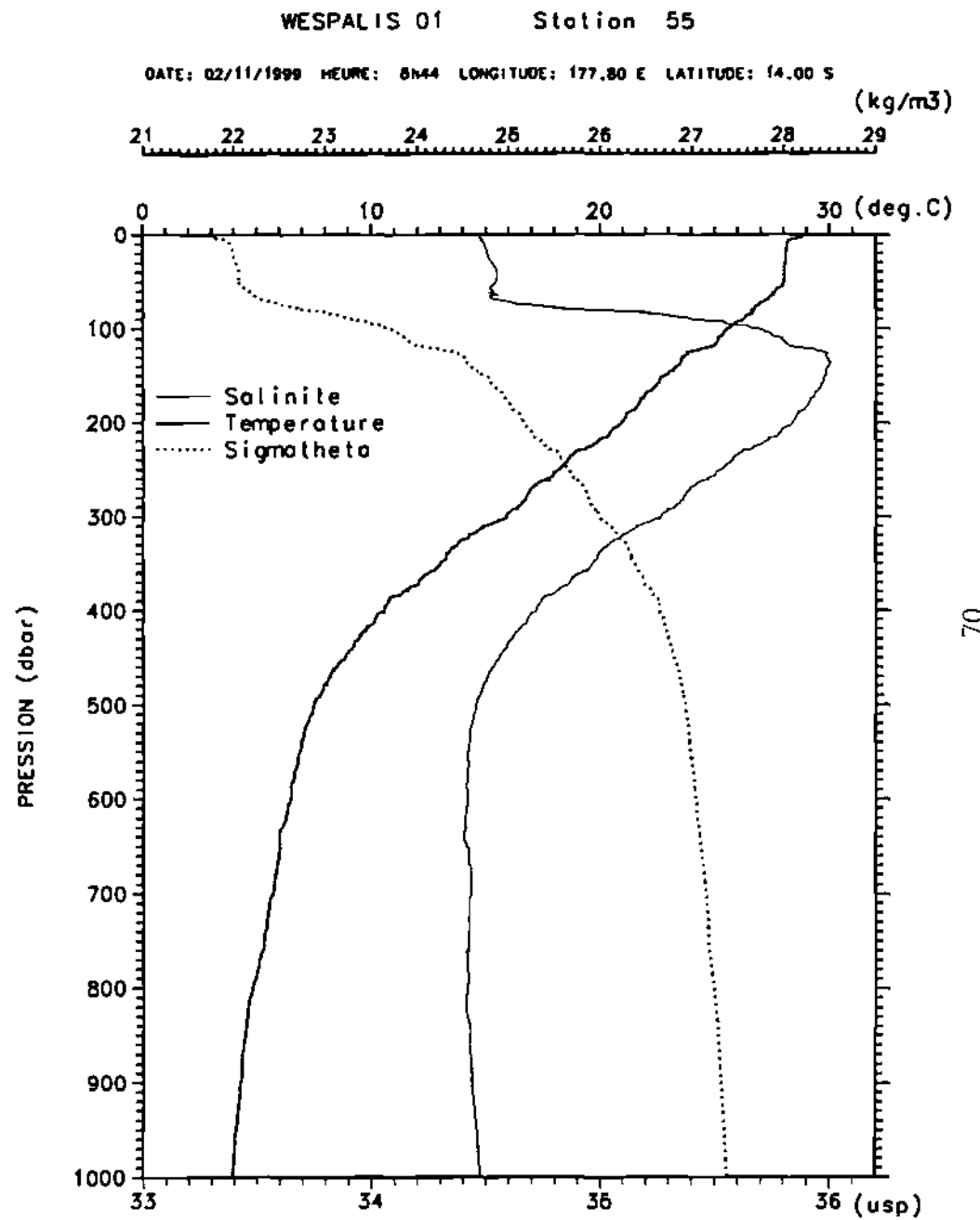
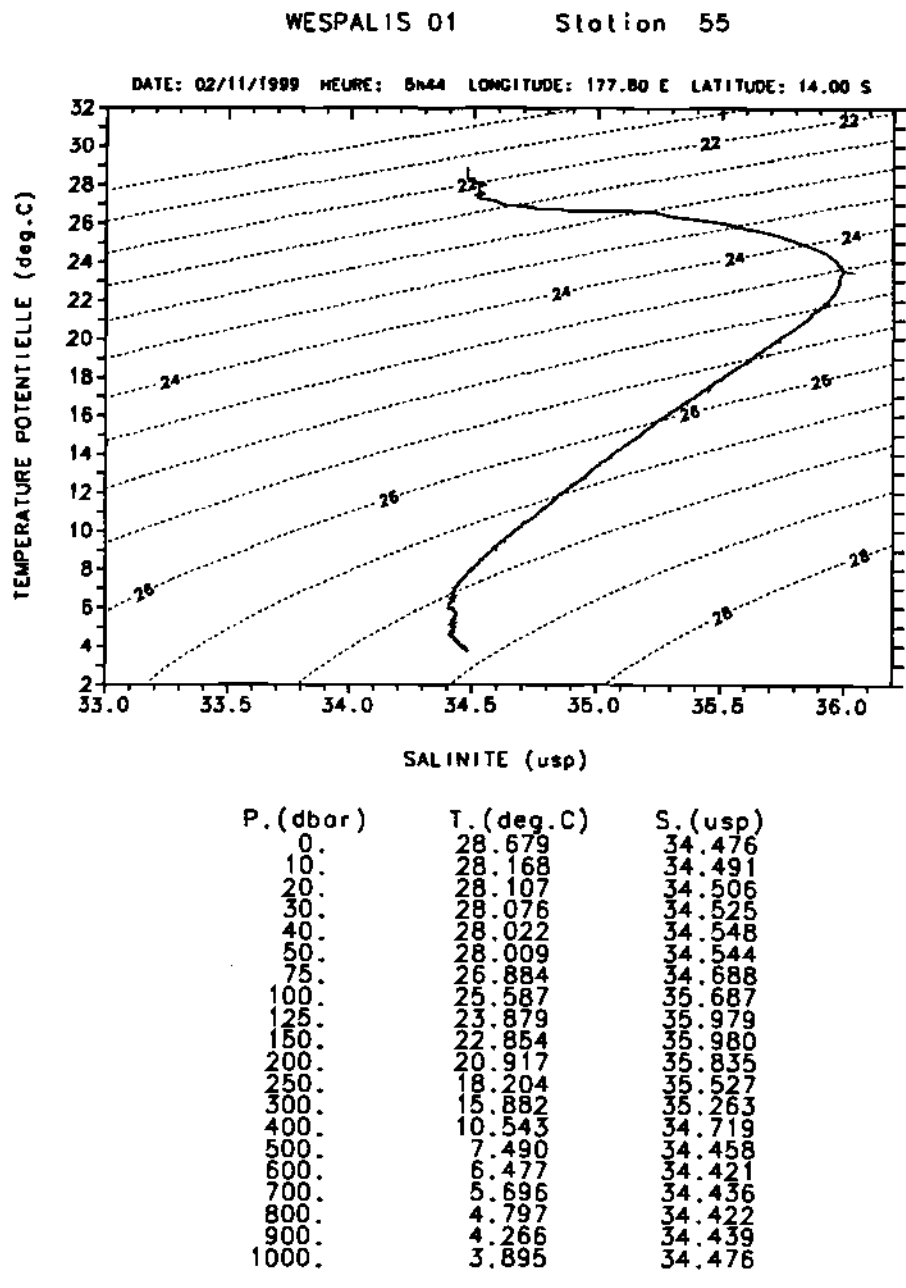
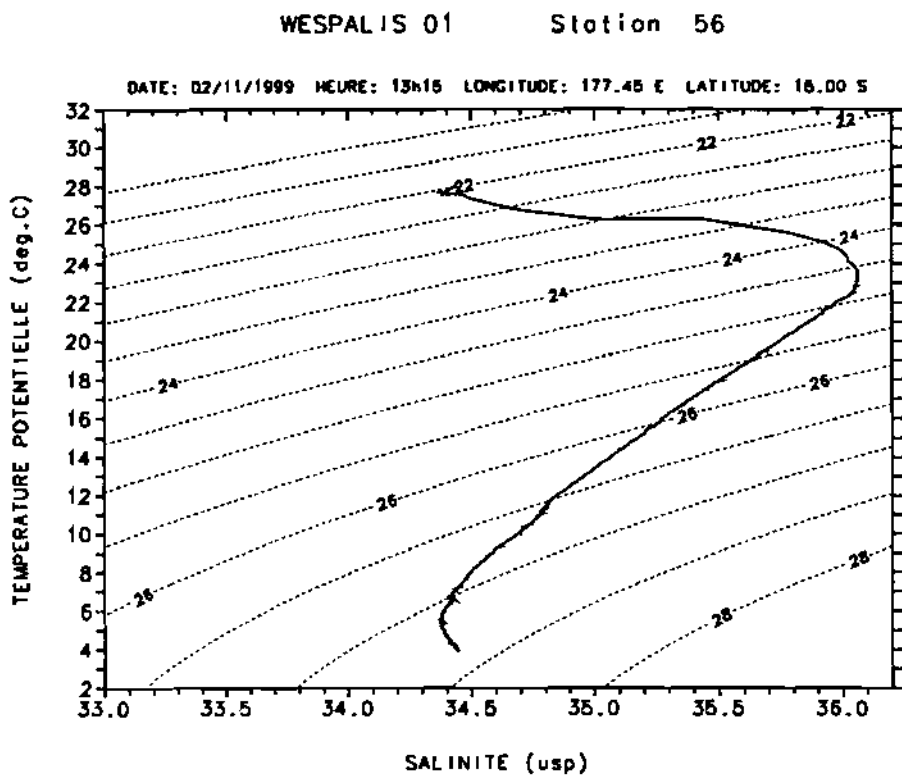


Figure 56



| P. (dbar) | T. (deg.C) | S. (psu) |
|-----------|------------|----------|
| 0. | 28.004 | 34.441 |
| 10. | 27.667 | 34.395 |
| 20. | 27.582 | 34.403 |
| 30. | 27.576 | 34.439 |
| 40. | 27.573 | 34.456 |
| 50. | 27.531 | 34.470 |
| 75. | 26.790 | 34.673 |
| 100. | 26.069 | 35.546 |
| 125. | 24.844 | 35.975 |
| 150. | 23.518 | 36.061 |
| 200. | 21.261 | 35.896 |
| 250. | 18.489 | 35.563 |
| 300. | 16.376 | 35.312 |
| 400. | 11.516 | 34.809 |
| 500. | 8.296 | 34.514 |
| 600. | 6.737 | 34.415 |
| 700. | 5.527 | 34.378 |
| 800. | 4.916 | 34.392 |
| 900. | 4.408 | 34.417 |
| 1000. | 3.974 | 34.448 |

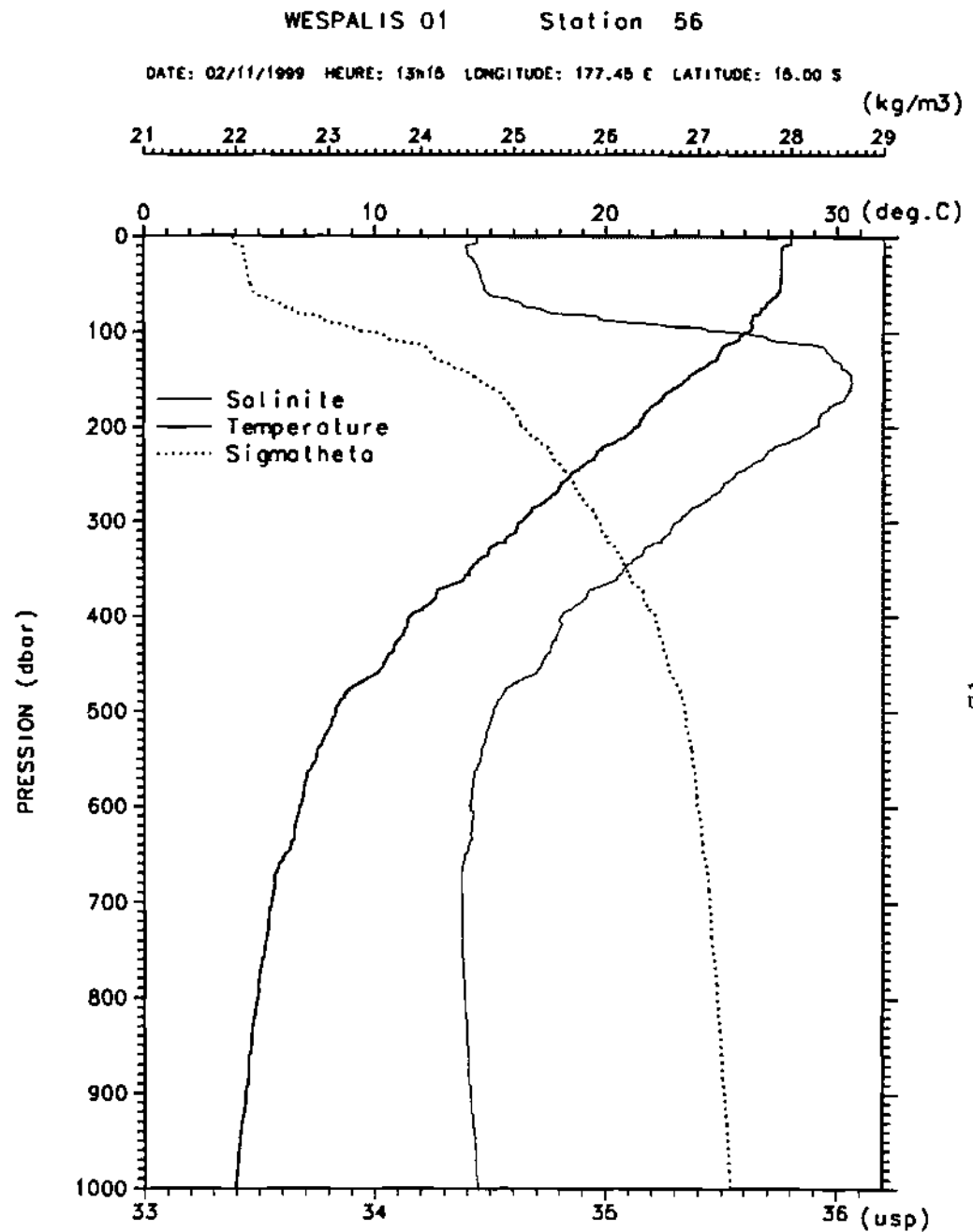


Figure 57

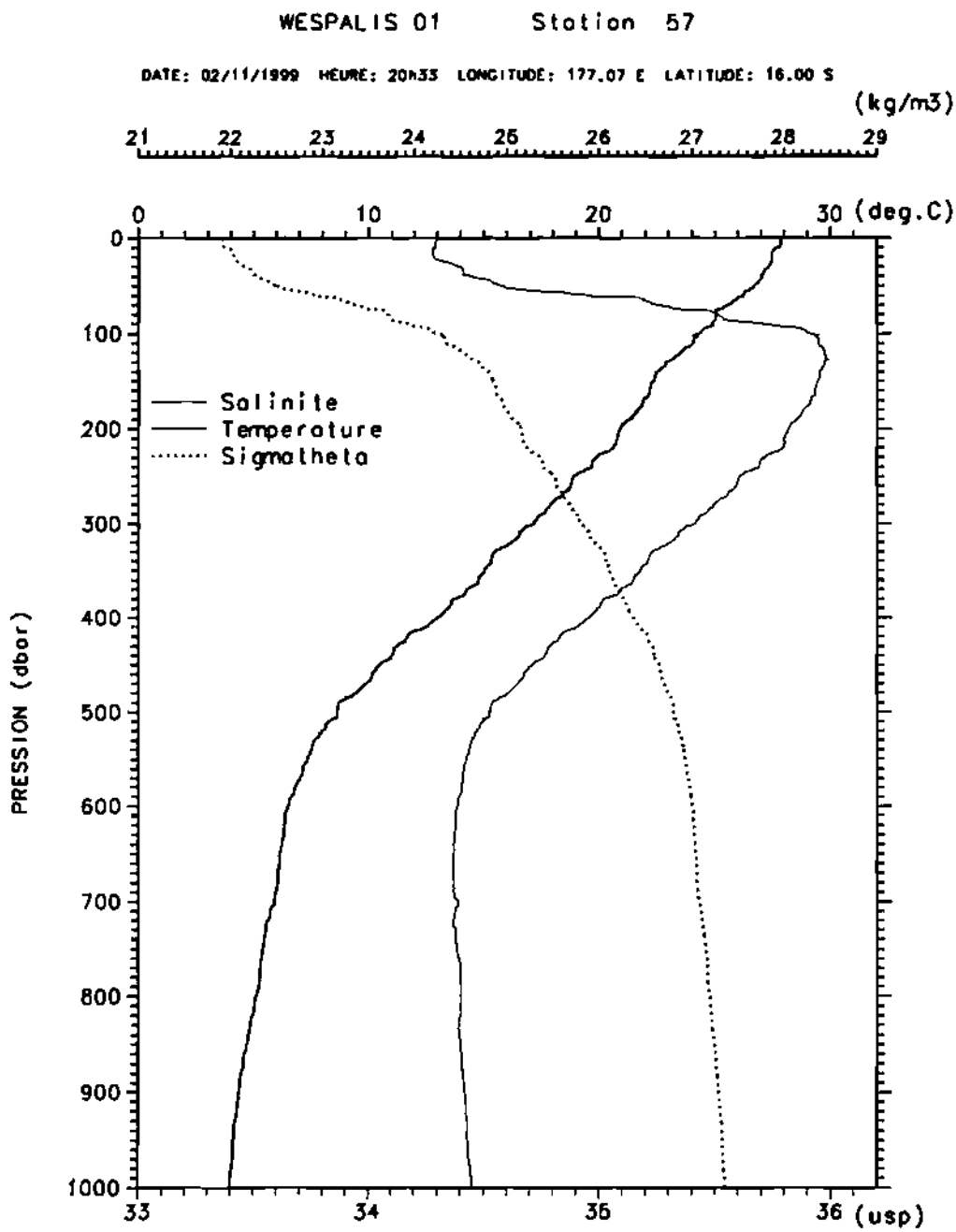
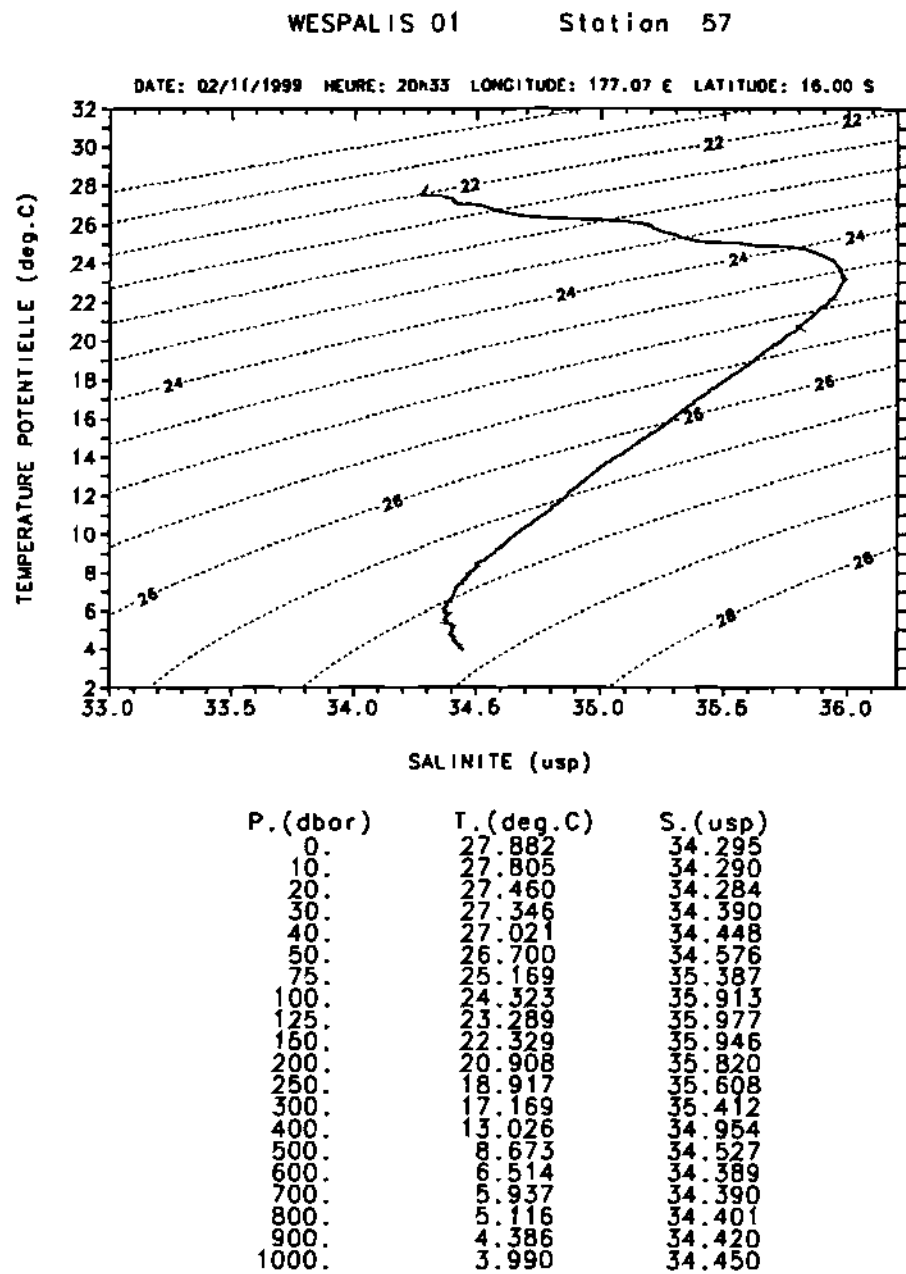


Figure 58

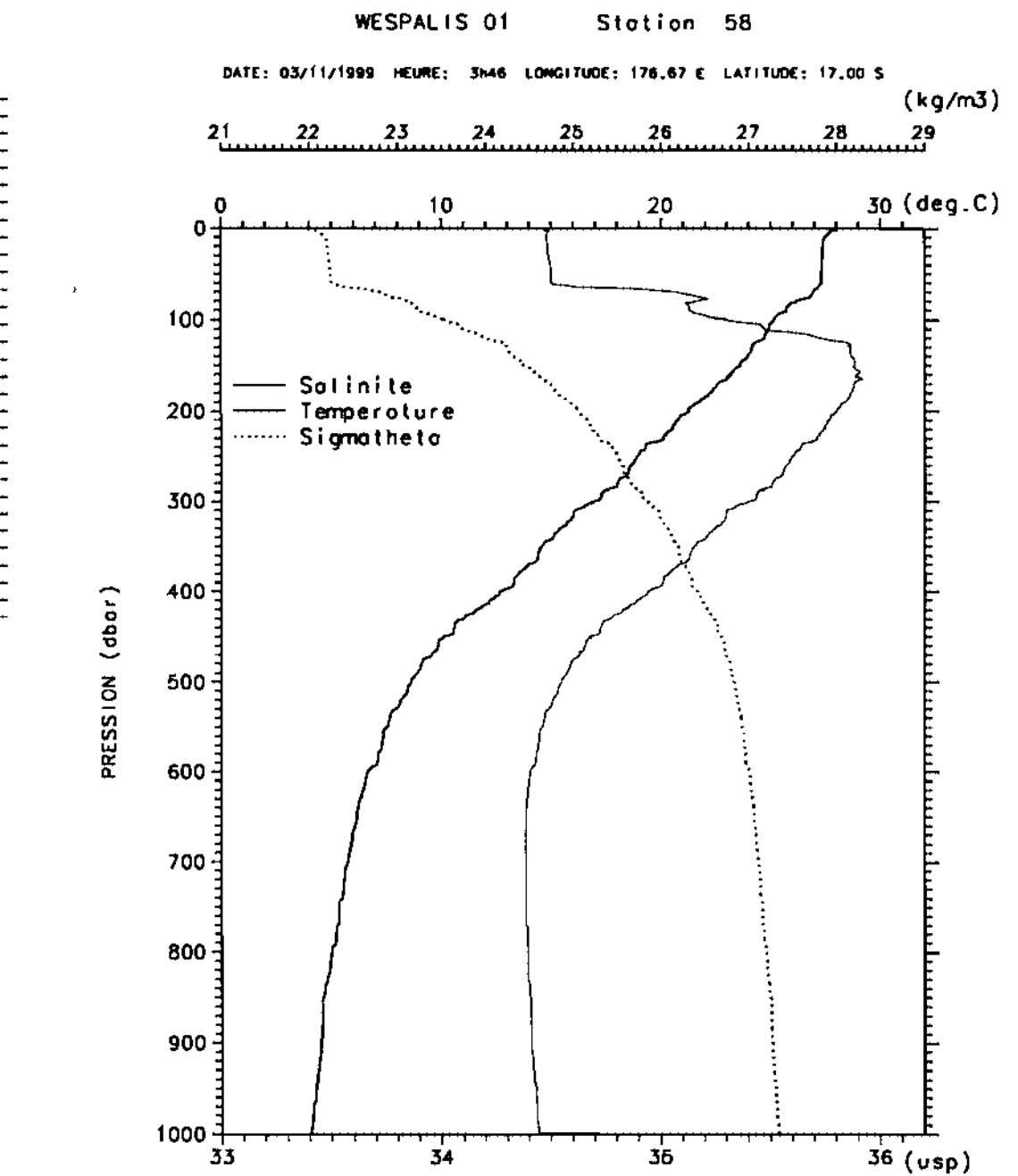
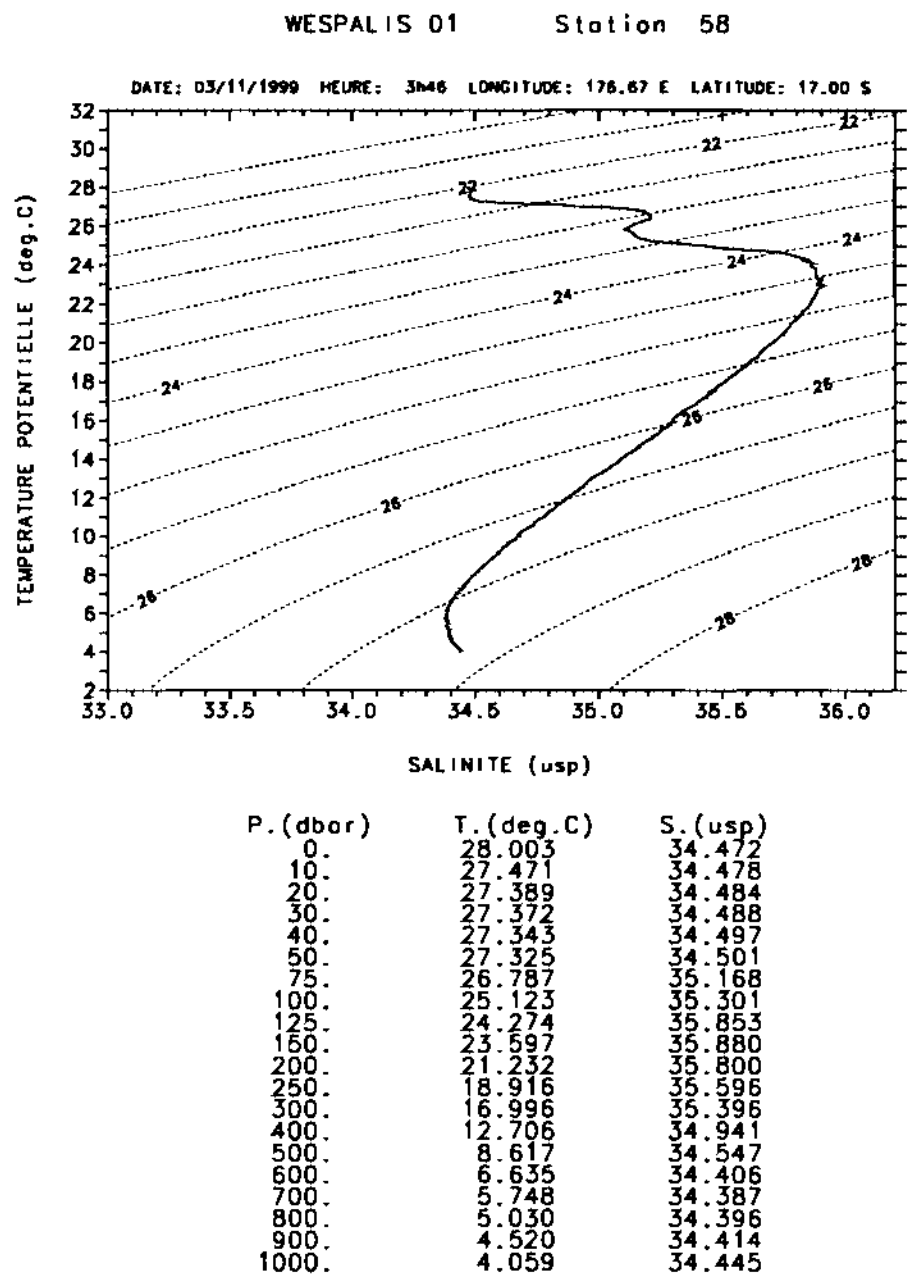
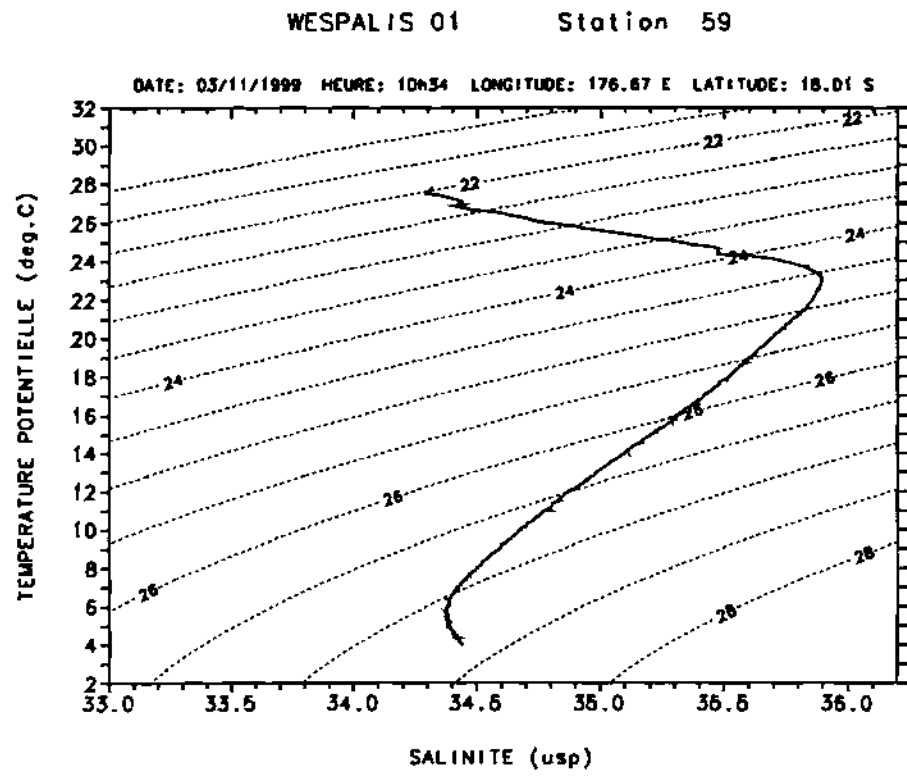


Figure 59



| P.(dbar) | T.(deg.C) | S.(psu) |
|----------|-----------|---------|
| 0. | 27.833 | 34.321 |
| 10. | 26.987 | 34.435 |
| 20. | 26.873 | 34.435 |
| 30. | 25.802 | 34.431 |
| 40. | 26.565 | 34.554 |
| 50. | 25.825 | 34.887 |
| 75. | 24.833 | 35.376 |
| 100. | 23.848 | 35.781 |
| 125. | 23.017 | 35.897 |
| 150. | 22.089 | 35.861 |
| 200. | 20.478 | 35.732 |
| 250. | 18.524 | 35.559 |
| 300. | 16.897 | 35.409 |
| 400. | 12.544 | 34.935 |
| 500. | 9.057 | 34.591 |
| 600. | 7.028 | 34.424 |
| 700. | 5.903 | 34.380 |
| 800. | 5.185 | 34.385 |
| 900. | 4.595 | 34.410 |
| 1000. | 4.048 | 34.447 |

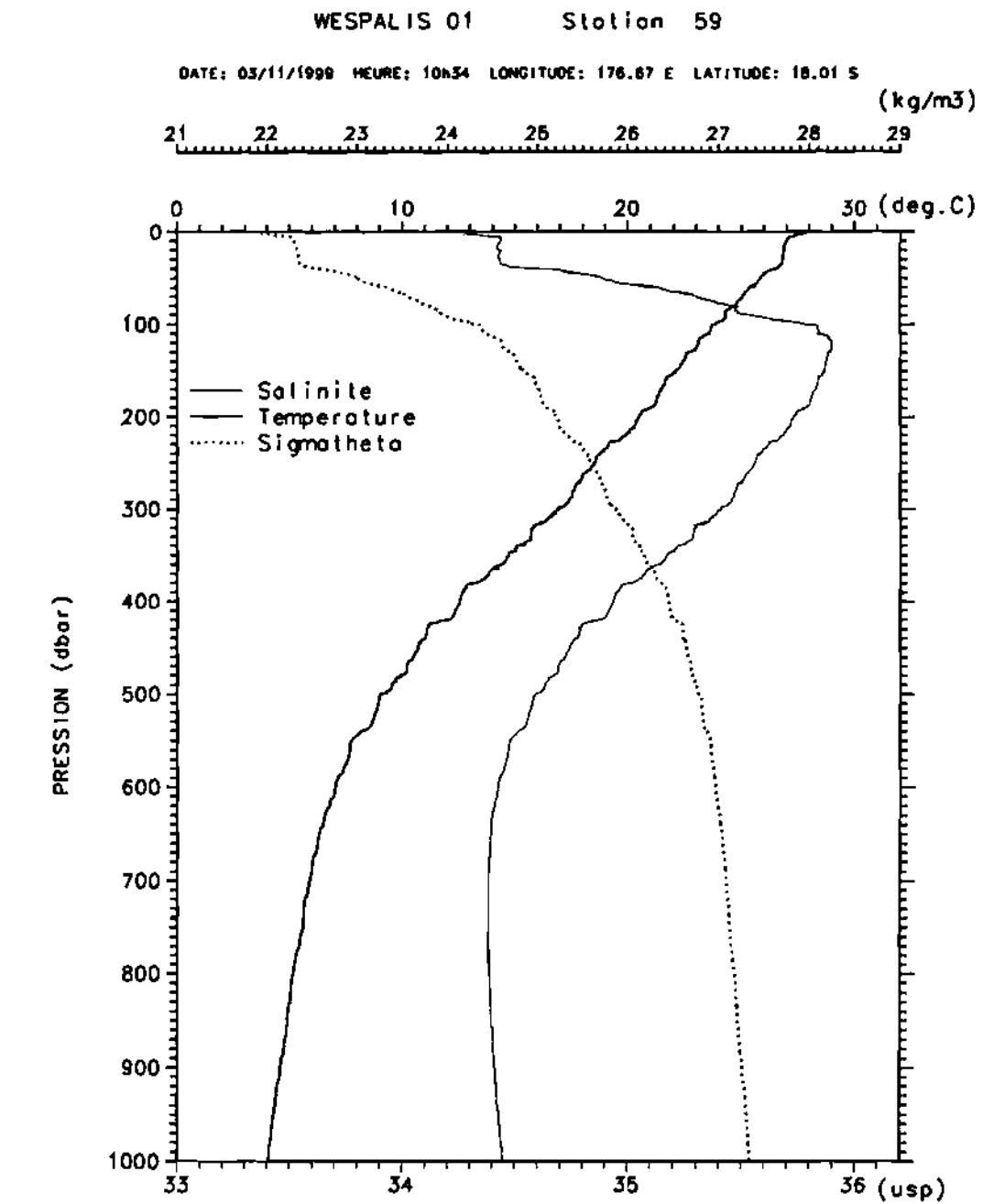
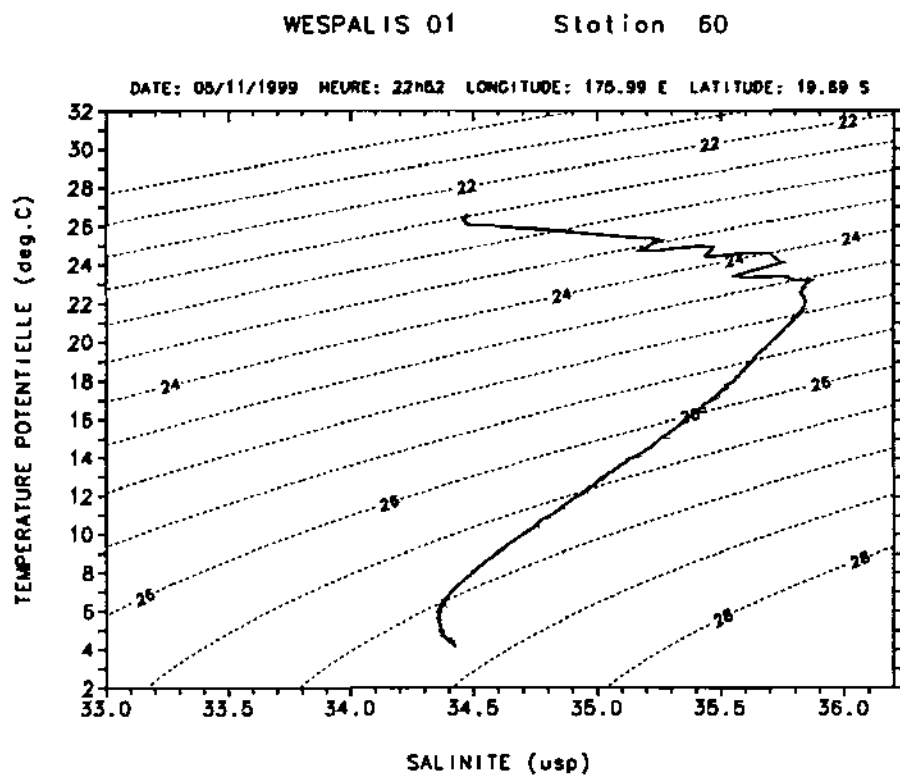


Figure 60



| P. (dbar) | T. (deg.C) | S. (psu) |
|-----------|------------|----------|
| 0. | 26.568 | 34.477 |
| 10. | 26.066 | 34.477 |
| 20. | 25.999 | 34.522 |
| 30. | 25.960 | 34.596 |
| 40. | 25.857 | 34.717 |
| 50. | 25.742 | 34.843 |
| 75. | 25.149 | 35.227 |
| 100. | 24.622 | 35.650 |
| 125. | 23.395 | 35.693 |
| 150. | 22.832 | 35.832 |
| 200. | 21.595 | 35.826 |
| 250. | 19.499 | 35.661 |
| 300. | 17.929 | 35.541 |
| 400. | 14.114 | 35.150 |
| 500. | 10.126 | 34.709 |
| 600. | 7.565 | 34.452 |
| 700. | 6.350 | 34.367 |
| 800. | 5.595 | 34.359 |
| 900. | 4.788 | 34.382 |
| 1000. | 4.261 | 34.425 |

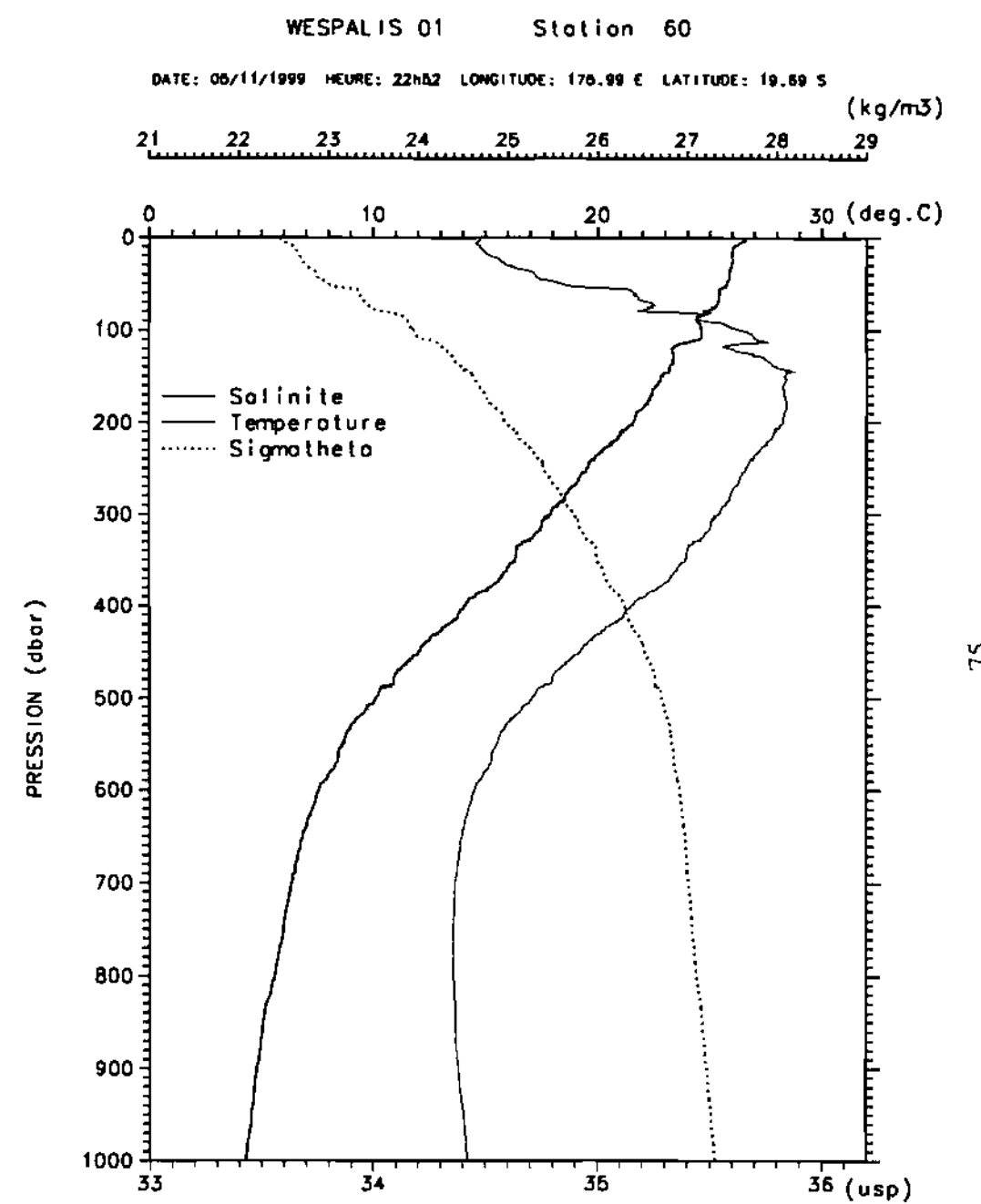


Figure 61

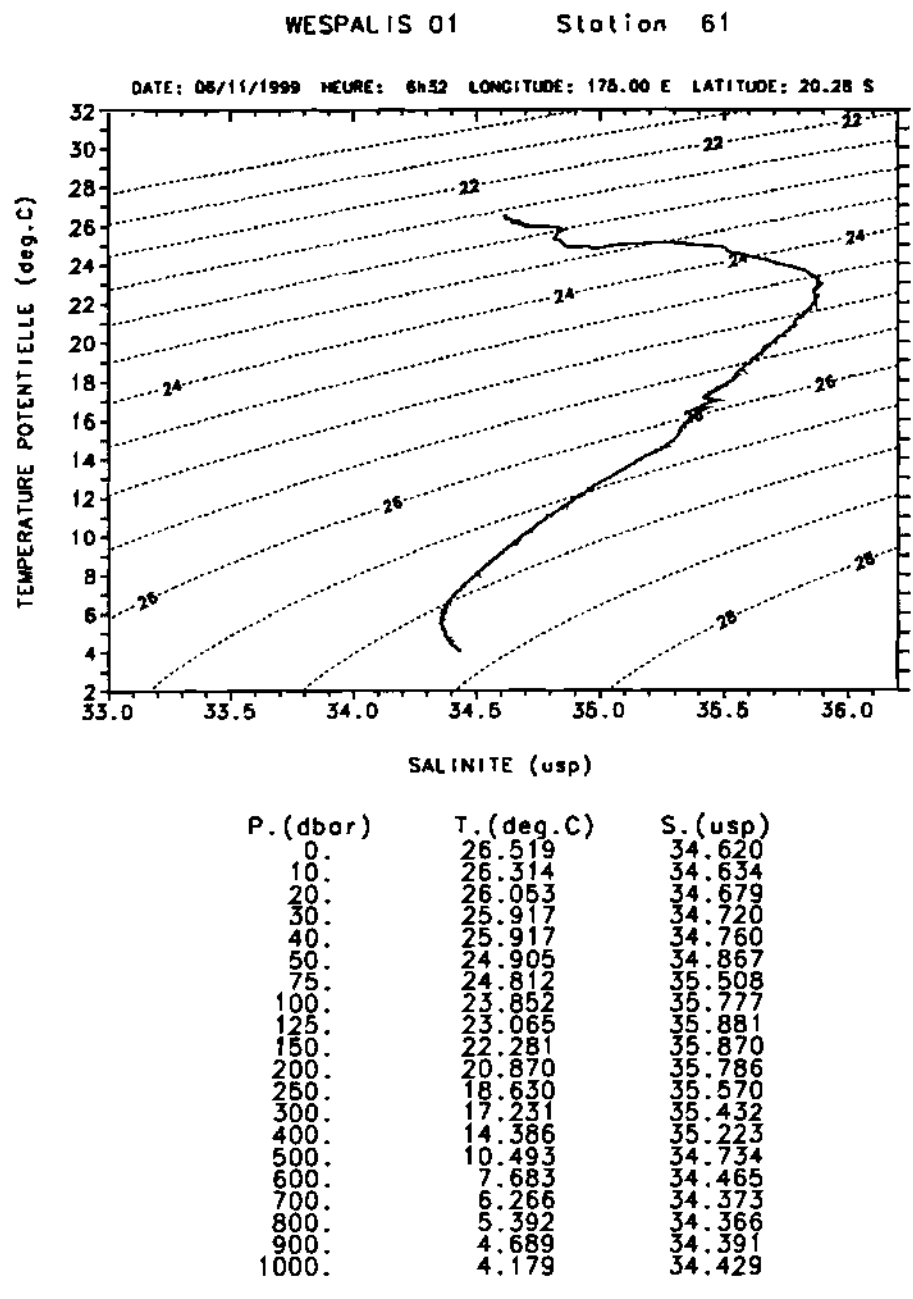
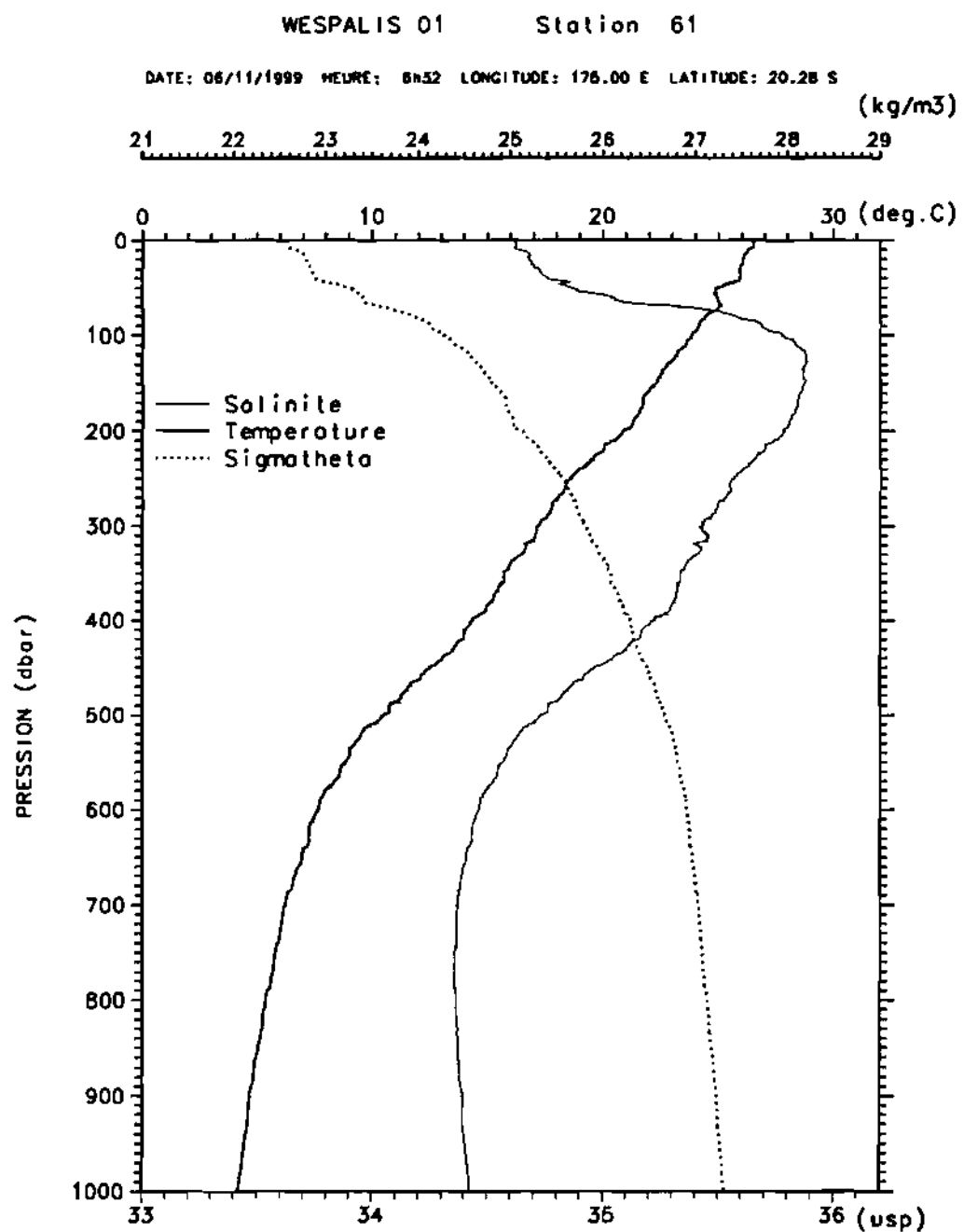


Figure 62



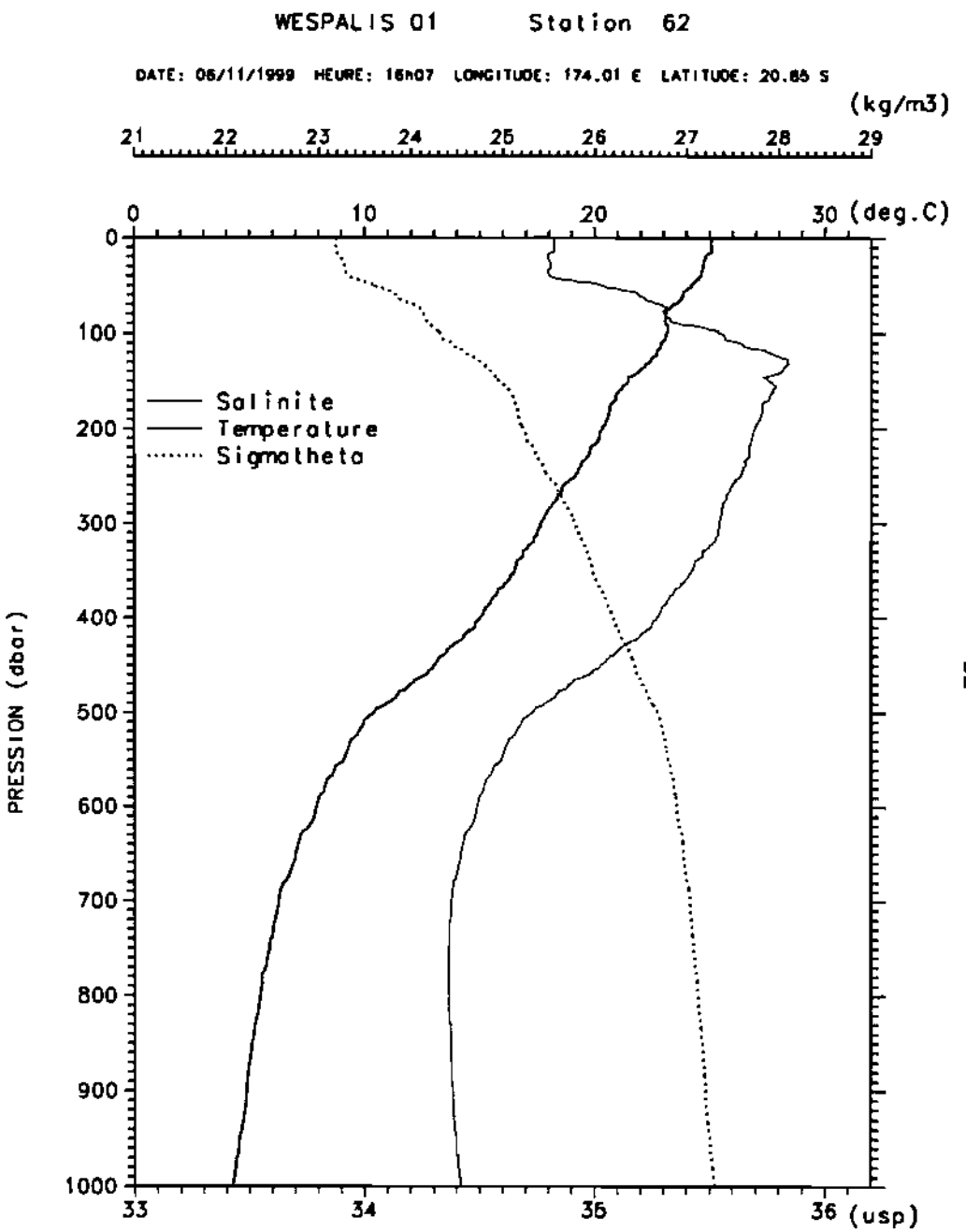
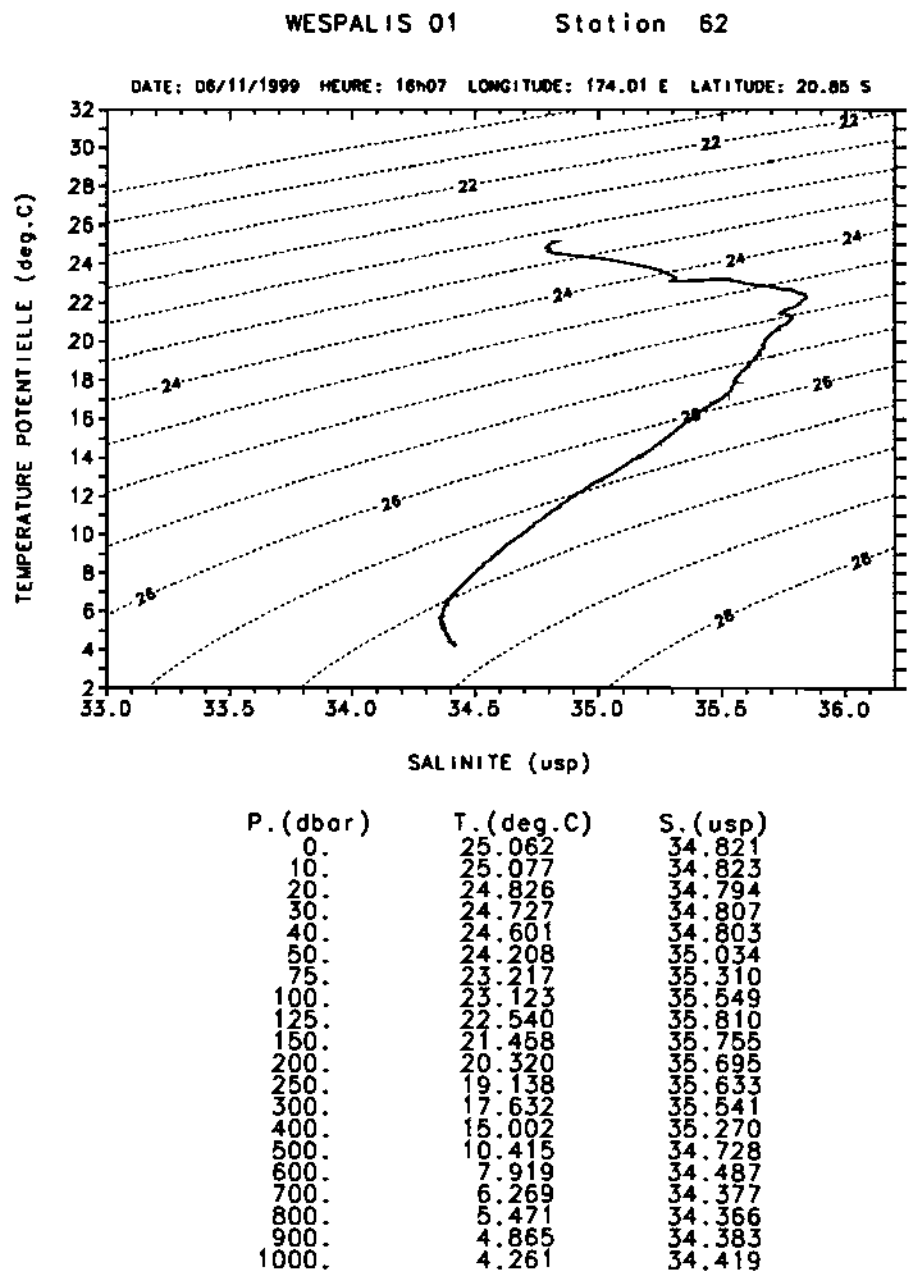
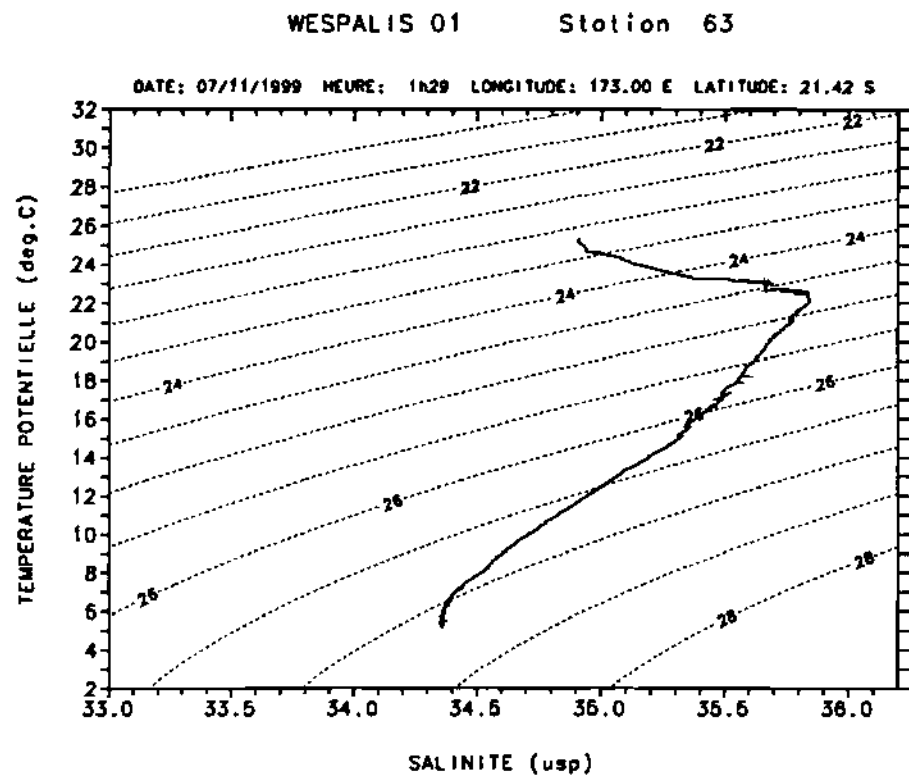


Figure 63



| P. (dbar) | T. (deg.C) | S. (usp) |
|-----------|------------|----------|
| 0. | 25.318 | 34.908 |
| 10. | 25.011 | 34.922 |
| 20. | 24.560 | 34.991 |
| 30. | 24.077 | 35.121 |
| 40. | 23.597 | 35.266 |
| 50. | 23.354 | 35.351 |
| 75. | 23.096 | 35.600 |
| 100. | 22.641 | 35.674 |
| 125. | 22.499 | 35.835 |
| 150. | 21.871 | 35.822 |
| 200. | 20.767 | 35.743 |
| 250. | 19.352 | 35.637 |
| 300. | 17.675 | 35.509 |
| 400. | 14.721 | 35.279 |
| 500. | 11.432 | 34.868 |
| 600. | 8.562 | 34.560 |
| 700. | 6.781 | 34.400 |
| 800. | 6.048 | 34.367 |
| 900. | 5.354 | 34.361 |

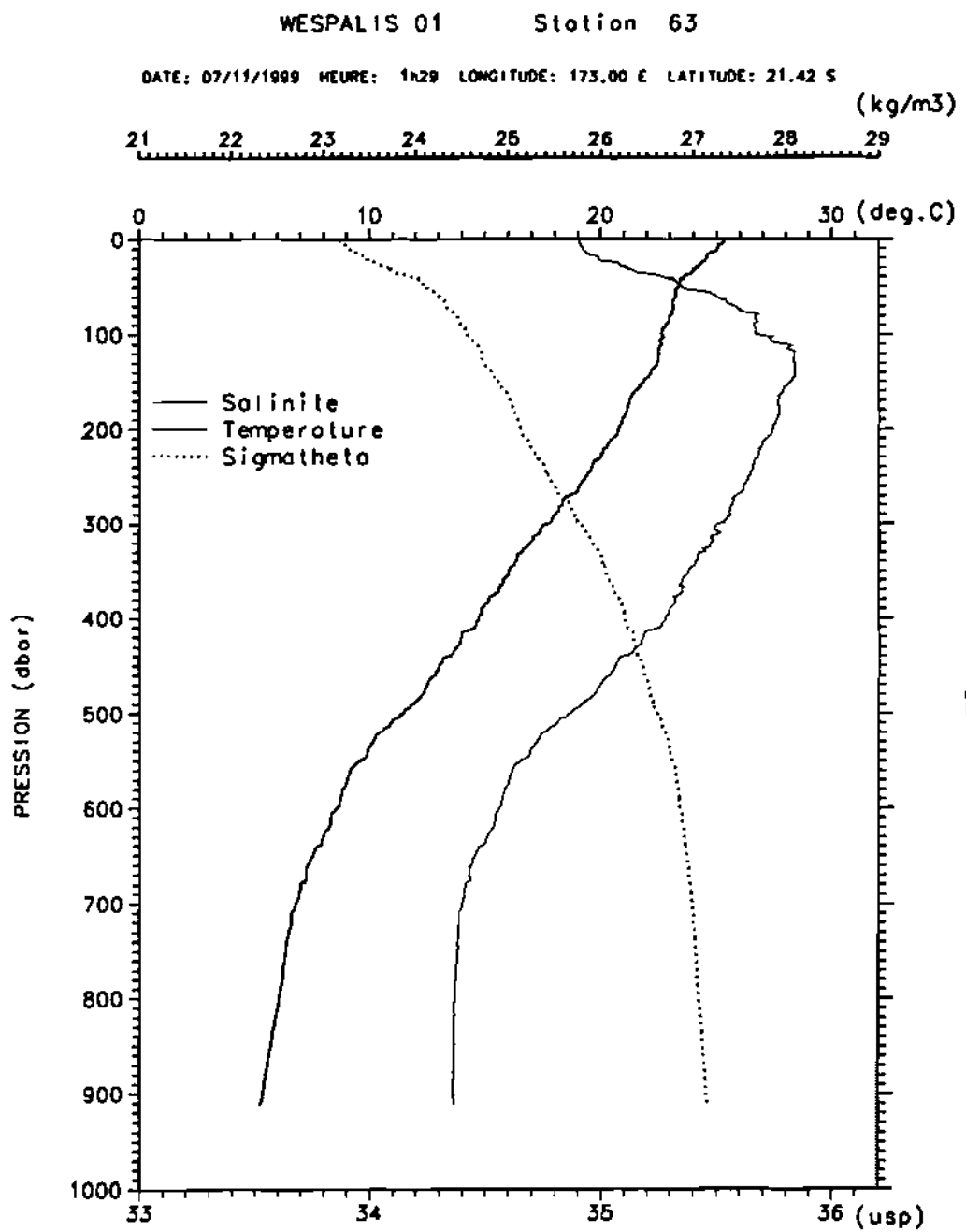
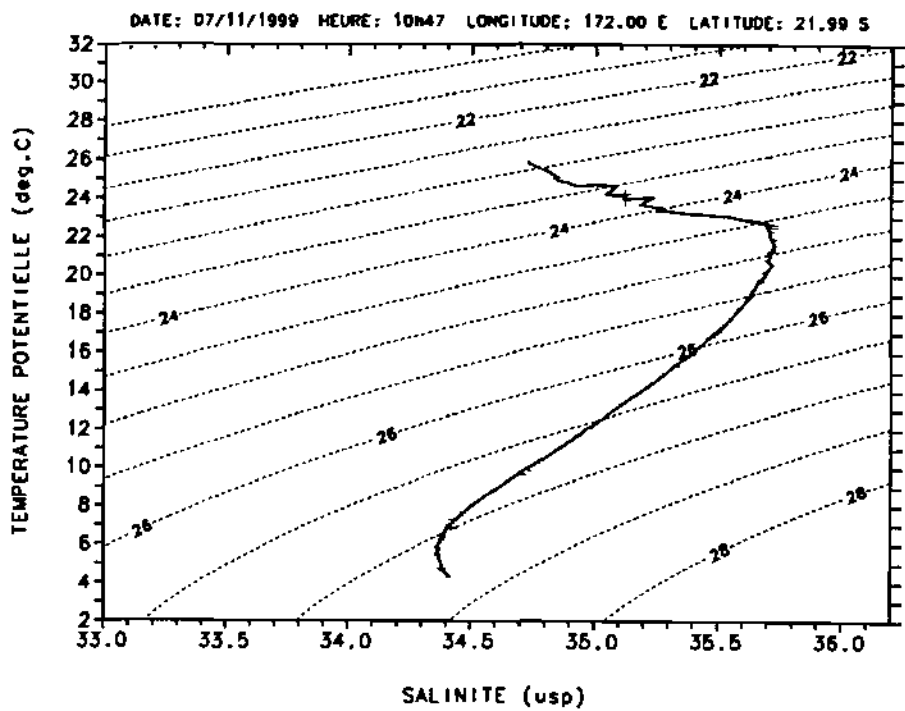


Figure 64

WESPALIS 01 Station 64



| P. (dbar) | T. (deg.C) | S. (psu) |
|-----------|------------|----------|
| 0. | 25.897 | 34.729 |
| 10. | 25.908 | 34.729 |
| 20. | 25.668 | 34.761 |
| 30. | 25.268 | 34.832 |
| 40. | 24.676 | 34.926 |
| 50. | 24.728 | 34.998 |
| 75. | 23.740 | 35.191 |
| 100. | 23.181 | 35.468 |
| 125. | 22.610 | 35.696 |
| 150. | 22.201 | 35.708 |
| 200. | 20.933 | 35.704 |
| 250. | 19.364 | 35.643 |
| 300. | 18.078 | 35.567 |
| 400. | 14.459 | 35.229 |
| 500. | 10.805 | 34.826 |
| 600. | 8.637 | 34.570 |
| 700. | 7.136 | 34.429 |
| 800. | 6.035 | 34.372 |
| 900. | 5.263 | 34.375 |
| 1000. | 4.576 | 34.396 |

WESPALIS 01 Station 64

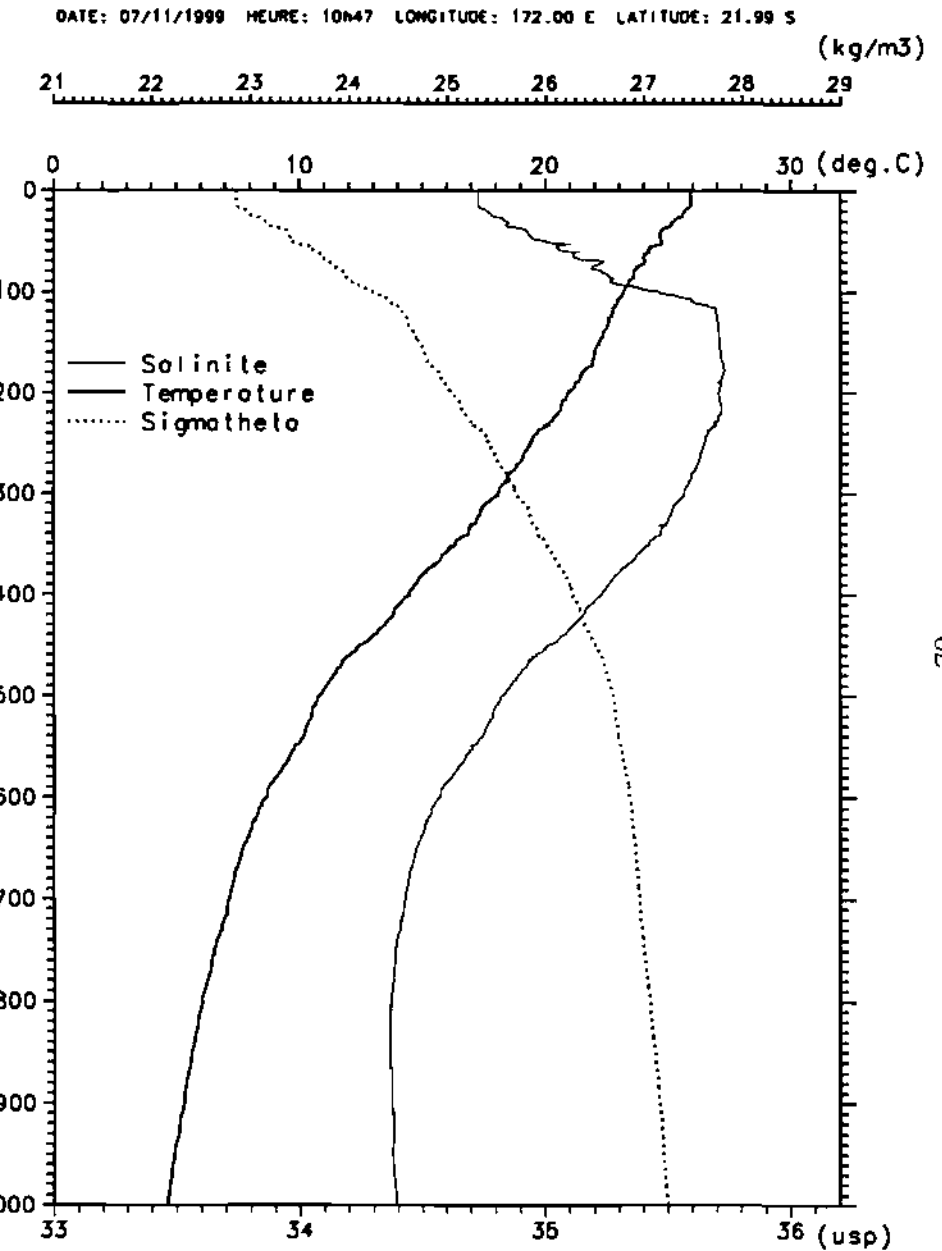


Figure 65

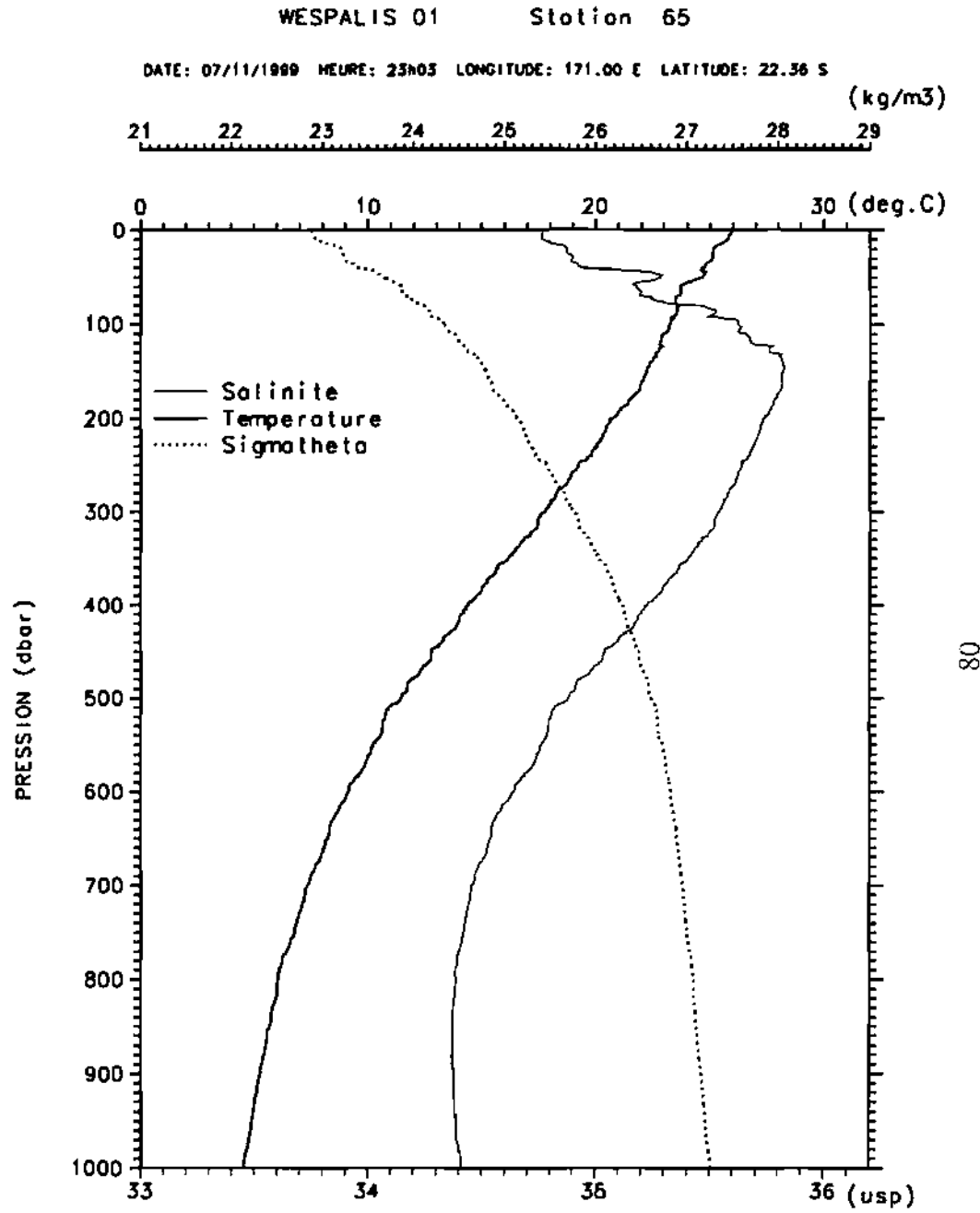
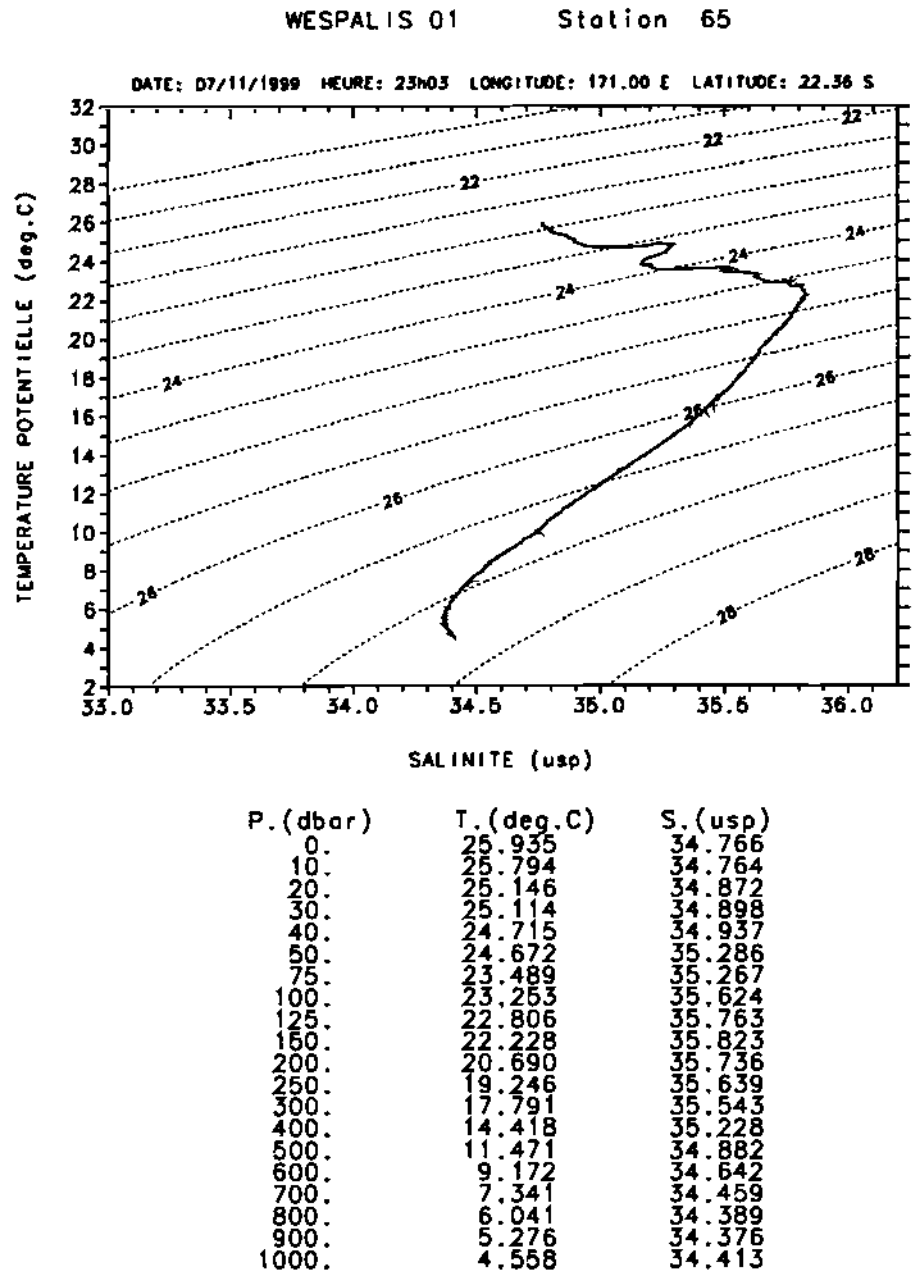
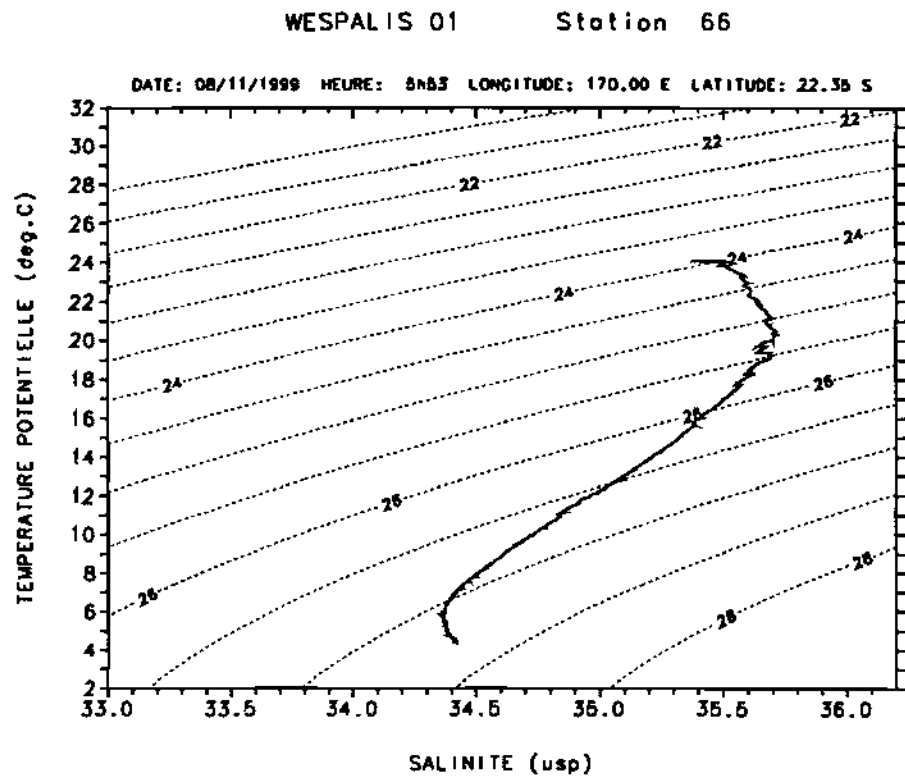


Figure 66



| P. (dbar) | T. (deg.C) | S. (psu) |
|-----------|------------|----------|
| 0. | 24.034 | 35.368 |
| 10. | 23.898 | 35.495 |
| 20. | 23.774 | 35.519 |
| 30. | 23.389 | 35.578 |
| 40. | 23.250 | 35.576 |
| 50. | 22.979 | 35.591 |
| 75. | 21.737 | 35.653 |
| 100. | 20.947 | 35.673 |
| 125. | 20.659 | 35.697 |
| 150. | 20.037 | 35.701 |
| 200. | 19.156 | 35.687 |
| 250. | 17.828 | 35.551 |
| 300. | 16.629 | 35.466 |
| 400. | 13.858 | 35.188 |
| 500. | 10.863 | 34.829 |
| 600. | 8.049 | 34.508 |
| 700. | 6.561 | 34.389 |
| 800. | 5.793 | 34.367 |
| 900. | 5.055 | 34.384 |
| 1000. | 4.444 | 34.424 |

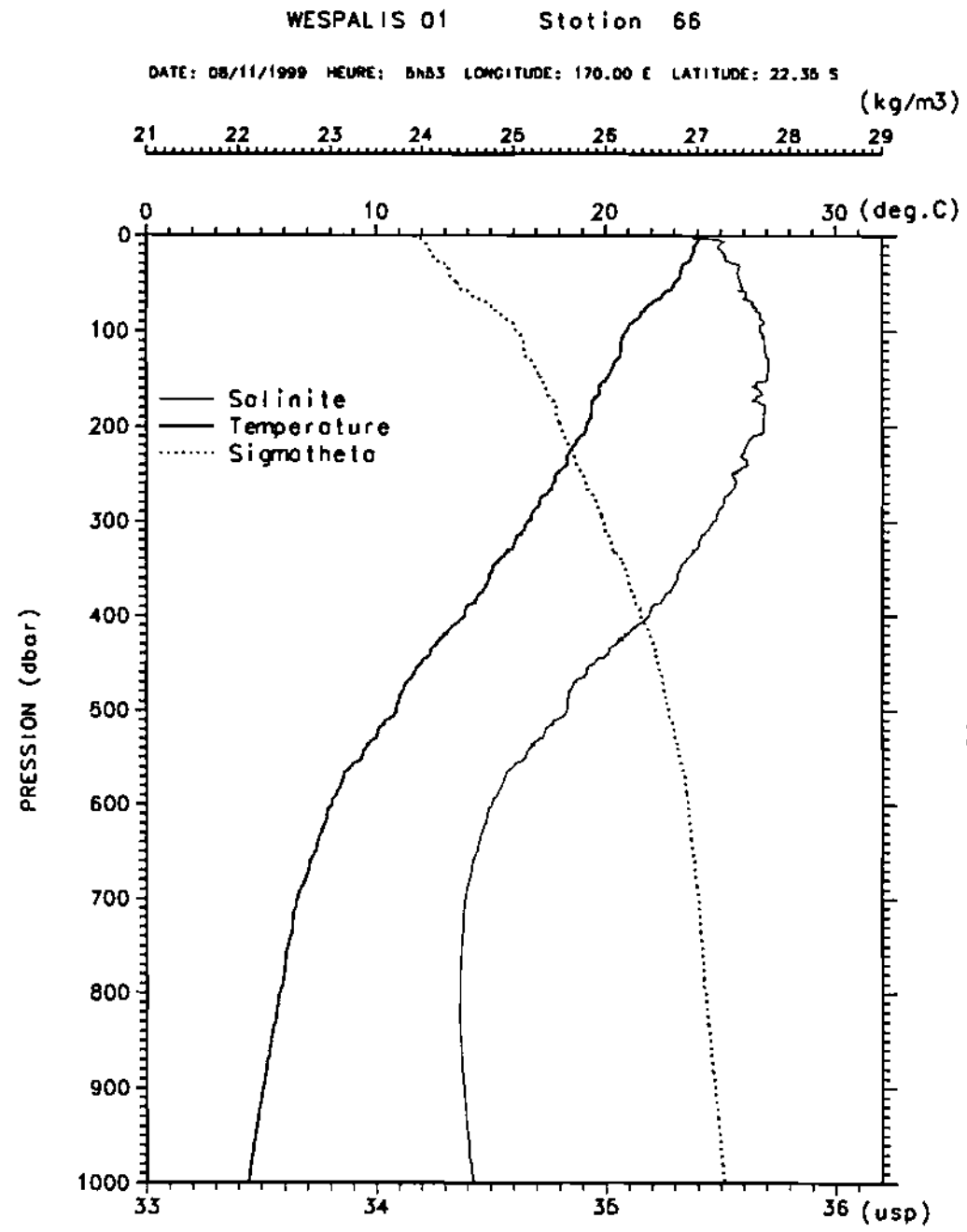
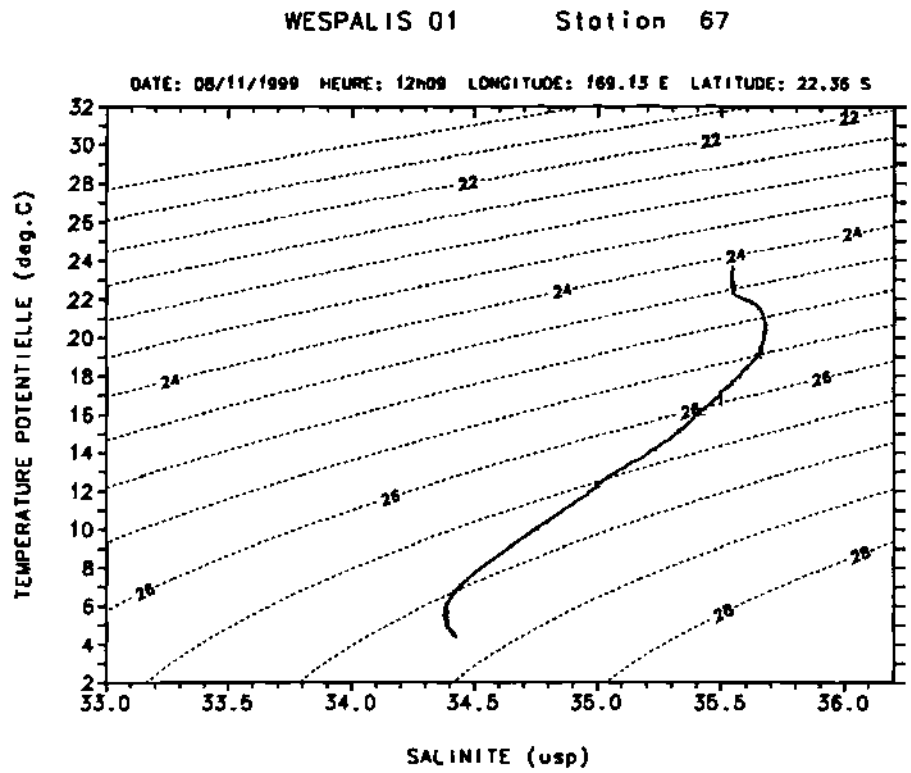


Figure 67



| P. (dbar) | T. (deg.C) | S. (psu) |
|-----------|------------|----------|
| 0. | 23.671 | 35.540 |
| 10. | 23.430 | 35.544 |
| 20. | 23.205 | 35.541 |
| 30. | 23.068 | 35.541 |
| 40. | 22.879 | 35.539 |
| 50. | 22.440 | 35.548 |
| 75. | 22.135 | 35.568 |
| 100. | 21.915 | 35.613 |
| 125. | 21.777 | 35.634 |
| 150. | 21.473 | 35.656 |
| 200. | 20.204 | 35.673 |
| 250. | 19.273 | 35.655 |
| 300. | 18.373 | 35.595 |
| 400. | 14.780 | 35.293 |
| 500. | 11.164 | 34.873 |
| 600. | 8.964 | 34.628 |
| 700. | 6.782 | 34.423 |
| 800. | 5.963 | 34.385 |
| 900. | 5.226 | 34.386 |
| 1000. | 4.510 | 34.423 |

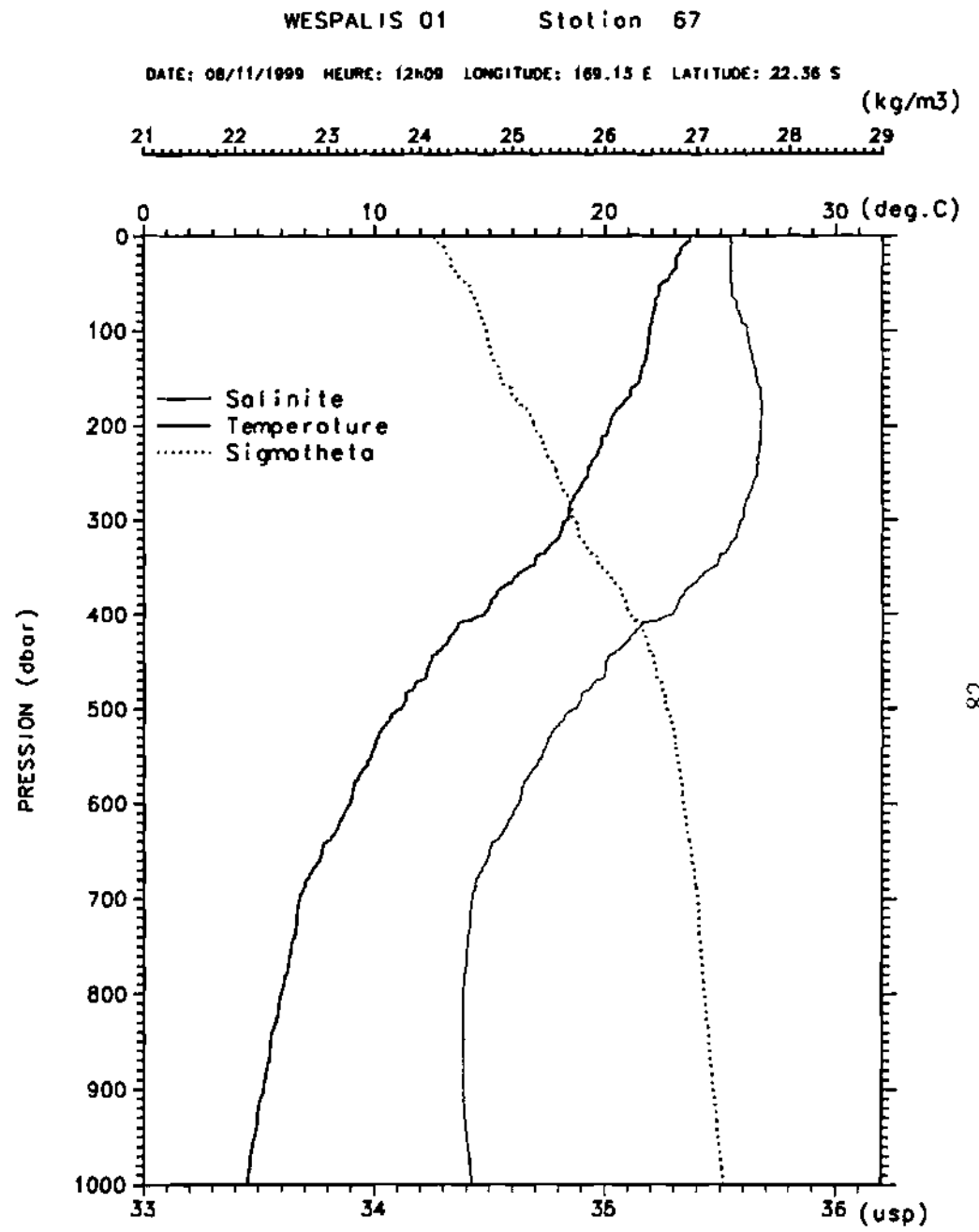


Figure 68

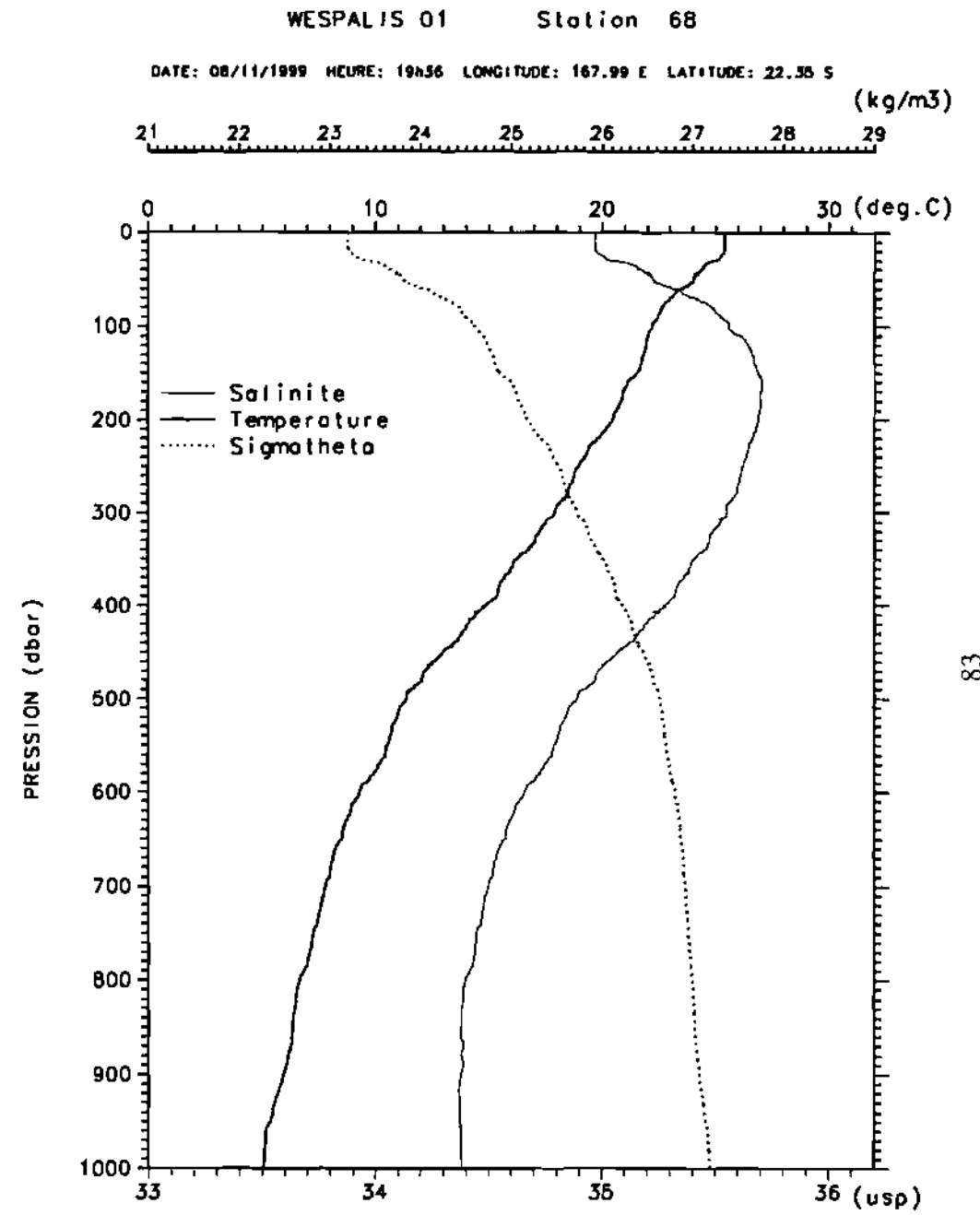
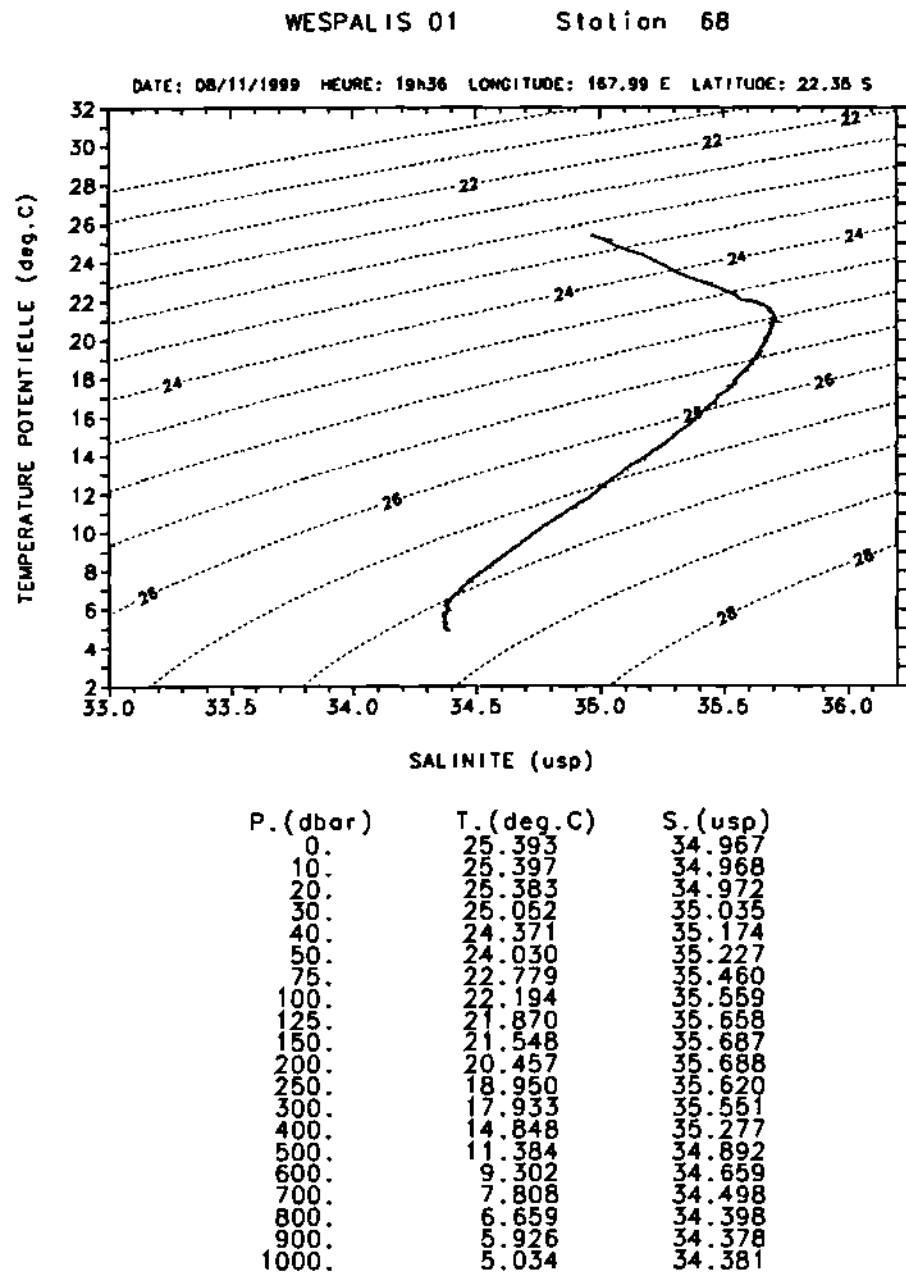


Figure 69

WESPALIS 1, Temperature, radiale 165E

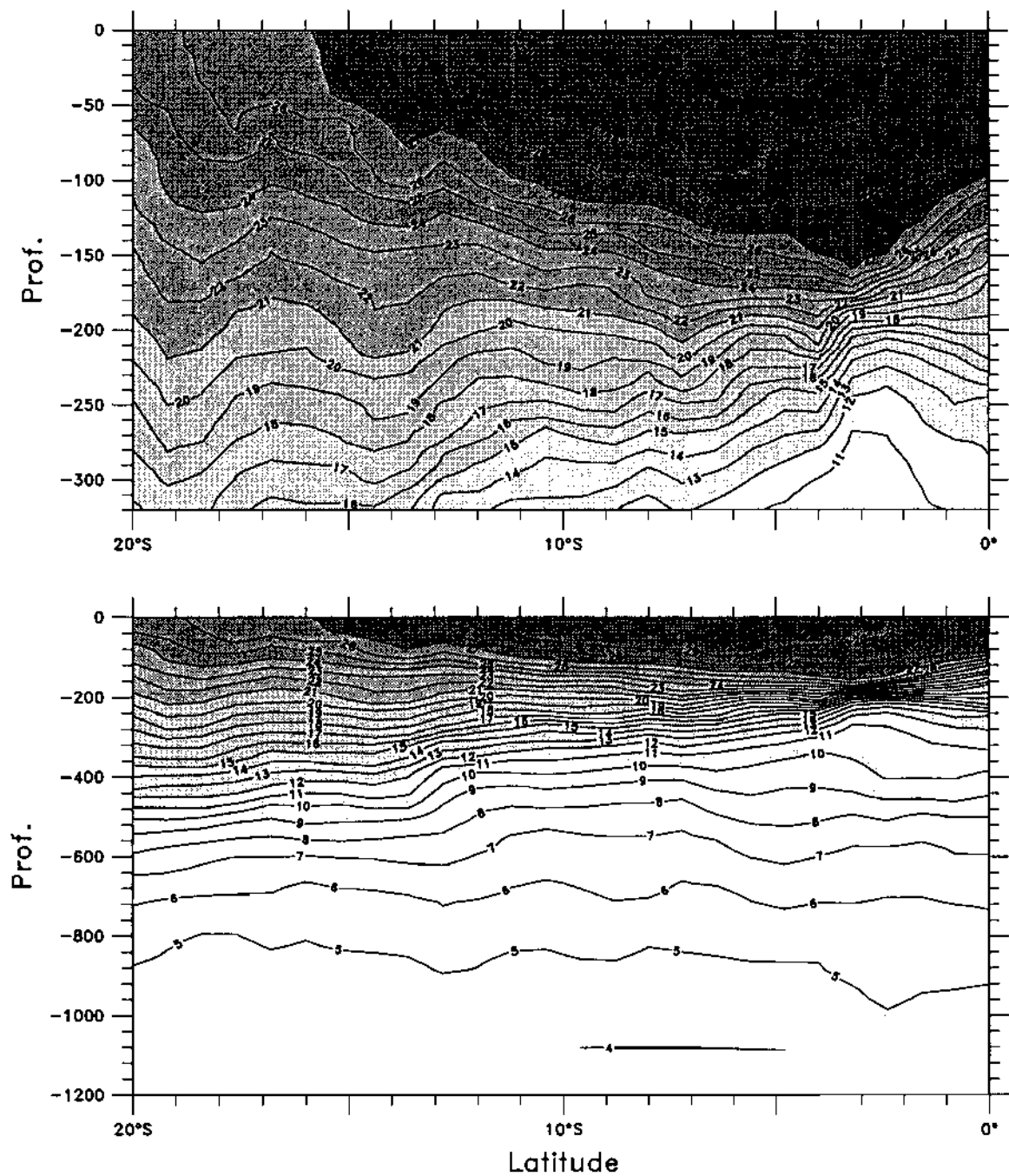


Figure 70

WESPALIS 1, Salinite, radiale 165

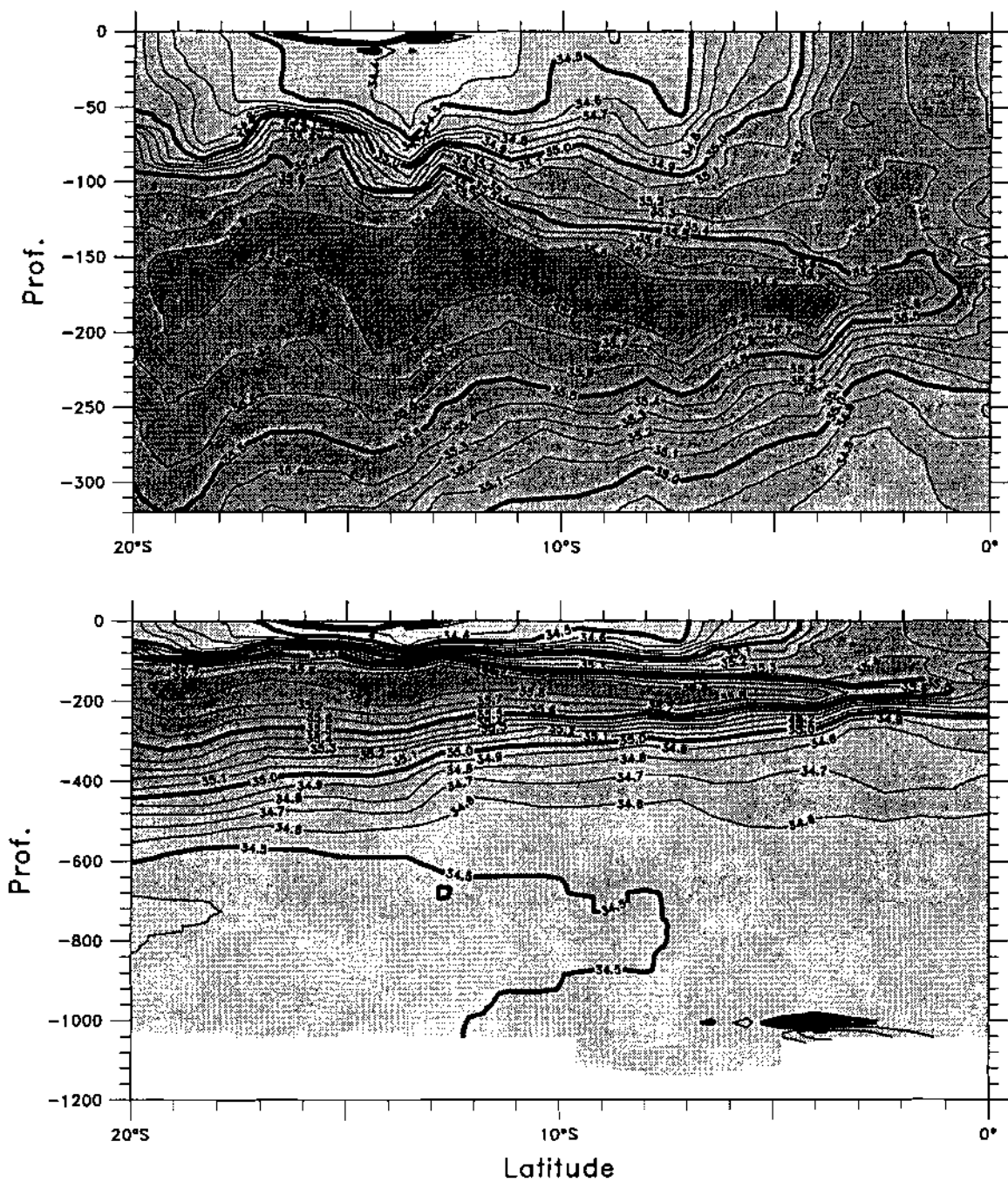


Figure 71

WESPALIS 1, Temperature, radiale 180

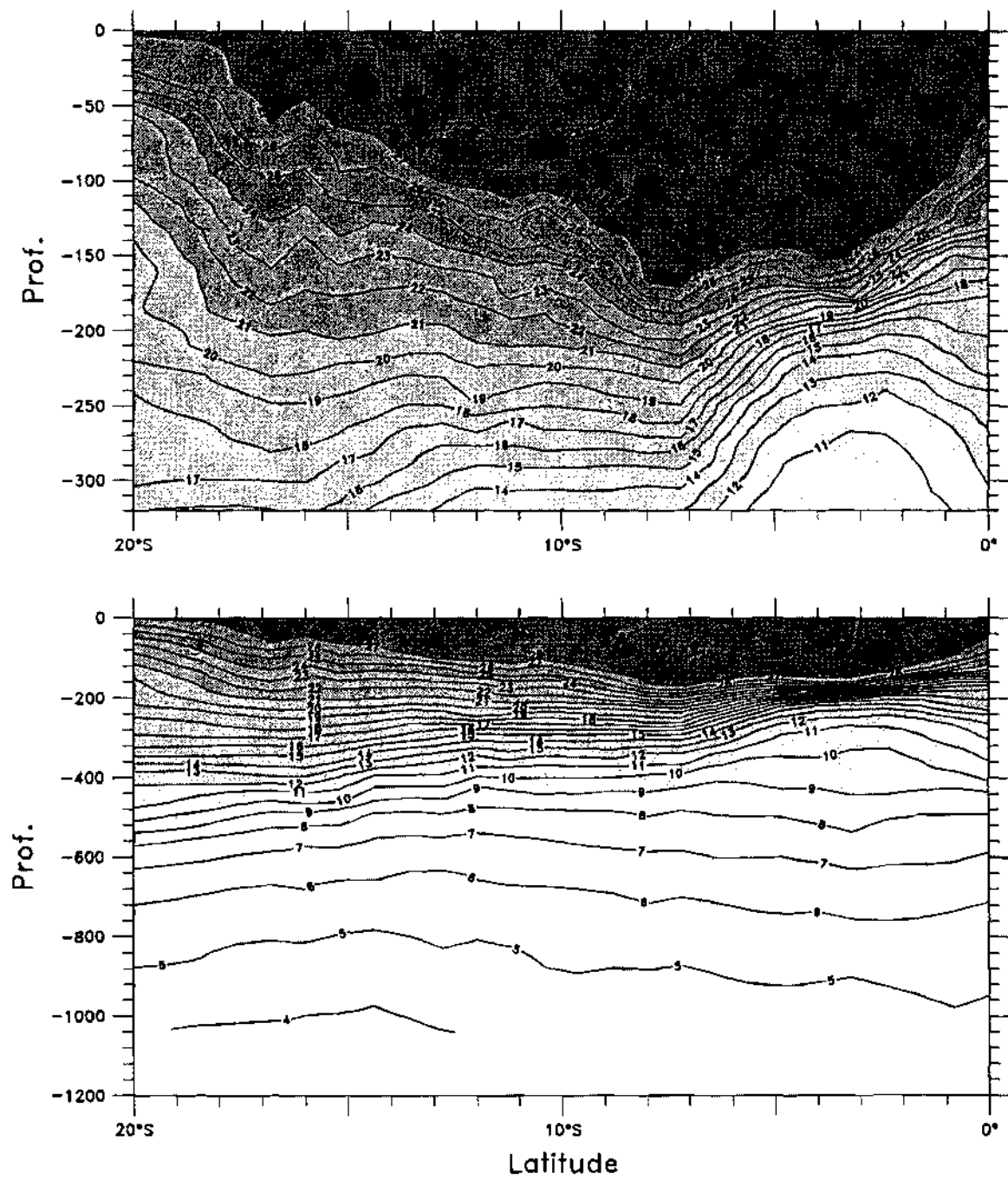


Figure 72

WESPALIS 1, Salinite, radiale 180

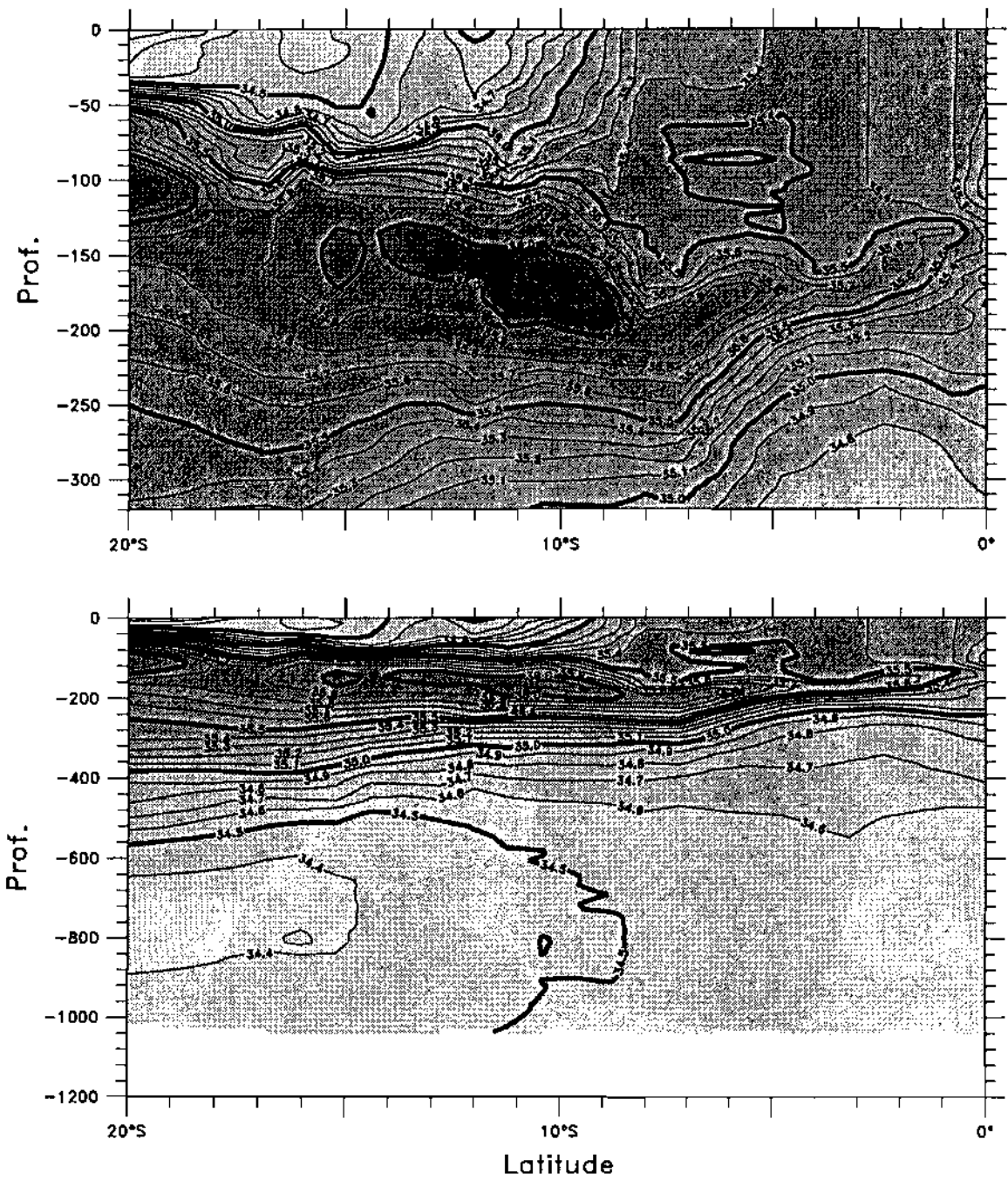


Figure 73

WESPALIS 1, Temperature, radiale equateur

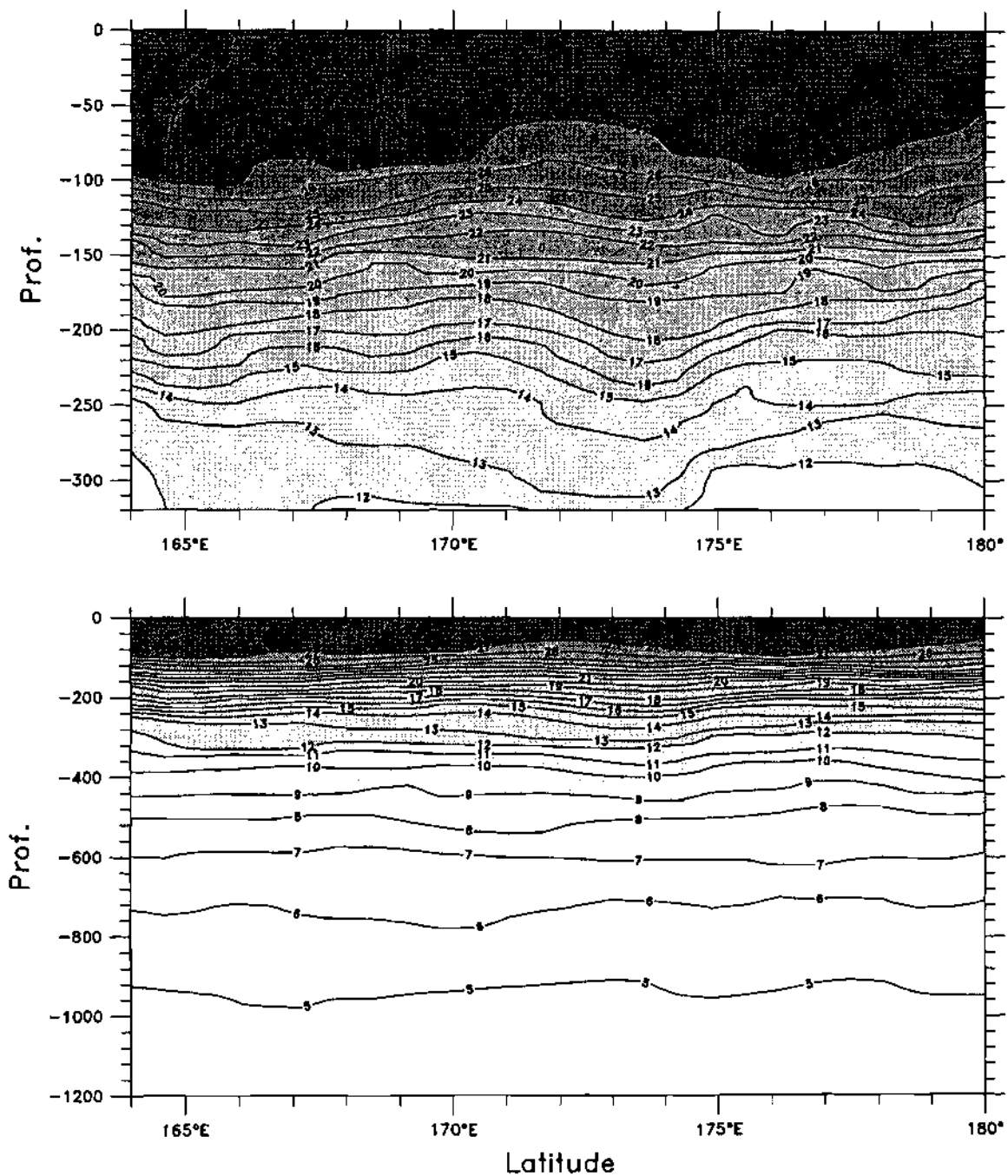


Figure 74

WESPALIS 1, Salinité, radiale équateur

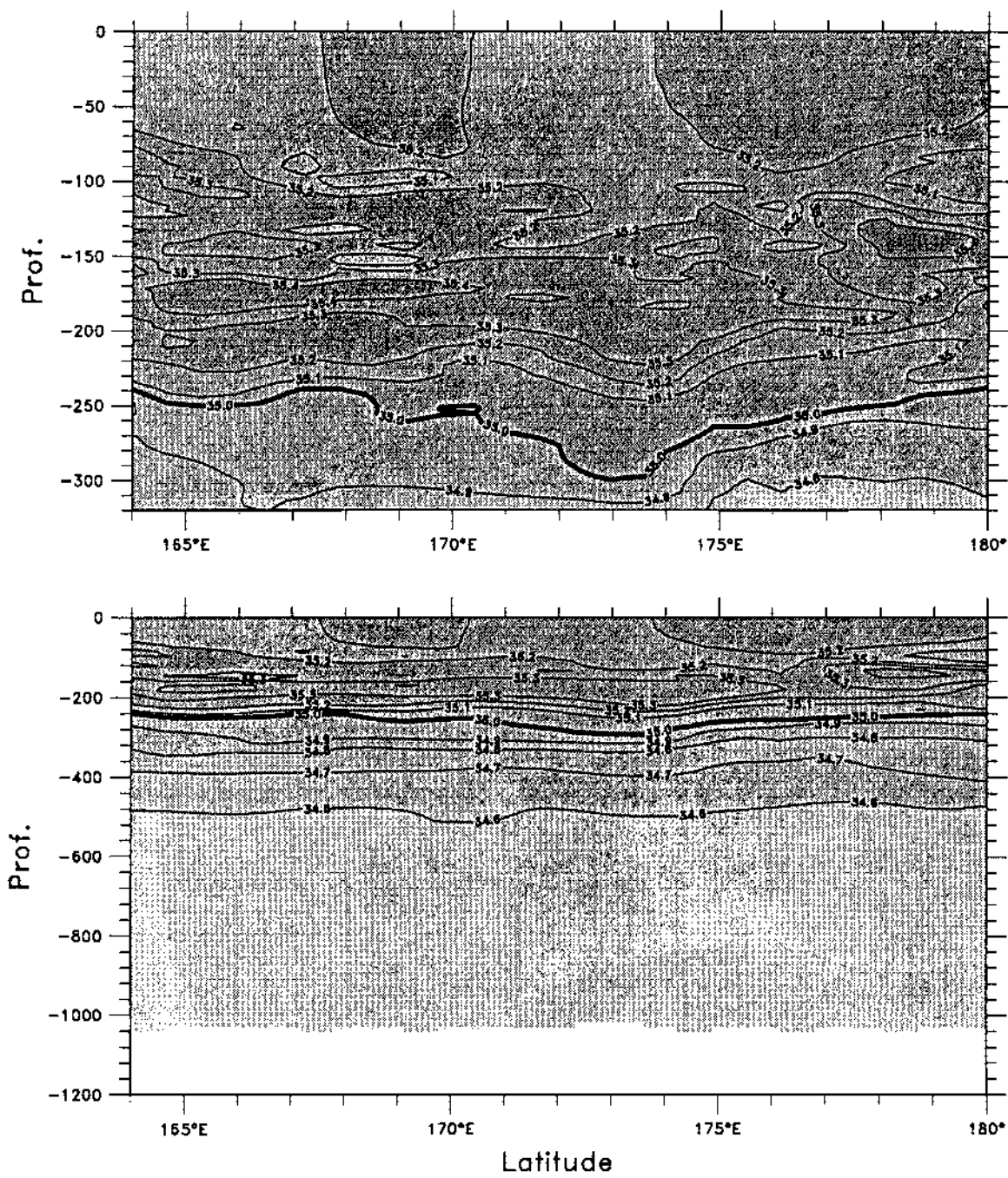


Figure 75

WESPALIS 1, Temperature, radiale Fiji-NC

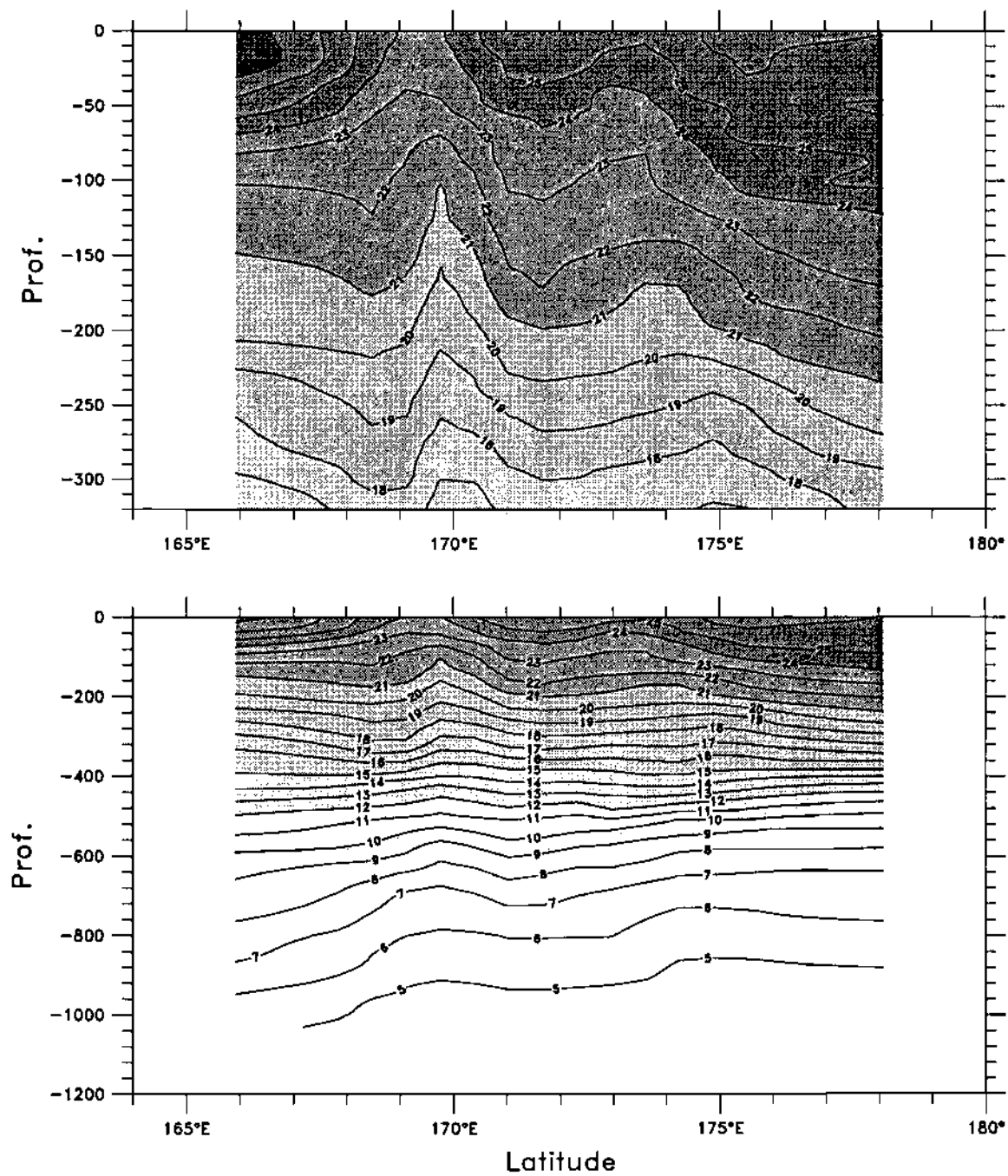


Figure 76

WESPALIS 1, Salinite, radiale Fiji-NC

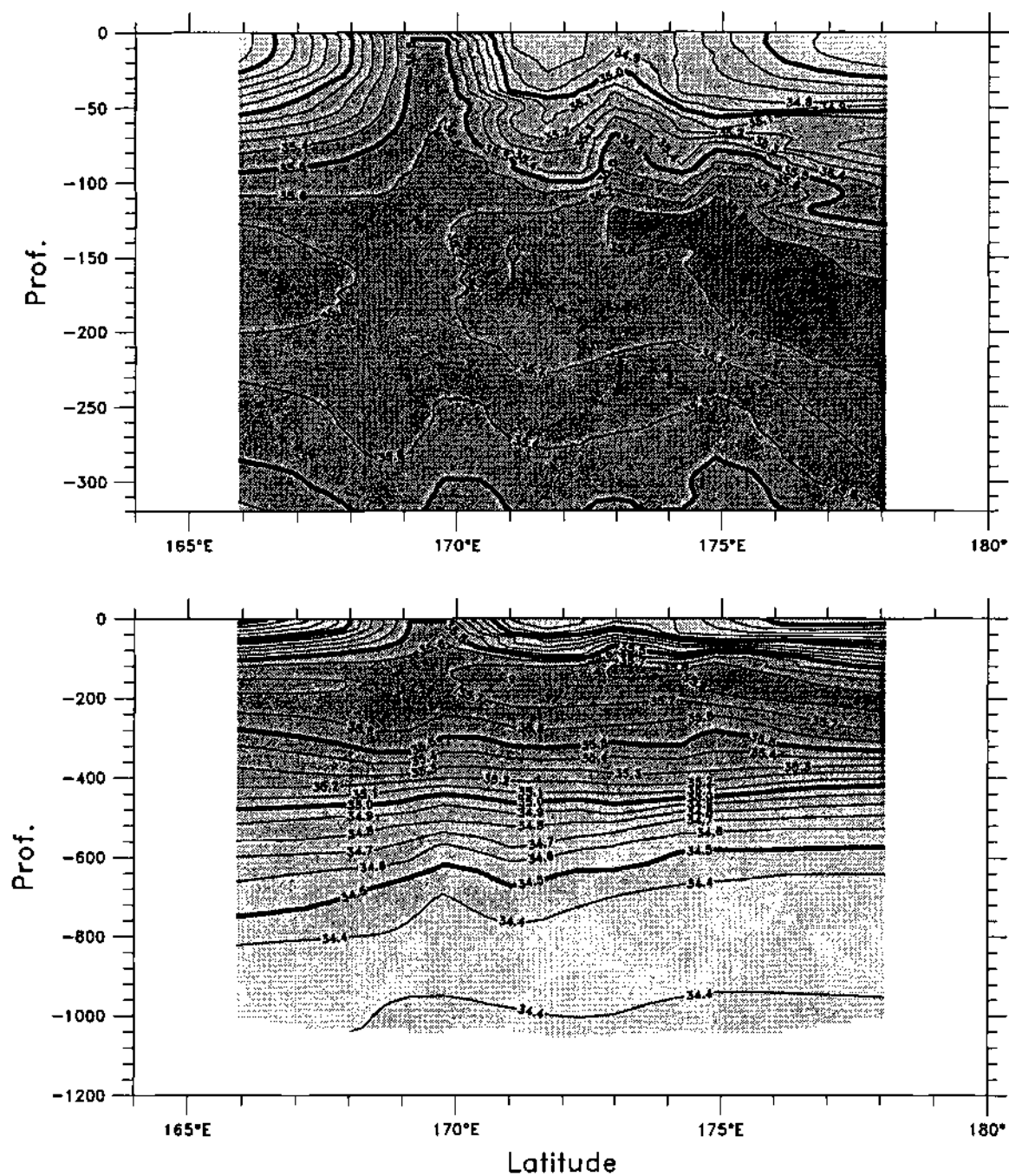


Figure 77

III.2. Thermosalinographe et prélèvements de surface

La température et la salinité de surface ou de la proche surface ont été mesurées en continu pendant toute la campagne par un Thermosalinographe (TSG) SBE-21 du fabricant SeaBird. L'acquisition des données et de la position est réalisée par le logiciel THERMO développé par Grelet *et coll.* (1992). Le système installé à bord du N.O. ALIS est semblable à celui installé par le programme ECOP sur les navires de commerce du réseau TSG. Il est décrit dans Hénin et Grelet (1996) et Prunier-Mignot *et coll.* (1999).

Quelques problèmes dans le circuit de déboulage ont été constatés au cours de la radiale 165°E vers 8-6°S (stations 13-15). Après intervention le système TSG a fonctionné de façon satisfaisante jusqu'à la fin de la campagne. La comparaison avec les données de la sonde est plus que satisfaisante (écart type $\{T[CTD]-T[TSG]\} = 0.171^\circ\text{C}$; écart type $\{S[CTD]-S[TSG]\} = 0.036 \text{ psu}$). Les données du thermosalinographe de l'ALIS comme celles du réseau de navires de commerce ECOP sont gérées par SGBD ORACLE au centre IRD de Nouméa (<http://noumea.ird.nc/ECOP>).

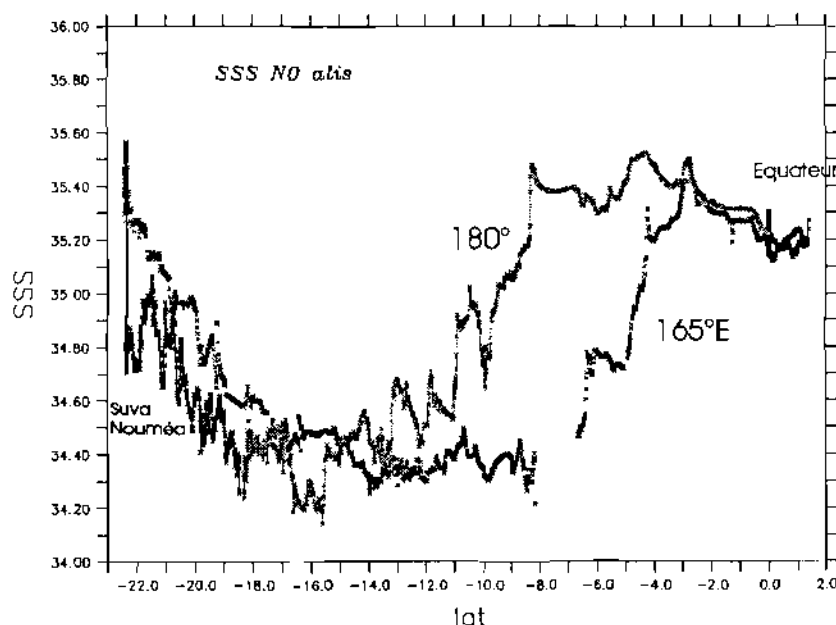


Figure 78 : Salinité de surface (SSS) mesurée par le thermosalinographe le long de la route (4 radiales).

IV. COURANTOMETRIE ADCP

IV.1. Mesures de courants par le profileur de coque à effet Doppler (VM-ADCP)

IV.1.1 Introduction

Les mesures de courant dans les premières centaines de mètres de l'océan permettent de décrire précisément la circulation océanique de surface associée à la variabilité climatique dans les tropiques. Pour cela, les profileurs de coque à effet Doppler (VM-ADCP) procurent des profils de courant en continu le long de la route du navire. De plus, ces mesures permettent une inter-comparaison avec les mesures du courant effectuées par le courantomètre à effet Doppler installé sur la bathysonde (L-ADCP, voir chapitre V).

IV.1.2. Equipement

Le N.O. Alis est équipé depuis octobre 1999 d'un VM-ADCP fabriqué par la société RDI, un modèle BB-150 installé auparavant sur le N.O. Antéa. Cet appareil (« broadband », 150 kHz) a une portée moyenne de ~200-300 m, et s'utilise avec une résolution verticale de 4-8 m. L'embase émettrice/réceptrice est placée dans un puits rempli d'eau douce, à une profondeur moyenne de 3 m sous la surface, isolée du milieu marin par une fenêtre acoustique en fibre composite (Kevlar/epoxy). L'unité de pont est interfacée au gyroscope de passerelle du navire par liaison synchro 1/1. Un récepteur GPS multi-antennes Sercel NR-230 fournit au PC d'acquisition des trames de navigation GPGGA par liaison directe RS-232, ainsi que des données d'attitude (cap, roulis, tangage), à une cadence de 0.6 s.

IV.1.3. Acquisition

L'acquisition se fait sur un PC de classe Pentium III, avec enregistrement des données sur disque dur. La configuration d'acquisition est résumée dans le Tableau 2. Avant le départ de la campagne, les tests logiciels de l'ADCP ont été effectués avec succès.

L'acquisition s'est déroulée sans problème particulier ni interruption notable. La dérive d'horloge interne des ADCPs a été vérifiée tous les deux jours et est restée négligeable. Les données de positionnement et d'attitude GPS ont été obtenues sans interruption et stockées dans les fichiers « navigation » de Transect. Le programme NAVSOFT de RDI a été utilisé seulement pour l'affichage des profils en temps réel.

| Acquisition BB-150 pour Wespalis 1 | |
|---|---------------------|
| Programme d'acquisition | Transect v. BB 3.05 |
| Longueur de « bin » | 8 m |
| « Blanking interval » | 4 m |
| Mode d'acquisition | 7 |
| Durée d'ensemble | 300 s |
| Passage en coordonnées géographiques à chaque « ping » | oui |
| Corrections roulis/tangage | non |
| Calcul vitesse du son à chaque « ping » | oui |
| Prof. du premier « bin » | 17 m |
| Premier profil | 14/10/1999 02:14 TU |
| Dernier profil | 09/11/1999 01:38 TU |

Tableau 2 : Caractéristiques d'acquisition.

IV.1.4. Traitement des données

Le traitement est basé sur le logiciel CODAS-3 (Common Oceanographic Data Access System, version 3), développé à l'Université d'Hawaii (i.e., Bahr *et coll.*, 1989). Une partie est effectuée à bord au fur et à mesure de l'acquisition. Après la campagne le traitement est repris et un étalonnage de l'appareil peut être fait.

4.1. Constitution d'une base de données

Les fichiers « processed » issus de Transect sont chargés dans une base de données au format CODAS. Au passage une correction de dérive d'horloge peut être appliquée, elle n'est pas nécessaire ici.

4.2. Vérification des profils relatifs

L'ADCP fournit des profils de vitesse de l'eau relativement au navire. Avant de calculer les courants absolus, il convient de vérifier la qualité de ces profils.

La vitesse du son utilisée pour le calcul de l'effet Doppler dépend de la température mesurée au niveau de l'embase et de la valeur de salinité entrée dans le logiciel d'acquisition. Un tracé de cette température (Fig. 79) permet de vérifier que les valeurs sont correctes.

Les profils peuvent être entachés de diverses erreurs provenant d'un niveau de bruit excessif ou de réflexions sur le fond ou des objets. Des tests statistiques sur les dérivées verticales des vitesses ou d'autres paramètres permettent de détecter, de visualiser et de corriger les profils s'écartant de la moyenne.

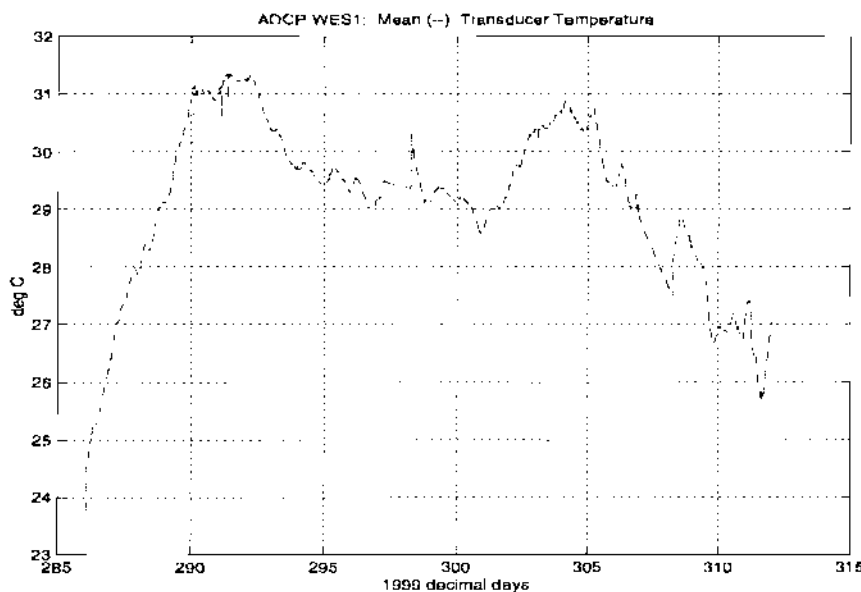


Figure 79 : Série temporelle de la température de l'embase.

Pendant cette campagne, on constate à plusieurs reprises une dégradation complète du signal acoustique qui empêche le calcul des vitesses dès le premier « bin » (Tableau 3). Ces interruptions sont associées à des observations visuelles de concentration de phytoplancton qui peuvent expliquer un amortissement important du signal acoustique.

| Episodes de dégradation du signal ADCP | |
|--|-------------------------|
| 17/10/1999, 20:30-22:40 et 23:30-03:30 | ~ 10°S-9.5°S à 165°E |
| 19/10/1999, 19:20-20:30 et 22:00-24:00 | ~ 5°S-4,5°S à 165°E |
| 31/10/1999, 17:30-23:50 | ~ 9°S-10°S à 179.5°E |
| 01/11/1999, 01:00-04:00 | ~ 10°S-10.5°S à 179°E |
| 01/11/1999, 17:30-22:10 et 23:10-01:50 | ~ 12.5°S-13.5°S à 178°E |
| 02/11/1999, 03:10-04:40 | ~ 13.5°S-14°S à 178°E |

Tableau 3 : Données inexploitables à cause de la dégradation du signal

4.3. Intégration de la navigation

Les positions GPS GPGGA enregistrées à la fin de chaque profil et les vitesses relatives ADCP permettent de calculer le courant absolu dans une couche de référence (ici 40-100 m). Ce courant est filtré (filtre de Blackman de $\frac{1}{2}$ largeur 30 mn) et la vitesse du navire par rapport à cette couche lissée est stockée dans la base. Le courant absolu pourra être calculé à chaque niveau à partir de cette vitesse.

Pendant cette campagne, deux problèmes apparaissent, que des aller-retour entre calcul de navigation et procédure d'étalonnage (voir 4.4) permettent de déterminer et de corriger:

- Du 19/10/1999 02:50 (7°S - 165°E) jusqu'au 25/10/1999 05:00 (arrivée escale de Tarawa), des fluctuations de vitesses anormales aux arrivées/départs de stations.
- ◆ La procédure d'étalonnage, qui calcule une corrélation entre vitesse du navire donnée par le GPS et vitesse estimée donnée par l'ADCP fait apparaître pendant cette période un décalage d'horloge entre temps ADCP et temps GPS. Après plusieurs essais, une soustraction de 90 s au temps ADCP corrige le problème, qui provenait sans doute d'une remise à l'heure erronée de l'ADCP (Fig. 80).
- Du 26/10/1999 06:00 (départ de Tarawa) jusqu'au 31/10/1999 01:00 (7°S - 180°E), des valeurs de vitesse irréalistes en route et en stations.
- ◆ La comparaison du fichier GPS utilisé par CODAS et des messages GPGGA d'origine montre une erreur de 24 h dans les temps, causée par une perte de caractère dans un des fichiers « navigation » mal interprétée par le programme de mise en forme nmea_gps. Après suppression de cette position et un nouveau calcul de navigation le problème est corrigé.

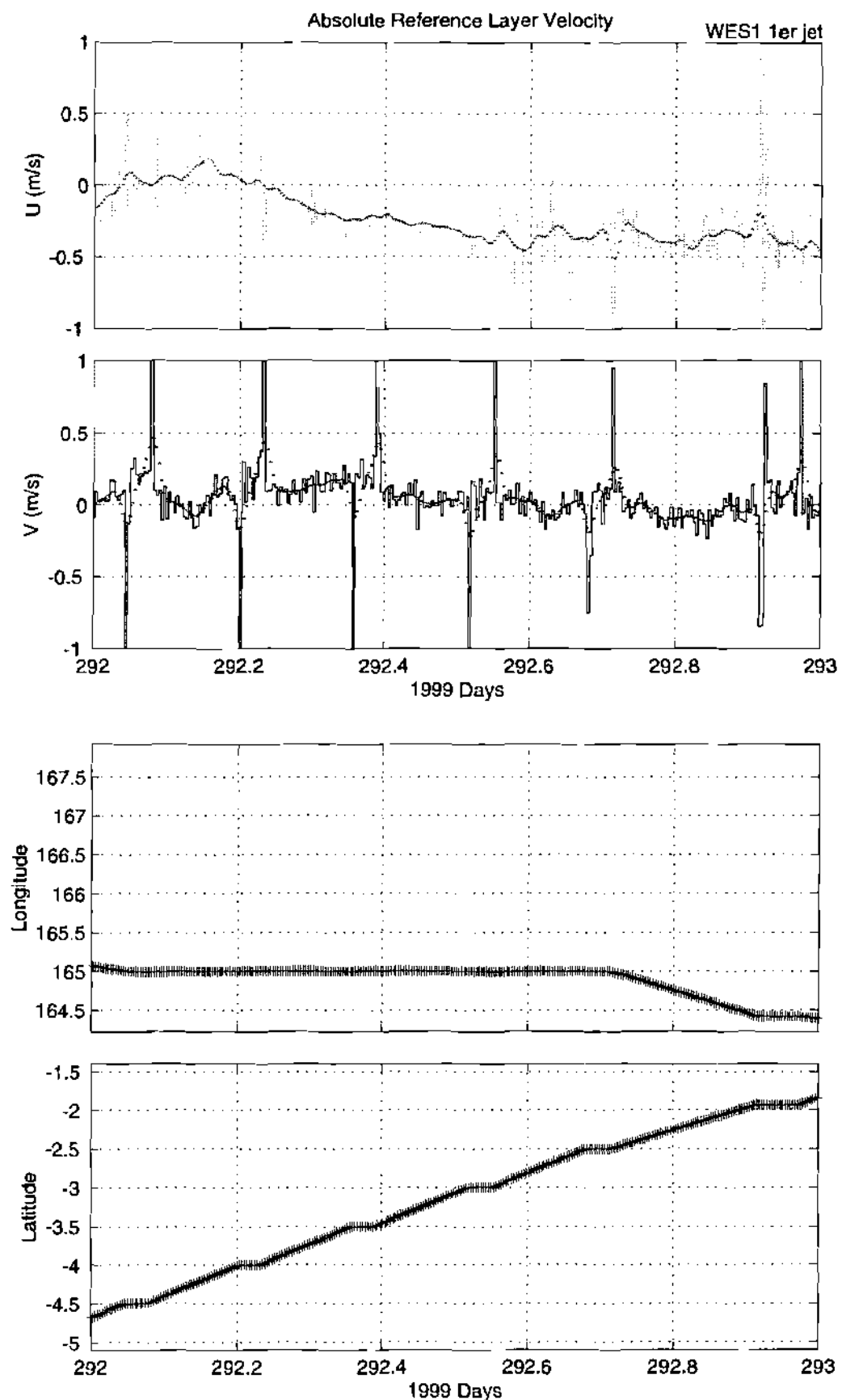


Figure 80a : Vitesse de la couche de référence pour le 20/10/1999 avant correction de l'erreur d'horloge ADCP.

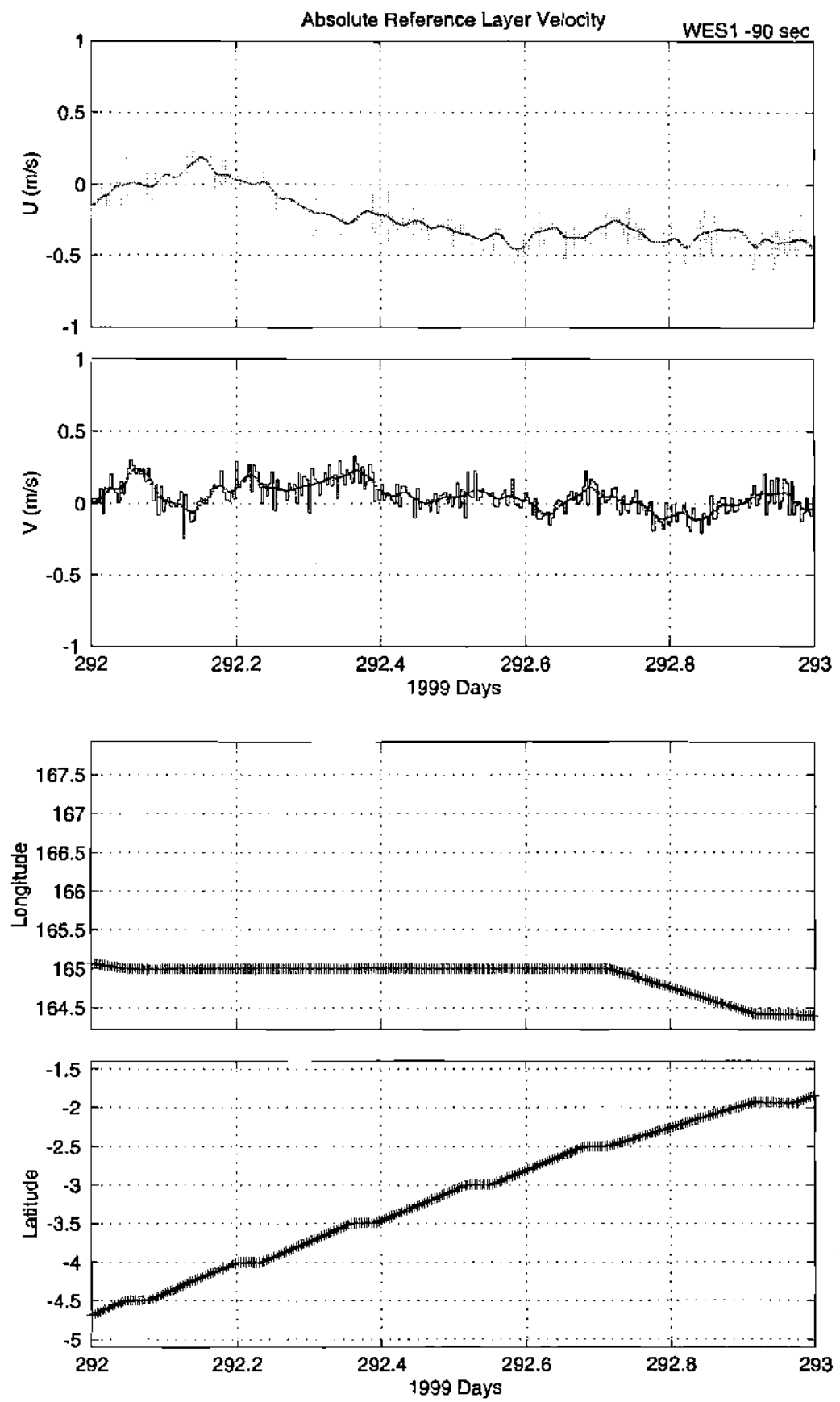


Figure 80b : Vitesse de la couche de référence après correction de l'erreur d'horloge ADCP de -90s.

4.4. Etalonnage

Deux types d'erreur interviennent dans le calcul des vitesses absolues de courant : l'erreur sur l'orientation horizontale de l'embase en coordonnées géographiques et l'erreur sur l'amplitude de la vitesse calculée par effet Doppler. L'erreur d'orientation provient de l'erreur sur les indications du gyro et d'une éventuelle erreur sur l'orientation de l'embase au montage. L'erreur d'amplitude peut être associée à un problème d'électronique ou de calcul de l'effet Doppler (vitesse du son).

La partie variable de l'erreur d'orientation associée aux erreurs gyro est estimée par différence entre les caps gyro et les caps fournis par le GPS d'attitude, moyennés sur la durée de chaque profil. La Figure 81 présente cette différence, brute et après filtrage médian et lissage : on constate une variation du gyro de l'ordre de 0.5-1° à chaque arrivée/départ de station et une variation du même ordre aux changements de route (zonale/méridienne). Il est à noter que les erreurs observées ici sont supérieures aux erreurs de gyro observées sur d'autres navires et qu'une vérification du gyro de l'Alis est nécessaire.

Les valeurs lissées de cette différence sont utilisées pour effectuer une rotation de signe inverse de chaque profil relatif. Après cette correction il ne doit subsister théoriquement qu'une erreur d'orientation constante (angle résiduel entre l'axe de l'ADCP et celui des antennes du GPS d'attitude).

Il a été montré (Pollard et Read, 1989) que la comparaison des vitesses de courant absolues avant/après les changements importants de vitesse du navire (stations) permet une estimation statistique des deux erreurs et le calcul d'un angle ϕ et d'un facteur multiplicatif A à appliquer aux profils relatifs. Ce calcul est fait après correction des erreurs gyro et les valeurs sont données au Tableau 4. Les rotation et homothétie correspondantes sont appliquées aux profils relatifs et le calcul de navigation (4.3) est de nouveau effectué.

| | BB-150 |
|--------|--------|
| A | 0.983 |
| ϕ | -0.40° |

Tableau 4 : Valeurs des coefficients d'étalonnage déterminés après correction des erreurs dues au gyro du navire.

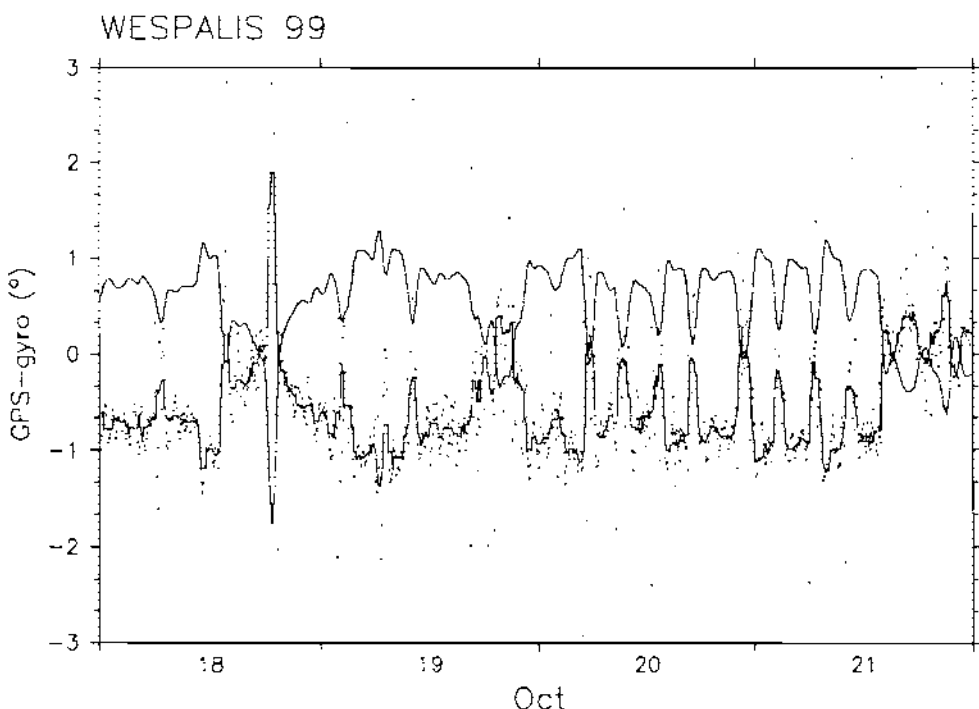


Figure 81 : Différence GPS-gyro avec zoom sur 4 jours. Les points sont les valeurs pour chaque profil; courbe inférieure : après filtrage médian sur 5 points; courbe supérieure : après lissage supplémentaire sur 5 points, interpolation des trous et changement de signe.

La valeur de A inférieure à 1 indique une surestimation de la vitesse relative mesurée d'environ 2 %. Après vérification de la valeur de salinité entrée dans Transect, une erreur sur le calcul de la vitesse du son a été écartée. Un problème électronique ou un montage imparfait de l'embase peuvent être en cause et devront être confirmés ou non au cours de futures campagnes. Sur l'Antéa, l'étalonnage du même appareil montrait plutôt une sous-estimation de la vitesse ; la raison de ce changement reste à déterminer. La valeur de ϕ devrait rester constante par la suite si aucune modification de l'embase ADCP ou des antennes GPS n'est effectuée. La Figure 82 présente les histogrammes des valeurs calculées de A et ϕ après application de la correction d'erreur gyro. La distribution de ϕ est déformée, indiquant que les erreurs gyro importantes constatées n'ont pas pu être entièrement éliminées par la procédure.

2000-1-19 17:3

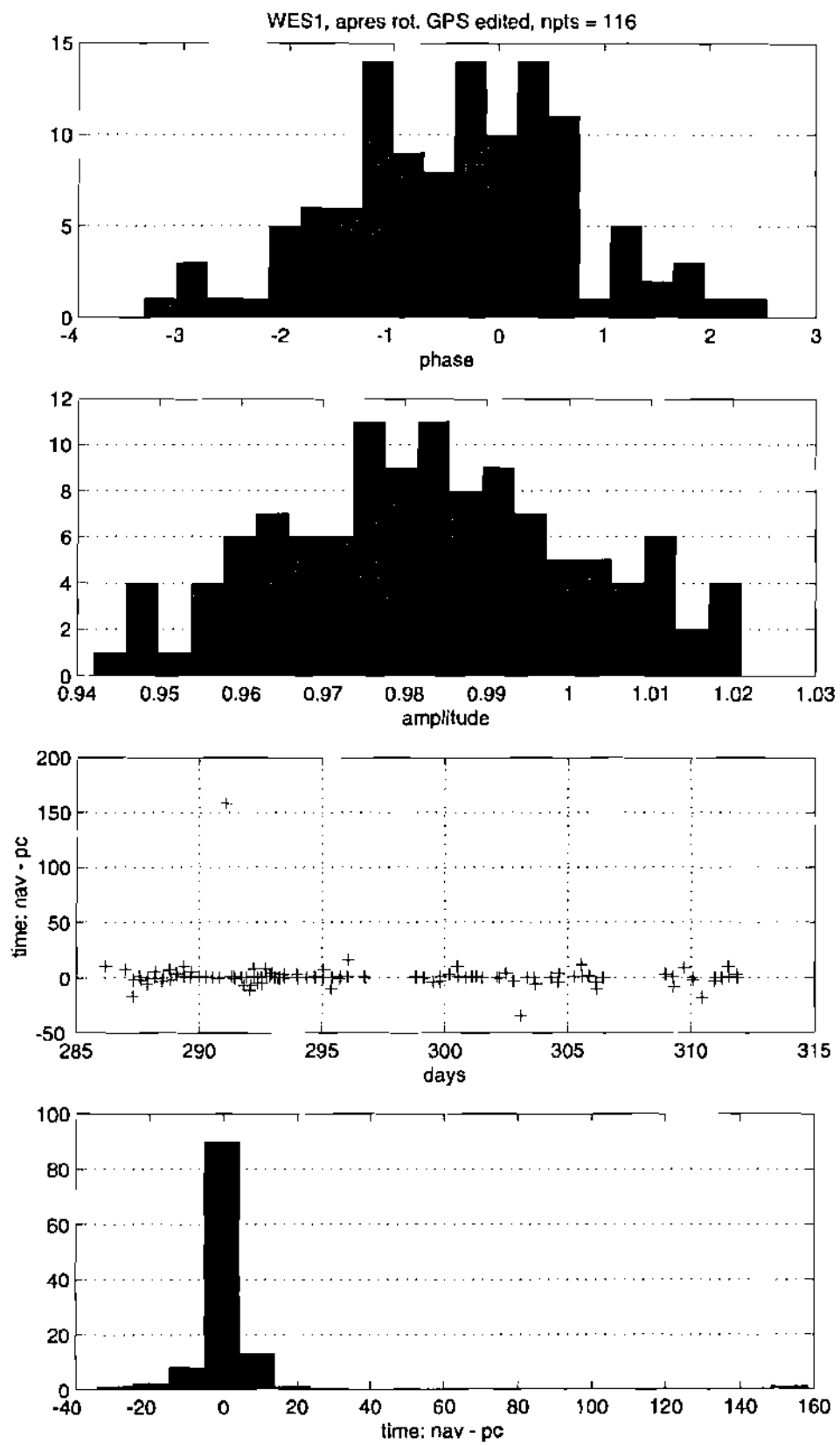


Figure 82 : Histogrammes de A et ϕ et différences d'horloges GPS-ADCP après correction gyro et corrections d'erreurs d'horloges.

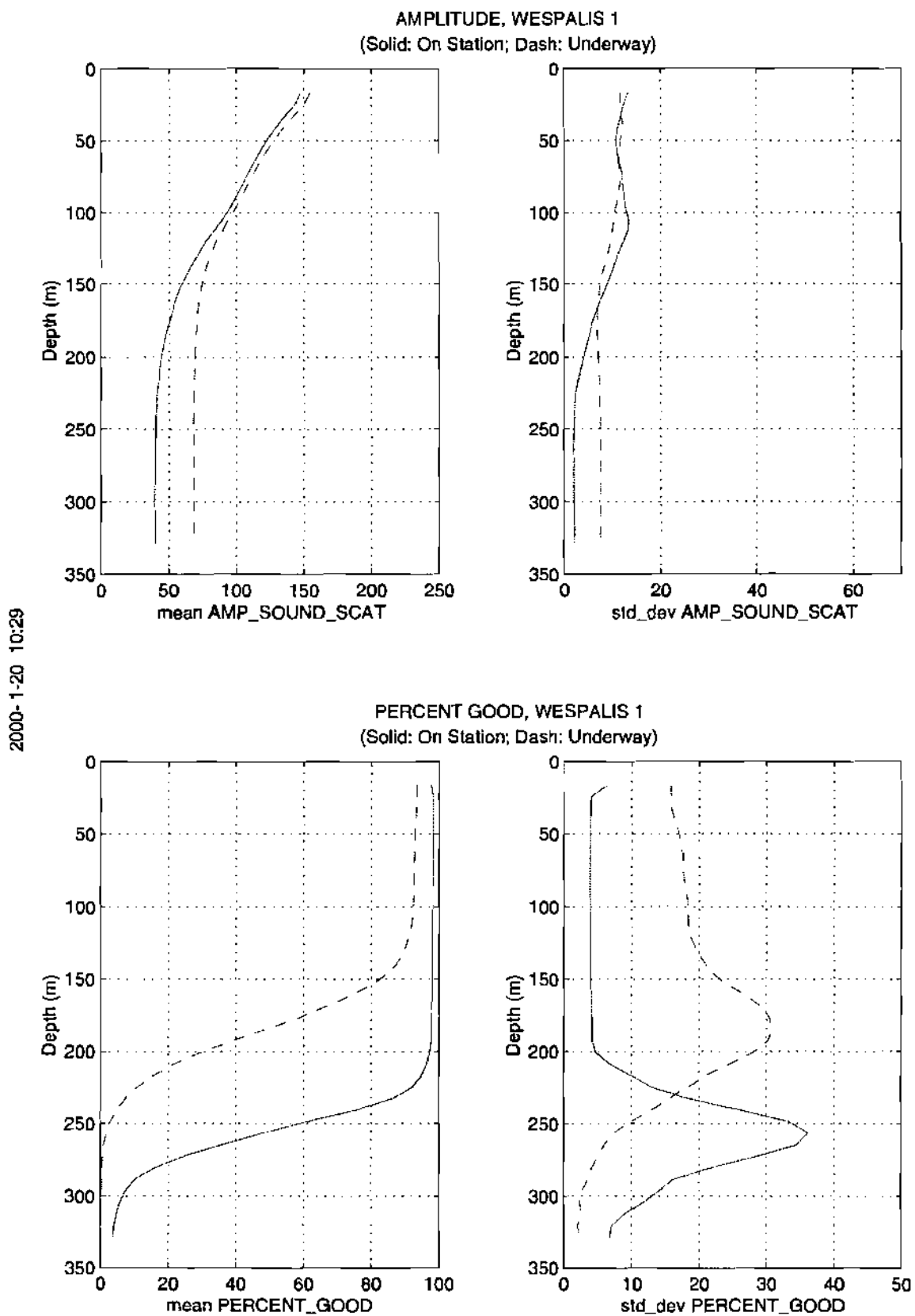


Figure 83 : Moyennes et écart-types de l'amplitude et du PGOOD du signal en route et en stations.

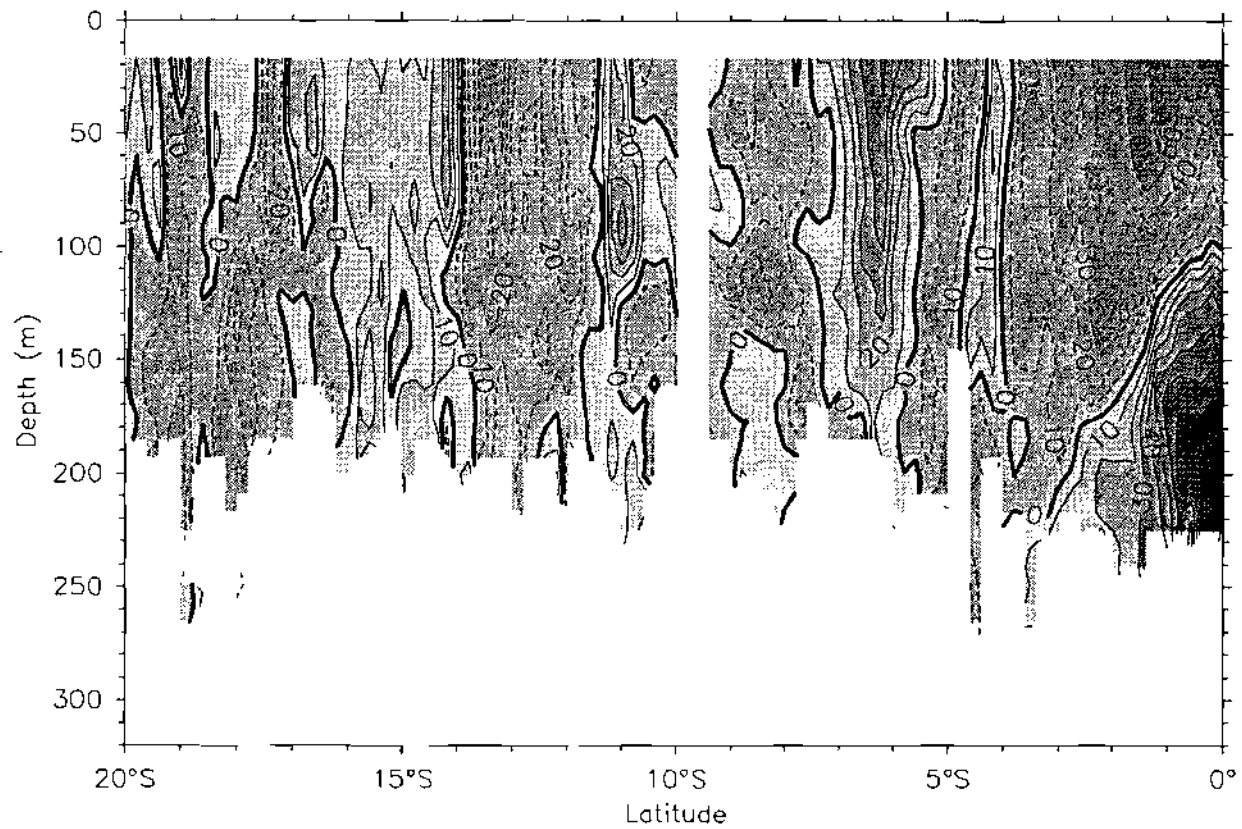
4.5. Contrôle de qualité

Des statistiques sur les profils sont calculées pour estimer la qualité des données et avoir un suivi des performances de l'appareil. En particulier, les valeurs moyennes de l'intensité sonore et du pourcentage de bon « pings » en fonction de la profondeur (PGOOD) renseignent sur la portée utile des appareils (Figure 83). La portée moyenne (donnée par la profondeur où PGOOD = 30%) est de 270 m en stations et de 200 m en route. Cette différence, jointe à la baisse de qualité du PGOOD en surface et l'augmentation du niveau de bruit au fond lorsque le navire fait route, est significative : il s'agit d'un problème de bruit acoustique transmis par la coque et/ou d'écoulement autour de l'embase.

4.6. Présentation des résultats

Le logiciel CODAS permet d'obtenir des sections et séries temporelles pour tracés de coupes ou de vecteurs. Dans ce rapport on présente les coupes de vitesses U, V pour chaque section zonale et méridienne de la campagne (Figs. 84 à 87).

WESPALIS 1, U zonal, 165°E.



WESPALIS 1, U zonal, 180°E.

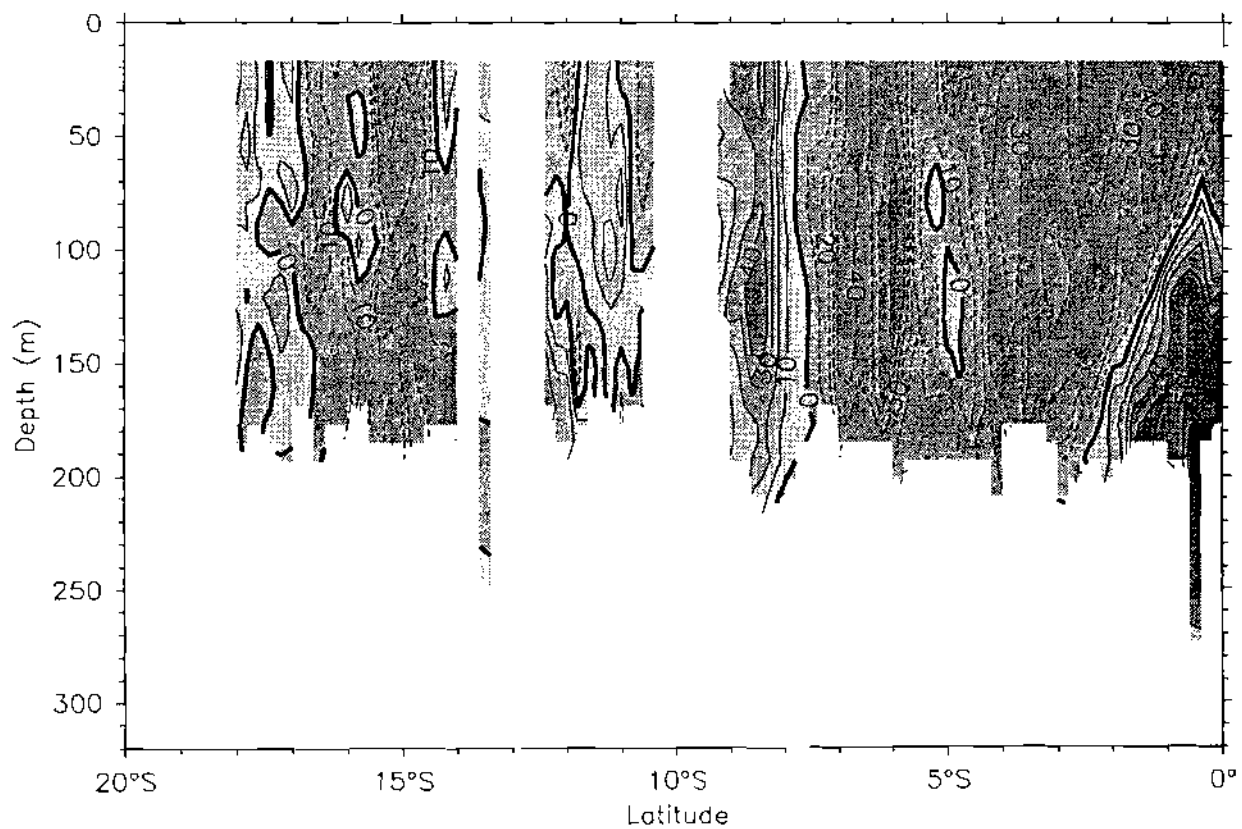
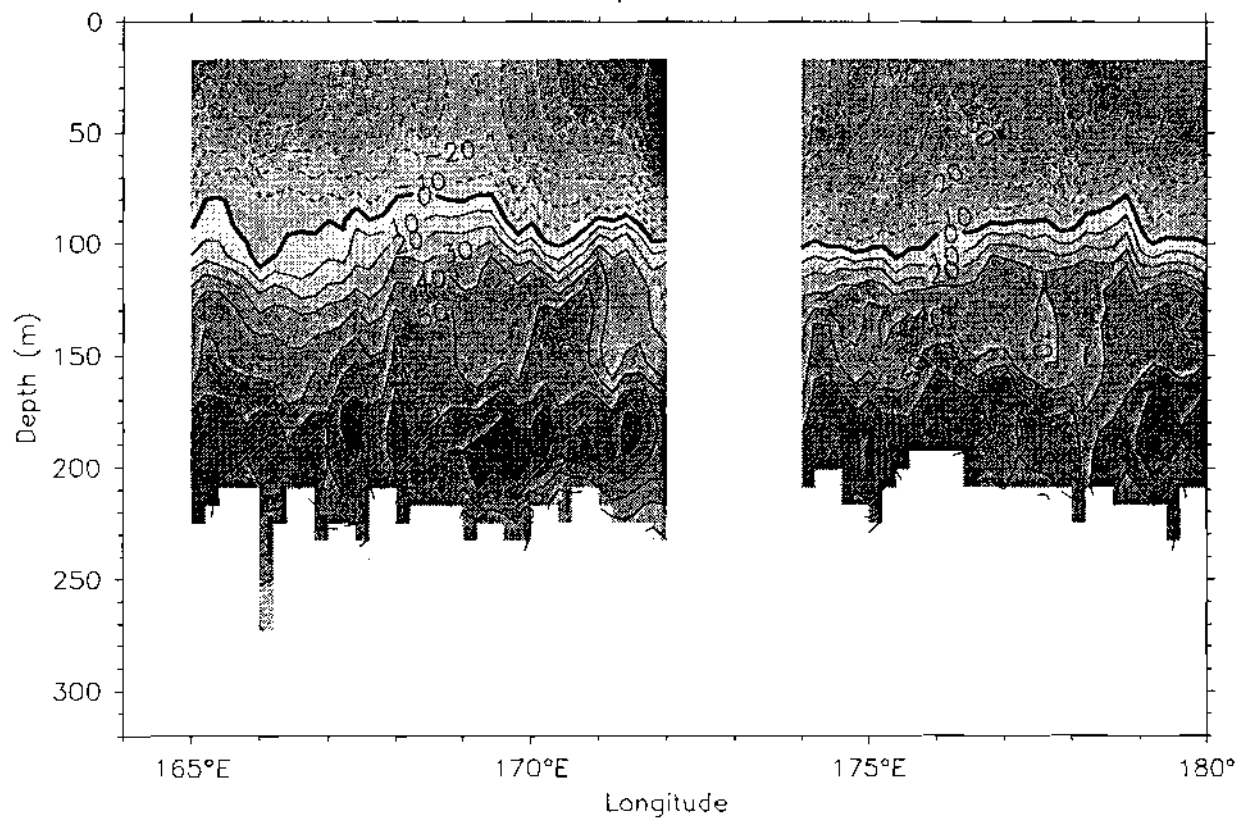


Figure 84

WESPALIS 1, U zonal, Equateur.



WESPALIS 1, U zonal, Fiji-NC.

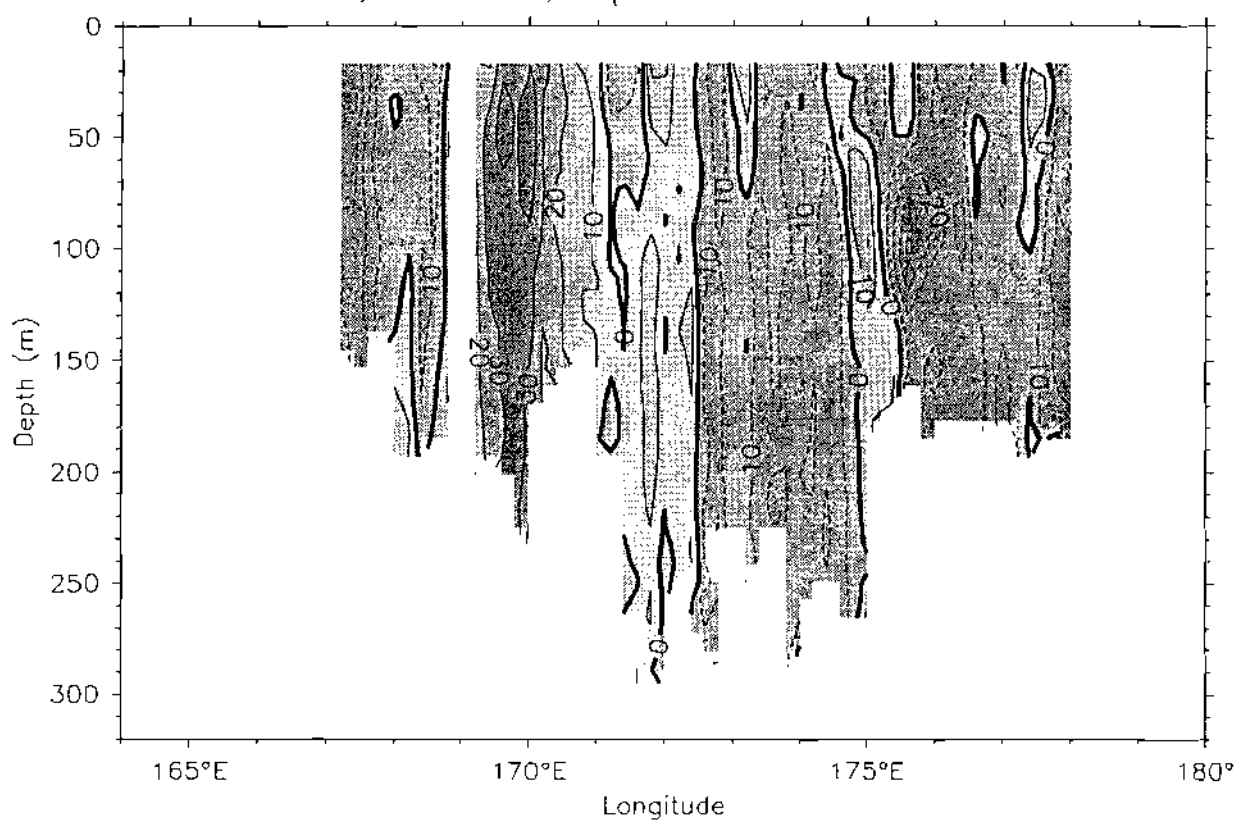
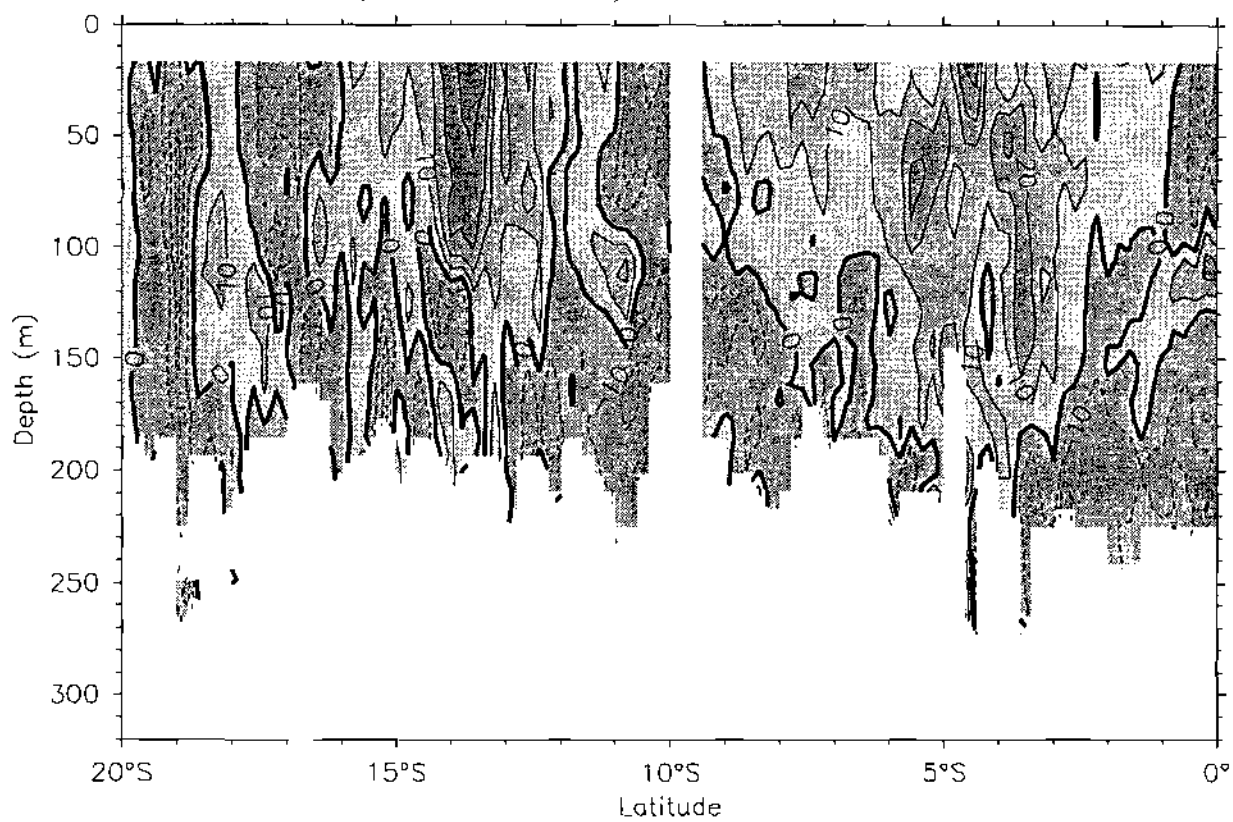


Figure 85

WESPALIS 1, V meridien, 165°E.



WESPALIS 1, V meridien, 180°E.

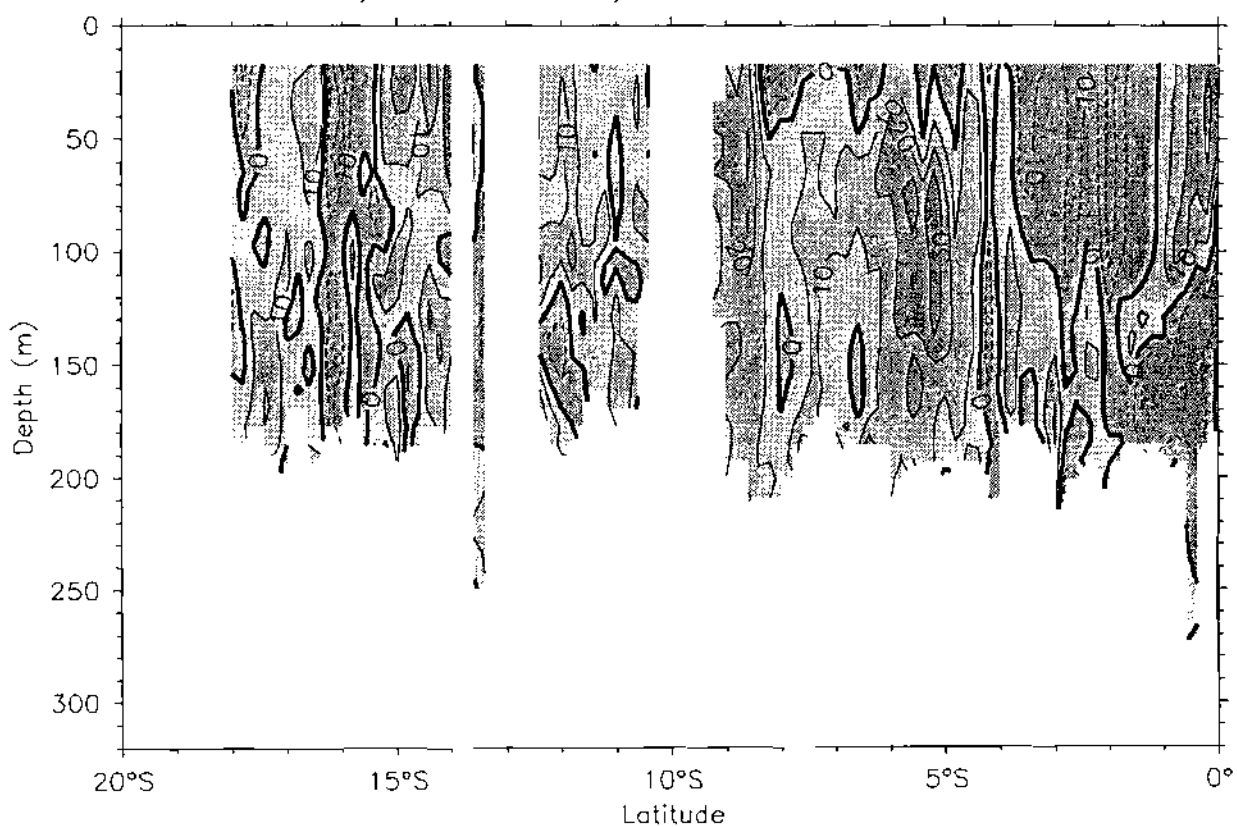
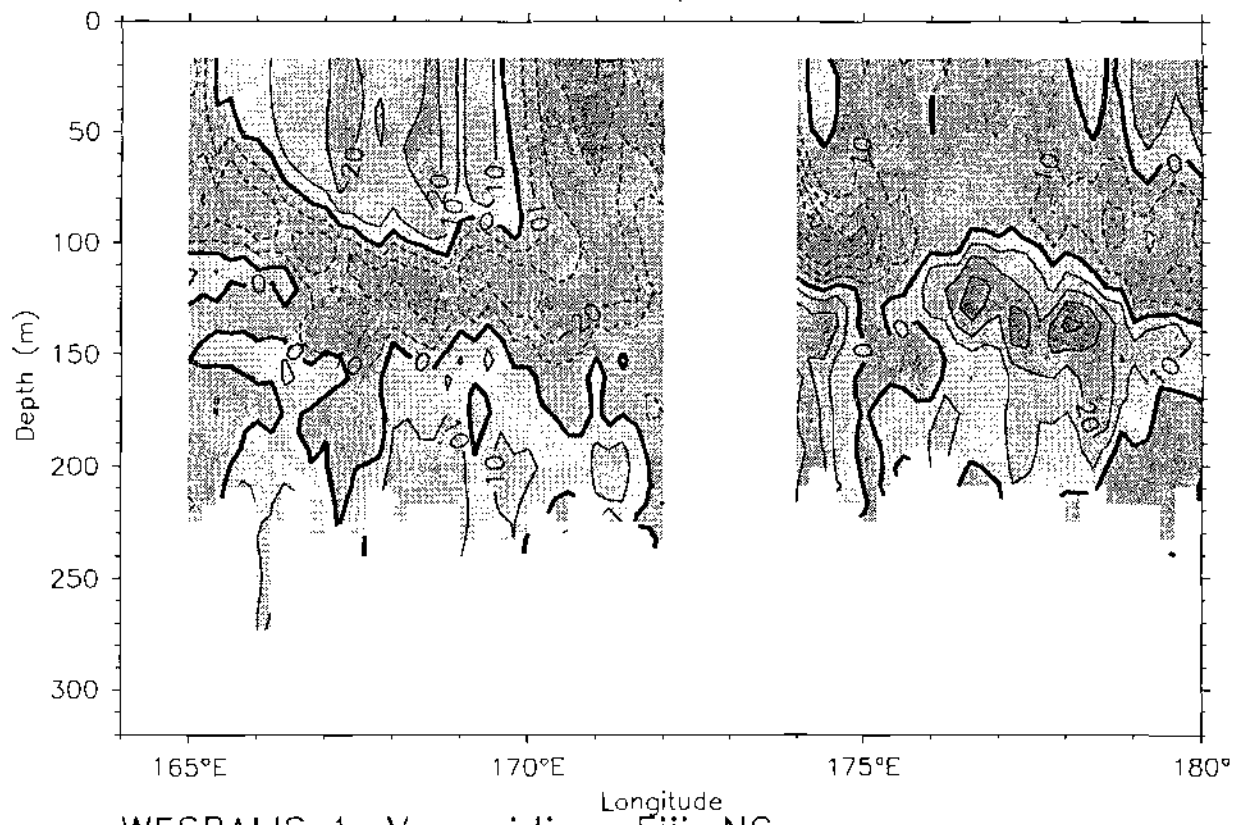


Figure 86

WESPALIS 1, V meridien, Equateur.



WESPALIS 1, V meridien, Fiji-NC.

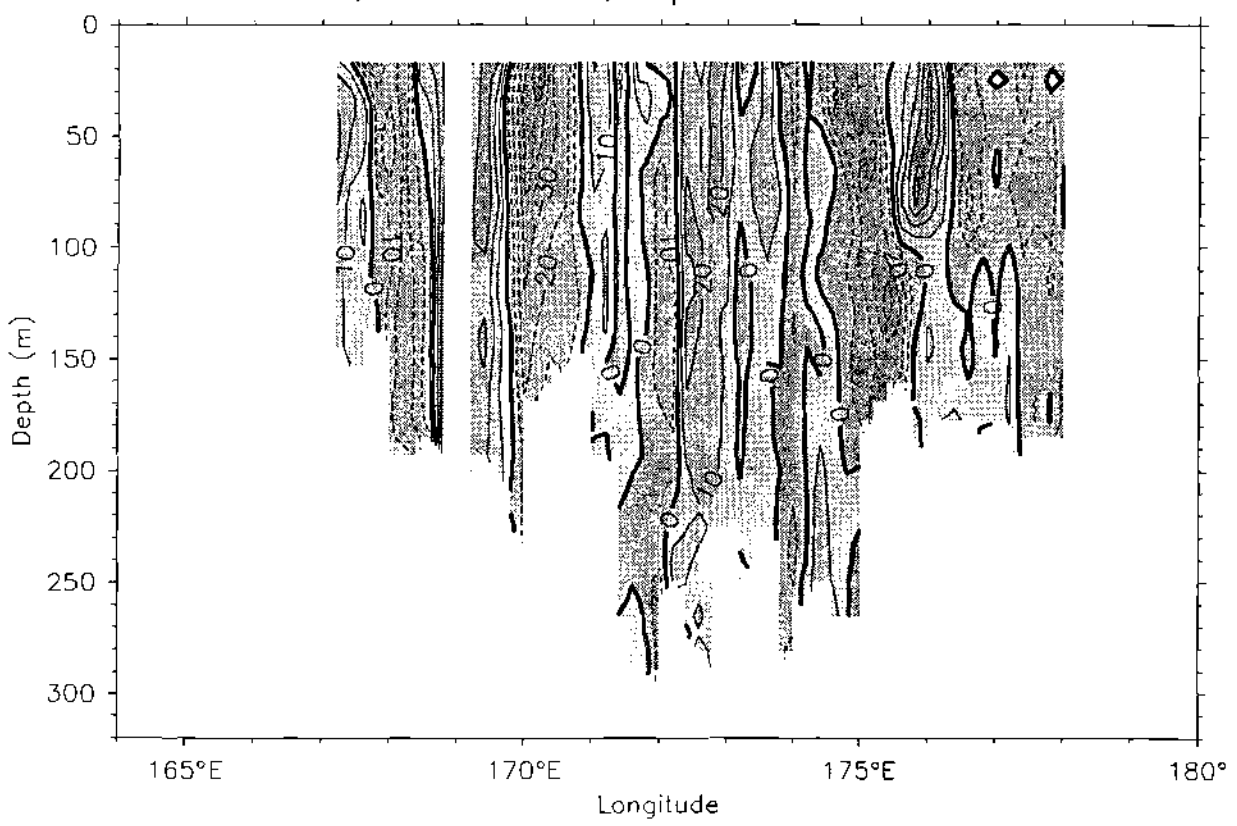


Figure 87

IV.2. Mesures avec le profileur de courant à effet Doppler ‘Profond’ (L-ADCP)

Des mesures de courant absolu en continu de la surface au fond de l'océan sont accessibles depuis quelques années grâce à un courantomètre à effet Doppler fixé à une bathysonde, le « Lowered Acoustic Doppler Current Profiler », ou L-ADCP (Fischer et Visbeck, 1993). L'IRD a acquis un tel appareil avant le programme ETAMBOT (1995-1996), afin de mesurer les courants dans la région Ouest de l'Atlantique équatorial. Nous décrivons ici brièvement le principe des mesures effectuées par cet appareil et de leur traitement, avant de présenter les résultats obtenus.

IV.2.1. Principes de la mesure et du traitement

1.1. Description de l'appareil

Le courantomètre à effet Doppler est un appareil BroadBand (BB) de la marque RD Instruments (RDI), fonctionnant à une fréquence de 150 Khz. Cet appareil est fixé à une bathysonde et effectue lors de la descente et de la remontée de celle-ci des mesures de courant simultanément à la sonde CTD-O₂. Cet appareil émet une onde sonore ('ping') qui se réfléchit sur les particules, supposées sans mouvement propre, en suspension dans l'eau de mer; ainsi, leur mouvement est assimilé au mouvement des masses d'eau dans lesquelles elles se trouvent. La fréquence de l'onde émise est modifiée par ces particules en mouvement. La différence entre la fréquence émise et réfléchie (effet Doppler) est proportionnelle à la composante de la vitesse des particules suivant l'axe de propagation de l'onde. Ainsi, pour connaître les différentes composantes de la vitesse, 4 ondes sonores sont utilisées, émises par 4 faisceaux ('beam') inclinés différemment.

1.2. Principe de fonctionnement

Le L-ADCP a la possibilité de réaliser une moyenne des impulsions ('ping') émises dans un certain intervalle de temps afin de diminuer le bruit. Cet intervalle de temps correspond à un cycle de mesures (ou 'ensemble') pour lequel nous obtenons le résultat de la moyenne de plusieurs 'pings'. Cependant, l'utilisateur peut choisir de conserver tous les 'pings' lors de la configuration de l'appareil; dans ce cas, un cycle de mesures correspond à une impulsion ('ping'). Pour chaque cycle de mesures, le L-ADCP évalue les composantes horizontales et verticale du courant, corrigées du roulis et du tangage, et ce sur un profil dont

la profondeur, ou portée, et la résolution verticale dépendent de la configuration de l'appareil. Le L-ADCP découpe chaque profil individuel de vitesse en segments uniformes, appelés cellules ('bins'); la vitesse associée à chaque cellule est une moyenne des vitesses mesurées sur l'épaisseur de la cellule.

Pour chaque cycle de mesures, le L-ADCP enregistre différents paramètres : l'indice du cycle de mesures, le nombre de cellules, l'heure de l'acquisition (année, mois, jour, heure, minute, seconde, centièmes de seconde), la température du capteur interne, le cap du capteur interne, le tangage et le roulis du L-ADCP mesurés par le capteur interne, la vitesse du son utilisée et la vitesse verticale de la bathysonde lors de l'acquisition.

Pour chaque cellule, le L-ADCP calcule et enregistre d'autres paramètres que les trois composantes de la vitesse : l'erreur de vitesse, l'intensité d'écho des ondes sonores, l'amplitude de corrélation et le pourcentage de données correctes. La mesure de ces paramètres enregistrés est explicitée en détail dans la documentation technique *RDI* (1995). Ces paramètres sont indispensables pour déterminer la qualité des mesures lors du traitement. Lors de l'acquisition, les mesures de vitesse sont transformées et enregistrées en coordonnées terrestres.

1.3. Principes du traitement

Le traitement des mesures L-ADCP a été effectué à l'aide de la chaîne de traitement initialisée par Ogier (1995) au centre ORSTOM de Cayenne, dont l'algorithme est inspiré du logiciel transmis par J.Fischer de l'IFM/Kiel et décrit en détail dans Fischer et Visbeck (1993). Les détails techniques et informatiques de la chaîne de traitement sont explicités dans Gouriou et Hémon (1997).

Contrairement au S-ADCP (voir Chapitre IV), le L-ADCP, au cours de son mouvement vertical avec la bathysonde, va enregistrer des profils successifs; ainsi, nous obtenons plusieurs mesures pour une même profondeur. Lors du traitement, la constitution d'un profil unique des courants horizontaux de la surface au fond se fait en prenant en compte toutes les mesures effectuées, c'est-à-dire en associant tous les profils effectués au cours du mouvement vertical du L-ADCP.

1.3.1. Calcul de la profondeur

Le L-ADCP n'est pas muni de capteur de pression. La profondeur du L-ADCP, et donc des mesures, doit être déterminée *a posteriori*. Deux méthodes permettent d'avoir accès à la profondeur de chaque mesure :

- 1 Par intégration de la vitesse verticale mesurée par le LADCP. Les mouvements verticaux des particules d'eau sont supposés très faibles par rapport à la vitesse de descente de l'appareil.
- 2 En utilisant les mesures de pression fournies par la sonde CTD-O₂. La comparaison des mesures de temps de l'horloge interne du LADCP et l'enregistrement du temps GPS à chaque mesure de la sonde permet d'attribuer une profondeur à chaque mesure du LADCP.

1.3.2. Vitesse du son

Pour chaque cycle de mesures, les vitesses et l'épaisseur de chaque cellule dépendent de la vitesse du son. Lors de l'acquisition, la vitesse du son est supposée égale à 1500 m.s⁻¹, valeur imposée lors de la configuration préalable de l'appareil. La vitesse du son réelle variant entre la surface et le fond, il est nécessaire de corriger les vitesses et l'épaisseur des cellules en tenant compte des variations de la vitesse du son. Celle-ci est donc recalculée lors du traitement pour chaque cycle de mesures à partir de la profondeur, de la température et de la salinité sonde CTD-O₂.

1.3.3. Réflexion sur le fond

Lorsque la bathysonde approche du fond, les ondes sonores réfléchies par celui-ci perturbent le signal reçu et masquent le signal dû à la réflexion sur les particules en suspension. Ainsi, la mesure de l'intensité d'écho présente un pic ou de fortes valeurs dans les cellules perturbées par le fond. Les mesures de ces cellules sont éliminées du traitement. Lorsque le L-ADCP est très proche du fond, toutes les mesures sont perturbées par les réflexions sur le fond. Dans ce cas, le profil d'intensité d'écho ne présente plus de maximum et tout le cycle de mesures est éliminé du traitement.

1.3.4. Suppression du mouvement propre de l'appareil

Les mesures effectuées par le L-ADCP sont la résultante de la vitesse des masses d'eau et de son propre mouvement, lié à celui de la bathysonde. Pour chaque cycle de mesures, le mouvement propre de l'appareil, étant identique pour les différentes cellules du

cycle, peut être éliminé par différenciation des vitesses entre cellules adjacentes. Cependant, cette différenciation élimine également la composante moyenne de la vitesse.

1.3.5. Obtention d'un profil de vitesse absolue

En raisonnant d'une façon intégrale, c'est-à-dire en considérant l'ensemble des mesures obtenues pendant la descente et la montée lors du traitement, la composante moyenne de la vitesse peut être reconstituée en connaissant parfaitement la position du L-ADCP en début et en fin de la station (Fischer et Visbeck, 1993; Gouriou et Hémon, 1997). Cette position doit être déterminée précisément à l'aide d'un GPS lors de la mise à l'eau et de la récupération de la bathysonde.

Pour obtenir un profil de courant absolu, il serait également possible de recaler les mesures de courant sur des mesures de courant absolu obtenues à partir de sources externes, par exemple avec un S-ADCP dans les couches de surface. Cette méthode n'a pas été utilisée ici.

Le traitement moyenne les mesures effectuées au cours de différents cycles de mesures par couches de profondeur, d'épaisseur égale à la taille des cellules. De plus, le fait de procéder de manière intégrale dans le traitement implique que les mesures des profils de montée et de descente sont confondues. Ainsi, une station pouvant durer plus de 3 heures, on obtient donc en quelque sorte un profil 'lissé', dans lequel le signal des ondes internes, notamment dans les couches de surface, est atténué.

IV.2.2. Acquisition des mesures et résultats

Le L-ADCP est fixé au corps de la bathysonde. Il est alimenté par une batterie externe, rechargeée durant le transit entre 2 stations. Le L-ADCP est muni d'une mémoire interne lui permettant d'enregistrer jusqu'à 20Mo de données. Systématiquement après chaque profil, les enregistrements sont récupérés sur PC via une liaison RS-232 et sauvegardés sur un PC; la mémoire du L-ADCP est ensuite vidée et la charge des batteries vérifiée. Les résultats bruts sont prévisualisés afin d'observer prioritairement : l'allure générale des profils des différents paramètres enregistrés et le comportement des différents faisceaux.

Les valeurs des paramètres définis lors de la configuration préalable du L-ADCP pendant la campagne Wespalis1 sont les suivantes :

| | |
|--|------|
| - Nombre d'impulsions ('ping') par cycle de mesures ('ensemble') : | 1 |
| - Temps entre deux impulsions (en secondes) : | 1 |
| - Nombre de cellules ('bins') par cycle de mesures : | 19 |
| - Epaisseur des cellules (en mètres) : | 16 |
| - Vitesse du son (en $m.s^{-1}$) : | 1500 |
| - Salinité de l'eau de mer | 35 |

L'extension verticale du profil d'un cycle de mesures est alors d'environ 300 m.

Lors de la campagne, 68 profils CTD ont été effectués de la surface à 1000 m. Nous disposons donc de la vitesse absolue du courant de la surface à 1200 m de profondeur pour l'ensemble de ces profils à l'exception de la station n°2, pour laquelle la profondeur maximale est de 800 m.

Le compas et les capteurs de roulis et tangage placés dans le LADCP permettent d'avoir une image du comportement du châssis de la bathysonde lors des profils. Ces mesures sont reportées sur la figure 88 pour la station n°29, représentative de l'ensemble des stations. Cette figure montre une bonne stabilité du châssis. Pas de rotation, et des inclinaisons faibles, excepté pour le profil de remontée. Par rapport à des châssis de diamètre et hauteur plus importants, tel que celui des rosettes de 24 bouteilles, ce comportement est remarquable.

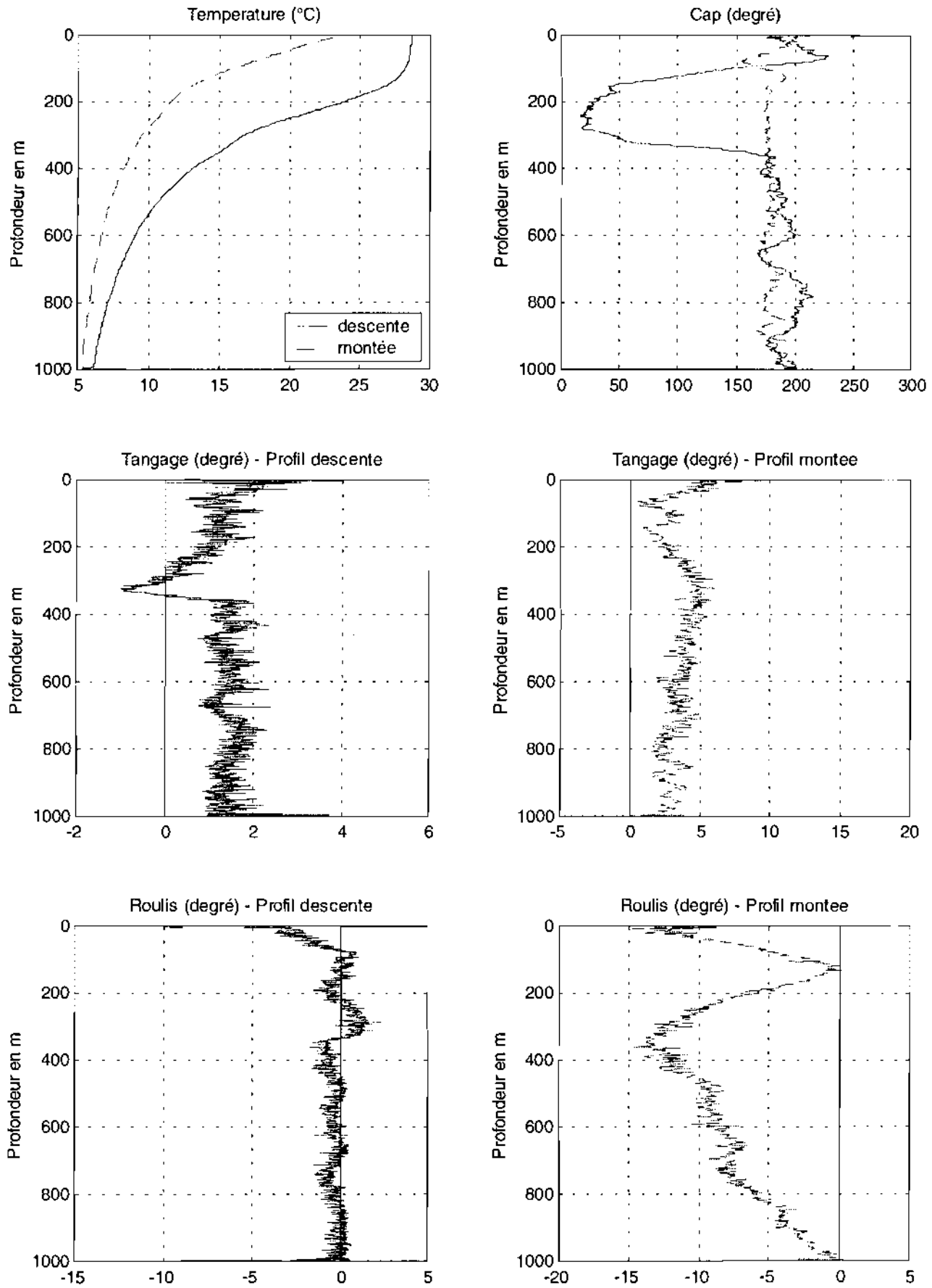


Figure 88 : Caractéristiques de descente et de remontée du L-ADCP (station n°29)

La figure 89 ci-dessous donne le nombre de mesures faites à chaque immersion lors du profil de descente et de montée de la station n°31. Le profil final utilise l'ensemble de ces mesures. Sur ce profil on note un déséquilibre entre le nombre de mesures à la descente et à la montée. Celui-ci indique que la vitesse de montée a été plus rapide que la vitesse de descente.

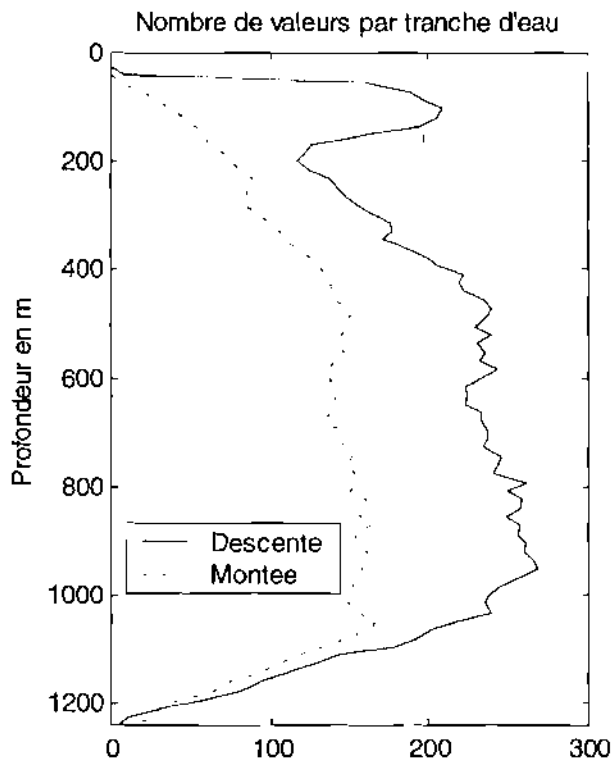


Figure 89 : Nombre de mesures par tranche d'eau (station n°31)

Des différences, inexplicées pour le moment, entre l'horloge interne du LADCP et le temps enregistré lors de l'acquisition des profils CTD n'ont pas permis d'utiliser les mesures de pression de la sonde pour attribuer une profondeur à chaque mesure LADCP. Nous avons donc intégré la vitesse verticale mesurée par le LADCP pour obtenir cette profondeur. Une information sur la qualité de cette intégration est donnée par la différence entre la profondeur intégrée, entre le début et la fin de la station, et la profondeur de la bathysonde en fin de station (en général 2 m), soit après une intégration sur environ 2400 m. La figure 90 ci dessous reproduit les différences pour les 68 stations. Pour 50 stations cette différence est inférieure à 20 m.

Un second moyen de se rendre compte de la qualité de cette intégration, et de la qualité des profils, est de comparer les profils de descente et de montée pour chaque station. Cette comparaison n'est qu'une indication imparfaite de la qualité du profil final car celui-ci utilise les mesures du profil de montée et du profil de descente. Nous montrons dans les

figures 91-93 ci-dessous 3 exemples représentatifs des situations observées. Les plus fortes différences sont observées au-dessus de 400 m, en particulier pour la station n°39 au niveau du Sous-Courant Equatorial, où les cisaillements verticaux sont importants. En dessous de 400 m les différences sont très faibles, inférieures à 3 cm/s.

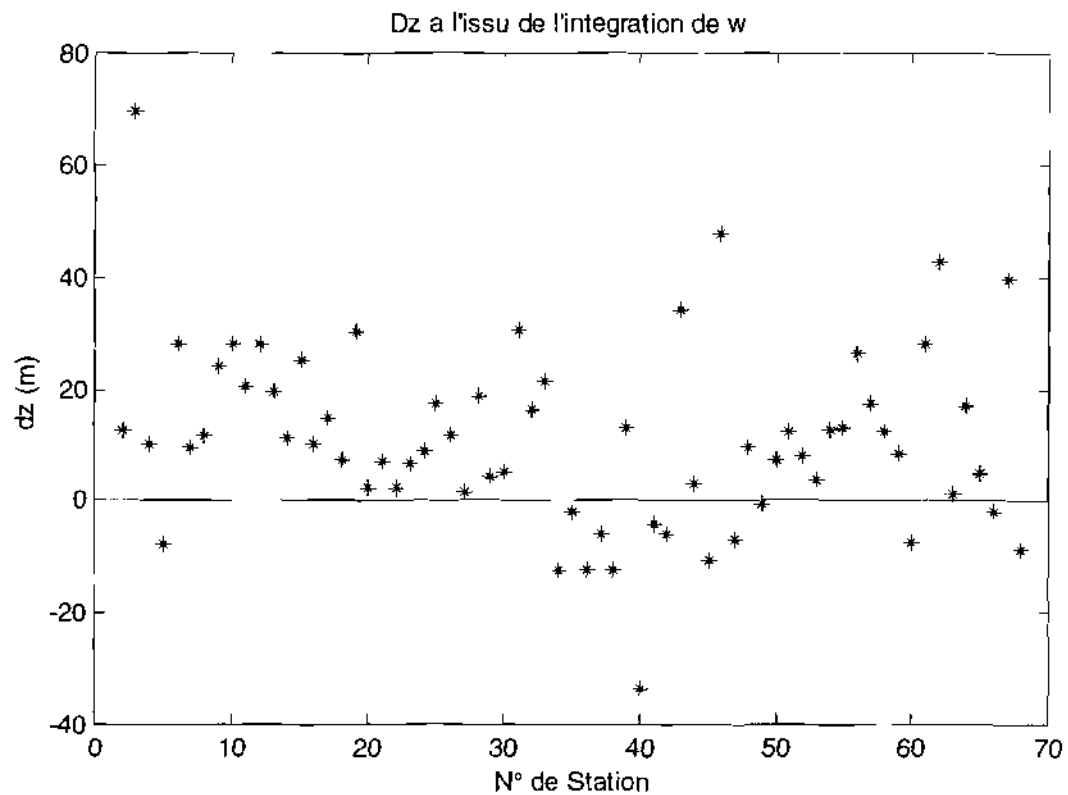


Figure 90 : différence entre la profondeur intégrée et la profondeur de la bathysonde

Westpalis 1 station 001

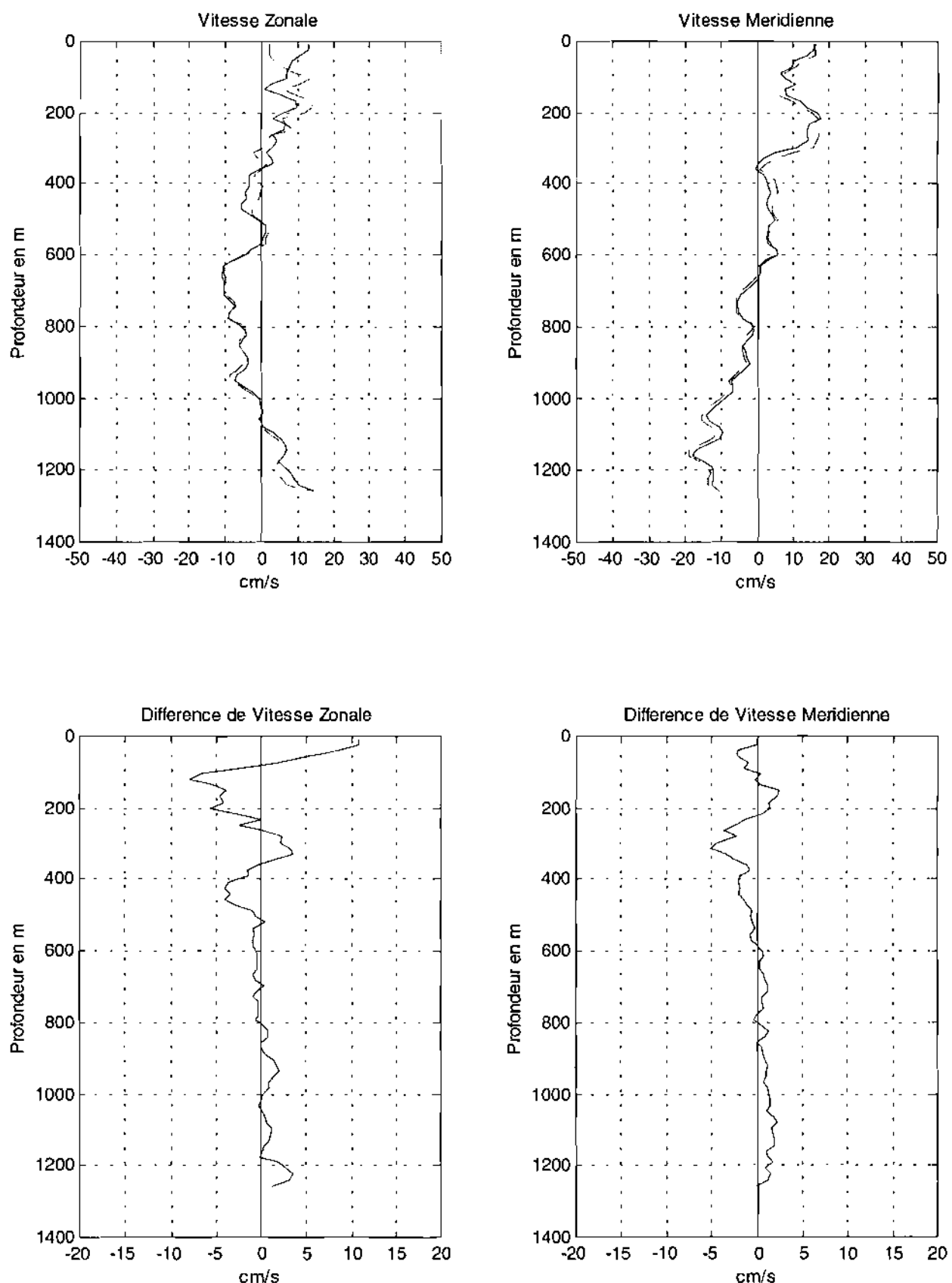


Figure 91 : Vitesses de remontée et de descente et leurs différences (station n°01)

Westpalis 1 station 031

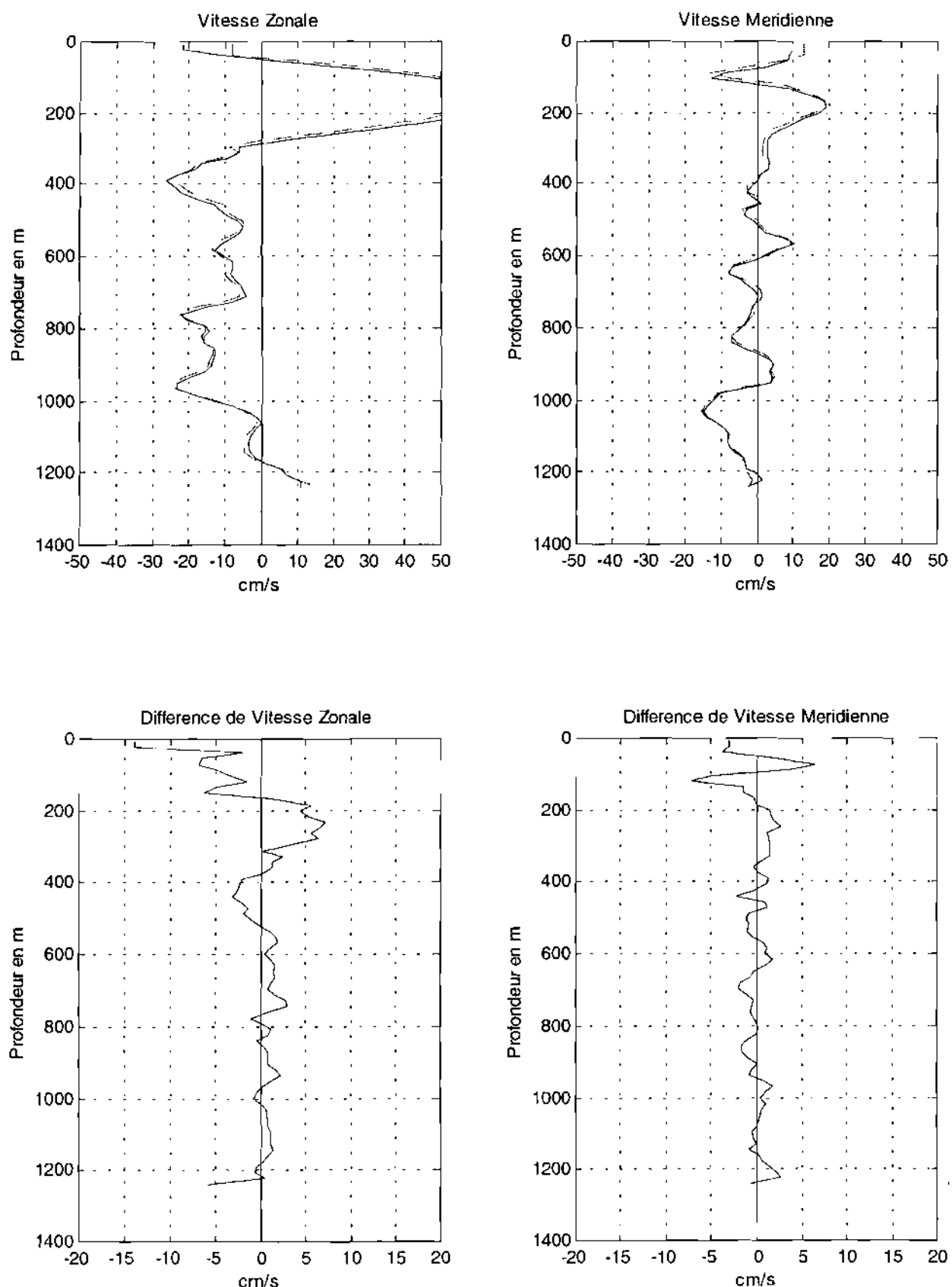


Figure 92 : Vitesses de remontée et de descente et leurs différences (station n°31)

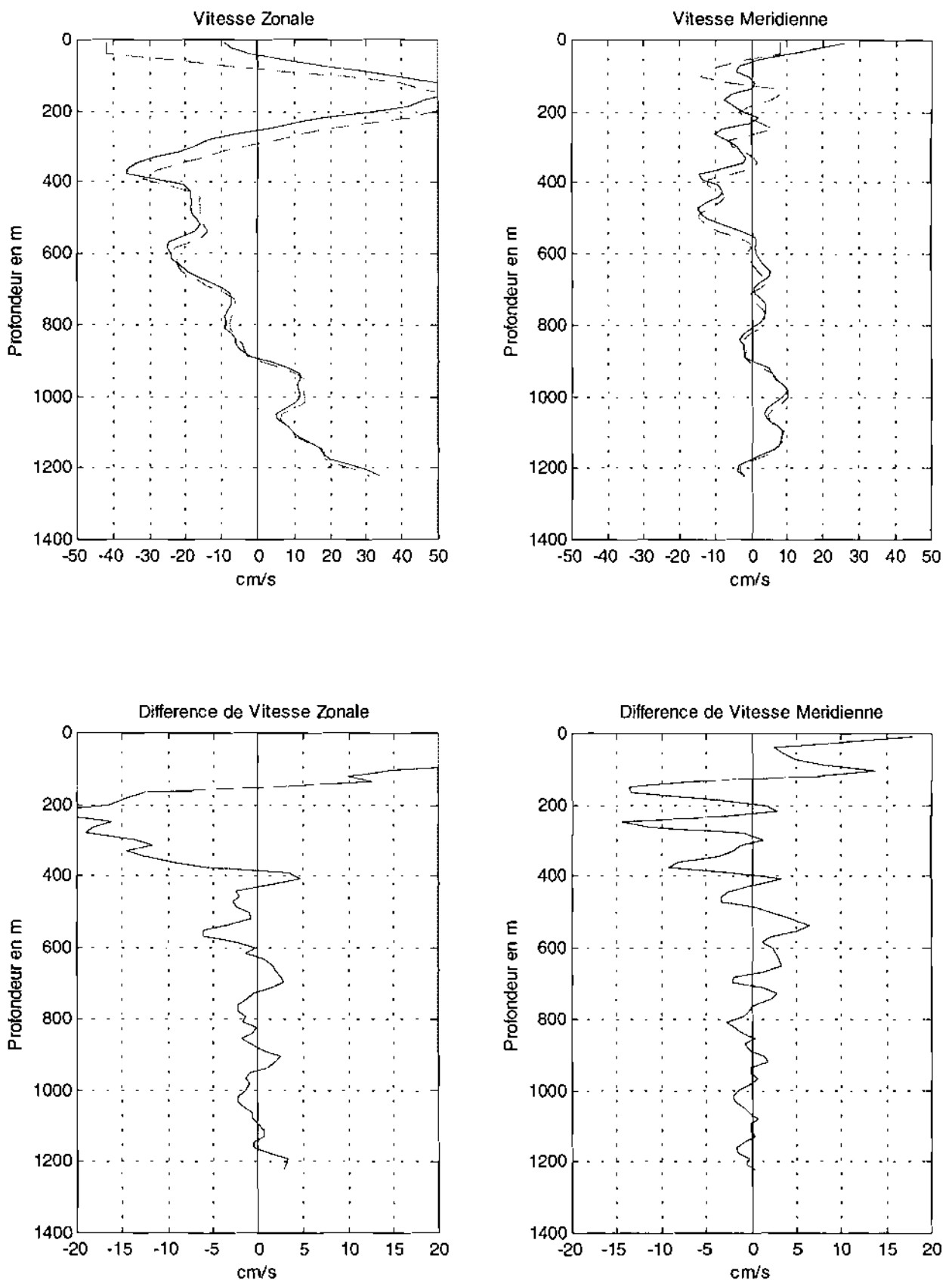


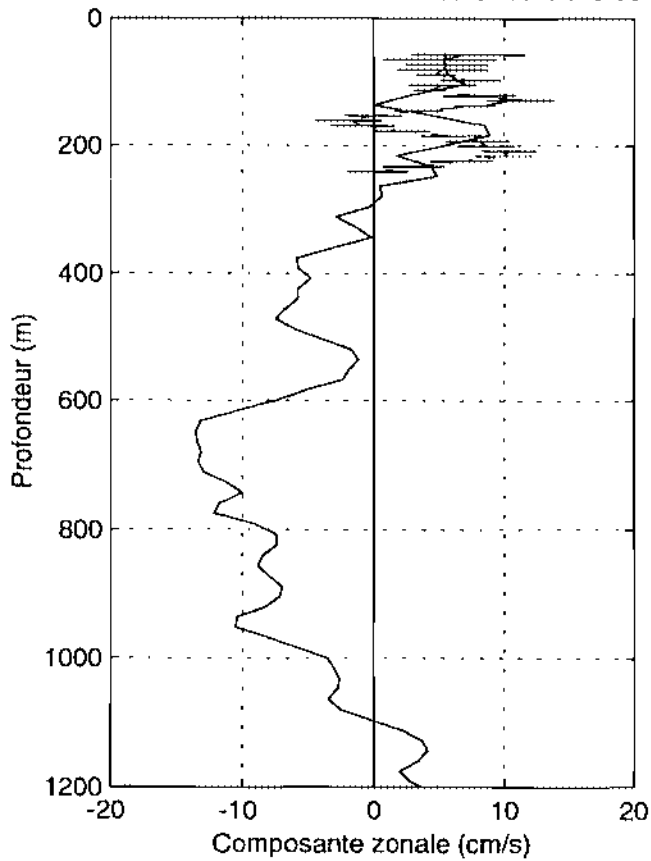
Figure 93 : Vitesses de remontée et de descente et leurs différences (station n°39)

Enfin, un dernier moyen de se rendre compte de la qualité des profils est de les comparer aux mesures du S-ADCP. La moyenne des mesures S-ADCP pendant la durée de chaque station a donc été effectuée. En général 8 profils sont réalisés pendant la durée d'une station (environ 40 mn). Ces profils moyens sont reportés sur les profils LADCP (Figures 94 à 127). Les barres horizontales représentent la variabilité, l'écart-type, des mesures S-ADCP pendant la durée de la station. Nous observons que :

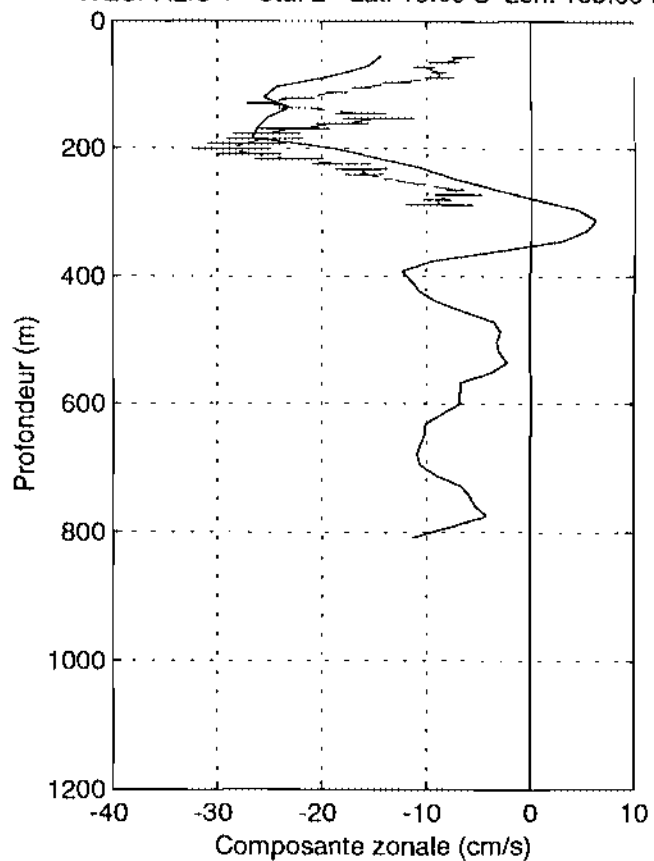
1. La référence absolue des profils est correcte. Nous n'observons aucun biais sur aucun des profils.
2. Les cisaillements verticaux de courant sont bien reproduits.
3. Les profondeurs des structures peuvent présenter un biais, les profils LADCP étant plutôt décalés vers le haut par rapport aux mesures SADCP. Cette différence, qui n'est pas observée à toutes les stations, est pour l'instant inexpliquée. Ce biais pourrait être attribué aux mesures LADCP, dans la mesure où les comparaisons entre les profils de montée et de descente se dégradent au-dessus de 400 m. Mais, par exemple, le profil de la station n°31 montre des différences très faibles entre les profils de montée et descente (Figure 109) alors que la comparaison avec le SADCP indique un déplacement vers la surface des structures d'environ 30 m.

Nous présentons sur les figures 128 à 135 les coupes verticales des composantes de la vitesse zonales et méridiennes le long des 4 sections de la campagne.

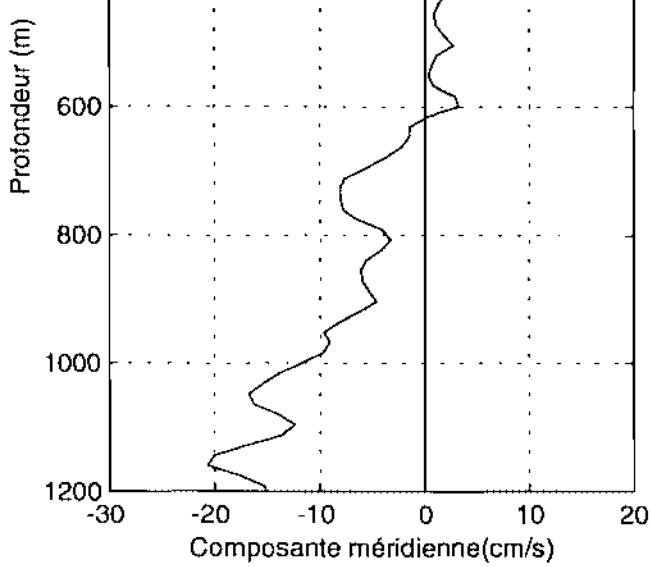
WESPALIS 1 - Sta: 1 - Lat: 20.00 S Lon: 165.00 E



WESPALIS 1 - Sta: 2 - Lat: 19.00 S Lon: 165.00 E



WESPALIS 1 - Sta: 1 - Lat: 20.00 S Lon: 165.00 E



WESPALIS 1 - Sta: 2 - Lat: 19.00 S Lon: 165.00 E

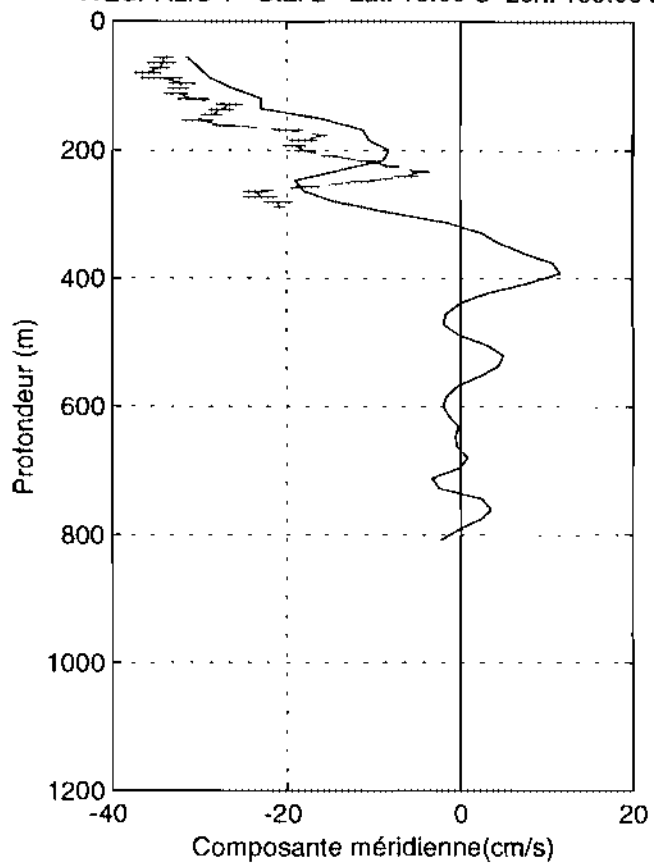
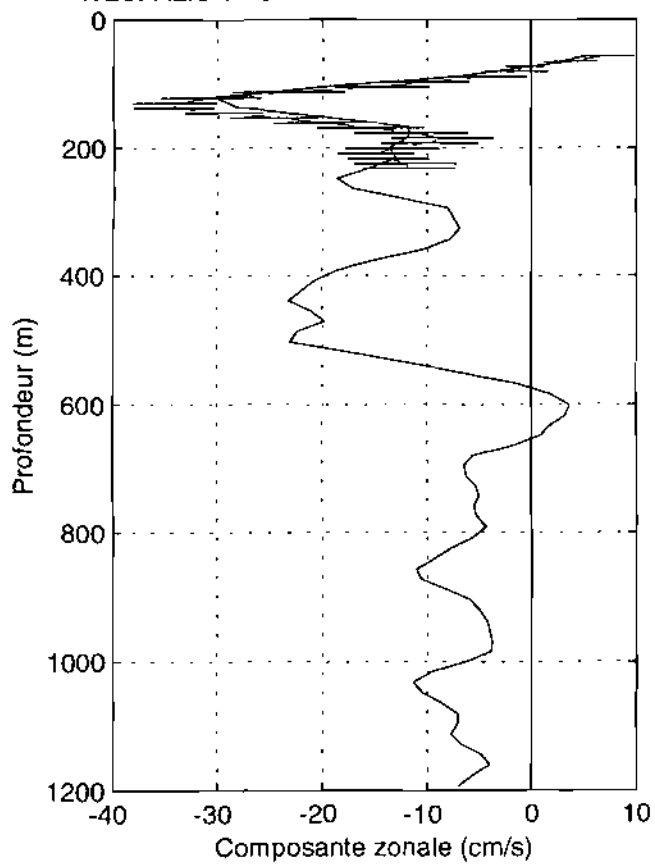
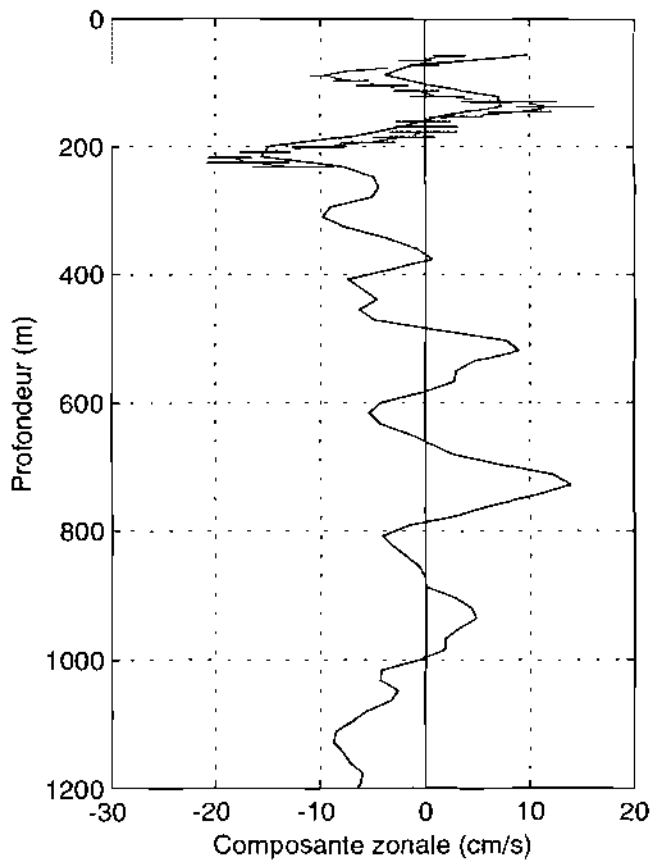


Figure 94

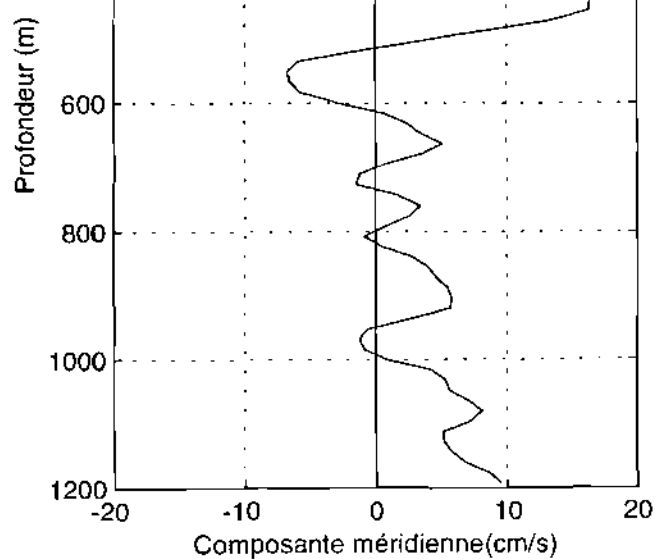
WESPALIS 1 - Sta: 3 - Lat: 18.00 S Lon: 165.00 E



WESPALIS 1 - Sta: 4 - Lat: 17.00 S Lon: 165.00 E



WESPALIS 1 - Sta: 3 - Lat: 18.00 S Lon: 165.00 E



WESPALIS 1 - Sta: 4 - Lat: 17.00 S Lon: 165.00 E

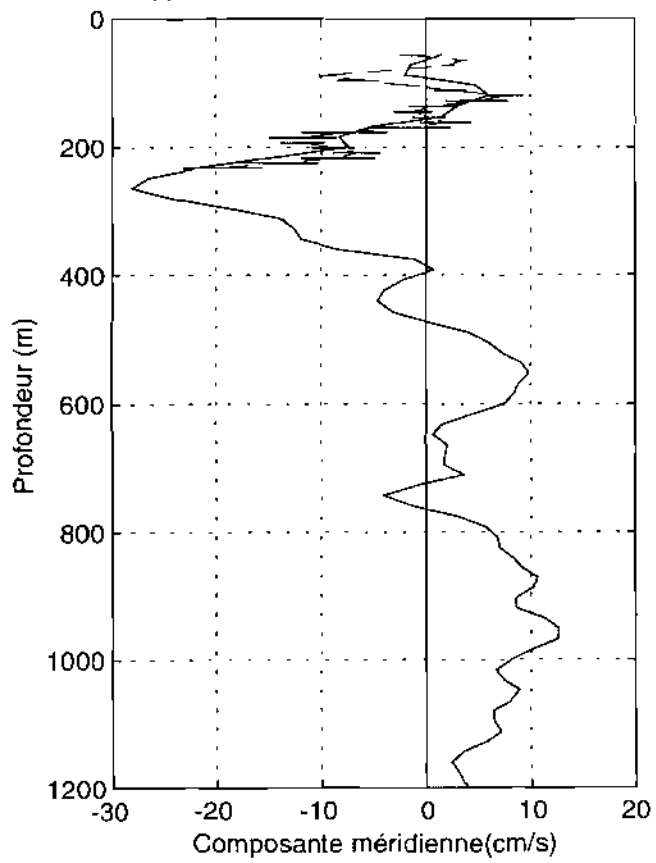
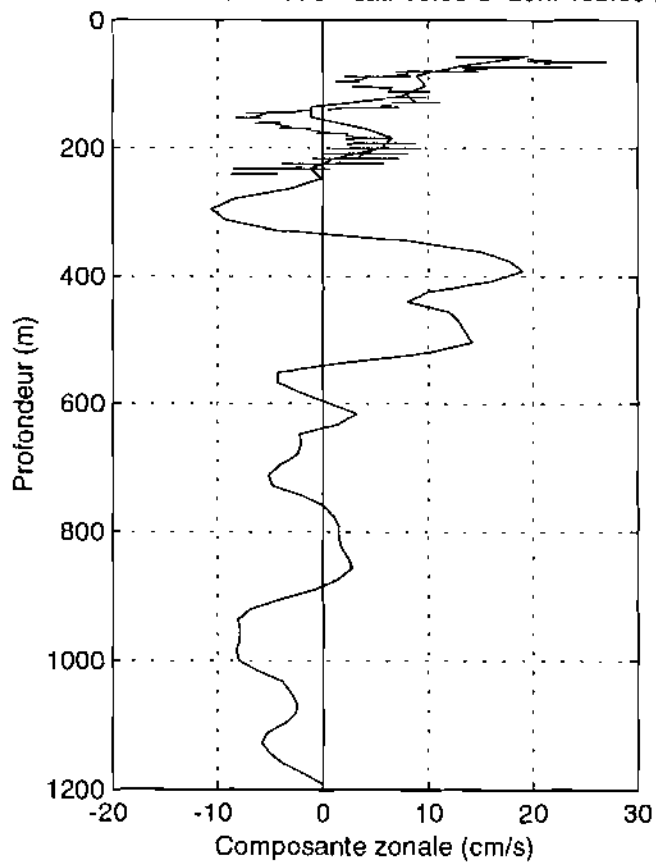
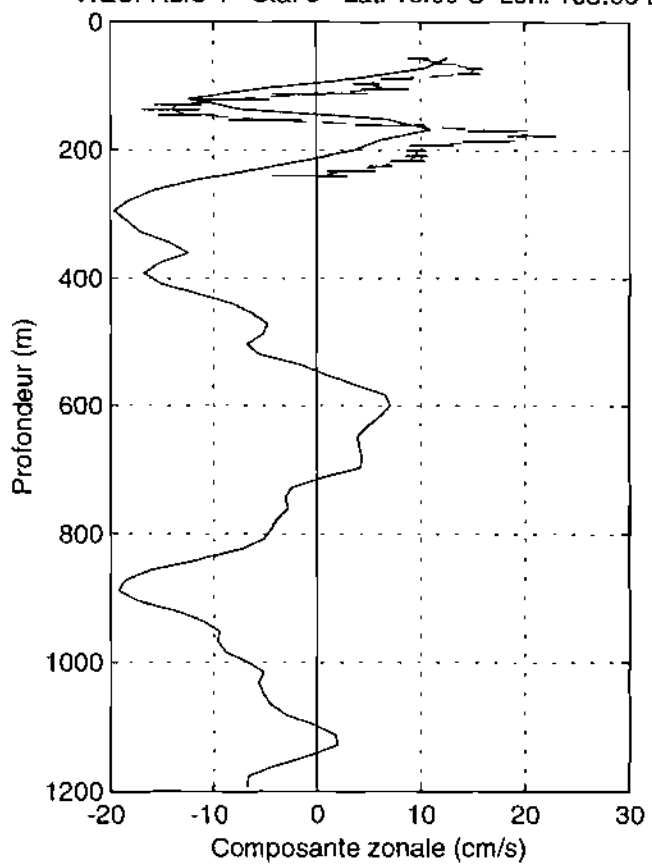


Figure 95

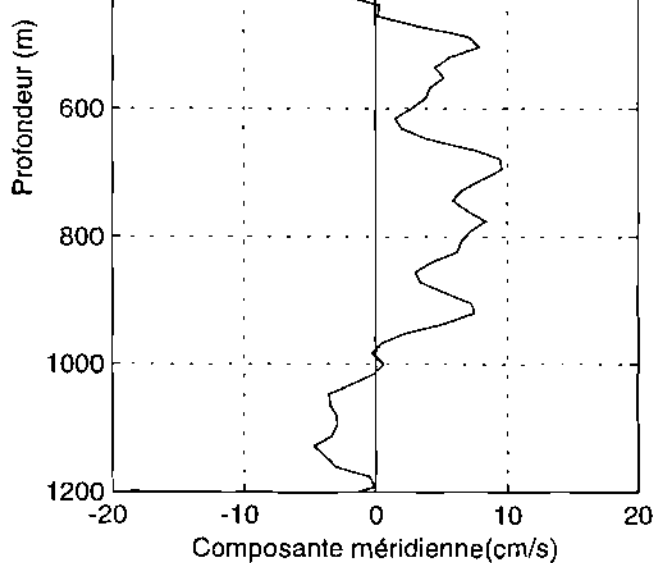
WESPALIS 1 - Sta: 5 - Lat: 16.00 S Lon: 165.00 E



WESPALIS 1 - Sta: 6 - Lat: 15.00 S Lon: 165.00 E



WESPALIS 1 - Sta: 5 - Lat: 16.00 S Lon: 165.00 E



WESPALIS 1 - Sta: 6 - Lat: 15.00 S Lon: 165.00 E

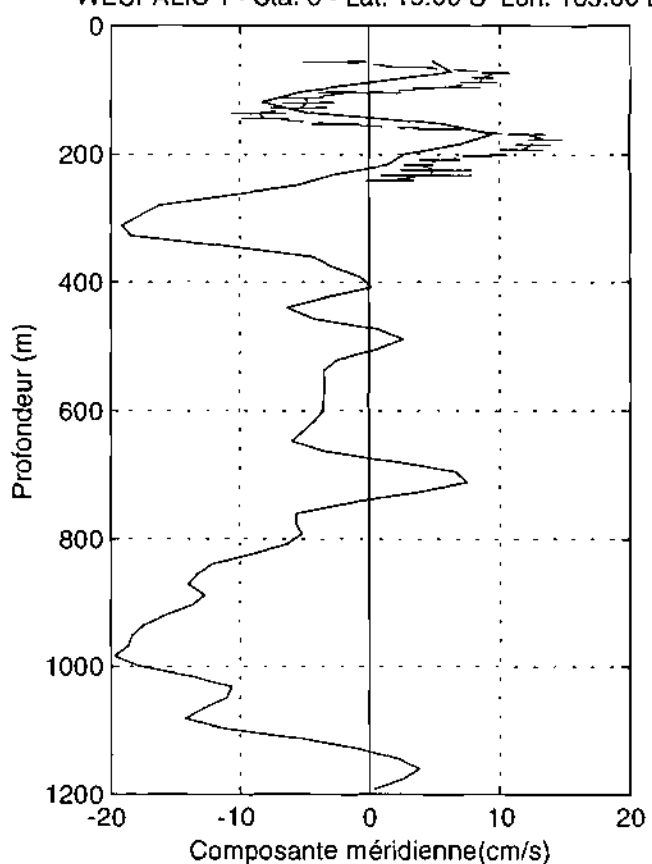
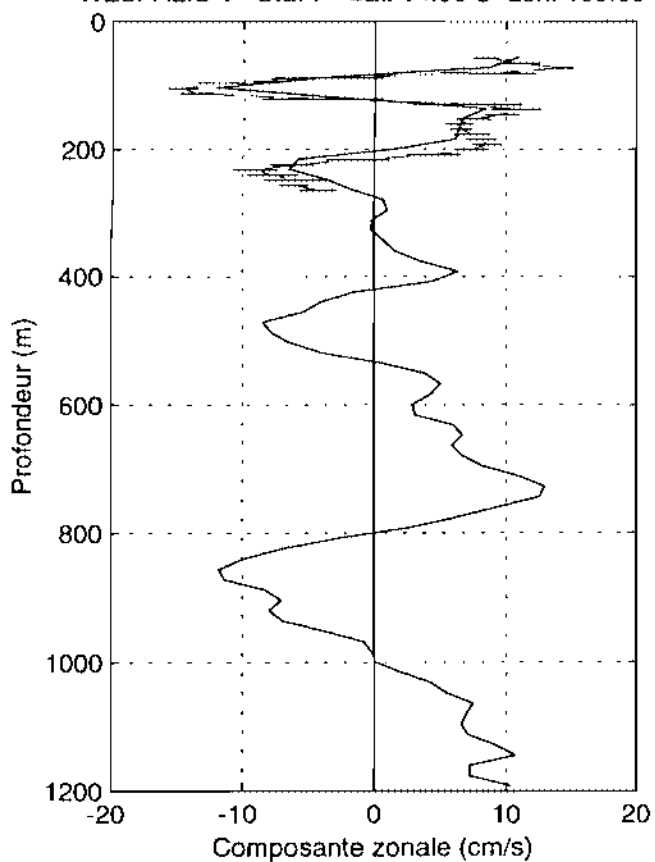
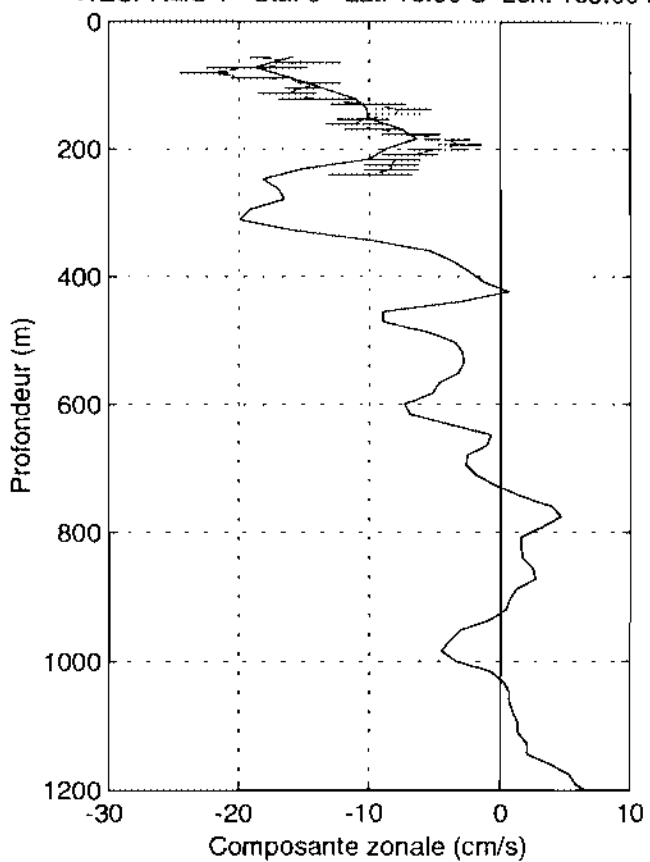


Figure 96

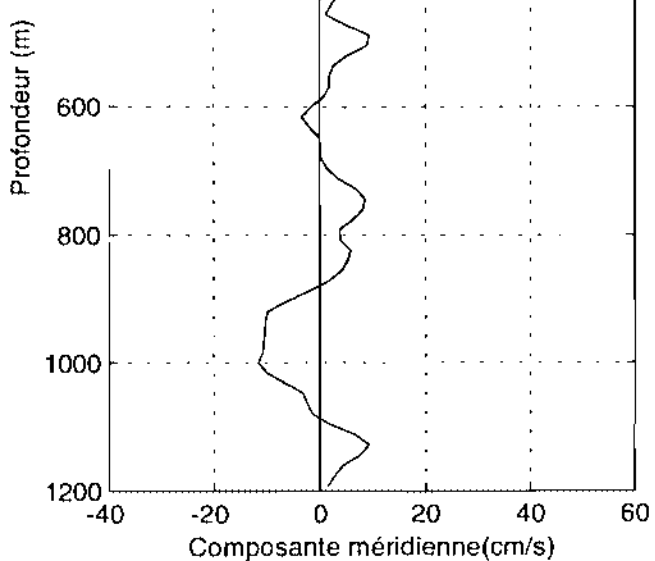
WESPALIS 1 - Sta: 7 - Lat: 14.00 S Lon: 165.00 E



WESPALIS 1 - Sta: 8 - Lat: 13.00 S Lon: 165.00 E



WESPALIS 1 - Sta: 7 - Lat: 14.00 S Lon: 165.00 E



WESPALIS 1 - Sta: 8 - Lat: 13.00 S Lon: 165.00 E

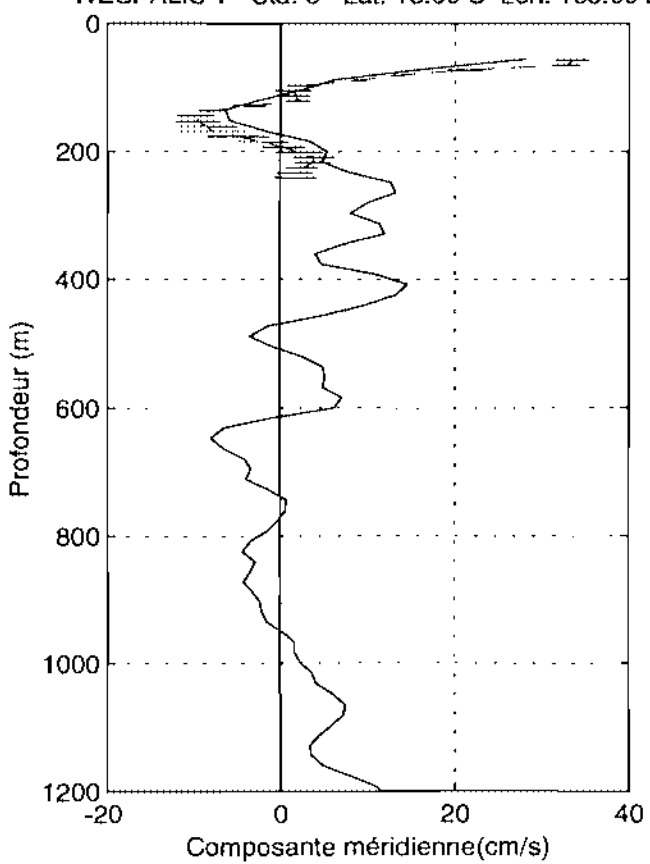


Figure 97

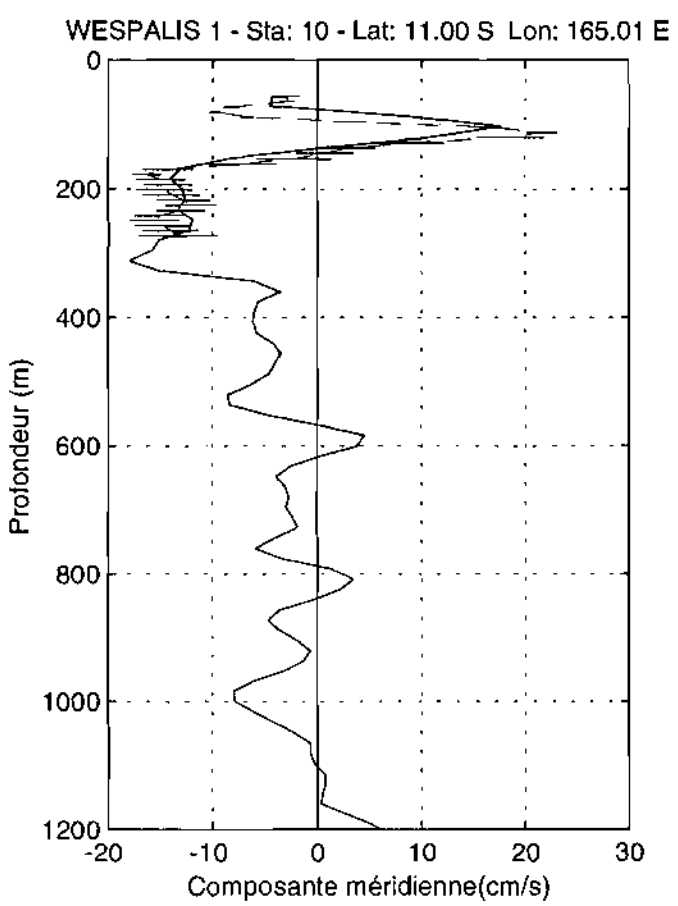
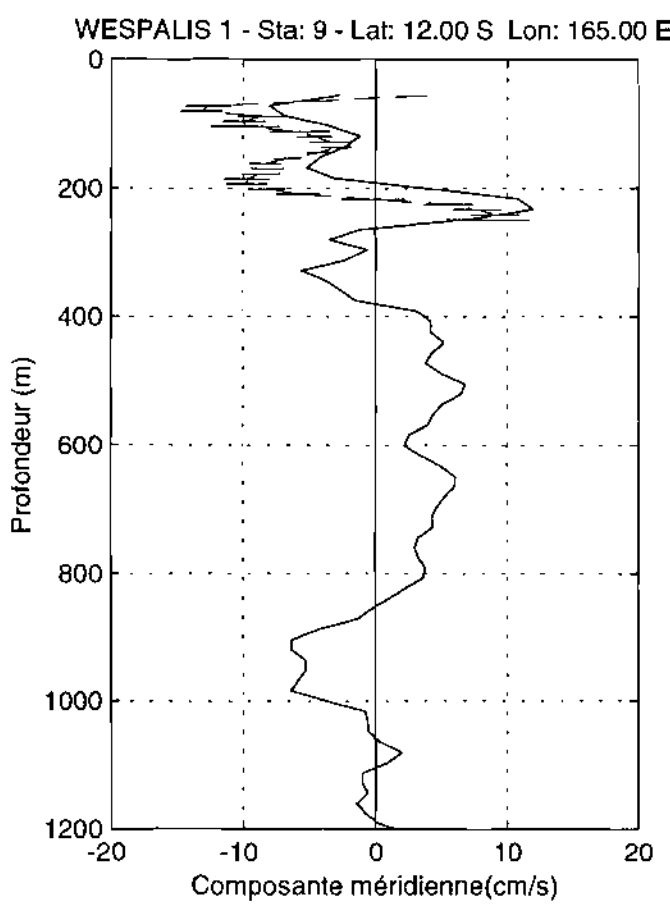
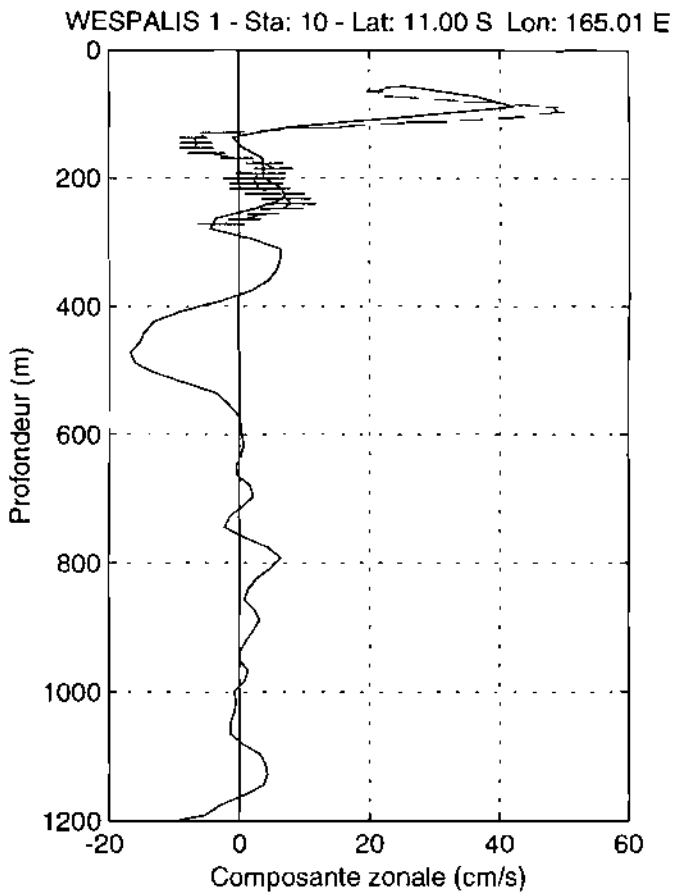
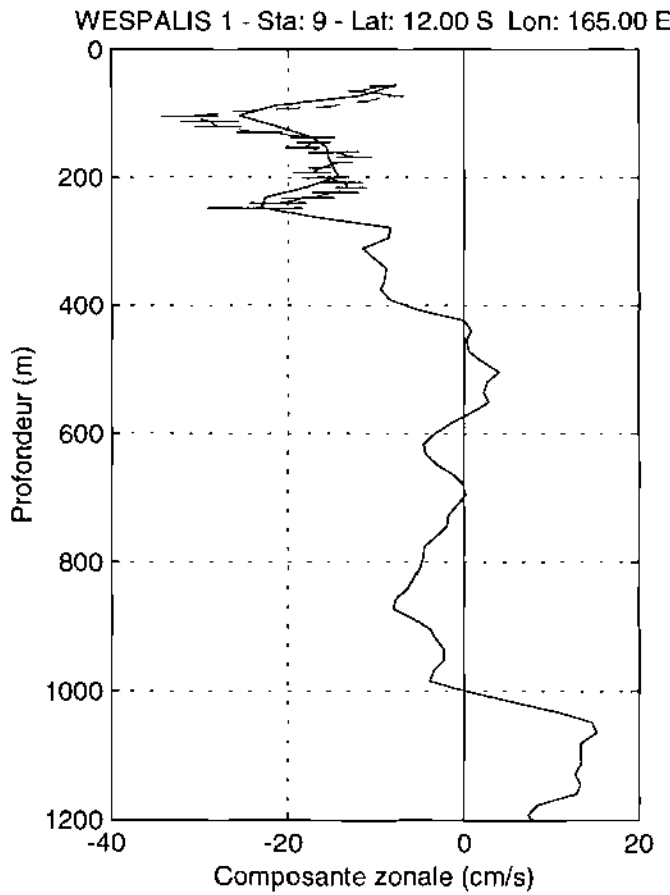
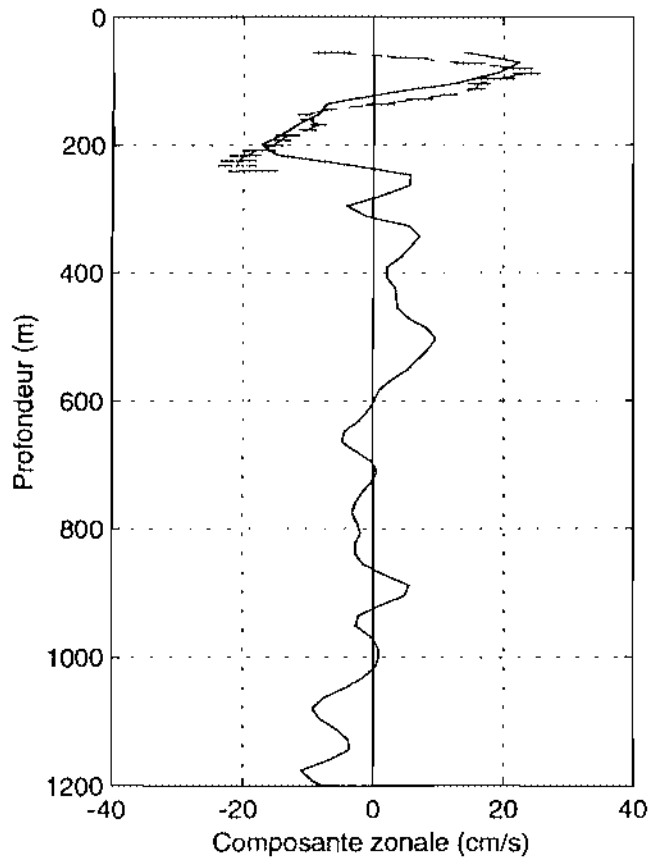
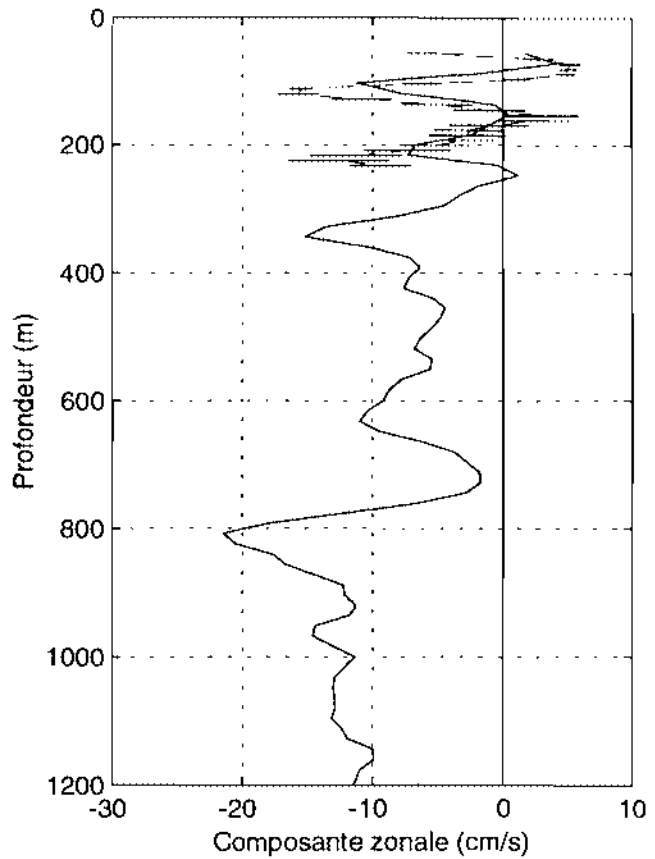


Figure 98

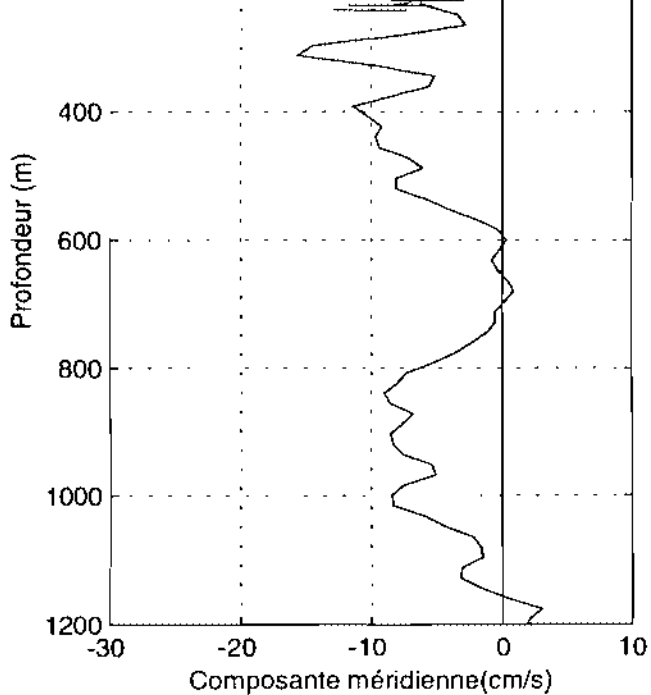
WESPALIS 1 - Sta: 11 - Lat: 10.00 S Lon: 165.00 E



WESPALIS 1 - Sta: 12 - Lat: 9.00 S Lon: 165.00 E



WESPALIS 1 - Sta: 11 - Lat: 10.00 S Lon: 165.00 E



WESPALIS 1 - Sta: 12 - Lat: 9.00 S Lon: 165.00 E

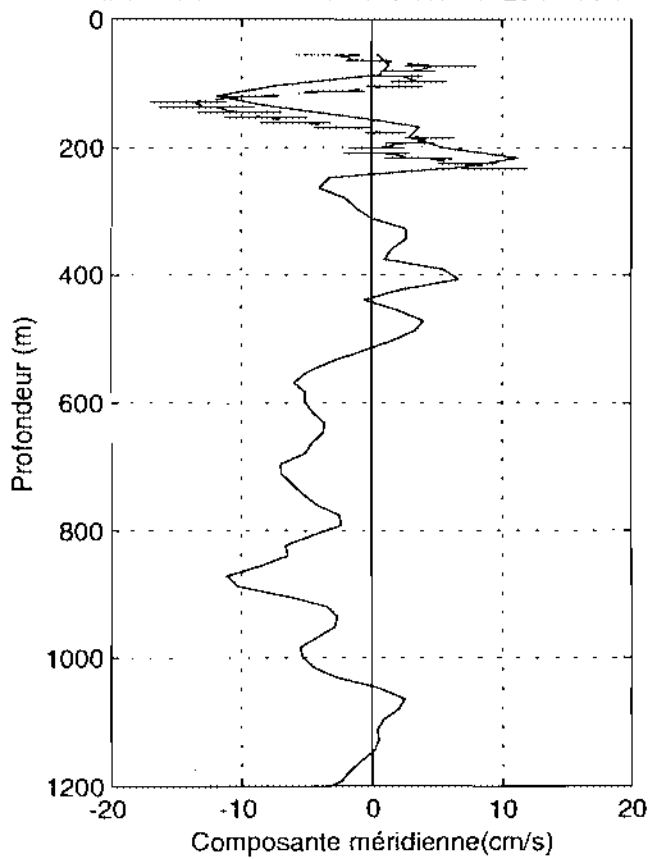


Figure 99

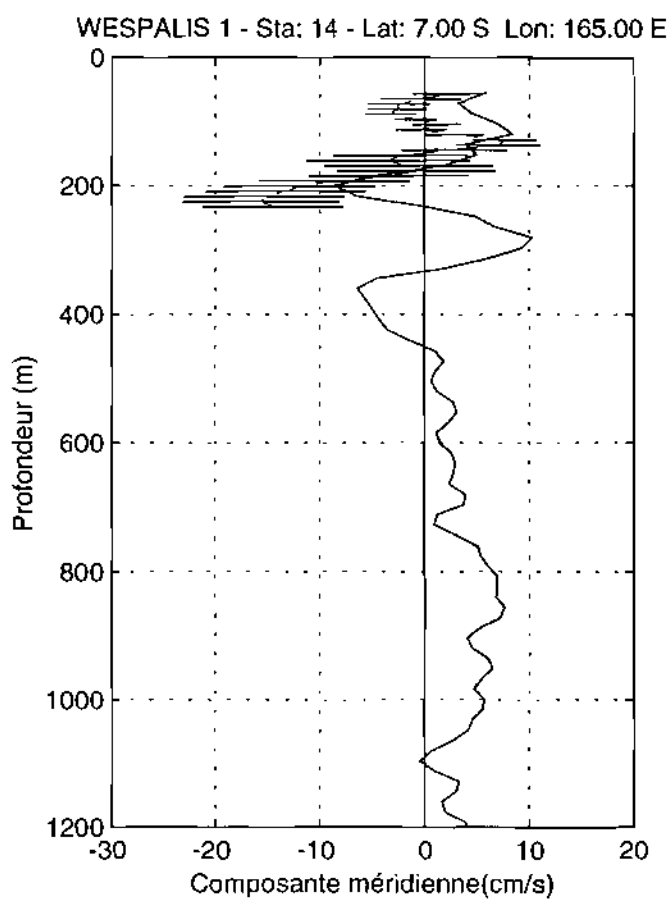
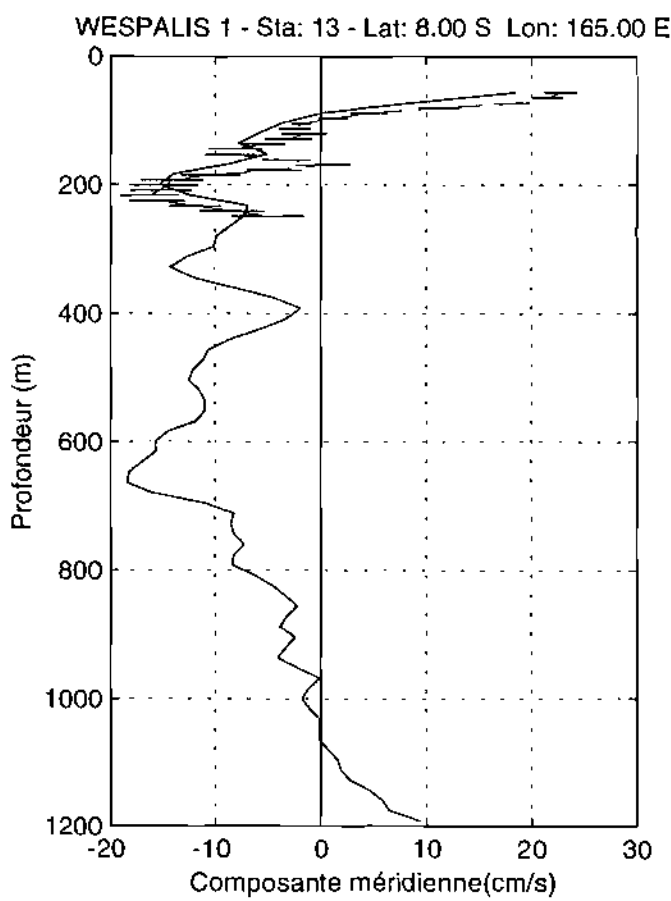
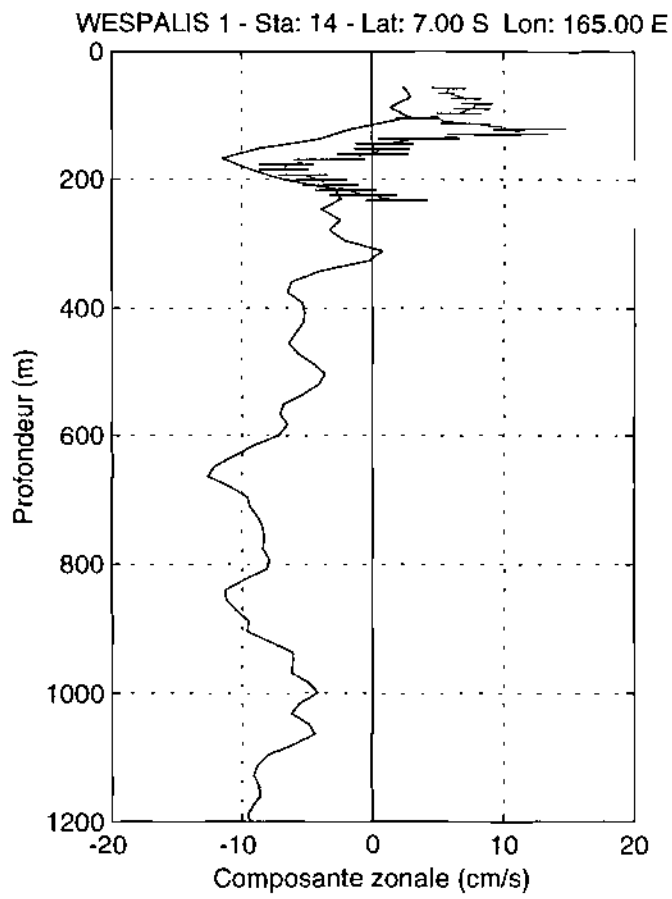
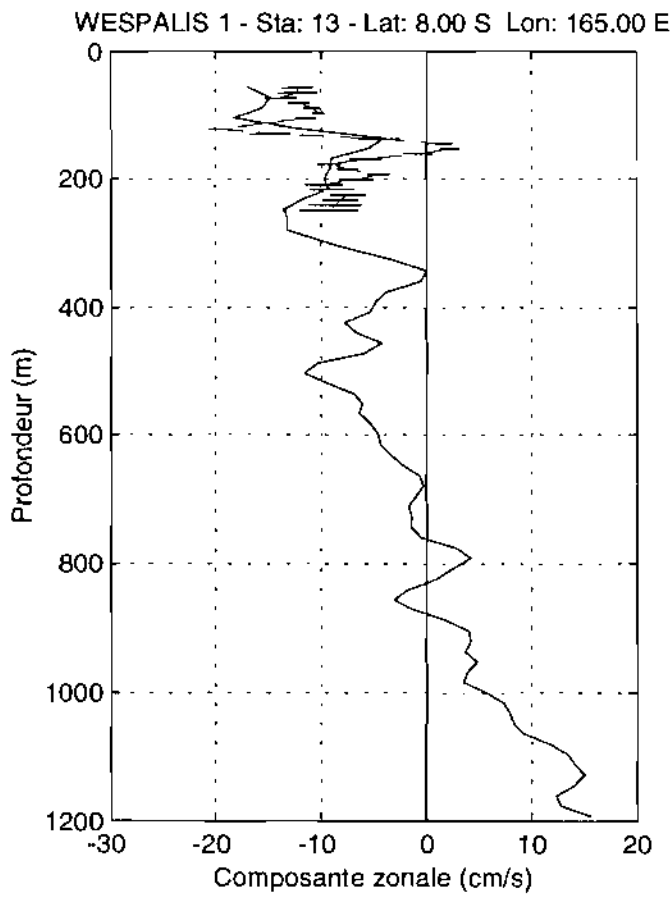
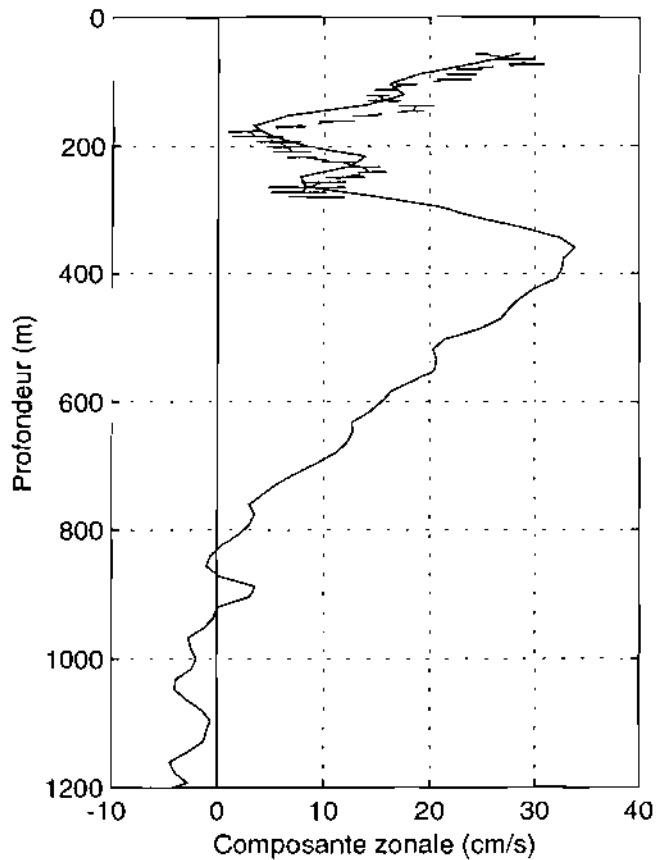
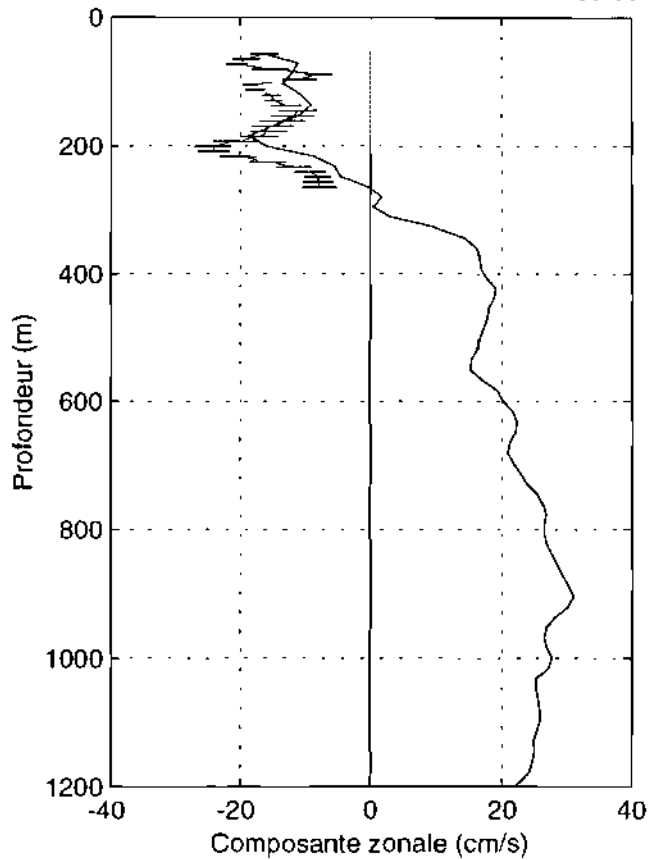


Figure 100

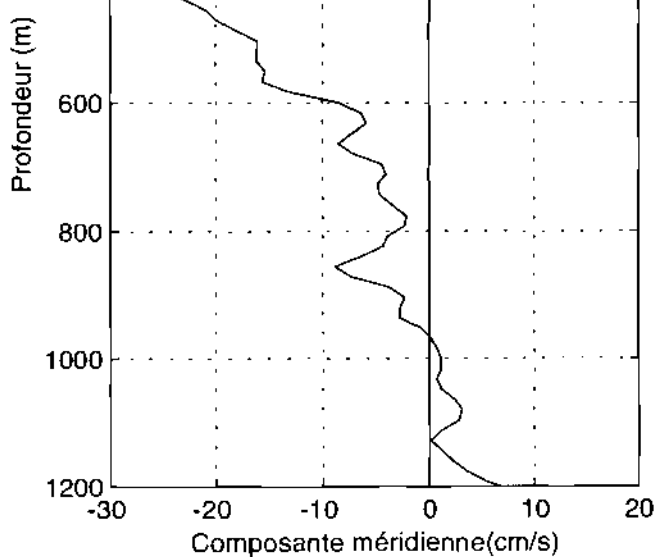
WESPALIS 1 - Sta: 15 - Lat: 6.00 S Lon: 165.00 E



WESPALIS 1 - Sta: 16 - Lat: 5.00 S Lon: 165.00 E



WESPALIS 1 - Sta: 15 - Lat: 6.00 S Lon: 165.00 E



WESPALIS 1 - Sta: 16 - Lat: 5.00 S Lon: 165.00 E

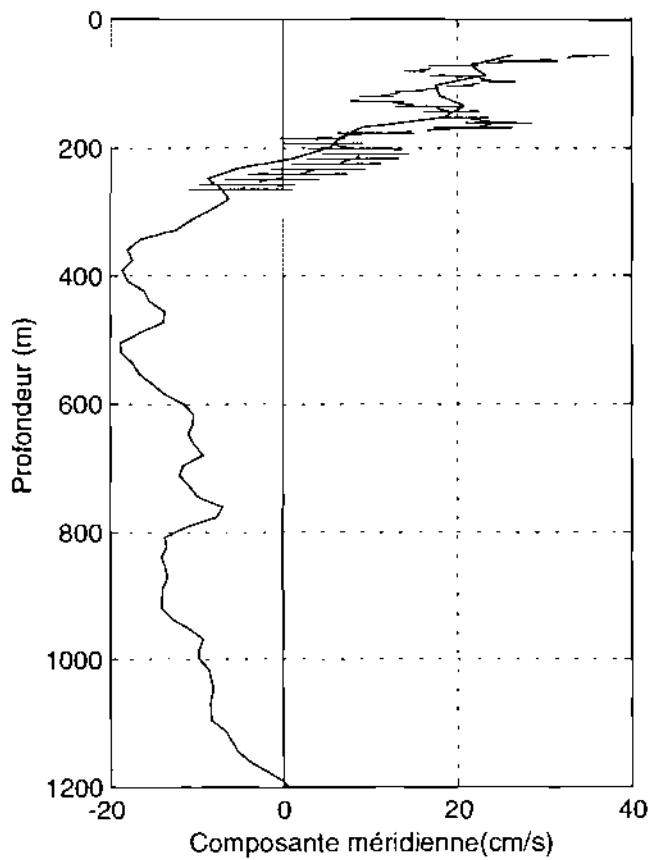


Figure 101

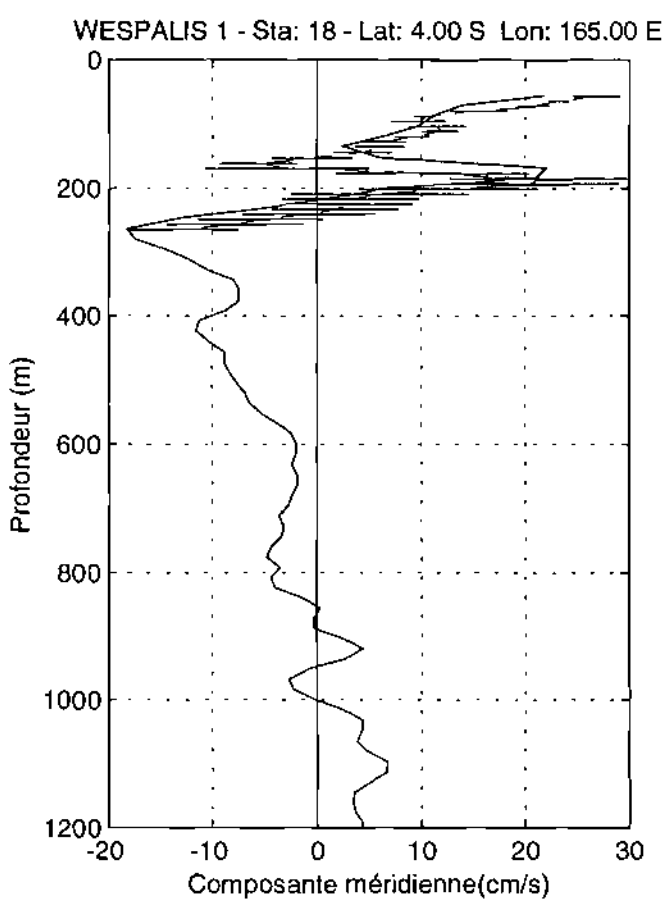
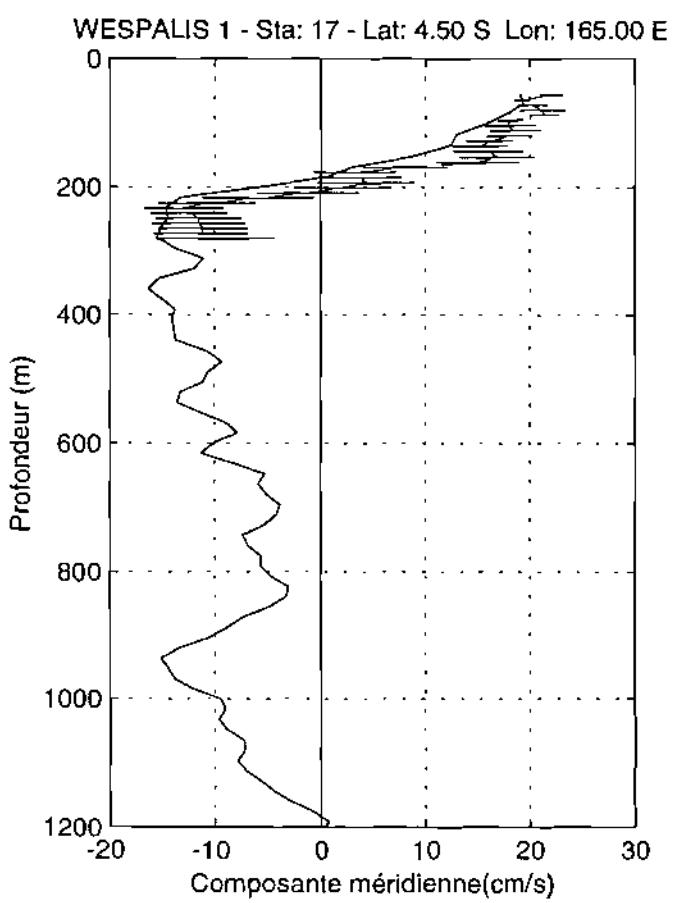
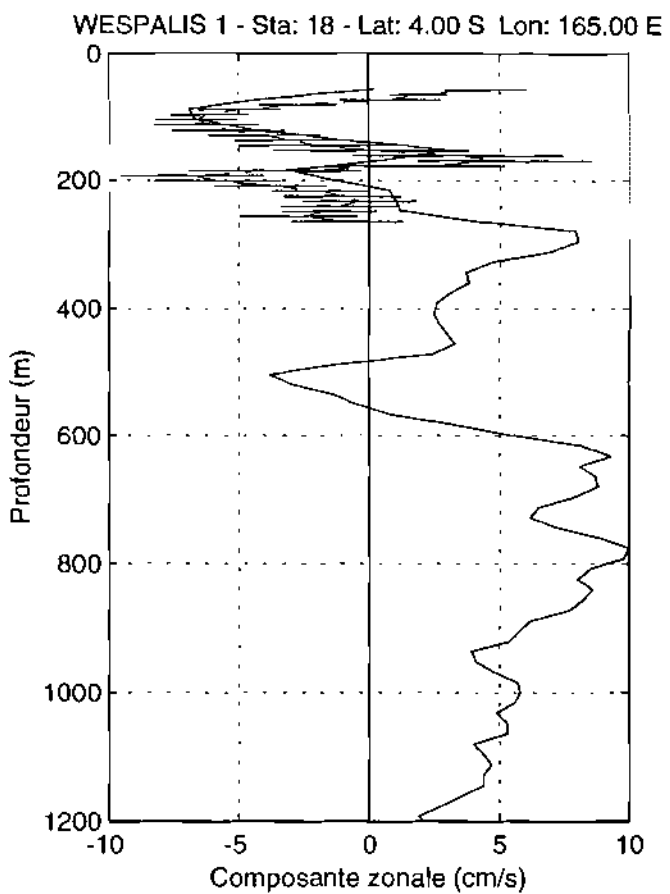
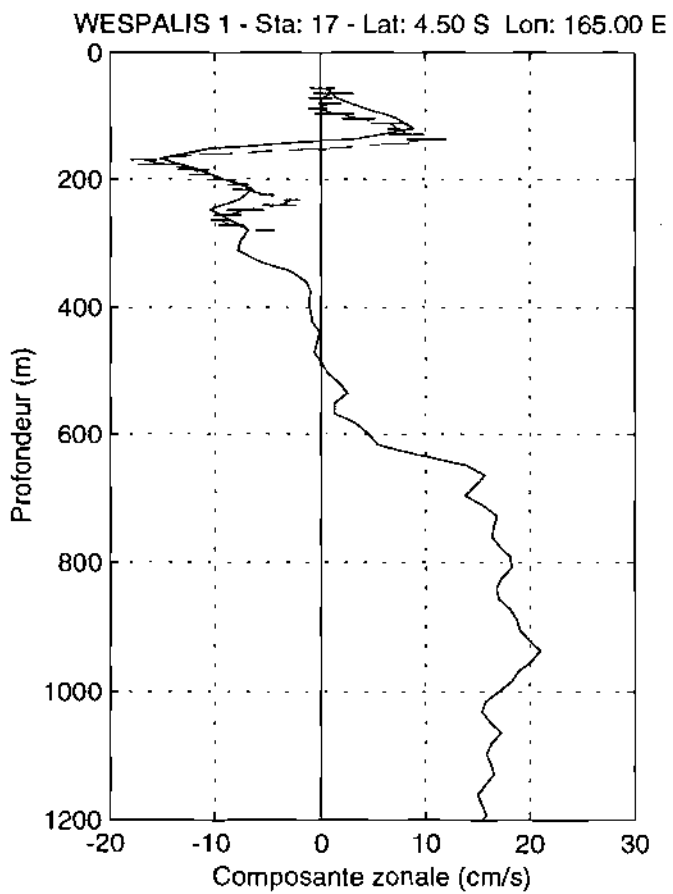
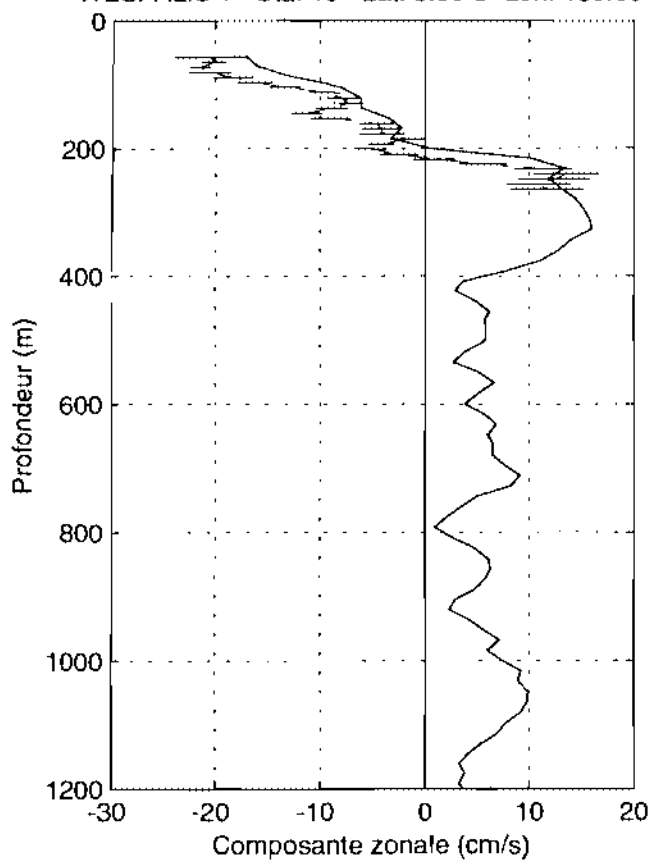
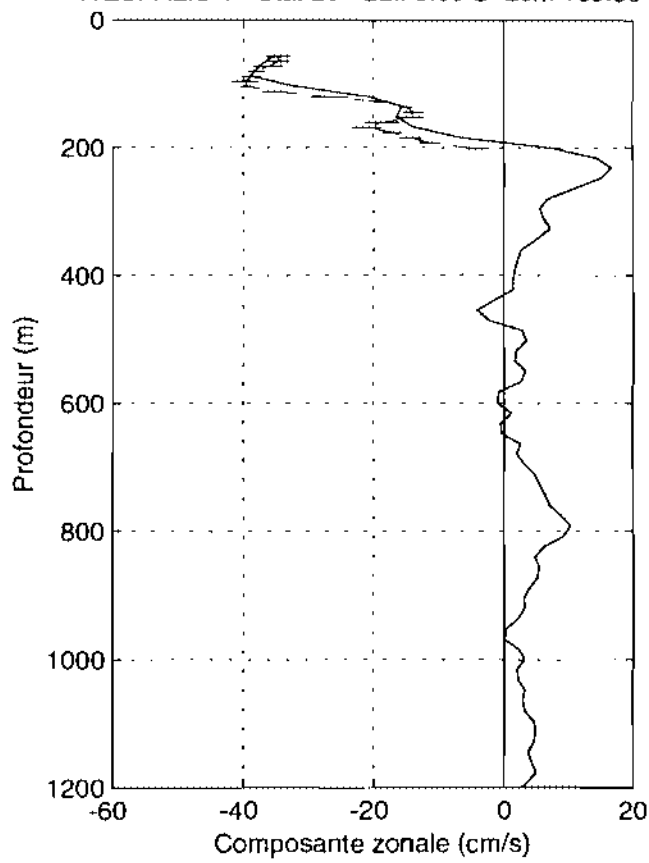


Figure 102

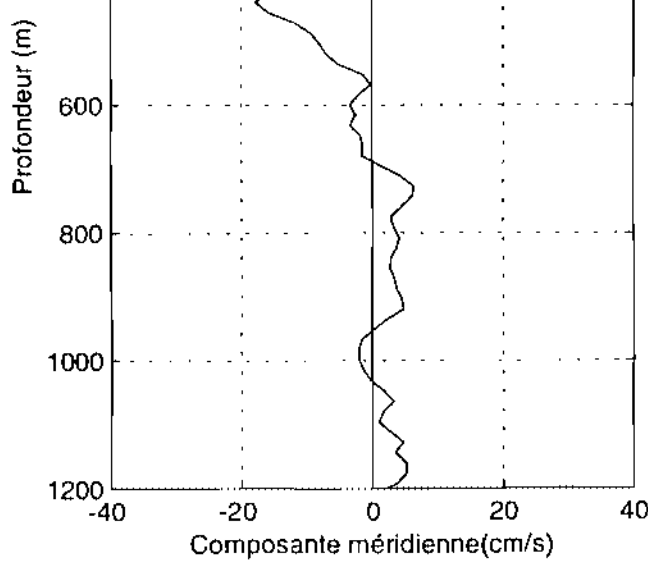
WESPALIS 1 - Sta: 19 - Lat: 3.50 S Lon: 165.00 E



WESPALIS 1 - Sta: 20 - Lat: 3.00 S Lon: 165.00 E



WESPALIS 1 - Sta: 19 - Lat: 3.50 S Lon: 165.00 E



WESPALIS 1 - Sta: 20 - Lat: 3.00 S Lon: 165.00 E

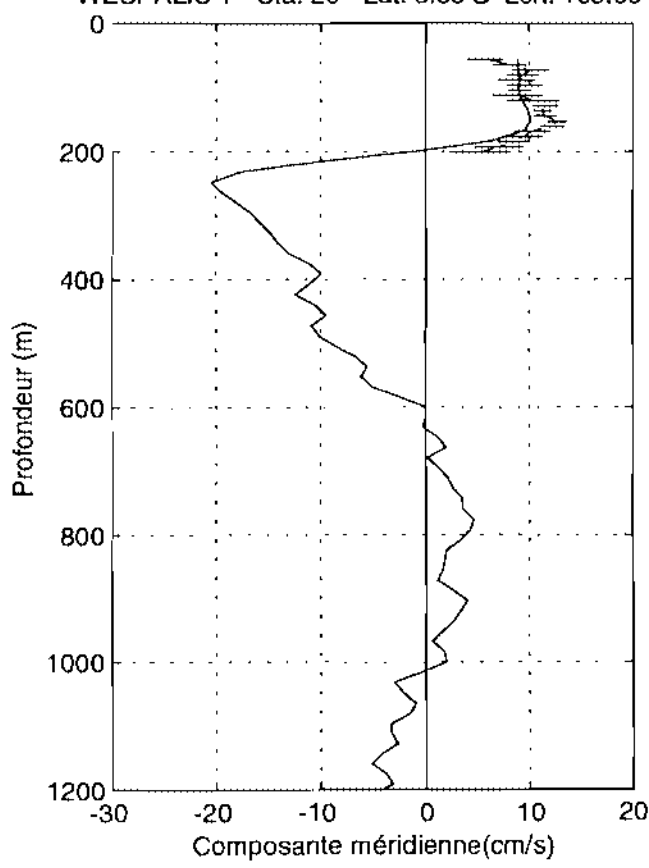


Figure 103

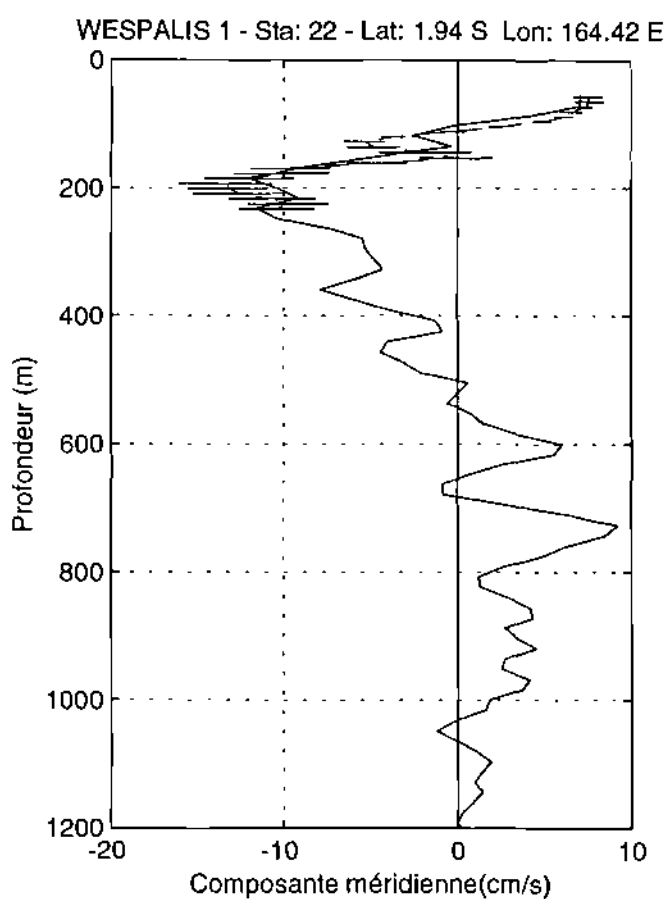
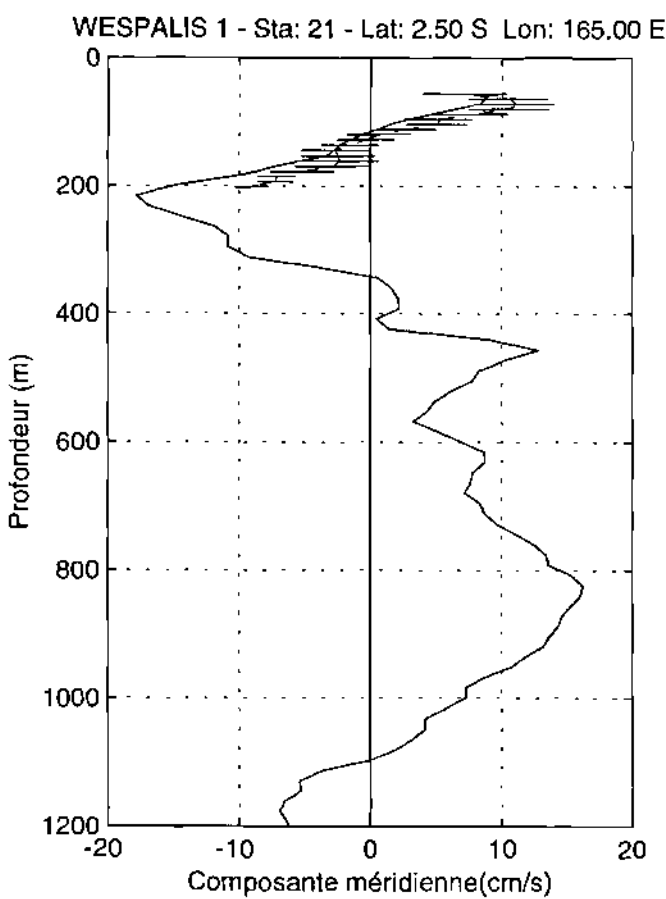
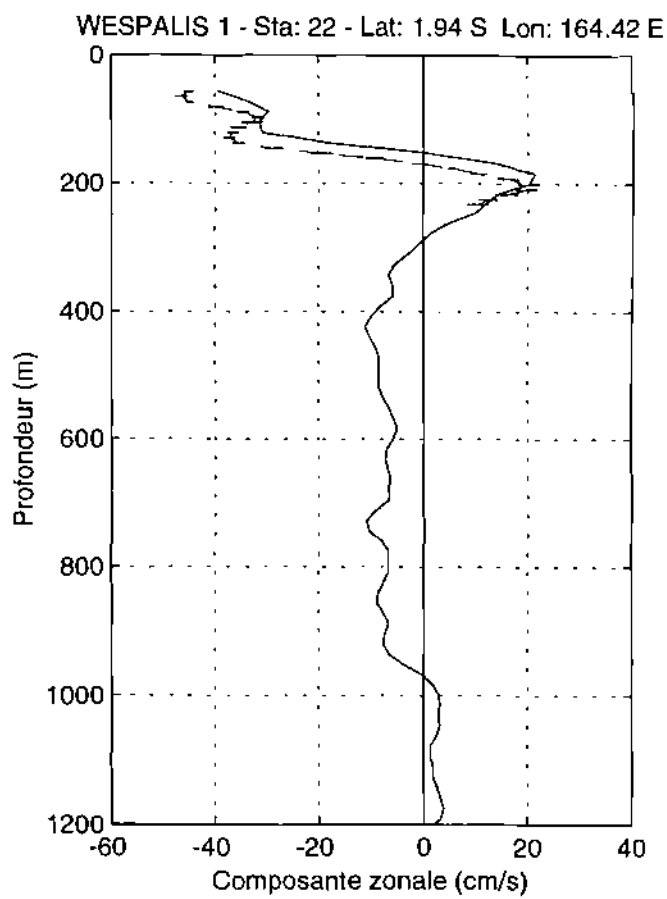
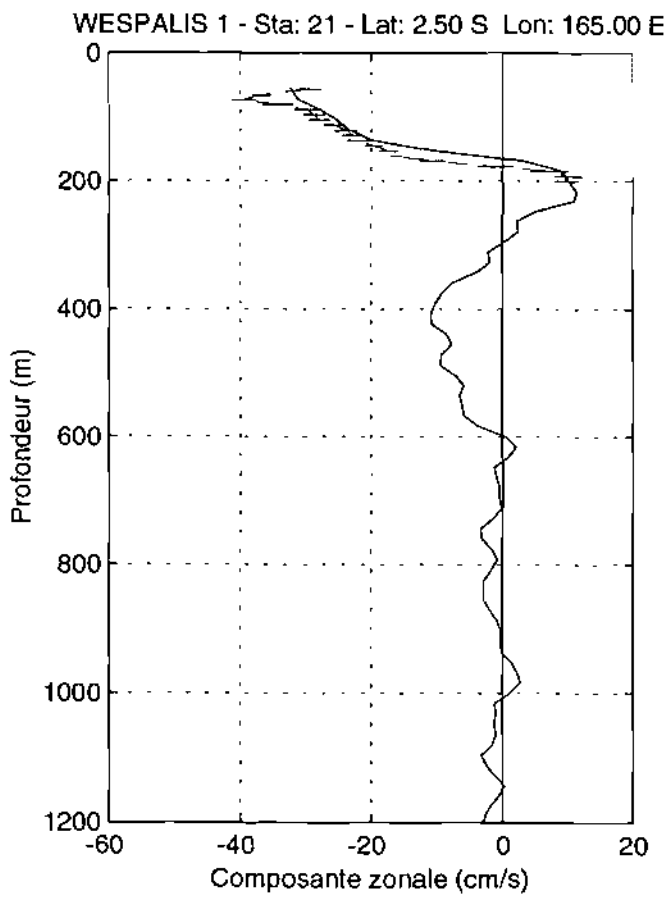


Figure 104

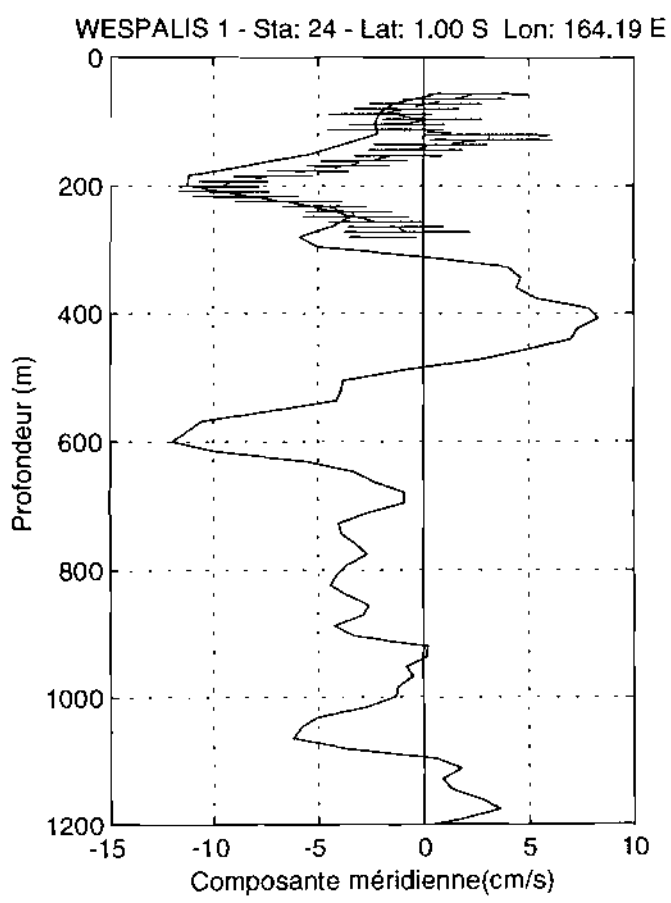
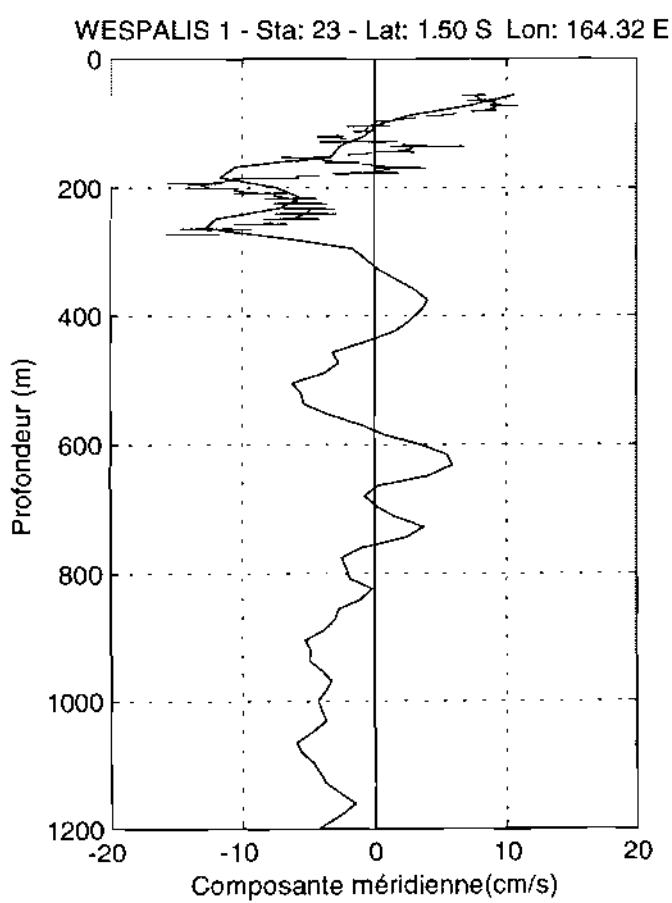
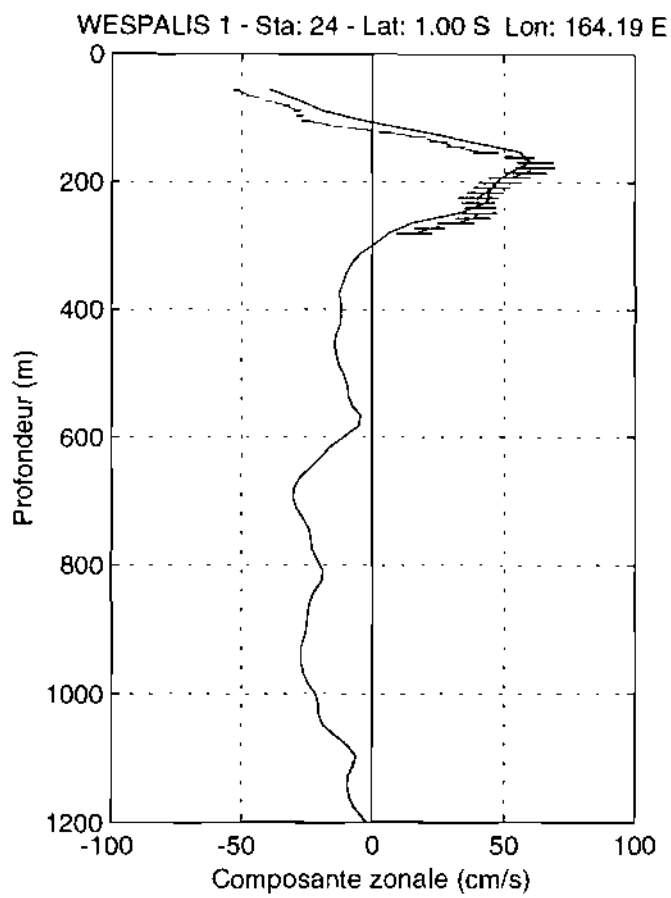
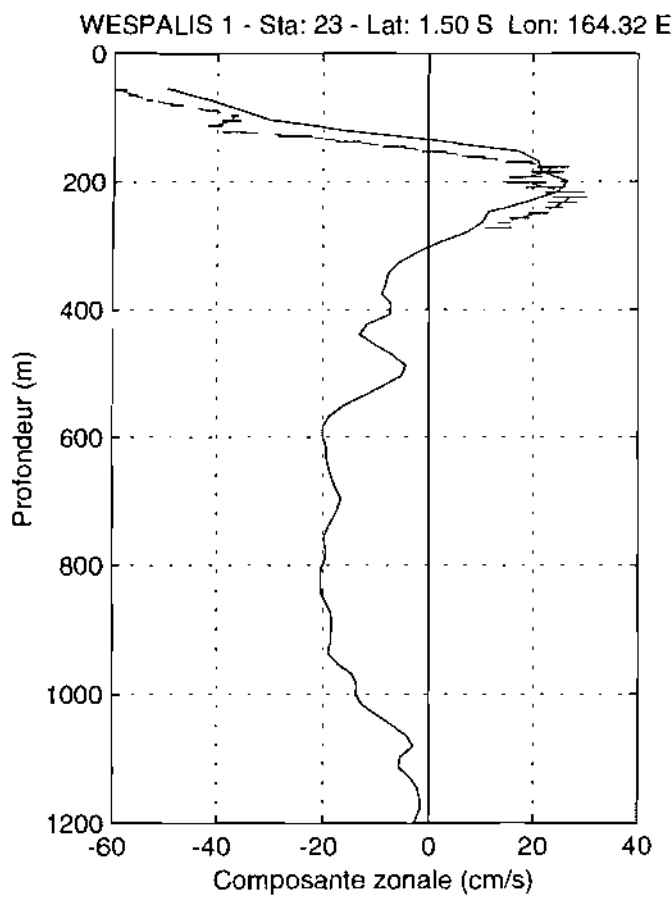
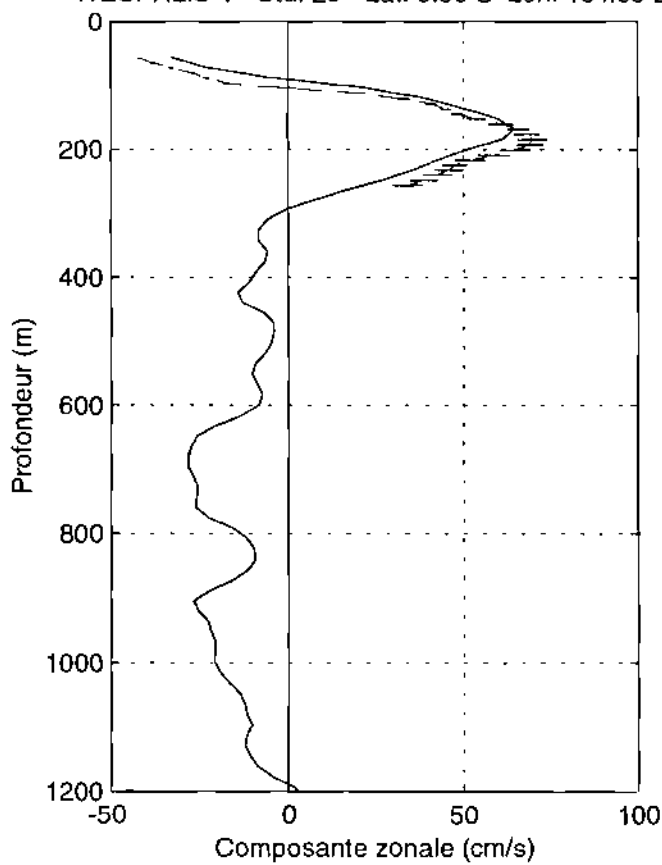
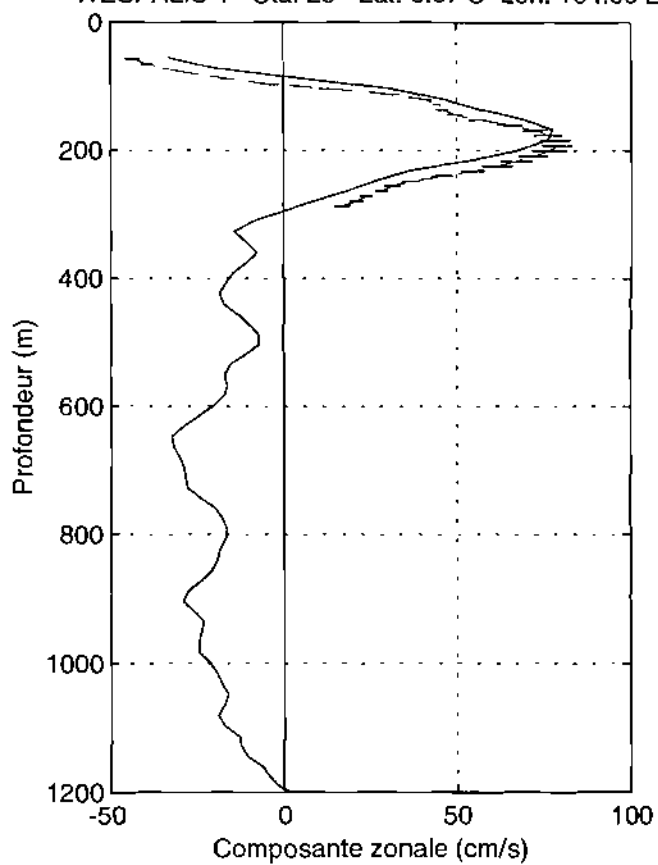


Figure 105

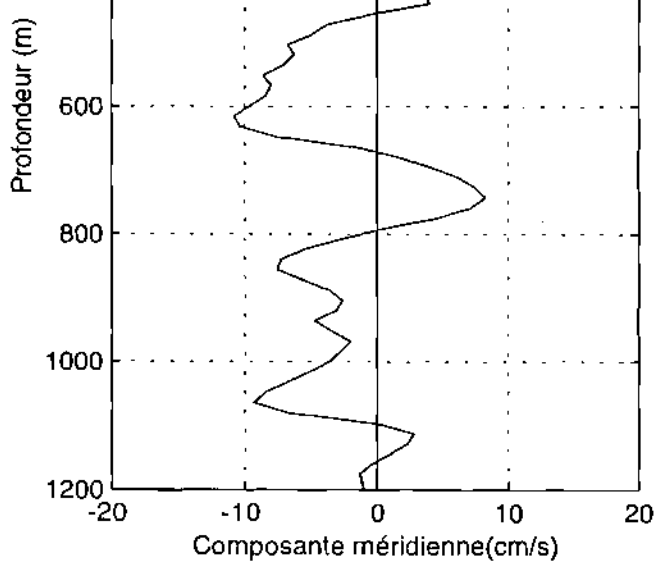
WESPALIS 1 - Sta: 25 - Lat: 0.50 S Lon: 164.05 E



WESPALIS 1 - Sta: 26 - Lat: 0.07 S Lon: 164.00 E



WESPALIS 1 - Sta: 25 - Lat: 0.50 S Lon: 164.05 E



WESPALIS 1 - Sta: 26 - Lat: 0.07 S Lon: 164.00 E

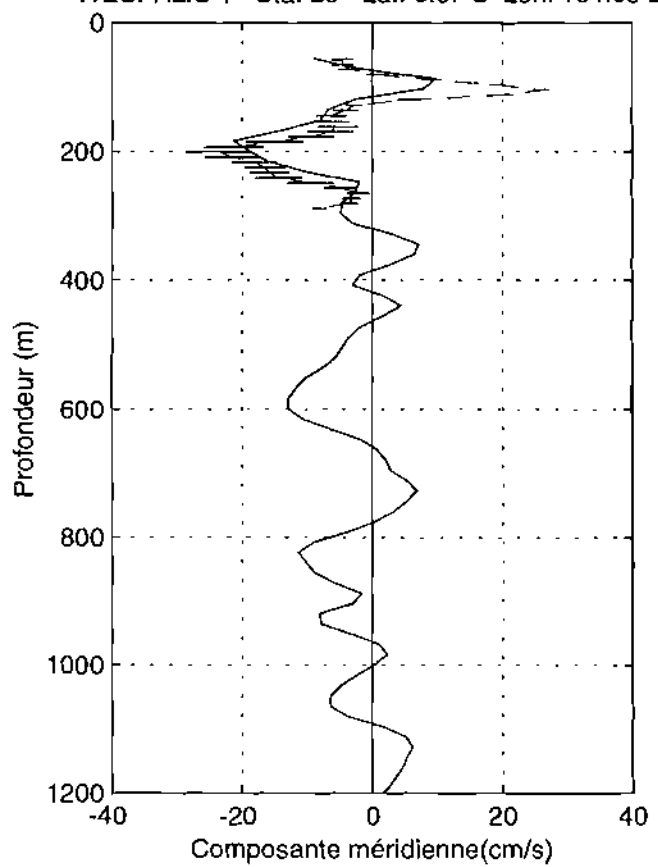


Figure 106

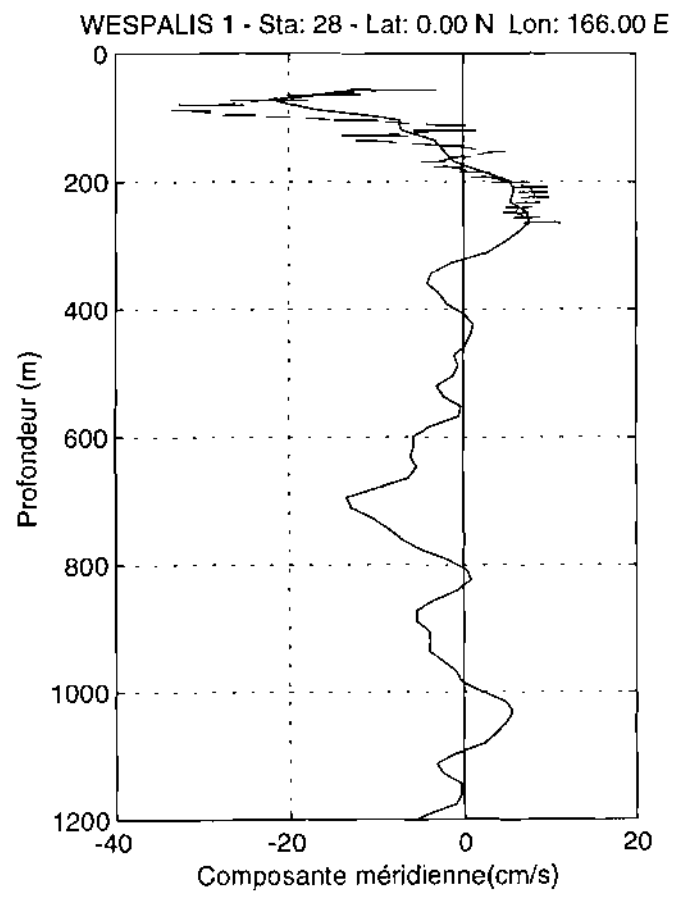
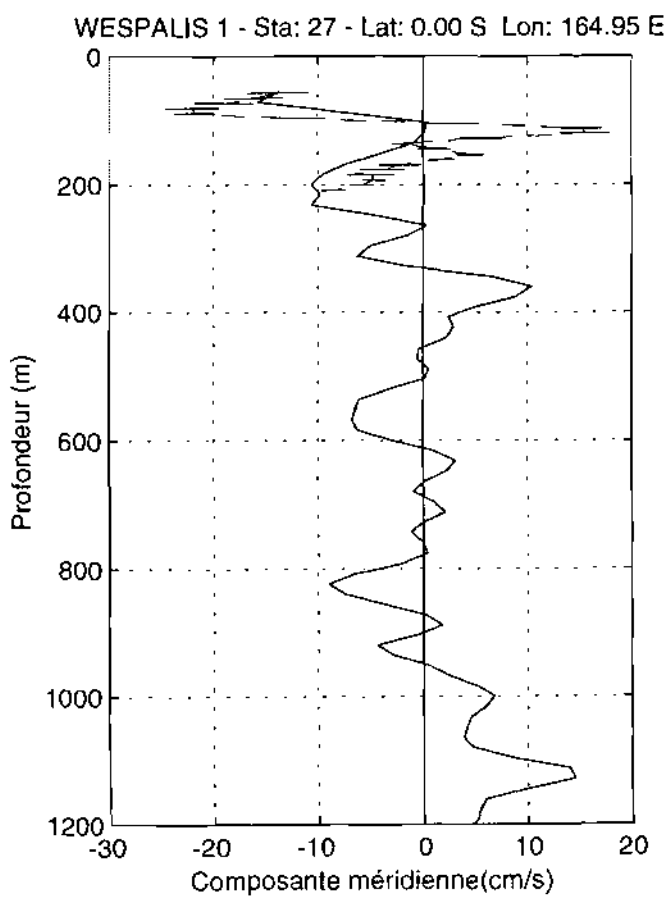
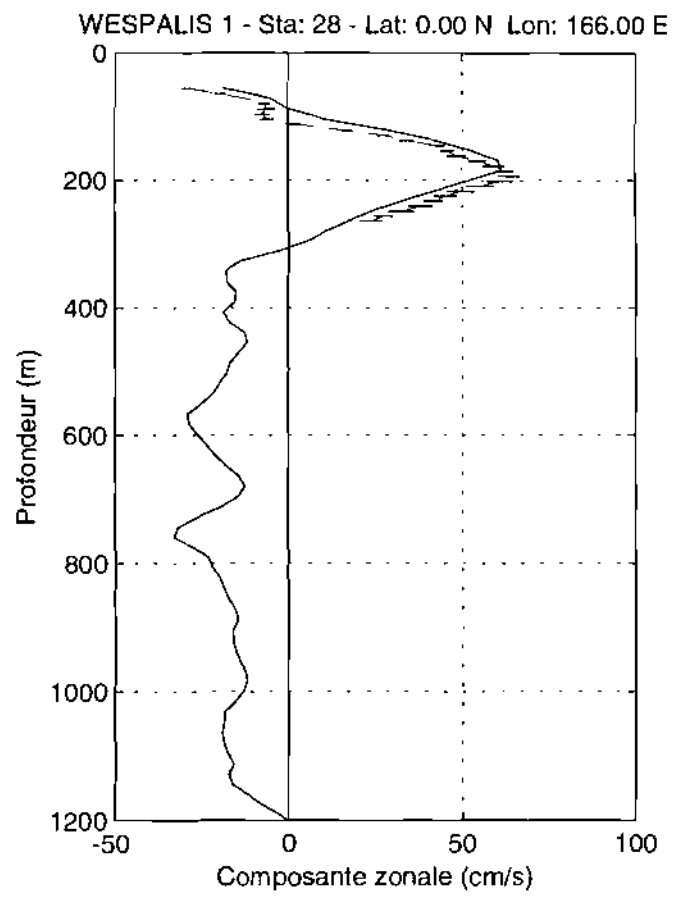
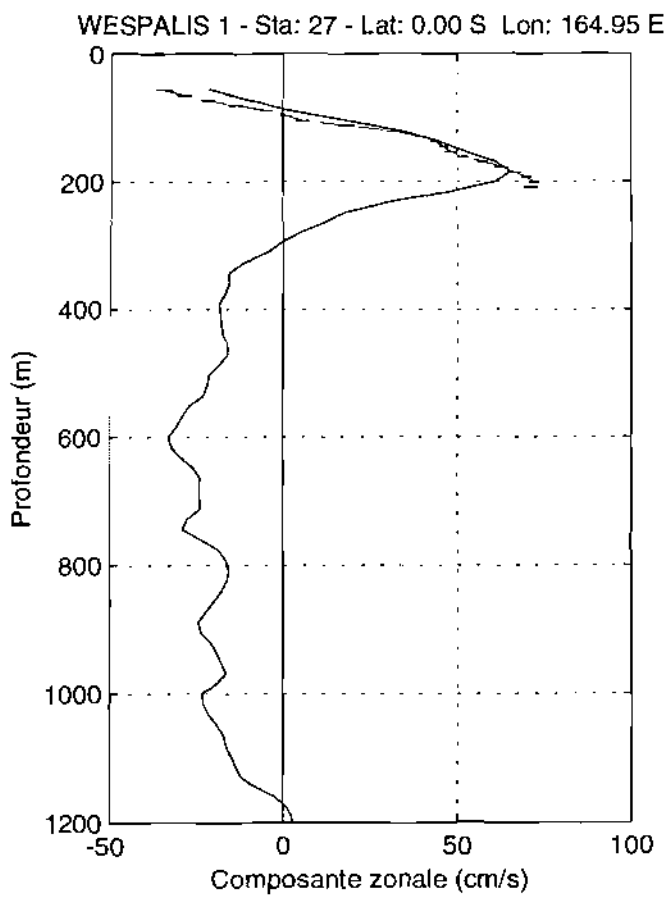


Figure 107

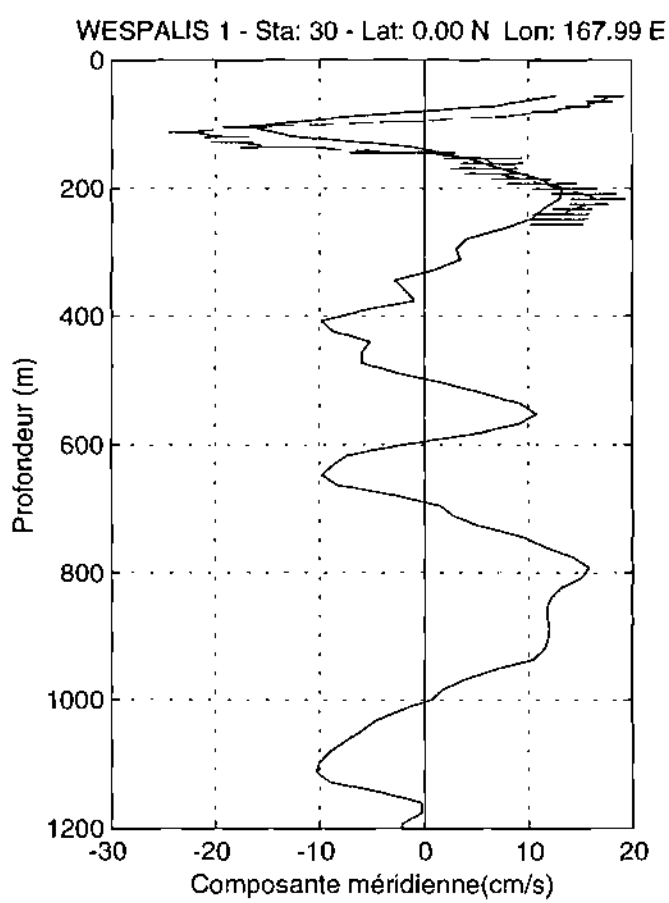
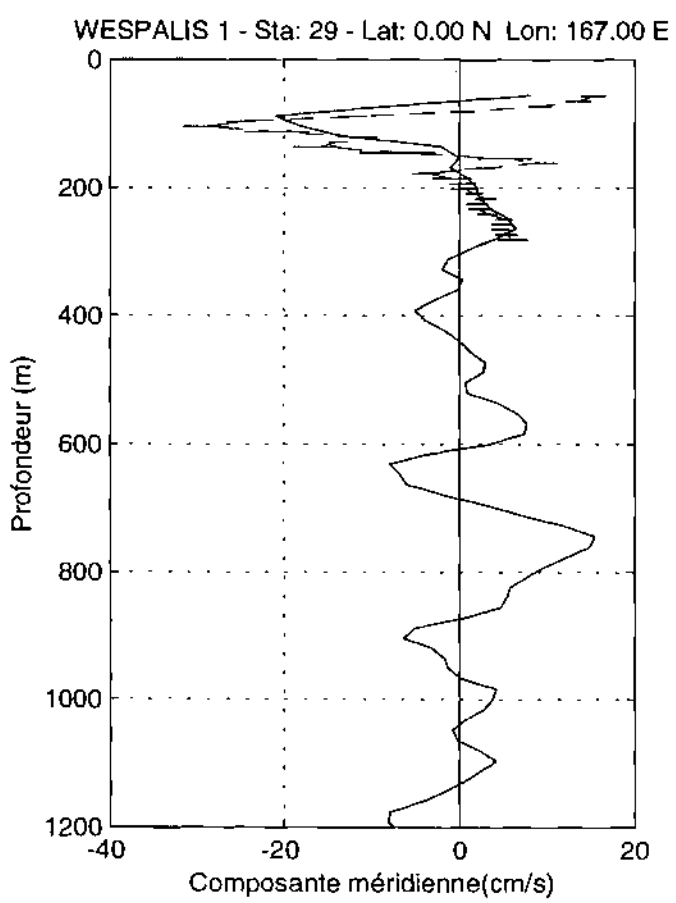
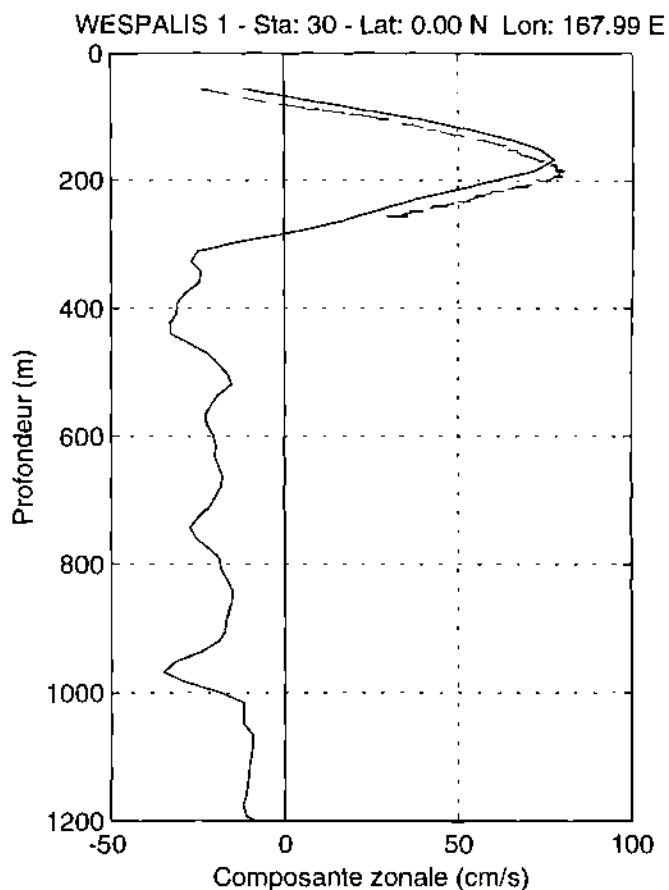
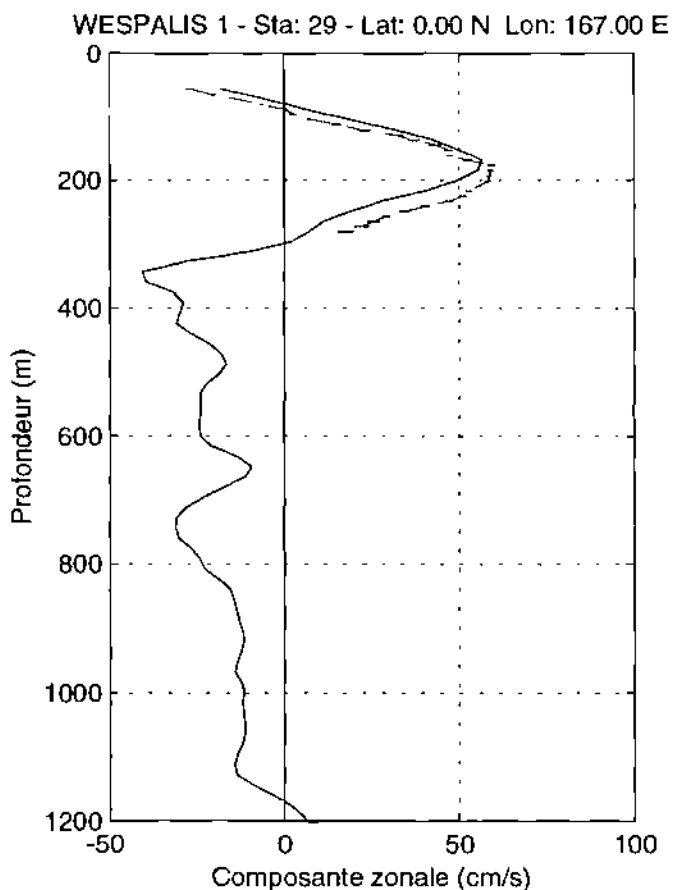
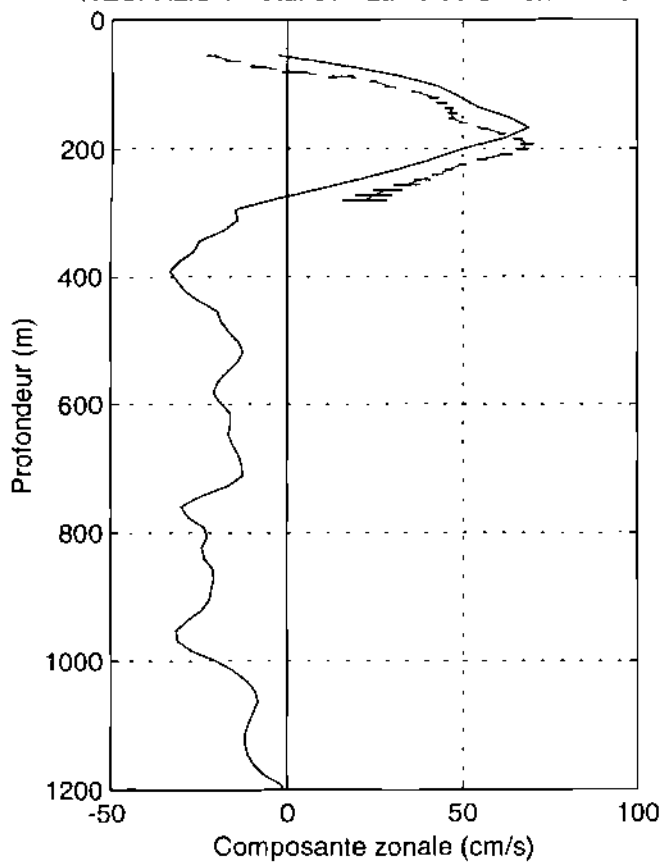
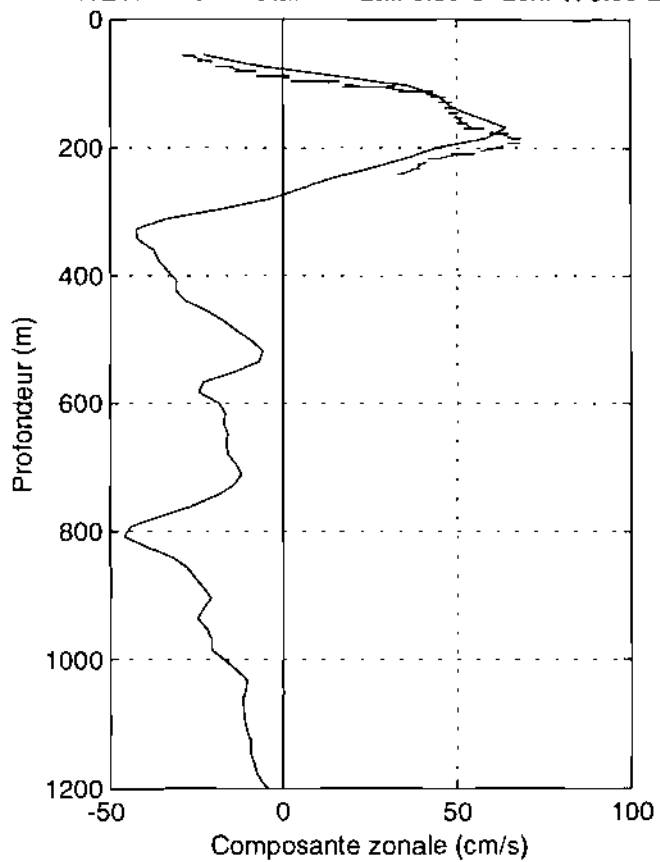


Figure 108

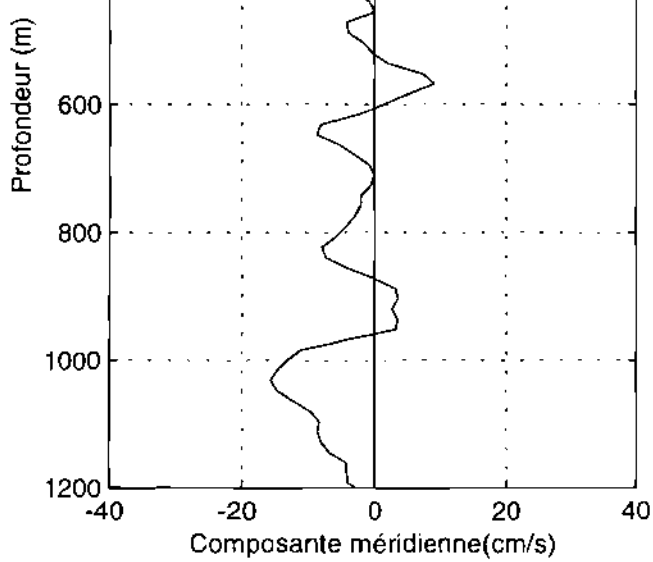
WESPALIS 1 - Sta: 31 - Lat: 0.00 S Lon: 169.00 E



WESPALIS 1 - Sta: 32 - Lat: 0.00 S Lon: 170.00 E



WESPALIS 1 - Sta: 31 - Lat: 0.00 S Lon: 169.00 E



WESPALIS 1 - Sta: 32 - Lat: 0.00 S Lon: 170.00 E

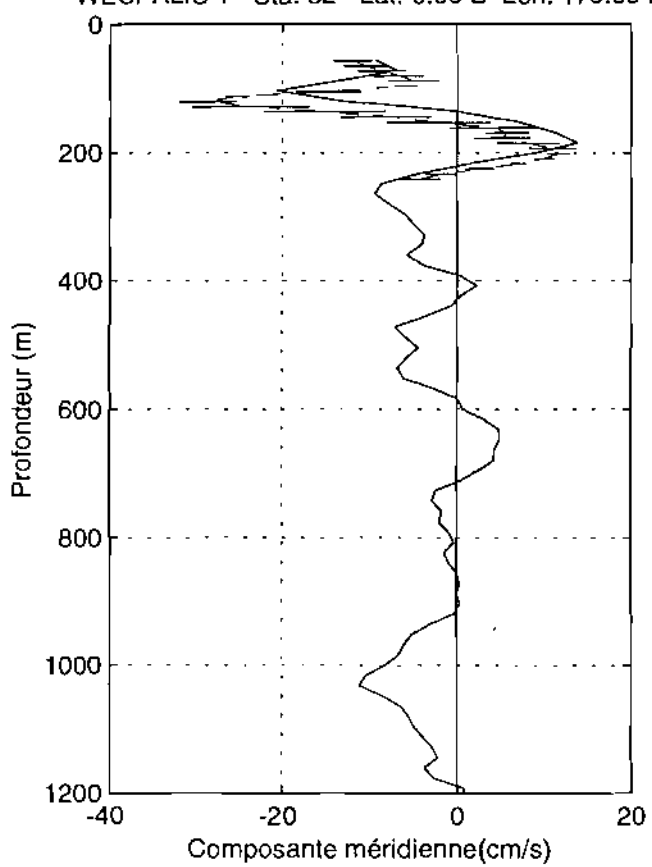
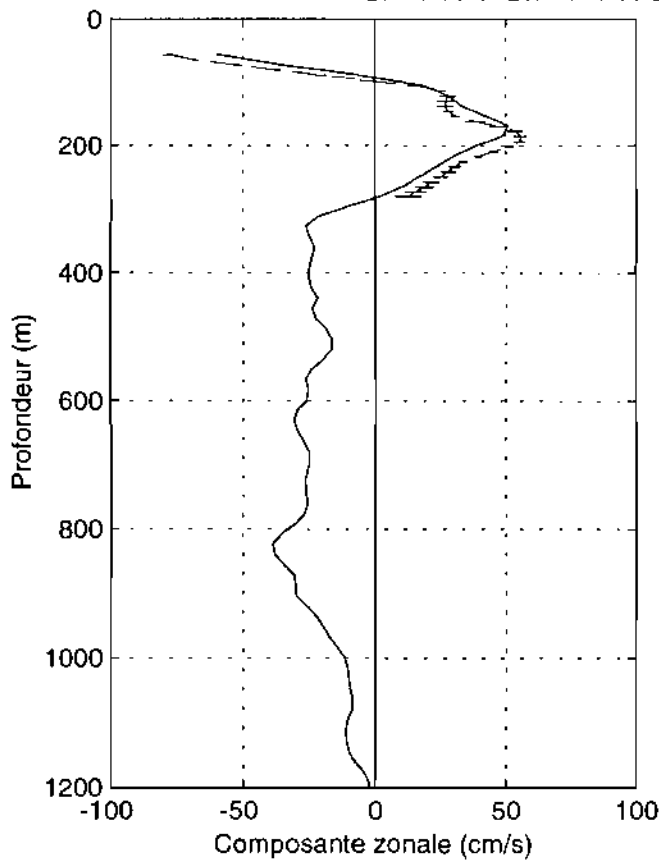
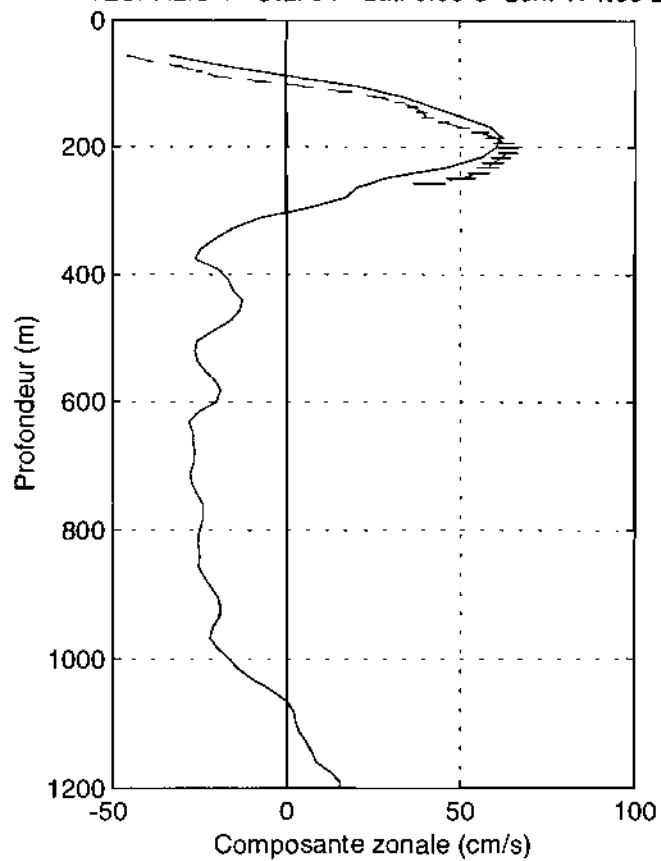


Figure 109

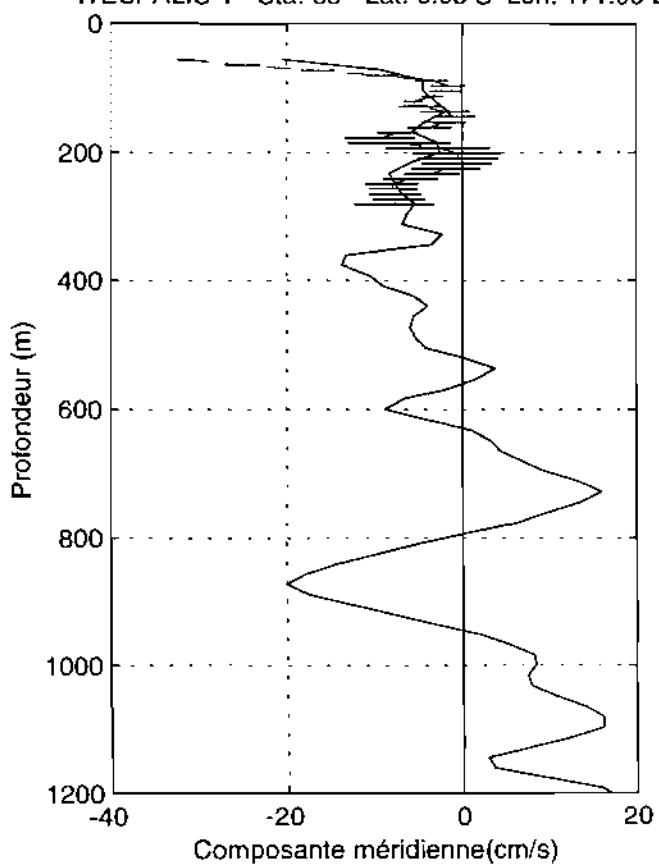
WESPALIS 1 - Sta: 33 - Lat: 0.00 S Lon: 171.99 E



WESPALIS 1 - Sta: 34 - Lat: 0.00 S Lon: 174.00 E



WESPALIS 1 - Sta: 33 - Lat: 0.00 S Lon: 171.99 E



WESPALIS 1 - Sta: 34 - Lat: 0.00 S Lon: 174.00 E

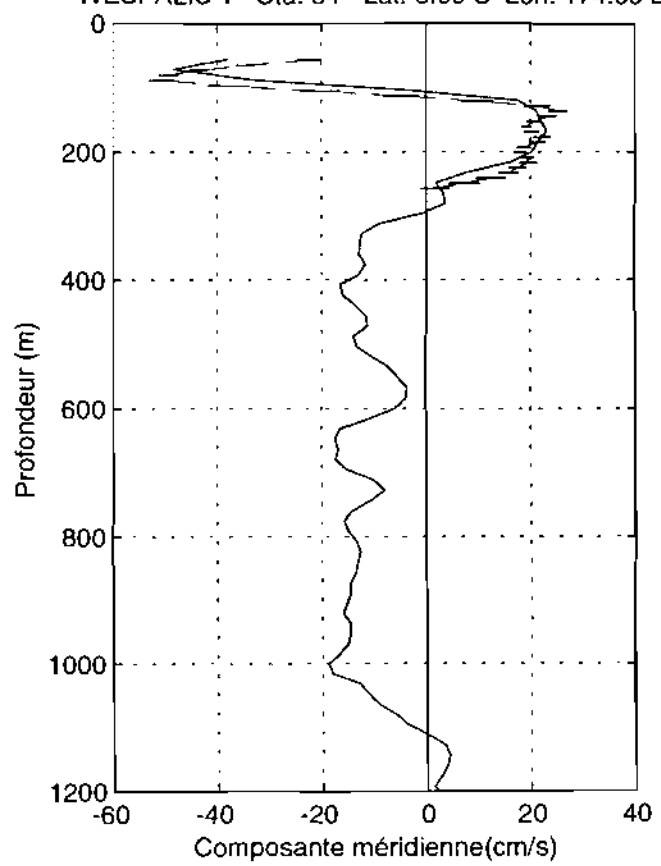
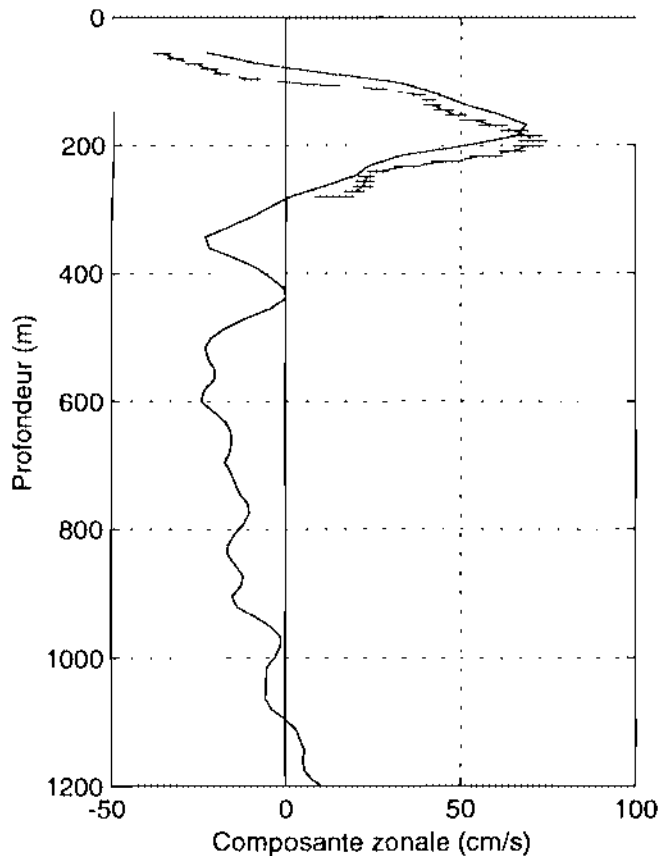
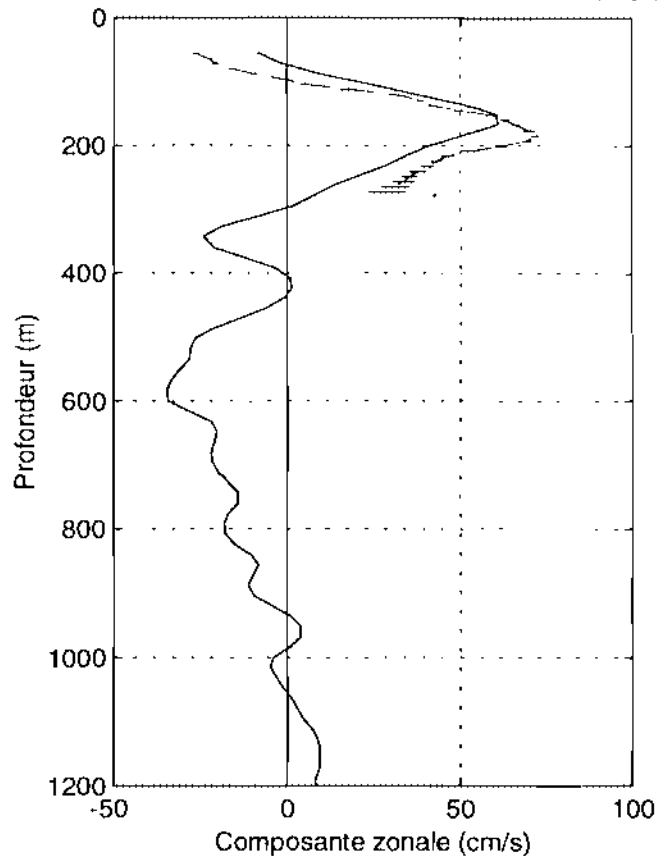


Figure 110

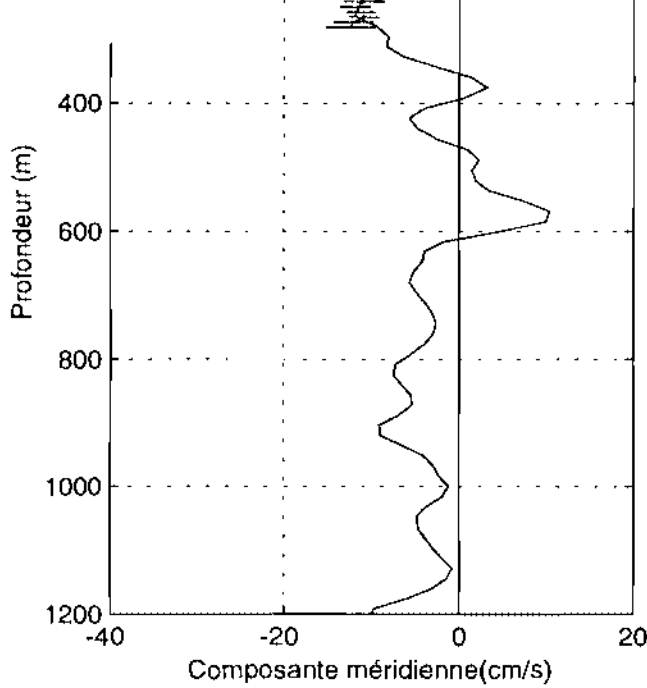
WESPALIS 1 - Sta: 35 - Lat: 0.00 S Lon: 174.99 E



WESPALIS 1 - Sta: 36 - Lat: 0.00 N Lon: 176.00 E



WESPALIS 1 - Sta: 35 - Lat: 0.00 S Lon: 174.99 E



WESPALIS 1 - Sta: 36 - Lat: 0.00 N Lon: 176.00 E

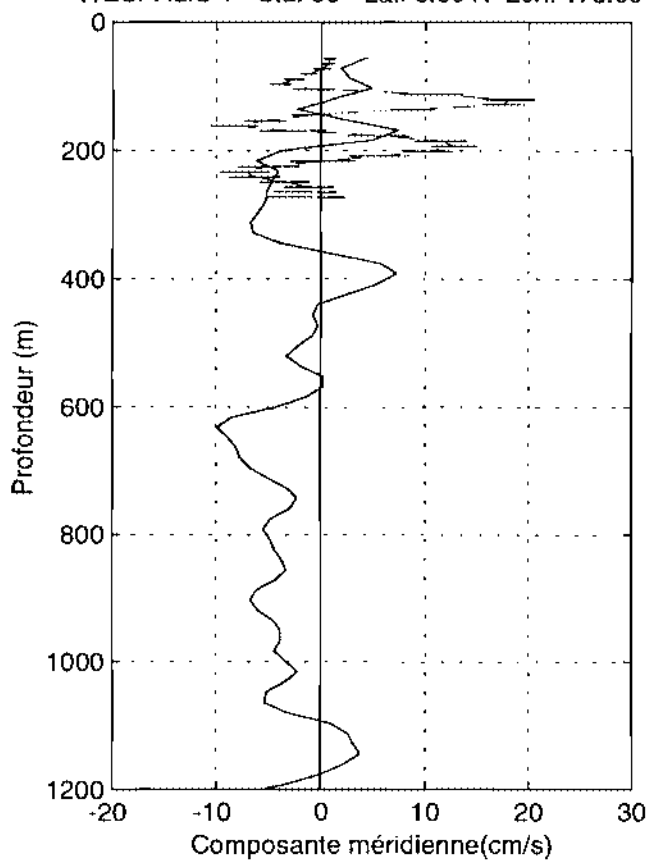
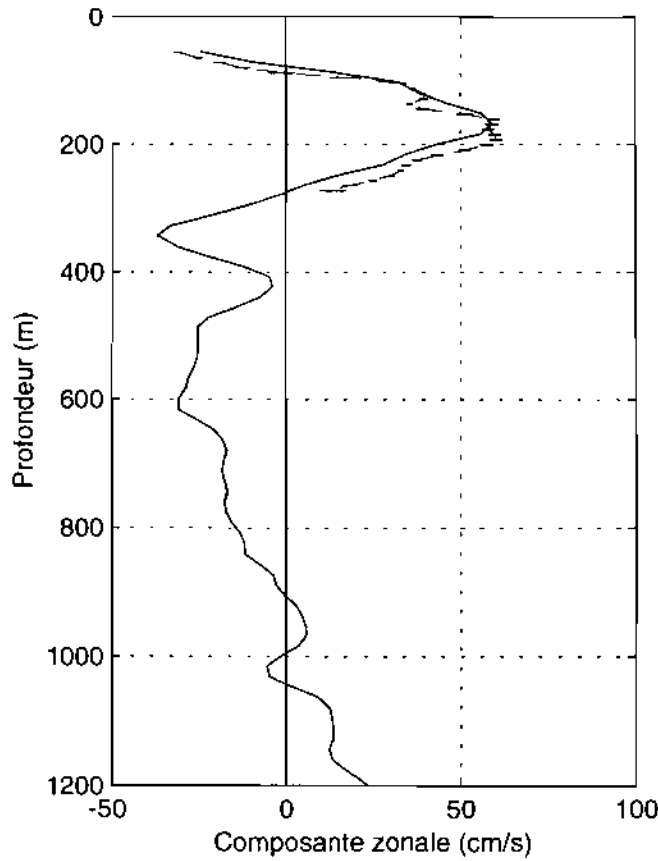
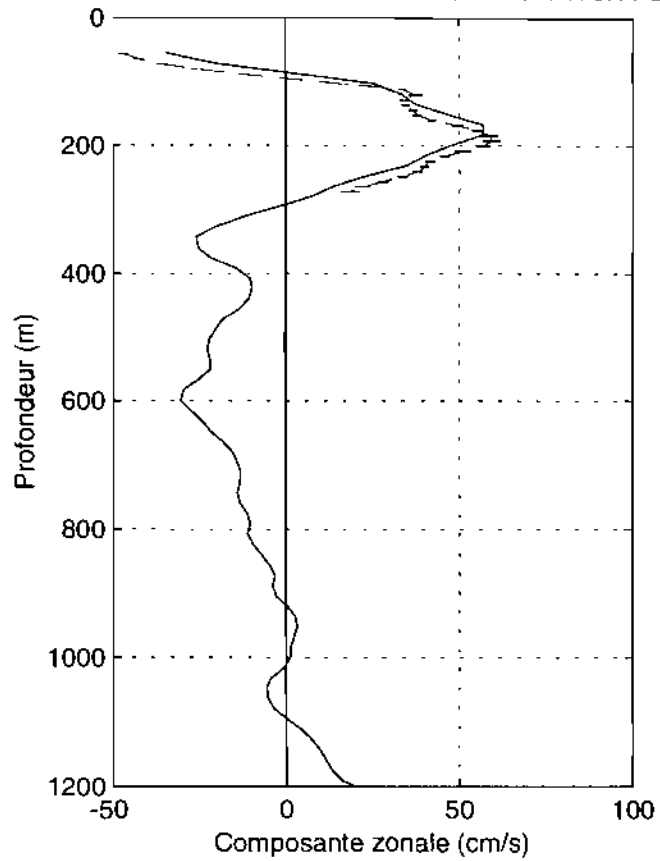


Figure 111

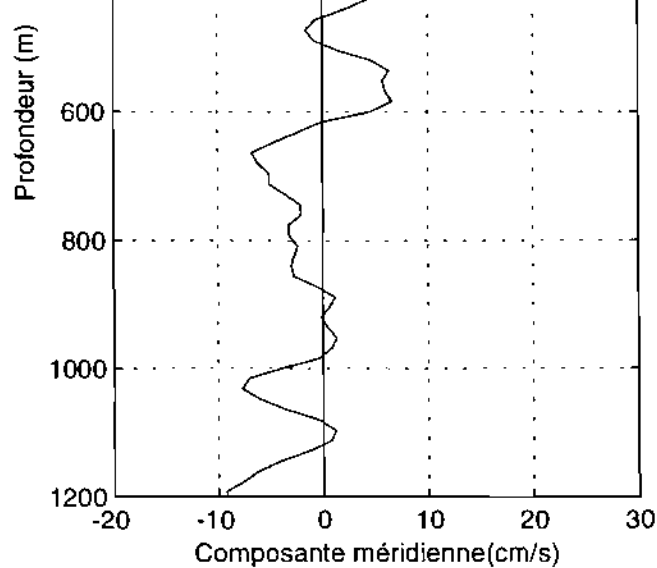
WESPALIS 1 - Sta: 37 - Lat: 0.00 S Lon: 177.00 E



WESPALIS 1 - Sta: 38 - Lat: 0.00 N Lon: 178.00 E



WESPALIS 1 - Sta: 37 - Lat: 0.00 S Lon: 177.00 E



WESPALIS 1 - Sta: 38 - Lat: 0.00 N Lon: 178.00 E

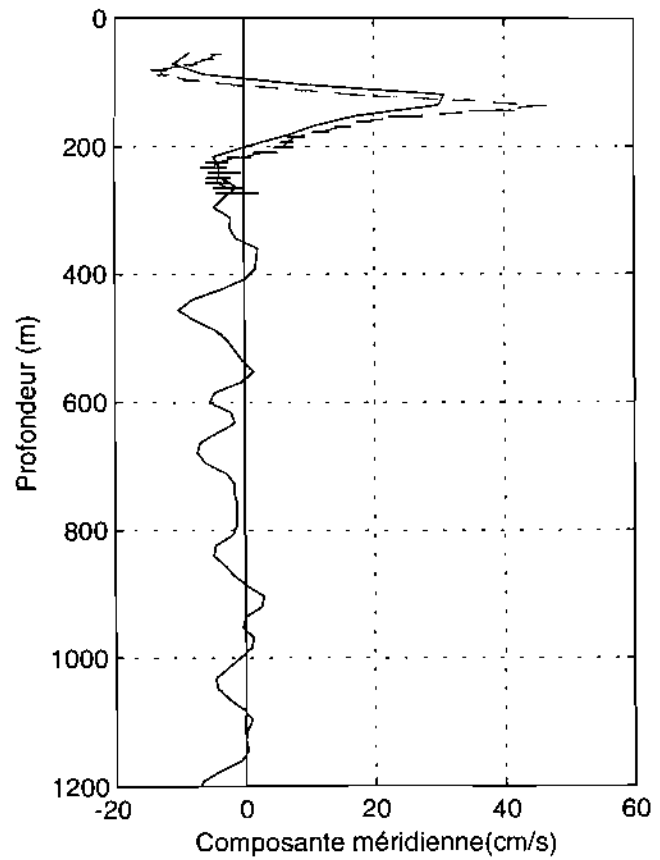
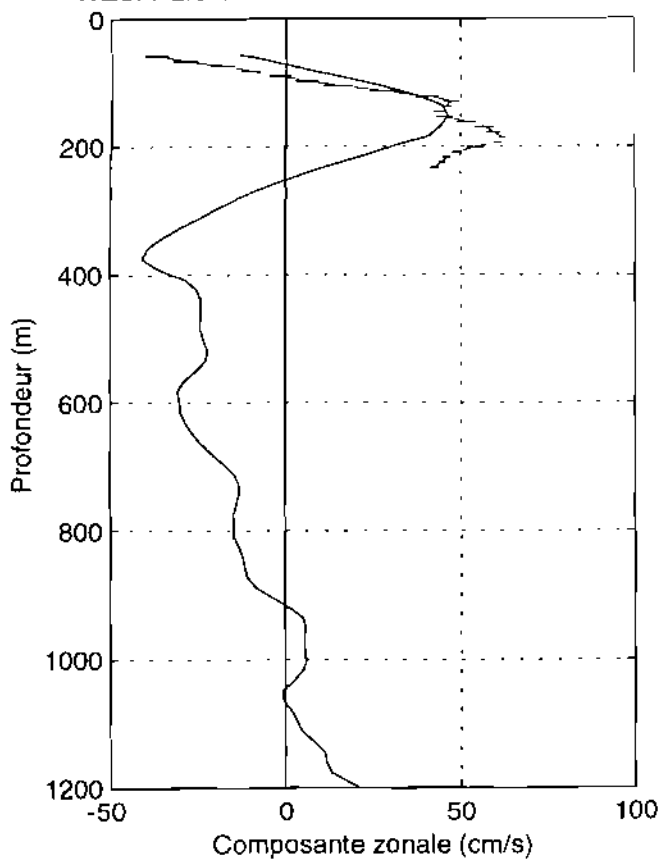
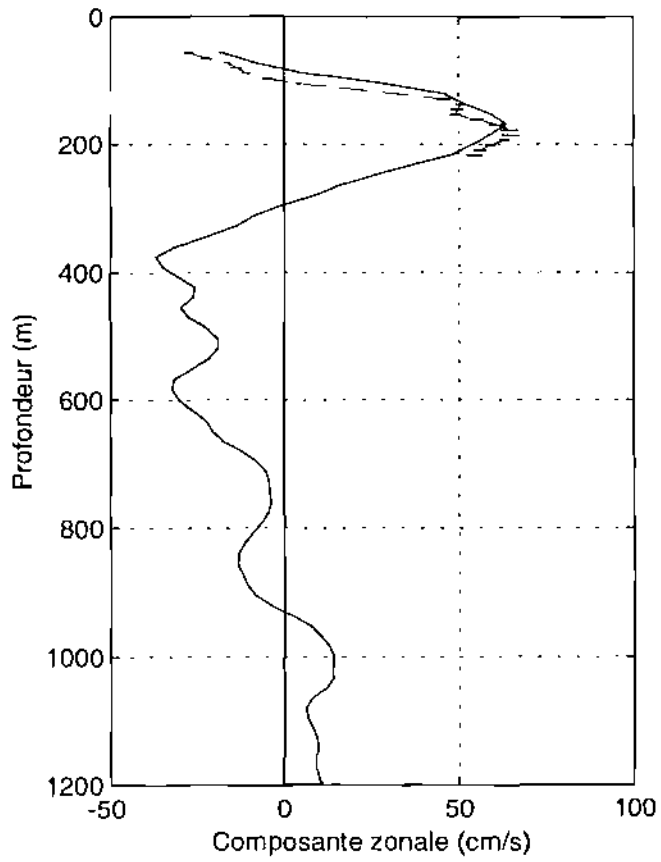


Figure 112

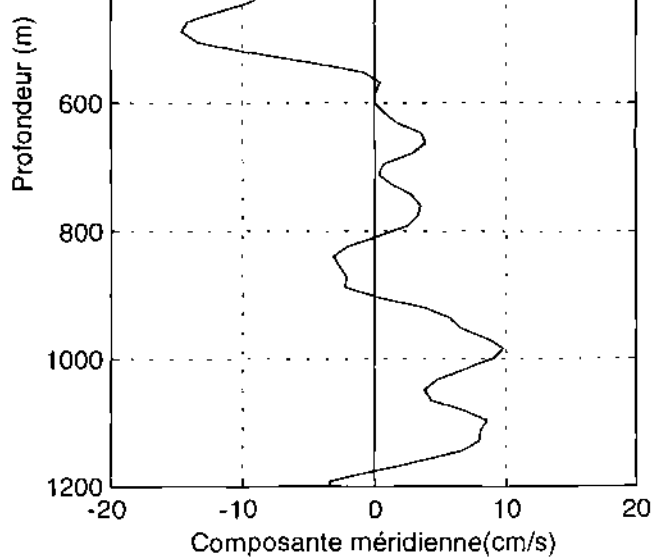
WESPALIS 1 - Sta: 39 - Lat: 0.00 N Lon: 179.00 E



WESPALIS 1 - Sta: 40 - Lat: 0.00 N Lon: 180.00 E



WESPALIS 1 - Sta: 39 - Lat: 0.00 N Lon: 179.00 E



WESPALIS 1 - Sta: 40 - Lat: 0.00 N Lon: 180.00 E

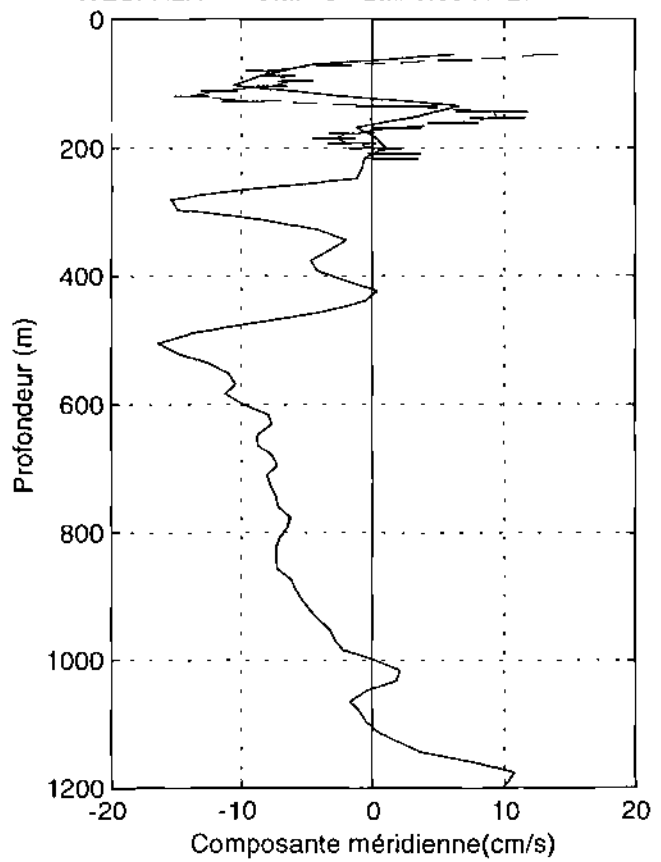
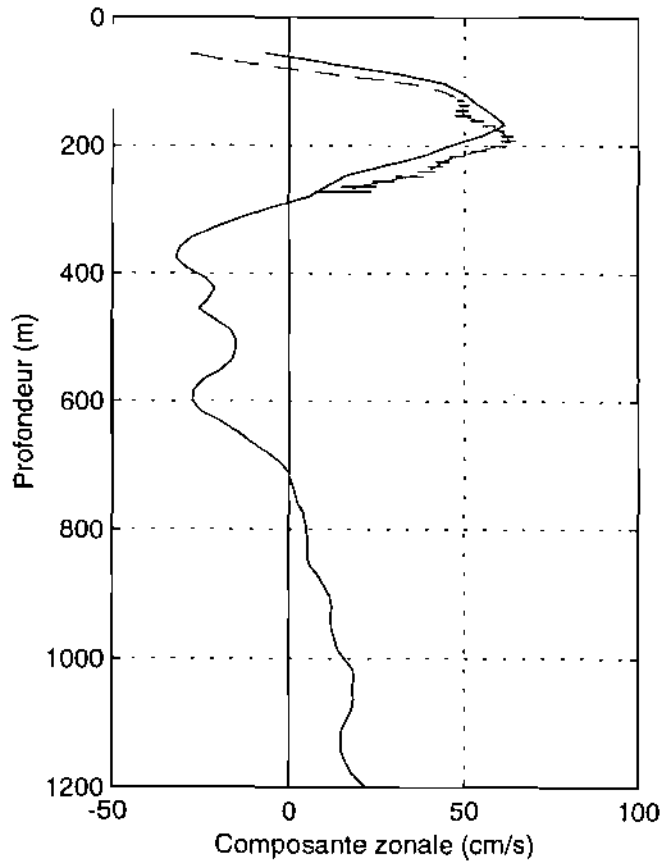
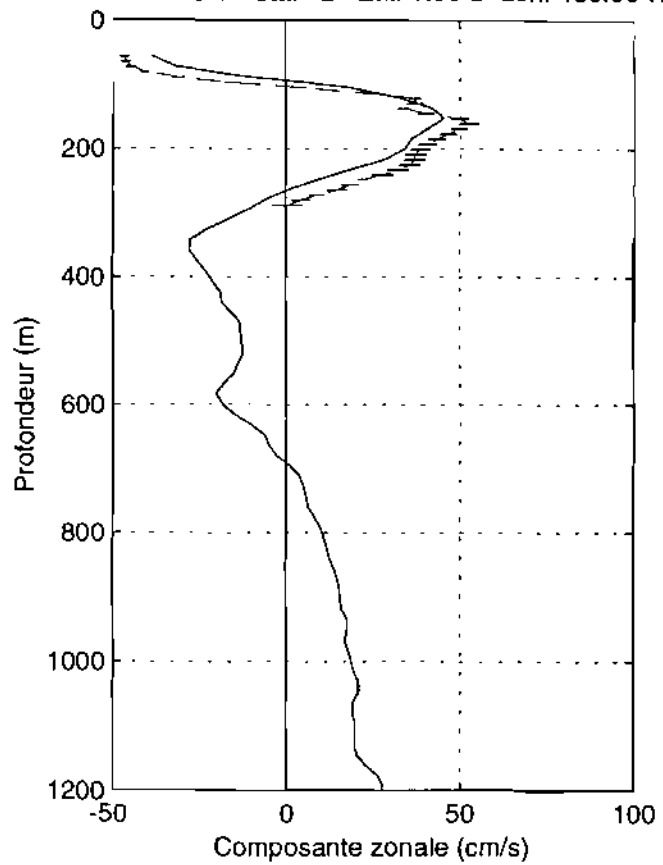


Figure 113

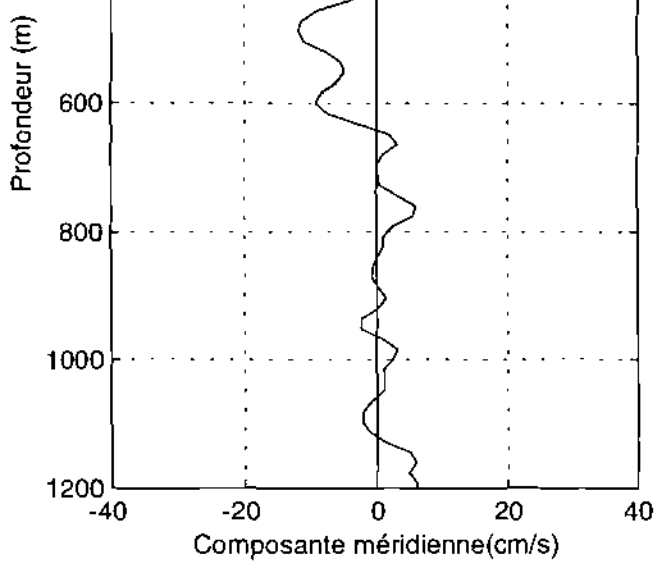
WESPALIS 1 - Sta: 41 - Lat: 0.51 S Lon: 180.00 W



WESPALIS 1 - Sta: 42 - Lat: 1.00 S Lon: 180.00 W



WESPALIS 1 - Sta: 41 - Lat: 0.51 S Lon: 180.00 W



WESPALIS 1 - Sta: 42 - Lat: 1.00 S Lon: 180.00 W

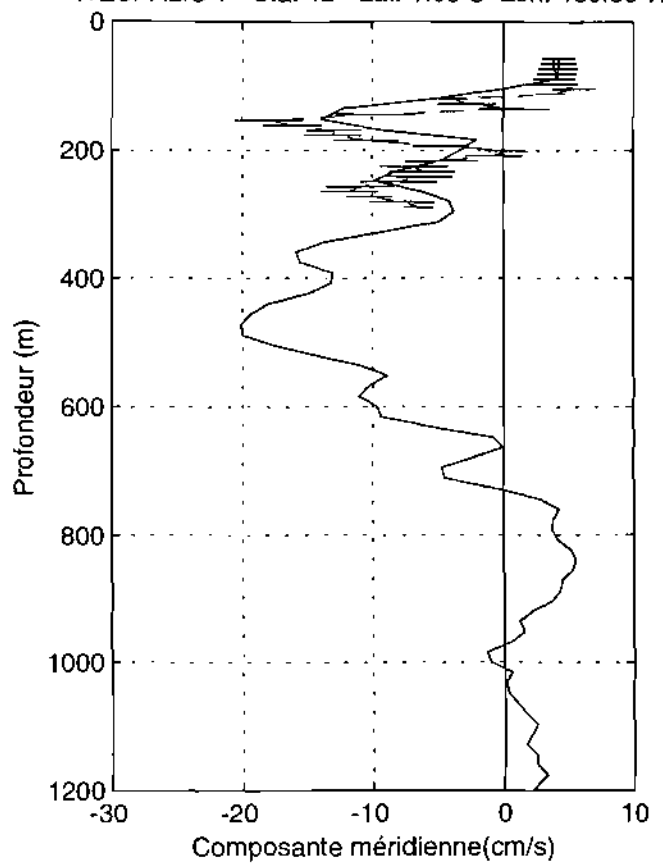


Figure 114

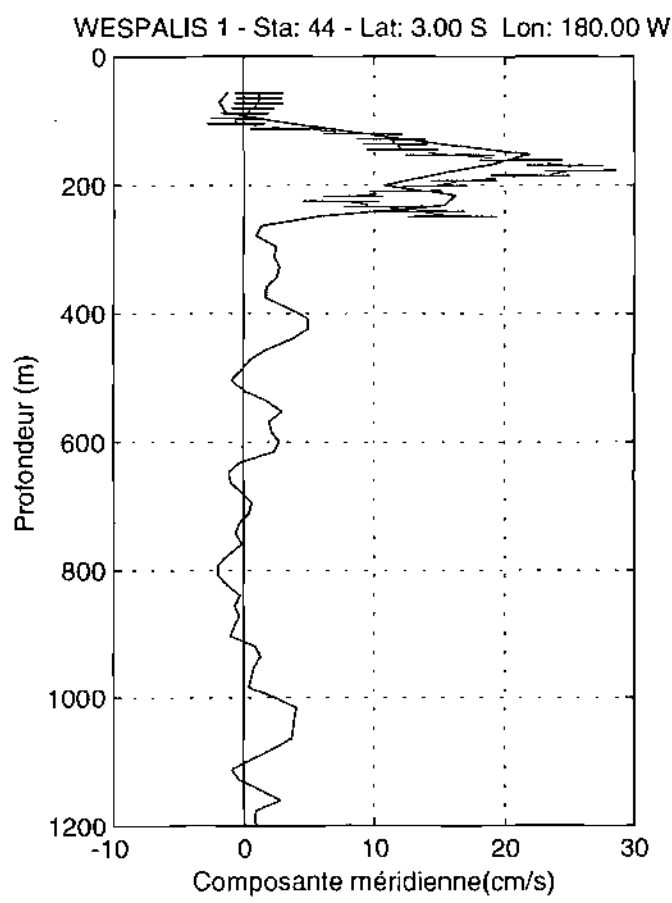
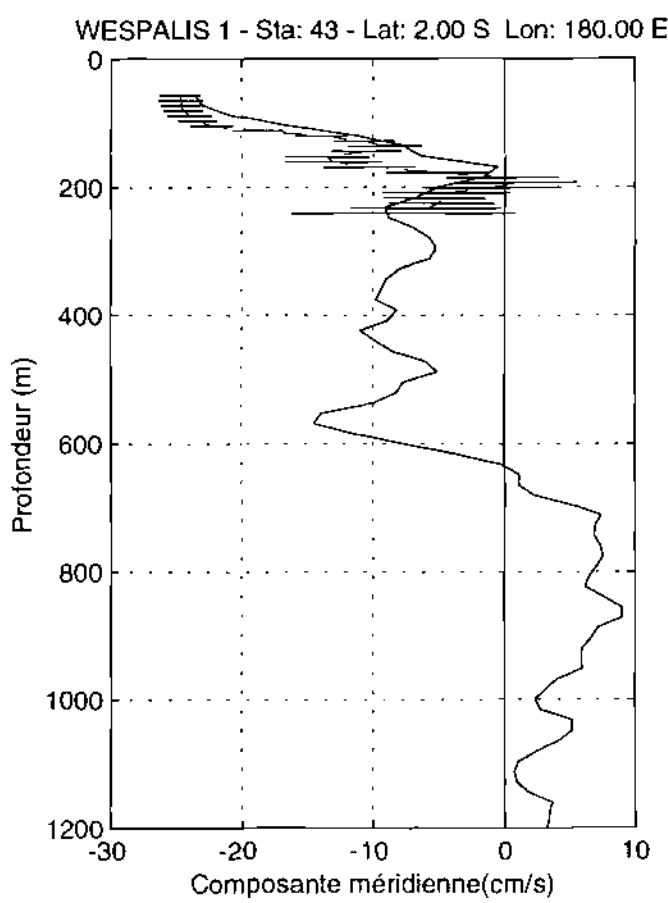
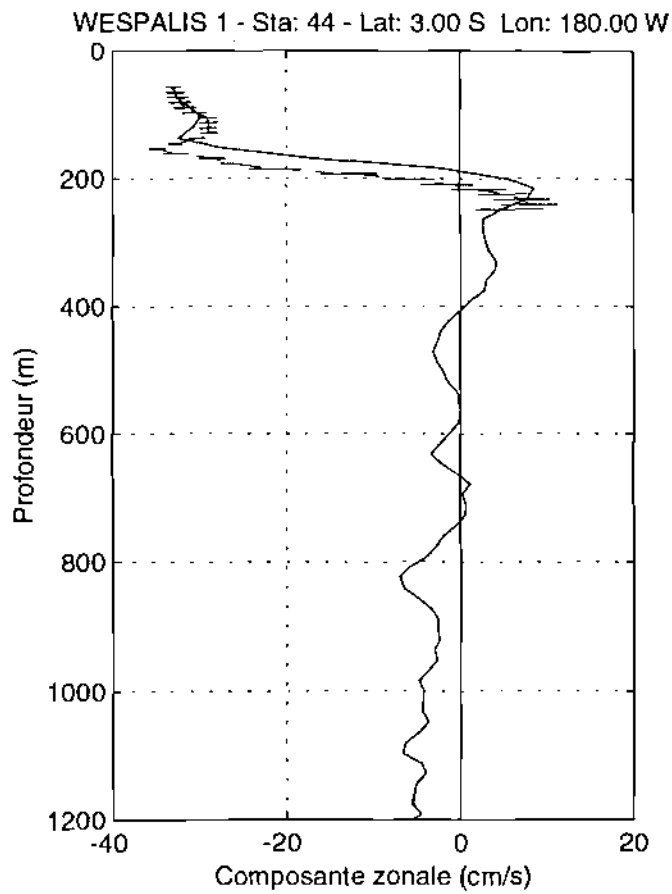
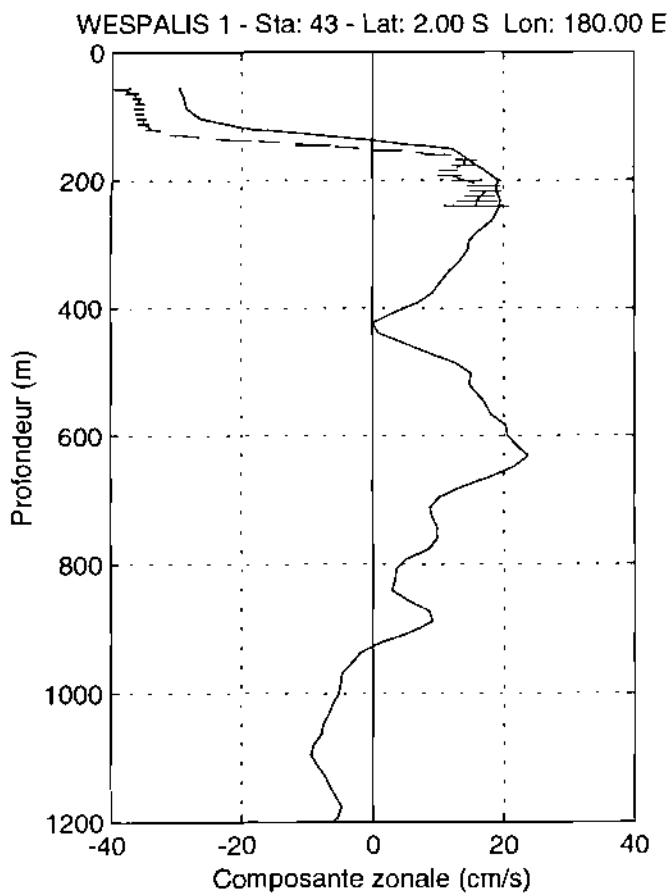
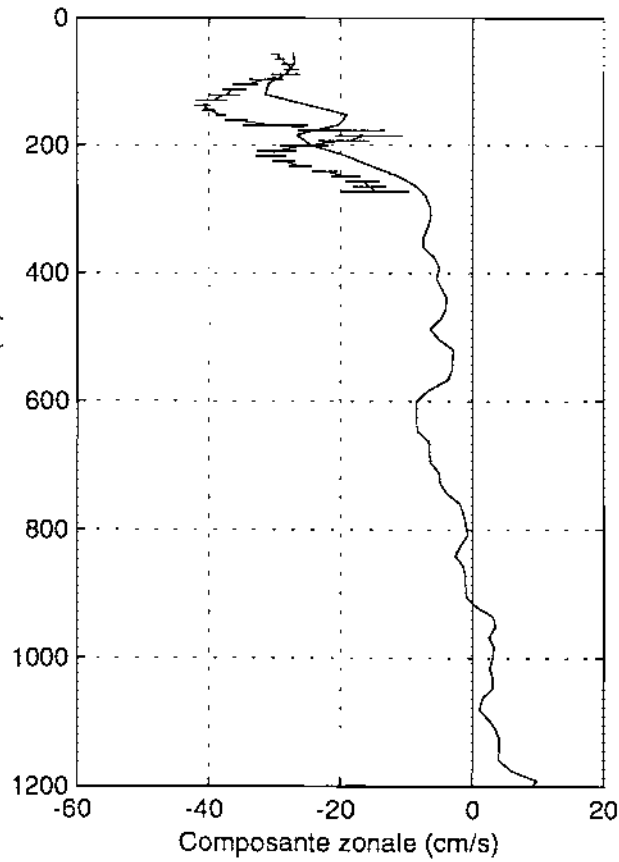


Figure 115

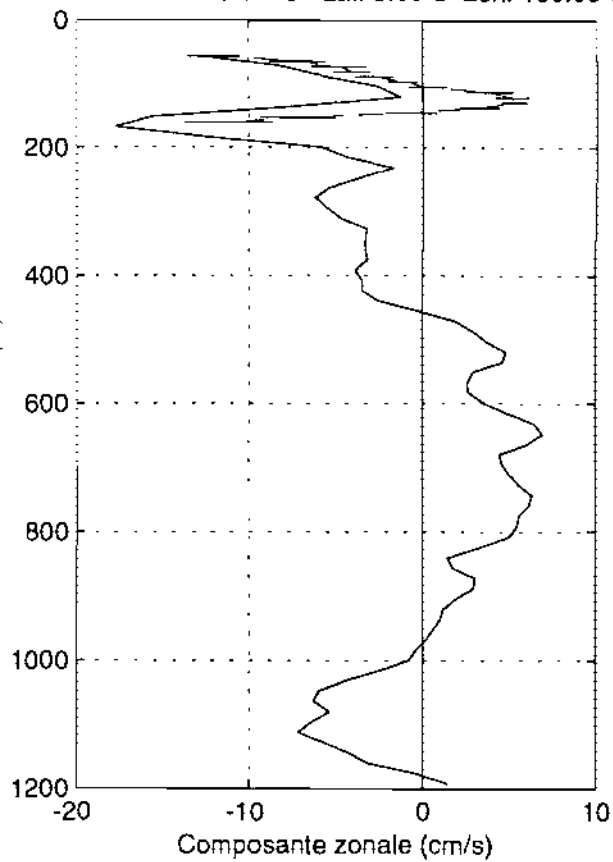
WESPALIS 1 - Sta: 45 - Lat: 4.04 S Lon: 179.99 E

Profondeur (m)



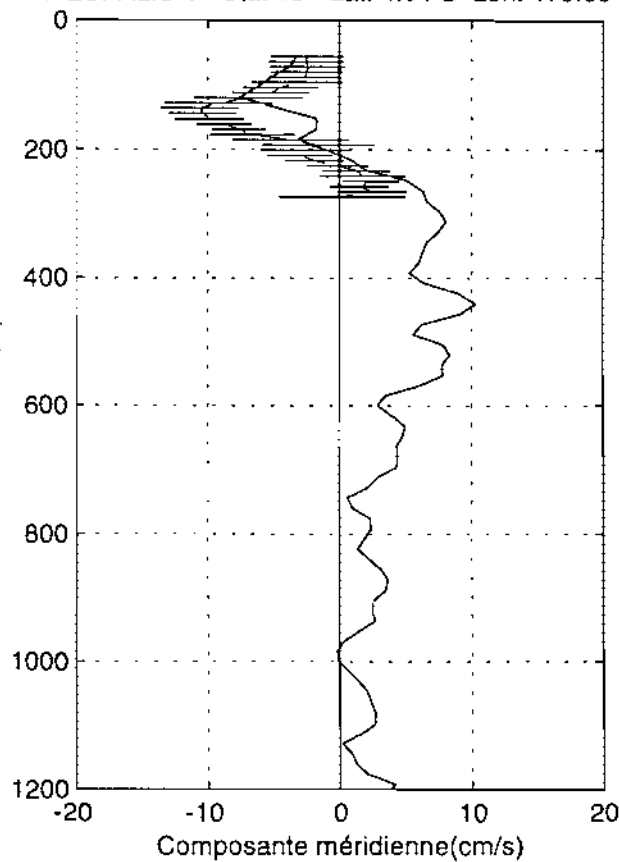
WESPALIS 1 - Sta: 46 - Lat: 5.00 S Lon: 180.00 W

Profondeur (m)



WESPALIS 1 - Sta: 45 - Lat: 4.04 S Lon: 179.99 E

Profondeur (m)



WESPALIS 1 - Sta: 46 - Lat: 5.00 S Lon: 180.00 W

Profondeur (m)

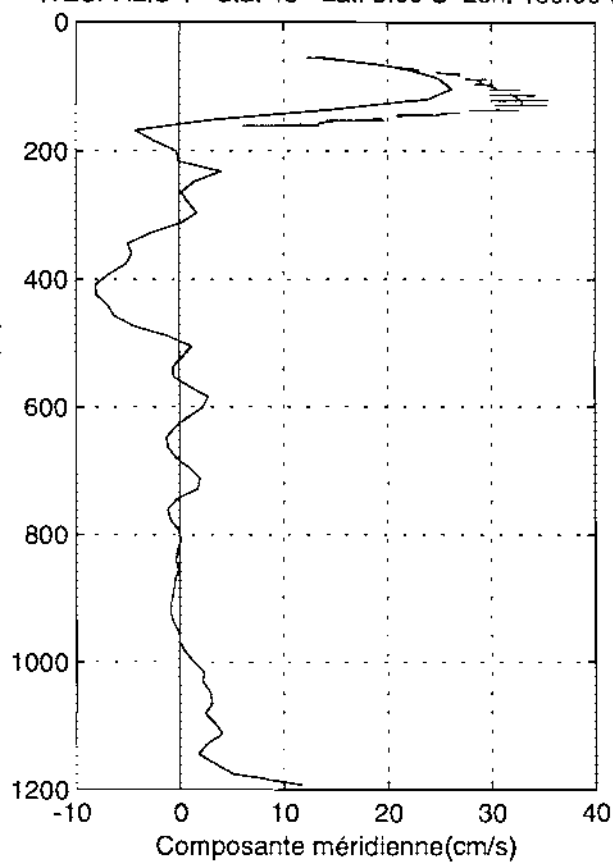


Figure 116

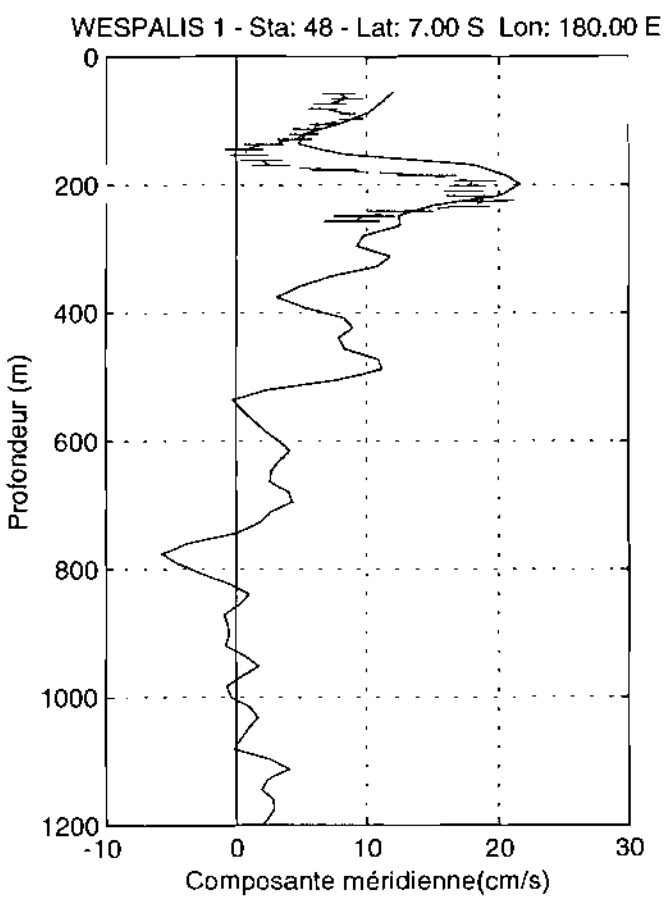
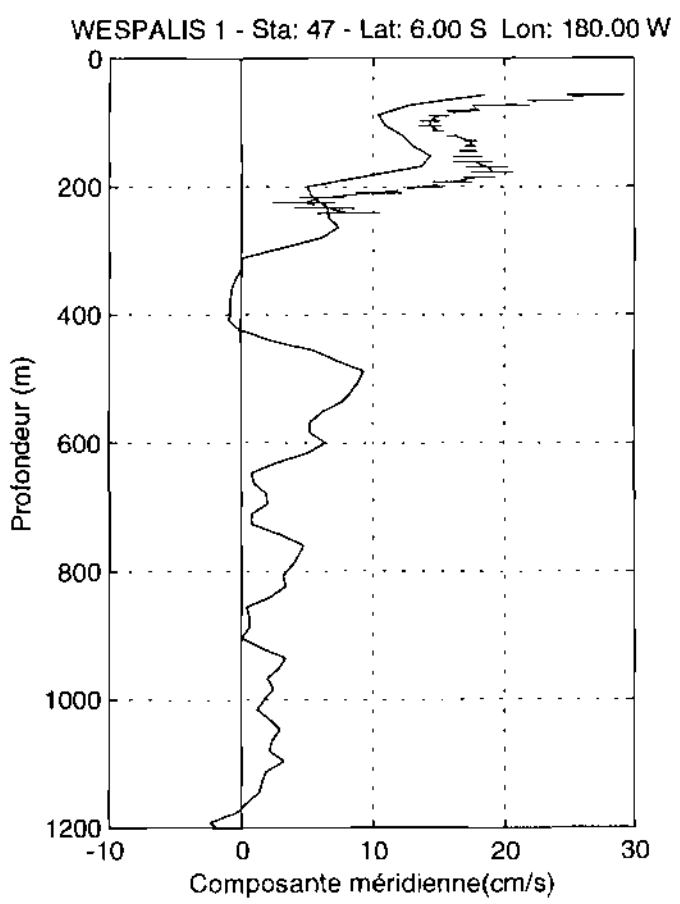
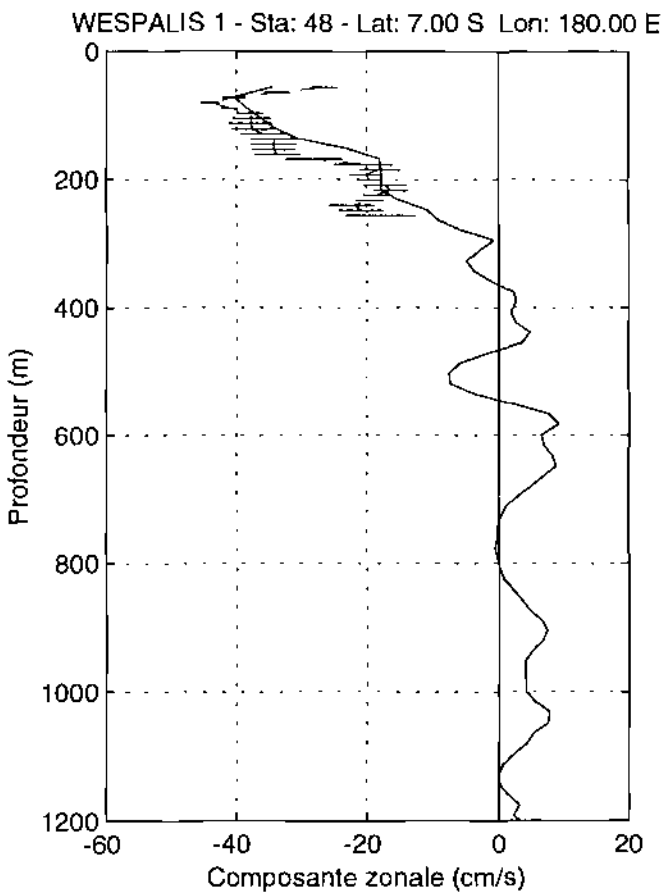
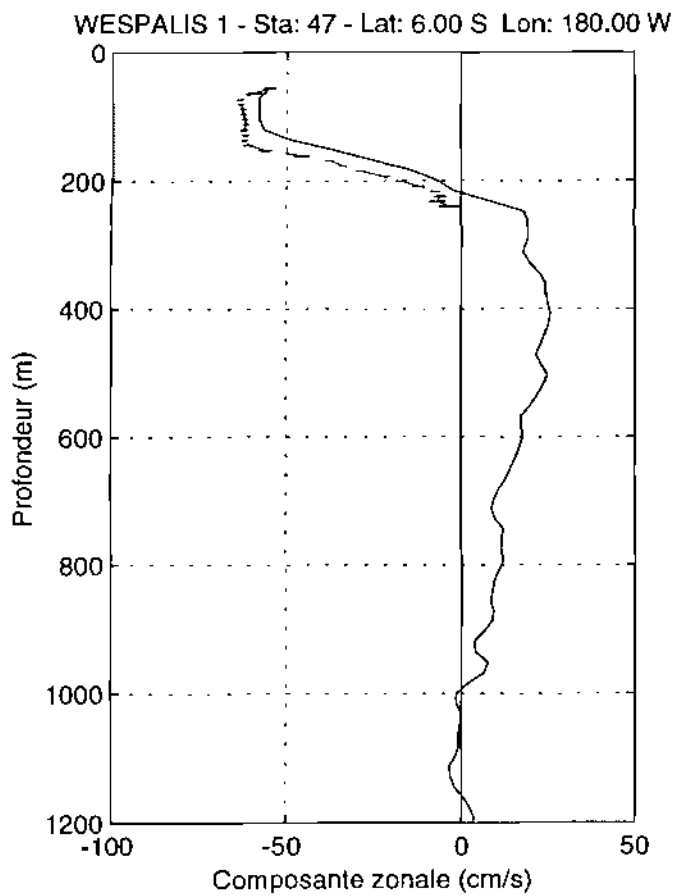


Figure 117

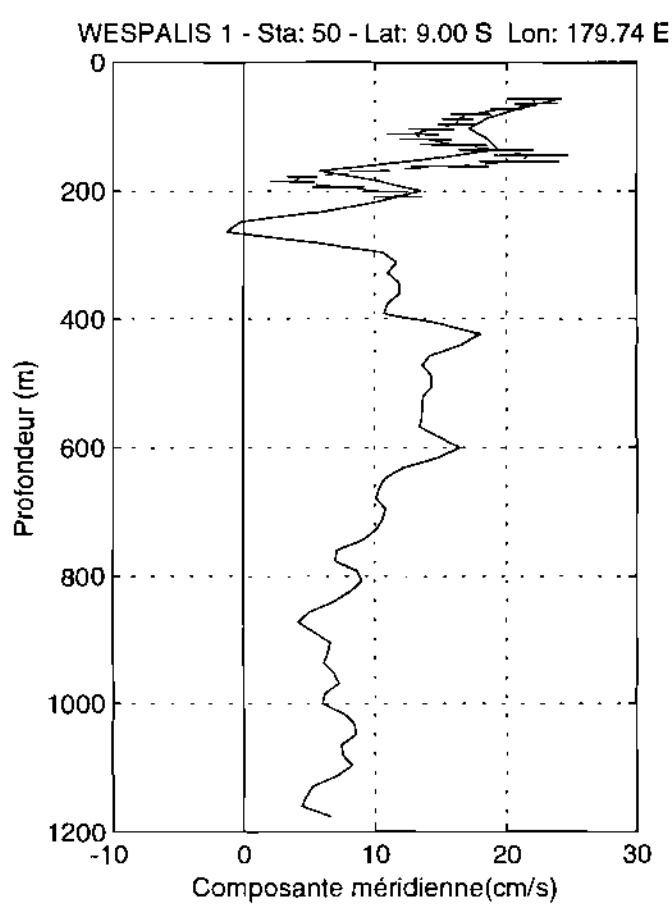
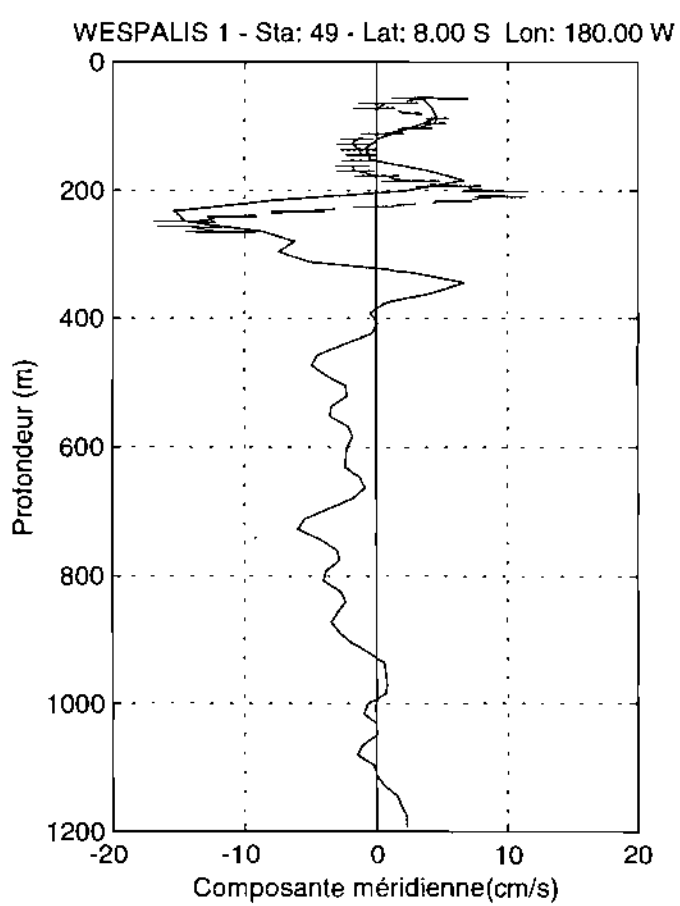
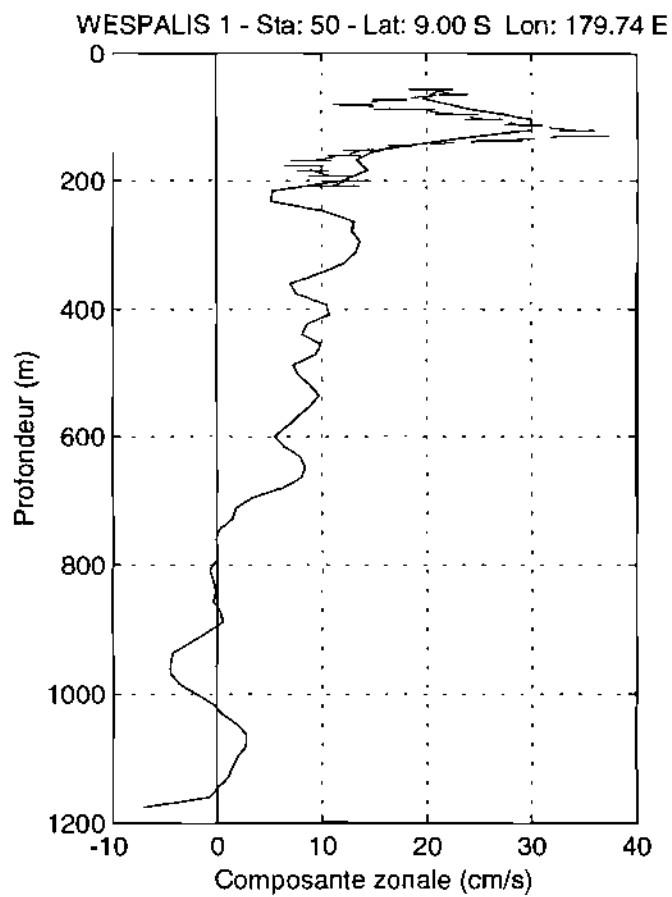
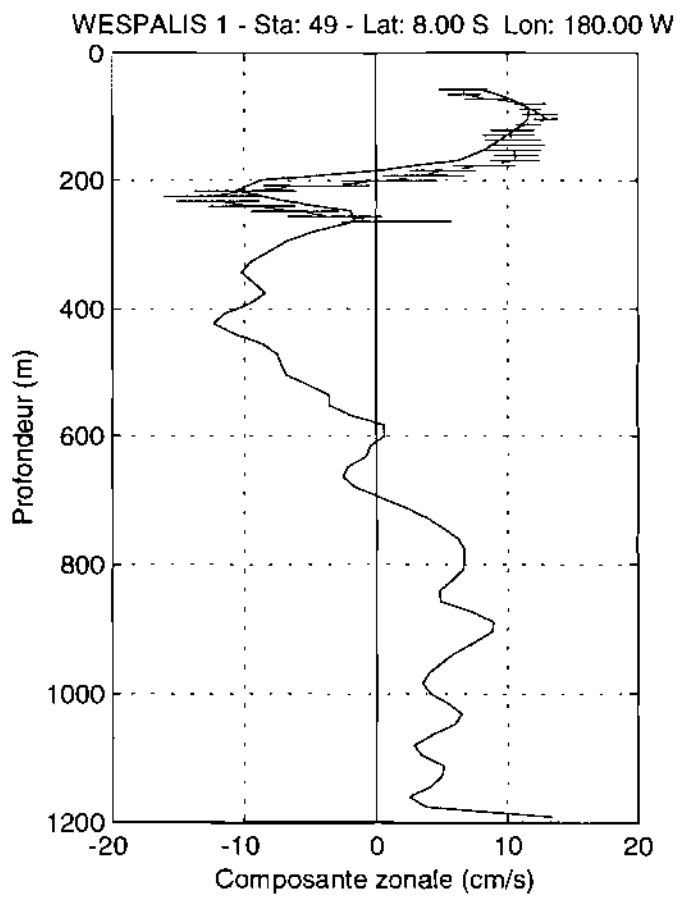
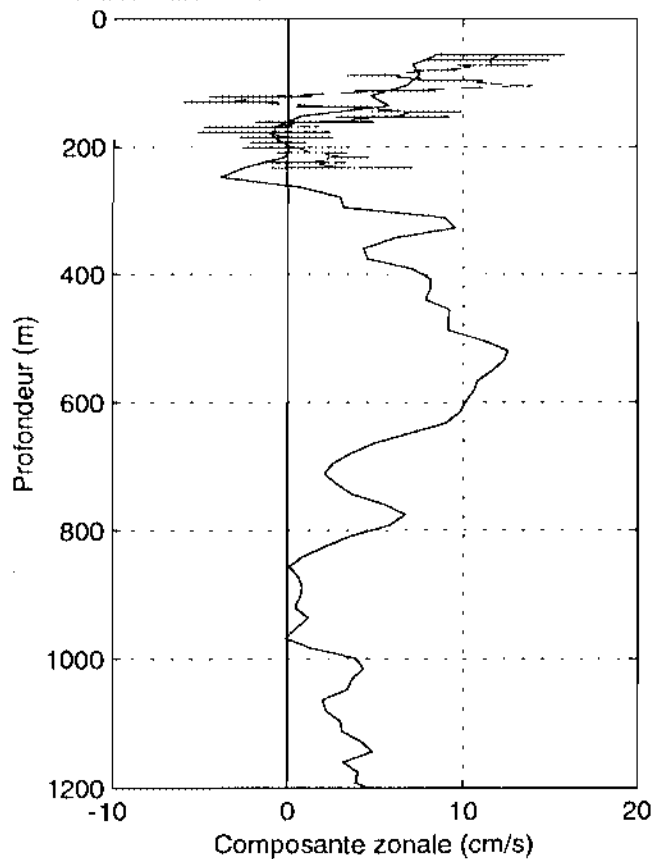
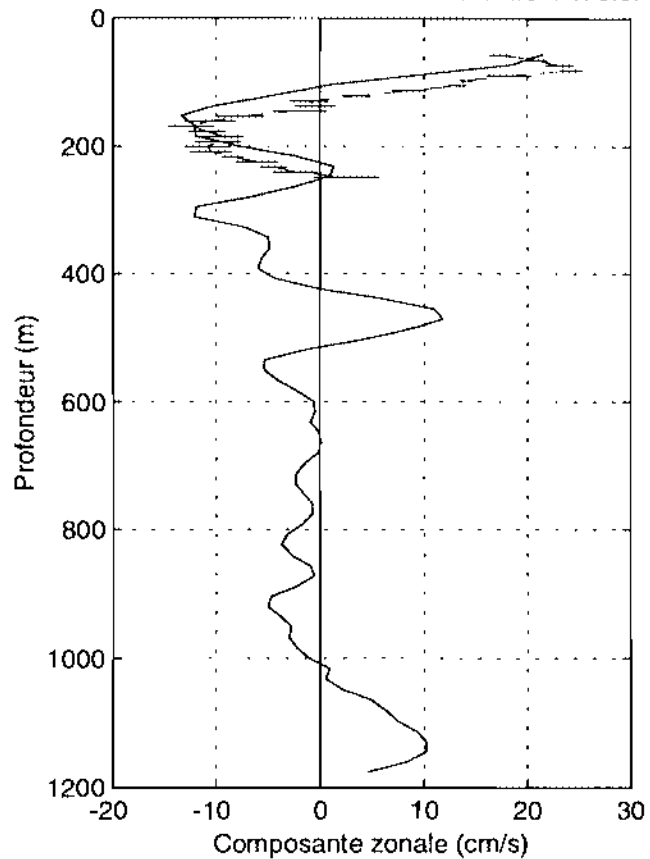


Figure 118

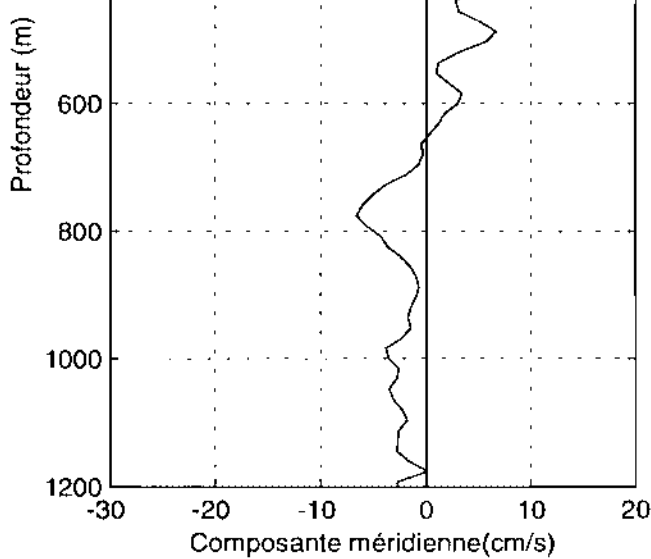
WESPALIS 1 - Sta: 51 - Lat: 10.01 S Lon: 179.33 E



WESPALIS 1 - Sta: 52 - Lat: 11.00 S Lon: 178.97 E



WESPALIS 1 - Sta: 51 - Lat: 10.01 S Lon: 179.33 E



WESPALIS 1 - Sta: 52 - Lat: 11.00 S Lon: 178.97 E

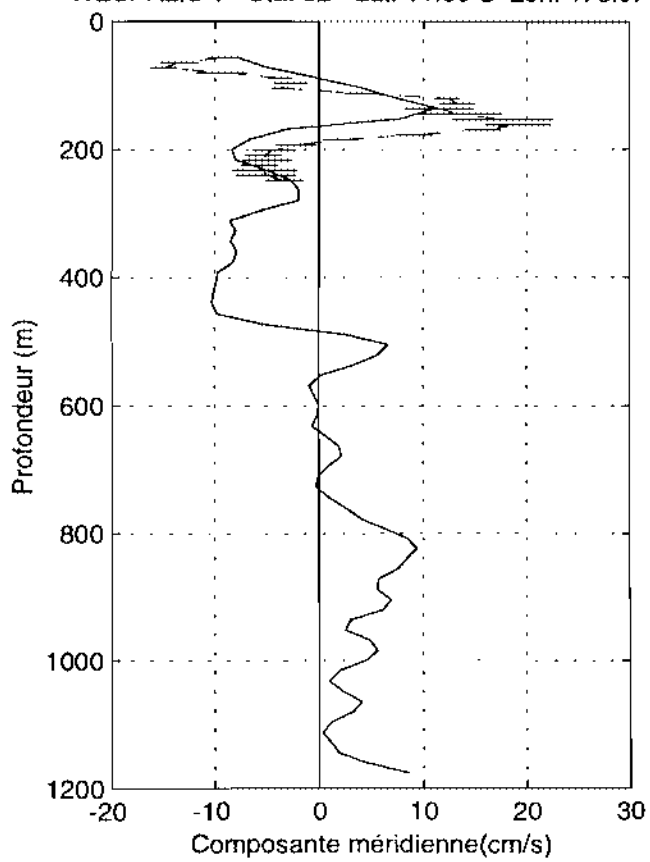
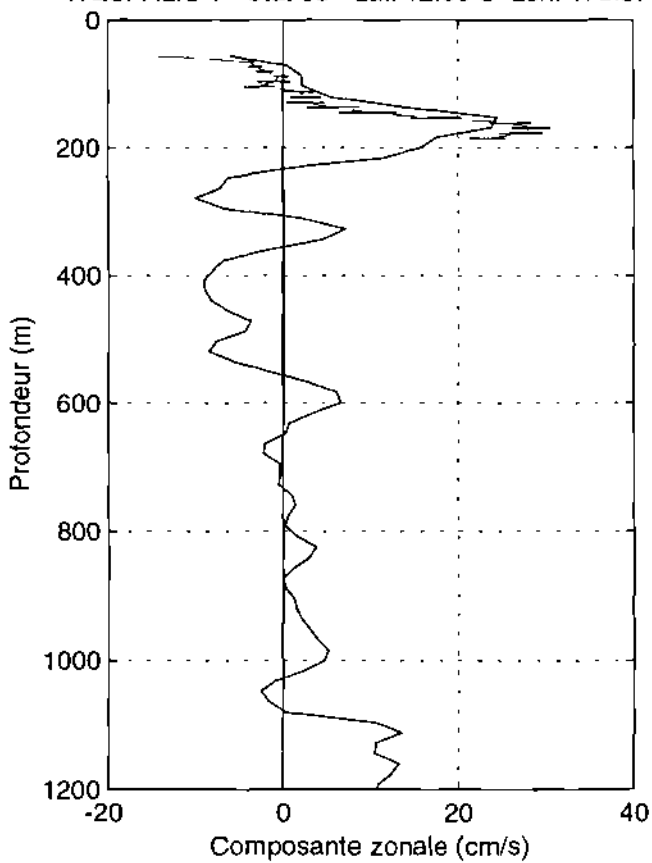
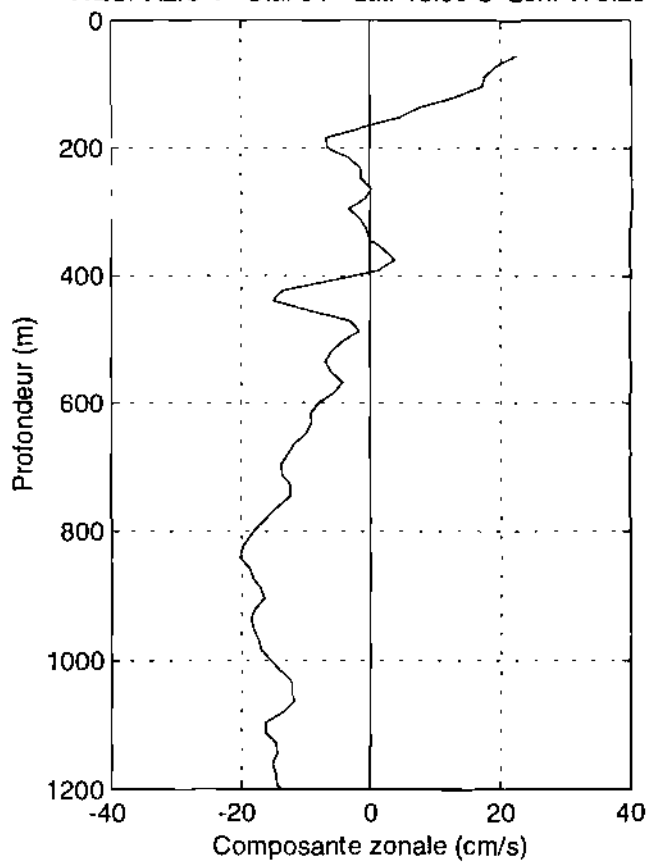


Figure 119

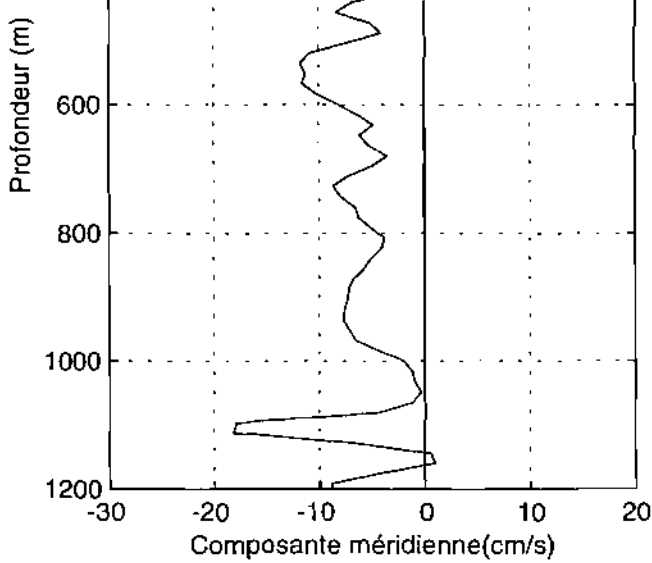
WESPALIS 1 - Sta: 53 - Lat: 12.00 S Lon: 178.57 E



WESPALIS 1 - Sta: 54 - Lat: 13.00 S Lon: 178.20 E



WESPALIS 1 - Sta: 53 - Lat: 12.00 S Lon: 178.57 E



WESPALIS 1 - Sta: 54 - Lat: 13.00 S Lon: 178.20 E

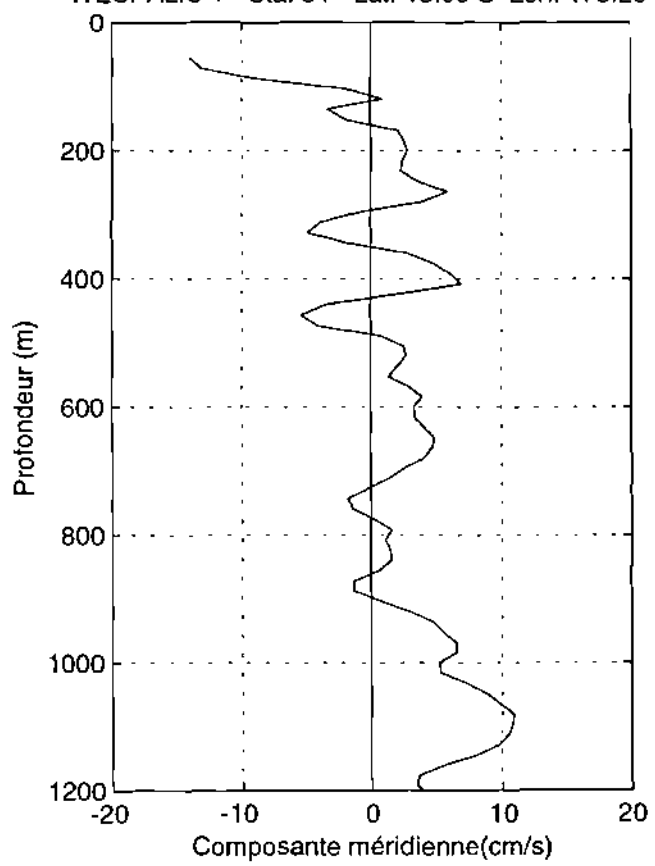


Figure 120

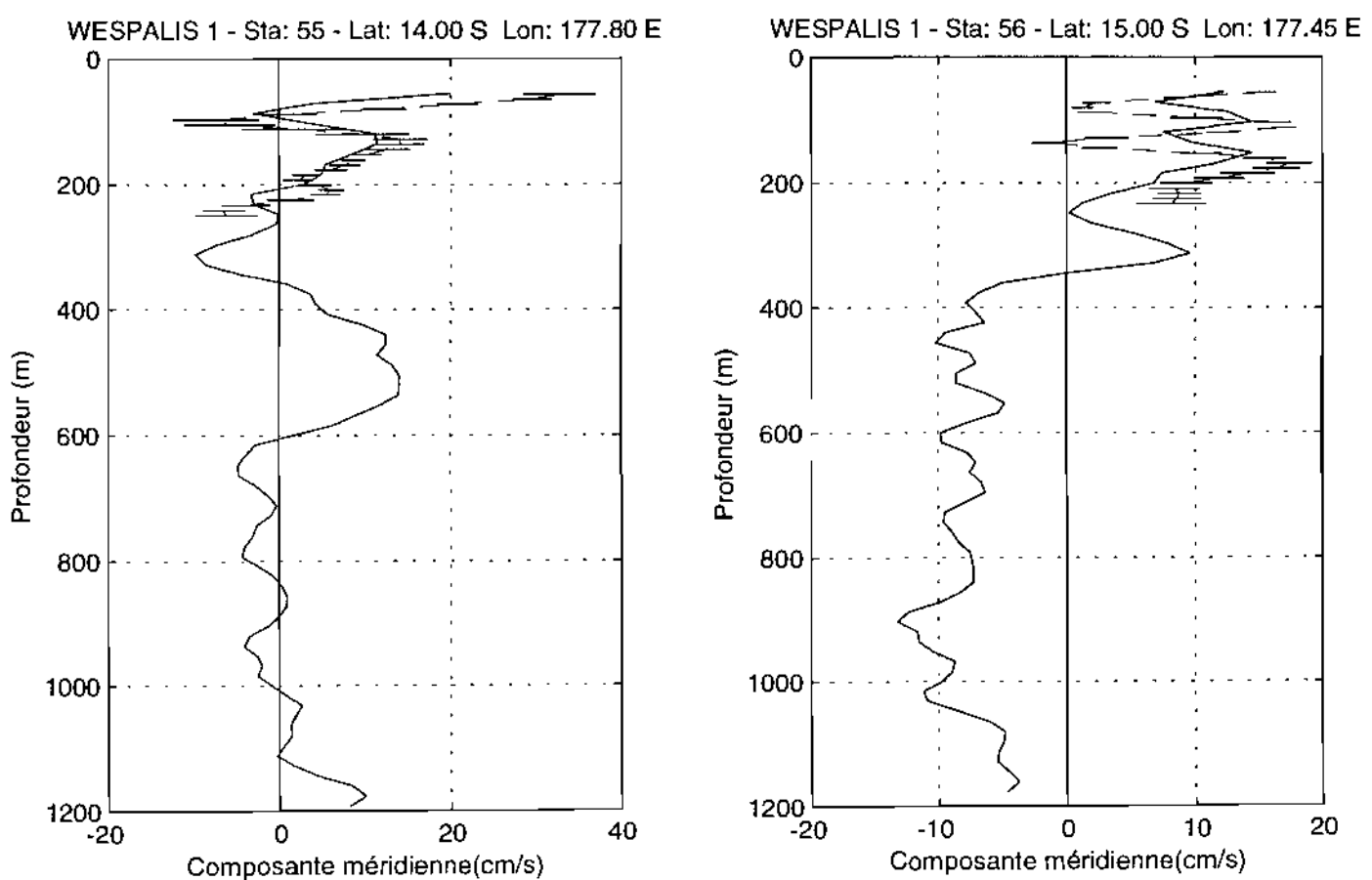
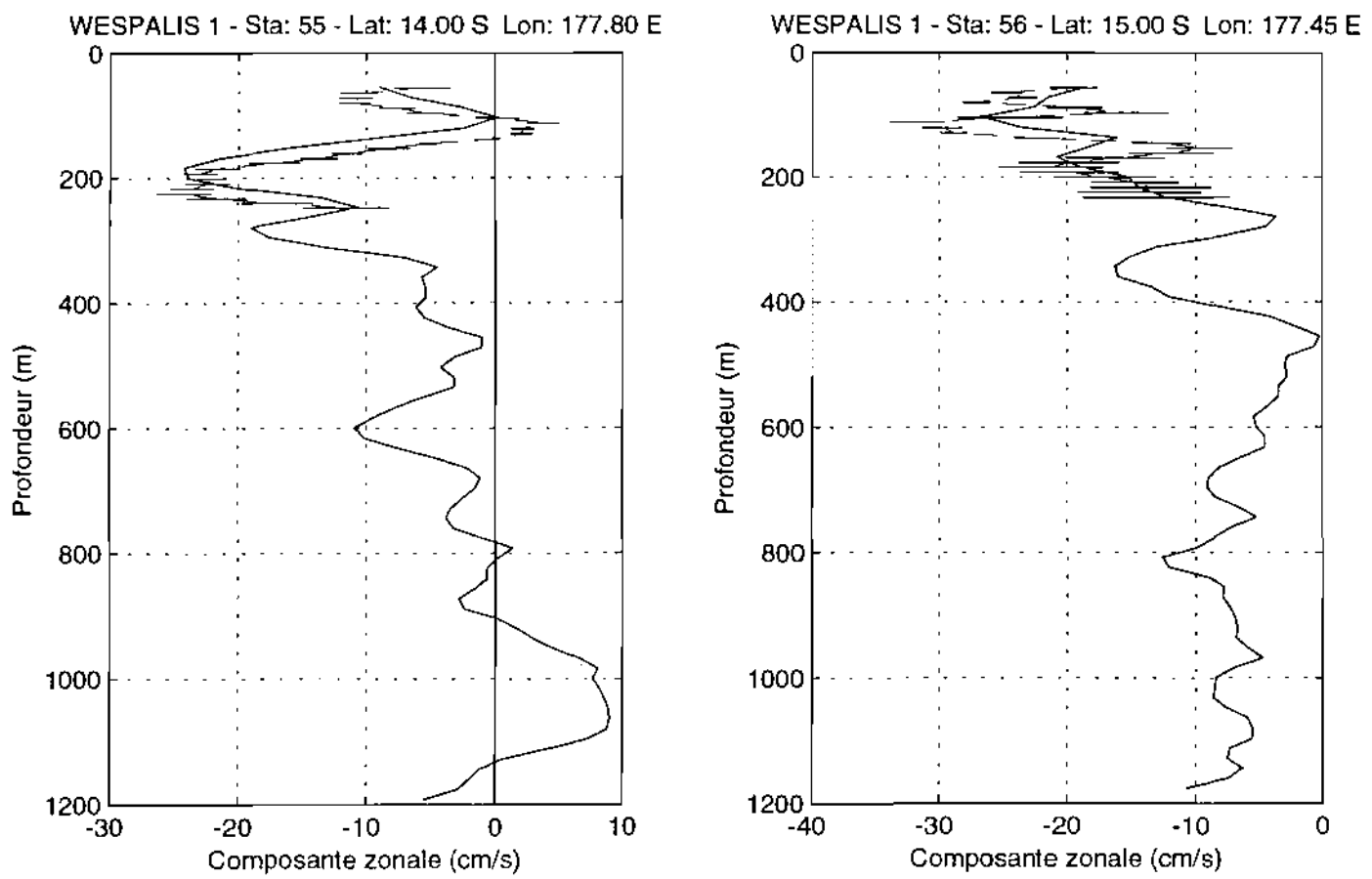


Figure 121

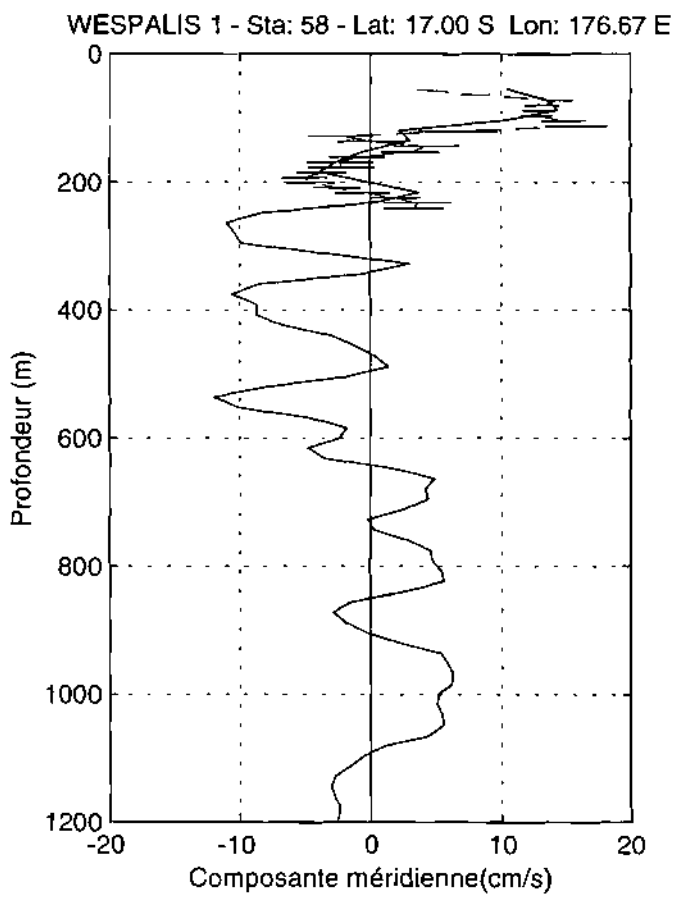
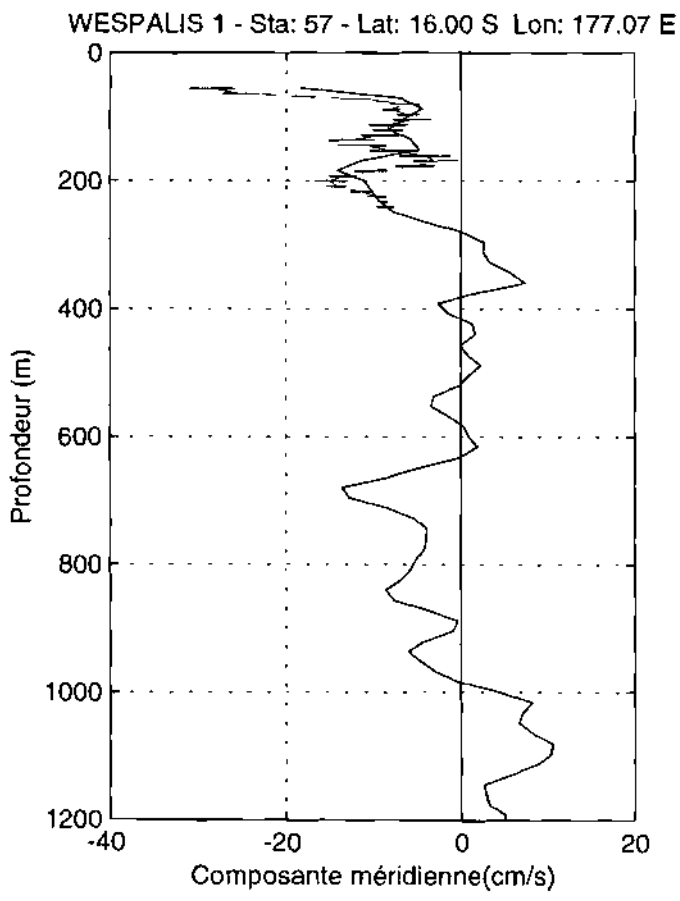
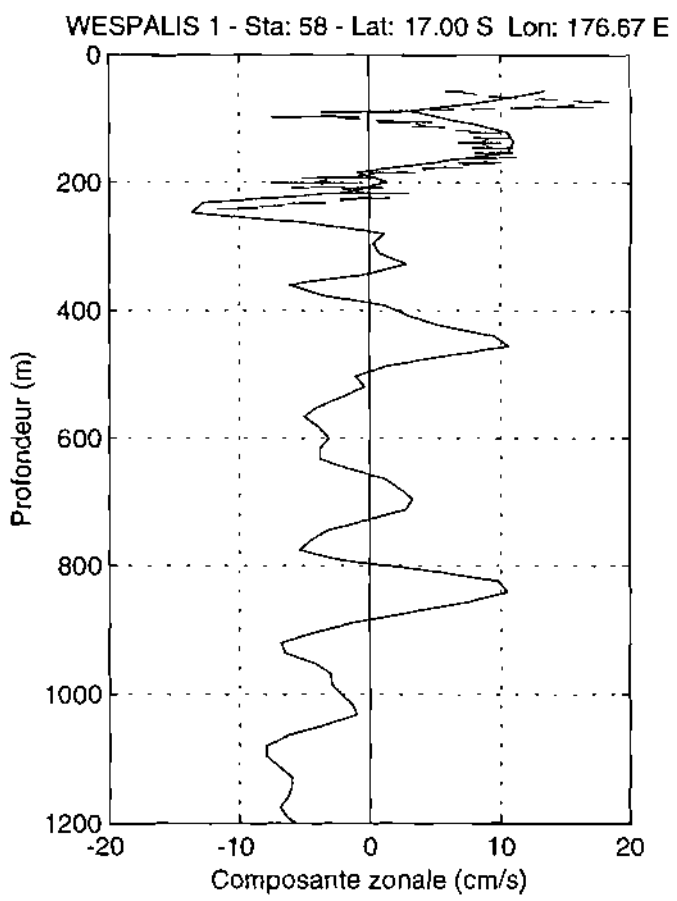
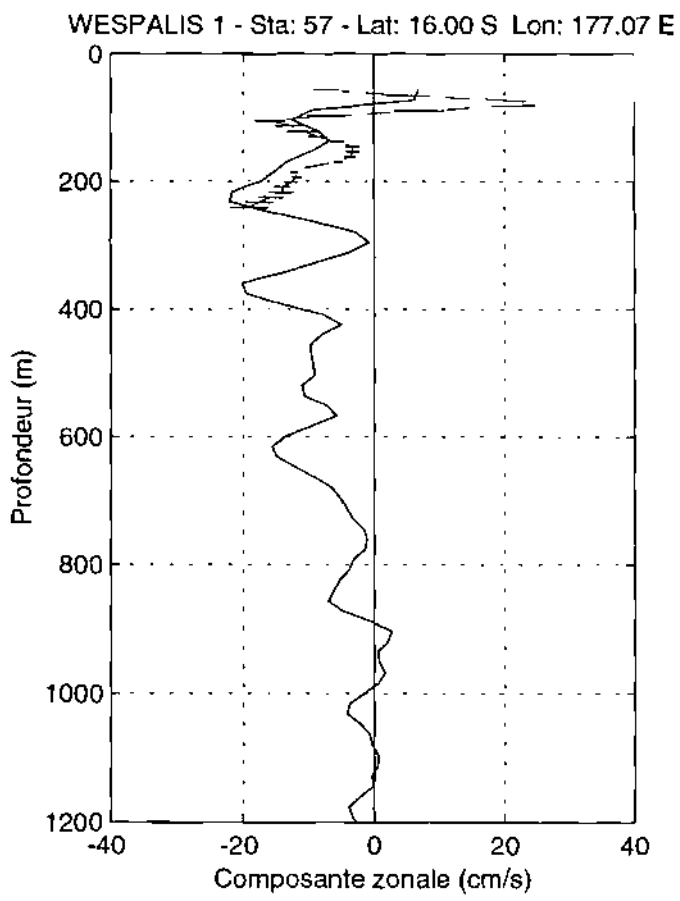
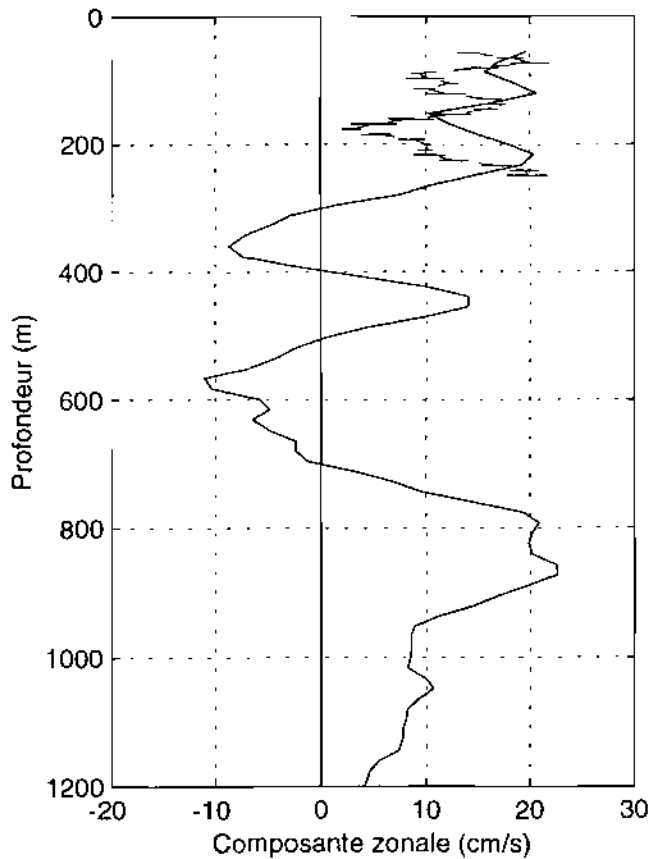
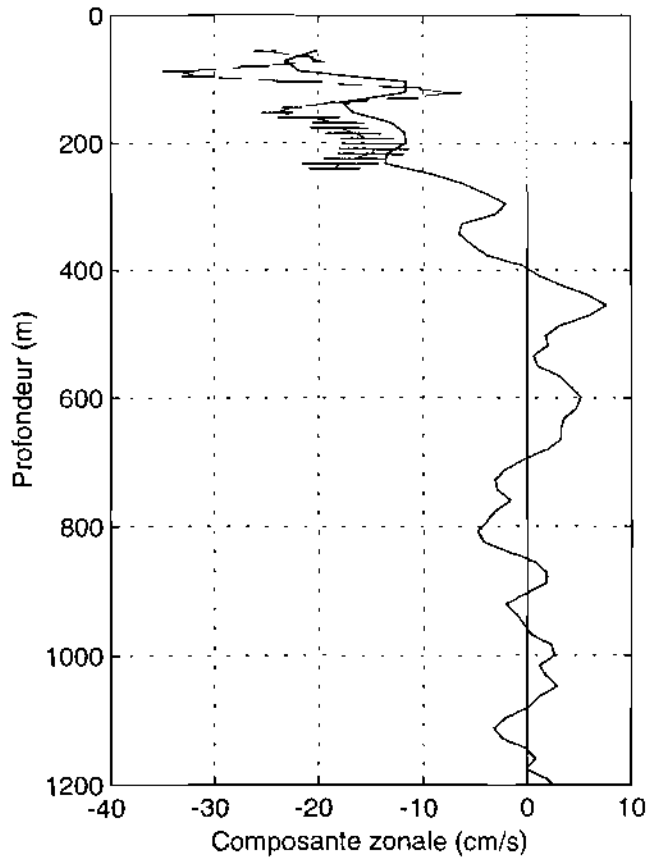


Figure 122

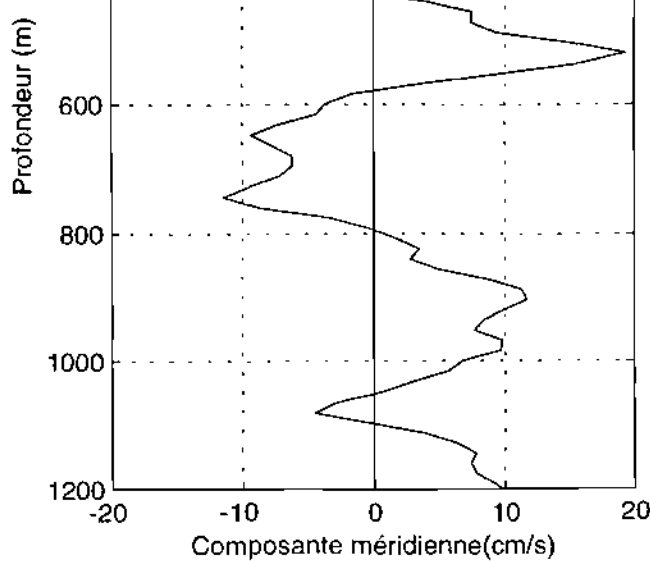
WESPALIS 1 - Sta: 59 - Lat: 18.01 S Lon: 176.67 E



WESPALIS 1 - Sta: 60 - Lat: 19.69 S Lon: 175.99 E



WESPALIS 1 - Sta: 59 - Lat: 18.01 S Lon: 176.67 E



WESPALIS 1 - Sta: 60 - Lat: 19.69 S Lon: 175.99 E

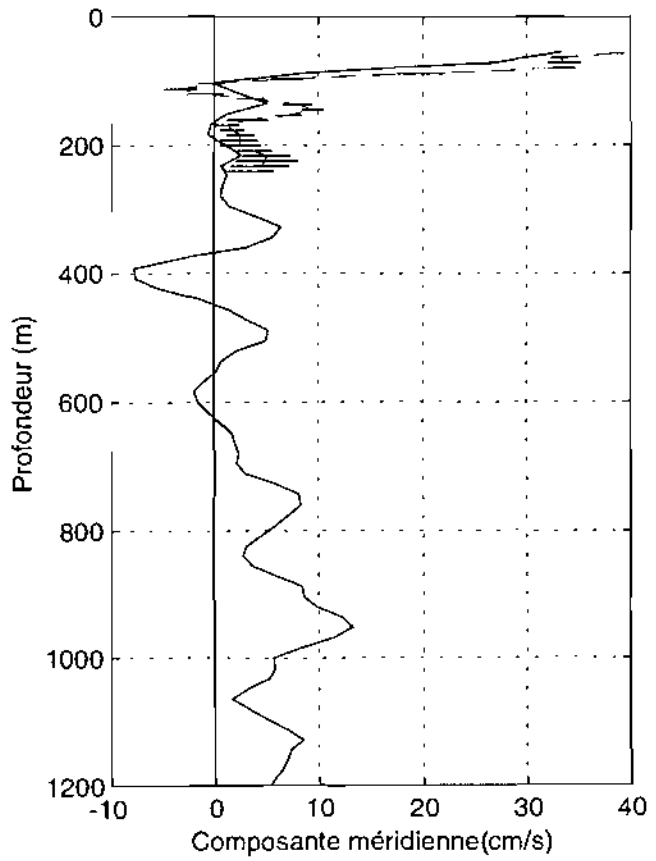
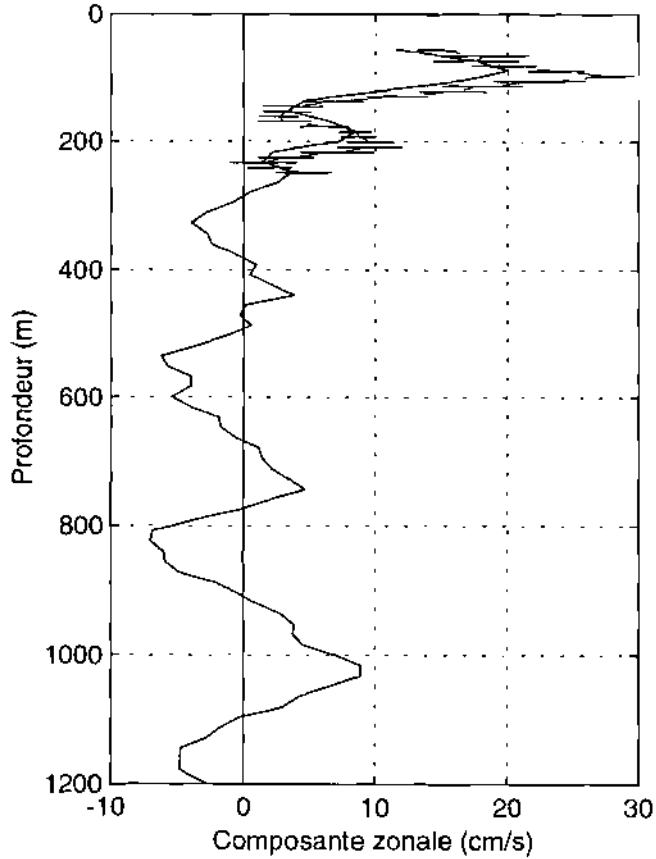
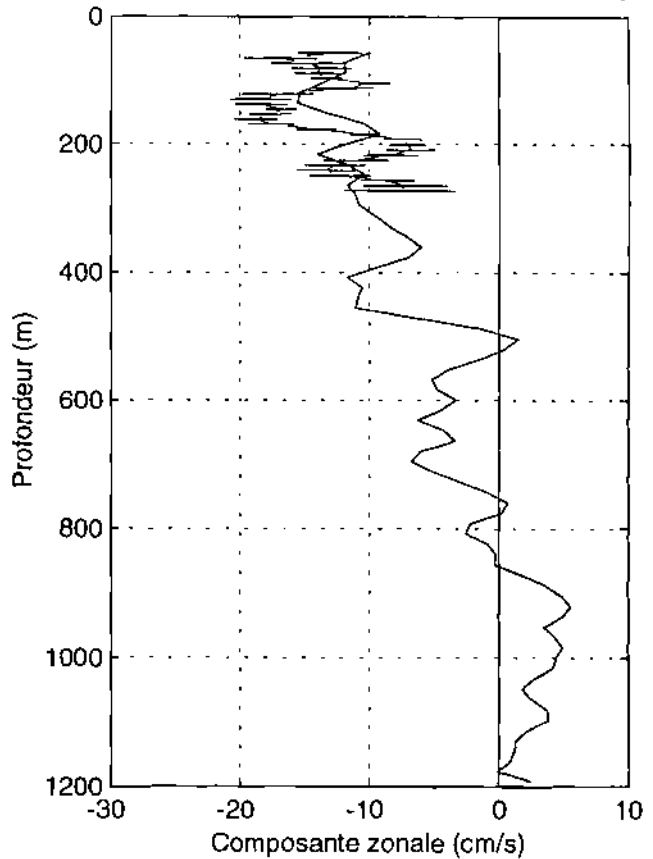


Figure 123

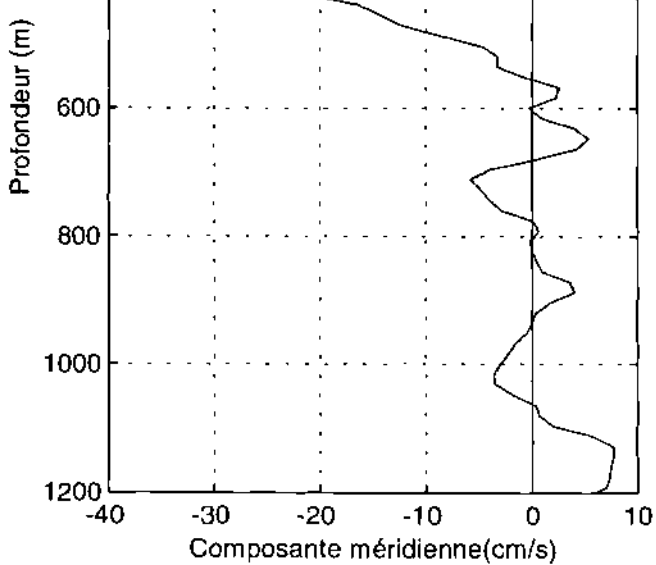
WESPALIS 1 - Sta: 61 - Lat: 20.28 S Lon: 175.00 E



WESPALIS 1 - Sta: 62 - Lat: 20.85 S Lon: 174.01 E



WESPALIS 1 - Sta: 61 - Lat: 20.28 S Lon: 175.00 E



WESPALIS 1 - Sta: 62 - Lat: 20.85 S Lon: 174.01 E

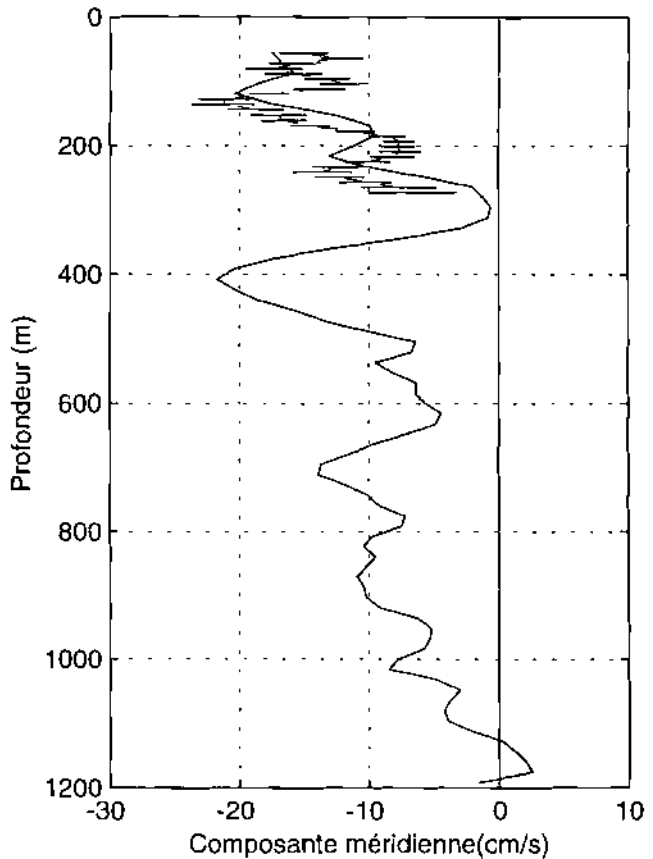
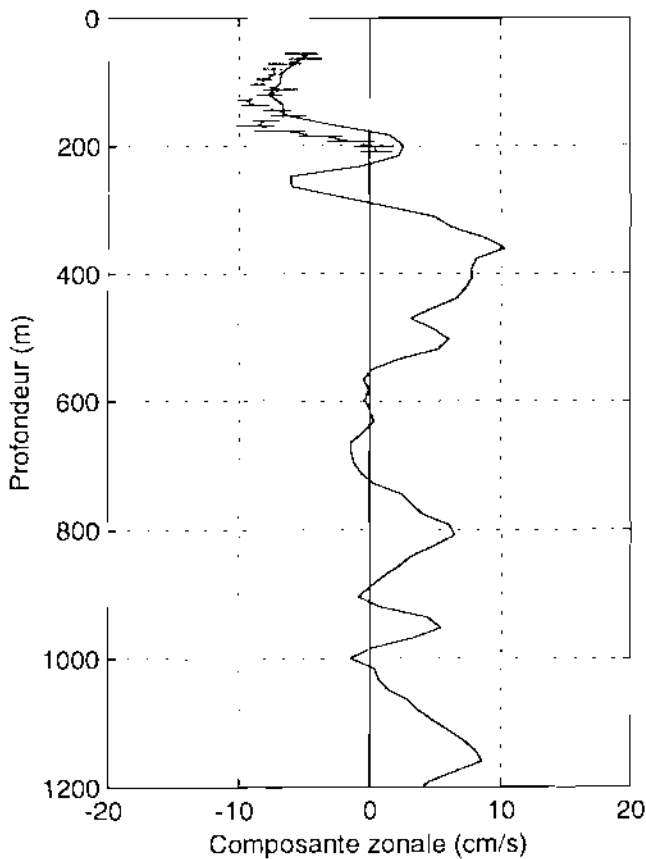
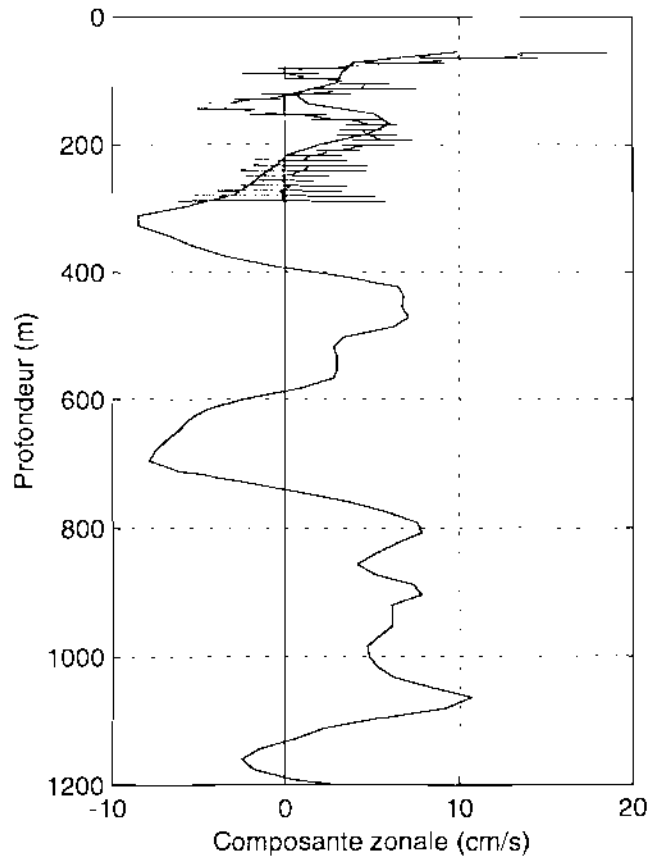


Figure 124

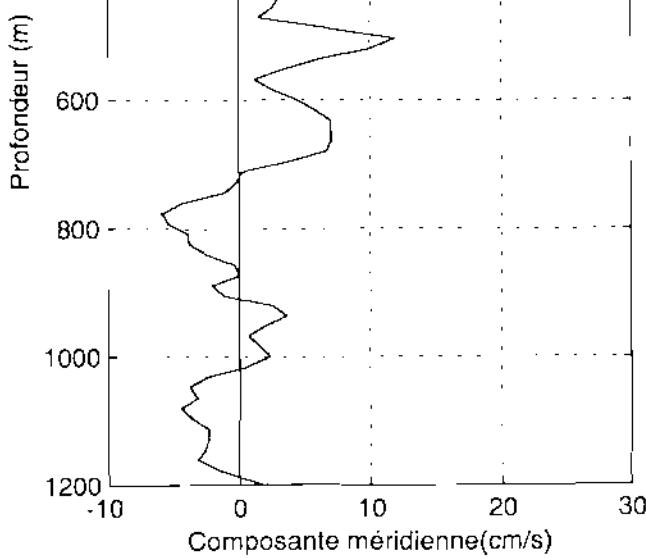
WESPALIS 1 - Sta: 63 - Lat: 21.42 S Lon: 173.00 E



WESPALIS 1 - Sta: 64 - Lat: 21.99 S Lon: 172.00 E



WESPALIS 1 - Sta: 63 - Lat: 21.42 S Lon: 173.00 E



WESPALIS 1 - Sta: 64 - Lat: 21.99 S Lon: 172.00 E

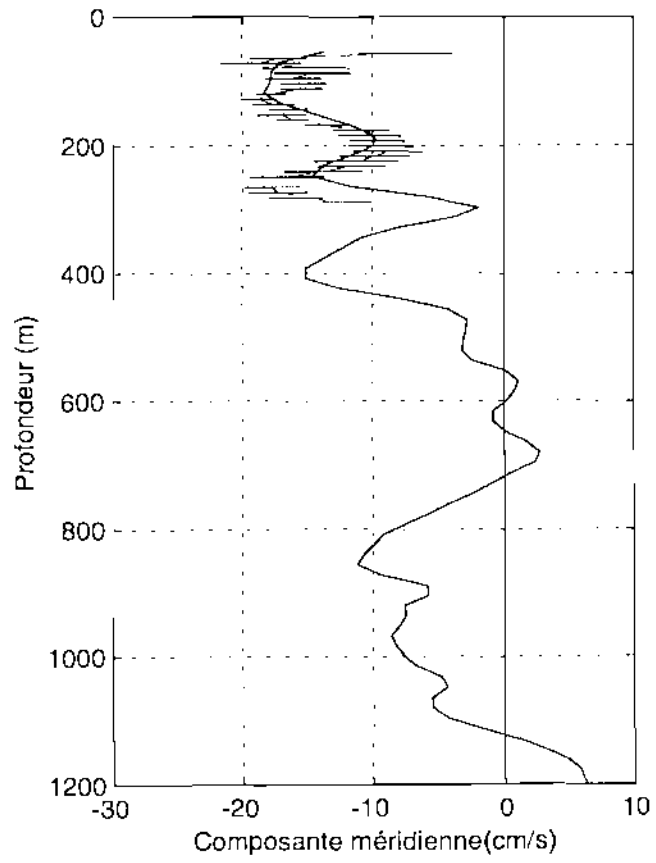
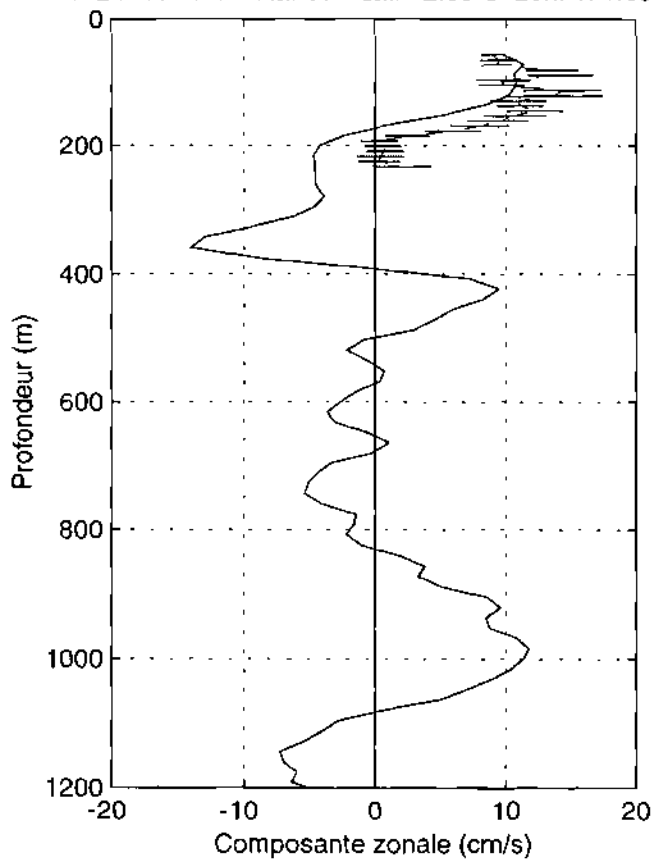
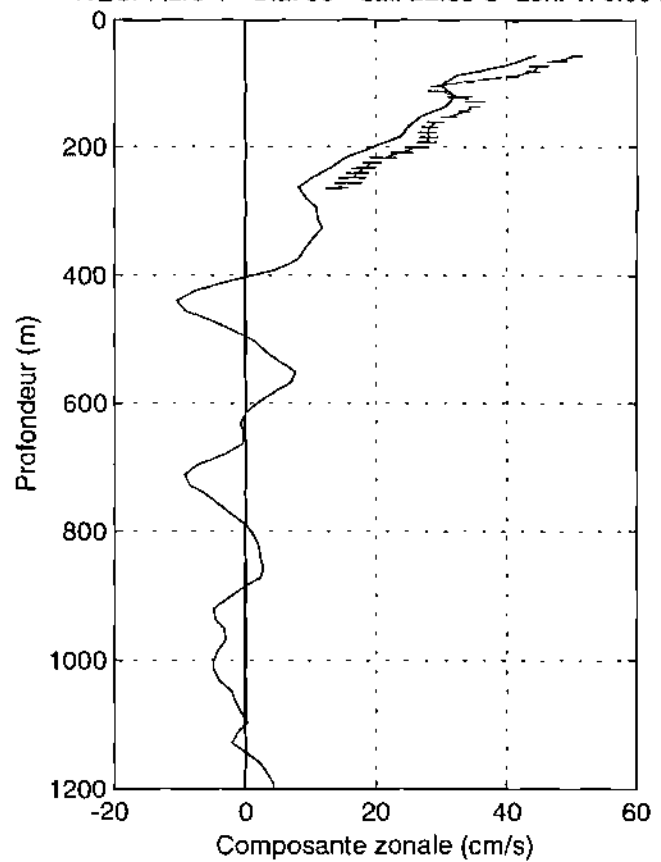


Figure 125

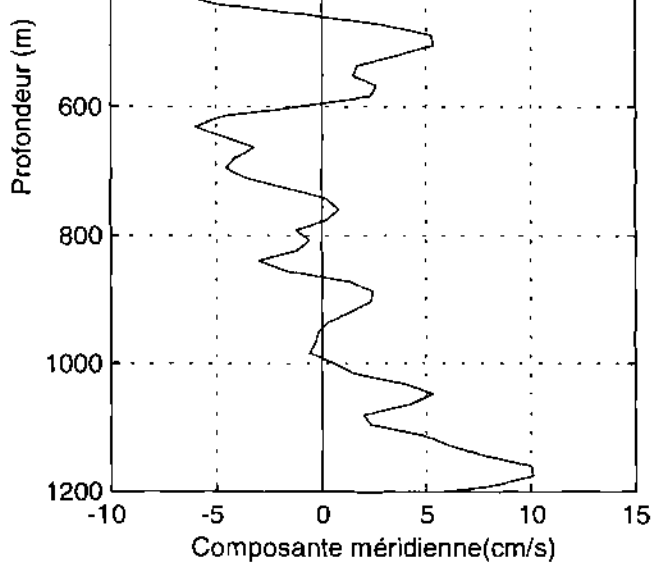
WESPALIS 1 - Sta: 65 - Lat: 22.36 S Lon: 171.00 E



WESPALIS 1 - Sta: 66 - Lat: 22.35 S Lon: 170.00 E



WESPALIS 1 - Sta: 65 - Lat: 22.36 S Lon: 171.00 E



WESPALIS 1 - Sta: 66 - Lat: 22.35 S Lon: 170.00 E

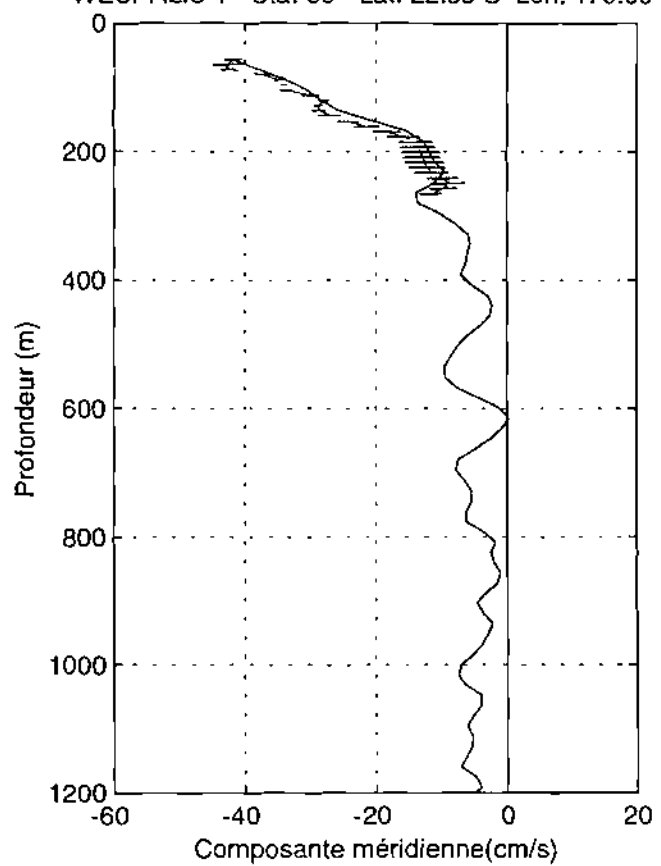
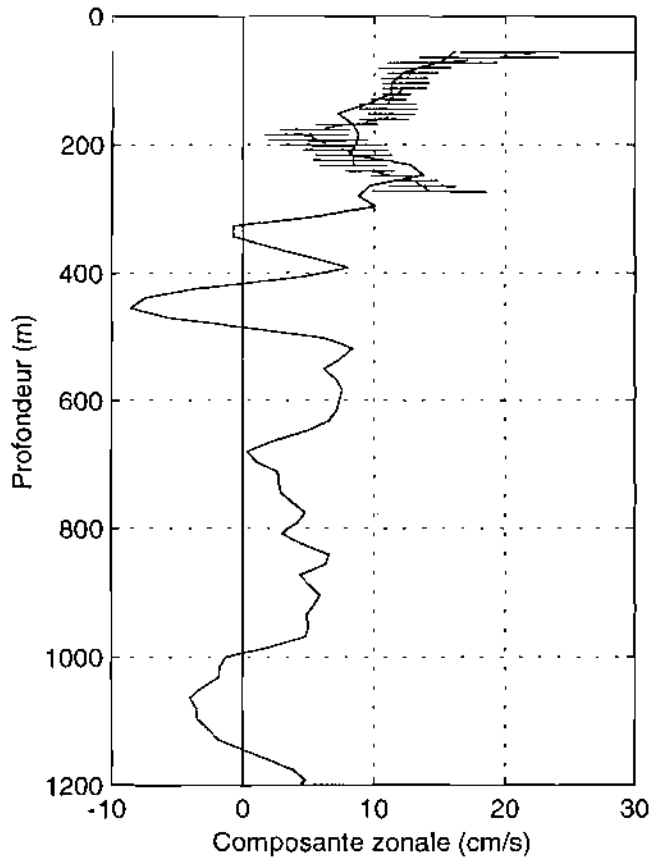
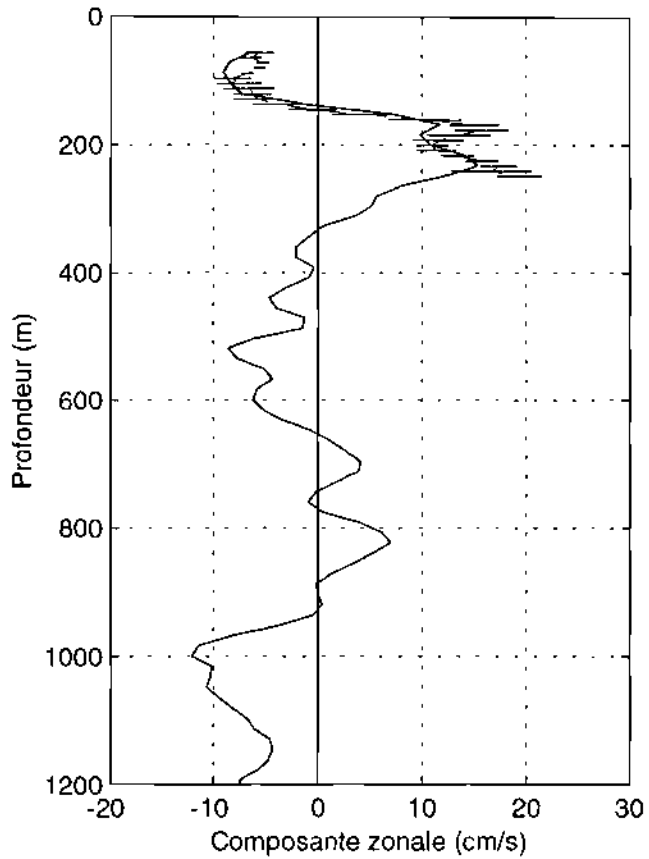


Figure 126

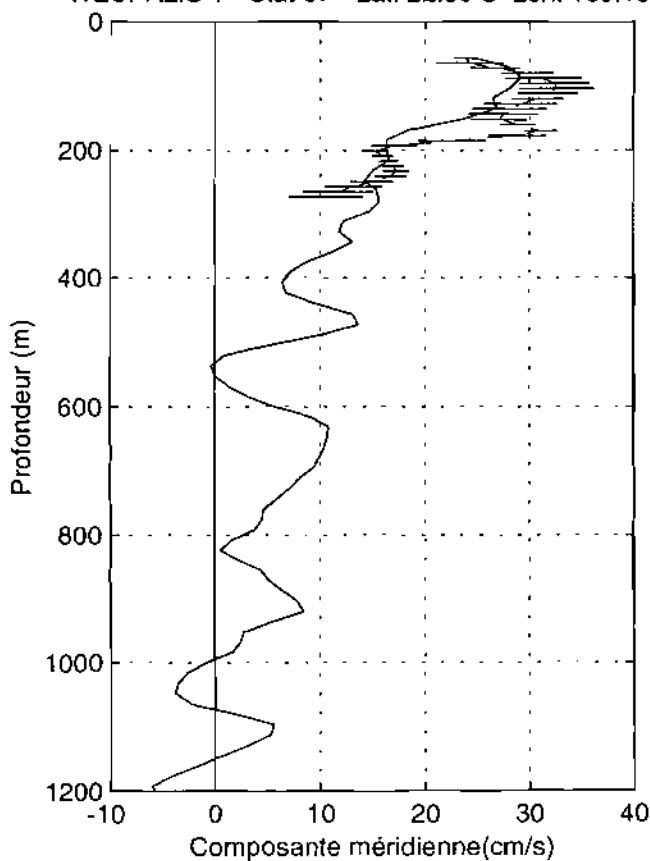
WESPALIS 1 - Sta: 67 - Lat: 22.36 S Lon: 169.13 E



WESPALIS 1 - Sta: 68 - Lat: 22.35 S Lon: 168.00 E



WESPALIS 1 - Sta: 67 - Lat: 22.36 S Lon: 169.13 E



WESPALIS 1 - Sta: 68 - Lat: 22.35 S Lon: 168.00 E

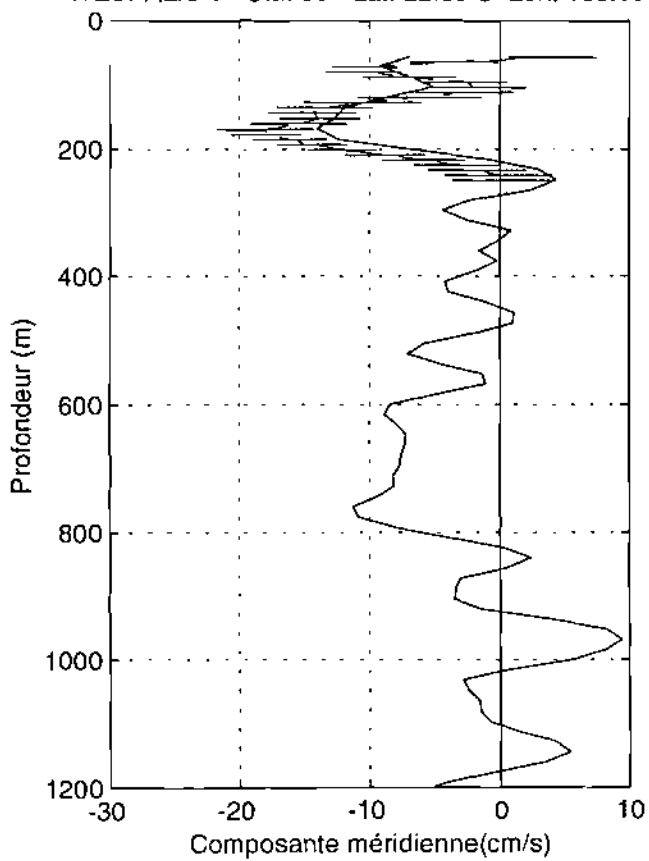


Figure 127

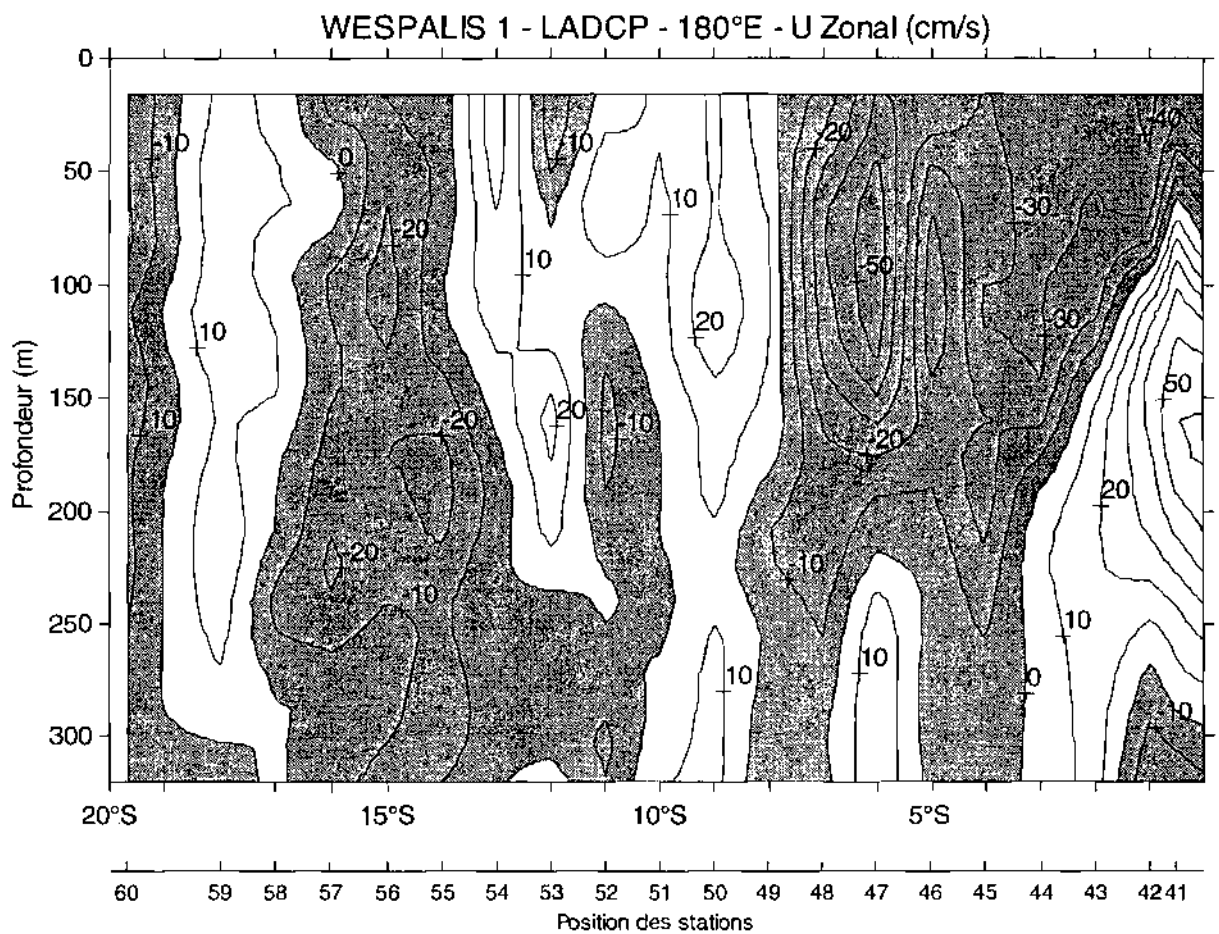
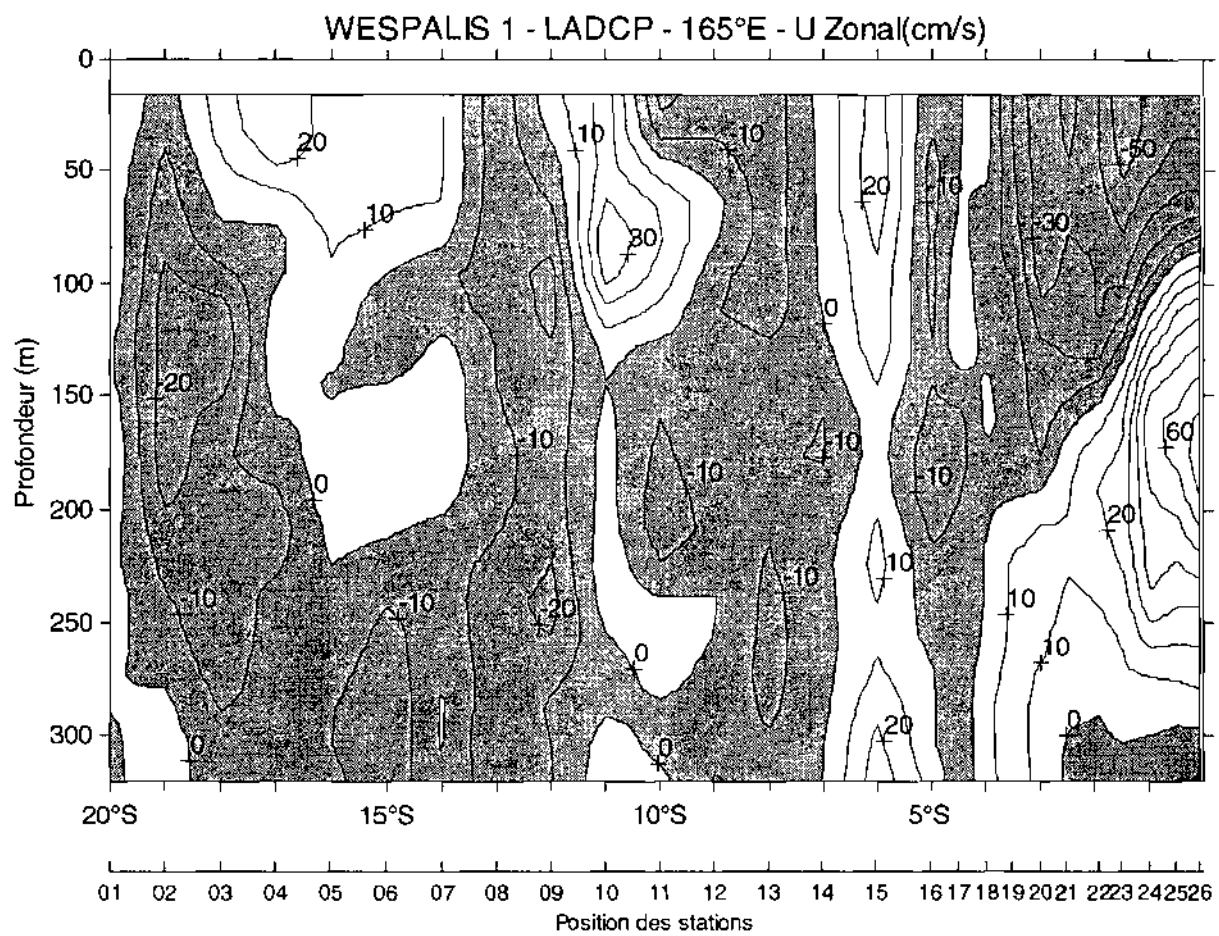


Figure 128

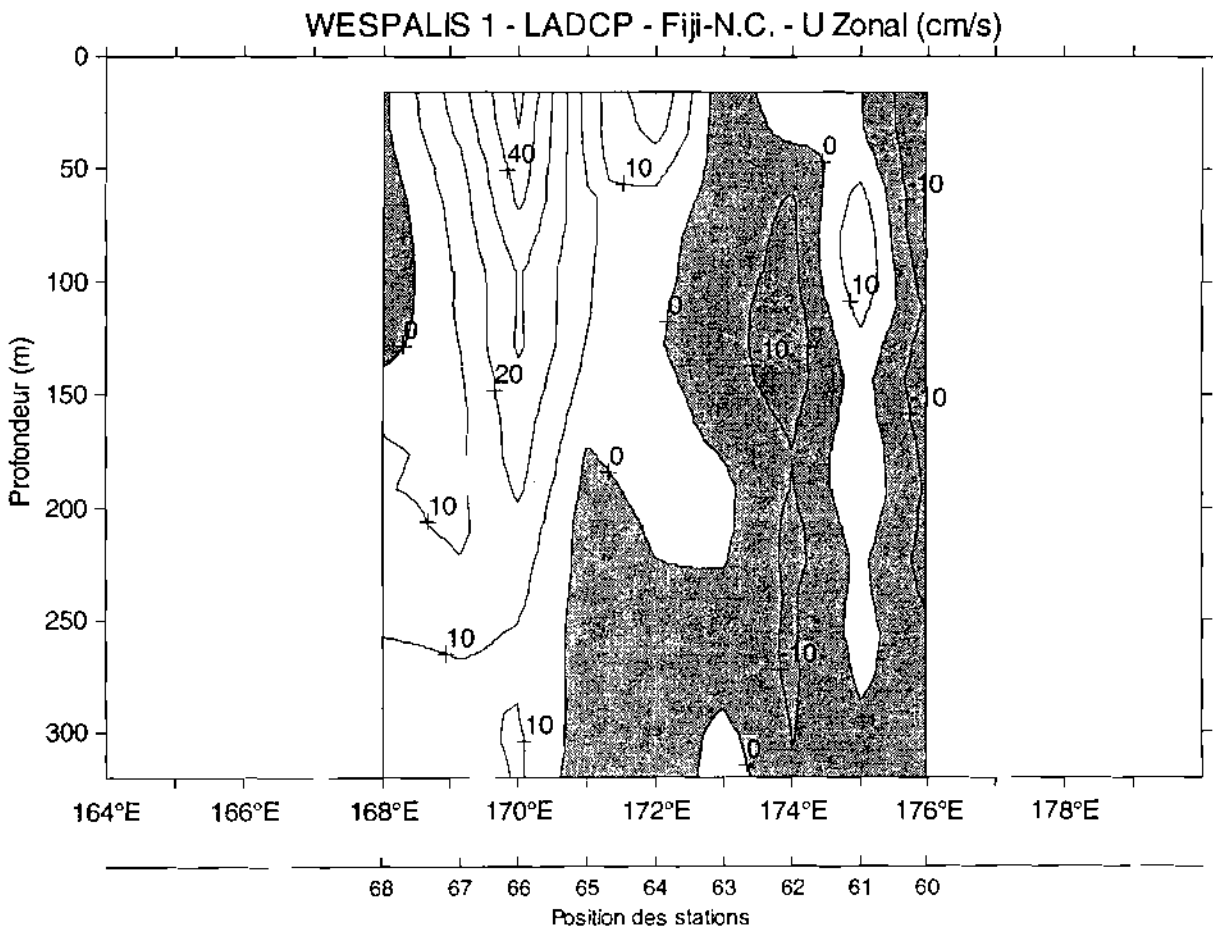
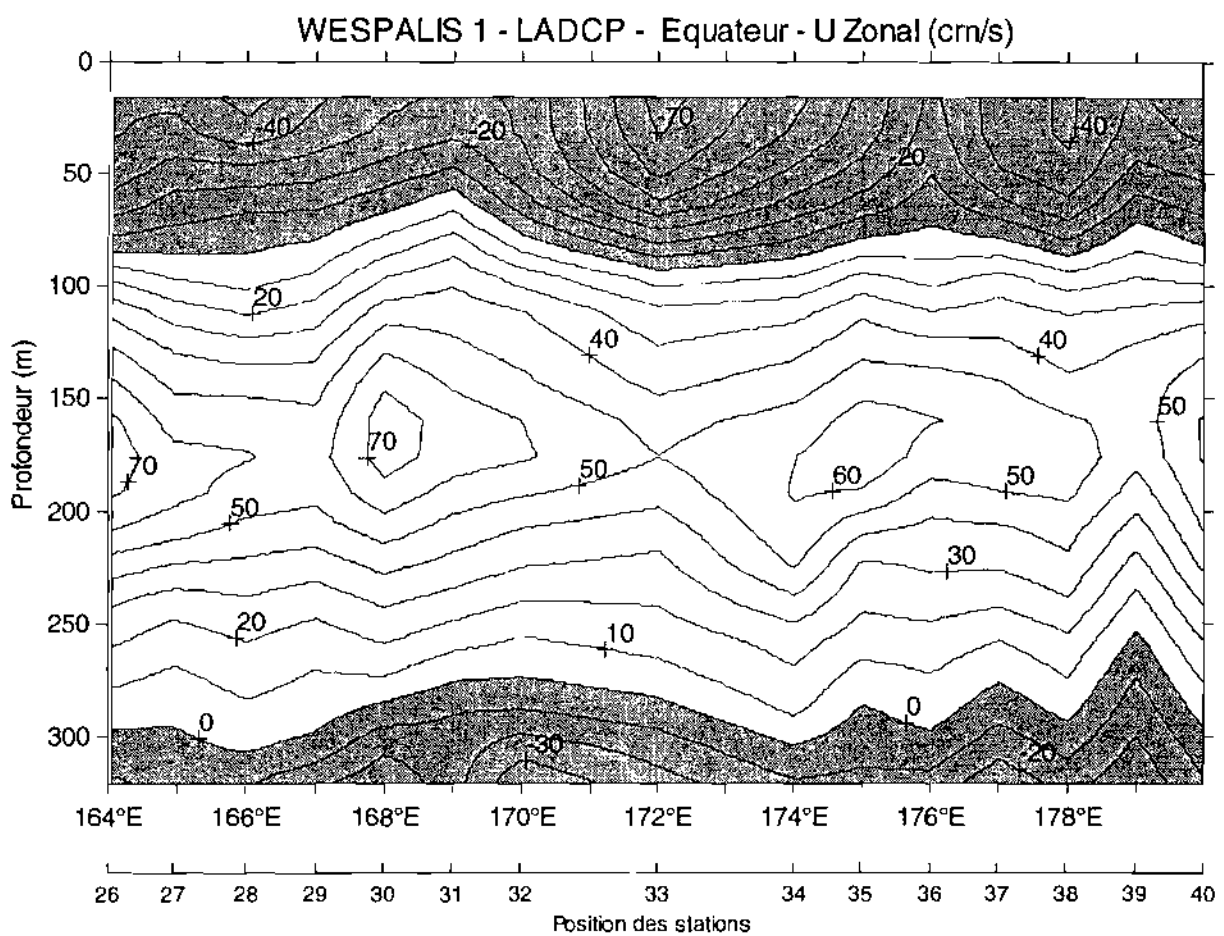
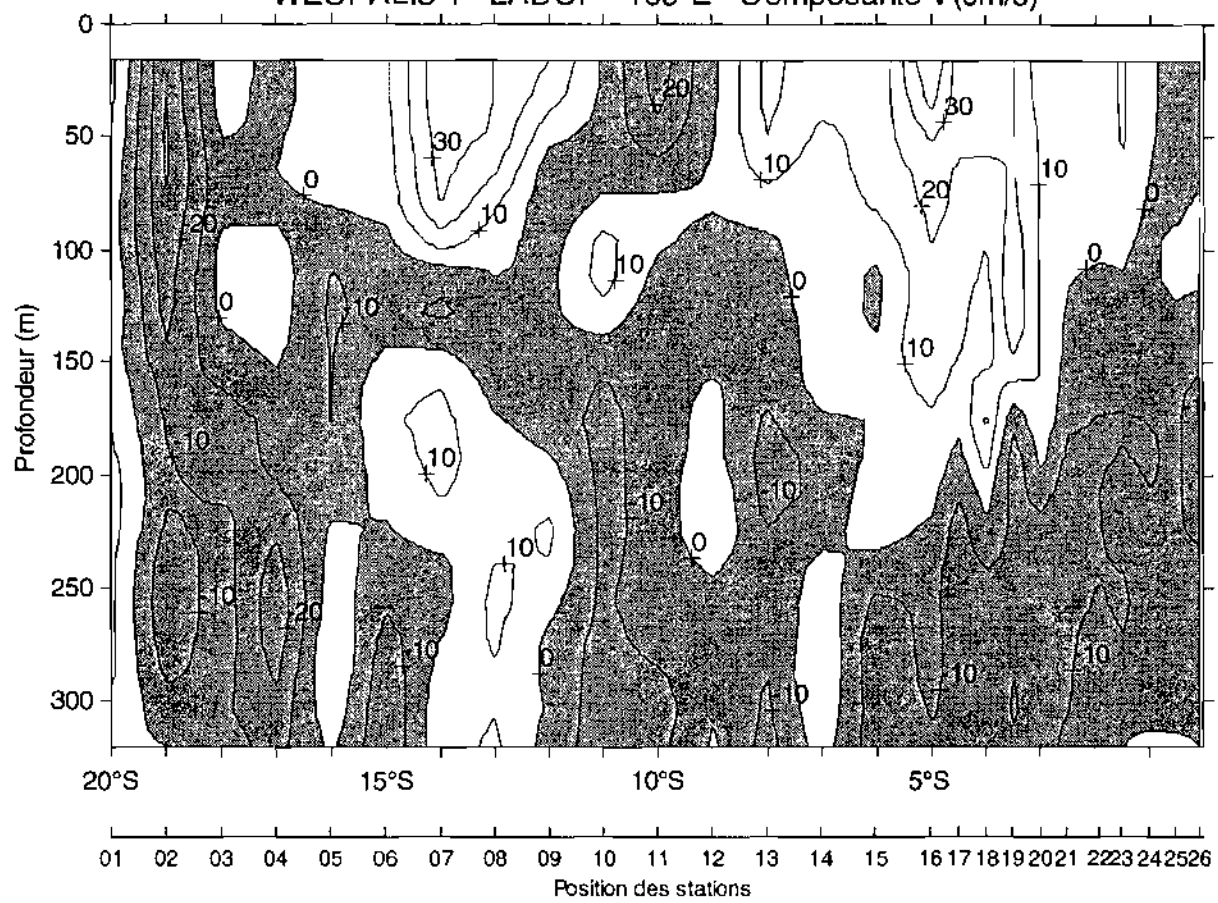


Figure 129

WESPALIS 1 - LADCP - 165°E - Composante V(cm/s)



WESPALIS 1 - LADCP - 180°E - Composante V (cm/s)

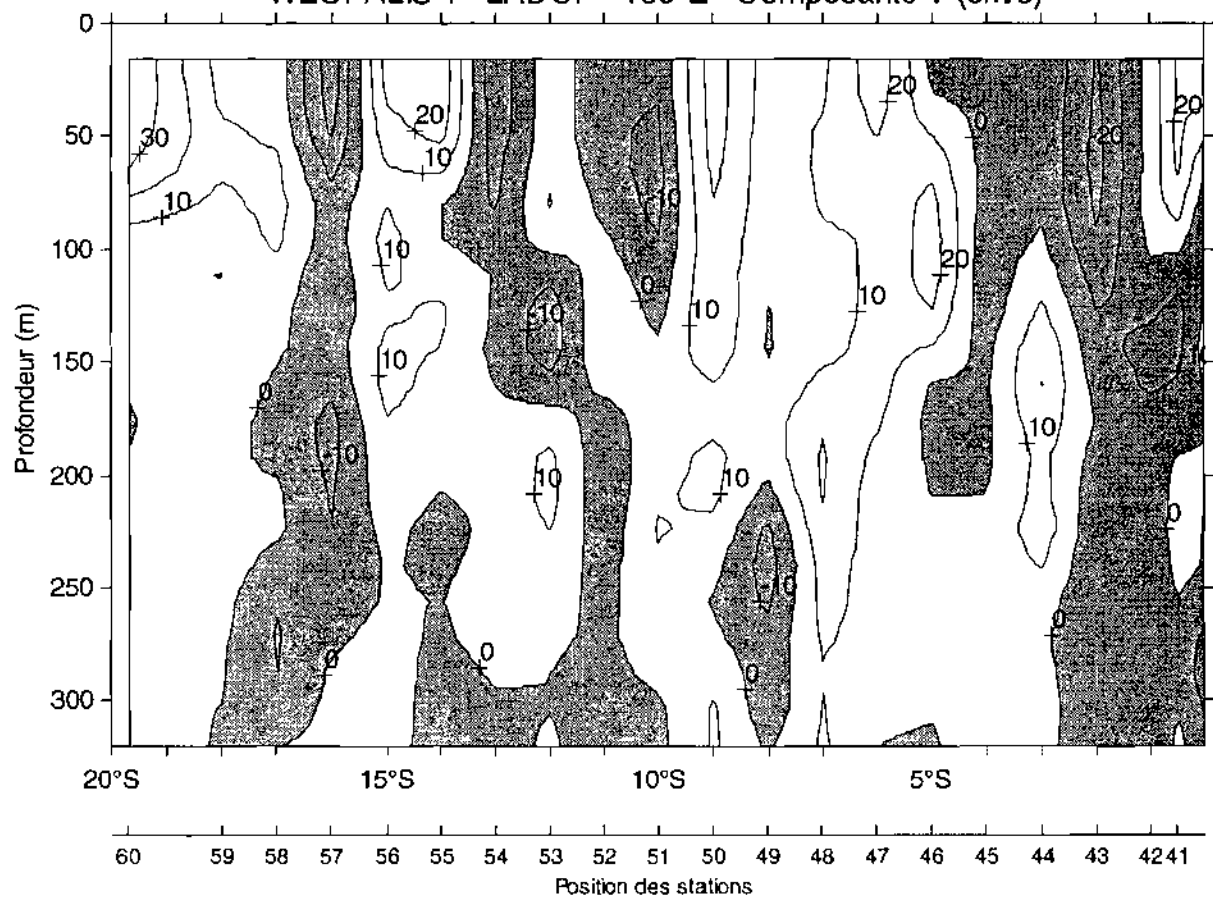


Figure 130

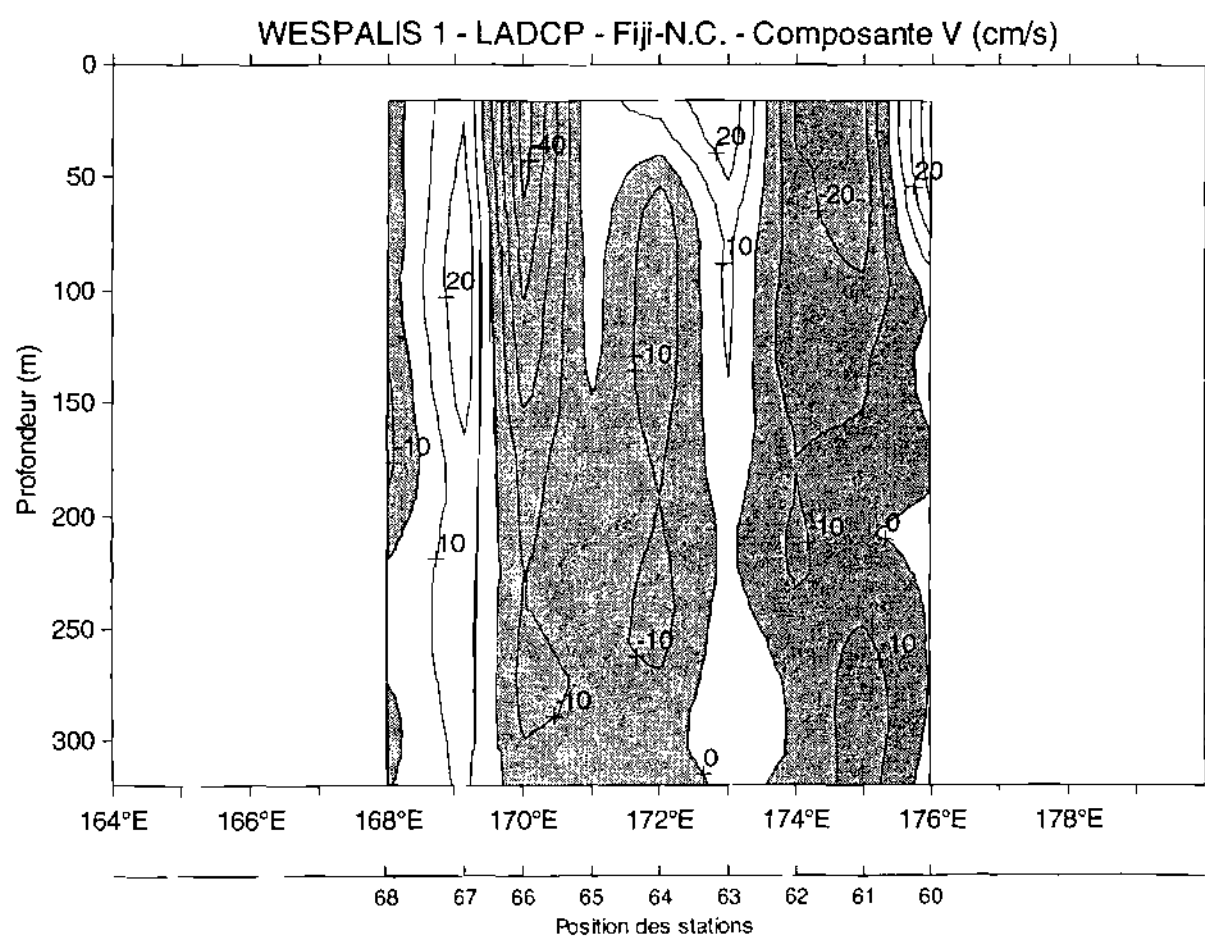
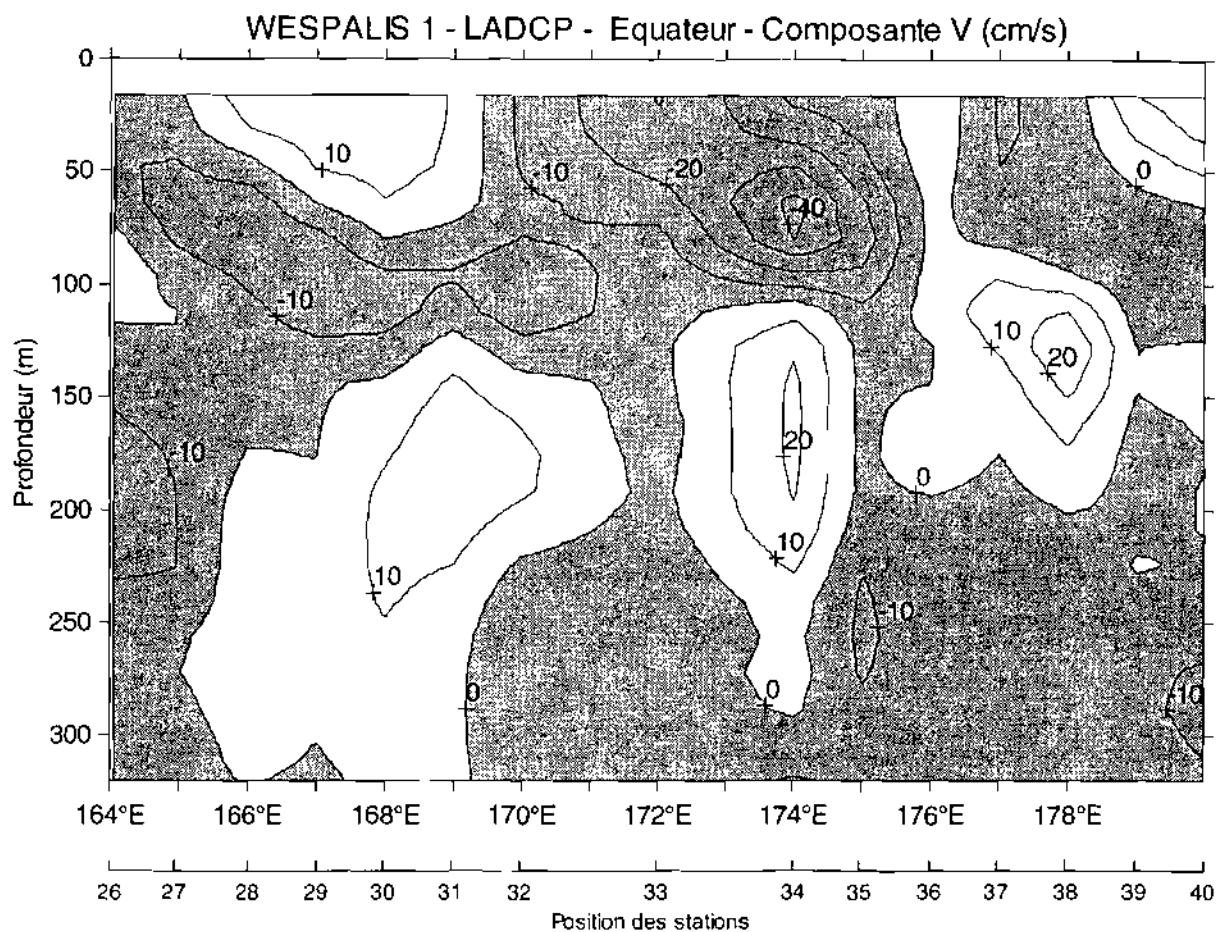


Figure 131

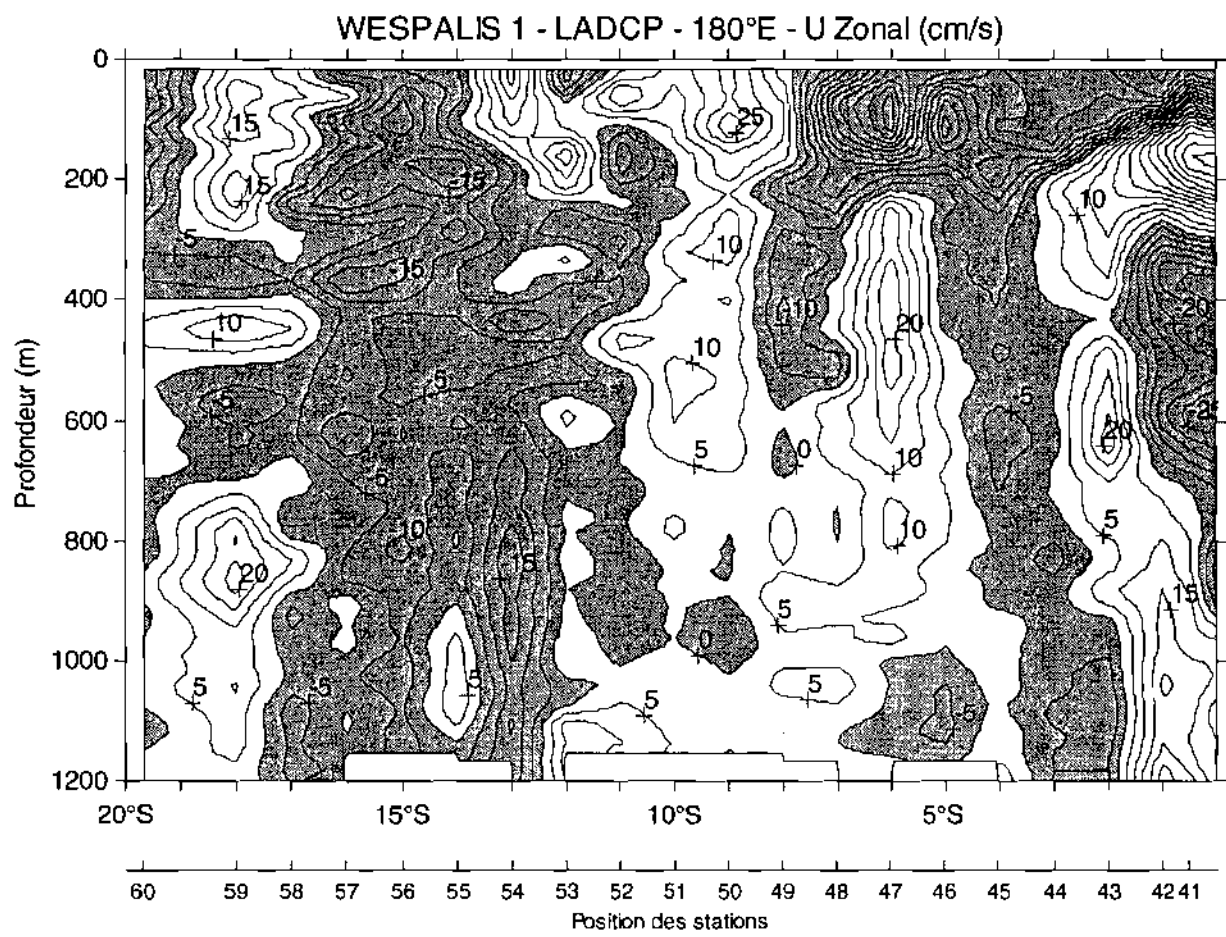
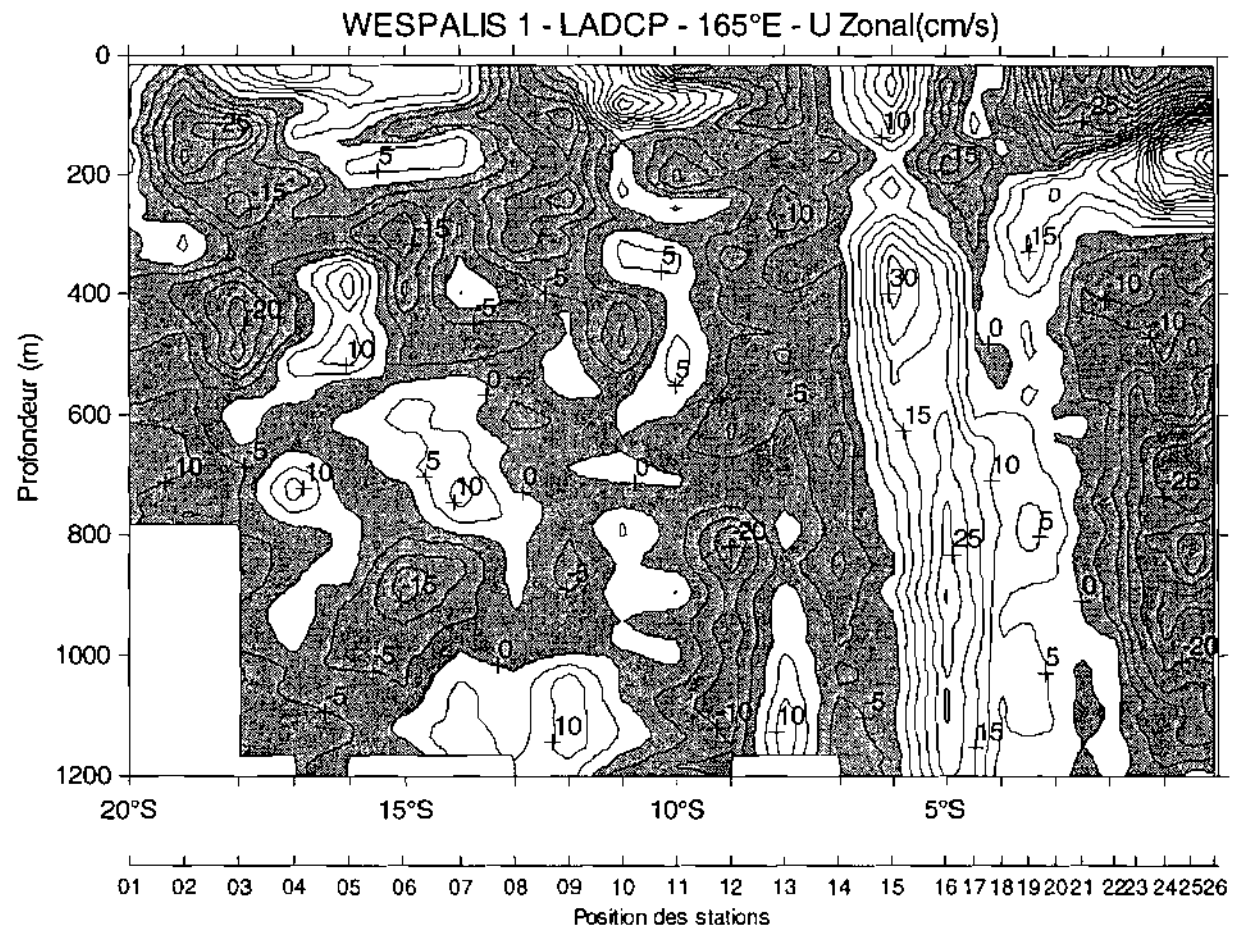


Figure 132

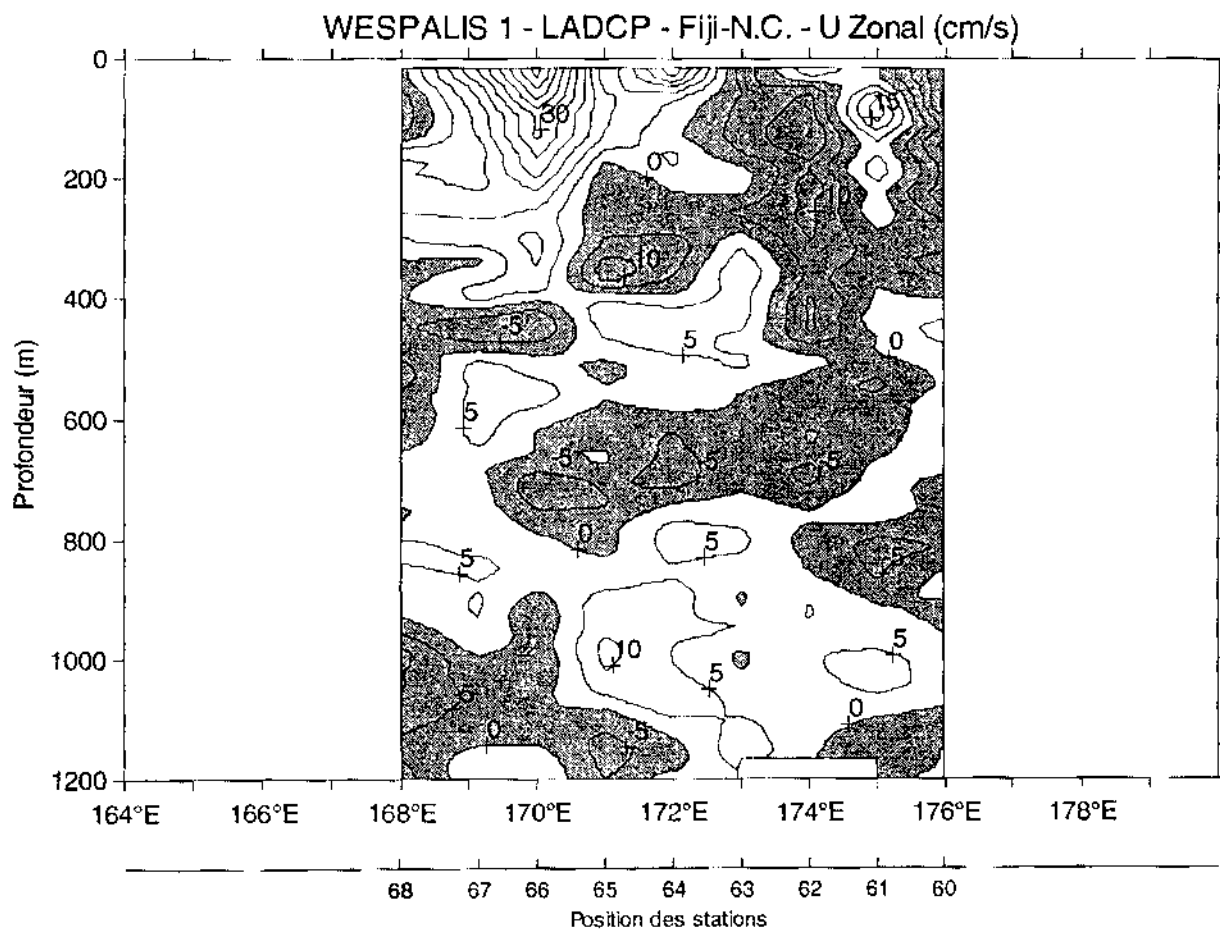
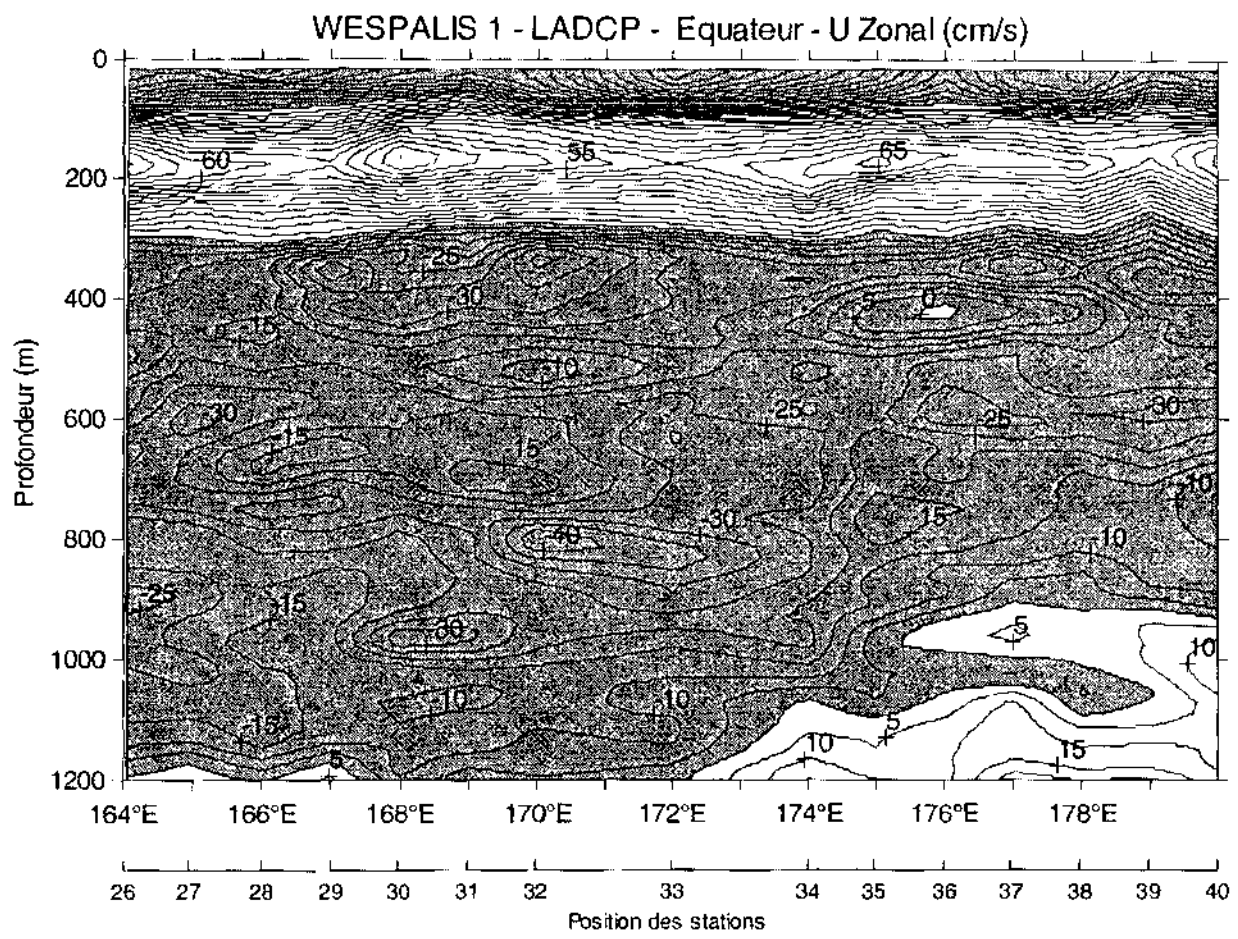


Figure 133

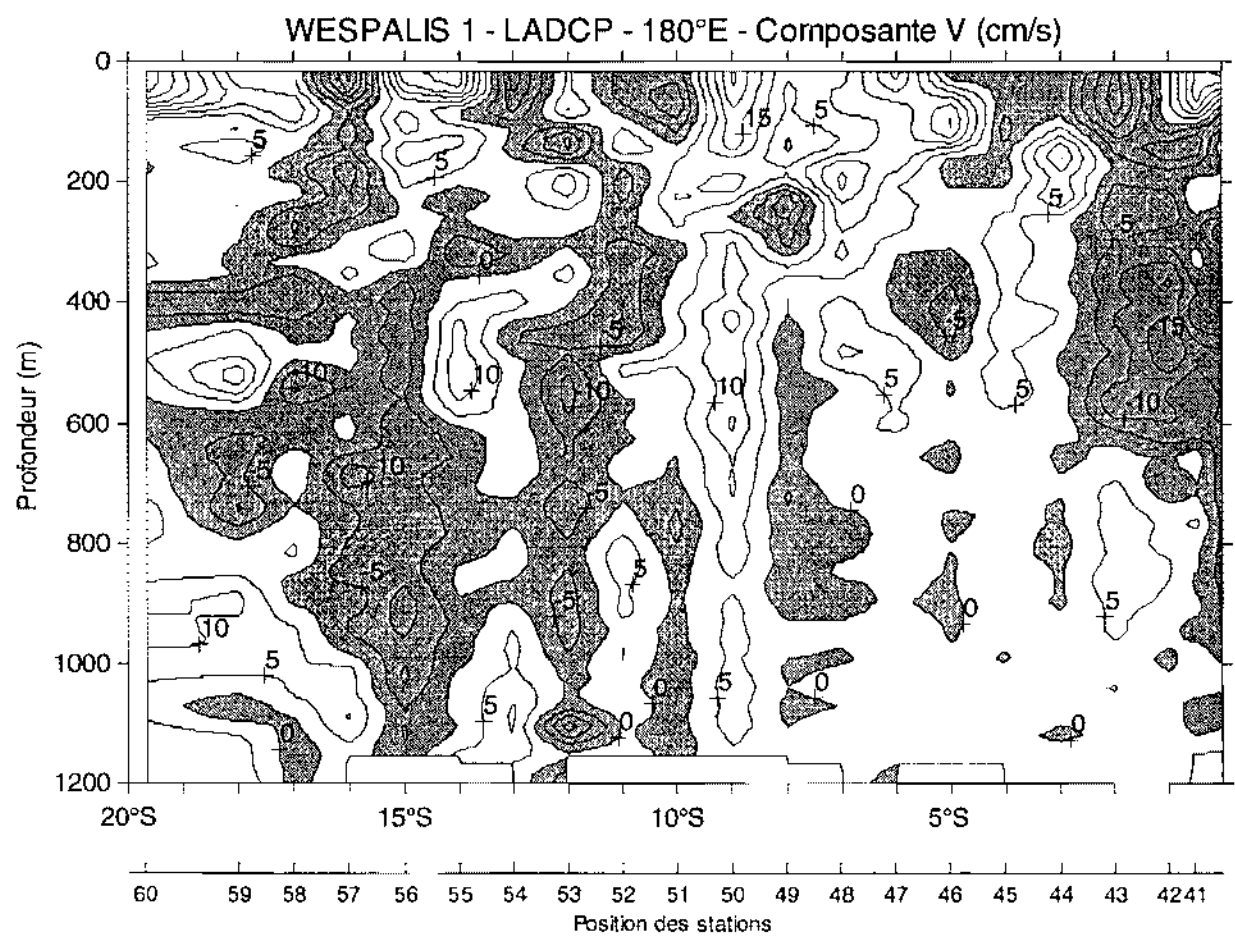
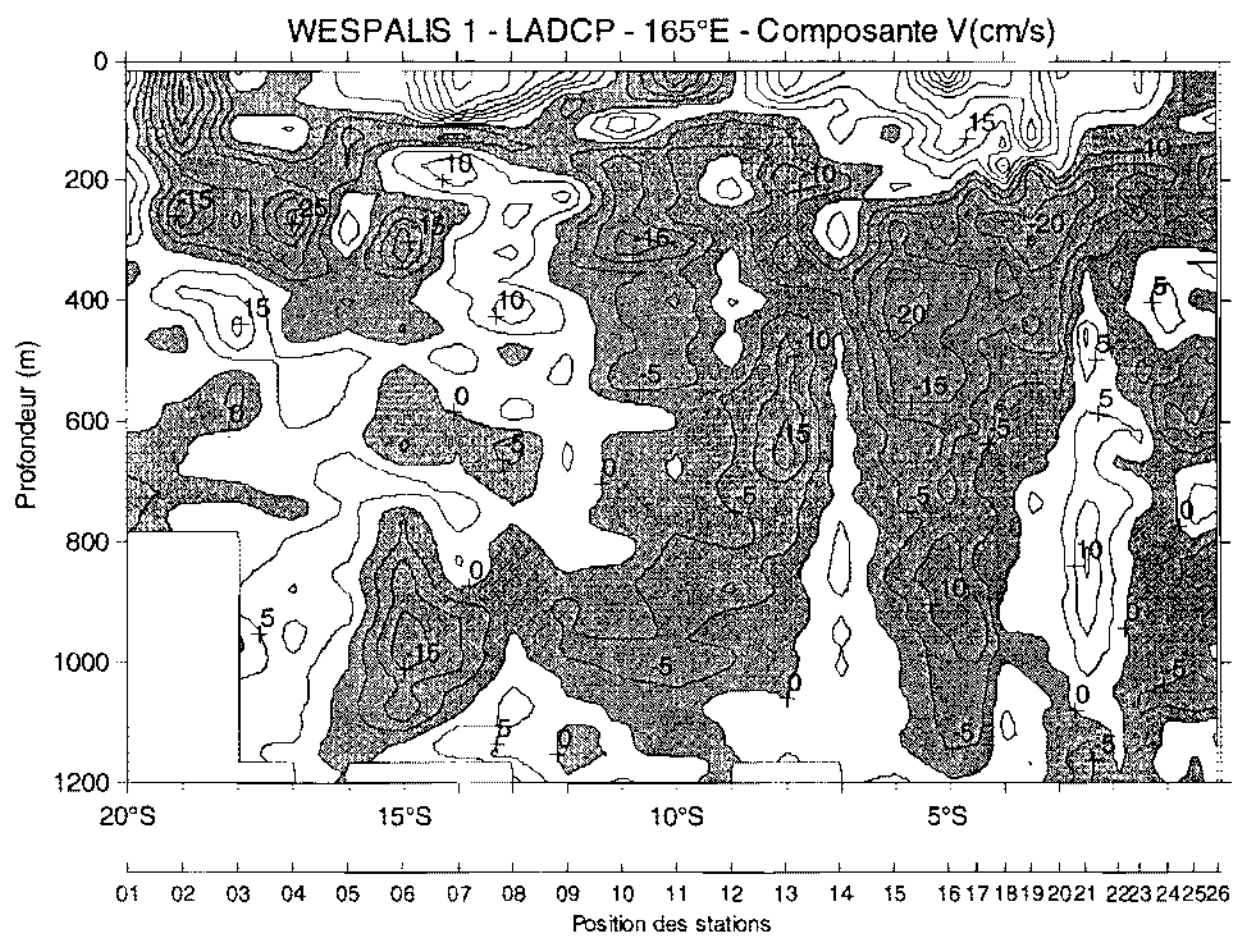


Figure 134

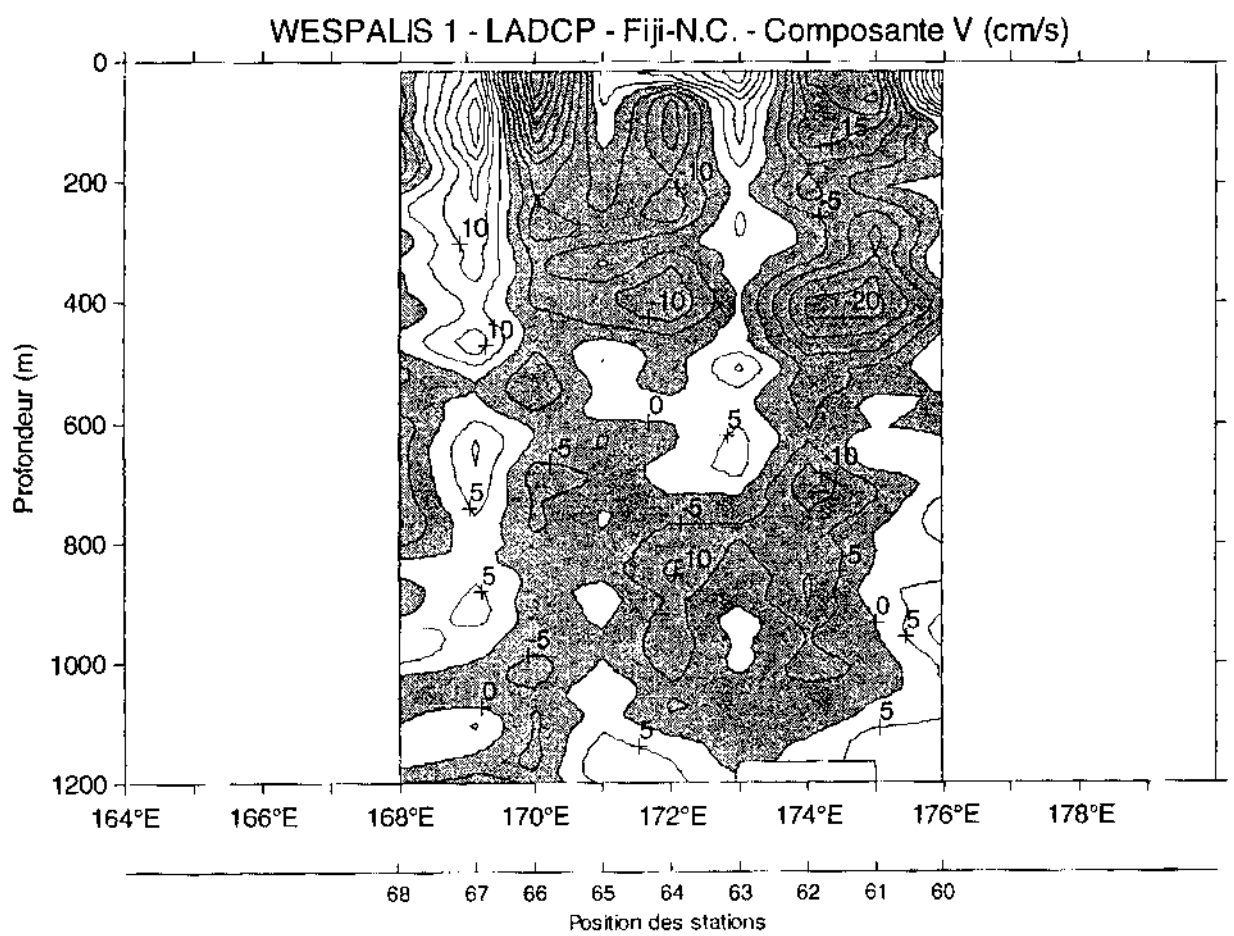
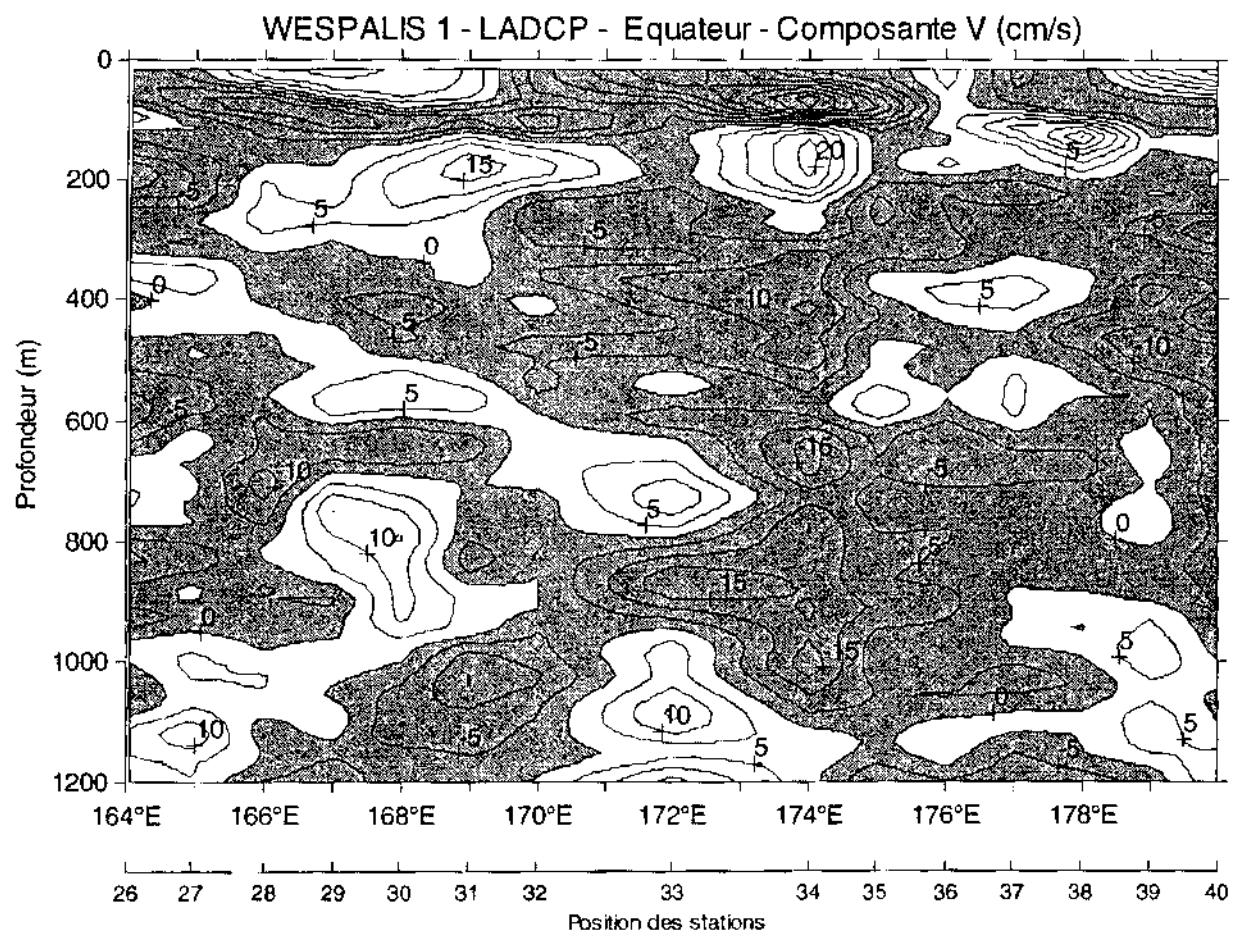


Figure 135

V. BOUEES DERIVANTES

Dans le cadre du programme SVP (Surface Velocity Programme), 6 bouées dérivantes (drifters) ont été déployées. Seules 4 d'entre elles ont fonctionné.

| Id N° | Date mise à l'eau | latitude | longitude |
|---------|-------------------|----------|-----------|
| N°25803 | 19/10/1999 22 h | -6.76 | 165.09 |
| N°25830 | 22/10/1999 05 h | -0.10 | 163.86 |
| N°23832 | 29/10/1999 03 h | +0.06 | 179.90 |
| N°17011 | 01/11/1999 03 h | -4.12 | 179.55 |

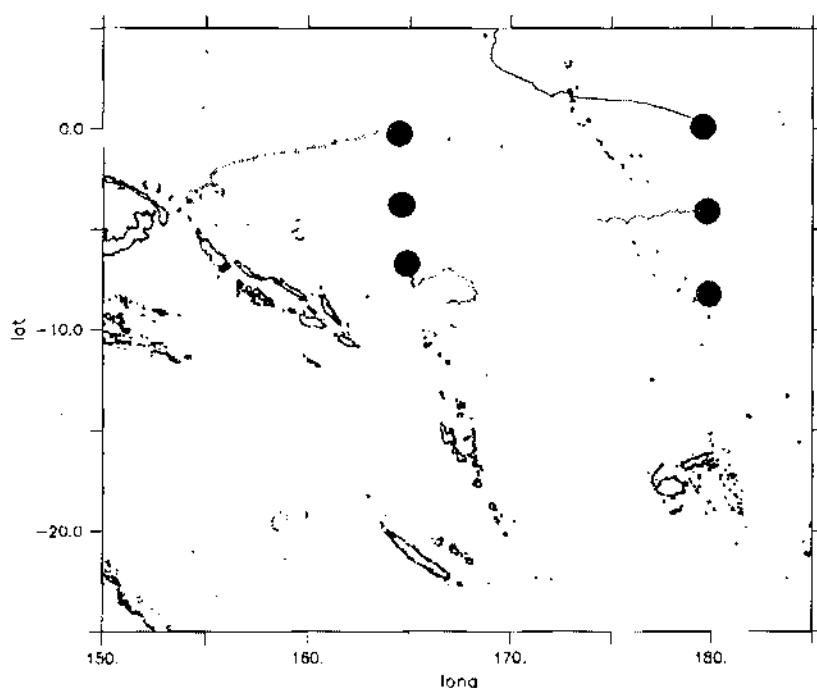


Figure 136 : trajectoires des bouées dérivantes déployées durant la campagne WESPALIS1 au 30/11/1999.

VI. MOUILLAGES TAO

Le PMEL (Pacific Marine Environmental Laboratory) de Seattle (Etats Unis) a sollicité avant le départ de la campagne notre concours pour des interventions sur les mouillages TAO le long de 165°E. Les délais d'acheminement de matériel spécifique expédié des Etats Unis nous ont contraint à retarder d'un jour l'appareillage du NO ALIS.

Il s'agissait essentiellement

- d'une intervention en plongée sur la bouée à 8°S/165°E (mise en place d'un second capteur de conductivité sur le tripode de la bouée sous la surface).
- de l'échange du capteur de radiation et du pluviomètre sur la bouée 5°S/165°E.
- d'une inspection visuelle de la bouée 2°S/165°E (anémomètre endommagé).
- et de la récupération du mouillage équatorial qui était en dérive. Il a été récupéré à 0°06 S et 163°43 E le 21 octobre 19h30 (UTC). Les instruments ont été expédiés à Seattle au retour de la mission à Nouméa.

VII. MESURES METEOROLOGIQUES

La station météorologique POMAR installé sur le N.O. ALIS, navire sélectionné par Météo-France n'étant pas opérationnelle depuis plusieurs années, une tentative de réparation n'a pas permis la remise en état complet de la station. De ce fait certaines observations météorologiques ont été réalisées au cours de la campagne toutes les heures par les officiers (vitesse et direction du vent, pression atmosphérique) et par les scientifiques (température de surface de la mer, température de l'air sec et de l'air humide à l'aide d'un psychromètre manuel prêté par Météo-France). Les observations de vents sont représentées dans la figure 138 et les données de surface (océaniques et météorologiques) sont présentées dans le Tableau 5.

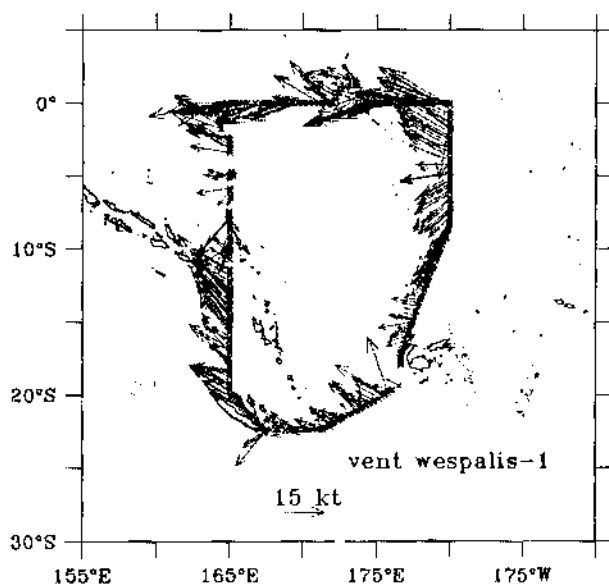


Figure 138 : Vents observés durant la campagne

Tableau 5 : Paramètres météorologiques et océaniques de surface mesurés pendant la campagne

| Date jj/mm/aa hh:mm | lat (dd.mm) | long (dd.mm) | vent (kt) | vent (dir) | P.atm (mb) | Tair sec | Tair hum | SST tsg | SSS tsg |
|------------------------|----------------|-----------------|--------------|---------------|---------------|-------------|-------------|------------|------------|
| 14/10/99 4:00 | -22,20 | 167,03 | 11 | 160 | 1015,3 | 23,1 | 18,6 | 23,36 | 35,344 |
| 14/10/99 5:00 | -22,13 | 167,07 | 9 | 160 | 1015,3 | 24,8 | 19,0 | 24,23 | 35,327 |
| 14/10/99 6:00 | -22,04 | 167,05 | 13 | 140 | 1015,2 | 22,2 | 18,9 | 23,93 | 35,258 |
| 14/10/99 7:00 | -21,56 | 166,56 | 11 | 140 | 1015,1 | 23,1 | 19,0 | 23,77 | 35,273 |
| 14/10/99 8:17 | -21,47 | 166,47 | 11 | 140 | 1015,0 | 22,5 | 17,5 | 23,70 | 35,250 |
| 14/10/99 9:12 | -21,41 | 166,47 | 11 | 140 | 1015,0 | 22,2 | 17,5 | 24,00 | 35,240 |
| 14/10/99 10:20 | -21,33 | 166,33 | 8 | 140 | 1016,1 | 22,5 | 18,5 | 24,00 | 35,240 |
| 14/10/99 11:15 | -21,26 | 166,27 | 5 | 140 | 1017,0 | 22,0 | 18,5 | 24,00 | 34,600 |
| 14/10/99 12:12 | -21,20 | 166,20 | 9 | 140 | 1017,0 | 21,5 | 16,2 | 24,00 | 35,140 |
| 14/10/99 12:54 | -21,15 | 166,15 | 6 | 140 | 1017,0 | 24,0 | 18,5 | 24,10 | 35,151 |
| 14/10/99 13:51 | -21,08 | 166,08 | 11 | 120 | 1017,0 | 23,0 | 18,0 | 24,29 | 35,095 |
| 14/10/99 14:52 | -21,01 | 166,01 | 12 | 120 | 1016,0 | 22,5 | 18,0 | 24,60 | 34,153 |
| 14/10/99 15:56 | -20,53 | 165,53 | 11 | 120 | 1016,0 | 22,5 | 18,0 | 24,45 | 35,053 |
| 14/10/99 16:51 | -20,46 | 165,46 | 11 | 120 | 1016,0 | 23,0 | 18,5 | 24,70 | 34,964 |
| 14/10/99 18:00 | -20,38 | 165,38 | 6 | 110 | 1016,0 | 23,4 | 19,3 | 24,66 | 35,010 |
| 14/10/99 19:00 | -20,31 | 165,31 | 9 | 110 | 1016,0 | 24,5 | 19,6 | 24,97 | 34,232 |
| 14/10/99 20:00 | -20,25 | 165,25 | 11 | 140 | 1016,2 | 24,8 | 21,0 | 25,02 | 34,960 |
| 14/10/99 20:59 | -20,17 | 165,17 | 13 | 140 | 1016,0 | 26,0 | 22,1 | 21,98 | 34,292 |
| 14/10/99 22:00 | -20,11 | 165,11 | 10 | 120 | 1016,0 | 25,0 | 20,8 | 24,96 | 34,967 |
| 14/10/99 23:00 | -20,04 | 165,04 | 10 | 120 | 1016,5 | 24,3 | 21,5 | 24,27 | 34,801 |
| 15/10/99 0:40 | -19,57 | 165,00 | 10 | 120 | 1016,1 | 24,5 | 20,7 | 25,58 | 34,936 |
| 15/10/99 2:00 | -19,44 | 165,00 | 13 | 120 | 1016,0 | 24,6 | 20,3 | 25,88 | 34,165 |
| 15/10/99 3:05 | -19,34 | 165,00 | 13 | 120 | 1014,5 | 24,8 | 20,9 | 26,05 | 34,022 |
| 15/10/99 4:00 | -19,26 | 165,00 | 13 | 120 | 1014,0 | 25,6 | 21,6 | 25,94 | 34,595 |
| 15/10/99 4:50 | -19,18 | 165,00 | 11 | 120 | 1013,5 | 24,5 | 19,5 | 25,36 | 34,586 |
| 15/10/99 5:56 | -19,08 | 165,00 | 12 | 110 | 1013,5 | 24,5 | 19,5 | 26,05 | 34,696 |
| 15/10/99 7:09 | -19,03 | 165,00 | 8 | 110 | 1013,5 | 24,5 | 20,5 | 26,16 | 34,115 |
| 15/10/99 9:06 | -18,43 | 165,00 | 11 | 110 | 1013,5 | 24,5 | 20,6 | 26,10 | 34,241 |
| 15/10/99 10:00 | -18,32 | 165,00 | 12 | 100 | 1015,0 | 24,0 | 21,0 | 26,15 | 34,037 |
| 15/10/99 11:07 | -18,24 | 165,00 | 12 | 100 | 1015,0 | 24,0 | 21,2 | 26,22 | 34,250 |
| 15/10/99 12:00 | -18,17 | 165,00 | 10 | 100 | 1014,5 | 24,0 | 20,5 | 26,15 | 34,592 |
| 15/10/99 13:00 | -18,07 | 165,00 | 14 | 140 | 1014,0 | 24,5 | 21,4 | 26,18 | 34,616 |
| 15/10/99 14:02 | -18,00 | 165,00 | | | | 24,5 | 21,8 | 26,45 | 34,612 |
| 15/10/99 15:00 | -17,55 | 165,00 | 8 | 140 | 1013,0 | 24,2 | 21,2 | 26,37 | 34,184 |
| 15/10/99 16:07 | -17,44 | 165,00 | 7 | 140 | 1013,0 | 25,5 | 22,0 | 26,63 | 34,593 |
| 15/10/99 17:34 | -17,31 | 165,00 | 7 | 120 | 1013,0 | 25,5 | 22,5 | 26,95 | 34,553 |
| 15/10/99 0:00 | -17,26 | 165,00 | 7 | 120 | 1013,0 | 25,5 | 22,5 | 26,98 | 34,182 |
| 15/10/99 20:07 | -17,08 | 165,00 | 13 | 140 | 1013,0 | 26,0 | 20,5 | 26,75 | 34,227 |
| 15/10/99 21:00 | -17,00 | 165,00 | 13 | 120 | 1013,0 | 26,0 | 20,5 | 26,40 | 33,940 |
| 15/10/99 22:00 | -16,58 | 165,00 | 13 | 120 | 1013,0 | 27,0 | 22,5 | 26,39 | 34,328 |
| 15/10/99 23:00 | -16,49 | 165,00 | 14 | 120 | 1014,0 | 27,0 | 22,5 | 26,45 | 34,027 |

| | | | | | | | | | | |
|--|----------------|--------|--------|----|-----|--------|------|------|-------|--------|
| | 15/10/99 23:56 | -16,40 | 165,00 | 13 | 140 | 1013,8 | 26,5 | 22,0 | 26,54 | 34,140 |
| | 16/10/99 2:00 | -16,21 | 165,00 | 8 | 120 | 1017,0 | 26,2 | 22,5 | 27,19 | 34,418 |
| | 16/10/99 3:07 | -16,10 | 165,00 | 7 | 120 | 1012,0 | 26,5 | 23,0 | 27,18 | 34,397 |
| | 16/10/99 04:00 | -16,02 | 165,00 | 6 | 120 | 1012,0 | 25,4 | 23,4 | 27,26 | 34,488 |
| | 16/10/99 05:00 | -16,00 | 165,00 | 16 | 140 | 1011,8 | 26,9 | 22,2 | 27,23 | 34,474 |
| | 16/10/99 07:00 | -15,42 | 165,00 | 12 | 140 | 1011,5 | 26,4 | 22,6 | 26,91 | 34,266 |
| | 16/10/99 08:19 | -15,28 | 164,59 | 10 | 140 | 1012,0 | 25,5 | 23,0 | 26,93 | 34,486 |
| | 16/10/99 09:07 | -15,21 | 164,59 | 12 | 140 | 1012,0 | 28,0 | 24,5 | 27,04 | 34,422 |
| | 16/10/99 10:04 | -15,11 | 165,00 | 15 | 140 | 1012,5 | 25,5 | 22,5 | 27,03 | 34,392 |
| | 16/10/99 11:04 | -15,01 | 165,00 | 14 | 140 | 1013,5 | 26,0 | 23,0 | 27,36 | 34,442 |
| | 16/10/99 12:03 | -15,00 | 165,00 | 18 | 140 | 1013,5 | 26,4 | 23,2 | 27,36 | 34,380 |
| | 16/10/99 13:11 | -14,49 | 165,04 | 18 | 140 | 1013,5 | 26,5 | 23,5 | 27,37 | 34,452 |
| | 16/10/99 14:12 | -14,39 | 165,03 | 14 | 140 | 1012,0 | 26,0 | 23,5 | 27,74 | 34,327 |
| | 16/10/99 15:05 | -14,31 | 165,02 | 12 | 140 | 1012,0 | 26,5 | 23,5 | 27,91 | 34,358 |
| | 16/10/99 17:00 | -14,11 | 165,00 | 13 | 140 | 1011,5 | 26,5 | 24,5 | 27,88 | 34,350 |
| | 16/10/99 18:00 | -14,01 | 165,00 | 12 | 130 | 1011,5 | 26,7 | 24,2 | 27,80 | 34,246 |
| | 16/10/99 19:19 | -13,58 | 165,00 | 18 | 140 | 1011,5 | 26,5 | 19,5 | 27,81 | 34,280 |
| | 16/10/99 19:58 | -13,52 | 165,01 | 16 | 140 | 1011,5 | 26,6 | 24,4 | 27,83 | 34,272 |
| | 16/10/99 21:07 | -13,40 | 165,00 | 16 | 140 | 1011,7 | 27,1 | 24,7 | 27,82 | 34,205 |
| | 16/10/99 22:27 | -13,26 | 165,00 | 18 | 140 | 1013,2 | 26,4 | 24,6 | 28,03 | 34,337 |
| | 16/10/99 23:00 | -13,20 | 165,00 | 24 | 140 | 1013,1 | 26,4 | 25,0 | 27,99 | 34,376 |
| | 17/10/99 1:30 | -13,04 | 165,02 | 15 | 140 | 1012,0 | 28,0 | 26,0 | 28,02 | 34,333 |
| | 17/10/99 2:30 | -13,07 | 165,02 | 15 | 140 | 1012,0 | 28,0 | 26,0 | 28,03 | 34,360 |
| | 17/10/99 3:10 | -12,50 | 165,02 | 13 | 130 | 1010,5 | 27,0 | 25,5 | 28,10 | 34,200 |
| | 17/10/99 4:02 | -12,42 | 165,00 | 14 | 130 | 1010,5 | 28,0 | 24,0 | 28,33 | 34,377 |
| | 17/10/99 5:02 | -13,32 | 165,00 | 16 | 130 | 1010,0 | 27,0 | 25,0 | 28,23 | 34,332 |
| | 17/10/99 6:02 | -12,22 | 165,00 | 13 | 120 | 1010,0 | 27,5 | 24,5 | 28,41 | 34,276 |
| | 17/10/99 7:00 | -12,13 | 165,00 | 10 | 120 | 1010,0 | 28,0 | 24,5 | 28,85 | 34,373 |
| | 17/10/99 8:27 | -12,00 | 165,00 | 13 | 120 | 1010,5 | 27,0 | 25,4 | 28,90 | 34,291 |
| | 17/10/99 10:36 | -11,46 | 165,00 | 12 | 120 | 1012,6 | 27,0 | 25,5 | 28,87 | 34,373 |
| | 17/10/99 12:05 | -11,31 | 165,00 | 13 | 120 | 1012,3 | 28,0 | 26,1 | 28,89 | 34,362 |
| | 17/10/99 13:00 | -11,22 | 165,00 | 12 | 120 | 1012,0 | 28,0 | 26,2 | 28,94 | 34,349 |
| | 17/10/99 14:10 | -11,11 | 165,00 | 10 | 120 | 1011,5 | 28,1 | 26,1 | 29,14 | 34,432 |
| | 17/10/99 15:15 | -11,01 | 165,00 | 6 | 120 | 1011,5 | 27,9 | 24,8 | 29,13 | 34,349 |
| | 17/10/99 17:00 | -10,53 | 165,00 | 6 | 120 | 1011,5 | 27,4 | 26,0 | 29,23 | 34,434 |
| | 17/10/99 18:11 | -10,42 | 164,59 | 7 | 120 | 1011,5 | 28,0 | 25,5 | 29,36 | 34,490 |
| | 17/10/99 20:20 | -10,21 | 165,00 | 6 | 130 | 1011,0 | 29,0 | 26,0 | 29,46 | 34,399 |
| | 17/10/99 21:02 | -10,19 | 165,00 | 6 | 130 | 1011,0 | 29,5 | 26,0 | 29,63 | 34,284 |
| | 17/10/99 22:02 | -10,06 | 165,00 | 6 | 130 | 1011,5 | 30,0 | 26,5 | 29,87 | 34,387 |
| | 17/10/99 23:01 | -10,00 | 165,00 | 6 | 120 | 1012,5 | 30,5 | 26,0 | 29,97 | 34,471 |
| | 18/10/99 0:02 | -9,54 | 165,00 | 10 | 60 | 1012,2 | 28,3 | 26,3 | 29,93 | 33,812 |
| | 18/10/99 1:17 | -9,43 | 165,00 | 4 | 20 | 1009,2 | 26,3 | 25,5 | 29,77 | 34,288 |
| | 18/10/99 2:35 | -9,30 | 165,00 | 10 | 20 | 1011,5 | 27,8 | 25,5 | 29,83 | 34,381 |
| | 18/10/99 3:00 | -9,27 | 165,00 | 10 | 20 | 1011,0 | 27,2 | 24,6 | 29,91 | 34,099 |
| | 18/10/99 4:00 | -9,18 | 165,00 | 6 | 20 | 1010,0 | 28,0 | 24,6 | 30,03 | 34,428 |
| | 18/10/99 5:04 | -9,07 | 165,00 | 5 | 20 | 1010,0 | 27,0 | 25,0 | 29,89 | 33,831 |

| | | | | | | | | | | |
|----------------|-------|--------|----|-----|--------|------|------|-------|--------|---|
| 18/10/99 6:14 | -9,01 | 165,00 | 8 | 20 | 1010,0 | 27,4 | 25,0 | 29,86 | 34,381 | * |
| 18/10/99 7:00 | -8,56 | 165,00 | 8 | 20 | 1010,0 | 27,0 | 24,5 | 29,75 | 32,439 | * |
| 18/10/99 8:29 | -8,42 | 164,59 | 8 | 20 | 1010,5 | 27,0 | 24,0 | 29,84 | 33,146 | * |
| 18/10/99 9:12 | -8,35 | 165,00 | 25 | 20 | 1011,0 | 22,0 | 22,0 | 29,72 | 33,226 | * |
| 18/10/99 10:04 | -8,27 | 165,00 | 11 | 10 | 1013,8 | 25,0 | 24,5 | 29,80 | 34,307 | * |
| 18/10/99 12:34 | -8,03 | 165,00 | 10 | 45 | 1014,0 | 25,0 | 24,0 | 29,89 | 34,172 | * |
| 18/10/99 13:11 | -8,00 | 165,00 | 12 | 45 | 1012,5 | 25,5 | 24,0 | 29,79 | 33,640 | * |
| 18/10/99 14:00 | -8,00 | 164,59 | 11 | 40 | 1011,5 | | | 29,78 | 34,251 | * |
| 18/10/99 14:54 | -8,00 | 164,57 | 12 | 40 | 1011,0 | 28,0 | 25,5 | 29,76 | 33,132 | * |
| 18/10/99 16:01 | -8,00 | 164,55 | 15 | 40 | 1010,5 | 28,4 | 25,5 | 29,81 | 33,860 | * |
| 18/10/99 17:03 | -8,00 | 164,52 | 15 | 40 | 1010,0 | 28,5 | 25,5 | 29,65 | 33,728 | * |
| 18/10/99 18:08 | -8,02 | 164,49 | 14 | 40 | 1010,0 | 27,2 | 24,2 | 29,61 | 34,035 | * |
| 18/10/99 20:00 | -7,56 | 164,50 | 12 | 330 | 1011,5 | 28,4 | 24,7 | 29,61 | 33,967 | * |
| 18/10/99 21:00 | -7,46 | 164,51 | 10 | 340 | 1011,5 | 28,8 | 24,4 | 29,64 | 33,402 | * |
| 18/10/99 22:00 | -7,36 | 164,53 | 6 | 330 | 1013,1 | 28,4 | 25,1 | 29,68 | 33,745 | * |
| 18/10/99 23:00 | -7,26 | 164,55 | 2 | 360 | 1013,4 | 29,9 | 24,5 | 29,87 | 33,967 | * |
| 19/10/99 0:00 | -7,16 | 164,56 | | | 1013,0 | 29,6 | 26,2 | 29,87 | 33,688 | * |
| 19/10/99 2:00 | -7,00 | 164,58 | | | 1013,0 | 29,6 | 26,2 | 29,86 | | * |
| 19/10/99 4:05 | -6,47 | 165,00 | | | 1010,0 | 30,0 | 26,5 | 30,08 | 34,442 | * |
| 19/10/99 5:00 | -6,40 | 165,00 | 0 | | 1009,0 | 29,5 | 24,5 | 30,26 | 34,462 | * |
| 19/10/99 5:56 | -6,30 | 165,02 | 2 | 15 | 1009,5 | 29,2 | 24,5 | 34,33 | 34,505 | * |
| 19/10/99 6:57 | -6,23 | 165,00 | 3 | 20 | 1009,5 | 29,0 | 24,0 | 30,16 | 34,638 | * |
| 19/10/99 9:11 | -6,02 | 165,00 | 6 | 40 | 1010,5 | 29,2 | 25,5 | 30,21 | 34,787 | * |
| 19/10/99 10:19 | -5,58 | 165,00 | 5 | 40 | 1011,5 | 28,5 | 25,2 | 30,12 | 34,778 | * |
| 19/10/99 11:03 | -5,51 | 165,00 | 10 | 80 | 1011,5 | 28,5 | 25,5 | 30,09 | 34,763 | * |
| 19/10/99 15:00 | -5,11 | 165,00 | 8 | 100 | 1010,5 | 28,0 | 24,5 | 30,00 | 34,727 | * |
| 19/10/99 16:00 | -5,02 | 165,00 | 6 | 100 | 1010,5 | 28,0 | 25,5 | 30,01 | 34,778 | * |
| 19/10/99 17:00 | -5,00 | 165,00 | 8 | 110 | 1010,5 | 27,5 | 24,5 | 29,95 | 34,731 | * |
| 19/10/99 18:00 | -4,57 | 164,59 | 5 | 100 | 1010,5 | 27,2 | 24,5 | 29,93 | 34,735 | * |
| 19/10/99 19:00 | -4,57 | 165,00 | 10 | 110 | 1010,5 | 28,5 | 25,2 | 29,94 | 34,737 | * |
| 19/10/99 21:16 | -4,59 | 165,12 | 5 | 100 | 1010,0 | 29,5 | 25,5 | 29,92 | 34,741 | * |
| 19/10/99 22:05 | -4,59 | 165,12 | 5 | 90 | 1012,0 | 29,5 | 25,8 | 29,93 | 34,742 | * |
| 19/10/99 23:01 | -4,51 | 165,08 | 6 | 70 | 1012,2 | 30,0 | 25,5 | 30,00 | 34,823 | * |
| 19/10/99 23:54 | -4,42 | 165,04 | 6 | 70 | 1011,5 | 29,5 | 24,5 | 29,98 | 34,950 | * |
| 20/10/99 1:50 | -4,29 | 164,59 | 5 | 90 | 1010,0 | 28,5 | 25,4 | 30,17 | 35,020 | * |
| 20/10/99 4:17 | -4,05 | 165,00 | 5 | 100 | 1009,5 | 29,1 | 25,4 | 30,05 | 35,199 | * |
| 20/10/99 6:02 | -3,51 | 165,00 | 8 | 120 | 1009,2 | 28,8 | 25,0 | 29,95 | 35,232 | * |
| 20/10/99 8:54 | -3,30 | 165,00 | 12 | 120 | 1010,0 | 29,5 | 25,4 | 29,93 | 35,256 | * |
| 20/10/99 9:50 | -3,25 | 165,00 | 12 | 100 | 1005,0 | 29,2 | 25,5 | 29,75 | 35,274 | * |
| 20/10/99 10:51 | -3,15 | 165,00 | 15 | 120 | 1012,0 | 28,2 | 25,8 | 29,62 | 35,284 | * |
| 20/10/99 22:00 | -3,04 | 165,00 | 15 | 120 | 1012,0 | 28,8 | 26,0 | 29,47 | 35,338 | * |
| 20/10/99 13:11 | -3,00 | 165,00 | | | | 28,0 | 25,8 | 29,56 | 35,394 | * |
| 20/10/99 13:59 | -2,53 | 165,00 | 11 | 120 | 1011,0 | 28,0 | 25,5 | 29,52 | 35,485 | * |
| 20/10/99 14:50 | -2,45 | 165,00 | 11 | 120 | 1010,5 | 27,5 | 25,5 | 29,52 | 35,482 | * |
| 20/10/99 16:20 | -2,30 | 165,00 | 8 | 100 | 1010,0 | 28,0 | 25,0 | | | * |
| 20/10/99 17:15 | -2,29 | 164,59 | 12 | 100 | 1010,0 | 28,2 | 26,0 | 29,28 | 35,383 | * |

| | | | | | | | | | |
|----------------|-------|--------|----|-----|--------|------|------|-------|--------|
| 20/10/99 18:06 | -2,23 | 164,52 | 13 | 100 | 1010,3 | 28,1 | 26,0 | 29,28 | 35,372 |
| 20/10/99 18:50 | -2,18 | 164,48 | 12 | 100 | 1010,3 | 28,0 | 26,0 | 29,23 | 35,364 |
| 20/10/99 21:00 | -2,02 | 164,32 | 13 | 100 | 1011,0 | 28,4 | 26,1 | 29,13 | 35,310 |
| 20/10/99 23:16 | -1,56 | 164,25 | 17 | 110 | 1011,0 | 29,1 | 26,5 | 29,17 | 35,304 |
| 21/10/99 0:16 | -1,47 | 164,22 | 16 | 110 | 1012,0 | 29,0 | 26,5 | 29,18 | 35,296 |
| 21/10/99 2:17 | -1,30 | 164,19 | 13 | 120 | 1010,0 | 30,1 | 26,0 | 29,22 | 35,297 |
| 21/10/99 3:04 | -1,28 | 164,19 | 13 | 120 | 1010,0 | 29,6 | 26,0 | 29,27 | 35,288 |
| 21/10/99 4:05 | -1,18 | 164,16 | 10 | 120 | 1009,5 | 28,5 | 25,5 | 29,21 | 35,270 |
| 21/10/99 5:05 | -1,08 | 164,13 | 15 | 120 | 1009,5 | 28,5 | 24,5 | 29,05 | 35,270 |
| 21/10/99 5:54 | -1,00 | 164,11 | 14 | 90 | 1009,5 | 28,6 | 25,2 | 29,06 | 35,272 |
| 21/10/99 8:44 | -0,41 | 164,06 | 13 | 110 | 1010,0 | 28,1 | 26,0 | 28,86 | 35,277 |
| 21/10/99 9:28 | -0,34 | 164,04 | 13 | 110 | 1012,0 | 28,2 | 9,6 | 28,77 | 35,269 |
| 21/10/99 11:00 | -0,29 | 164,02 | | | 1013,0 | 27,5 | 25,7 | 28,66 | 35,231 |
| 21/10/99 13:23 | -0,07 | 163,51 | 12 | 60 | 1013,0 | 27,2 | 25,7 | 28,60 | 35,217 |
| 21/10/99 15:53 | -0,05 | 163,43 | 16 | 70 | 1010,5 | 27,5 | 25,0 | 28,53 | 35,215 |
| 21/10/99 21:06 | -0,06 | 163,43 | 17 | 50 | 1011,2 | 26,5 | 24,8 | 28,53 | 35,211 |
| 21/10/99 22:35 | -0,04 | 163,53 | 19 | 60 | 1012,5 | 28,5 | | 28,50 | 35,201 |
| 21/10/99 23:09 | -0,04 | 163,58 | 20 | 80 | 1012,5 | 29,0 | 25,5 | 28,49 | 35,200 |
| 22/10/99 1:00 | -0,04 | 164,06 | 13 | 80 | 1011,5 | 27,2 | 25,0 | 28,55 | 35,205 |
| 22/10/99 2:00 | -0,03 | 164,12 | 15 | 80 | 1010,7 | 28,1 | 25,1 | 28,59 | 35,206 |
| 22/10/99 3:00 | -0,03 | 164,21 | 13 | 80 | 1009,5 | 28,4 | 25,6 | 28,70 | 35,186 |
| 22/10/99 4:00 | -0,02 | 164,29 | 13 | 80 | 1008,6 | 28,0 | 25,5 | 28,70 | 35,182 |
| 22/10/99 5:15 | -0,02 | 164,38 | 15 | 80 | 1008,7 | 28,0 | 25,1 | 28,63 | 35,174 |
| 22/10/99 6:00 | -0,01 | 164,43 | 14 | 80 | 1008,6 | 27,9 | 24,9 | 28,59 | 35,167 |
| 22/10/99 7:00 | -0,01 | 164,51 | 14 | 80 | 1008,0 | 27,1 | 25,0 | 28,51 | 35,162 |
| 22/10/99 10:14 | 0,00 | 165,06 | 16 | 90 | 1012,0 | 26,0 | 22,0 | 28,44 | 35,150 |
| 22/10/99 11:10 | 0,00 | 165,17 | 15 | 80 | 1012,0 | 26,5 | 22,5 | 28,48 | 35,140 |
| 22/10/99 12:10 | 0,00 | 165,24 | 17 | 80 | 1011,8 | 26,5 | 22,5 | 28,38 | 35,140 |
| 22/10/99 13:16 | 0,00 | 165,33 | 14 | 80 | 1011,0 | 26,5 | 22,5 | 28,34 | 35,146 |
| 22/10/99 14:05 | 0,00 | 165,39 | 15 | 80 | 1010,5 | 24,7 | 23,0 | 28,35 | 35,147 |
| 22/10/99 14:56 | 0,00 | 165,02 | 15 | 80 | 1010,5 | 27,5 | 24,0 | 28,29 | 35,148 |
| 22/10/99 15:53 | 0,00 | 165,54 | 13 | 80 | 1010,0 | 27,5 | 25,0 | 28,27 | 35,150 |
| 22/10/99 17:00 | 0,00 | 166,00 | 10 | 80 | 1010,0 | 26,0 | 24,9 | 28,21 | 35,149 |
| 22/10/99 18:13 | 0,00 | 166,06 | 11 | 80 | 1010,0 | 27,0 | 24,5 | 28,19 | 35,153 |
| 22/10/99 22:16 | 0,00 | 166,38 | 17 | 80 | 1012,0 | 28,5 | 25,0 | 28,18 | 35,162 |
| 22/10/99 23:00 | 0,00 | 166,45 | 18 | 80 | 1011,5 | 28,0 | 25,1 | 28,22 | 35,169 |
| 23/10/99 1:04 | 0,00 | 167,00 | 14 | 70 | 1011,0 | 28,5 | 24,5 | 28,33 | 35,181 |
| 23/10/99 2:01 | 0,00 | 167,03 | 14 | 70 | 1011,0 | 28,2 | 24,5 | 28,40 | 35,184 |
| 23/10/99 3:16 | 0,00 | 167,13 | 13 | 70 | 1009,0 | 28,0 | 24,5 | 28,49 | 35,199 |
| 23/10/99 4:11 | 0,00 | 167,18 | 13 | 70 | 1009,0 | 28,5 | 25,0 | 28,53 | 35,205 |
| 23/10/99 5:03 | 0,01 | 167,27 | 15 | 70 | 1009,0 | 28,0 | 24,8 | 28,60 | 35,235 |
| 23/10/99 6:05 | 0,01 | 167,35 | 15 | 80 | 1009,0 | 28,4 | 24,5 | 28,59 | 35,223 |
| 23/10/99 7:55 | 0,00 | 167,50 | 19 | 80 | 1010,0 | 26,5 | 24,5 | 28,54 | 35,244 |
| 23/10/99 9:01 | 0,00 | 167,59 | 17 | 80 | 1010,8 | 26,0 | 24,0 | 28,51 | 35,242 |
| 23/10/99 10:06 | 0,00 | 168,01 | 15 | 80 | 1012,5 | 27,9 | 24,5 | 28,36 | 35,241 |
| 23/10/99 10:50 | 0,00 | 168,07 | 14 | 80 | 1012,6 | 27,2 | 24,0 | 28,42 | 35,238 |

| | | | | | | | | | |
|----------------|------|--------|----|-----|--------|------|------|-------|--------|
| 23/10/99 12:00 | 0,00 | 168,17 | 17 | 70 | 1012,0 | 26,2 | 24,0 | 28,39 | 35,240 |
| 23/10/99 13:05 | 0,00 | 168,25 | 18 | 70 | 1011,8 | 26,2 | 23,5 | 28,37 | 35,242 |
| 23/10/99 14:00 | 0,00 | 168,32 | 16 | 70 | 1011,0 | 26,6 | 23,7 | 28,34 | 35,242 |
| 23/10/99 15:00 | 0,00 | 168,41 | 13 | 70 | 1010,0 | 25,6 | 23,2 | 28,29 | 35,239 |
| 23/10/99 16:01 | 0,00 | 168,50 | 11 | 70 | 1010,0 | 27,0 | 23,0 | 28,22 | 35,230 |
| 23/10/99 17:08 | 0,00 | 168,59 | 15 | 70 | | 26,5 | 23,0 | 28,18 | 35,230 |
| 23/10/99 19:00 | 0,00 | 169,09 | 10 | 80 | 1010,3 | 27,0 | 23,5 | 28,11 | 35,233 |
| 23/10/99 20:00 | 0,00 | 169,18 | 12 | 70 | 1011,0 | 27,5 | 24,0 | 28,03 | 35,229 |
| 23/10/99 22:00 | 0,00 | 169,36 | 15 | 70 | 1013,0 | 27,5 | 24,5 | 28,03 | 35,235 |
| 23/10/99 23:05 | 0,00 | 169,44 | 15 | 70 | 1012,5 | 27,9 | 24,4 | 28,05 | 35,232 |
| 24/10/99 0:04 | 0,00 | 169,52 | 8 | 100 | 1011,6 | 26,2 | 24,4 | 28,16 | 35,227 |
| 24/10/99 2:14 | 0,00 | 170,04 | 6 | 100 | 1010,0 | 27,5 | 24,8 | 28,54 | 35,221 |
| 24/10/99 4:00 | 0,00 | 170,17 | 11 | 100 | 1009,5 | 27,8 | 24,4 | 28,28 | 35,204 |
| 24/10/99 5:00 | 0,00 | 170,26 | 9 | 100 | 1009,5 | 27,9 | 24,6 | 28,28 | 35,197 |
| 24/10/99 6:00 | 0,00 | 170,34 | 10 | 100 | 1009,5 | 27,0 | 24,8 | 28,24 | 35,182 |
| 24/10/99 7:00 | 0,00 | 170,42 | 9 | 100 | 1009,5 | 27,0 | 24,5 | 28,20 | 35,183 |
| 24/10/99 8:10 | 0,00 | 170,55 | 8 | 100 | 1011,3 | 26,5 | 24,5 | 27,97 | 35,181 |
| 24/10/99 9:20 | 0,00 | 171,00 | 8 | 100 | 1011,5 | 26,5 | 24,5 | 27,87 | 35,174 |
| 24/10/99 10:07 | 0,00 | 171,06 | 15 | 120 | 1013,6 | 27,0 | 24,5 | 28,00 | 35,175 |
| 24/10/99 11:04 | 0,00 | 171,13 | 16 | 120 | 1014,0 | 27,0 | 24,5 | 27,98 | 35,176 |
| 24/10/99 13:00 | 0,00 | 171,26 | 16 | 140 | 1013,0 | 27,2 | 25,0 | 27,83 | 35,168 |
| 24/10/99 14:00 | 0,00 | 171,36 | 13 | 140 | 1012,5 | 27,0 | 24,9 | 27,73 | 35,166 |
| 24/10/99 15:00 | 0,00 | 171,44 | 11 | 140 | 1012,0 | 27,0 | 24,5 | 27,68 | 35,163 |
| 24/10/99 16:04 | 0,00 | 171,52 | 9 | 120 | 1011,5 | 27,4 | 24,2 | 27,70 | 35,164 |
| 24/10/99 16:55 | 0,00 | 171,58 | 10 | 120 | 1011,5 | 26,5 | 24,5 | 27,83 | 35,176 |
| 24/10/99 18:45 | 0,04 | 172,02 | 8 | 120 | 1011,5 | 27,2 | 24,4 | 27,73 | 35,144 |
| 24/10/99 10:16 | 0,14 | 172,09 | 8 | 120 | 1012,3 | 28,2 | 25,0 | 27,89 | 35,149 |
| 24/10/99 21:25 | 0,22 | 172,14 | 7 | 120 | 1012,5 | 28,9 | 25,1 | 27,97 | 35,161 |
| 24/10/99 22:00 | 0,26 | 172,17 | 10 | 120 | 1013,6 | 28,5 | 25,1 | 28,02 | 35,165 |
| 24/10/99 23:30 | 0,37 | 172,24 | 8 | 120 | 1013,1 | 29,0 | 25,4 | 28,17 | 35,179 |
| 25/10/99 3:25 | 1,12 | 172,72 | 9 | 140 | 1011,0 | 28,0 | 26,1 | 28,47 | 35,177 |
| 25/10/99 4:14 | 1,22 | 172,78 | 7 | 140 | 1011,0 | 28,0 | 25,5 | 28,47 | 35,176 |
| 25/10/99 4:52 | 1,31 | 172,84 | 14 | 140 | 1010,5 | 28,0 | 25,4 | 28,36 | 35,176 |
| 25/10/99 6:09 | 1,37 | 172,93 | 14 | 140 | 1010,5 | 27,0 | 24,5 | 28,71 | 35,450 |
| 25/10/99 6:58 | 1,37 | 172,93 | | | | 28,0 | 24,5 | 29,19 | 35,732 |
| 25/10/99 11:28 | 1,37 | 172,93 | | | | | | 29,12 | 35,802 |
| 25/10/99 18:58 | 1,37 | 172,93 | | | | | | 28,84 | 35,755 |
| 25/10/99 21:22 | 1,37 | 172,93 | | | | | | 28,85 | 35,782 |
| 26/10/99 5:45 | 1,37 | 172,93 | | | | 28,0 | 24,8 | 26,69 | 35,911 |
| 26/10/99 6:20 | 1,38 | 172,90 | 6 | 140 | 1012,5 | 28,2 | 24,5 | 27,80 | 35,272 |
| 26/10/99 7:19 | 1,27 | 172,92 | 6 | 140 | 1012,5 | 27,5 | 24,5 | 28,41 | 35,197 |
| 26/10/99 8:07 | 1,18 | 172,98 | 10 | 120 | 1012,5 | 25,5 | 24,0 | 28,35 | 35,120 |
| 26/10/99 9:08 | 1,08 | 173,07 | 10 | 120 | 1014,0 | 27,0 | 24,0 | 28,28 | 35,228 |
| 26/10/99 10:02 | 0,98 | 173,15 | 10 | 100 | 1014,5 | 26,5 | 24,5 | 28,26 | 35,238 |
| 26/10/99 11:03 | 0,89 | 173,24 | 14 | 100 | 1014,0 | 26,5 | 24,4 | 28,21 | 35,226 |
| 26/10/99 12:00 | 0,78 | 173,30 | 7 | 90 | 1014,0 | 26,5 | 24,2 | 28,13 | 35,212 |

| | | | | | | | | | |
|----------------|------|--------|----|-----|--------|------|------|-------|--------|
| 26/10/99 13:00 | 0,68 | 173,42 | 6 | 90 | 1013,5 | 26,4 | 24,0 | 28,09 | 35,203 |
| 26/10/99 14:00 | 0,57 | 173,51 | 6 | 90 | 1013,0 | 26,8 | 24,6 | 28,05 | 35,197 |
| 26/10/99 15:00 | 0,47 | 173,62 | 13 | 50 | 1012,5 | 26,2 | 24,7 | 27,55 | 35,165 |
| 26/10/99 16:00 | 0,34 | 173,71 | 15 | 70 | 1012,5 | 26,2 | 24,5 | 27,77 | 35,179 |
| 26/10/99 17:00 | 0,23 | 173,81 | 11 | 70 | 1012,5 | 26,4 | 24,1 | 27,90 | 35,194 |
| 26/10/99 18:00 | 0,12 | 173,90 | 12 | 100 | 1012,2 | 26,0 | 24,0 | 27,87 | 35,206 |
| 26/10/99 19:10 | 0,00 | 174,00 | 15 | 90 | 1012,5 | 27,8 | 24,1 | 27,89 | 35,218 |
| 26/10/99 20:00 | 0,00 | 174,01 | 16 | 70 | 1012,5 | 26,3 | 24,4 | 27,88 | 35,216 |
| 26/10/99 21:00 | 0,00 | 174,09 | 18 | 70 | 1013,0 | 26,9 | 24,5 | 27,91 | 35,222 |
| 26/10/99 22:00 | 0,00 | 174,17 | 20 | 70 | 1014,6 | 27,4 | 25,1 | 27,96 | 35,230 |
| 26/10/99 23:14 | 0,00 | 174,28 | 19 | 70 | 1014,1 | 28,0 | 25,0 | 27,99 | 35,246 |
| 27/10/99 0:13 | 0,00 | 174,36 | 19 | 70 | 1014,1 | 27,0 | 24,0 | 28,04 | 35,254 |
| 27/10/99 1:28 | 0,00 | 174,46 | 16 | 70 | 1013,5 | 28,0 | 24,0 | 28,12 | 35,260 |
| 27/10/99 2:21 | 0,00 | 174,53 | 16 | 70 | 1012,5 | 27,5 | 24,0 | 28,20 | 35,270 |
| 27/10/99 3:04 | 0,00 | 174,59 | 13 | 70 | 1012,0 | 27,4 | 24,5 | 28,22 | 35,279 |
| 27/10/99 4:00 | 0,00 | 175,00 | 9 | 70 | 1011,0 | 27,5 | 24,3 | 28,24 | 35,280 |
| 27/10/99 5:00 | 0,00 | 175,08 | 9 | 80 | 1011,2 | 28,0 | 24,0 | 28,23 | 35,290 |
| 27/10/99 5:59 | 0,00 | 175,15 | 9 | 70 | 1011,0 | 27,8 | 23,5 | 28,23 | 35,298 |
| 27/10/99 8:00 | 0,00 | 175,32 | 10 | 80 | 1012,5 | 27,5 | 24,5 | 28,17 | 35,304 |
| 27/10/99 9:07 | 0,00 | 175,41 | 13 | 70 | 1013,0 | 27,0 | 24,5 | 28,11 | 35,300 |
| 27/10/99 10:05 | 0,00 | 175,50 | 14 | 80 | 1013,1 | 27,0 | 24,5 | 28,07 | 35,286 |
| 27/10/99 10:55 | 0,00 | 176,00 | 14 | 80 | 999,0 | 27,6 | 25,1 | 28,02 | 35,281 |
| 27/10/99 13:00 | 0,00 | 176,08 | 13 | 80 | 1012,0 | 27,5 | 25,0 | 28,01 | 35,280 |
| 27/10/99 14:00 | 0,00 | 176,17 | 15 | 80 | 999,0 | 27,6 | 24,6 | 27,98 | 35,282 |
| 27/10/99 15:17 | 0,00 | 176,28 | 17 | 80 | 1011,0 | 26,5 | 24,5 | 27,96 | 35,290 |
| 27/10/99 16:16 | 0,00 | 176,36 | 14 | 80 | 1010,5 | 26,5 | 24,5 | 27,96 | 35,298 |
| 27/10/99 17:06 | 0,00 | 176,43 | 14 | 80 | 1010,2 | 26,5 | 24,5 | 27,90 | 35,292 |
| 27/10/99 18:08 | 0,00 | 176,52 | 15 | 90 | 1010,3 | 27,3 | 24,5 | 27,93 | 35,281 |
| 27/10/99 18:58 | 0,00 | 177,00 | 15 | 90 | 1010,3 | 27,0 | 24,5 | 27,91 | 35,273 |
| 27/10/99 20:15 | 0,00 | 177,02 | 17 | 100 | 1010,5 | 27,7 | 25,2 | 27,90 | 35,268 |
| 27/10/99 21:01 | 0,00 | 177,08 | 22 | 100 | 1012,5 | 27,5 | 25,0 | 27,90 | 35,263 |
| 27/10/99 23:22 | 0,00 | 177,27 | 18 | 100 | 1011,2 | 28,6 | 25,2 | 27,96 | 35,252 |
| 28/10/99 1:58 | 0,00 | 177,48 | 19 | 100 | 1009,5 | 27,5 | 25,7 | 28,09 | 35,257 |
| 28/10/99 3:05 | 0,00 | 177,57 | 19 | 100 | 1009,2 | 29,1 | 25,1 | 28,08 | 35,263 |
| 28/10/99 4:20 | 0,00 | 178,01 | 18 | 100 | 1009,2 | | | 28,04 | 35,270 |
| 28/10/99 5:06 | 0,00 | 178,07 | 17 | 100 | 1009,2 | 26,8 | 25,1 | 28,00 | 35,279 |
| 28/10/99 6:00 | 0,00 | 178,13 | 18 | 100 | 1009,0 | 27,1 | 24,5 | 27,97 | 35,287 |
| 28/10/99 7:14 | 0,00 | 178,23 | 20 | 100 | 1009,5 | 26,5 | 24,0 | 27,94 | 35,295 |
| 28/10/99 8:05 | 0,00 | 178,29 | 20 | 100 | 1009,7 | 26,5 | 24,5 | 27,92 | 35,295 |
| 28/10/99 9:08 | 0,00 | 178,37 | 20 | 100 | 1011,5 | 27,0 | 25,5 | 27,29 | 35,292 |
| 28/10/99 10:19 | 0,00 | 178,46 | 20 | 100 | 1011,5 | 27,0 | 26,5 | 27,10 | 35,281 |
| 28/10/99 11:00 | 0,00 | 178,52 | 17 | 100 | 1011,4 | 27,5 | 24,5 | 27,80 | 35,276 |
| 28/10/99 11:55 | 0,00 | 179,00 | 17 | 100 | 1011,5 | 27,5 | 24,9 | 27,28 | 35,273 |
| 28/10/99 12:52 | 0,00 | 179,01 | 19 | 120 | 1011,0 | 27,0 | 24,0 | 27,76 | 35,272 |
| 28/10/99 14:01 | 0,00 | 179,10 | 17 | 120 | 1011,0 | 27,2 | 24,0 | 27,72 | 35,267 |
| 28/10/99 15:02 | 0,00 | 179,19 | 21 | 120 | 1010,0 | 26,2 | 24,7 | 27,63 | 35,254 |

| | | | | | | | | | |
|----------------|-------|--------|----|-----|--------|------|------|-------|--------|
| 28/10/99 16:10 | 0,00 | 179,28 | 20 | 110 | 1009,5 | 26,2 | 24,6 | 27,54 | 35,239 |
| 28/10/99 17:06 | 0,00 | 179,35 | 20 | 110 | 1009,7 | 26,2 | 24,0 | 27,45 | 35,228 |
| 28/10/99 18:00 | 0,00 | 179,42 | 19 | 120 | 1009,7 | 26,5 | 24,2 | 27,43 | 35,222 |
| 28/10/99 19:00 | 0,00 | 179,50 | 20 | 110 | 1010,2 | 26,0 | 24,2 | 27,39 | 35,218 |
| 28/10/99 20:00 | 0,00 | 179,59 | 20 | 100 | 1011,5 | 27,2 | 25,0 | 27,36 | 35,220 |
| 28/10/99 21:00 | 0,00 | 180,00 | 22 | 110 | 1011,6 | 27,6 | 24,9 | 27,36 | 35,222 |
| 28/10/99 22:00 | -0,05 | 180,00 | 23 | 110 | 1011,6 | 27,5 | 25,0 | 27,45 | 35,236 |
| 29/10/99 0:29 | -0,26 | 180,00 | 20 | 110 | 1011,2 | 27,5 | 26,5 | 27,04 | 35,293 |
| 29/10/99 3:24 | -0,43 | 180,00 | 18 | 110 | 1008,5 | 27,0 | 25,7 | 27,93 | 35,313 |
| 29/10/99 4:10 | -0,50 | 180,00 | 19 | 10 | 1008,5 | 27,0 | 25,0 | 27,93 | 35,317 |
| 29/10/99 5:00 | -0,57 | 180,00 | 17 | 110 | 1008,5 | 27,6 | 25,5 | 27,91 | 35,314 |
| 29/10/99 5:53 | -1,00 | 180,00 | 16 | 120 | 1009,0 | 27,5 | 24,5 | 27,87 | 35,316 |
| 29/10/99 8:00 | -1,18 | 180,00 | 16 | 120 | 1009,0 | 27,9 | 25,5 | 27,86 | 35,315 |
| 29/10/99 9:00 | -1,27 | 180,00 | 16 | 120 | 1011,0 | 27,0 | 25,2 | 27,86 | 35,317 |
| 29/10/99 10:00 | -1,38 | 180,00 | 17 | 120 | 1011,4 | 25,5 | 25,0 | 27,87 | 35,323 |
| 29/10/99 11:00 | -1,49 | 180,00 | 17 | 130 | 1011,5 | 26,0 | 25,0 | 27,87 | 35,325 |
| 29/10/99 12:00 | -1,56 | 180,00 | 18 | 130 | 1011,0 | 26,5 | 25,5 | 27,89 | 35,338 |
| 29/10/99 13:30 | -2,01 | 180,00 | 18 | 120 | 1010,5 | 27,0 | 25,5 | 27,88 | 35,343 |
| 29/10/99 14:00 | -2,07 | 180,00 | 20 | 120 | 999,0 | 25,5 | 25,2 | 27,86 | 35,337 |
| 29/10/99 15:15 | -2,19 | 180,00 | 20 | 120 | 1010,5 | 25,5 | 25,0 | 27,87 | 35,340 |
| 29/10/99 16:12 | -2,28 | 179,59 | 19 | 120 | 1010,0 | 27,0 | 24,5 | 27,85 | 35,332 |
| 29/10/99 17:08 | -2,37 | 179,59 | 18 | 120 | 1010,0 | 26,5 | 26,0 | 28,06 | 35,412 |
| 29/10/99 18:12 | -2,47 | 179,59 | 17 | 120 | 1010,2 | 27,0 | 24,5 | 28,14 | 35,418 |
| 29/10/99 19:20 | -2,58 | 179,59 | 17 | 120 | 1010,0 | 27,2 | 24,0 | 28,28 | 35,411 |
| 29/10/99 20:20 | -3,00 | 179,59 | 18 | 110 | 1010,3 | 27,0 | 24,5 | 28,20 | 35,408 |
| 29/10/99 21:18 | -3,08 | 180,00 | 15 | 110 | 1011,0 | 27,2 | 24,5 | 28,35 | 35,418 |
| 29/10/99 22:08 | -3,16 | 180,00 | 14 | 110 | 1011,0 | 28,0 | 25,5 | 28,36 | 35,409 |
| 29/10/99 23:02 | -3,25 | 180,00 | 17 | 120 | 1010,5 | 27,4 | 25,5 | 28,42 | 35,396 |
| 30/10/99 0:00 | -3,30 | 180,00 | 15 | 120 | 1010,0 | | | | |
| 30/10/99 1:02 | -3,45 | 180,00 | 14 | 120 | 1010,0 | 27,5 | 26,1 | 28,37 | 35,427 |
| 30/10/99 2:08 | -3,55 | 180,00 | 13 | 110 | 1010,0 | 27,0 | 25,4 | 28,64 | 35,456 |
| 30/10/99 3:00 | -4,00 | 180,00 | 11 | 100 | 1009,0 | | | | |
| 30/10/99 4:00 | -4,01 | 180,00 | | | | 28,2 | 25,6 | 28,69 | 35,489 |
| 30/10/99 5:15 | -4,03 | 180,00 | 11 | 90 | 1009,0 | 28,9 | 24,8 | 28,64 | 35,488 |
| 30/10/99 6:00 | -4,11 | 180,00 | 10 | 90 | 1009,0 | 28,2 | 24,8 | 28,61 | 35,502 |
| 30/10/99 7:34 | -4,28 | 180,00 | 9 | 90 | 1009,0 | 27,0 | 24,0 | 28,60 | 35,520 |
| 30/10/99 8:18 | -4,32 | 180,00 | 9 | 90 | 1011,0 | 27,5 | 25,5 | 28,59 | 35,516 |
| 30/10/99 9:04 | -4,40 | 180,00 | 15 | 80 | 1011,1 | 26,0 | 24,5 | 28,58 | 35,500 |
| 30/10/99 10:01 | -4,49 | 180,00 | 15 | 80 | 1012,0 | 26,2 | 24,6 | 28,68 | 35,493 |
| 30/10/99 11:11 | -5,00 | 180,00 | 14 | 60 | 1011,5 | 26,0 | 23,5 | 28,92 | 35,418 |
| 30/10/99 12:30 | -5,03 | 180,00 | 9 | 60 | 1011,0 | 27,0 | 24,5 | 28,92 | 35,418 |
| 30/10/99 13:03 | -5,10 | 180,00 | 10 | 60 | 1011,0 | 27,2 | 24,5 | 29,01 | 35,382 |
| 30/10/99 14:01 | -5,20 | 180,00 | 12 | 60 | 1010,5 | 28,0 | 25,0 | 29,12 | 35,353 |
| 30/10/99 15:01 | -5,29 | 180,00 | 10 | 60 | 1010,0 | 26,5 | 24,5 | 29,15 | 35,366 |
| 30/10/99 16:14 | -5,41 | 180,00 | 11 | 60 | 1010,0 | 27,5 | 24,4 | 29,18 | 35,309 |
| 30/10/99 18:00 | -5,59 | 180,00 | 10 | 60 | 1010,1 | 27,5 | 24,8 | 29,17 | 35,300 |

| | | | | | | | | | | |
|--|----------------|--------|--------|----|-----|--------|------|------|-------|--------|
| | 30/10/99 19:05 | -6,00 | 180,00 | 12 | 60 | 1010,3 | 27,0 | 25,0 | 29,22 | 35,309 |
| | 30/10/99 20:08 | -6,10 | 180,00 | 12 | 60 | 1010,5 | 28,1 | 25,6 | 29,20 | 35,339 |
| | 30/10/99 22:00 | -6,30 | 180,00 | 14 | 50 | 1011,0 | 28,6 | 26,5 | 29,27 | 35,330 |
| | 30/10/99 23:11 | -6,41 | 180,00 | 14 | 50 | 1011,0 | 28,5 | 25,5 | 29,30 | 35,384 |
| | 31/10/99 0:47 | -6,56 | 180,00 | 11 | 50 | 1010,5 | 28,0 | 26,0 | 29,34 | 35,392 |
| | 31/10/99 3:04 | -7,11 | 180,00 | 12 | 50 | 1009,0 | 29,0 | 25,0 | 29,35 | 35,384 |
| | 31/10/99 4:09 | -7,22 | 180,00 | 9 | 50 | 1009,2 | 28,5 | 25,0 | 29,33 | 35,380 |
| | 31/10/99 5:19 | -7,31 | 180,00 | 8 | 50 | 1009,2 | 28,0 | 24,6 | 29,31 | 35,378 |
| | 31/10/99 6:34 | -7,46 | 180,00 | 8 | 50 | 1009,2 | 27,0 | 24,0 | 29,28 | 35,388 |
| | 31/10/99 9:00 | -8,00 | 180,00 | 8 | 50 | 1012,0 | 28,0 | 25,1 | 29,27 | 35,402 |
| | 31/10/99 10:00 | -8,11 | 180,00 | 9 | 40 | 1012,5 | 28,1 | 25,4 | 29,26 | 35,447 |
| | 31/10/99 11:00 | -8,19 | 179,59 | 9 | 40 | 1012,0 | 27,6 | 25,6 | 29,26 | 35,475 |
| | 31/10/99 12:02 | -8,29 | 179,55 | 6 | 40 | 1012,0 | 28,3 | 25,2 | 29,46 | 35,175 |
| | 31/10/99 13:07 | -8,38 | 179,52 | 9 | 40 | 1012,0 | 27,5 | 25,0 | 29,46 | 35,155 |
| | 31/10/99 14:00 | -8,46 | 178,49 | 9 | 40 | 1011,0 | 27,0 | 25,0 | 29,44 | 35,102 |
| | 31/10/99 15:00 | -8,54 | 179,46 | 10 | 40 | 1011,0 | 27,1 | 24,6 | 29,44 | 35,064 |
| | 31/10/99 16:00 | -9,00 | 179,45 | | | | 27,0 | 24,5 | 29,43 | 35,070 |
| | 31/10/99 17:25 | -9,05 | 179,43 | 7 | 40 | 1011,1 | 28,5 | 25,4 | 29,42 | 35,055 |
| | 31/10/99 18:00 | -9,09 | 179,40 | 8 | 40 | 1011,3 | 27,0 | 24,5 | 29,40 | 35,060 |
| | 31/10/99 19:05 | -9,24 | 179,34 | 10 | 40 | 1011,5 | 28,6 | 24,6 | 29,45 | 35,023 |
| | 31/10/99 20:27 | -9,30 | 179,32 | 12 | 40 | 1011,5 | 28,5 | 24,5 | 29,49 | 35,000 |
| | 31/10/99 21:54 | -9,43 | 179,26 | 12 | 40 | 1011,5 | 29,2 | 25,0 | 29,45 | 34,814 |
| | 31/10/99 22:51 | -9,58 | 179,23 | 14 | 40 | 1013,0 | 30,5 | 25,4 | 29,52 | 34,799 |
| | 1/11/99 1:00 | -10,01 | 179,20 | 10 | 40 | 1011,5 | 30,6 | 26,0 | 29,65 | 34,791 |
| | 1/11/99 2:00 | -10,12 | 179,17 | 9 | 40 | 1011,0 | 29,4 | 25,8 | 29,75 | 34,919 |
| | 1/11/99 3:05 | -10,21 | 179,13 | 8 | 40 | 1010,9 | 29,4 | 26,2 | 29,72 | 34,938 |
| | 1/11/99 4:07 | -10,31 | 179,09 | 9 | 40 | 1011,0 | 29,9 | 26,4 | 29,64 | 34,936 |
| | 1/11/99 5:00 | -10,39 | 179,06 | 6 | 40 | 1010,7 | 27,6 | 25,1 | 29,61 | 34,899 |
| | 1/11/99 6:00 | -10,48 | 179,02 | 5 | 40 | 1011,0 | 28,2 | 25,2 | 29,50 | 34,874 |
| | 1/11/99 7:36 | -10,59 | 178,58 | 5 | 40 | 1011,0 | 28,5 | 24,5 | 29,39 | 34,632 |
| | 1/11/99 8:17 | -11,10 | 178,57 | 5 | 40 | 1012,0 | 28,0 | 23,8 | 29,35 | 34,610 |
| | 1/11/99 9:25 | -11,11 | 178,53 | 6 | 40 | 1014,0 | 28,0 | 24,0 | 29,32 | 34,547 |
| | 1/11/99 10:15 | -11,19 | 178,50 | 6 | 40 | 1014,0 | 28,0 | 24,5 | 29,31 | 34,559 |
| | 1/11/99 11:06 | -11,26 | 178,42 | 6 | 40 | 1013,5 | 28,0 | 24,4 | 29,31 | 34,561 |
| | 1/11/99 12:10 | -11,36 | 178,43 | 9 | 40 | 1013,0 | 27,9 | 24,0 | 29,30 | 34,566 |
| | 1/11/99 13:17 | -11,46 | 178,39 | 11 | 40 | 1013,0 | 27,5 | 24,0 | 29,22 | 34,607 |
| | 1/11/99 14:18 | -11,55 | 178,35 | 4 | 180 | 1012,0 | 27,5 | 24,2 | 29,16 | 34,553 |
| | 1/11/99 15:03 | -12,00 | 178,34 | 4 | 90 | 1011,5 | 27,0 | 25,0 | 29,06 | 34,338 |
| | 1/11/99 16:09 | -12,04 | 178,32 | 4 | 90 | 1011,5 | 27,6 | 24,8 | 29,18 | 34,509 |
| | 1/11/99 17:07 | -11,13 | 178,30 | 4 | 140 | 1011,5 | 27,0 | 25,0 | 29,18 | 34,452 |
| | 1/11/99 18:01 | -12,21 | 178,26 | 4 | 140 | 1011,5 | 27,0 | 24,5 | 29,92 | 34,307 |
| | 1/11/99 19:00 | -12,30 | 178,23 | 4 | 180 | 1012,7 | 27,5 | 25,4 | 28,91 | 34,310 |
| | 1/11/99 20:08 | -12,41 | 178,19 | 4 | 180 | 1012,5 | 28,8 | 26,5 | 29,21 | 34,658 |
| | 1/11/99 21:00 | -12,49 | 178,16 | 3 | 140 | 1013,5 | 29,4 | 26,5 | 29,12 | 34,577 |
| | 1/11/99 22:00 | -12,58 | 178,13 | 5 | 140 | 1013,4 | 29,1 | 26,4 | 29,34 | 34,653 |
| | 2/11/99 1:00 | -13,19 | 178,05 | 5 | 100 | 1011,5 | 28,0 | 24,5 | 29,33 | 34,313 |

| | | | | | | | | | |
|---------------|--------|--------|----|-----|--------|------|------|-------|--------|
| 2/11/99 1:54 | -13,27 | 178,01 | 5 | 100 | 1011,0 | 27,0 | 24,5 | 29,47 | 34,370 |
| 2/11/99 3:29 | -13,40 | 177,56 | 9 | 100 | 1011,0 | 28,5 | 25,3 | 29,42 | 34,430 |
| 2/11/99 3:49 | -13,45 | 177,54 | 8 | 100 | 1010,0 | 29,0 | 25,2 | 29,40 | 34,406 |
| 2/11/99 5:03 | -13,54 | 177,50 | 5 | 100 | 1010,8 | 28,5 | 25,5 | 29,27 | 34,437 |
| 2/11/99 5:51 | -13,59 | 177,48 | 7 | 100 | 1010,2 | 28,0 | 25,4 | 29,48 | 34,463 |
| 2/11/99 8:20 | -14,16 | 177,42 | 4 | 110 | 1010,7 | 28,4 | 25,2 | 28,85 | 34,544 |
| 2/11/99 10:02 | -14,31 | 177,37 | 3 | 100 | 1012,5 | 28,3 | 24,6 | 28,52 | 34,476 |
| 2/11/99 11:00 | -14,40 | 177,34 | 5 | 100 | 1012,2 | 27,0 | 24,8 | 28,47 | 34,475 |
| 2/11/99 12:00 | -14,48 | 177,31 | 7 | 100 | 1011,6 | 27,2 | 24,4 | 28,44 | 34,453 |
| 2/11/99 13:00 | -14,57 | 177,28 | 6 | 100 | 1011,0 | 27,8 | 24,6 | 28,33 | 34,451 |
| 2/11/99 14:05 | -15,01 | 177,27 | 10 | 80 | 1010,5 | 27,5 | 24,4 | 28,19 | 34,452 |
| 2/11/99 15:08 | -15,09 | 177,23 | 7 | 60 | 1010,5 | 27,1 | 24,4 | 28,05 | 34,397 |
| 2/11/99 16:00 | -15,17 | 177,20 | 7 | 60 | 1010,4 | 26,5 | 24,2 | 28,08 | 34,400 |
| 2/11/99 17:14 | -15,29 | 177,15 | 4 | 100 | 1010,4 | 27,0 | 24,5 | 28,24 | 34,379 |
| 2/11/99 18:03 | -15,37 | 177,12 | 4 | 80 | 1010,5 | 26,5 | 24,0 | 28,00 | 34,194 |
| 2/11/99 19:03 | -15,46 | 177,09 | 4 | 80 | 1010,5 | 26,8 | 24,8 | 27,92 | 34,141 |
| 2/11/99 20:00 | -15,56 | 177,05 | 6 | 70 | 1011,1 | 27,5 | 24,2 | 28,21 | 34,251 |
| 2/11/99 22:30 | -16,12 | 177,59 | 6 | 70 | 1011,1 | 28,5 | 24,8 | 27,89 | 34,220 |
| 3/11/99 0:26 | -16,30 | 176,52 | 4 | 280 | 1013,0 | 28,5 | 24,0 | 28,39 | 34,240 |
| 3/11/99 2:00 | -16,44 | 176,46 | 2 | 260 | 1011,2 | 29,0 | 25,9 | 28,35 | 34,402 |
| 3/11/99 3:00 | -16,54 | 176,42 | 6 | 220 | 1011,2 | 28,1 | 25,0 | 28,92 | 34,530 |
| 3/11/99 4:00 | -17,00 | 176,40 | 2 | 220 | 1011,0 | 27,4 | 25,4 | 28,04 | 34,490 |
| 3/11/99 5:00 | -17,05 | 176,40 | 2 | 220 | 1011,3 | 27,1 | 25,1 | 28,80 | 34,498 |
| 3/11/99 6:00 | -17,15 | 176,40 | 4 | 220 | 1011,5 | 27,1 | 25,0 | 28,38 | 34,462 |
| 3/11/99 7:09 | -17,26 | 176,36 | 5 | 220 | 1011,5 | 27,4 | 24,2 | 28,26 | 34,457 |
| 3/11/99 8:00 | -17,35 | 176,40 | 5 | 200 | 1012,0 | 27,0 | 23,8 | 28,29 | 34,423 |
| 3/11/99 9:01 | -17,45 | 176,40 | 4 | 200 | 1014,0 | 27,5 | 24,4 | 27,97 | 34,422 |
| 3/11/99 10:04 | -17,55 | 176,39 | 10 | 200 | 1014,5 | 27,5 | 25,0 | 27,91 | 34,465 |
| 3/11/99 11:20 | -18,00 | 176,40 | 12 | 135 | 1014,2 | 27,0 | 25,2 | 27,65 | 34,275 |
| 5/11/99 19:00 | -19,22 | 176,33 | 5 | 120 | 1014,0 | 28,1 | 25,1 | 27,19 | 34,495 |
| 5/11/99 20:00 | -19,26 | 176,41 | 5 | 120 | 1014,0 | | | | |
| 5/11/99 20:47 | -19,31 | 176,16 | | | | 28,6 | 26,1 | | |
| 5/11/99 22:00 | -19,37 | 176,06 | 6 | 100 | 1014,5 | 27,6 | 25,3 | 26,87 | 34,506 |
| 6/11/99 23:40 | -19,40 | 175,58 | 2 | 90 | 1014,0 | 26,5 | 24,0 | 27,11 | 34,482 |
| 6/11/99 0:56 | -19,47 | 175,47 | 17 | 160 | 1014,3 | 27,2 | 25,0 | 27,03 | 34,478 |
| 6/11/99 2:04 | -19,53 | 175,38 | 17 | 120 | 1014,0 | 26,5 | 24,5 | 26,90 | 34,620 |
| 6/11/99 3:03 | -19,59 | 175,30 | 11 | 120 | 1013,8 | 27,0 | 23,0 | 27,00 | 34,620 |
| 6/11/99 4:01 | -20,03 | 175,21 | 10 | 120 | 1013,3 | 27,0 | 23,5 | 26,83 | 34,557 |
| 6/11/99 5:04 | -20,80 | 175,12 | 9 | 120 | 1013,2 | 27,2 | 23,0 | 26,85 | 34,548 |
| 6/11/99 6:16 | -20,15 | 175,10 | 8 | 120 | 1013,2 | 26,8 | 22,5 | 27,03 | 34,592 |
| 6/11/99 8:26 | -20,21 | 174,52 | 6 | 120 | 1013,2 | 25,9 | 23,0 | 26,71 | 34,670 |
| 6/11/99 9:07 | -20,24 | 174,48 | 6 | 120 | 1014,5 | 25,8 | 23,1 | 26,75 | 34,713 |
| 6/11/99 9:50 | -20,27 | 174,43 | 8 | 110 | 1014,7 | 25,8 | 23,3 | 26,56 | 34,832 |
| 6/11/99 11:02 | -20,32 | 174,34 | 4 | 100 | 1014,3 | 24,7 | 23,1 | 26,28 | 34,605 |
| 6/11/99 12:00 | -20,36 | 174,28 | 4 | 130 | 1015,0 | 25,1 | 23,1 | 26,12 | 34,620 |
| 6/11/99 13:05 | -20,40 | 174,20 | 13 | 120 | 1015,0 | 25,1 | 23,2 | 25,47 | 34,795 |

| | | | | | | | | | |
|---------------|--------|--------|----|-----|--------|------|------|-------|--------|
| 6/11/99 14:00 | -20,43 | 174,15 | 13 | 120 | 1015,0 | 24,6 | 23,0 | 25,50 | 34,935 |
| 6/11/99 15:00 | -20,47 | 174,08 | 12 | 130 | 1013,0 | 26,2 | 22,8 | 25,37 | 34,851 |
| 6/11/99 16:00 | -20,51 | 174,01 | 10 | 130 | 1013,5 | 25,6 | 23,2 | 25,37 | 34,820 |
| 6/11/99 17:00 | -20,52 | 174,00 | 10 | 130 | 1013,5 | 25,0 | 23,8 | 25,42 | 34,833 |
| 6/11/99 18:00 | -20,56 | 173,54 | 6 | 140 | 1013,5 | 24,5 | 22,0 | 25,37 | 34,807 |
| 6/11/99 19:20 | -21,01 | 173,43 | 6 | 140 | 1013,0 | 24,7 | 22,0 | 25,22 | 34,934 |
| 6/11/99 20:20 | -21,05 | 173,37 | 7 | 140 | 1014,0 | 24,8 | 22,2 | 25,80 | 34,655 |
| 6/11/99 21:05 | -21,07 | 173,33 | 7 | 140 | 1015,5 | 24,5 | 22,0 | 25,90 | 34,671 |
| 6/11/99 22:45 | -21,14 | 173,19 | 4 | 130 | 1015,2 | 25,4 | 22,5 | 25,91 | 34,849 |
| 7/11/99 0:25 | -21,21 | 173,06 | 9 | 100 | 1015,0 | 26,8 | 23,6 | 25,66 | 34,951 |
| 7/11/99 2:00 | -21,25 | 173,00 | 4 | 100 | 1013,5 | 26,2 | 22,9 | 25,79 | 34,909 |
| 7/11/99 3:00 | -21,28 | 172,54 | 5 | 100 | 1013,6 | 25,7 | 23,1 | 25,82 | 35,024 |
| 7/11/99 4:15 | -21,34 | 172,45 | 10 | 100 | 1013,6 | 25,7 | 23,1 | 25,63 | 34,968 |
| 7/11/99 5:45 | -21,40 | 172,35 | 7 | 100 | 1013,4 | 24,7 | 22,6 | 25,77 | 34,956 |
| 7/11/99 7:00 | -21,44 | 172,26 | 6 | 100 | 1013,4 | 25,7 | 23,5 | 25,61 | 34,985 |
| 7/11/99 9:00 | -21,53 | 172,12 | 6 | 100 | 1013,0 | 23,8 | 22,0 | 25,66 | 34,830 |
| 7/11/99 10:06 | -21,56 | 172,04 | 4 | 130 | 1016,0 | 26,0 | 22,5 | 26,23 | 34,737 |
| 7/11/99 11:03 | -21,59 | 172,00 | 11 | 120 | 1015,6 | 25,5 | 22,0 | 26,19 | 34,725 |
| 7/11/99 12:08 | -22,01 | 171,57 | 8 | 130 | 1015,5 | 25,5 | 22,0 | 26,13 | 34,734 |
| 7/11/99 12:59 | -22,04 | 171,52 | 8 | 130 | 1015,5 | 26,0 | 23,0 | 26,18 | 34,719 |
| 7/11/99 14:11 | -22,08 | 171,44 | 10 | 100 | 1014,0 | 27,0 | 22,5 | 25,72 | 34,820 |
| 7/11/99 15:18 | -22,12 | 171,37 | 9 | 100 | 1014,0 | 26,8 | 22,5 | 25,40 | 34,871 |
| 7/11/99 16:00 | -22,14 | 171,32 | 10 | 80 | 1014,0 | 25,5 | 23,2 | 25,50 | 34,829 |
| 7/11/99 17:01 | -22,17 | 171,26 | 5 | 80 | 1014,0 | 25,4 | 23,0 | 25,54 | 34,792 |
| 7/11/99 18:40 | -22,20 | 171,20 | 5 | 80 | 1014,0 | 26,2 | 22,6 | 25,39 | 34,866 |
| 7/11/99 20:00 | -22,20 | 171,22 | 7 | 100 | 1014,0 | 27,3 | 24,0 | 25,43 | 34,842 |
| 7/11/99 21:05 | -22,21 | 171,20 | 6 | 100 | 1014,7 | 26,2 | 23,8 | 25,45 | 34,870 |
| 7/11/99 22:12 | -22,21 | 171,08 | 5 | 100 | 1015,0 | 27,7 | 23,7 | 25,46 | 34,908 |
| 7/11/99 23:11 | -22,21 | 171,00 | 10 | 90 | 1014,6 | 28,0 | 23,5 | 26,34 | 34,744 |
| 8/11/99 0:03 | -22,20 | 179,59 | 5 | 100 | 1015,0 | 27,4 | 23,0 | 26,43 | 34,757 |
| 8/11/99 2:10 | -22,20 | 170,36 | 12 | 80 | 1014,0 | 25,8 | 22,5 | 26,50 | 34,700 |
| 8/11/99 3:13 | -22,20 | 170,25 | 11 | 100 | 1014,5 | 26,0 | 23,0 | 26,32 | 34,717 |
| 8/11/99 4:09 | -22,20 | 170,16 | 11 | 100 | 1014,5 | 25,0 | 23,0 | 26,10 | 34,790 |
| 8/11/99 5:38 | -22,20 | 170,06 | 8 | 100 | 1013,9 | 22,5 | 20,5 | 25,58 | 34,652 |
| 8/11/99 6:02 | -22,21 | 170,00 | 10 | 110 | 1013,9 | 23,5 | 23,0 | 24,34 | 35,348 |
| 8/11/99 7:02 | -22,22 | 169,57 | 6 | 120 | 1013,3 | 23,0 | 22,0 | 24,71 | 35,199 |
| 8/11/99 8:50 | -22,21 | 169,40 | 5 | 120 | 1013,9 | 23,5 | 23,0 | 25,40 | 35,011 |
| 8/11/99 9:05 | -22,21 | 169,27 | 5 | 130 | 1015,3 | 25,0 | 23,2 | 25,34 | 35,012 |
| 8/11/99 11:10 | -22,21 | 169,16 | 8 | 130 | 1015,2 | 24,6 | 22,9 | 24,23 | 35,550 |
| 8/11/99 12:00 | -22,21 | 169,08 | 8 | 130 | 1015,0 | 25,5 | 24,0 | 23,97 | 35,534 |
| 8/11/99 13:00 | -22,22 | 169,08 | 8 | 120 | 1015,4 | 24,5 | 23,5 | 24,10 | 35,526 |
| 8/11/99 14:05 | -22,21 | 168,21 | 5 | 120 | 1015,3 | 25,0 | 23,7 | 24,18 | 35,526 |
| 8/11/99 15:01 | -22,22 | 168,48 | 7 | 120 | 1015,0 | 25,8 | 23,6 | 24,31 | 35,544 |
| 8/11/99 17:24 | -22,21 | 168,22 | 7 | 120 | 1014,2 | 24,5 | 23,0 | 25,26 | 35,067 |
| 8/11/99 18:07 | -22,20 | 168,14 | 7 | 90 | 1014,2 | 24,5 | 23,0 | 25,65 | 34,930 |
| 8/11/99 19:03 | -22,20 | 168,04 | 7 | 90 | 1014,0 | 25,0 | 23,1 | 25,65 | 34,940 |

| | | | | | | | | | | |
|---------------|--------|--------|----|----|--------|------|------|-------|--------|---|
| 8/11/99 21:13 | -22,21 | 167,51 | 10 | 60 | 1013,5 | 25,0 | 24,1 | 25,72 | 34,866 | 3 |
| 8/11/99 22:41 | -22,21 | 167,34 | 8 | 60 | 1014,2 | 27,9 | 25,0 | 26,18 | 34,979 | |
| 8/11/99 23:14 | -22,21 | 167,28 | 14 | 40 | 1014,1 | 27,2 | 24,5 | 25,78 | 35,051 | 1 |
| 9/11/99 0:10 | -22,20 | 167,17 | 14 | 40 | | 27,5 | 24,9 | 25,89 | 35,004 | |

VIII. REFERENCES

- Bahr, F., E. Firing et S. Jiang. Acoustic Doppler current profiling in the western Pacific during the US-PRC TOGA Cruises 5 and 6. *JIMAR Contr. 90-0228, U. of Hawaii*, 162 pp., 1990.
- Cabioch, G., T. Corrège, Y. Join, N. Le Bec, J. Orempuller et S. Vaganay. Cruise report, Paleofiji cruise (R/V ORSTOM ALIS) in Fiji from 27 June to 16 July 1998. *Rapports de missions, Sciences de la Terre, Géologie Géophysique n° 37*, 1998.
- Delcroix, T. et C. Hénin. Mechanisms of subsurface thermal structure and sea surface thermohaline variabilities in the southwestern tropical Pacific during 1979-85. *J. Mar. Res.*, 47, 777-812, 1989.
- Delcroix, T., C. Hénin, V. Porte et P. Arkin. Precipitation and sea-surface salinity in the tropical Pacific. *Deep Sea Res.*, 43, 1123-1141, 1996.
- Delcroix, T. et O. Lenormand. ENSO signals in the vicinity of New-Caledonia, south-western Pacific. *O. Acta*, 20, 481-491, 1997.
- Fischer, J., et M. Visbeck. Deep velocity profiling with self-contained ADCPs. *J. Atmos. Oceanic Technol.*, 10(5), 764-773, 1993.
- Gouriou, Y., et C. Hétmon. Traitement des données L-ADCP. *Centre ORSTOM de Cayenne, documents scientifiques n° O.P. 21*, 56pp, 1997.
- Grelet, J., B. Buisson et C. Hénin. Installation et utilisation d'un thermosalinographe à bord d'un navire marchand. *Notes Techniques, Sciences de la Mer, Océanogr. Phys.*, Centre ORSTOM de Nouméa, 7, 99 pp., 1992.
- Hall, M. M. et H. L. Bryden. Direct estimates and mechanisms of ocean heat transport, *Deep-Sea Res.*, 29, 339-359, 1982.
- Hénin, C. et J. Grelet. A merchant ship thermosalinograph network in the Pacific ocean. *Deep Sea Res.*, 11-12, 1833-1856, 1996.
- Ogier, I.: Elaboration de la chaîne d'analyse et de traitement des données d'un courantomètre à effet Doppler. *Rapport de stage ISITV, Centre ORSTOM de Cayenne*, 66pp, 1995.
- Prunier-Mignot, M., D. Varillon, L. Foucher, J.-M. Ihily, B. Buisson, F. Masia, C. Hénin, M. Ioualalen et T. Delcroix. Manuel d'installation et de maintenance d'un thermosalinographe embarqué. *Notes techniques, Sciences de la Mer, Océanogr. Phys.*, Centre IRD/ORSTOM de Nouméa, 13, 102 pp., 1999.
- Pollard, R. et J. Read. A method for calibrating shipmounted acoustic Doppler profilers, and the limitations of gyro compasses. *J. Atmos. Oceanic Technol.*, 6, 859-865, 1989.
- RD Instruments. Direct reading and self-containing Broadband acoustic Doppler current profiler, *RDI, Technical manual*, 1995.
- Ropelewski, C. F. et M. S. Halpert. Global and regional scale precipitation patterns associated with the El Niño / Southern Oscillation. *Mon. Weather Rev.*, 115, 1606-1626, 1987.
- Villain, J.-P., 1995. Variabilité de la salinité dans le Pacifique ouest. Amélioration du calcul de la topographie dynamique et des courants geostrophiques. *Mémoire de Stages, Sciences de la Mer*. Centre ORSTOM de Nouméa.
- Wyrki, K. et J. Wenzel. Possible gyre-gyre interaction in the Pacific ocean. *Nature*, 309, 538-540, 1984.

